

Ein und Ausgabe:
Farbmetrisches Drucker-Reflektiv-System ORS19_96a
Daten für jede Farbe:

u^*_d und Nummer $Nr.$ = 00 .. 15

Geräte-Bunttontext:

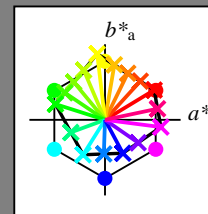
u^*_d = 16 Bunttoene $o00y$, $o25y$, ..., $m50o$

Kontrastreduzierungsfaktor:

$c_R = 1.0$

ORS19_96a; adaptierte CIELAB-Daten

u^*_d	$L^*=L^*_a$	a^*_a	b^*_a	$C^*_{ab,a}$	$h^*_{ab,a}$	u^*_e
$o00y$	48.75	65.07	39.43	76.08	31	$r08j$
$o25y$	59.04	46.67	51.1	69.21	48	$r33j$
$o50y$	68.32	30.09	61.62	68.58	64	$r57j$
$o75y$	78.23	12.39	72.85	73.9	80	$r81j$
$y00l$	90.92	-10.29	87.24	87.85	97	$j06g$
$y25l$	78.57	-28.11	65.75	71.51	113	$j29g$
$y50l$	69.46	-41.25	49.92	64.75	130	$j53g$
$y75l$	61.32	-52.99	35.76	63.92	146	$j76g$
$l00c$	52.69	-65.44	20.75	68.65	162	$g00b$
$l50c$	56.55	-45.12	-16.57	48.07	200	$g34b$
$c00v$	59.61	-28.98	-46.22	54.56	238	$g69b$
$c50v$	43.33	-1.54	-45.13	45.16	268	$g96b$
$v00m$	28.39	23.63	-44.13	50.06	298	$b23r$
$v50m$	36.9	43.84	-30.24	53.26	325	$b47r$
$m00o$	49.58	73.93	-9.56	74.55	353	$b71r$
$m50o$	49.17	69.55	14.68	71.08	12	$b88r$



%Umfang

$u^*_{rel} = 89$

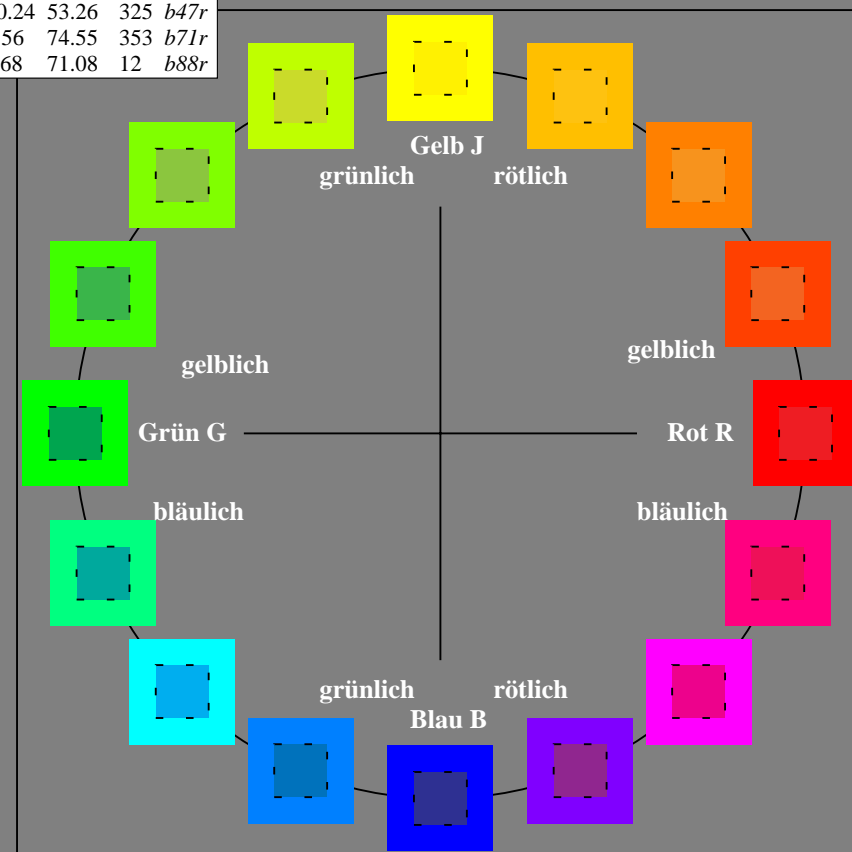
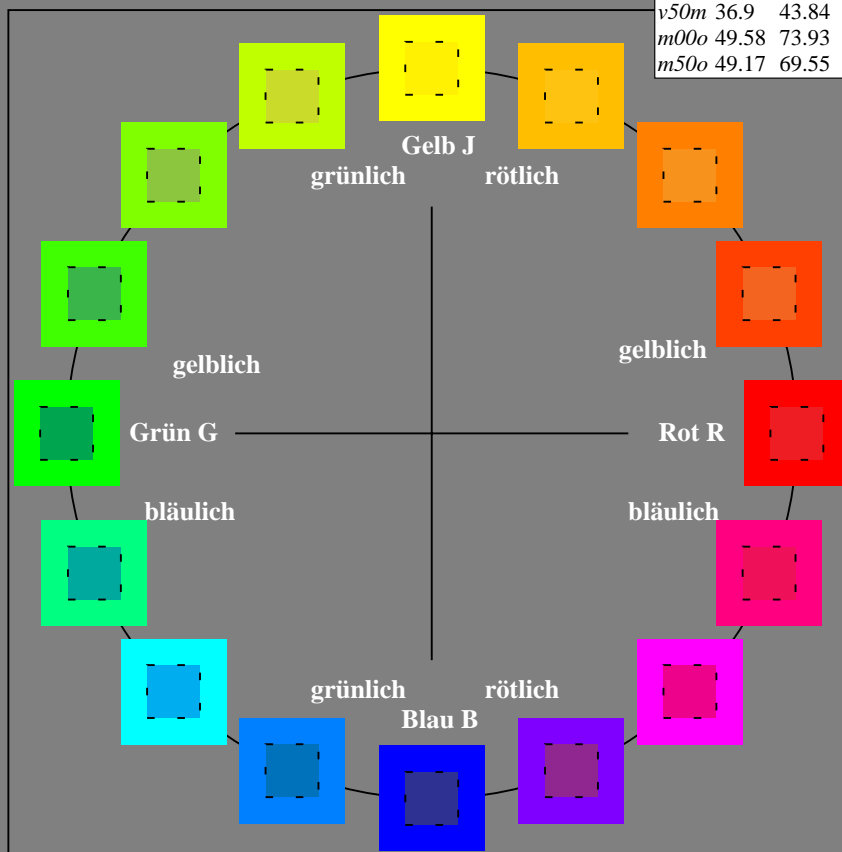
%Regularität

$g^*_{H,rel} = 72$

$g^*_{C,rel} = 57$

ORS19_96a; adaptierte CIELAB-Daten

Name	$L^*=L^*_a$	a^*_a	b^*_a	$C^*_{ab,a}$	$h^*_{ab,a}$
O_{Ma}	48.75	65.07	39.43	76.08	31
Y_{Ma}	90.92	-10.29	87.24	87.85	97
L_{Ma}	52.69	-65.44	20.75	68.65	162
C_{Ma}	59.61	-28.98	-46.22	54.56	238
V_{Ma}	28.39	23.63	-44.13	50.06	298
M_{Ma}	49.58	73.93	-9.56	74.55	353
N_{Ma}	18.89	0.0	0.0	0.0	0
W_{Ma}	96.9	0.0	0.0	0.0	0
O_{CIE}	39.92	58.74	27.99	65.07	92
Y_{CIE}	81.26	-2.89	71.56	71.62	25
L_{CIE}	52.23	-42.42	13.6	44.55	162
V_{CIE}	30.57	1.41	-46.47	46.49	272



Ein und Ausgabe: Farbmetrisches Drucker-Reflektiv-System ORS19_96a für relativen CIELAB-Buntton $h^* = lab^*h^* = h_{ab}/360 = 0.087$

Daten für jede Farbe:

lab^*ch^* und lab^*icu^*

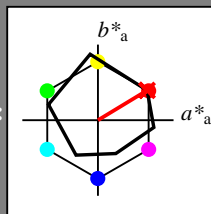
Bunttontexte:

$u^*_d = o00y$ $u^*_e = r08j$

Kontrastreduzierungsfaktor:

$c_R = 1.0$

Dreiecks-Helligkeit i^*



ORS19_96a; adaptierte CIELAB-Daten

u^*_d	$L^*=L^*_a$	a^*_a	b^*_a	$C^*_{ab,a}$	$h^*_{ab,a}$
O _{Ma}	48.75	65.07	39.43	76.08	31
Y _{Ma}	90.92	-10.29	87.24	87.85	97
L _{Ma}	52.69	-65.44	20.75	68.65	162
C _{Ma}	59.61	-28.98	-46.22	54.56	238
V _{Ma}	28.39	23.63	-44.13	50.06	298
M _{Ma}	49.58	73.93	-9.56	74.55	353
N _{Ma}	18.89	0.0	0.0	0.0	0
W _{Ma}	96.9	0.0	0.0	0.0	0
O _{Ma}	39.92	58.74	27.99	65.07	25
Y _{Ma}	81.26	-2.89	71.56	71.62	92
L _{Ma}	52.23	-42.42	13.6	44.55	162
V _{Ma}	30.57	1.41	-46.47	46.49	272

Daten für Maximalfarbe (Ma):

LAB^*LAB^*Ma : 49 65 39

LAB^*LCH^*Ma : 49 76 31

lab^*olv^*Ma : 1.0 0.0 0.0

lab^*rgb^*Ma : 1.0 0.09 0.0

Dreiecks-Helligkeit i^*

%Umfang

$u^*_{rel} = 89$

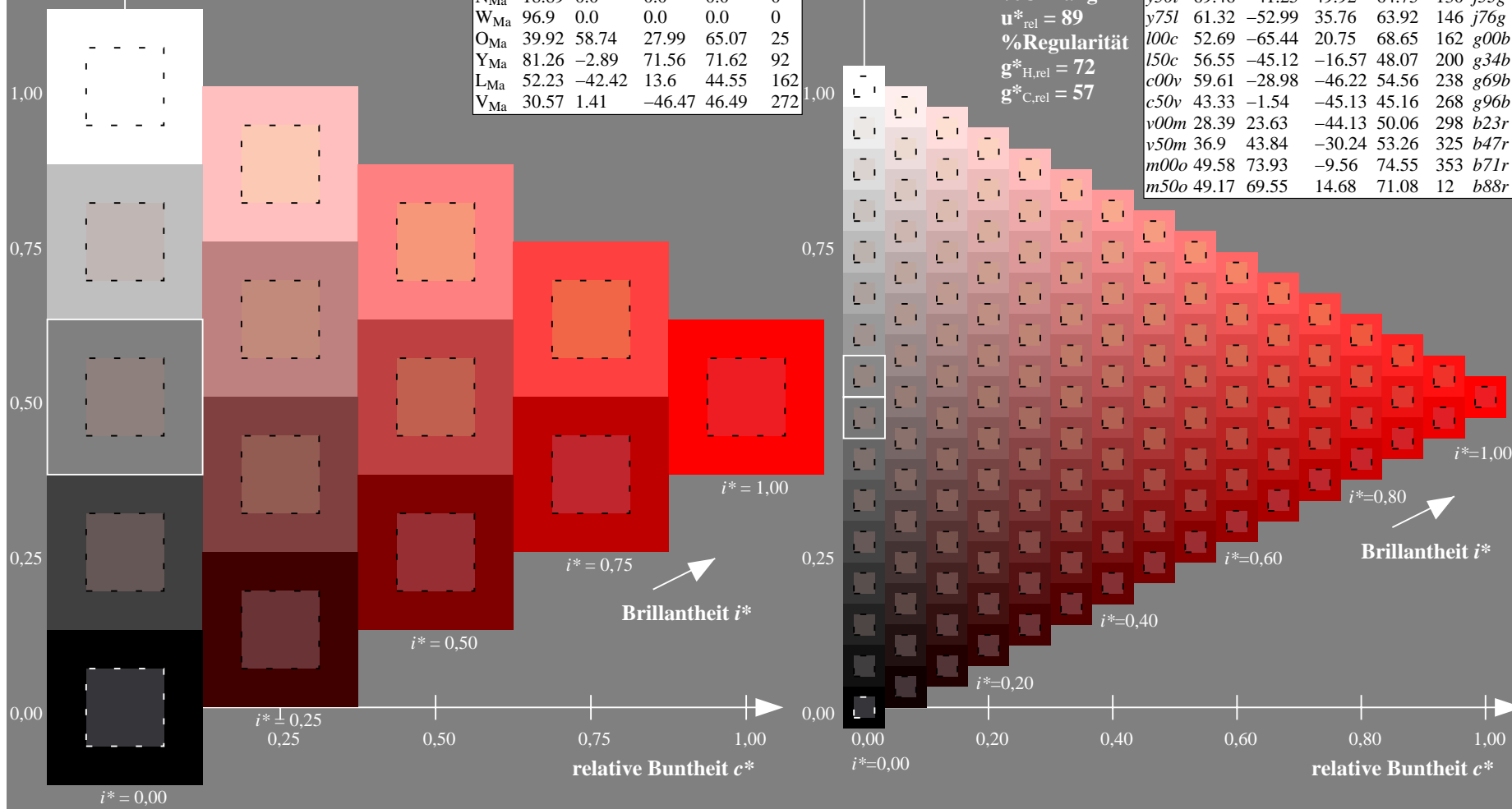
%Regularität

$g^*_{H,rel} = 72$

$g^*_{C,rel} = 57$

ORS19_96a; adaptierte CIELAB-Daten

u^*_d	$L^*=L^*_a$	a^*_a	b^*_a	$C^*_{ab,a}$	$h^*_{ab,a}$	u^*_e
$o00y$	48.75	65.07	39.43	76.08	31	$r08j$
$o25y$	59.04	46.67	51.1	69.21	48	$r33j$
$o50y$	68.32	30.09	61.62	68.58	64	$r57j$
$o75y$	78.23	12.39	72.85	73.9	80	$r81j$
$y00l$	90.92	-10.29	87.24	87.85	97	$j06g$
$y25l$	78.57	-28.11	65.75	71.51	113	$j29g$
$y50l$	69.46	-41.25	49.92	64.75	130	$j53g$
$y75l$	61.32	-52.99	35.76	63.92	146	$j76g$
$l00c$	52.69	-65.44	20.75	68.65	162	$g00b$
$l50c$	56.55	-45.12	-16.57	48.07	200	$g34b$
$c00v$	59.61	-28.98	-46.22	54.56	238	$g69b$
$c50v$	43.33	-1.54	-45.13	45.16	268	$g96b$
$v00m$	28.39	23.63	-44.13	50.06	298	$b23r$
$v50m$	36.9	43.84	-30.24	53.26	325	$b47r$
$m00o$	49.58	73.93	-9.56	74.55	353	$b71r$
$m50o$	49.17	69.55	14.68	71.08	12	$b88r$



Ein und Ausgabe: Farbmetrisches Drucker-Reflektiv-System ORS19_96a für relativen CIELAB-Buntton $h^* = lab^*h^* = h_{ab}/360 = 0.132$

Daten für jede Farbe:

lab^*ch^* und lab^*icu^*

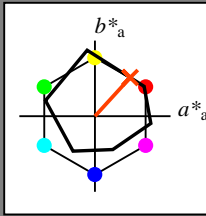
Bunttontexte:

$u^*_d = o25y$ $u^*_e = r33j$

Kontrastreduzierungsfaktor:

$c_R = 1.0$

Dreiecks-Helligkeit i^*



ORS19_96a; adaptierte CIELAB-Daten

u^*_d	$L^*=L^*_a$	a^*_a	b^*_a	$C^*_{ab,a}$	$h^*_{ab,a}$
O _{Ma}	48.75	65.07	39.43	76.08	31
Y _{Ma}	90.92	-10.29	87.24	87.85	97
L _{Ma}	52.69	-65.44	20.75	68.65	162
C _{Ma}	59.61	-28.98	-46.22	54.56	238
V _{Ma}	28.39	23.63	-44.13	50.06	298
M _{Ma}	49.58	73.93	-9.56	74.55	353
N _{Ma}	18.89	0.0	0.0	0.0	0
W _{Ma}	96.9	0.0	0.0	0.0	0
O _{Ma}	39.92	58.74	27.99	65.07	25
Y _{Ma}	81.26	-2.89	71.56	71.62	92
L _{Ma}	52.23	-42.42	13.6	44.55	162
V _{Ma}	30.57	1.41	-46.47	46.49	272

Daten für Maximalfarbe (Ma):

LAB^*LAB^*Ma : 59 47 51

LAB^*LCH^*Ma : 59 69 47

lab^*olv^*Ma : 1.0 0.25 0.0

lab^*rgb^*Ma : 1.0 0.33 0.0

Dreiecks-Helligkeit i^*

%Umfang

$u^*_{rel} = 89$

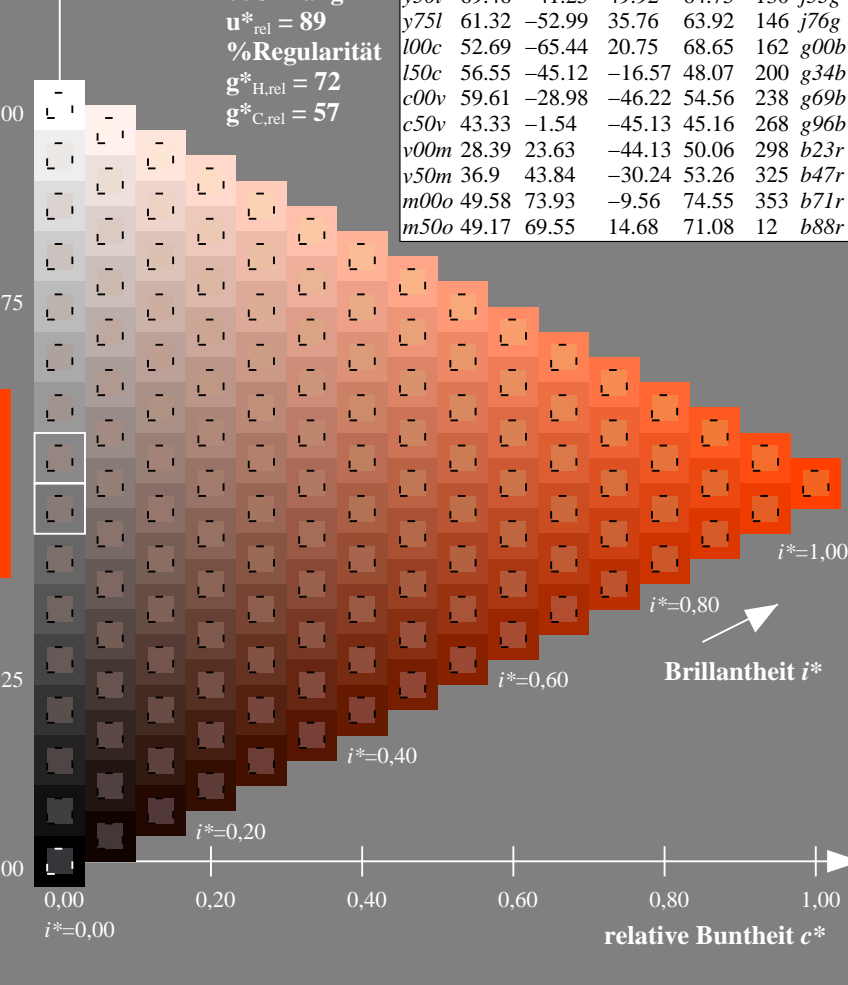
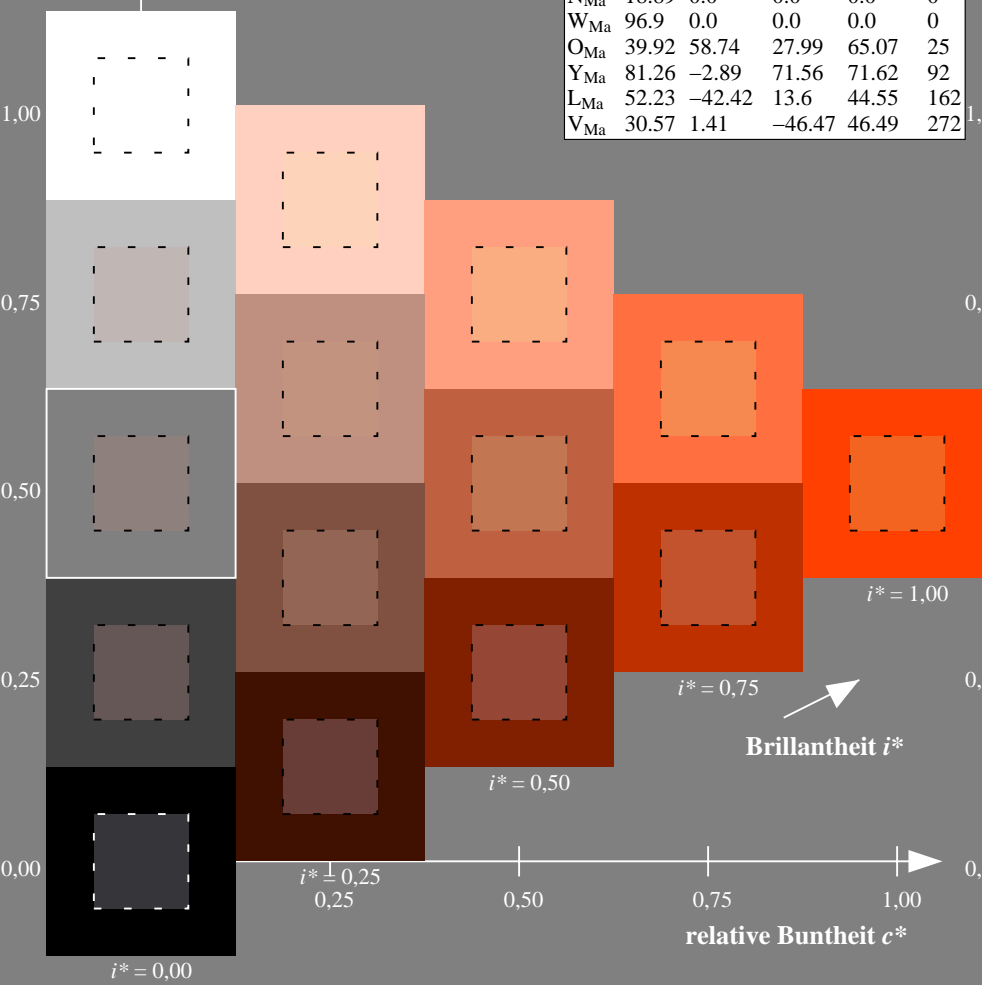
%Regularität

$g^*_{H,rel} = 72$

$g^*_{C,rel} = 57$

ORS19_96a; adaptierte CIELAB-Daten

u^*_d	$L^*=L^*_a$	a^*_a	b^*_a	$C^*_{ab,a}$	$h^*_{ab,a}$	u^*_e
o00y	48.75	65.07	39.43	76.08	31	r08j
o25y	59.04	46.67	51.1	69.21	48	r33j
o50y	68.32	30.09	61.62	68.58	64	r57j
o75y	78.23	12.39	72.85	73.9	80	r81j
y00l	90.92	-10.29	87.24	87.85	97	j06g
y25l	78.57	-28.11	65.75	71.51	113	j29g
y50l	69.46	-41.25	49.92	64.75	130	j53g
y75l	61.32	-52.99	35.76	63.92	146	j76g
l00c	52.69	-65.44	20.75	68.65	162	g00b
l50c	56.55	-45.12	-16.57	48.07	200	g34b
c00v	59.61	-28.98	-46.22	54.56	238	g69b
c50v	43.33	-1.54	-45.13	45.16	268	g96b
v00m	28.39	23.63	-44.13	50.06	298	b23r
v50m	36.9	43.84	-30.24	53.26	325	b47r
m00o	49.58	73.93	-9.56	74.55	353	b71r
m50o	49.17	69.55	14.68	71.08	12	b88r



Ein und Ausgabe: Farbmetrisches Drucker-Reflektiv-System ORS19_96a für relativen CIELAB-Buntton $h^* = lab^*h^* = h_{ab}/360 = 0.178$

Daten für jede Farbe:

lab^*ch^* und lab^*icu^*

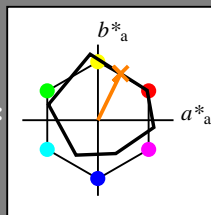
Bunttontexte:

$u^*_d = o50y$ $u^*_e = r57j$

Kontrastreduzierungsfaktor:

$c_R = 1.0$

Dreiecks-Helligkeit i^*



ORS19_96a; adaptierte CIELAB-Daten

u^*_d	$L^*=L^*_a$	a^*_a	b^*_a	$C^*_{ab,a}$	$h^*_{ab,a}$
O _{Ma}	48.75	65.07	39.43	76.08	31
Y _{Ma}	90.92	-10.29	87.24	87.85	97
L _{Ma}	52.69	-65.44	20.75	68.65	162
C _{Ma}	59.61	-28.98	-46.22	54.56	238
V _{Ma}	28.39	23.63	-44.13	50.06	298
M _{Ma}	49.58	73.93	-9.56	74.55	353
N _{Ma}	18.89	0.0	0.0	0.0	0
W _{Ma}	96.9	0.0	0.0	0.0	0
O _{Ma}	39.92	58.74	27.99	65.07	25
Y _{Ma}	81.26	-2.89	71.56	71.62	92
L _{Ma}	52.23	-42.42	13.6	44.55	162
V _{Ma}	30.57	1.41	-46.47	46.49	272

Daten für Maximalfarbe (Ma):

LAB^*LAB^*Ma : 68 30 62

LAB^*LCH^*Ma : 68 69 63

lab^*olv^*Ma : 1.0 0.5 0.0

lab^*rgb^*Ma : 1.0 0.58 0.0

Dreiecks-Helligkeit i^*

%Umfang

$u^*_{rel} = 89$

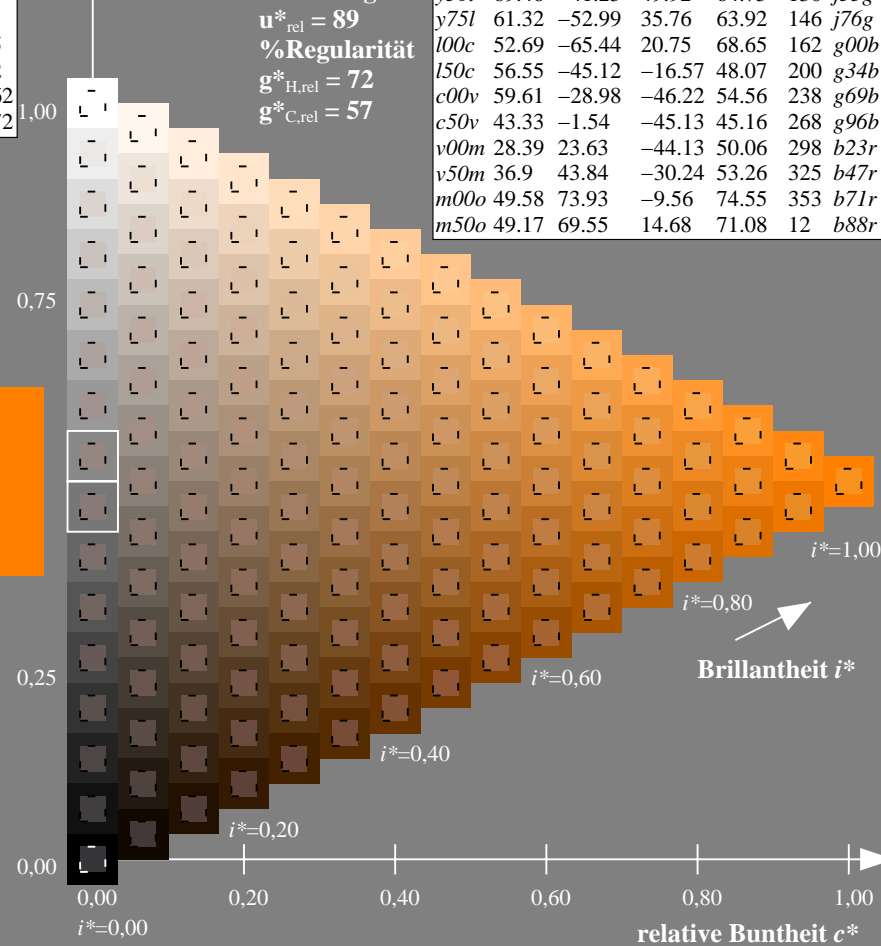
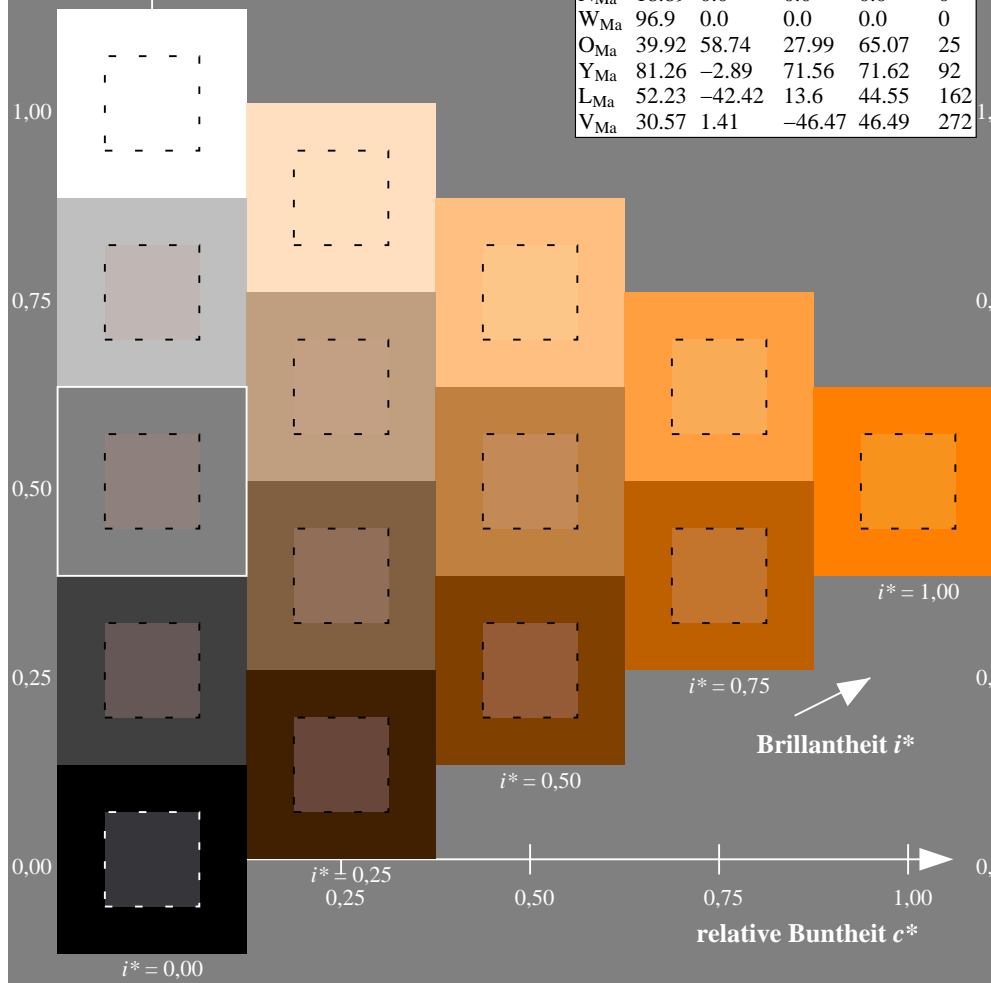
%Regularität

$g^*_{H,rel} = 72$

$g^*_{C,rel} = 57$

ORS19_96a; adaptierte CIELAB-Daten

u^*_d	$L^*=L^*_a$	a^*_a	b^*_a	$C^*_{ab,a}$	$h^*_{ab,a}$	u^*_e
<i>o00y</i>	48.75	65.07	39.43	76.08	31	<i>r08j</i>
<i>o25y</i>	59.04	46.67	51.1	69.21	48	<i>r33j</i>
<i>o50y</i>	68.32	30.09	61.62	68.58	64	<i>r57j</i>
<i>o75y</i>	78.23	12.39	72.85	73.9	80	<i>r81j</i>
<i>y00l</i>	90.92	-10.29	87.24	87.85	97	<i>j06g</i>
<i>y25l</i>	78.57	-28.11	65.75	71.51	113	<i>j29g</i>
<i>y50l</i>	69.46	-41.25	49.92	64.75	130	<i>j53g</i>
<i>y75l</i>	61.32	-52.99	35.76	63.92	146	<i>j76g</i>
<i>l00c</i>	52.69	-65.44	20.75	68.65	162	<i>g00b</i>
<i>l50c</i>	56.55	-45.12	-16.57	48.07	200	<i>g34b</i>
<i>c00v</i>	59.61	-28.98	-46.22	54.56	238	<i>g69b</i>
<i>c50v</i>	43.33	-1.54	-45.13	45.16	268	<i>g96b</i>
<i>v00m</i>	28.39	23.63	-44.13	50.06	298	<i>b23r</i>
<i>v50m</i>	36.9	43.84	-30.24	53.26	325	<i>b47r</i>
<i>m00o</i>	49.58	73.93	-9.56	74.55	353	<i>b71r</i>
<i>m50o</i>	49.17	69.55	14.68	71.08	12	<i>b88r</i>



Ein und Ausgabe: Farbmetrisches Drucker-Reflektiv-System ORS19_96a für relativen CIELAB-Buntton $h^* = lab^*h^* = h_{ab}/360 = 0.223$

Daten für jede Farbe:

lab^*ch^* und lab^*icu^*

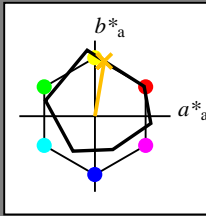
Bunttontexte:

$u^*_d = o75y$ $u^*_e = r81j$

Kontrastreduzierungsfaktor:

$c_R = 1.0$

Dreiecks-Helligkeit i^*



ORS19_96a; adaptierte CIELAB-Daten

u^*_d	$L^*=L^*_a$	a^*_a	b^*_a	$C^*_{ab,a}$	$h^*_{ab,a}$
O _{Ma}	48.75	65.07	39.43	76.08	31
Y _{Ma}	90.92	-10.29	87.24	87.85	97
L _{Ma}	52.69	-65.44	20.75	68.65	162
C _{Ma}	59.61	-28.98	-46.22	54.56	238
V _{Ma}	28.39	23.63	-44.13	50.06	298
M _{Ma}	49.58	73.93	-9.56	74.55	353
N _{Ma}	18.89	0.0	0.0	0.0	0
W _{Ma}	96.9	0.0	0.0	0.0	0
O _{Ma}	39.92	58.74	27.99	65.07	25
Y _{Ma}	81.26	-2.89	71.56	71.62	92
L _{Ma}	52.23	-42.42	13.6	44.55	162
V _{Ma}	30.57	1.41	-46.47	46.49	272

Daten für Maximalfarbe (Ma):

$LAB^*LAB^*_{Ma}$: 78 12 73

$LAB^*LCH^*_{Ma}$: 78 74 80

$lab^*olv^*_{Ma}$: 1.0 0.75 0.0

$lab^*rgb^*_{Ma}$: 1.0 0.82 0.0

Dreiecks-Helligkeit i^*

%Umfang

$u^*_{rel} = 89$

%Regularität

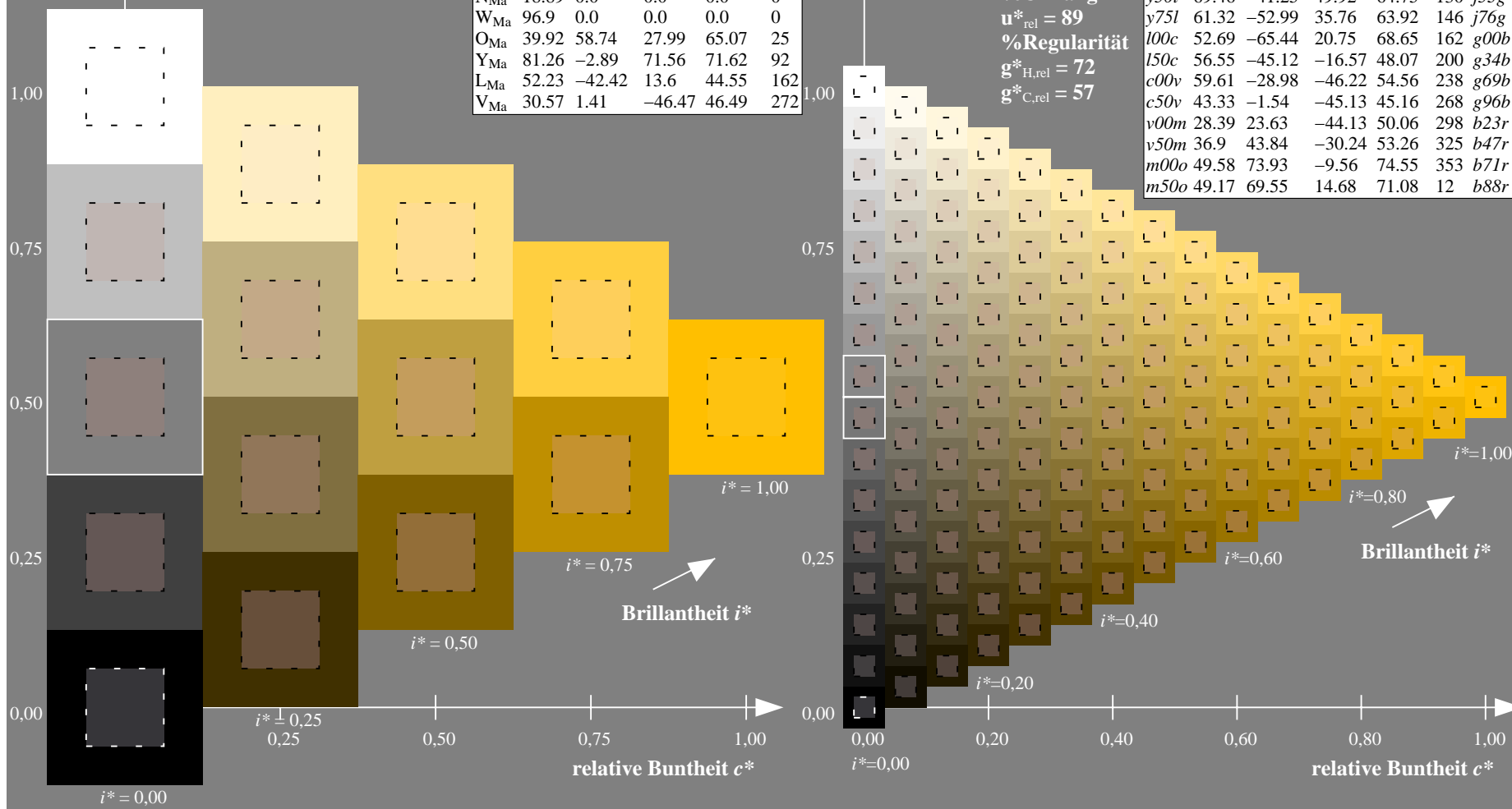
$g^*_{H,rel} = 72$

$g^*_{C,rel} = 57$

ORS19_96a; adaptierte CIELAB-Daten

u^*_d	$L^*=L^*_a$	a^*_a	b^*_a	$C^*_{ab,a}$	$h^*_{ab,a}$	u^*_e
o00y	48.75	65.07	39.43	76.08	31	r08j
o25y	59.04	46.67	51.1	69.21	48	r33j
o50y	68.32	30.09	61.62	68.58	64	r57j
o75y	78.23	12.39	72.85	73.9	80	r81j
y00l	90.92	-10.29	87.24	87.85	97	j06g
y25l	78.57	-28.11	65.75	71.51	113	j29g
y50l	69.46	-41.25	49.92	64.75	130	j53g
y75l	61.32	-52.99	35.76	63.92	146	j76g
l00c	52.69	-65.44	20.75	68.65	162	g00b
l50c	56.55	-45.12	-16.57	48.07	200	g34b
c00v	59.61	-28.98	-46.22	54.56	238	g69b
c50v	43.33	-1.54	-45.13	45.16	268	g96b
v00m	28.39	23.63	-44.13	50.06	298	b23r
v50m	36.9	43.84	-30.24	53.26	325	b47r
m00o	49.58	73.93	-9.56	74.55	353	b71r
m50o	49.17	69.55	14.68	71.08	12	b88r

$u^*_d = o75y$



Ein und Ausgabe: Farbmetrisches Drucker-Reflektiv-System ORS19_96a für relativen CIELAB-Buntton $h^* = lab^*h^* = h_{ab}/360 = 0.269$

Daten für jede Farbe:

lab^*ch^* und lab^*icu^*

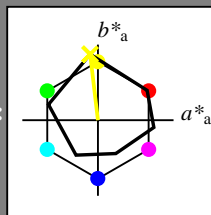
Bunttontexte:

$u^*_d = y00l$ $u^*_e = j06g$

Kontrastreduzierungsfaktor:

$c_R = 1.0$

Dreiecks-Helligkeit i^*



ORS19_96a; adaptierte CIELAB-Daten

u^*_d	$L^*=L^*_a$	a^*_a	b^*_a	$C^*_{ab,a}$	$h^*_{ab,a}$
O _{Ma}	48.75	65.07	39.43	76.08	31
Y _{Ma}	90.92	-10.29	87.24	87.85	97
L _{Ma}	52.69	-65.44	20.75	68.65	162
C _{Ma}	59.61	-28.98	-46.22	54.56	238
V _{Ma}	28.39	23.63	-44.13	50.06	298
M _{Ma}	49.58	73.93	-9.56	74.55	353
N _{Ma}	18.89	0.0	0.0	0.0	0
W _{Ma}	96.9	0.0	0.0	0.0	0
O _{Ma}	39.92	58.74	27.99	65.07	25
Y _{Ma}	81.26	-2.89	71.56	71.62	92
L _{Ma}	52.23	-42.42	13.6	44.55	162
V _{Ma}	30.57	1.41	-46.47	46.49	272

Daten für Maximalfarbe (Ma):

$LAB^*LAB^*_{Ma}$: 91 -10 87

$LAB^*LCH^*_{Ma}$: 91 88 96

$lab^*olv^*_{Ma}$: 1.0 1.0 0.0

$lab^*rgb^*_{Ma}$: 0.94 1.0 0.0

Dreiecks-Helligkeit i^*

%Umfang

$u^*_{rel} = 89$

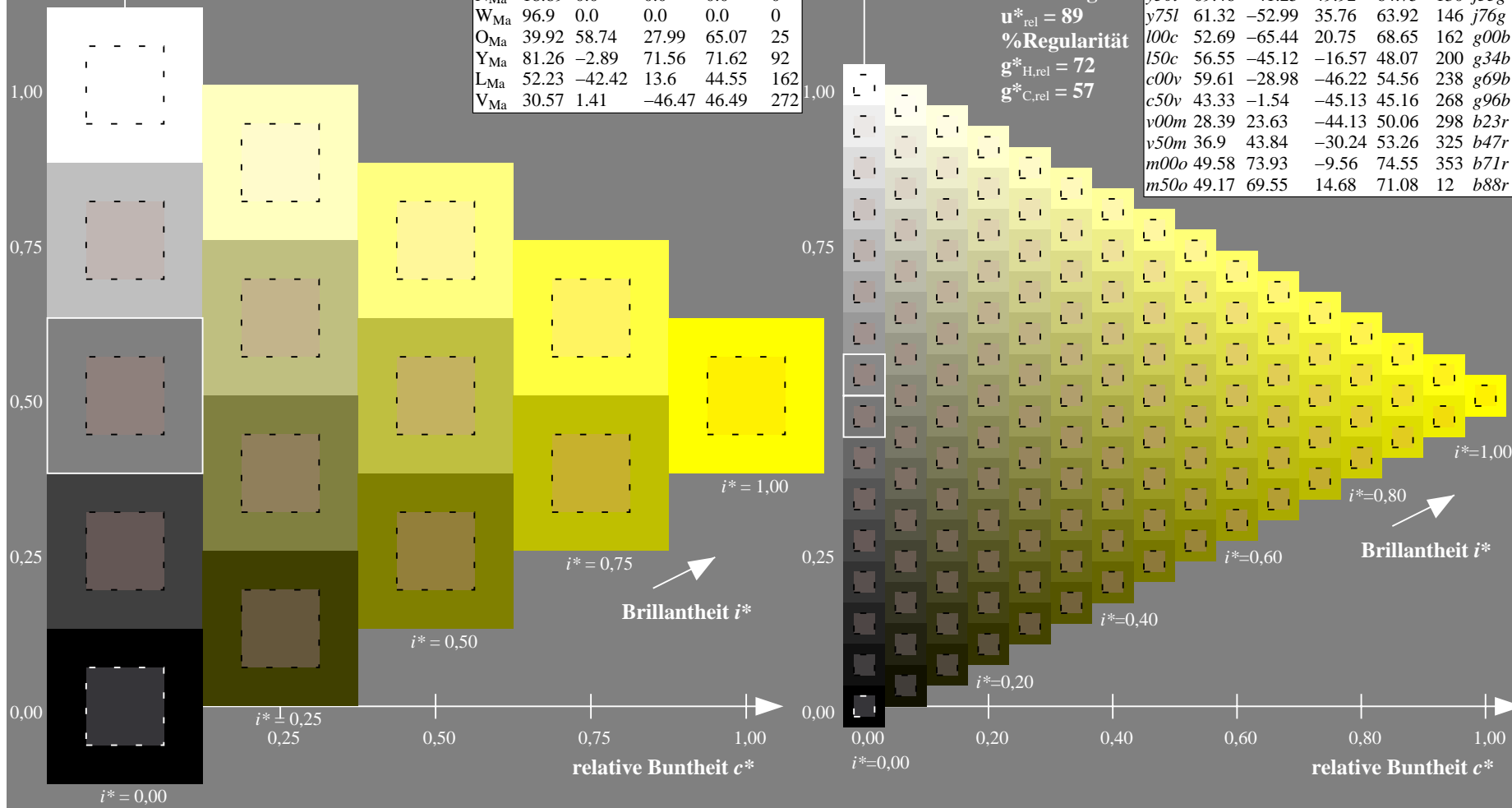
%Regularität

$g^*_{H,rel} = 72$

$g^*_{C,rel} = 57$

ORS19_96a; adaptierte CIELAB-Daten

u^*_d	$L^*=L^*_a$	a^*_a	b^*_a	$C^*_{ab,a}$	$h^*_{ab,a}$	u^*_e
o00y	48.75	65.07	39.43	76.08	31	r08j
o25y	59.04	46.67	51.1	69.21	48	r33j
o50y	68.32	30.09	61.62	68.58	64	r57j
o75y	78.23	12.39	72.85	73.9	80	r81j
y00l	90.92	-10.29	87.24	87.85	97	j06g
y25l	78.57	-28.11	65.75	71.51	113	j29g
y50l	69.46	-41.25	49.92	64.75	130	j53g
y75l	61.32	-52.99	35.76	63.92	146	j76g
l00c	52.69	-65.44	20.75	68.65	162	g00b
l50c	56.55	-45.12	-16.57	48.07	200	g34b
c00v	59.61	-28.98	-46.22	54.56	238	g69b
c50v	43.33	-1.54	-45.13	45.16	268	g96b
v00m	28.39	23.63	-44.13	50.06	298	b23r
v50m	36.9	43.84	-30.24	53.26	325	b47r
m00o	49.58	73.93	-9.56	74.55	353	b71r
m50o	49.17	69.55	14.68	71.08	12	b88r



Ein und Ausgabe: Farbmetrisches Drucker-Reflektiv-System ORS19_96a für relativen CIELAB-Buntton $h^* = lab^*h^* = h_{ab}/360 = 0.314$

Daten für jede Farbe:

lab^*ch^* und lab^*icu^*

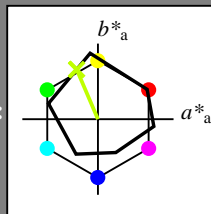
Bunttontexte:

$u^*_d = y25l$ $u^*_e = j29g$

Kontrastreduzierungsfaktor:

$c_R = 1.0$

Dreiecks-Helligkeit i^*



ORS19_96a; adaptierte CIELAB-Daten

u^*_d	$L^*=L^*_a$	a^*_a	b^*_a	$C^*_{ab,a}$	$h^*_{ab,a}$
O _{Ma}	48.75	65.07	39.43	76.08	31
Y _{Ma}	90.92	-10.29	87.24	87.85	97
L _{Ma}	52.69	-65.44	20.75	68.65	162
C _{Ma}	59.61	-28.98	-46.22	54.56	238
V _{Ma}	28.39	23.63	-44.13	50.06	298
M _{Ma}	49.58	73.93	-9.56	74.55	353
N _{Ma}	18.89	0.0	0.0	0.0	0
W _{Ma}	96.9	0.0	0.0	0.0	0
O _{Ma}	39.92	58.74	27.99	65.07	25
Y _{Ma}	81.26	-2.89	71.56	71.62	92
L _{Ma}	52.23	-42.42	13.6	44.55	162
V _{Ma}	30.57	1.41	-46.47	46.49	272

Daten für Maximalfarbe (Ma):

$LAB^*LAB^*_{Ma}$: 79 -28 66

$LAB^*LCH^*_{Ma}$: 79 72 113

$lab^*olv^*_{Ma}$: 0.75 1.0 0.0

$lab^*rgb^*_{Ma}$: 0.7 1.0 0.0

Dreiecks-Helligkeit i^*

%Umfang

$u^*_{rel} = 89$

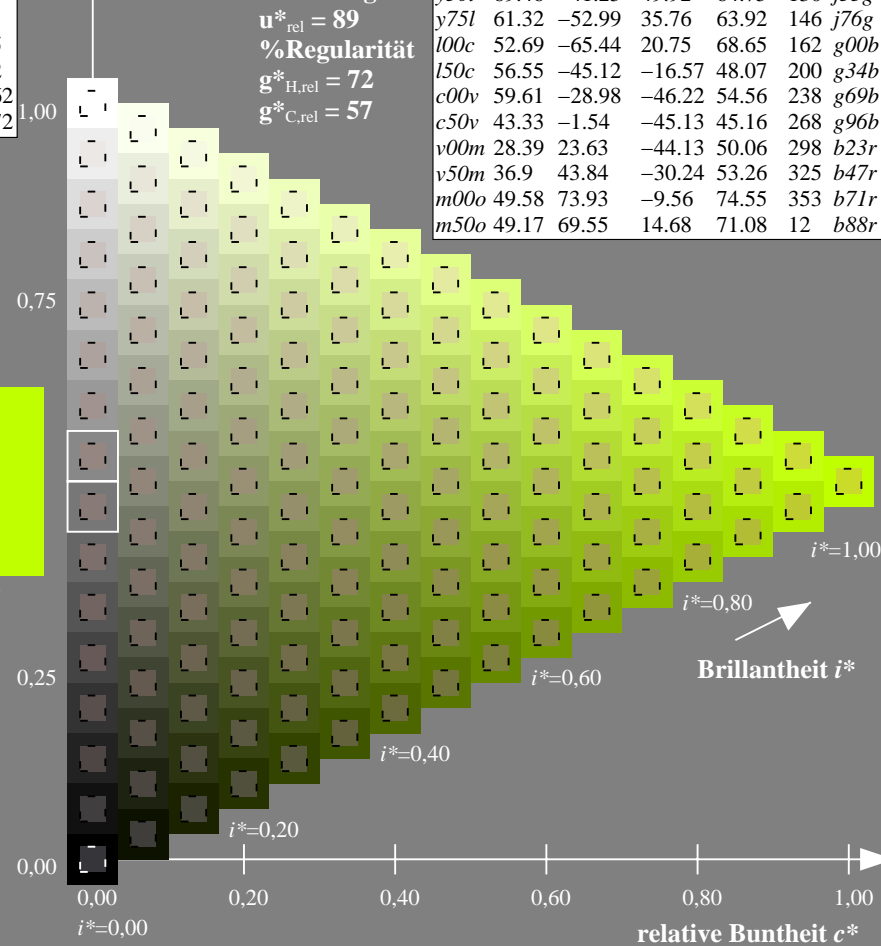
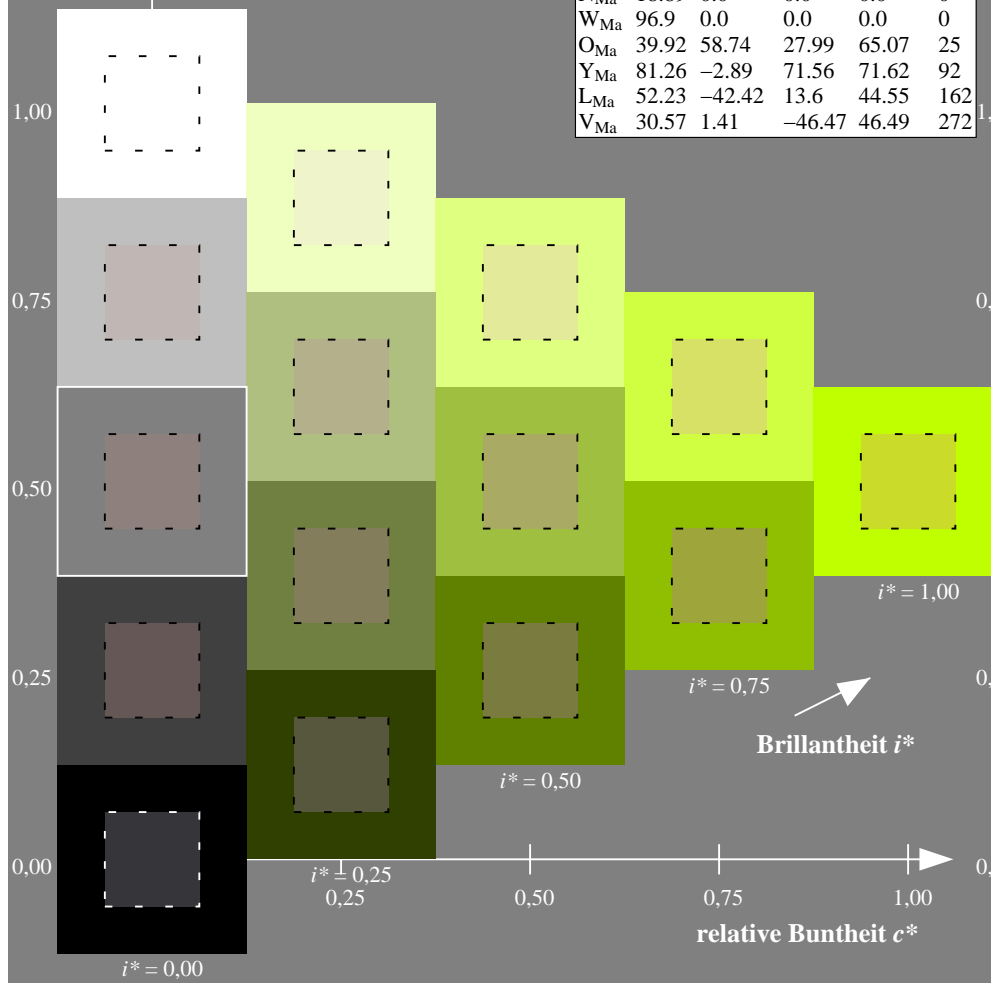
%Regularität

$g^*_{H,rel} = 72$

$g^*_{C,rel} = 57$

ORS19_96a; adaptierte CIELAB-Daten

u^*_d	$L^*=L^*_a$	a^*_a	b^*_a	$C^*_{ab,a}$	$h^*_{ab,a}$	u^*_e
o00y	48.75	65.07	39.43	76.08	31	r08j
o25y	59.04	46.67	51.1	69.21	48	r33j
o50y	68.32	30.09	61.62	68.58	64	r57j
o75y	78.23	12.39	72.85	73.9	80	r81j
y00l	90.92	-10.29	87.24	87.85	97	j06g
y25l	78.57	-28.11	65.75	71.51	113	j29g
y50l	69.46	-41.25	49.92	64.75	130	j53g
y75l	61.32	-52.99	35.76	63.92	146	j76g
l00c	52.69	-65.44	20.75	68.65	162	g00b
l50c	56.55	-45.12	-16.57	48.07	200	g34b
c00v	59.61	-28.98	-46.22	54.56	238	g69b
c50v	43.33	-1.54	-45.13	45.16	268	g96b
v00m	28.39	23.63	-44.13	50.06	298	b23r
v50m	36.9	43.84	-30.24	53.26	325	b47r
m00o	49.58	73.93	-9.56	74.55	353	b71r
m50o	49.17	69.55	14.68	71.08	12	b88r



Ein und Ausgabe: Farbmetrisches Drucker-Reflektiv-System ORS19_96a für relativen CIELAB-Buntton $h^* = lab^*h^* = h_{ab}/360 = 0.36$

Daten für jede Farbe:

lab^*ch^* und lab^*icu^*

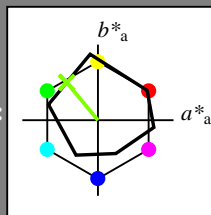
Bunttontexte:

$u^*_d = y50l$ $u^*_e = j53g$

Kontrastreduzierungsfaktor:

$c_R = 1.0$

Dreiecks-Helligkeit i^*



ORS19_96a; adaptierte CIELAB-Daten

u^*_d	$L^*=L^*_a$	a^*_a	b^*_a	$C^*_{ab,a}$	$h^*_{ab,a}$
O _{Ma}	48.75	65.07	39.43	76.08	31
Y _{Ma}	90.92	-10.29	87.24	87.85	97
L _{Ma}	52.69	-65.44	20.75	68.65	162
C _{Ma}	59.61	-28.98	-46.22	54.56	238
V _{Ma}	28.39	23.63	-44.13	50.06	298
M _{Ma}	49.58	73.93	-9.56	74.55	353
N _{Ma}	18.89	0.0	0.0	0.0	0
W _{Ma}	96.9	0.0	0.0	0.0	0
O _{Ma}	39.92	58.74	27.99	65.07	25
Y _{Ma}	81.26	-2.89	71.56	71.62	92
L _{Ma}	52.23	-42.42	13.6	44.55	162
V _{Ma}	30.57	1.41	-46.47	46.49	272

Daten für Maximalfarbe (Ma):

$LAB^*LAB^*_{Ma}$: 69 -41 50

$LAB^*LCH^*_{Ma}$: 69 65 129

$lab^*olv^*_{Ma}$: 0.5 1.0 0.0

$lab^*rgb^*_{Ma}$: 0.47 1.0 0.0

Dreiecks-Helligkeit i^*

%Umfang

$u^*_{rel} = 89$

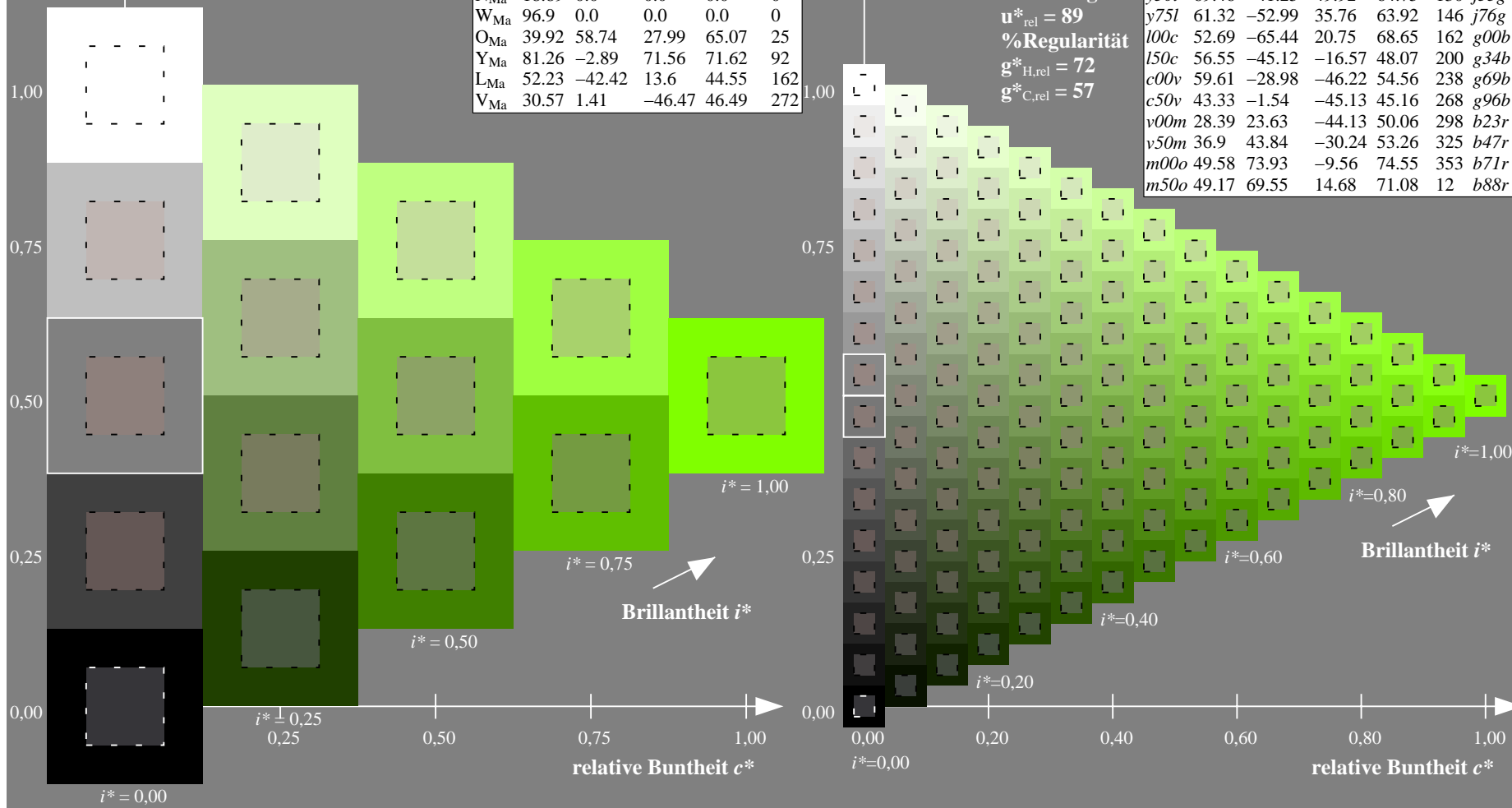
%Regularität

$g^*_{H,rel} = 72$

$g^*_{C,rel} = 57$

ORS19_96a; adaptierte CIELAB-Daten

u^*_d	$L^*=L^*_a$	a^*_a	b^*_a	$C^*_{ab,a}$	$h^*_{ab,a}$	u^*_e
o00y	48.75	65.07	39.43	76.08	31	r08j
o25y	59.04	46.67	51.1	69.21	48	r33j
o50y	68.32	30.09	61.62	68.58	64	r57j
o75y	78.23	12.39	72.85	73.9	80	r81j
y00l	90.92	-10.29	87.24	87.85	97	j06g
y25l	78.57	-28.11	65.75	71.51	113	j29g
y50l	69.46	-41.25	49.92	64.75	130	j53g
y75l	61.32	-52.99	35.76	63.92	146	j76g
l00c	52.69	-65.44	20.75	68.65	162	g00b
l50c	56.55	-45.12	-16.57	48.07	200	g34b
c00v	59.61	-28.98	-46.22	54.56	238	g69b
c50v	43.33	-1.54	-45.13	45.16	268	g96b
v00m	28.39	23.63	-44.13	50.06	298	b23r
v50m	36.9	43.84	-30.24	53.26	325	b47r
m00o	49.58	73.93	-9.56	74.55	353	b71r
m50o	49.17	69.55	14.68	71.08	12	b88r



Ein und Ausgabe: Farbmetrisches Drucker-Reflektiv-System ORS19_96a für relativen CIELAB-Buntton $h^* = lab^*h^* = h_{ab}/360 = 0.406$

Daten für jede Farbe:

lab^*ch^* und lab^*icu^*

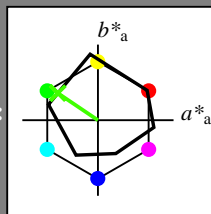
Bunttontexte:

$u^*_d = y75l$ $u^*_e = j76g$

Kontrastreduzierungsfaktor:

$c_R = 1.0$

Dreiecks-Helligkeit i^*



ORS19_96a; adaptierte CIELAB-Daten

u^*_d	$L^*=L^*_a$	a^*_a	b^*_a	$C^*_{ab,a}$	$h^*_{ab,a}$
O _{Ma}	48.75	65.07	39.43	76.08	31
Y _{Ma}	90.92	-10.29	87.24	87.85	97
L _{Ma}	52.69	-65.44	20.75	68.65	162
C _{Ma}	59.61	-28.98	-46.22	54.56	238
V _{Ma}	28.39	23.63	-44.13	50.06	298
M _{Ma}	49.58	73.93	-9.56	74.55	353
N _{Ma}	18.89	0.0	0.0	0.0	0
W _{Ma}	96.9	0.0	0.0	0.0	0
O _{Ma}	39.92	58.74	27.99	65.07	25
Y _{Ma}	81.26	-2.89	71.56	71.62	92
L _{Ma}	52.23	-42.42	13.6	44.55	162
V _{Ma}	30.57	1.41	-46.47	46.49	272

Daten für Maximalfarbe (Ma):

$LAB^*LAB^*_{Ma}$: 61 -53 36

$LAB^*LCH^*_{Ma}$: 61 64 145

$lab^*olv^*_{Ma}$: 0.25 1.0 0.0

$lab^*rgb^*_{Ma}$: 0.23 1.0 0.0

Dreiecks-Helligkeit i^*

%Umfang

$u^*_{rel} = 89$

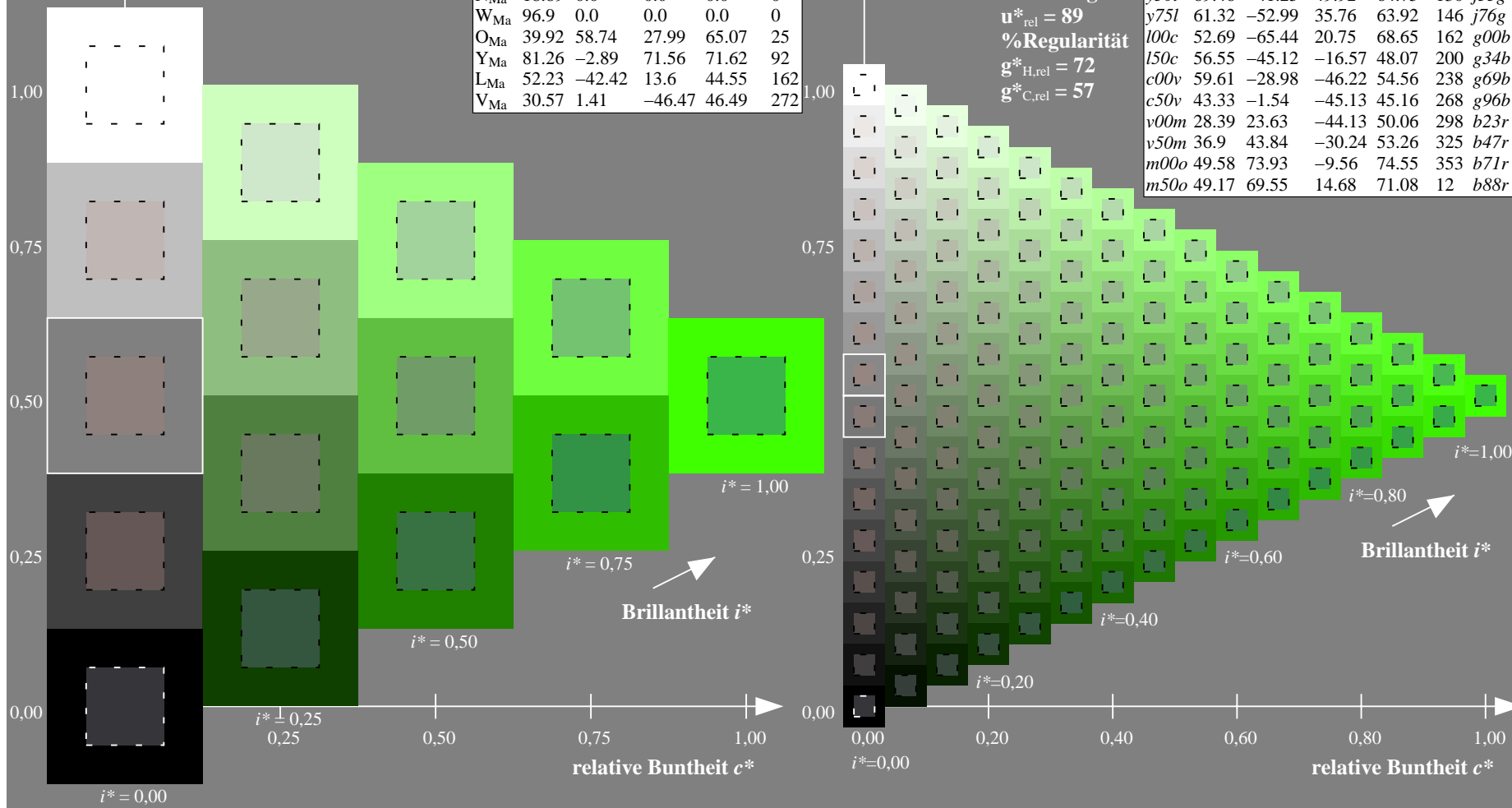
%Regularität

$g^*_{H,rel} = 72$

$g^*_{C,rel} = 57$

ORS19_96a; adaptierte CIELAB-Daten

u^*_d	$L^*=L^*_a$	a^*_a	b^*_a	$C^*_{ab,a}$	$h^*_{ab,a}$	u^*_e
o00y	48.75	65.07	39.43	76.08	31	r08j
o25y	59.04	46.67	51.1	69.21	48	r33j
o50y	68.32	30.09	61.62	68.58	64	r57j
o75y	78.23	12.39	72.85	73.9	80	r81j
y00l	90.92	-10.29	87.24	87.85	97	j06g
y25l	78.57	-28.11	65.75	71.51	113	j29g
y50l	69.46	-41.25	49.92	64.75	130	j53g
y75l	61.32	-52.99	35.76	63.92	146	j76g
l00c	52.69	-65.44	20.75	68.65	162	g00b
l50c	56.55	-45.12	-16.57	48.07	200	g34b
c00v	59.61	-28.98	-46.22	54.56	238	g69b
c50v	43.33	-1.54	-45.13	45.16	268	g96b
v00m	28.39	23.63	-44.13	50.06	298	b23r
v50m	36.9	43.84	-30.24	53.26	325	b47r
m00o	49.58	73.93	-9.56	74.55	353	b71r
m50o	49.17	69.55	14.68	71.08	12	b88r



Ein und Ausgabe: Farbmetrisches Drucker-Reflektiv-System ORS19_96a für relativen CIELAB-Buntton $h^* = lab^*h^* = h_{ab}/360 = 0.451$

Daten für jede Farbe:

lab^*ch^* und lab^*icu^*

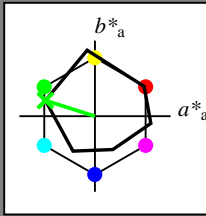
Bunttontexte:

$u^*_d = 100c$ $u^*_e = g00b$

Kontrastreduzierungsfaktor:

$c_R = 1.0$

Dreiecks-Helligkeit i^*



ORS19_96a; adaptierte CIELAB-Daten

u^*_d	$L^*=L^*_a$	a^*_a	b^*_a	$C^*_{ab,a}$	$h^*_{ab,a}$
O _{Ma}	48.75	65.07	39.43	76.08	31
Y _{Ma}	90.92	-10.29	87.24	87.85	97
L _{Ma}	52.69	-65.44	20.75	68.65	162
C _{Ma}	59.61	-28.98	-46.22	54.56	238
V _{Ma}	28.39	23.63	-44.13	50.06	298
M _{Ma}	49.58	73.93	-9.56	74.55	353
N _{Ma}	18.89	0.0	0.0	0.0	0
W _{Ma}	96.9	0.0	0.0	0.0	0
O _{Ma}	39.92	58.74	27.99	65.07	25
Y _{Ma}	81.26	-2.89	71.56	71.62	92
L _{Ma}	52.23	-42.42	13.6	44.55	162
V _{Ma}	30.57	1.41	-46.47	46.49	272

Daten für Maximalfarbe (Ma):

$LAB^*LAB^*_{Ma}$: 53 -65 21

$LAB^*LCH^*_{Ma}$: 53 69 162

$lab^*olv^*_{Ma}$: 0.0 1.0 0.0

$lab^*rgb^*_{Ma}$: 0.0 1.0 0.0

Dreiecks-Helligkeit i^*

%Umfang

$u^*_{rel} = 89$

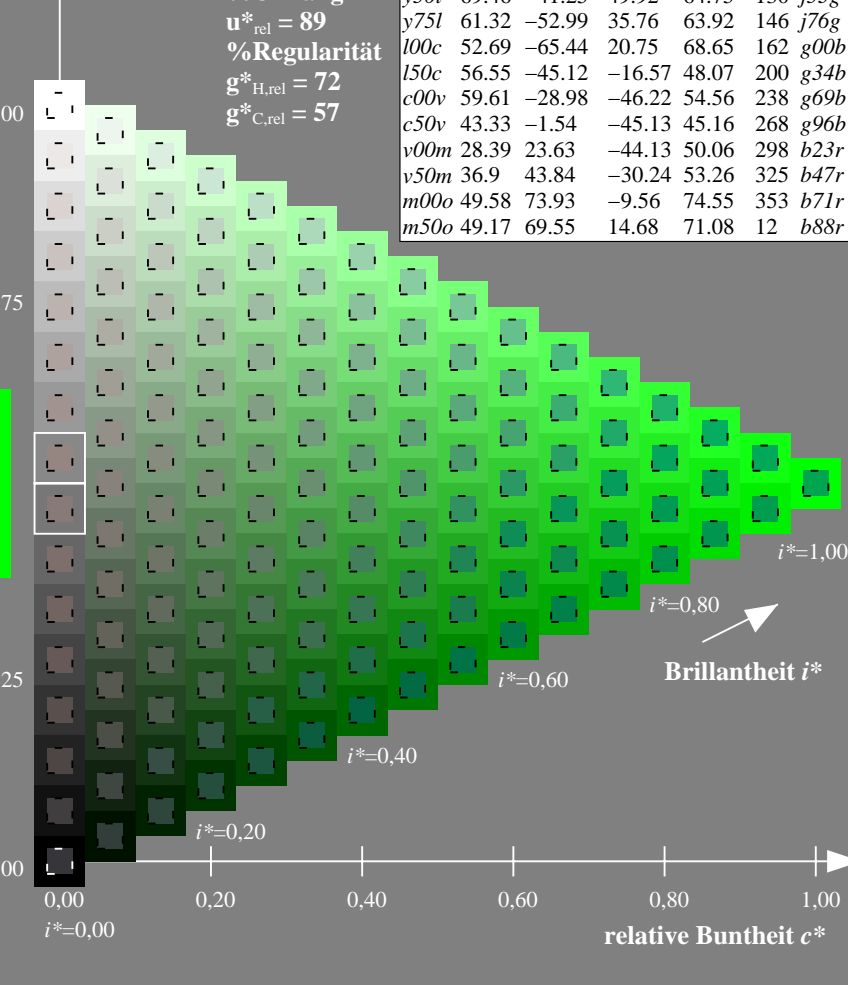
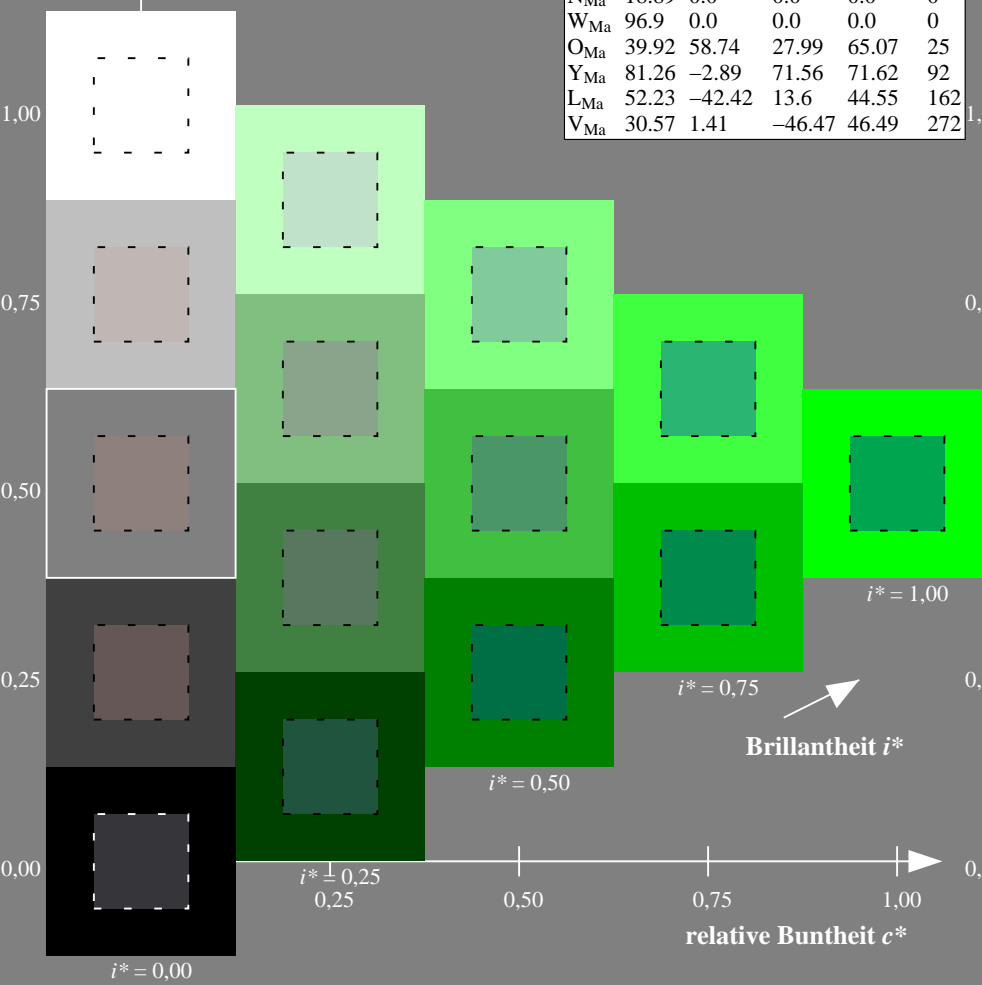
%Regularität

$g^*_{H,rel} = 72$

$g^*_{C,rel} = 57$

ORS19_96a; adaptierte CIELAB-Daten

u^*_d	$L^*=L^*_a$	a^*_a	b^*_a	$C^*_{ab,a}$	$h^*_{ab,a}$	u^*_e
o00y	48.75	65.07	39.43	76.08	31	r08j
o25y	59.04	46.67	51.1	69.21	48	r33j
o50y	68.32	30.09	61.62	68.58	64	r57j
o75y	78.23	12.39	72.85	73.9	80	r81j
y00l	90.92	-10.29	87.24	87.85	97	j06g
y25l	78.57	-28.11	65.75	71.51	113	j29g
y50l	69.46	-41.25	49.92	64.75	130	j53g
y75l	61.32	-52.99	35.76	63.92	146	j76g
l00c	52.69	-65.44	20.75	68.65	162	g00b
l50c	56.55	-45.12	-16.57	48.07	200	g34b
c00v	59.61	-28.98	-46.22	54.56	238	g69b
c50v	43.33	-1.54	-45.13	45.16	268	g96b
v00m	28.39	23.63	-44.13	50.06	298	b23r
v50m	36.9	43.84	-30.24	53.26	325	b47r
m00o	49.58	73.93	-9.56	74.55	353	b71r
m50o	49.17	69.55	14.68	71.08	12	b88r



Ein und Ausgabe: Farbmetrisches Drucker-Reflektiv-System ORS19_96a für relativen CIELAB-Buntton $h^* = lab^*h^* = h_{ab}/360 = 0.556$

Daten für jede Farbe:

lab^*tch^* und lab^*icu^*

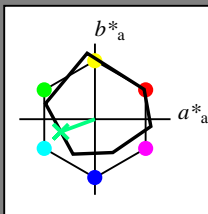
Bunttontexte:

$u^*_d = l50c$ $u^*_e = g34b$

Kontrastreduzierungsfaktor:

$c_R = 1.0$

Dreiecks-Helligkeit i^*



ORS19_96a; adaptierte CIELAB-Daten

u^*_d	$L^*=L^*_a$	a^*_a	b^*_a	$C^*_{ab,a}$	$h^*_{ab,a}$
O _{Ma}	48.75	65.07	39.43	76.08	31
Y _{Ma}	90.92	-10.29	87.24	87.85	97
L _{Ma}	52.69	-65.44	20.75	68.65	162
C _{Ma}	59.61	-28.98	-46.22	54.56	238
V _{Ma}	28.39	23.63	-44.13	50.06	298
M _{Ma}	49.58	73.93	-9.56	74.55	353
N _{Ma}	18.89	0.0	0.0	0.0	0
W _{Ma}	96.9	0.0	0.0	0.0	0
O _{Ma}	39.92	58.74	27.99	65.07	25
Y _{Ma}	81.26	-2.89	71.56	71.62	92
L _{Ma}	52.23	-42.42	13.6	44.55	162
V _{Ma}	30.57	1.41	-46.47	46.49	272

Daten für Maximalfarbe (Ma):

$LAB^*LAB^*_{Ma}$: 57 -45 -17

$LAB^*LCH^*_{Ma}$: 57 48 200

$lab^*olv^*_{Ma}$: 0.0 1.0 0.5

$lab^*rgb^*_{Ma}$: 0.0 1.0 0.69

Dreiecks-Helligkeit i^*

%Umfang

$u^*_{rel} = 89$

%Regularität

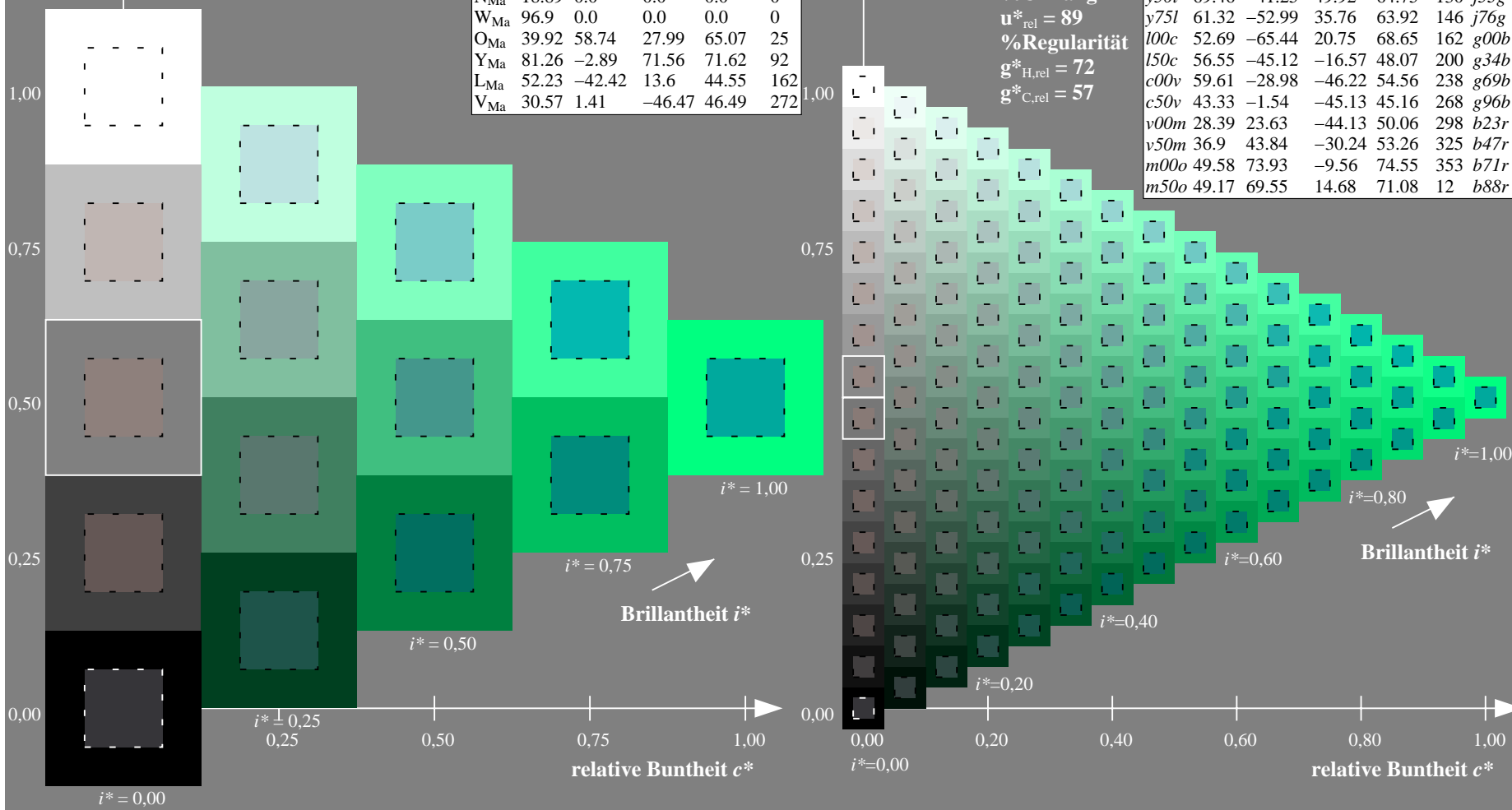
$g^*_{H,rel} = 72$

$g^*_{C,rel} = 57$

ORS19_96a; adaptierte CIELAB-Daten

u^*_d	$L^*=L^*_a$	a^*_a	b^*_a	$C^*_{ab,a}$	$h^*_{ab,a}$	u^*_e
o00y	48.75	65.07	39.43	76.08	31	r08j
o25y	59.04	46.67	51.1	69.21	48	r33j
o50y	68.32	30.09	61.62	68.58	64	r57j
o75y	78.23	12.39	72.85	73.9	80	r81j
y00l	90.92	-10.29	87.24	87.85	97	j06g
y25l	78.57	-28.11	65.75	71.51	113	j29g
y50l	69.46	-41.25	49.92	64.75	130	j53g
y75l	61.32	-52.99	35.76	63.92	146	j76g
l00c	52.69	-65.44	20.75	68.65	162	g00b
l50c	56.55	-45.12	-16.57	48.07	200	g34b
c00v	59.61	-28.98	-46.22	54.56	238	g69b
c50v	43.33	-1.54	-45.13	45.16	268	g96b
v00m	28.39	23.63	-44.13	50.06	298	b23r
v50m	36.9	43.84	-30.24	53.26	325	b47r
m00o	49.58	73.93	-9.56	74.55	353	b71r
m50o	49.17	69.55	14.68	71.08	12	b88r

$u^*_d = l50c$



Ein und Ausgabe: Farbmétrisches Drucker-Reflektiv-System ORS19_96a für relativen CIELAB-Buntton $h^* = lab^*h^* = h_{ab}/360 = 0.661$

Daten für jede Farbe:

lab^*ch^* und lab^*icu^*

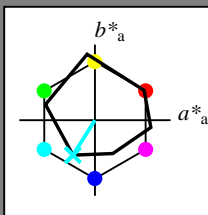
Bunttontexte:

$u^*_d = c00v$ $u^*_e = g69b$

Kontrastreduzierungsfaktor:

$c_R = 1.0$

Dreiecks-Helligkeit i^*



ORS19_96a; adaptierte CIELAB-Daten

u^*_d	$L^*=L^*_a$	a^*_a	b^*_a	$C^*_{ab,a}$	$h^*_{ab,a}$
O _{Ma}	48.75	65.07	39.43	76.08	31
Y _{Ma}	90.92	-10.29	87.24	87.85	97
L _{Ma}	52.69	-65.44	20.75	68.65	162
C _{Ma}	59.61	-28.98	-46.22	54.56	238
V _{Ma}	28.39	23.63	-44.13	50.06	298
M _{Ma}	49.58	73.93	-9.56	74.55	353
N _{Ma}	18.89	0.0	0.0	0.0	0
W _{Ma}	96.9	0.0	0.0	0.0	0
O _{Ma}	39.92	58.74	27.99	65.07	25
Y _{Ma}	81.26	-2.89	71.56	71.62	92
L _{Ma}	52.23	-42.42	13.6	44.55	162
V _{Ma}	30.57	1.41	-46.47	46.49	272

Daten für Maximalfarbe (Ma):

$LAB^*LAB^*_{Ma}$: 60 -29 -46

$LAB^*LCH^*_{Ma}$: 60 55 237

$lab^*olv^*_{Ma}$: 0.0 1.0 1.0

$lab^*rgb^*_{Ma}$: 0.0 0.62 1.0

Dreiecks-Helligkeit i^*

%Umfang

$u^*_{rel} = 89$

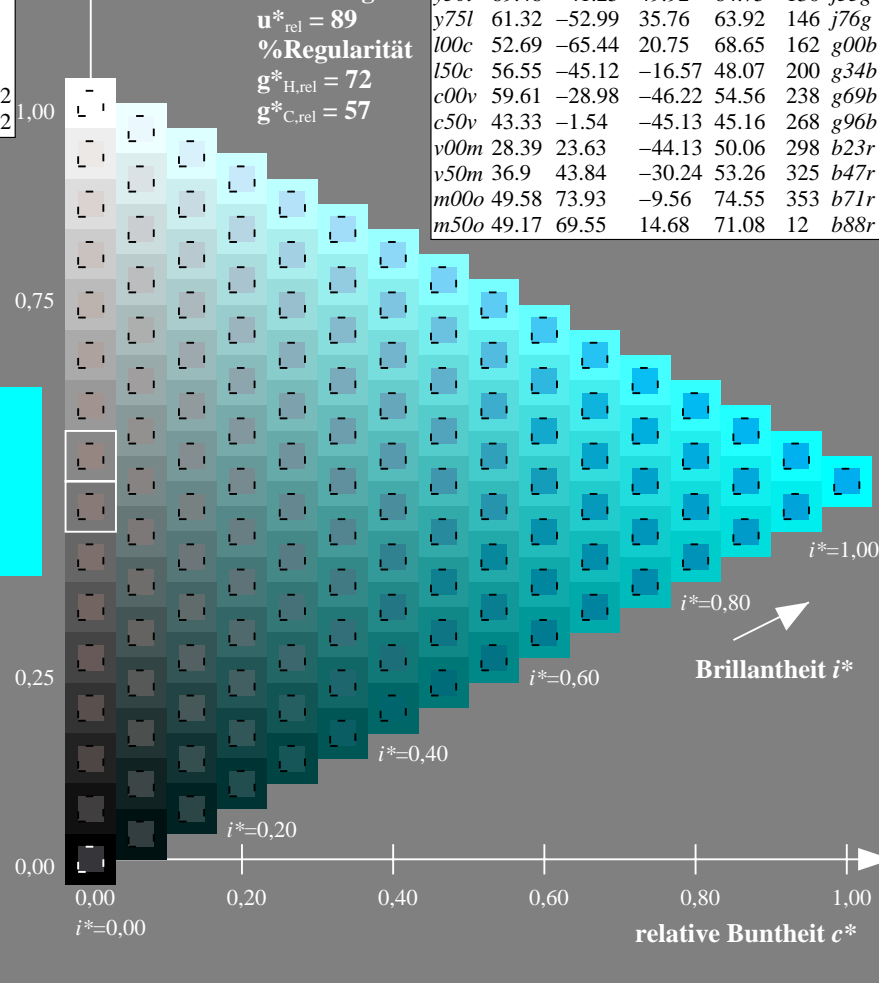
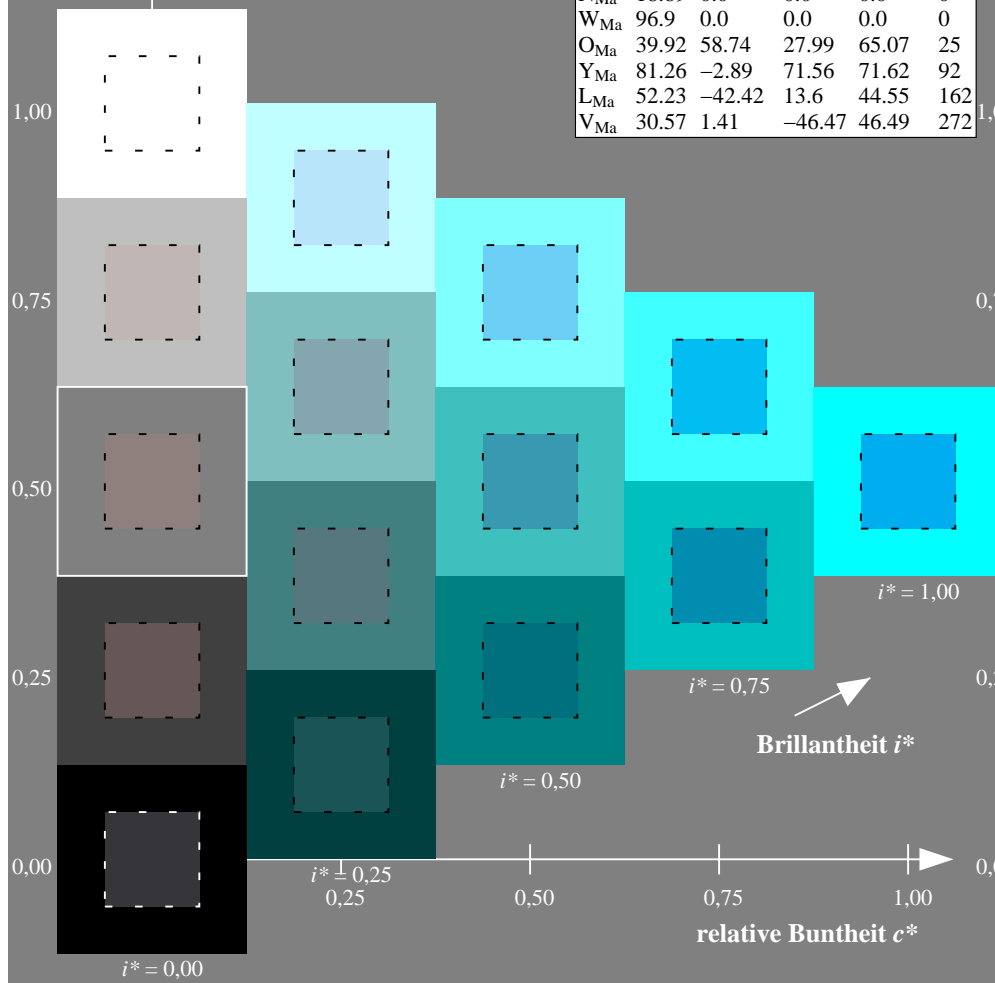
%Regularität

$g^*_{H,rel} = 72$

$g^*_{C,rel} = 57$

ORS19_96a; adaptierte CIELAB-Daten

u^*_d	$L^*=L^*_a$	a^*_a	b^*_a	$C^*_{ab,a}$	$h^*_{ab,a}$	u^*_e
o00y	48.75	65.07	39.43	76.08	31	r08j
o25y	59.04	46.67	51.1	69.21	48	r33j
o50y	68.32	30.09	61.62	68.58	64	r57j
o75y	78.23	12.39	72.85	73.9	80	r81j
y00l	90.92	-10.29	87.24	87.85	97	j06g
y25l	78.57	-28.11	65.75	71.51	113	j29g
y50l	69.46	-41.25	49.92	64.75	130	j53g
y75l	61.32	-52.99	35.76	63.92	146	j76g
l00c	52.69	-65.44	20.75	68.65	162	g00b
l50c	56.55	-45.12	-16.57	48.07	200	g34b
c00v	59.61	-28.98	-46.22	54.56	238	g69b
c50v	43.33	-1.54	-45.13	45.16	268	g96b
v00m	28.39	23.63	-44.13	50.06	298	b23r
v50m	36.9	43.84	-30.24	53.26	325	b47r
m00o	49.58	73.93	-9.56	74.55	353	b71r
m50o	49.17	69.55	14.68	71.08	12	b88r



Ein und Ausgabe: Farbmetrisches Drucker-Reflektiv-System ORS19_96a für relativen CIELAB-Buntton $h^* = lab^*h^* = h_{ab}/360 = 0.745$

Daten für jede Farbe:

lab^*ch^* und lab^*icu^*

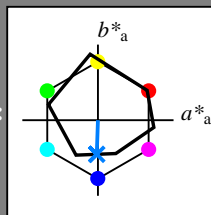
Bunttontexte:

$u^*_d = c50v$ $u^*_e = g96b$

Kontrastreduzierungsfaktor:

$c_R = 1.0$

Dreiecks-Helligkeit i^*



ORS19_96a; adaptierte CIELAB-Daten

u^*_d	$L^*=L^*_a$	a^*_a	b^*_a	$C^*_{ab,a}$	$h^*_{ab,a}$
O _{Ma}	48.75	65.07	39.43	76.08	31
Y _{Ma}	90.92	-10.29	87.24	87.85	97
L _{Ma}	52.69	-65.44	20.75	68.65	162
C _{Ma}	59.61	-28.98	-46.22	54.56	238
V _{Ma}	28.39	23.63	-44.13	50.06	298
M _{Ma}	49.58	73.93	-9.56	74.55	353
N _{Ma}	18.89	0.0	0.0	0.0	0
W _{Ma}	96.9	0.0	0.0	0.0	0
O _{Ma}	39.92	58.74	27.99	65.07	25
Y _{Ma}	81.26	-2.89	71.56	71.62	92
L _{Ma}	52.23	-42.42	13.6	44.55	162
V _{Ma}	30.57	1.41	-46.47	46.49	272

Daten für Maximalfarbe (Ma):

$LAB^*LAB^*_{Ma}$: 43 -2 -45

$LAB^*LCH^*_{Ma}$: 43 45 268

$lab^*olv^*_{Ma}$: 0.0 0.5 1.0

$lab^*rgb^*_{Ma}$: 0.0 0.07 1.0

Dreiecks-Helligkeit i^*

%Umfang

$u^*_{rel} = 89$

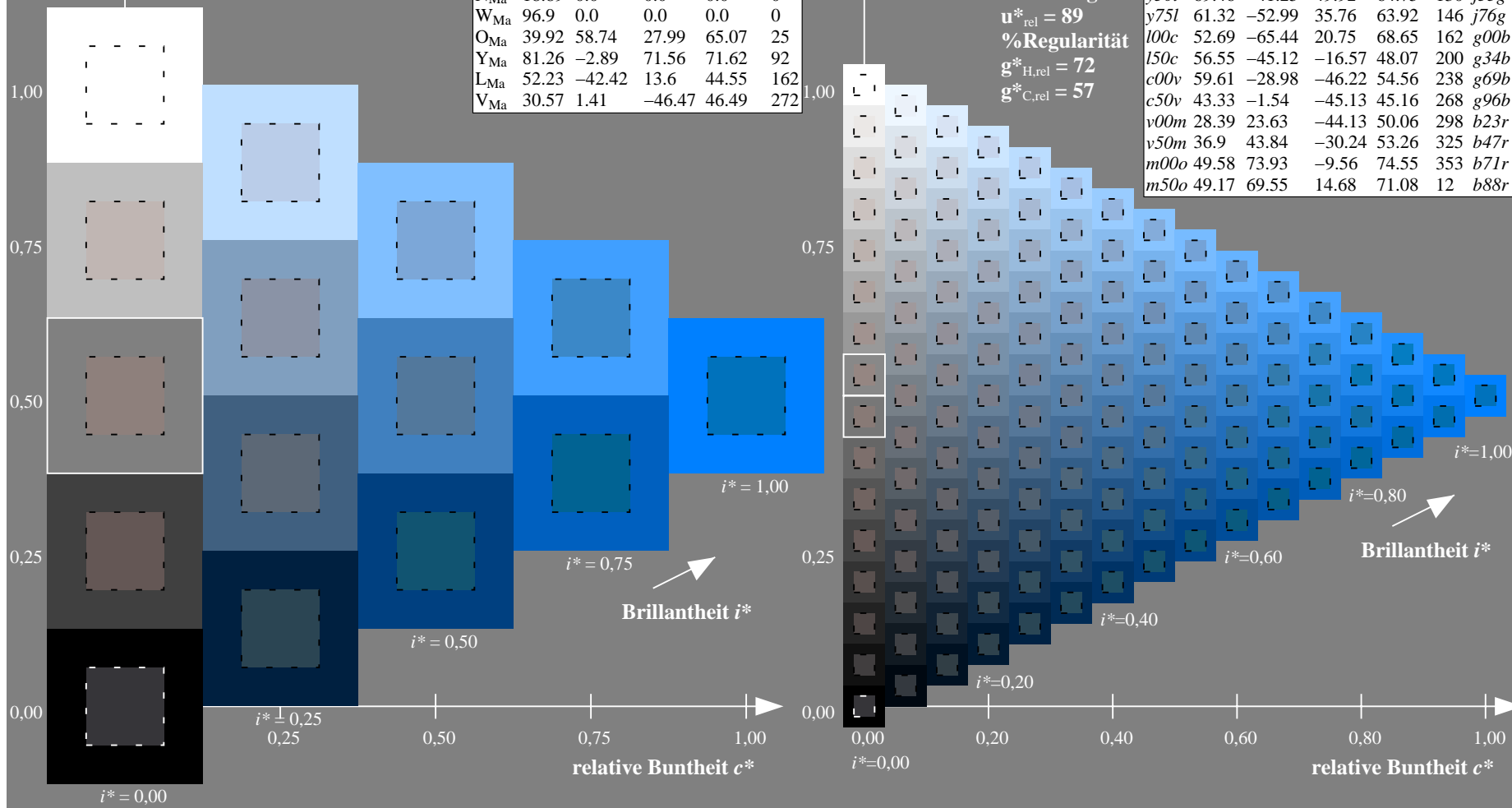
%Regularität

$g^*_{H,rel} = 72$

$g^*_{C,rel} = 57$

ORS19_96a; adaptierte CIELAB-Daten

u^*_d	$L^*=L^*_a$	a^*_a	b^*_a	$C^*_{ab,a}$	$h^*_{ab,a}$	u^*_e
<i>o00y</i>	48.75	65.07	39.43	76.08	31	<i>r08j</i>
<i>o25y</i>	59.04	46.67	51.1	69.21	48	<i>r33j</i>
<i>o50y</i>	68.32	30.09	61.62	68.58	64	<i>r57j</i>
<i>o75y</i>	78.23	12.39	72.85	73.9	80	<i>r81j</i>
<i>y00l</i>	90.92	-10.29	87.24	87.85	97	<i>j06g</i>
<i>y25l</i>	78.57	-28.11	65.75	71.51	113	<i>j29g</i>
<i>y50l</i>	69.46	-41.25	49.92	64.75	130	<i>j53g</i>
<i>y75l</i>	61.32	-52.99	35.76	63.92	146	<i>j76g</i>
<i>l00c</i>	52.69	-65.44	20.75	68.65	162	<i>g00b</i>
<i>l50c</i>	56.55	-45.12	-16.57	48.07	200	<i>g34b</i>
<i>c00v</i>	59.61	-28.98	-46.22	54.56	238	<i>g69b</i>
<i>c50v</i>	43.33	-1.54	-45.13	45.16	268	<i>g96b</i>
<i>v00m</i>	28.39	23.63	-44.13	50.06	298	<i>b23r</i>
<i>v50m</i>	36.9	43.84	-30.24	53.26	325	<i>b47r</i>
<i>m00o</i>	49.58	73.93	-9.56	74.55	353	<i>b71r</i>
<i>m50o</i>	49.17	69.55	14.68	71.08	12	<i>b88r</i>



Ein und Ausgabe: Farbmimetrisches Drucker-Reflektiv-System ORS19_96a für relativen CIELAB-Buntton $h^* = lab^*h^* = h_{ab}/360 = 0.828$

Daten für jede Farbe:

lab^*ch^* und lab^*icu^*

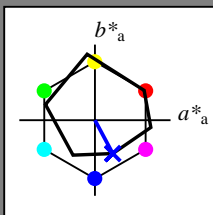
Bunttontexte:

$u^*_d = v00m$ $u^*_e = b23r$

Kontrastreduzierungsfaktor:

$c_R = 1.0$

Dreiecks-Helligkeit i^*



ORS19_96a; adaptierte CIELAB-Daten						
u^*_d	$L^*=L^*_a$	a^*_a	b^*_a	$C^*_{ab,a}$	$h^*_{ab,a}$	
O _{Ma}	48.75	65.07	39.43	76.08	31	
Y _{Ma}	90.92	-10.29	87.24	87.85	97	
L _{Ma}	52.69	-65.44	20.75	68.65	162	
C _{Ma}	59.61	-28.98	-46.22	54.56	238	
V _{Ma}	28.39	23.63	-44.13	50.06	298	
M _{Ma}	49.58	73.93	-9.56	74.55	353	
N _{Ma}	18.89	0.0	0.0	0.0	0	
W _{Ma}	96.9	0.0	0.0	0.0	0	
O _{Ma}	39.92	58.74	27.99	65.07	25	
Y _{Ma}	81.26	-2.89	71.56	71.62	92	
L _{Ma}	52.23	-42.42	13.6	44.55	162	
V _{Ma}	30.57	1.41	-46.47	46.49	272	

Daten für Maximalfarbe (Ma):

LAB^*LAB^*Ma : 28 24 -44

LAB^*LCH^*Ma : 28 50 298

lab^*olv^*Ma : 0.0 0.0 1.0

lab^*rgb^*Ma : 0.46 0.0 1.0

Dreiecks-Helligkeit i^*

%Umfang

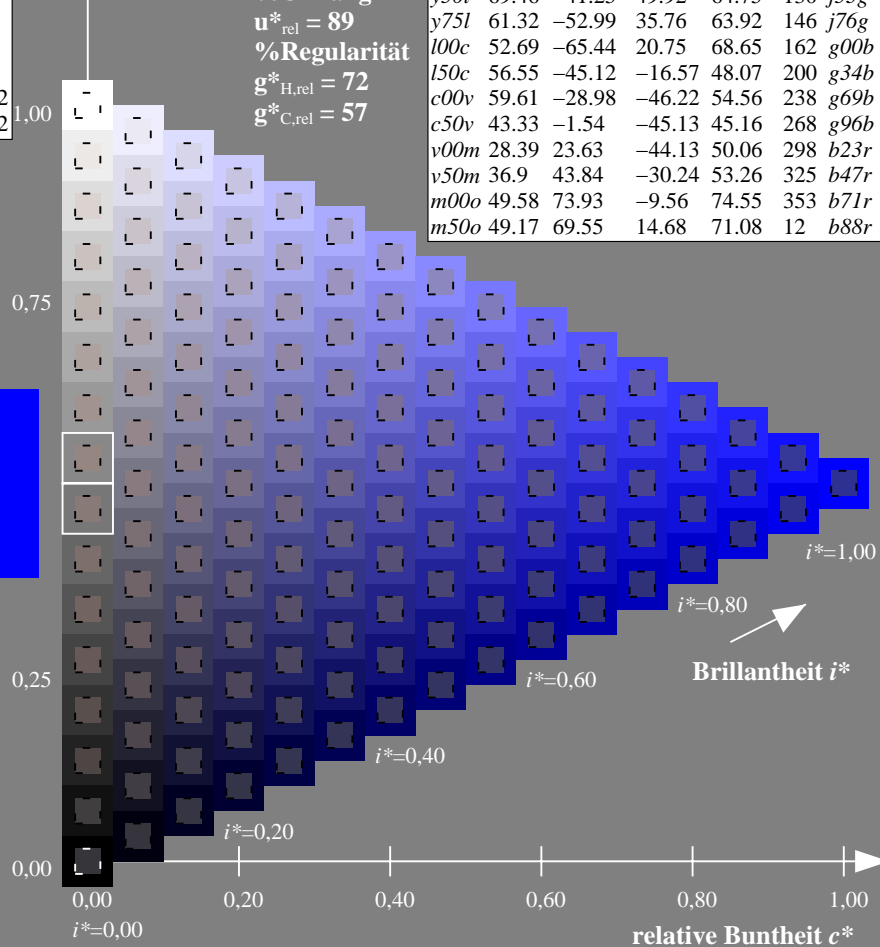
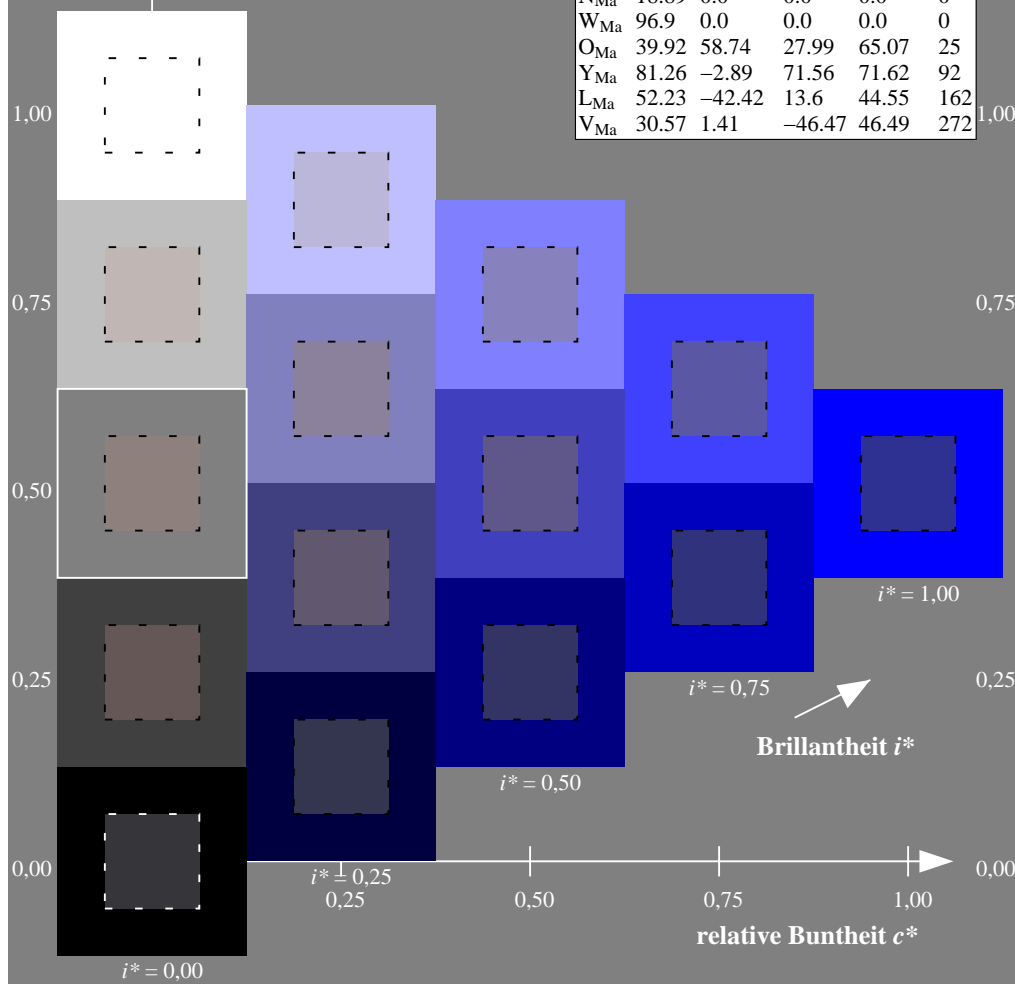
$u^*_{rel} = 89$

%Regularität

$g^*_{H,rel} = 72$

$g^*_{C,rel} = 57$

ORS19_96a; adaptierte CIELAB-Daten						
u^*_d	$L^*=L^*_a$	a^*_a	b^*_a	$C^*_{ab,a}$	$h^*_{ab,a}$	u^*_e
o00y	48.75	65.07	39.43	76.08	31	r08j
o25y	59.04	46.67	51.1	69.21	48	r33j
o50y	68.32	30.09	61.62	68.58	64	r57j
o75y	78.23	12.39	72.85	73.9	80	r81j
y00l	90.92	-10.29	87.24	87.85	97	j06g
y25l	78.57	-28.11	65.75	71.51	113	j29g
y50l	69.46	-41.25	49.92	64.75	130	j53g
y75l	61.32	-52.99	35.76	63.92	146	j76g
l00c	52.69	-65.44	20.75	68.65	162	g00b
l50c	56.55	-45.12	-16.57	48.07	200	g34b
c00v	59.61	-28.98	-46.22	54.56	238	g69b
c50v	43.33	-1.54	-45.13	45.16	268	g96b
v00m	28.39	23.63	-44.13	50.06	298	b23r
v50m	36.9	43.84	-30.24	53.26	325	b47r
m00o	49.58	73.93	-9.56	74.55	353	b71r
m50o	49.17	69.55	14.68	71.08	12	b88r



Ein und Ausgabe: Farbmimetrisches Drucker-Reflektiv-System ORS19_96a für relativen CIELAB-Buntton $h^* = lab^*h^* = h_{ab}/360 = 0.904$

Daten für jede Farbe:

lab^*ch^* und lab^*icu^*

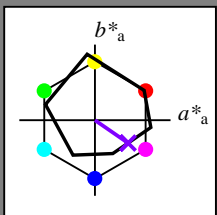
Bunttontexte:

$u^*_d = v50m$ $u^*_e = b47r$

Kontrastreduzierungsfaktor:

$c_R = 1.0$

Dreiecks-Helligkeit i^*



ORS19_96a; adaptierte CIELAB-Daten

u^*_d	$L^*=L^*_a$	a^*_a	b^*_a	$C^*_{ab,a}$	$h^*_{ab,a}$
O _{Ma}	48.75	65.07	39.43	76.08	31
Y _{Ma}	90.92	-10.29	87.24	87.85	97
L _{Ma}	52.69	-65.44	20.75	68.65	162
C _{Ma}	59.61	-28.98	-46.22	54.56	238
V _{Ma}	28.39	23.63	-44.13	50.06	298
M _{Ma}	49.58	73.93	-9.56	74.55	353
N _{Ma}	18.89	0.0	0.0	0.0	0
W _{Ma}	96.9	0.0	0.0	0.0	0
O _{Ma}	39.92	58.74	27.99	65.07	25
Y _{Ma}	81.26	-2.89	71.56	71.62	92
L _{Ma}	52.23	-42.42	13.6	44.55	162
V _{Ma}	30.57	1.41	-46.47	46.49	272

Daten für Maximalfarbe (Ma):

$LAB^*LAB^*_{Ma}$: 37 44 -30

$LAB^*LCH^*_{Ma}$: 37 53 325

$lab^*olv^*_{Ma}$: 0.5 0.0 1.0

$lab^*rgb^*_{Ma}$: 0.94 0.0 1.0

Dreiecks-Helligkeit i^*

%Umfang

$u^*_{rel} = 89$

%Regularität

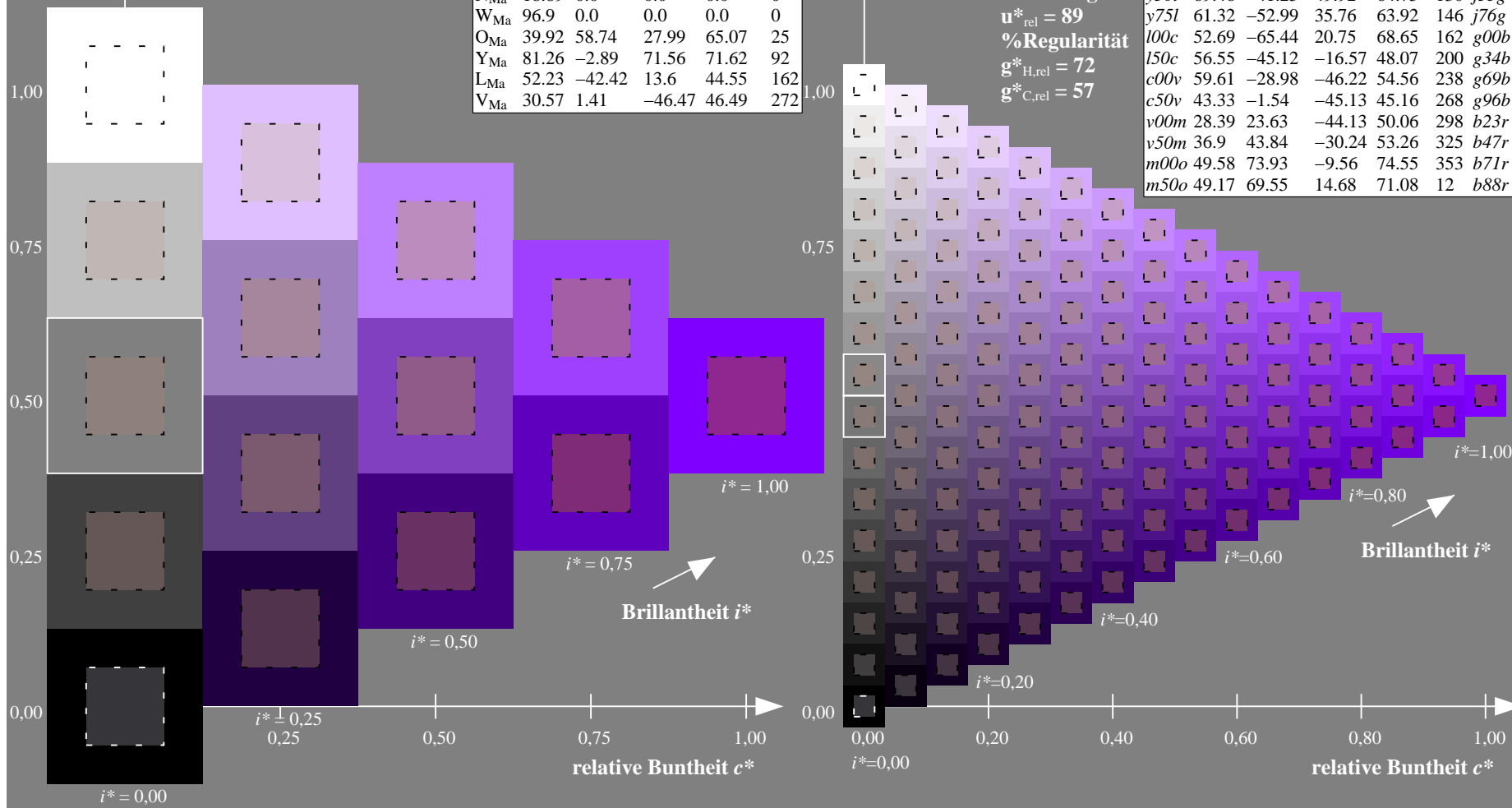
$g^*_{H,rel} = 72$

$g^*_{C,rel} = 57$

ORS19_96a; adaptierte CIELAB-Daten

u^*_d	$L^*=L^*_a$	a^*_a	b^*_a	$C^*_{ab,a}$	$h^*_{ab,a}$	u^*_e
o00y	48.75	65.07	39.43	76.08	31	r08j
o25y	59.04	46.67	51.1	69.21	48	r33j
o50y	68.32	30.09	61.62	68.58	64	r57j
o75y	78.23	12.39	72.85	73.9	80	r81j
y00l	90.92	-10.29	87.24	87.85	97	j06g
y25l	78.57	-28.11	65.75	71.51	113	j29g
y50l	69.46	-41.25	49.92	64.75	130	j53g
y75l	61.32	-52.99	35.76	63.92	146	j76g
l00c	52.69	-65.44	20.75	68.65	162	g00b
l50c	56.55	-45.12	-16.57	48.07	200	g34b
c00v	59.61	-28.98	-46.22	54.56	238	g69b
c50v	43.33	-1.54	-45.13	45.16	268	g96b
v00m	28.39	23.63	-44.13	50.06	298	b23r
v50m	36.9	43.84	-30.24	53.26	325	b47r
m00o	49.58	73.93	-9.56	74.55	353	b71r
m50o	49.17	69.55	14.68	71.08	12	b88r

$u^*_d = v50m$



Ein und Ausgabe: Farbmetrisches Drucker-Reflektiv-System ORS19_96a für relativen CIELAB-Buntton $h^* = lab^*h^* = h_{ab}/360 = 0.98$

Daten für jede Farbe:

lab^*ch^* und lab^*icu^*

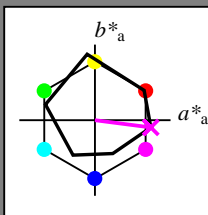
Bunttontexte:

$u^*_d = m00o$ $u^*_e = b71r$

Kontrastreduzierungsfaktor:

$c_R = 1.0$

Dreiecks-Helligkeit i^*



ORS19_96a; adaptierte CIELAB-Daten

u^*_d	$L^*=L^*_a$	a^*_a	b^*_a	$C^*_{ab,a}$	$h^*_{ab,a}$
O _{Ma}	48.75	65.07	39.43	76.08	31
Y _{Ma}	90.92	-10.29	87.24	87.85	97
L _{Ma}	52.69	-65.44	20.75	68.65	162
C _{Ma}	59.61	-28.98	-46.22	54.56	238
V _{Ma}	28.39	23.63	-44.13	50.06	298
M _{Ma}	49.58	73.93	-9.56	74.55	353
N _{Ma}	18.89	0.0	0.0	0.0	0
W _{Ma}	96.9	0.0	0.0	0.0	0
O _{Ma}	39.92	58.74	27.99	65.07	25
Y _{Ma}	81.26	-2.89	71.56	71.62	92
L _{Ma}	52.23	-42.42	13.6	44.55	162
V _{Ma}	30.57	1.41	-46.47	46.49	272

Daten für Maximalfarbe (Ma):

$LAB^*LAB^*_{Ma}$: 50 74 -10

$LAB^*LCH^*_{Ma}$: 50 75 352

$lab^*olv^*_{Ma}$: 1.0 0.0 1.0

$lab^*rgb^*_{Ma}$: 1.0 0.0 0.58

Dreiecks-Helligkeit i^*

%Umfang

$u^*_{rel} = 89$

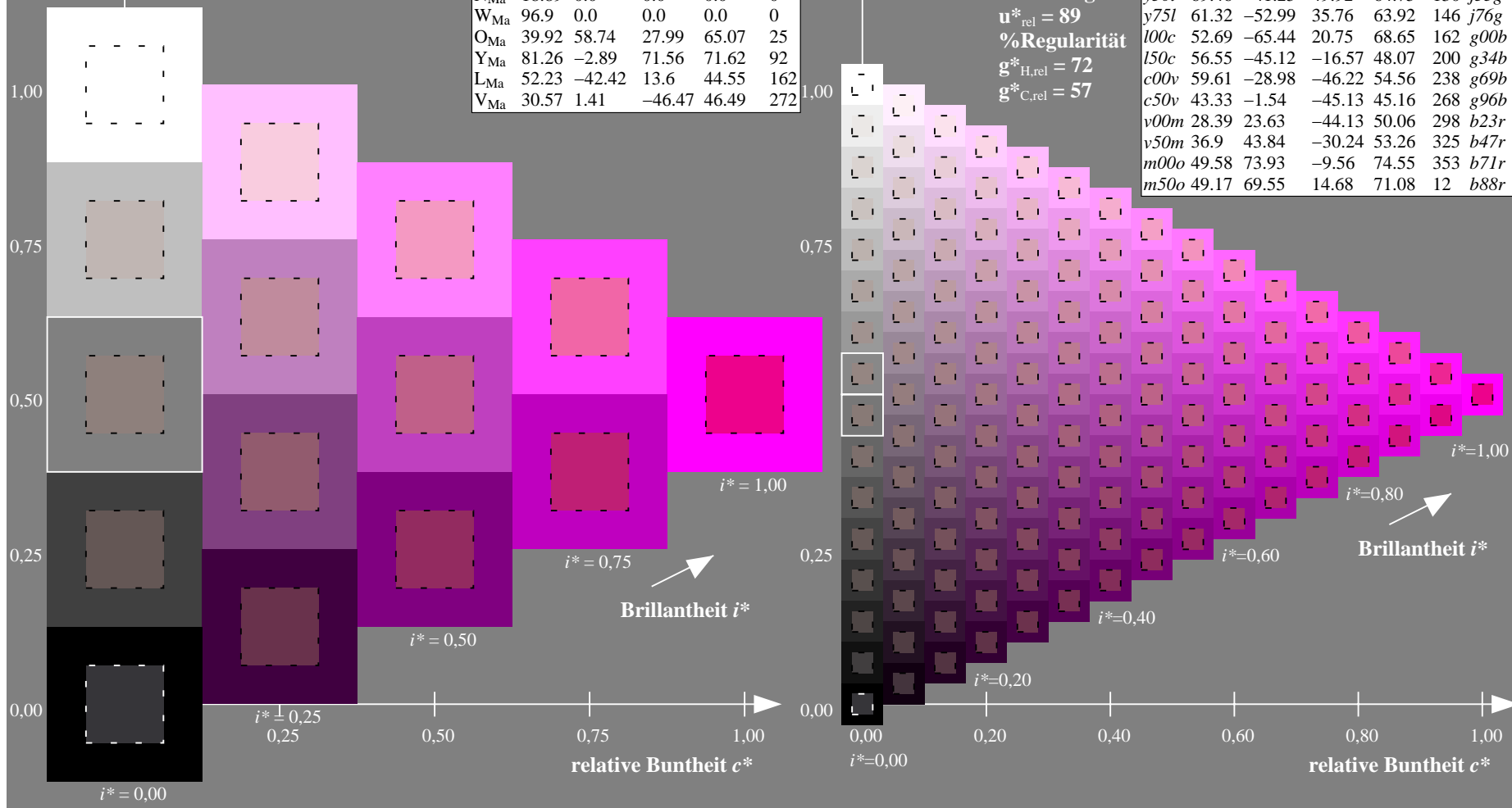
%Regularität

$g^*_{H,rel} = 72$

$g^*_{C,rel} = 57$

ORS19_96a; adaptierte CIELAB-Daten

u^*_d	$L^*=L^*_a$	a^*_a	b^*_a	$C^*_{ab,a}$	$h^*_{ab,a}$	u^*_e
<i>o00y</i>	48.75	65.07	39.43	76.08	31	<i>r08j</i>
<i>o25y</i>	59.04	46.67	51.1	69.21	48	<i>r33j</i>
<i>o50y</i>	68.32	30.09	61.62	68.58	64	<i>r57j</i>
<i>o75y</i>	78.23	12.39	72.85	73.9	80	<i>r81j</i>
<i>y00l</i>	90.92	-10.29	87.24	87.85	97	<i>j06g</i>
<i>y25l</i>	78.57	-28.11	65.75	71.51	113	<i>j29g</i>
<i>y50l</i>	69.46	-41.25	49.92	64.75	130	<i>j53g</i>
<i>y75l</i>	61.32	-52.99	35.76	63.92	146	<i>j76g</i>
<i>l00c</i>	52.69	-65.44	20.75	68.65	162	<i>g00b</i>
<i>l50c</i>	56.55	-45.12	-16.57	48.07	200	<i>g34b</i>
<i>c00v</i>	59.61	-28.98	-46.22	54.56	238	<i>g69b</i>
<i>c50v</i>	43.33	-1.54	-45.13	45.16	268	<i>g96b</i>
<i>v00m</i>	28.39	23.63	-44.13	50.06	298	<i>b23r</i>
<i>v50m</i>	36.9	43.84	-30.24	53.26	325	<i>b47r</i>
<i>m00o</i>	49.58	73.93	-9.56	74.55	353	<i>b71r</i>
<i>m50o</i>	49.17	69.55	14.68	71.08	12	<i>b88r</i>



Ein und Ausgabe: Farbmetrisches Drucker-Reflektiv-System ORS19_96a für relativen CIELAB-Buntton $h^* = lab^*h^* = h_{ab}/360 = 0.033$

Daten für jede Farbe:

lab^*ch^* und lab^*icu^*

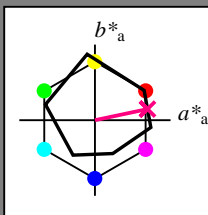
Bunttontexte:

$u^*_d = m50o$ $u^*_e = b88r$

Kontrastreduzierungsfaktor:

$c_R = 1.0$

Dreiecks-Helligkeit i^*



ORS19_96a; adaptierte CIELAB-Daten

u^*_d	$L^*=L^*_a$	a^*_a	b^*_a	$C^*_{ab,a}$	$h^*_{ab,a}$
O _{Ma}	48.75	65.07	39.43	76.08	31
Y _{Ma}	90.92	-10.29	87.24	87.85	97
L _{Ma}	52.69	-65.44	20.75	68.65	162
C _{Ma}	59.61	-28.98	-46.22	54.56	238
V _{Ma}	28.39	23.63	-44.13	50.06	298
M _{Ma}	49.58	73.93	-9.56	74.55	353
N _{Ma}	18.89	0.0	0.0	0.0	0
W _{Ma}	96.9	0.0	0.0	0.0	0
O _{Ma}	39.92	58.74	27.99	65.07	25
Y _{Ma}	81.26	-2.89	71.56	71.62	92
L _{Ma}	52.23	-42.42	13.6	44.55	162
V _{Ma}	30.57	1.41	-46.47	46.49	272

Daten für Maximalfarbe (Ma):

LAB^*LAB^*Ma : 49 70 15

LAB^*LCH^*Ma : 49 71 11

lab^*olv^*Ma : 1.0 0.0 0.5

lab^*rgb^*Ma : 1.0 0.0 0.24

Dreiecks-Helligkeit i^*

%Umfang

$u^*_{rel} = 89$

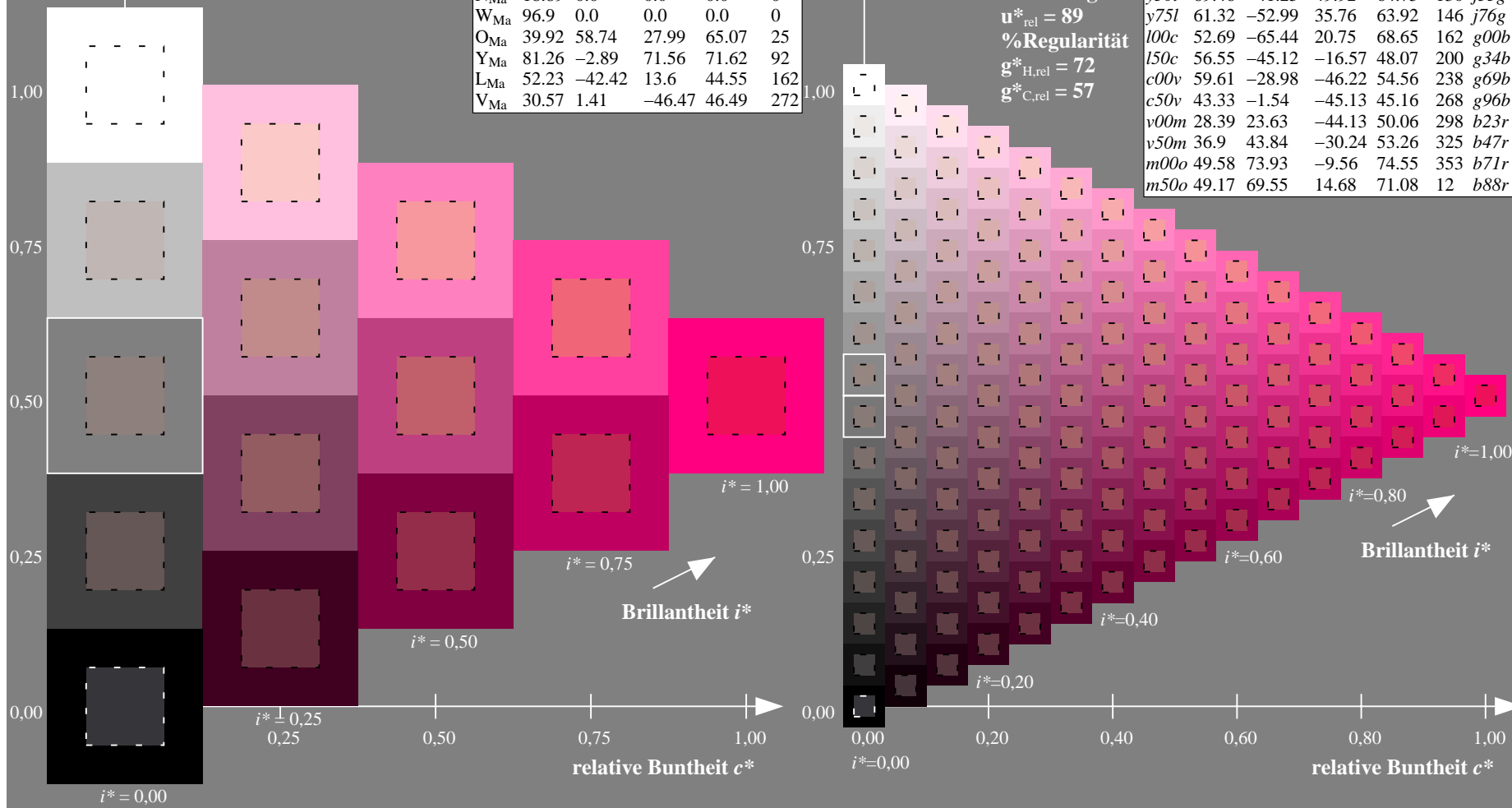
%Regularität

$g^*_{H,rel} = 72$

$g^*_{C,rel} = 57$

ORS19_96a; adaptierte CIELAB-Daten

u^*_d	$L^*=L^*_a$	a^*_a	b^*_a	$C^*_{ab,a}$	$h^*_{ab,a}$	u^*_e
<i>o00y</i>	48.75	65.07	39.43	76.08	31	<i>r08j</i>
<i>o25y</i>	59.04	46.67	51.1	69.21	48	<i>r33j</i>
<i>o50y</i>	68.32	30.09	61.62	68.58	64	<i>r57j</i>
<i>o75y</i>	78.23	12.39	72.85	73.9	80	<i>r81j</i>
<i>y00l</i>	90.92	-10.29	87.24	87.85	97	<i>j06g</i>
<i>y25l</i>	78.57	-28.11	65.75	71.51	113	<i>j29g</i>
<i>y50l</i>	69.46	-41.25	49.92	64.75	130	<i>j53g</i>
<i>y75l</i>	61.32	-52.99	35.76	63.92	146	<i>j76g</i>
<i>l00c</i>	52.69	-65.44	20.75	68.65	162	<i>g00b</i>
<i>l50c</i>	56.55	-45.12	-16.57	48.07	200	<i>g34b</i>
<i>c00v</i>	59.61	-28.98	-46.22	54.56	238	<i>g69b</i>
<i>c50v</i>	43.33	-1.54	-45.13	45.16	268	<i>g96b</i>
<i>v00m</i>	28.39	23.63	-44.13	50.06	298	<i>b23r</i>
<i>v50m</i>	36.9	43.84	-30.24	53.26	325	<i>b47r</i>
<i>m00o</i>	49.58	73.93	-9.56	74.55	353	<i>b71r</i>
<i>m50o</i>	49.17	69.55	14.68	71.08	12	<i>b88r</i>



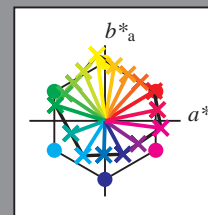
Siehe ähnliche Dateien: <http://www.ps.bam.de/Eg42/>; www.ps.bam.de/Eg.HTM
Technische Information: <http://www.ps.bam.de> Version 2.1, io=1,1, ColSp=1



Ein und Ausgabe:
Farbmetrisches Drucker-Reflektiv-System ORS19_96a
Daten für jede Farbe:
 u^*_d und Nummer $Nr.$ = 00 .. 15
Geräte-Bunttontext:
 u^*_d = 16 Bunttoene $o00y$, $o25y$, ..., $m50o$
Kontrastreduzierungsfaktor:
 $c_R = 1.0$

ORS19_96a; adaptierte CIELAB-Daten

u^*_d	$L^*=L^*_a$	a^*_a	b^*_a	$C^*_{ab,a}$	$h^*_{ab,a}$	u^*_e
$o00y$	48.75	65.07	39.43	76.08	31	$r08j$
$o25y$	59.04	46.67	51.1	69.21	48	$r33j$
$o50y$	68.32	30.09	61.62	68.58	64	$r57j$
$o75y$	78.23	12.39	72.85	73.9	80	$r81j$
$y00l$	90.92	-10.29	87.24	87.85	97	$j06g$
$y25l$	78.57	-28.11	65.75	71.51	113	$j29g$
$y50l$	69.46	-41.25	49.92	64.75	130	$j53g$
$y75l$	61.32	-52.99	35.76	63.92	146	$j76g$
$l00c$	52.69	-65.44	20.75	68.65	162	$g00b$
$l50c$	56.55	-45.12	-16.57	48.07	200	$g34b$
$c00v$	59.61	-28.98	-46.22	54.56	238	$g69b$
$c50v$	43.33	-1.54	-45.13	45.16	268	$g96b$
$v00m$	28.39	23.63	-44.13	50.06	298	$b23r$
$v50m$	36.9	43.84	-30.24	53.26	325	$b47r$
$m00o$	49.58	73.93	-9.56	74.55	353	$b71r$
$m50o$	49.17	69.55	14.68	71.08	12	$b88r$



%Umfang

$u^*_{rel} = 89$

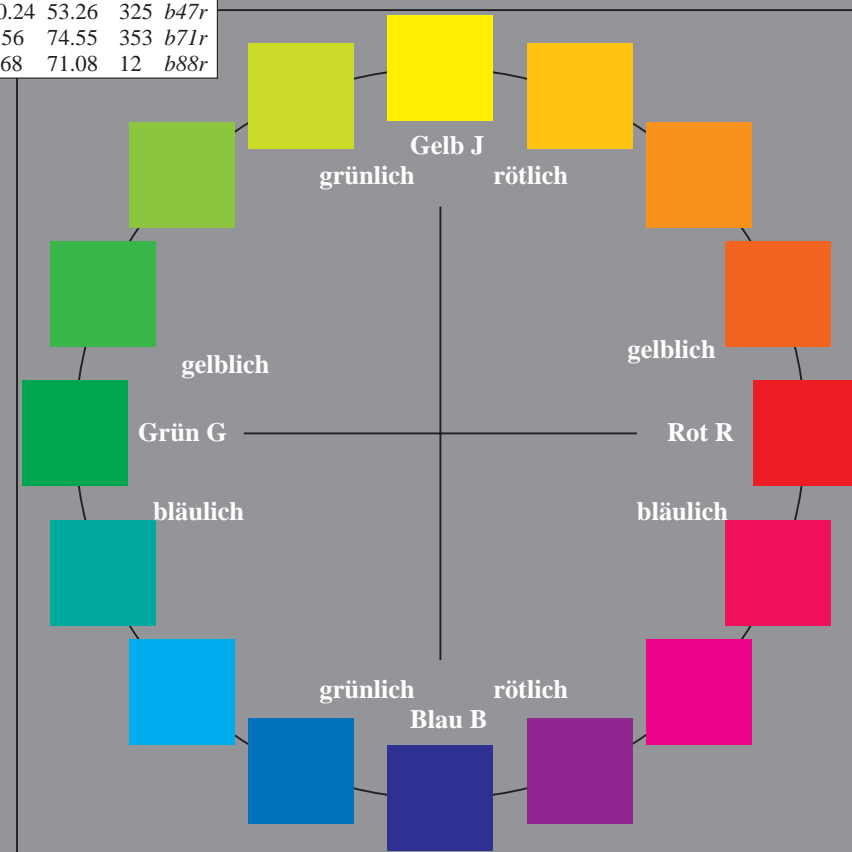
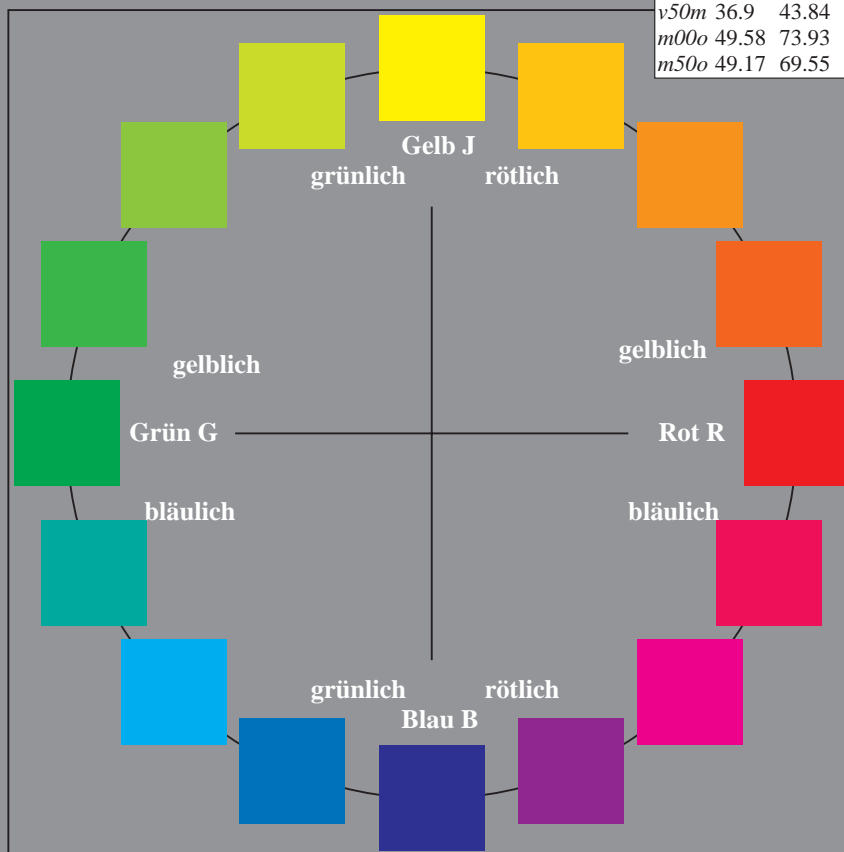
%Regularität

$g^*_{H,rel} = 72$

$g^*_{C,rel} = 57$

ORS19_96a; adaptierte CIELAB-Daten

Name	$L^*=L^*_a$	a^*_a	b^*_a	$C^*_{ab,a}$	$h^*_{ab,a}$
O_{Ma}	48.75	65.07	39.43	76.08	31
Y_{Ma}	90.92	-10.29	87.24	87.85	97
L_{Ma}	52.69	-65.44	20.75	68.65	162
C_{Ma}	59.61	-28.98	-46.22	54.56	238
V_{Ma}	28.39	23.63	-44.13	50.06	298
M_{Ma}	49.58	73.93	-9.56	74.55	353
N_{Ma}	18.89	0.0	0.0	0.0	0
W_{Ma}	96.9	0.0	0.0	0.0	0
O_{CIE}	39.92	58.74	27.99	65.07	25
Y_{CIE}	81.26	-2.89	71.56	71.62	92
L_{CIE}	52.23	-42.42	13.6	44.55	162
V_{CIE}	30.57	1.41	-46.47	46.49	272



Daten für jede Farbe:

*lab*tch** und *lab*icu**

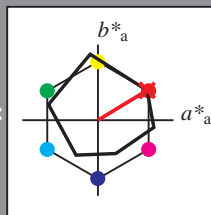
Bunttexte:

$$u^*_d = 000y \quad u^*_e = r08j$$

Kontrastreduzierungsfaktor:

$$c_R = 1.0$$

Dreiecks-Helligkeit t^*



ORS19 96a; adaptierte CIELAB-Daten						
u^*_d	$L^*=L^*_a$	a^*_a	b^*_a	$C^*_{ab,a}$	$h^*_{ab,a}$	
O _{Ma}	48.75	65.07	39.43	76.08	31	
Y _{Ma}	90.92	-10.29	87.24	87.85	97	
L _{Ma}	52.69	-65.44	20.75	68.65	162	
C _{Ma}	59.61	-28.98	-46.22	54.56	238	
V _{Ma}	28.39	23.63	-44.13	50.06	298	
M _{Ma}	49.58	73.93	-9.56	74.55	353	
N _{Ma}	18.89	0.0	0.0	0.0	0	
W _{Ma}	96.9	0.0	0.0	0.0	0	
O _{Ma}	39.92	58.74	27.99	65.07	25	
Y _{Ma}	81.26	-2.89	71.56	71.62	92	
L _{Ma}	52.23	-42.42	13.6	44.55	162	
V _{Ma}	30.57	1.41	-46.47	46.49	272	

Daten für Maximalfarbe (Ma):

*LAB*LAB*Mo: 49 65 39*

L A B* L C H* 49 56 31

LAB*LCH*Ma: 49 76 3

lab*olv*_Ma: 1.0 0.0 0.0

*lab*rgb*_Ma: 1.0 0.09 0.0*

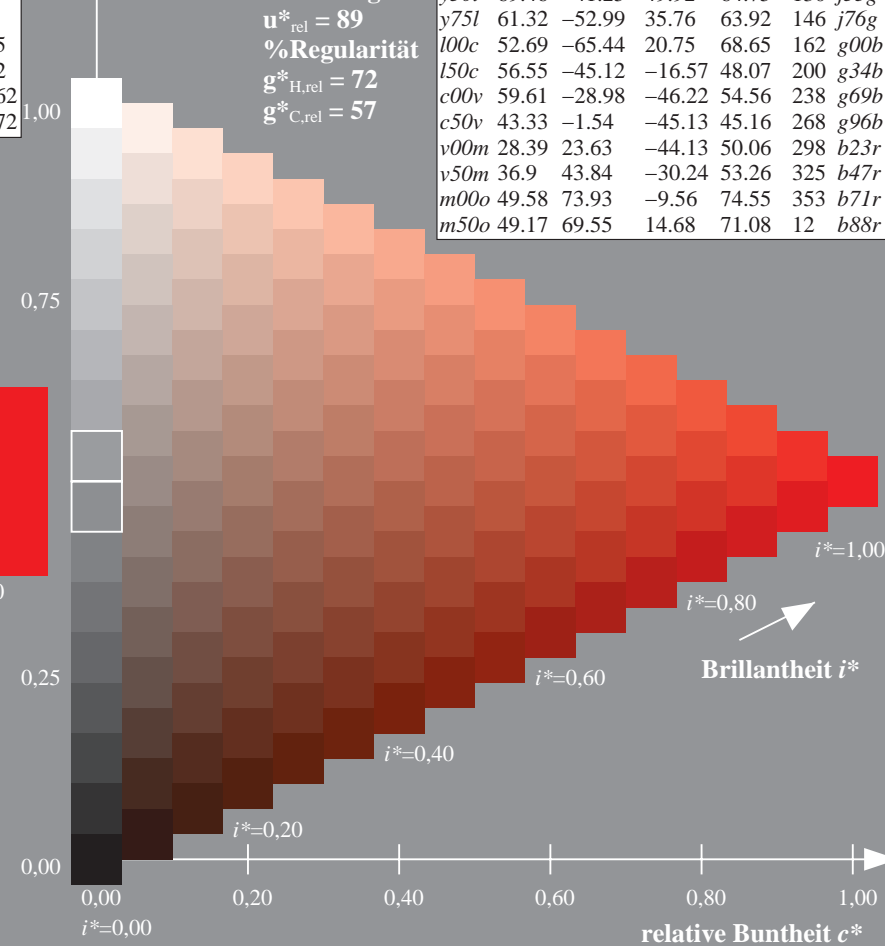
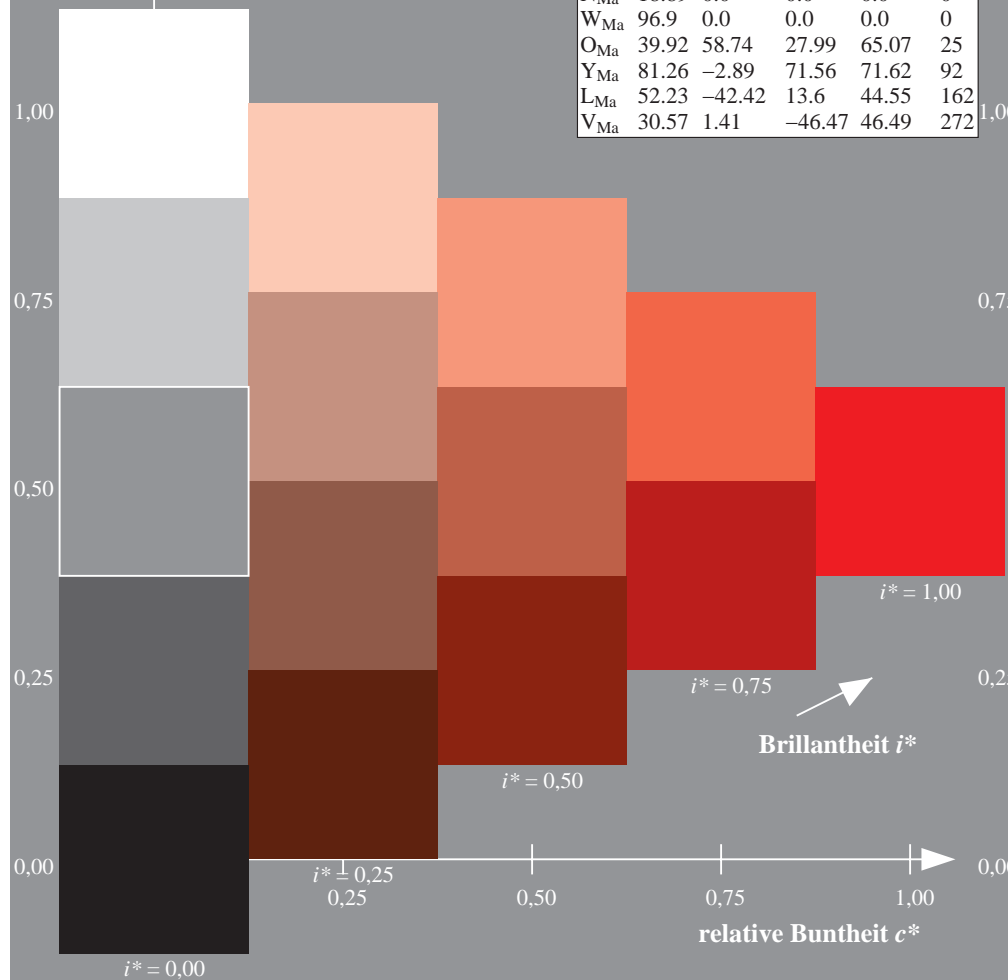
Dreiecks-Helligkeit t^*

ORS19_96a; adaptierte CIELAB-Daten							
u_d^*	$L^*=L_a^*$	a_a^*	b_a^*	$C^*_{ab,a}$	$h^*_{ab,a}$	u_e^*	
<i>o00y</i>	48.75	65.07	39.43	76.08	31	<i>r08i</i>	
<i>o25y</i>	59.04	46.67	51.1	69.21	48	<i>r33j</i>	
<i>o50y</i>	68.32	30.09	61.62	68.58	64	<i>r57j</i>	
<i>o75y</i>	78.23	12.39	72.85	73.9	80	<i>r81j</i>	
<i>y00l</i>	90.92	-10.29	87.24	87.85	97	<i>j06g</i>	
<i>y25l</i>	78.57	-28.11	65.75	71.51	113	<i>j29g</i>	
<i>y50l</i>	69.46	-41.25	49.92	64.75	130	<i>j53g</i>	
<i>y75l</i>	61.32	-52.99	35.76	63.92	146	<i>j76g</i>	
<i>l00c</i>	52.69	-65.44	20.75	68.65	162	<i>g00b</i>	
<i>l50c</i>	56.55	-45.12	-16.57	48.07	200	<i>g34b</i>	
<i>c00v</i>	59.61	-28.98	-46.22	54.56	238	<i>g69b</i>	
<i>c50v</i>	43.33	-1.54	-45.13	45.16	268	<i>g96b</i>	
<i>v00m</i>	28.39	23.63	-44.13	50.06	298	<i>b23r</i>	
<i>v50m</i>	36.9	43.84	-30.24	53.26	325	<i>b47r</i>	
<i>m00o</i>	49.58	73.93	-9.56	74.55	353	<i>b71r</i>	
<i>m50o</i>	49.17	69.55	14.68	71.08	12	<i>b88r</i>	

%Umfang

$$u_{rel}^* = 89$$

%Regularität

$$g^*_{H,rel} = 72$$
$$g^*_{C,rel} = 57$$


Ein und Ausgabe: Farbmetrisches Drucker-Reflektiv-System ORS19_96a für relativen CIELAB-Buntton $h^* = lab^*h^* = h_{ab}/360 = 0.132$

Daten für jede Farbe:

lab^*tch^* und lab^*icu^*

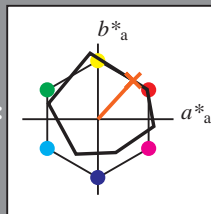
Bunttontexte:

$u^*_d = o25y$ $u^*_e = r33j$

Kontrastreduzierungsfaktor:

$c_R = 1.0$

Dreiecks-Helligkeit i^*



ORS19_96a; adaptierte CIELAB-Daten

u^*_d	$L^*=L^*_a$	a^*_a	b^*_a	$C^*_{ab,a}$	$h^*_{ab,a}$
O _{Ma}	48.75	65.07	39.43	76.08	31
Y _{Ma}	90.92	-10.29	87.24	87.85	97
L _{Ma}	52.69	-65.44	20.75	68.65	162
C _{Ma}	59.61	-28.98	-46.22	54.56	238
V _{Ma}	28.39	23.63	-44.13	50.06	298
M _{Ma}	49.58	73.93	-9.56	74.55	353
N _{Ma}	18.89	0.0	0.0	0.0	0
W _{Ma}	96.9	0.0	0.0	0.0	0
O _{Ma}	39.92	58.74	27.99	65.07	25
Y _{Ma}	81.26	-2.89	71.56	71.62	92
L _{Ma}	52.23	-42.42	13.6	44.55	162
V _{Ma}	30.57	1.41	-46.47	46.49	272

Daten für Maximalfarbe (Ma):

LAB^*LAB^*Ma : 59 47 51

LAB^*LCH^*Ma : 59 69 47

lab^*olv^*Ma : 1.0 0.25 0.0

lab^*rgb^*Ma : 1.0 0.33 0.0

Dreiecks-Helligkeit i^*

%Umfang

$u^*_{rel} = 89$

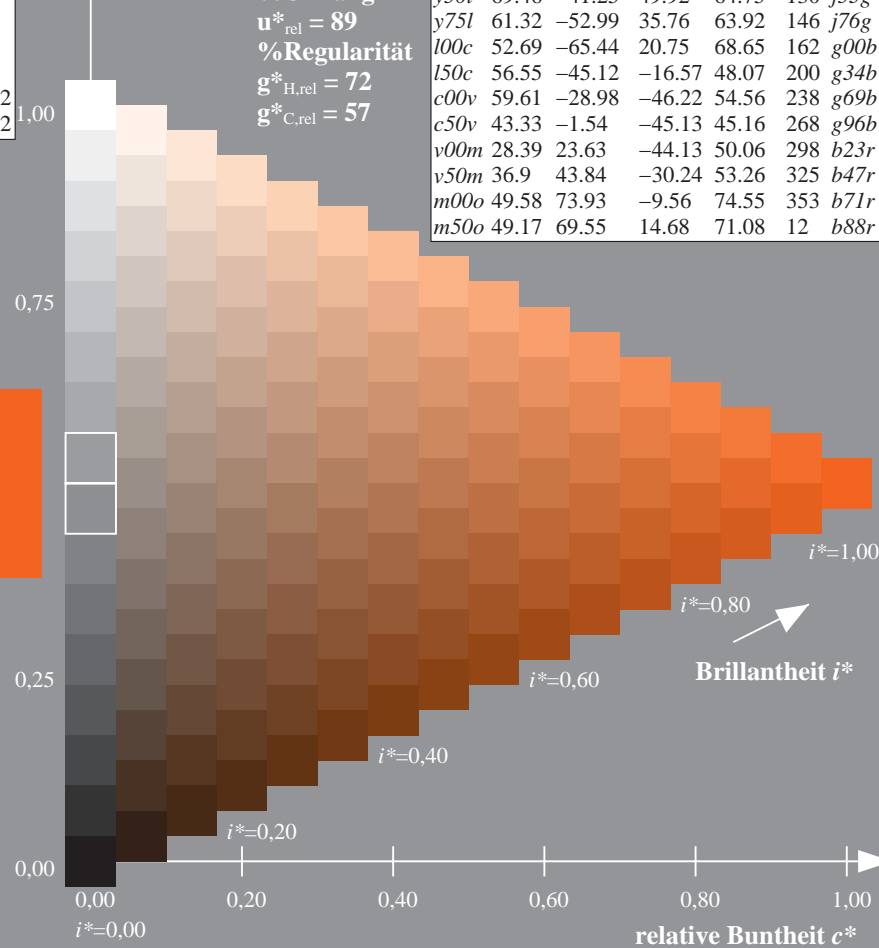
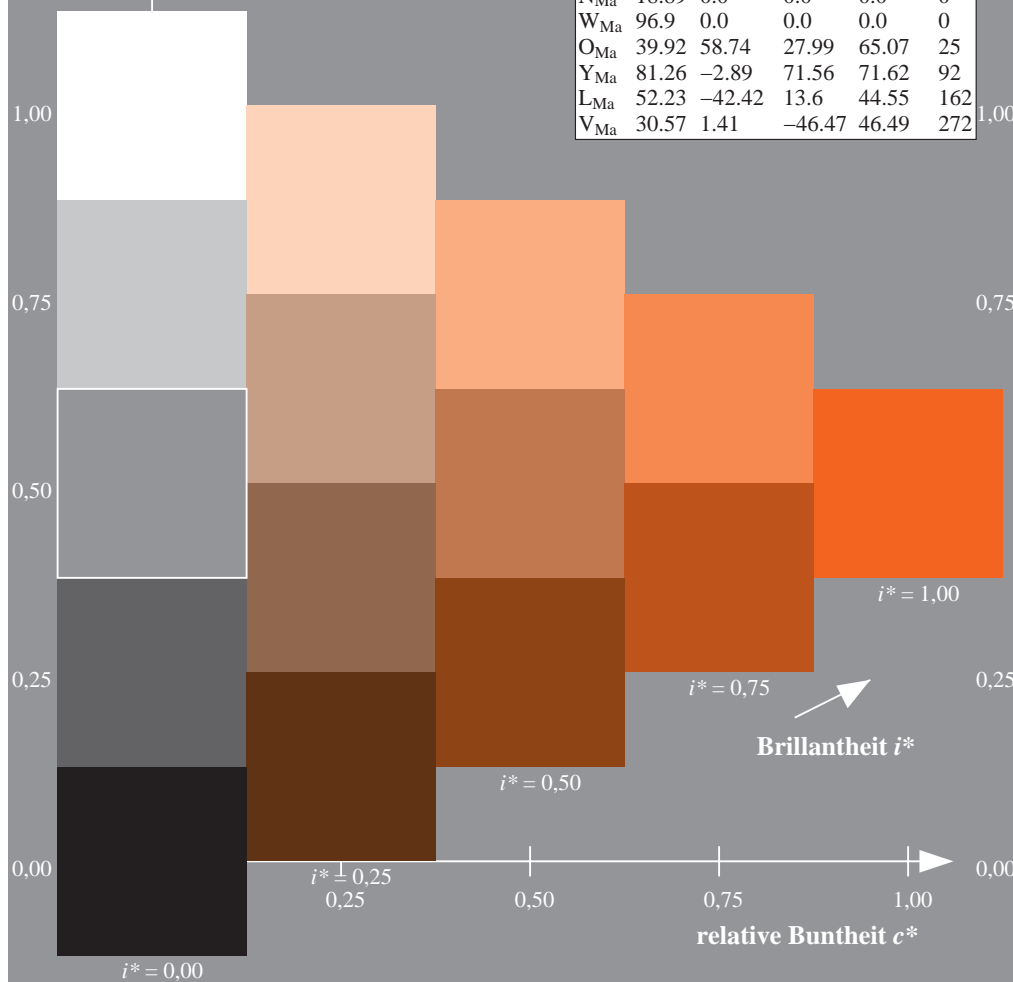
%Regularität

$g^*_{H,rel} = 72$

$g^*_{C,rel} = 57$

ORS19_96a; adaptierte CIELAB-Daten

u^*_d	$L^*=L^*_a$	a^*_a	b^*_a	$C^*_{ab,a}$	$h^*_{ab,a}$	u^*_e
o00y	48.75	65.07	39.43	76.08	31	r08j
o25y	59.04	46.67	51.1	69.21	48	r33j
o50y	68.32	30.09	61.62	68.58	64	r57j
o75y	78.23	12.39	72.85	73.9	80	r81j
y00l	90.92	-10.29	87.24	87.85	97	j06g
y25l	78.57	-28.11	65.75	71.51	113	j29g
y50l	69.46	-41.25	49.92	64.75	130	j53g
y75l	61.32	-52.99	35.76	63.92	146	j76g
l00c	52.69	-65.44	20.75	68.65	162	g00b
l50c	56.55	-45.12	-16.57	48.07	200	g34b
c00v	59.61	-28.98	-46.22	54.56	238	g69b
c50v	43.33	-1.54	-45.13	45.16	268	g96b
v00m	28.39	23.63	-44.13	50.06	298	b23r
v50m	36.9	43.84	-30.24	53.26	325	b47r
m00o	49.58	73.93	-9.56	74.55	353	b71r
m50o	49.17	69.55	14.68	71.08	12	b88r



Ein und Ausgabe: Farbmetrisches Drucker-Reflektiv-System ORS19_96a für relativen CIELAB-Buntton $h^* = lab^*h^* = h_{ab}/360 = 0.178$

Daten für jede Farbe:

lab^*tch^* und lab^*icu^*

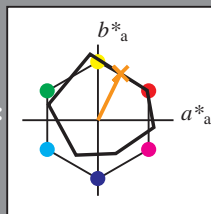
Bunttontexte:

$u^*_d = o50y$ $u^*_e = r57j$

Kontrastreduzierungsfaktor:

$c_R = 1.0$

Dreiecks-Helligkeit i^*



ORS19_96a; adaptierte CIELAB-Daten

u^*_d	$L^*=L^*_a$	a^*_a	b^*_a	$C^*_{ab,a}$	$h^*_{ab,a}$
O _{Ma}	48.75	65.07	39.43	76.08	31
Y _{Ma}	90.92	-10.29	87.24	87.85	97
L _{Ma}	52.69	-65.44	20.75	68.65	162
C _{Ma}	59.61	-28.98	-46.22	54.56	238
V _{Ma}	28.39	23.63	-44.13	50.06	298
M _{Ma}	49.58	73.93	-9.56	74.55	353
N _{Ma}	18.89	0.0	0.0	0.0	0
W _{Ma}	96.9	0.0	0.0	0.0	0
O _{Ma}	39.92	58.74	27.99	65.07	25
Y _{Ma}	81.26	-2.89	71.56	71.62	92
L _{Ma}	52.23	-42.42	13.6	44.55	162
V _{Ma}	30.57	1.41	-46.47	46.49	272

Daten für Maximalfarbe (Ma):

LAB^*LAB^*Ma : 68 30 62

LAB^*LCH^*Ma : 68 69 63

lab^*olv^*Ma : 1.0 0.5 0.0

lab^*rgb^*Ma : 1.0 0.58 0.0

Dreiecks-Helligkeit i^*

%Umfang

$u^*_{rel} = 89$

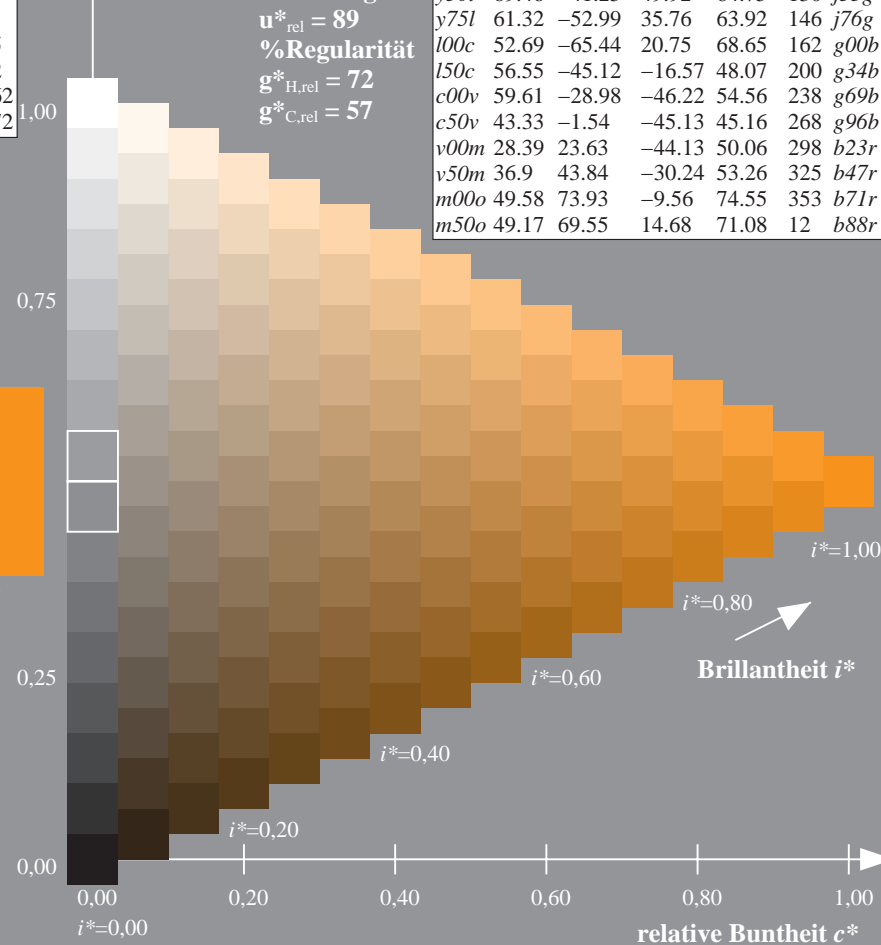
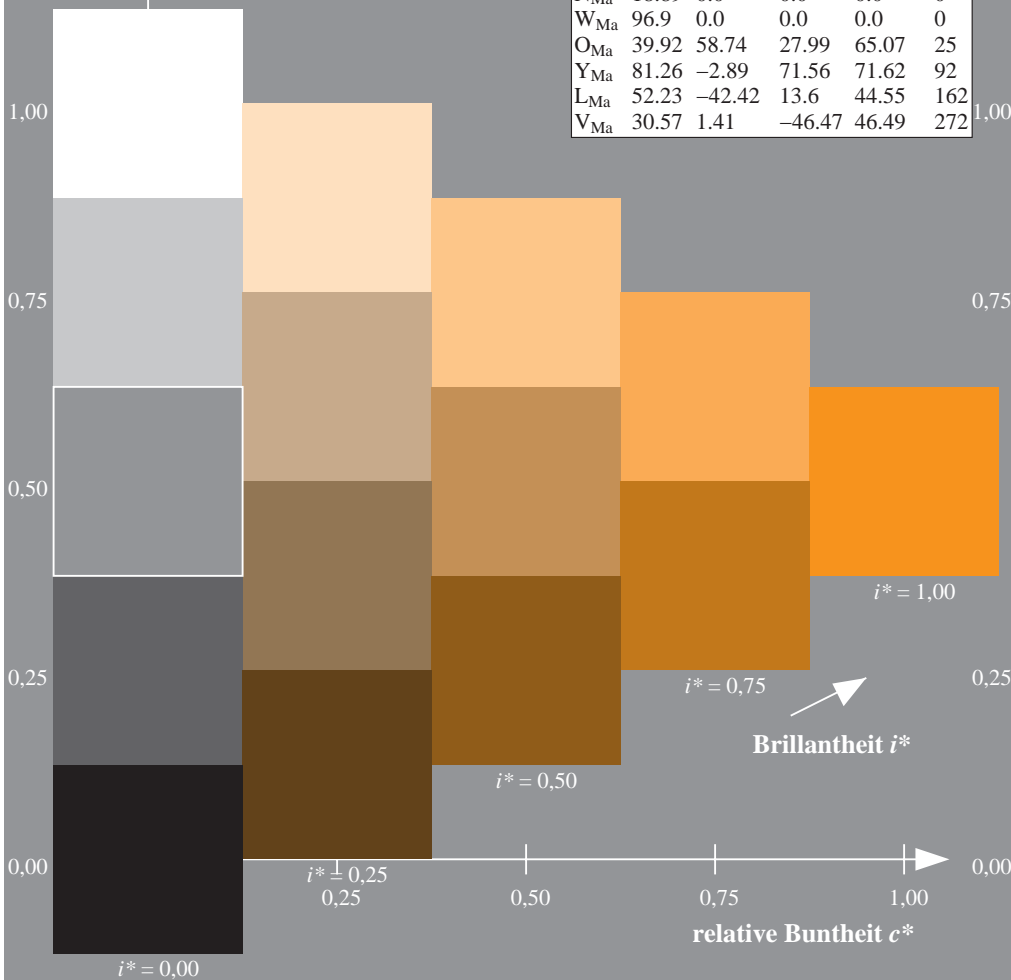
%Regularität

$g^*_{H,rel} = 72$

$g^*_{C,rel} = 57$

ORS19_96a; adaptierte CIELAB-Daten

u^*_d	$L^*=L^*_a$	a^*_a	b^*_a	$C^*_{ab,a}$	$h^*_{ab,a}$	u^*_e
o00y	48.75	65.07	39.43	76.08	31	r08j
o25y	59.04	46.67	51.1	69.21	48	r33j
o50y	68.32	30.09	61.62	68.58	64	r57j
o75y	78.23	12.39	72.85	73.9	80	r81j
y00l	90.92	-10.29	87.24	87.85	97	j06g
y25l	78.57	-28.11	65.75	71.51	113	j29g
y50l	69.46	-41.25	49.92	64.75	130	j53g
y75l	61.32	-52.99	35.76	63.92	146	j76g
l00c	52.69	-65.44	20.75	68.65	162	g00b
l50c	56.55	-45.12	-16.57	48.07	200	g34b
c00v	59.61	-28.98	-46.22	54.56	238	g69b
c50v	43.33	-1.54	-45.13	45.16	268	g96b
v00m	28.39	23.63	-44.13	50.06	298	b23r
v50m	36.9	43.84	-30.24	53.26	325	b47r
m00o	49.58	73.93	-9.56	74.55	353	b71r
m50o	49.17	69.55	14.68	71.08	12	b88r



Brillantheit i^*

Ein und Ausgabe: Farbmetrisches Drucker-Reflektiv-System ORS19_96a für relativen CIELAB-Buntton $h^* = lab^*h^* = h_{ab}/360 = 0.223$

Daten für jede Farbe:

lab^*tch^* und lab^*icu^*

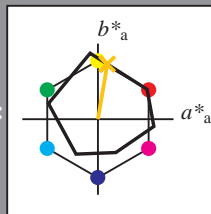
Bunttontexte:

$u^*_d = o75y$ $u^*_e = r81j$

Kontrastreduzierungsfaktor:

$c_R = 1.0$

Dreiecks-Helligkeit i^*



ORS19_96a; adaptierte CIELAB-Daten

u^*_d	$L^*=L^*_a$	a^*_a	b^*_a	$C^*_{ab,a}$	$h^*_{ab,a}$
O _{Ma}	48.75	65.07	39.43	76.08	31
Y _{Ma}	90.92	-10.29	87.24	87.85	97
L _{Ma}	52.69	-65.44	20.75	68.65	162
C _{Ma}	59.61	-28.98	-46.22	54.56	238
V _{Ma}	28.39	23.63	-44.13	50.06	298
M _{Ma}	49.58	73.93	-9.56	74.55	353
N _{Ma}	18.89	0.0	0.0	0.0	0
W _{Ma}	96.9	0.0	0.0	0.0	0
O _{Ma}	39.92	58.74	27.99	65.07	25
Y _{Ma}	81.26	-2.89	71.56	71.62	92
L _{Ma}	52.23	-42.42	13.6	44.55	162
V _{Ma}	30.57	1.41	-46.47	46.49	272

Daten für Maximalfarbe (Ma):

LAB^*LAB^*Ma : 78 12 73

LAB^*LCH^*Ma : 78 74 80

lab^*olv^*Ma : 1.0 0.75 0.0

lab^*rgb^*Ma : 1.0 0.82 0.0

Dreiecks-Helligkeit i^*

%Umfang

$u^*_{rel} = 89$

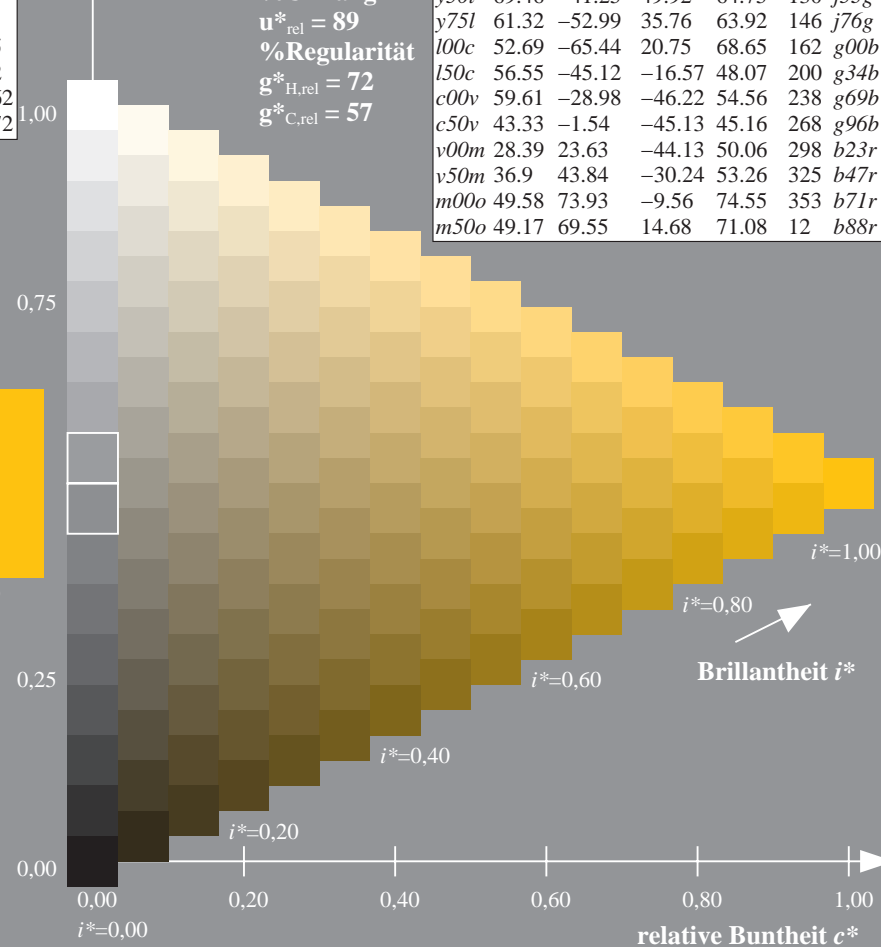
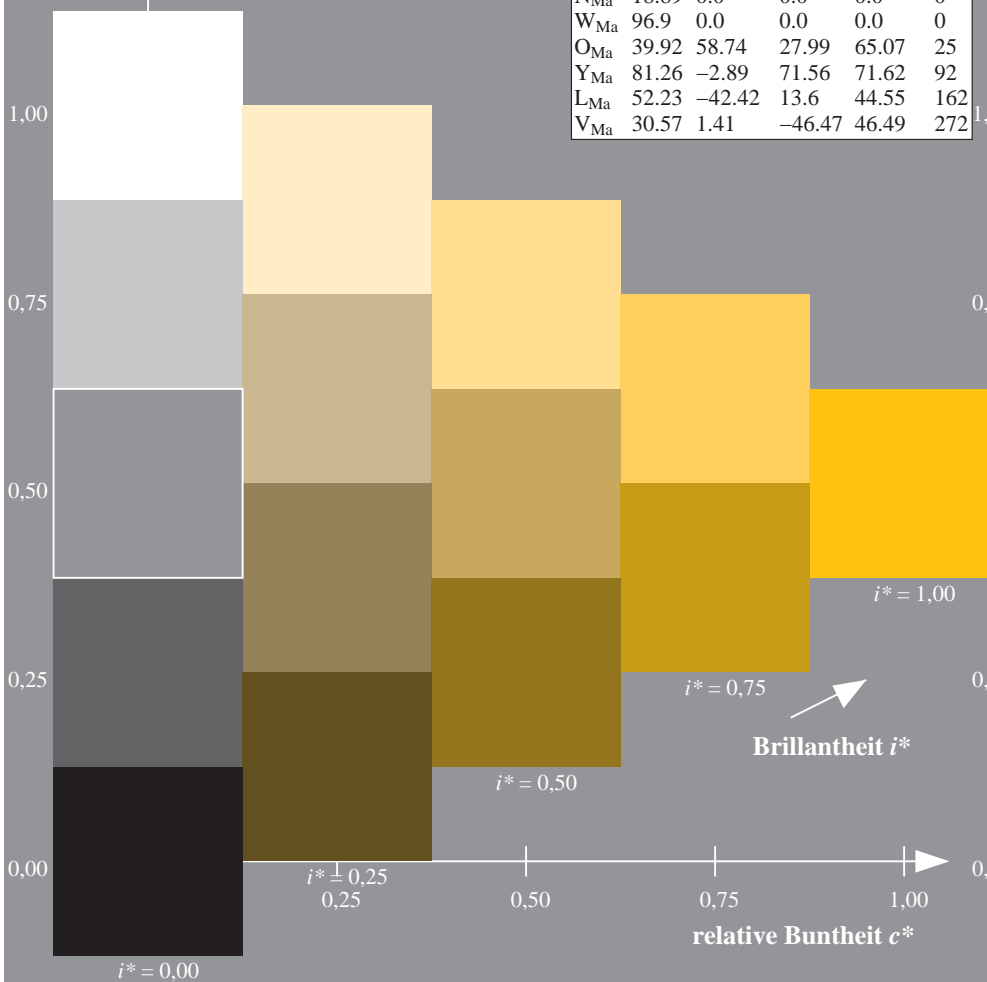
%Regularität

$g^*_{H,rel} = 72$

$g^*_{C,rel} = 57$

ORS19_96a; adaptierte CIELAB-Daten

u^*_d	$L^*=L^*_a$	a^*_a	b^*_a	$C^*_{ab,a}$	$h^*_{ab,a}$	u^*_e
o00y	48.75	65.07	39.43	76.08	31	r08j
o25y	59.04	46.67	51.1	69.21	48	r33j
o50y	68.32	30.09	61.62	68.58	64	r57j
o75y	78.23	12.39	72.85	73.9	80	r81j
y00l	90.92	-10.29	87.24	87.85	97	j06g
y25l	78.57	-28.11	65.75	71.51	113	j29g
y50l	69.46	-41.25	49.92	64.75	130	j53g
y75l	61.32	-52.99	35.76	63.92	146	j76g
l00c	52.69	-65.44	20.75	68.65	162	g00b
l50c	56.55	-45.12	-16.57	48.07	200	g34b
c00v	59.61	-28.98	-46.22	54.56	238	g69b
c50v	43.33	-1.54	-45.13	45.16	268	g96b
v00m	28.39	23.63	-44.13	50.06	298	b23r
v50m	36.9	43.84	-30.24	53.26	325	b47r
m00o	49.58	73.93	-9.56	74.55	353	b71r
m50o	49.17	69.55	14.68	71.08	12	b88r



Ein und Ausgabe: Farbmetrisches Drucker-Reflektiv-System ORS19_96a für relativen CIELAB-Buntton $h^* = lab^*h^* = h_{ab}/360 = 0.269$

Daten für jede Farbe:

lab^*ch^* und lab^*icu^*

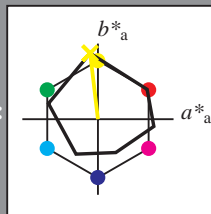
Bunttontexte:

$u^*_d = y00l$ $u^*_e = j06g$

Kontrastreduzierungsfaktor:

$c_R = 1.0$

Dreiecks-Helligkeit i^*



ORS19_96a; adaptierte CIELAB-Daten

u^*_d	$L^*=L^*_a$	a^*_a	b^*_a	$C^*_{ab,a}$	$h^*_{ab,a}$
O _{Ma}	48.75	65.07	39.43	76.08	31
Y _{Ma}	90.92	-10.29	87.24	87.85	97
L _{Ma}	52.69	-65.44	20.75	68.65	162
C _{Ma}	59.61	-28.98	-46.22	54.56	238
V _{Ma}	28.39	23.63	-44.13	50.06	298
M _{Ma}	49.58	73.93	-9.56	74.55	353
N _{Ma}	18.89	0.0	0.0	0.0	0
W _{Ma}	96.9	0.0	0.0	0.0	0
O _{Ma}	39.92	58.74	27.99	65.07	25
Y _{Ma}	81.26	-2.89	71.56	71.62	92
L _{Ma}	52.23	-42.42	13.6	44.55	162
V _{Ma}	30.57	1.41	-46.47	46.49	272

Daten für Maximalfarbe (Ma):

LAB^*LAB^*Ma : 91 -10 87

LAB^*LCH^*Ma : 91 88 96

lab^*olv^*Ma : 1.0 1.0 0.0

lab^*rgb^*Ma : 0.94 1.0 0.0

Dreiecks-Helligkeit i^*

%Umfang

$u^*_{rel} = 89$

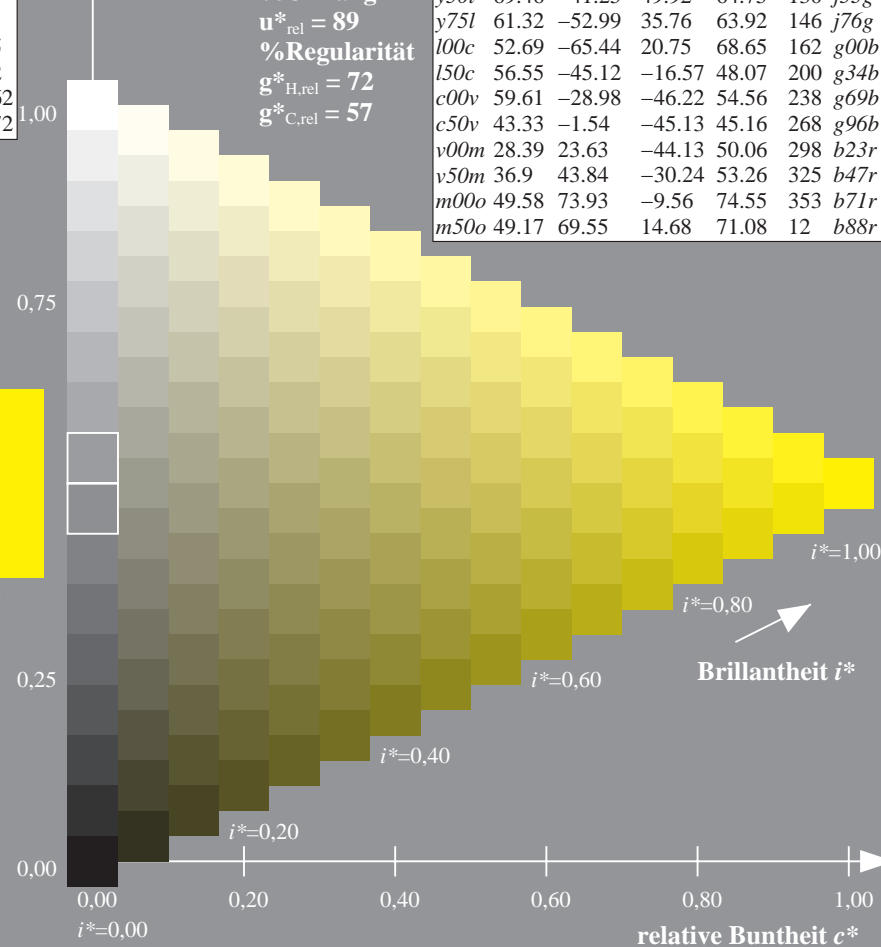
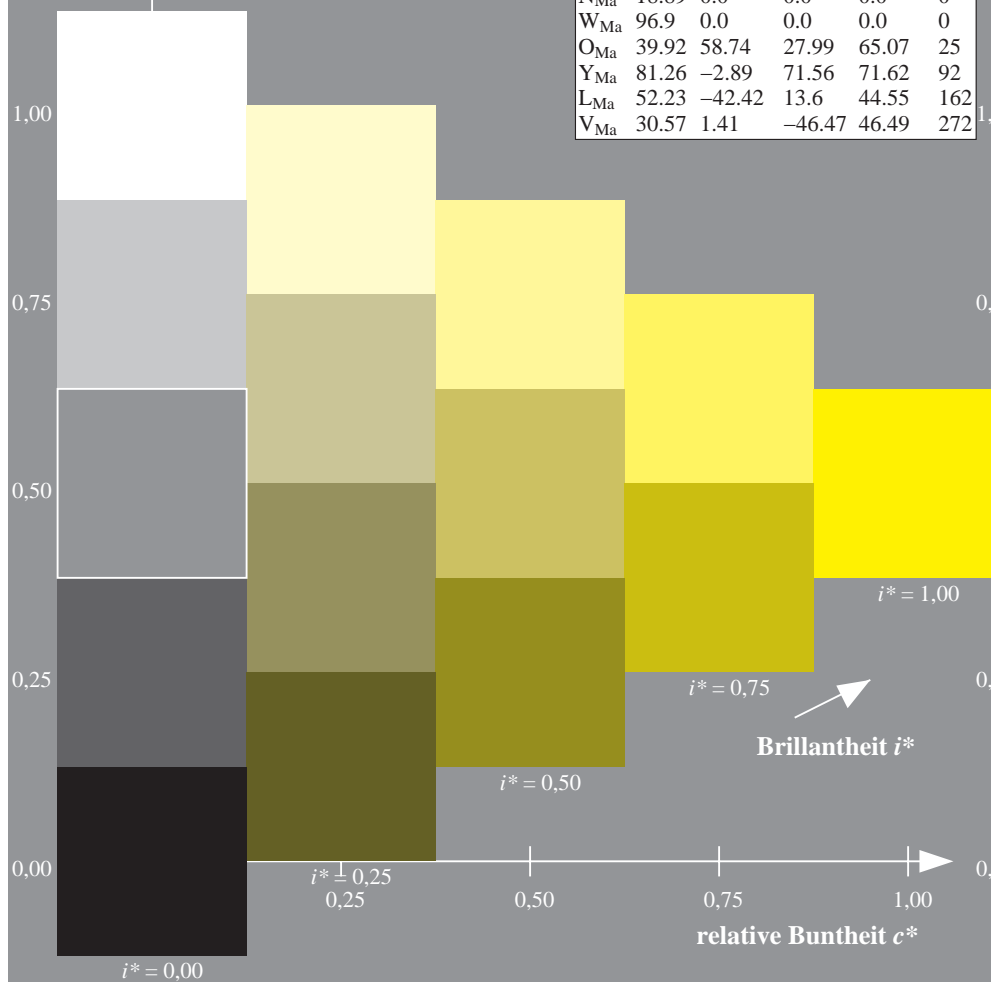
%Regularität

$g^*_{H,rel} = 72$

$g^*_{C,rel} = 57$

ORS19_96a; adaptierte CIELAB-Daten

u^*_d	$L^*=L^*_a$	a^*_a	b^*_a	$C^*_{ab,a}$	$h^*_{ab,a}$	u^*_e
o00y	48.75	65.07	39.43	76.08	31	r08j
o25y	59.04	46.67	51.1	69.21	48	r33j
o50y	68.32	30.09	61.62	68.58	64	r57j
o75y	78.23	12.39	72.85	73.9	80	r81j
y00l	90.92	-10.29	87.24	87.85	97	j06g
y25l	78.57	-28.11	65.75	71.51	113	j29g
y50l	69.46	-41.25	49.92	64.75	130	j53g
y75l	61.32	-52.99	35.76	63.92	146	j76g
l00c	52.69	-65.44	20.75	68.65	162	g00b
l50c	56.55	-45.12	-16.57	48.07	200	g34b
c00v	59.61	-28.98	-46.22	54.56	238	g69b
c50v	43.33	-1.54	-45.13	45.16	268	g96b
v00m	28.39	23.63	-44.13	50.06	298	b23r
v50m	36.9	43.84	-30.24	53.26	325	b47r
m00o	49.58	73.93	-9.56	74.55	353	b71r
m50o	49.17	69.55	14.68	71.08	12	b88r



Ein und Ausgabe: Farbmatisches Drucker-Reflektiv-System ORS19_96a für relativen CIELAB-Buntton $h^* = lab^*h^* = h_{ab}/360 = 0.314$

Daten für jede Farbe:

lab^*tch^* und lab^*icu^*

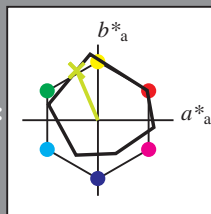
Bunttontexte:

$u^*_d = y25l$ $u^*_e = j29g$

Kontrastreduzierungsfaktor:

$c_R = 1.0$

Dreiecks-Helligkeit i^*



ORS19_96a; adaptierte CIELAB-Daten

u^*_d	$L^*=L^*_a$	a^*_a	b^*_a	$C^*_{ab,a}$	$h^*_{ab,a}$
O _{Ma}	48.75	65.07	39.43	76.08	31
Y _{Ma}	90.92	-10.29	87.24	87.85	97
L _{Ma}	52.69	-65.44	20.75	68.65	162
C _{Ma}	59.61	-28.98	-46.22	54.56	238
V _{Ma}	28.39	23.63	-44.13	50.06	298
M _{Ma}	49.58	73.93	-9.56	74.55	353
N _{Ma}	18.89	0.0	0.0	0.0	0
W _{Ma}	96.9	0.0	0.0	0.0	0
O _{Ma}	39.92	58.74	27.99	65.07	25
Y _{Ma}	81.26	-2.89	71.56	71.62	92
L _{Ma}	52.23	-42.42	13.6	44.55	162
V _{Ma}	30.57	1.41	-46.47	46.49	272

Daten für Maximalfarbe (Ma):

LAB^*LAB^*Ma : 79 -28 66

LAB^*LCH^*Ma : 79 72 113

lab^*olv^*Ma : 0.75 1.0 0.0

lab^*rgb^*Ma : 0.7 1.0 0.0

Dreiecks-Helligkeit i^*

%Umfang

$u^*_{rel} = 89$

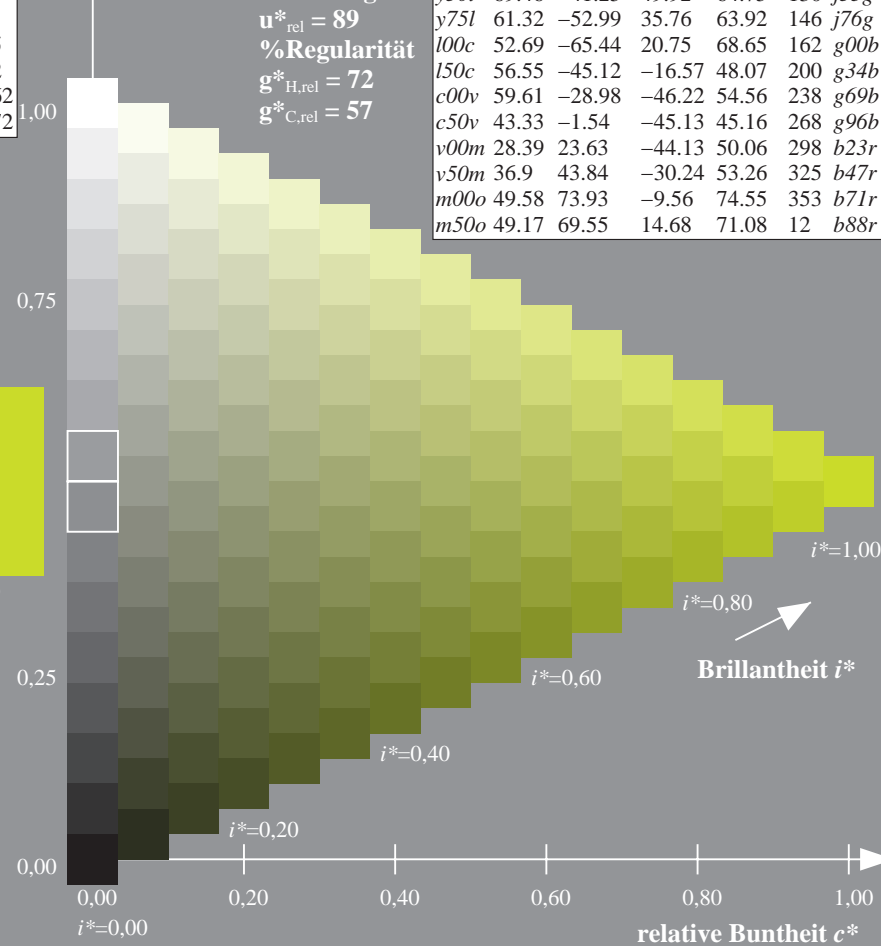
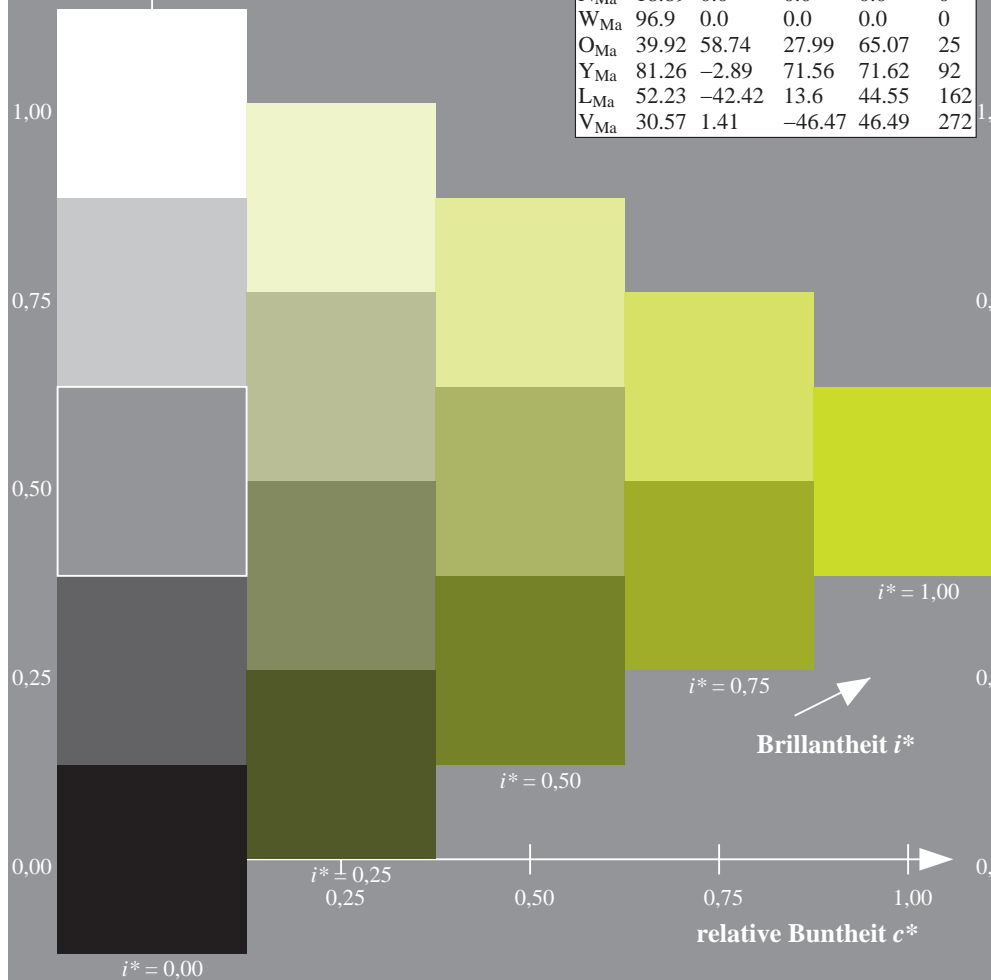
%Regularität

$g^*_{H,rel} = 72$

$g^*_{C,rel} = 57$

ORS19_96a; adaptierte CIELAB-Daten

u^*_d	$L^*=L^*_a$	a^*_a	b^*_a	$C^*_{ab,a}$	$h^*_{ab,a}$	u^*_e
o00y	48.75	65.07	39.43	76.08	31	r08j
o25y	59.04	46.67	51.1	69.21	48	r33j
o50y	68.32	30.09	61.62	68.58	64	r57j
o75y	78.23	12.39	72.85	73.9	80	r81j
y00l	90.92	-10.29	87.24	87.85	97	j06g
y25l	78.57	-28.11	65.75	71.51	113	j29g
y50l	69.46	-41.25	49.92	64.75	130	j53g
y75l	61.32	-52.99	35.76	63.92	146	j76g
l00c	52.69	-65.44	20.75	68.65	162	g00b
l50c	56.55	-45.12	-16.57	48.07	200	g34b
c00v	59.61	-28.98	-46.22	54.56	238	g69b
c50v	43.33	-1.54	-45.13	45.16	268	g96b
v00m	28.39	23.63	-44.13	50.06	298	b23r
v50m	36.9	43.84	-30.24	53.26	325	b47r
m00o	49.58	73.93	-9.56	74.55	353	b71r
m50o	49.17	69.55	14.68	71.08	12	b88r



Ein und Ausgabe: Farbmetrisches Drucker-Reflektiv-System ORS19_96a für relativen CIELAB-Buntton $h^* = lab^*h^* = h_{ab}/360 = 0.36$

Daten für jede Farbe:

lab^*ch^* und lab^*icu^*

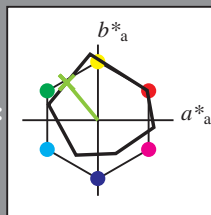
Bunttontexte:

$u^*_d = y50l$ $u^*_e = j53g$

Kontrastreduzierungsfaktor:

$c_R = 1.0$

Dreiecks-Helligkeit i^*



ORS19_96a; adaptierte CIELAB-Daten

u^*_d	$L^*=L^*_a$	a^*_a	b^*_a	$C^*_{ab,a}$	$h^*_{ab,a}$
O _{Ma}	48.75	65.07	39.43	76.08	31
Y _{Ma}	90.92	-10.29	87.24	87.85	97
L _{Ma}	52.69	-65.44	20.75	68.65	162
C _{Ma}	59.61	-28.98	-46.22	54.56	238
V _{Ma}	28.39	23.63	-44.13	50.06	298
M _{Ma}	49.58	73.93	-9.56	74.55	353
N _{Ma}	18.89	0.0	0.0	0.0	0
W _{Ma}	96.9	0.0	0.0	0.0	0
O _{Ma}	39.92	58.74	27.99	65.07	25
Y _{Ma}	81.26	-2.89	71.56	71.62	92
L _{Ma}	52.23	-42.42	13.6	44.55	162
V _{Ma}	30.57	1.41	-46.47	46.49	272

Daten für Maximalfarbe (Ma):

LAB^*LAB^*Ma : 69 -41 50

LAB^*LCH^*Ma : 69 65 129

lab^*olv^*Ma : 0.5 1.0 0.0

lab^*rgb^*Ma : 0.47 1.0 0.0

Dreiecks-Helligkeit i^*

%Umfang

$u^*_{rel} = 89$

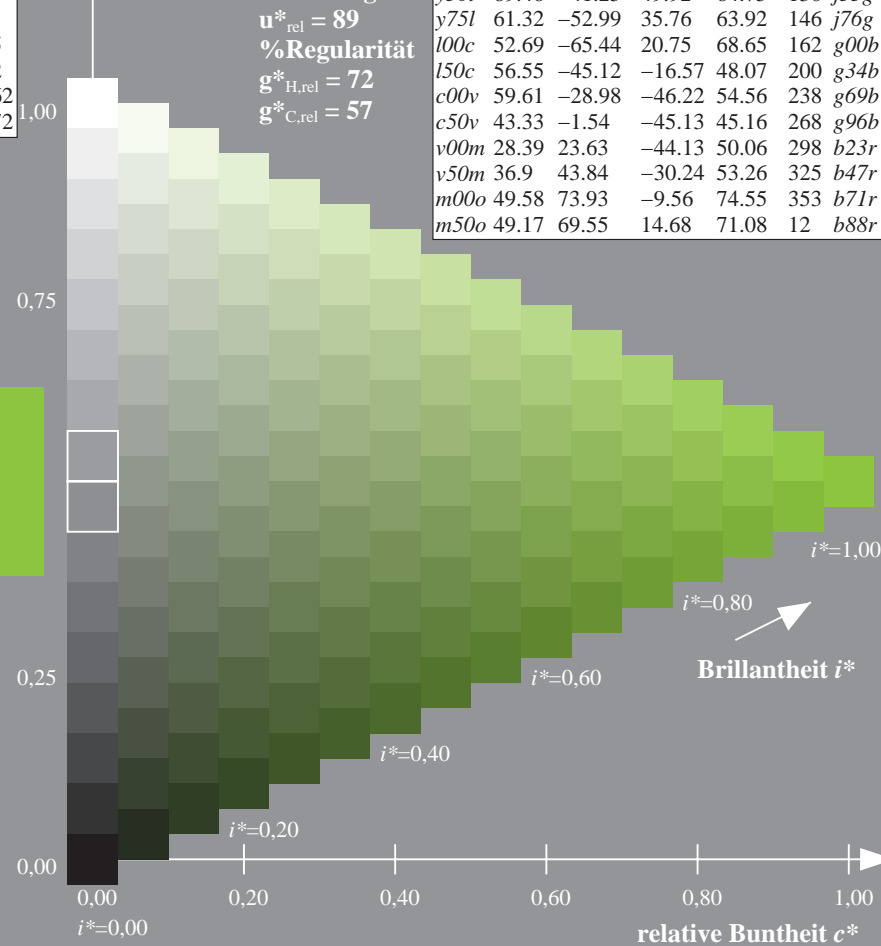
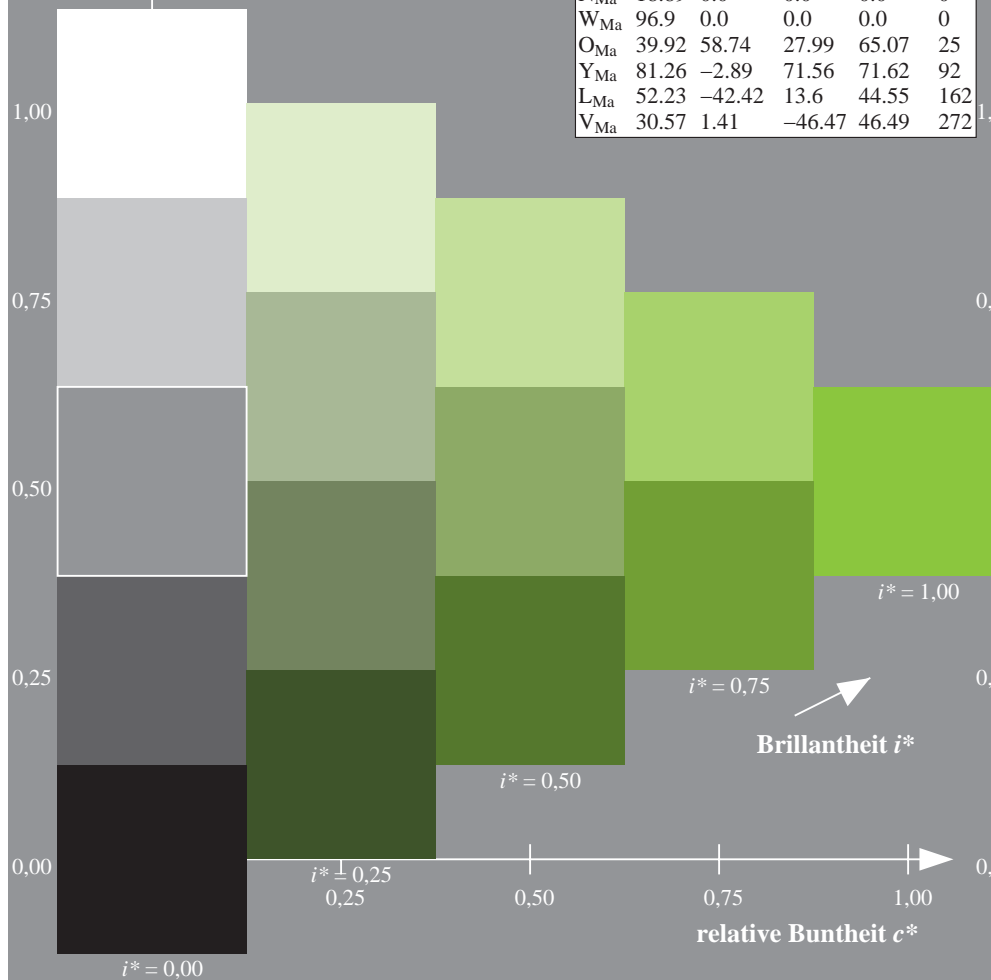
%Regularität

$g^*_{H,rel} = 72$

$g^*_{C,rel} = 57$

ORS19_96a; adaptierte CIELAB-Daten

u^*_d	$L^*=L^*_a$	a^*_a	b^*_a	$C^*_{ab,a}$	$h^*_{ab,a}$	u^*_e
o00y	48.75	65.07	39.43	76.08	31	r08j
o25y	59.04	46.67	51.1	69.21	48	r33j
o50y	68.32	30.09	61.62	68.58	64	r57j
o75y	78.23	12.39	72.85	73.9	80	r81j
y00l	90.92	-10.29	87.24	87.85	97	j06g
y25l	78.57	-28.11	65.75	71.51	113	j29g
y50l	69.46	-41.25	49.92	64.75	130	j53g
y75l	61.32	-52.99	35.76	63.92	146	j76g
l00c	52.69	-65.44	20.75	68.65	162	g00b
l50c	56.55	-45.12	-16.57	48.07	200	g34b
c00v	59.61	-28.98	-46.22	54.56	238	g69b
c50v	43.33	-1.54	-45.13	45.16	268	g96b
v00m	28.39	23.63	-44.13	50.06	298	b23r
v50m	36.9	43.84	-30.24	53.26	325	b47r
m00o	49.58	73.93	-9.56	74.55	353	b71r
m50o	49.17	69.55	14.68	71.08	12	b88r



Ein und Ausgabe: Farbmimetrisches Drucker-Reflektiv-System ORS19_96a für relativen CIELAB-Buntton $h^* = lab^*h^* = h_{ab}/360 = 0.406$

Daten für jede Farbe:

lab^*ch^* und lab^*icu^*

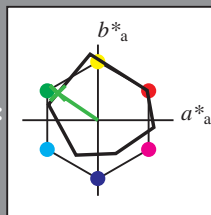
Bunttontexte:

$u^*_d = y75l$ $u^*_e = j76g$

Kontrastreduzierungsfaktor:

$c_R = 1.0$

Dreiecks-Helligkeit i^*



ORS19_96a; adaptierte CIELAB-Daten

u^*_d	$L^*=L^*_a$	a^*_a	b^*_a	$C^*_{ab,a}$	$h^*_{ab,a}$
O _{Ma}	48.75	65.07	39.43	76.08	31
Y _{Ma}	90.92	-10.29	87.24	87.85	97
L _{Ma}	52.69	-65.44	20.75	68.65	162
C _{Ma}	59.61	-28.98	-46.22	54.56	238
V _{Ma}	28.39	23.63	-44.13	50.06	298
M _{Ma}	49.58	73.93	-9.56	74.55	353
N _{Ma}	18.89	0.0	0.0	0.0	0
W _{Ma}	96.9	0.0	0.0	0.0	0
O _{Ma}	39.92	58.74	27.99	65.07	25
Y _{Ma}	81.26	-2.89	71.56	71.62	92
L _{Ma}	52.23	-42.42	13.6	44.55	162
V _{Ma}	30.57	1.41	-46.47	46.49	272

Daten für Maximalfarbe (Ma):

LAB^*LAB^*Ma : 61 -53 36

LAB^*LCH^*Ma : 61 64 145

lab^*olv^*Ma : 0.25 1.0 0.0

lab^*rgb^*Ma : 0.23 1.0 0.0

Dreiecks-Helligkeit i^*

%Umfang

$u^*_{rel} = 89$

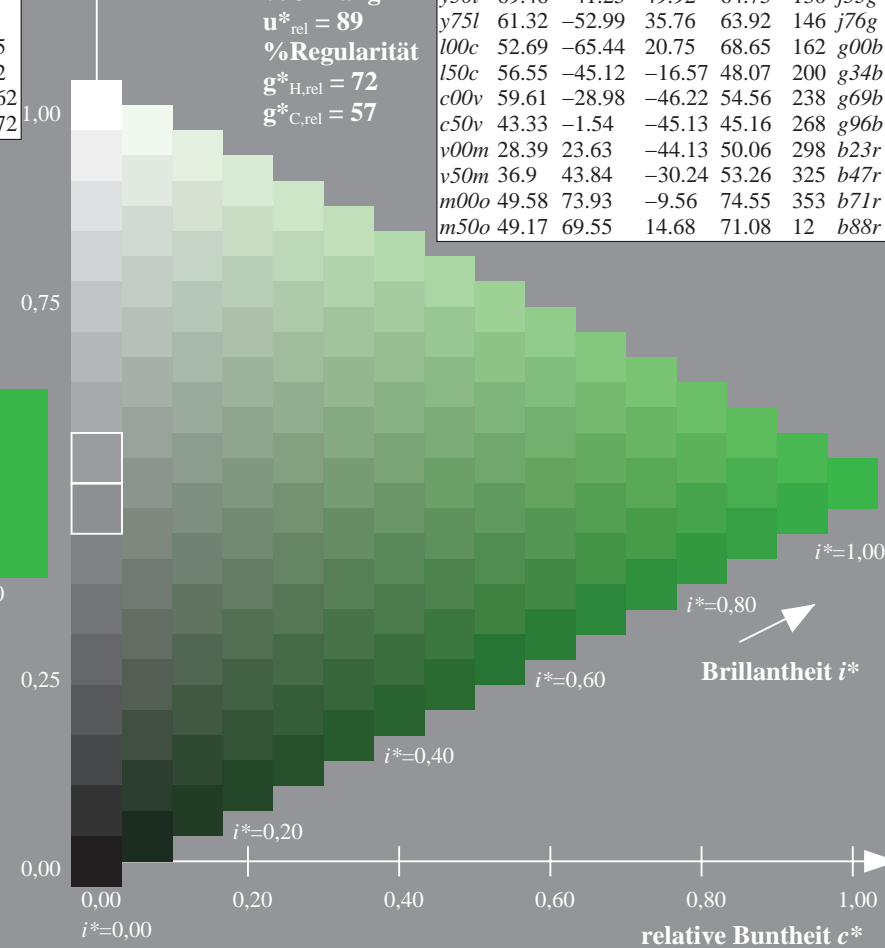
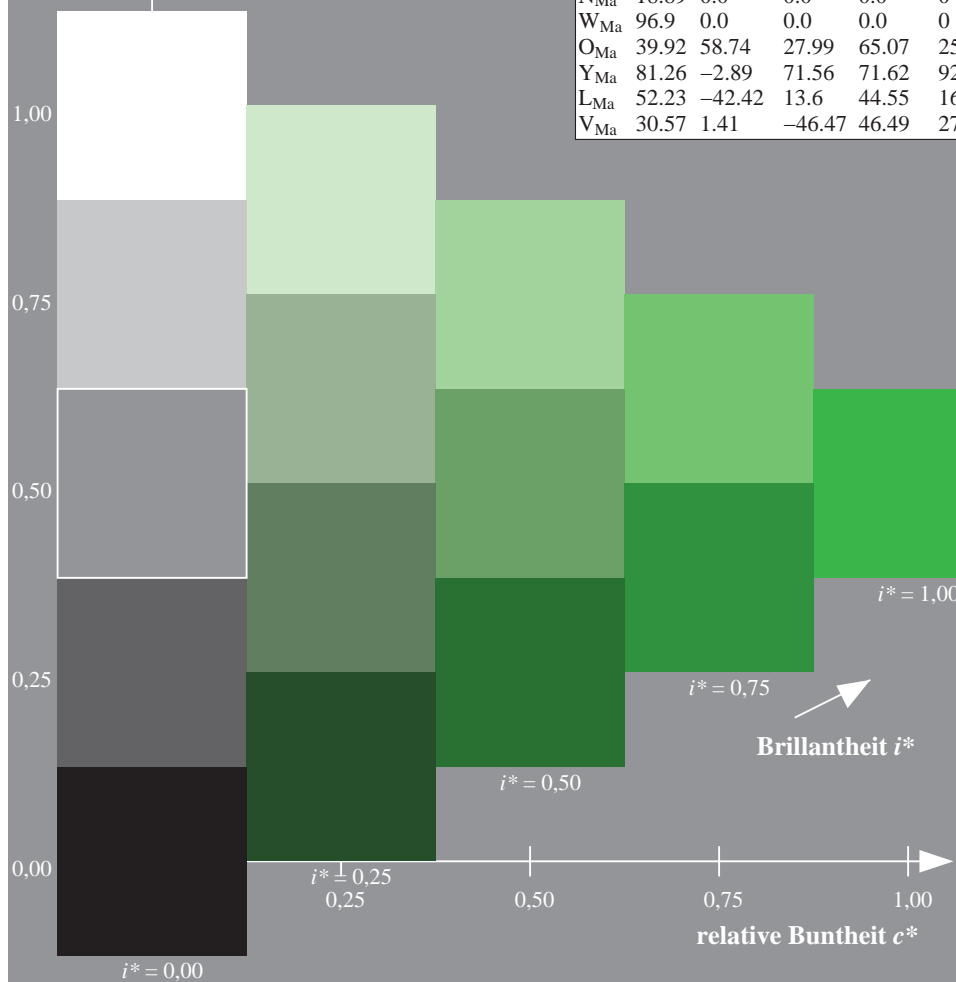
%Regularität

$g^*_{H,rel} = 72$

$g^*_{C,rel} = 57$

ORS19_96a; adaptierte CIELAB-Daten

u^*_d	$L^*=L^*_a$	a^*_a	b^*_a	$C^*_{ab,a}$	$h^*_{ab,a}$	u^*_e
o00y	48.75	65.07	39.43	76.08	31	r08j
o25y	59.04	46.67	51.1	69.21	48	r33j
o50y	68.32	30.09	61.62	68.58	64	r57j
o75y	78.23	12.39	72.85	73.9	80	r81j
y00l	90.92	-10.29	87.24	87.85	97	j06g
y25l	78.57	-28.11	65.75	71.51	113	j29g
y50l	69.46	-41.25	49.92	64.75	130	j53g
y75l	61.32	-52.99	35.76	63.92	146	j76g
l00c	52.69	-65.44	20.75	68.65	162	g00b
l50c	56.55	-45.12	-16.57	48.07	200	g34b
c00v	59.61	-28.98	-46.22	54.56	238	g69b
c50v	43.33	-1.54	-45.13	45.16	268	g96b
v00m	28.39	23.63	-44.13	50.06	298	b23r
v50m	36.9	43.84	-30.24	53.26	325	b47r
m00o	49.58	73.93	-9.56	74.55	353	b71r
m50o	49.17	69.55	14.68	71.08	12	b88r



Ein und Ausgabe: Farbmetrisches Drucker-Reflektiv-System ORS19_96a für relativen CIELAB-Buntton $h^* = lab^*h^* = h_{ab}/360 = 0.451$

Daten für jede Farbe:

lab^*ch^* und lab^*icu^*

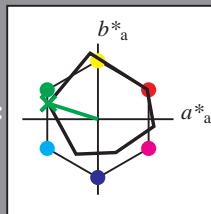
Bunttontexte:

$u^*_d = 100c$ $u^*_e = g00b$

Kontrastreduzierungsfaktor:

$c_R = 1.0$

Dreiecks-Helligkeit i^*



ORS19_96a; adaptierte CIELAB-Daten

u^*_d	$L^*=L^*_a$	a^*_a	b^*_a	$C^*_{ab,a}$	$h^*_{ab,a}$
O _{Ma}	48.75	65.07	39.43	76.08	31
Y _{Ma}	90.92	-10.29	87.24	87.85	97
L _{Ma}	52.69	-65.44	20.75	68.65	162
C _{Ma}	59.61	-28.98	-46.22	54.56	238
V _{Ma}	28.39	23.63	-44.13	50.06	298
M _{Ma}	49.58	73.93	-9.56	74.55	353
N _{Ma}	18.89	0.0	0.0	0.0	0
W _{Ma}	96.9	0.0	0.0	0.0	0
O _{Ma}	39.92	58.74	27.99	65.07	25
Y _{Ma}	81.26	-2.89	71.56	71.62	92
L _{Ma}	52.23	-42.42	13.6	44.55	162
V _{Ma}	30.57	1.41	-46.47	46.49	272

Daten für Maximalfarbe (Ma):

$LAB^*LAB^*_{Ma}$: 53 -65 21

$LAB^*LCH^*_{Ma}$: 53 69 162

$lab^*olv^*_{Ma}$: 0.0 1.0 0.0

$lab^*rgb^*_{Ma}$: 0.0 1.0 0.0

Dreiecks-Helligkeit i^*

%Umfang

$u^*_{rel} = 89$

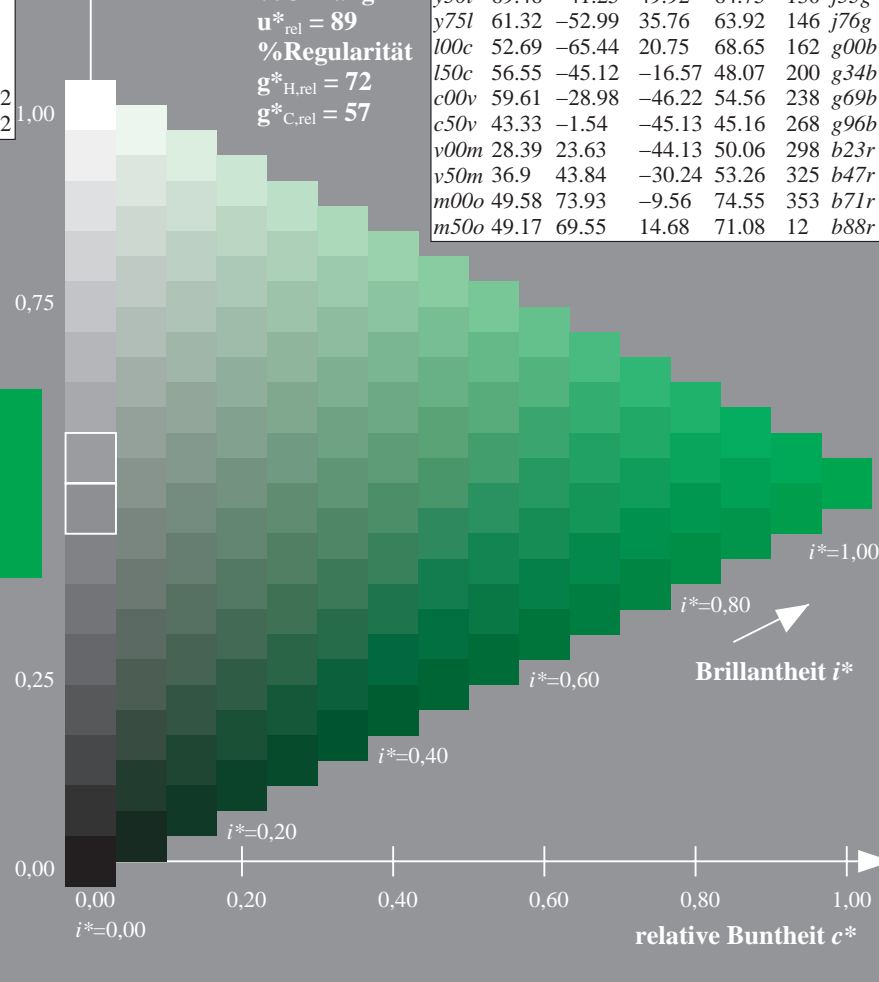
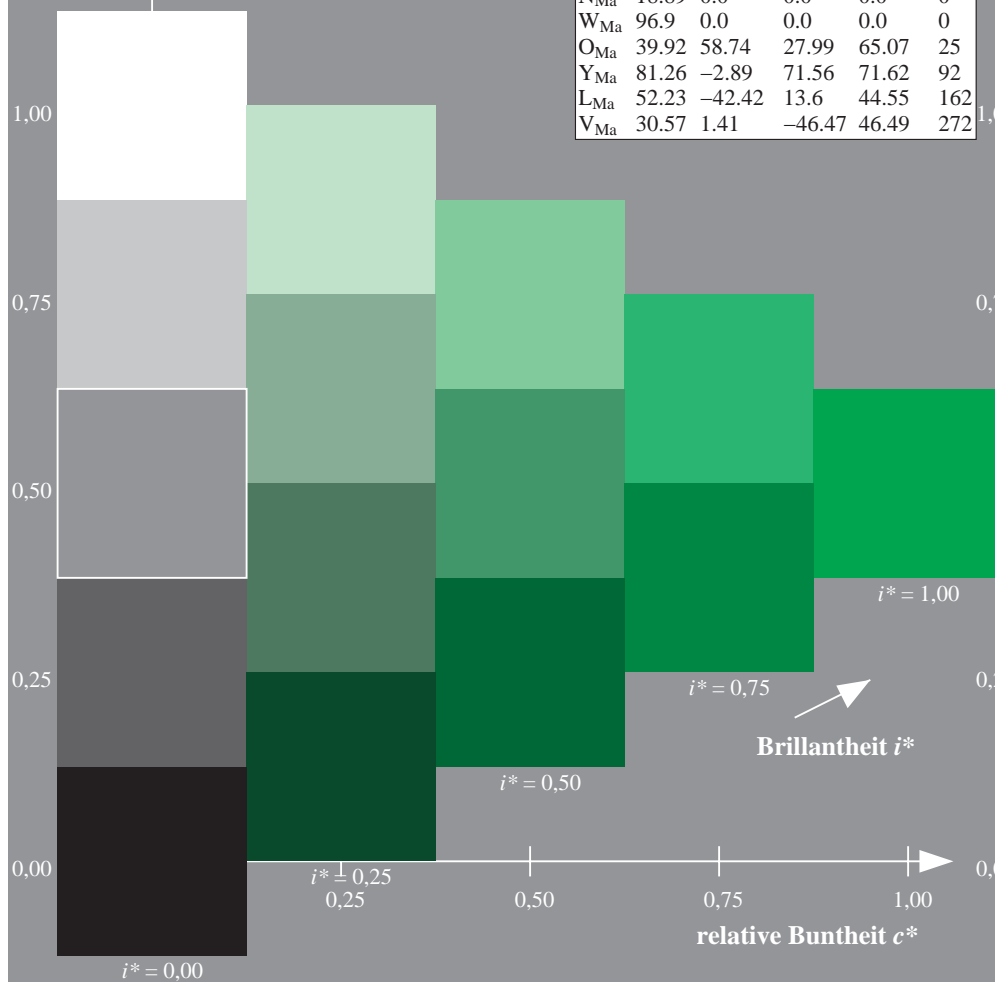
%Regularität

$g^*_{H,rel} = 72$

$g^*_{C,rel} = 57$

ORS19_96a; adaptierte CIELAB-Daten

u^*_d	$L^*=L^*_a$	a^*_a	b^*_a	$C^*_{ab,a}$	$h^*_{ab,a}$	u^*_e
o00y	48.75	65.07	39.43	76.08	31	r08j
o25y	59.04	46.67	51.1	69.21	48	r33j
o50y	68.32	30.09	61.62	68.58	64	r57j
o75y	78.23	12.39	72.85	73.9	80	r81j
y00l	90.92	-10.29	87.24	87.85	97	j06g
y25l	78.57	-28.11	65.75	71.51	113	j29g
y50l	69.46	-41.25	49.92	64.75	130	j53g
y75l	61.32	-52.99	35.76	63.92	146	j76g
l00c	52.69	-65.44	20.75	68.65	162	g00b
l50c	56.55	-45.12	-16.57	48.07	200	g34b
c00v	59.61	-28.98	-46.22	54.56	238	g69b
c50v	43.33	-1.54	-45.13	45.16	268	g96b
v00m	28.39	23.63	-44.13	50.06	298	b23r
v50m	36.9	43.84	-30.24	53.26	325	b47r
m00o	49.58	73.93	-9.56	74.55	353	b71r
m50o	49.17	69.55	14.68	71.08	12	b88r



Ein und Ausgabe: Farbmimetrisches Drucker-Reflektiv-System ORS19_96a für relativen CIELAB-Buntton $h^* = lab^*h^* = h_{ab}/360 = 0.556$

Daten für jede Farbe:

lab^*ch^* und lab^*icu^*

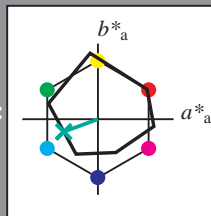
Bunttontexte:

$u^*_d = 150c$ $u^*_e = g34b$

Kontrastreduzierungsfaktor:

$c_R = 1.0$

Dreiecks-Helligkeit i^*



ORS19_96a; adaptierte CIELAB-Daten

u^*_d	$L^*=L^*_a$	a^*_a	b^*_a	$C^*_{ab,a}$	$h^*_{ab,a}$
O _{Ma}	48.75	65.07	39.43	76.08	31
Y _{Ma}	90.92	-10.29	87.24	87.85	97
L _{Ma}	52.69	-65.44	20.75	68.65	162
C _{Ma}	59.61	-28.98	-46.22	54.56	238
V _{Ma}	28.39	23.63	-44.13	50.06	298
M _{Ma}	49.58	73.93	-9.56	74.55	353
N _{Ma}	18.89	0.0	0.0	0.0	0
W _{Ma}	96.9	0.0	0.0	0.0	0
O _{Ma}	39.92	58.74	27.99	65.07	25
Y _{Ma}	81.26	-2.89	71.56	71.62	92
L _{Ma}	52.23	-42.42	13.6	44.55	162
V _{Ma}	30.57	1.41	-46.47	46.49	272

Daten für Maximalfarbe (Ma):

LAB^*LAB^*Ma : 57 -45 -17

LAB^*LCH^*Ma : 57 48 200

lab^*olv^*Ma : 0.0 1.0 0.5

lab^*rgb^*Ma : 0.0 1.0 0.69

Dreiecks-Helligkeit i^*

%Umfang

$u^*_{rel} = 89$

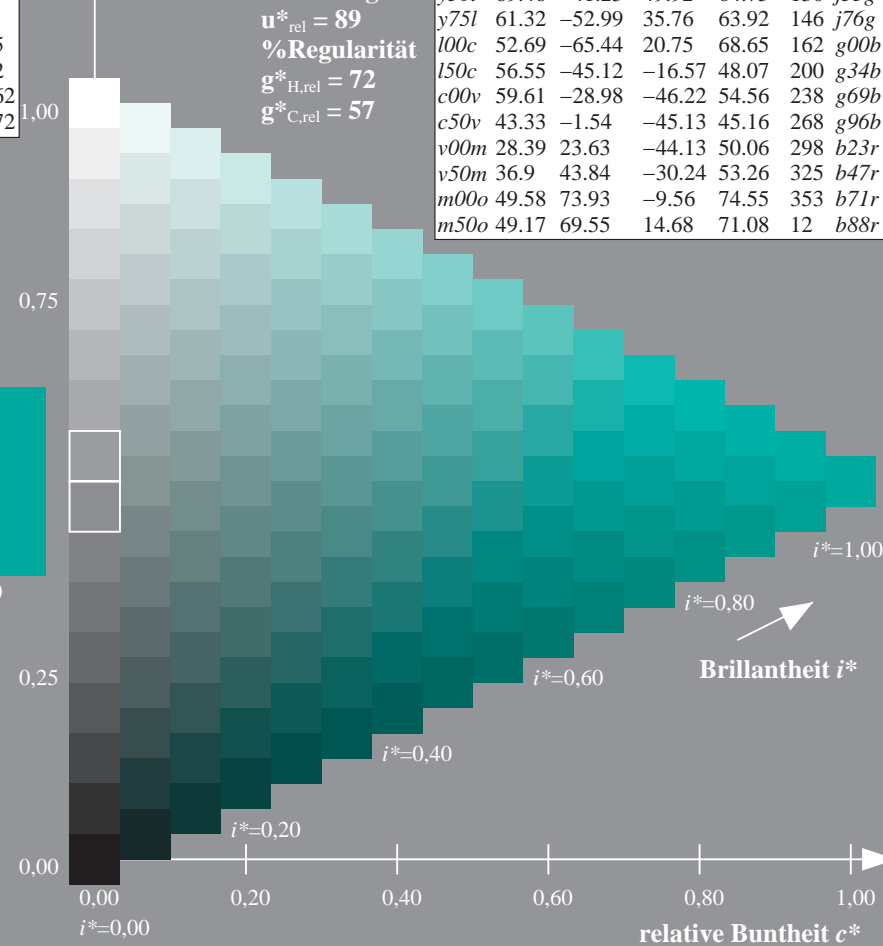
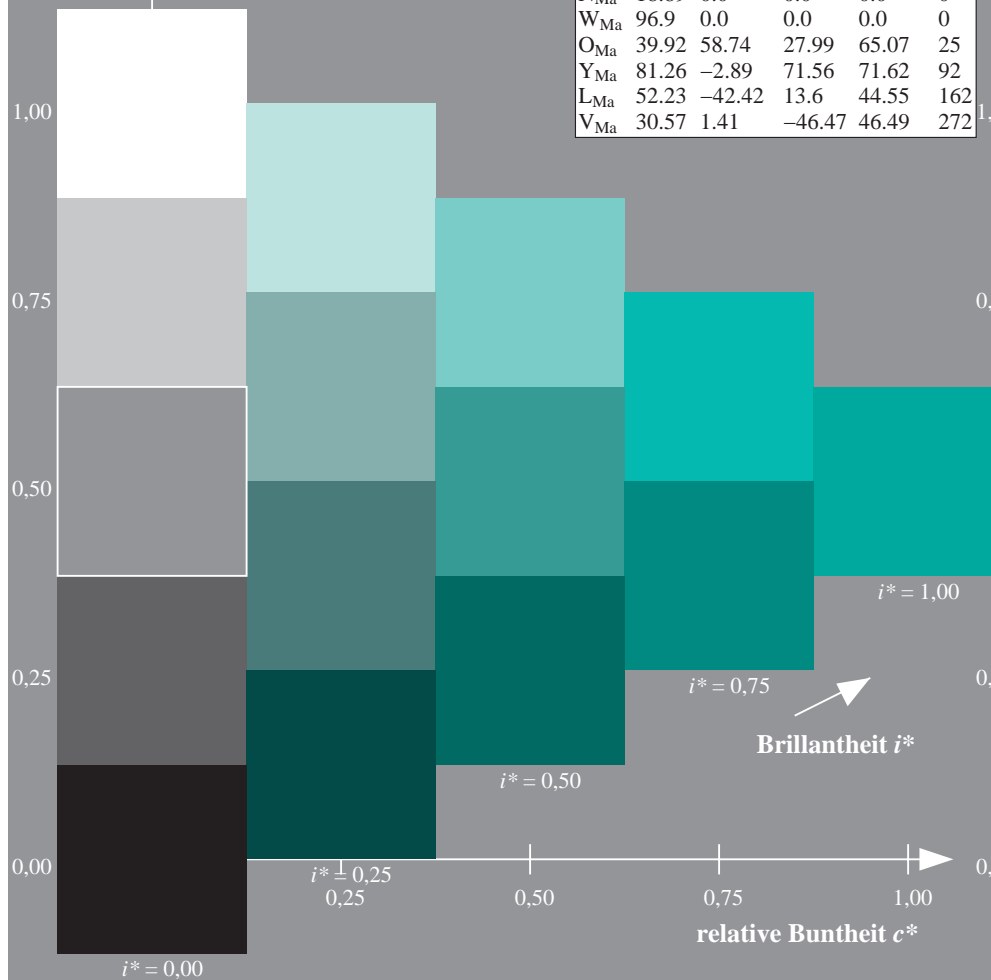
%Regularität

$g^*_{H,rel} = 72$

$g^*_{C,rel} = 57$

ORS19_96a; adaptierte CIELAB-Daten

u^*_d	$L^*=L^*_a$	a^*_a	b^*_a	$C^*_{ab,a}$	$h^*_{ab,a}$	u^*_e
o00y	48.75	65.07	39.43	76.08	31	r08j
o25y	59.04	46.67	51.1	69.21	48	r33j
o50y	68.32	30.09	61.62	68.58	64	r57j
o75y	78.23	12.39	72.85	73.9	80	r81j
y00l	90.92	-10.29	87.24	87.85	97	j06g
y25l	78.57	-28.11	65.75	71.51	113	j29g
y50l	69.46	-41.25	49.92	64.75	130	j53g
y75l	61.32	-52.99	35.76	63.92	146	j76g
l00c	52.69	-65.44	20.75	68.65	162	g00b
l50c	56.55	-45.12	-16.57	48.07	200	g34b
c00v	59.61	-28.98	-46.22	54.56	238	g69b
c50v	43.33	-1.54	-45.13	45.16	268	g96b
v00m	28.39	23.63	-44.13	50.06	298	b23r
v50m	36.9	43.84	-30.24	53.26	325	b47r
m00o	49.58	73.93	-9.56	74.55	353	b71r
m50o	49.17	69.55	14.68	71.08	12	b88r



Ein und Ausgabe: Farbmetrisches Drucker-Reflektiv-System ORS19_96a für relativen CIELAB-Buntton $h^* = lab^*h^* = h_{ab}/360 = 0.661$

Daten für jede Farbe:

lab^*ch^* und lab^*icu^*

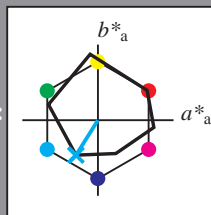
Bunttontexte:

$u^*_d = c00v$ $u^*_e = g69b$

Kontrastreduzierungsfaktor:

$c_R = 1.0$

Dreiecks-Helligkeit i^*



ORS19_96a; adaptierte CIELAB-Daten

u^*_d	$L^*=L^*_a$	a^*_a	b^*_a	$C^*_{ab,a}$	$h^*_{ab,a}$
O _{Ma}	48.75	65.07	39.43	76.08	31
Y _{Ma}	90.92	-10.29	87.24	87.85	97
L _{Ma}	52.69	-65.44	20.75	68.65	162
C _{Ma}	59.61	-28.98	-46.22	54.56	238
V _{Ma}	28.39	23.63	-44.13	50.06	298
M _{Ma}	49.58	73.93	-9.56	74.55	353
N _{Ma}	18.89	0.0	0.0	0.0	0
W _{Ma}	96.9	0.0	0.0	0.0	0
O _{Ma}	39.92	58.74	27.99	65.07	25
Y _{Ma}	81.26	-2.89	71.56	71.62	92
L _{Ma}	52.23	-42.42	13.6	44.55	162
V _{Ma}	30.57	1.41	-46.47	46.49	272

Daten für Maximalfarbe (Ma):

LAB^*LAB^*Ma : 60 -29 -46

LAB^*LCH^*Ma : 60 55 237

lab^*olv^*Ma : 0.0 1.0 1.0

lab^*rgb^*Ma : 0.0 0.62 1.0

Dreiecks-Helligkeit i^*

%Umfang

$u^*_{rel} = 89$

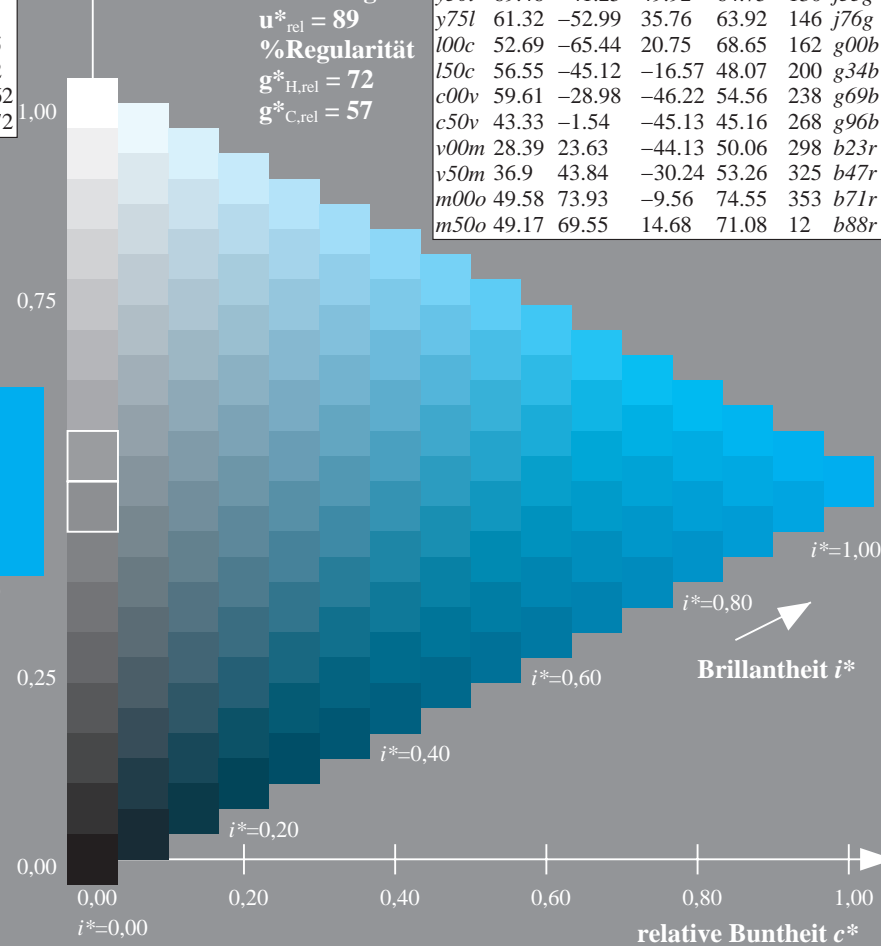
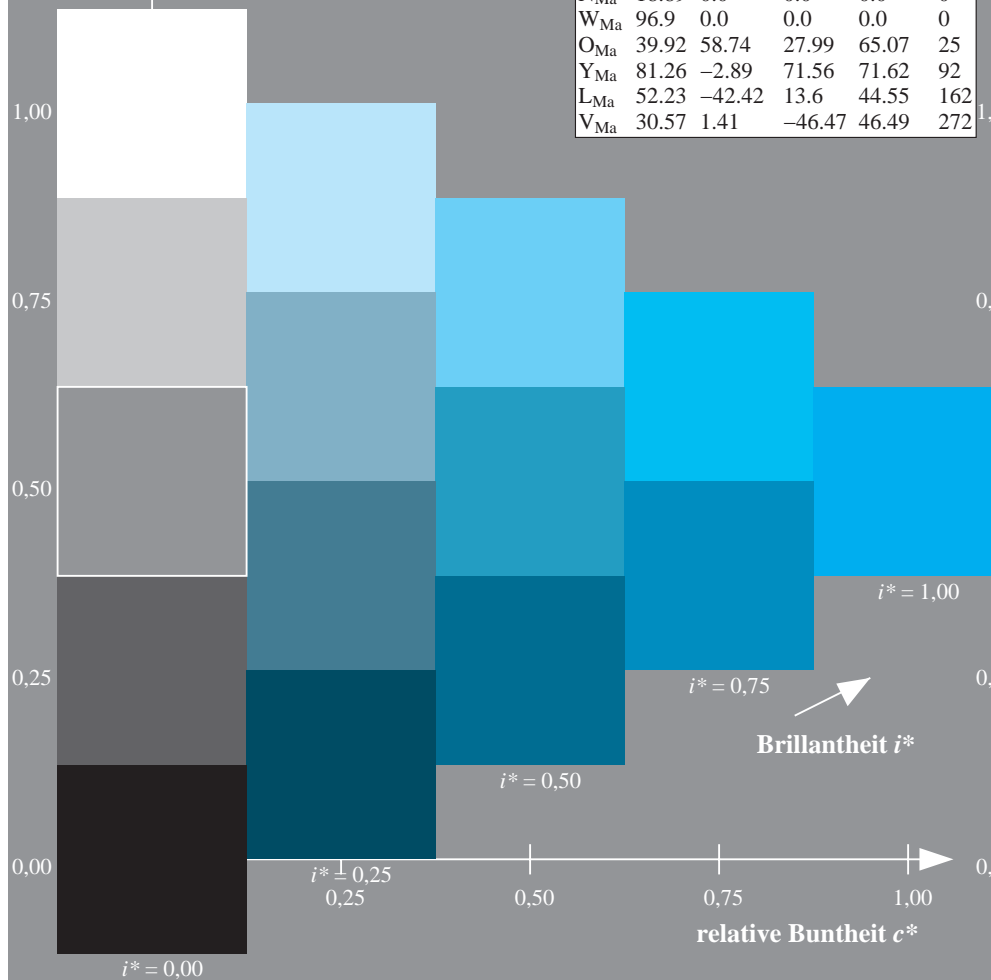
%Regularität

$g^*_{H,rel} = 72$

$g^*_{C,rel} = 57$

ORS19_96a; adaptierte CIELAB-Daten

u^*_d	$L^*=L^*_a$	a^*_a	b^*_a	$C^*_{ab,a}$	$h^*_{ab,a}$	u^*_e
o00y	48.75	65.07	39.43	76.08	31	r08j
o25y	59.04	46.67	51.1	69.21	48	r33j
o50y	68.32	30.09	61.62	68.58	64	r57j
o75y	78.23	12.39	72.85	73.9	80	r81j
y00l	90.92	-10.29	87.24	87.85	97	j06g
y25l	78.57	-28.11	65.75	71.51	113	j29g
y50l	69.46	-41.25	49.92	64.75	130	j53g
y75l	61.32	-52.99	35.76	63.92	146	j76g
l00c	52.69	-65.44	20.75	68.65	162	g00b
l50c	56.55	-45.12	-16.57	48.07	200	g34b
c00v	59.61	-28.98	-46.22	54.56	238	g69b
c50v	43.33	-1.54	-45.13	45.16	268	g96b
v00m	28.39	23.63	-44.13	50.06	298	b23r
v50m	36.9	43.84	-30.24	53.26	325	b47r
m00o	49.58	73.93	-9.56	74.55	353	b71r
m50o	49.17	69.55	14.68	71.08	12	b88r



Ein und Ausgabe: Farbmetrisches Drucker-Reflektiv-System ORS19_96a für relativen CIELAB-Buntton $h^* = lab^*h^* = h_{ab}/360 = 0.745$

Daten für jede Farbe:

lab^*ch^* und lab^*icu^*

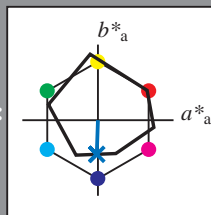
Bunttontexte:

$u^*_d = c50v$ $u^*_e = g96b$

Kontrastreduzierungsfaktor:

$c_R = 1.0$

Dreiecks-Helligkeit i^*



ORS19_96a; adaptierte CIELAB-Daten

u^*_d	$L^*=L^*_a$	a^*_a	b^*_a	$C^*_{ab,a}$	$h^*_{ab,a}$
O _{Ma}	48.75	65.07	39.43	76.08	31
Y _{Ma}	90.92	-10.29	87.24	87.85	97
L _{Ma}	52.69	-65.44	20.75	68.65	162
C _{Ma}	59.61	-28.98	-46.22	54.56	238
V _{Ma}	28.39	23.63	-44.13	50.06	298
M _{Ma}	49.58	73.93	-9.56	74.55	353
N _{Ma}	18.89	0.0	0.0	0.0	0
W _{Ma}	96.9	0.0	0.0	0.0	0
O _{Ma}	39.92	58.74	27.99	65.07	25
Y _{Ma}	81.26	-2.89	71.56	71.62	92
L _{Ma}	52.23	-42.42	13.6	44.55	162
V _{Ma}	30.57	1.41	-46.47	46.49	272

Daten für Maximalfarbe (Ma):

$LAB^*LAB^*_{Ma}$: 43 -2 -45

$LAB^*LCH^*_{Ma}$: 43 45 268

$lab^*olv^*_{Ma}$: 0.0 0.5 1.0

$lab^*rgb^*_{Ma}$: 0.0 0.07 1.0

Dreiecks-Helligkeit i^*

%Umfang

$u^*_{rel} = 89$

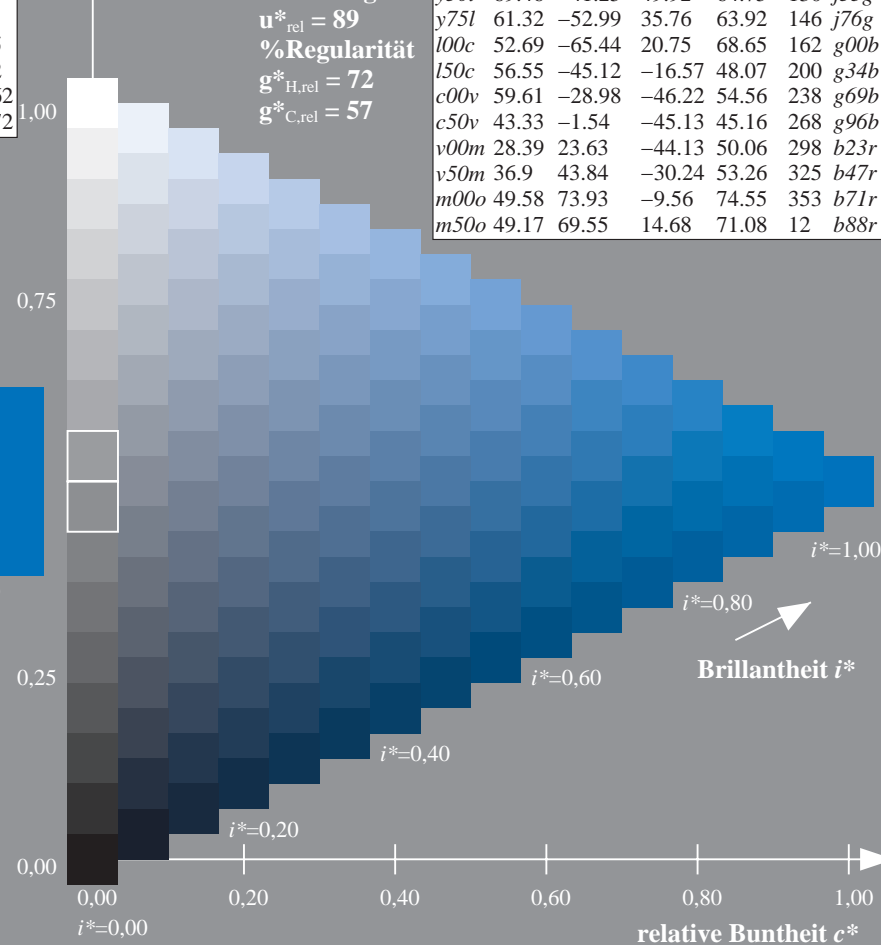
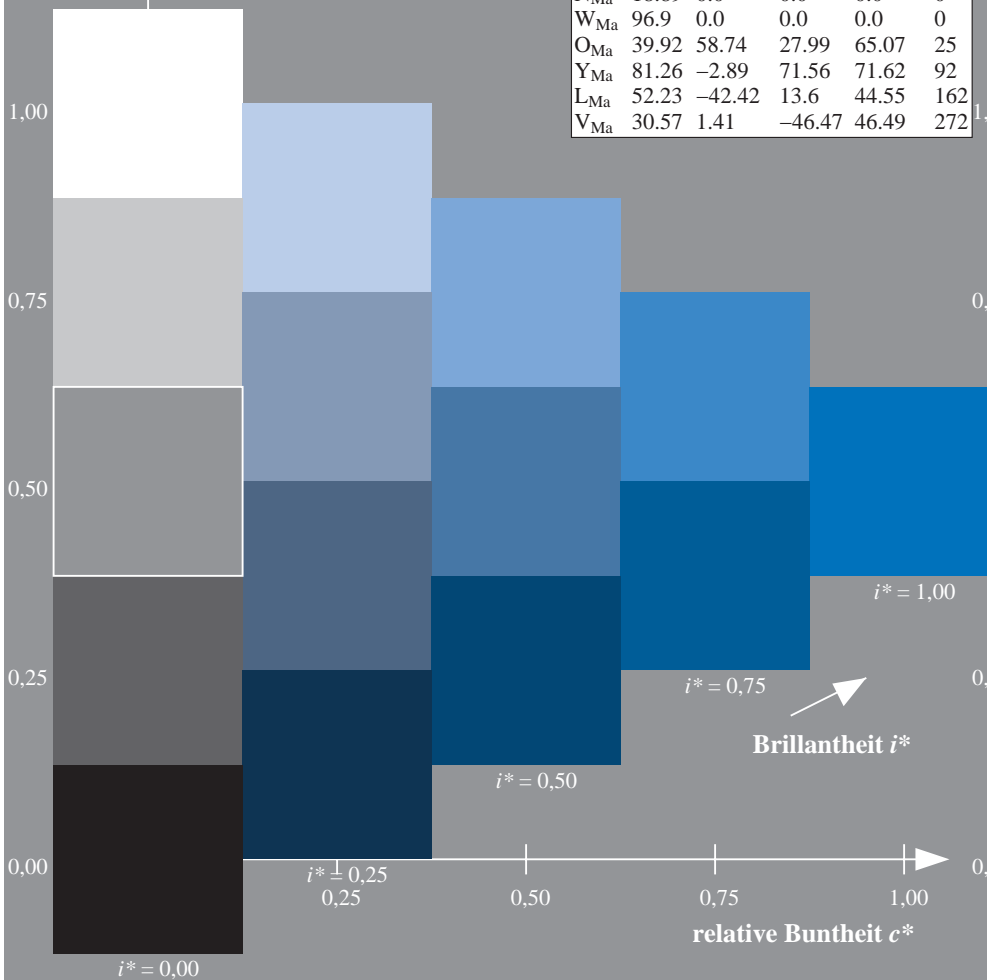
%Regularität

$g^*_{H,rel} = 72$

$g^*_{C,rel} = 57$

ORS19_96a; adaptierte CIELAB-Daten

u^*_d	$L^*=L^*_a$	a^*_a	b^*_a	$C^*_{ab,a}$	$h^*_{ab,a}$	u^*_e
o00y	48.75	65.07	39.43	76.08	31	r08j
o25y	59.04	46.67	51.1	69.21	48	r33j
o50y	68.32	30.09	61.62	68.58	64	r57j
o75y	78.23	12.39	72.85	73.9	80	r81j
y00l	90.92	-10.29	87.24	87.85	97	j06g
y25l	78.57	-28.11	65.75	71.51	113	j29g
y50l	69.46	-41.25	49.92	64.75	130	j53g
y75l	61.32	-52.99	35.76	63.92	146	j76g
l00c	52.69	-65.44	20.75	68.65	162	g00b
l50c	56.55	-45.12	-16.57	48.07	200	g34b
c00v	59.61	-28.98	-46.22	54.56	238	g69b
c50v	43.33	-1.54	-45.13	45.16	268	g96b
v00m	28.39	23.63	-44.13	50.06	298	b23r
v50m	36.9	43.84	-30.24	53.26	325	b47r
m00o	49.58	73.93	-9.56	74.55	353	b71r
m50o	49.17	69.55	14.68	71.08	12	b88r



Ein und Ausgabe: Farbmetrisches Drucker-Reflektiv-System ORS19_96a für relativen CIELAB-Buntton $h^* = lab^*h^* = h_{ab}/360 = 0.828$

Daten für jede Farbe:

lab^*ch^* und lab^*icu^*

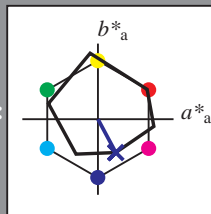
Bunttontexte:

$u^*_d = v00m$ $u^*_e = b23r$

Kontrastreduzierungsfaktor:

$c_R = 1.0$

Dreiecks-Helligkeit i^*



ORS19_96a; adaptierte CIELAB-Daten

u^*_d	$L^*=L^*_a$	a^*_a	b^*_a	$C^*_{ab,a}$	$h^*_{ab,a}$
O _{Ma}	48.75	65.07	39.43	76.08	31
Y _{Ma}	90.92	-10.29	87.24	87.85	97
L _{Ma}	52.69	-65.44	20.75	68.65	162
C _{Ma}	59.61	-28.98	-46.22	54.56	238
V _{Ma}	28.39	23.63	-44.13	50.06	298
M _{Ma}	49.58	73.93	-9.56	74.55	353
N _{Ma}	18.89	0.0	0.0	0.0	0
W _{Ma}	96.9	0.0	0.0	0.0	0
O _{Ma}	39.92	58.74	27.99	65.07	25
Y _{Ma}	81.26	-2.89	71.56	71.62	92
L _{Ma}	52.23	-42.42	13.6	44.55	162
V _{Ma}	30.57	1.41	-46.47	46.49	272

Daten für Maximalfarbe (Ma):

$LAB^*LAB^*_{Ma}$: 28 24 -44

$LAB^*LCH^*_{Ma}$: 28 50 298

$lab^*olv^*_{Ma}$: 0.0 0.0 1.0

$lab^*rgb^*_{Ma}$: 0.46 0.0 1.0

Dreiecks-Helligkeit i^*

%Umfang

$u^*_{rel} = 89$

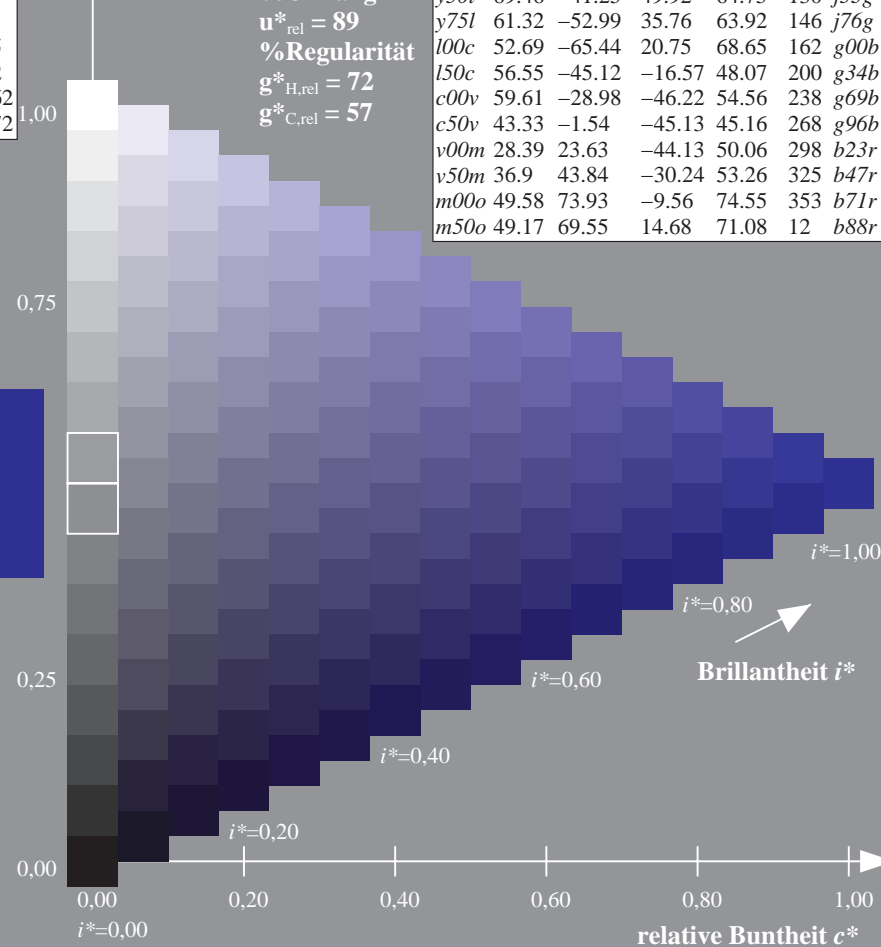
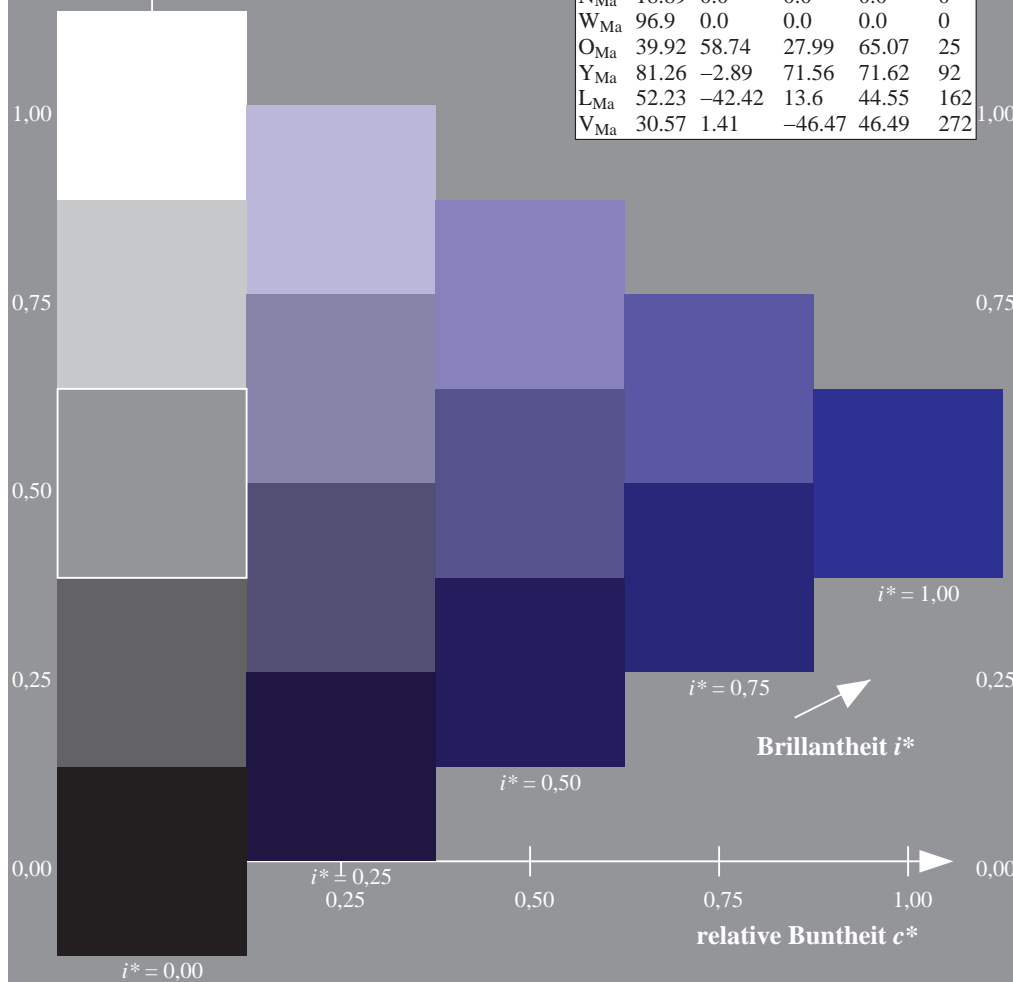
%Regularität

$g^*_{H,rel} = 72$

$g^*_{C,rel} = 57$

ORS19_96a; adaptierte CIELAB-Daten

u^*_d	$L^*=L^*_a$	a^*_a	b^*_a	$C^*_{ab,a}$	$h^*_{ab,a}$	u^*_e
<i>o00y</i>	48.75	65.07	39.43	76.08	31	<i>r08j</i>
<i>o25y</i>	59.04	46.67	51.1	69.21	48	<i>r33j</i>
<i>o50y</i>	68.32	30.09	61.62	68.58	64	<i>r57j</i>
<i>o75y</i>	78.23	12.39	72.85	73.9	80	<i>r81j</i>
<i>y00l</i>	90.92	-10.29	87.24	87.85	97	<i>j06g</i>
<i>y25l</i>	78.57	-28.11	65.75	71.51	113	<i>j29g</i>
<i>y50l</i>	69.46	-41.25	49.92	64.75	130	<i>j53g</i>
<i>y75l</i>	61.32	-52.99	35.76	63.92	146	<i>j76g</i>
<i>l00c</i>	52.69	-65.44	20.75	68.65	162	<i>g00b</i>
<i>l50c</i>	56.55	-45.12	-16.57	48.07	200	<i>g34b</i>
<i>c00v</i>	59.61	-28.98	-46.22	54.56	238	<i>g69b</i>
<i>c50v</i>	43.33	-1.54	-45.13	45.16	268	<i>g96b</i>
<i>v00m</i>	28.39	23.63	-44.13	50.06	298	<i>b23r</i>
<i>v50m</i>	36.9	43.84	-30.24	53.26	325	<i>b47r</i>
<i>m00o</i>	49.58	73.93	-9.56	74.55	353	<i>b71r</i>
<i>m50o</i>	49.17	69.55	14.68	71.08	12	<i>b88r</i>



Ein und Ausgabe: Farbmetrisches Drucker-Reflektiv-System ORS19_96a für relativen CIELAB-Buntton $h^* = lab^*h^* = h_{ab}/360 = 0.904$

Daten für jede Farbe:

lab^*ch^* und lab^*icu^*

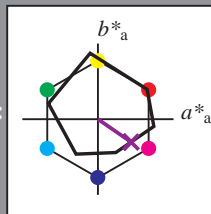
Bunttontexte:

$u^*_d = v50m$ $u^*_e = b47r$

Kontrastreduzierungsfaktor:

$c_R = 1.0$

Dreiecks-Helligkeit i^*



ORS19_96a; adaptierte CIELAB-Daten

u^*_d	$L^*=L^*_a$	a^*_a	b^*_a	$C^*_{ab,a}$	$h^*_{ab,a}$
O _{Ma}	48.75	65.07	39.43	76.08	31
Y _{Ma}	90.92	-10.29	87.24	87.85	97
L _{Ma}	52.69	-65.44	20.75	68.65	162
C _{Ma}	59.61	-28.98	-46.22	54.56	238
V _{Ma}	28.39	23.63	-44.13	50.06	298
M _{Ma}	49.58	73.93	-9.56	74.55	353
N _{Ma}	18.89	0.0	0.0	0.0	0
W _{Ma}	96.9	0.0	0.0	0.0	0
O _{Ma}	39.92	58.74	27.99	65.07	25
Y _{Ma}	81.26	-2.89	71.56	71.62	92
L _{Ma}	52.23	-42.42	13.6	44.55	162
V _{Ma}	30.57	1.41	-46.47	46.49	272

Daten für Maximalfarbe (Ma):

$LAB^*LAB^*_{Ma}$: 37 44 -30

$LAB^*LCH^*_{Ma}$: 37 53 325

$lab^*olv^*_{Ma}$: 0.5 0.0 1.0

$lab^*rgb^*_{Ma}$: 0.94 0.0 1.0

Dreiecks-Helligkeit i^*

%Umfang

$u^*_{rel} = 89$

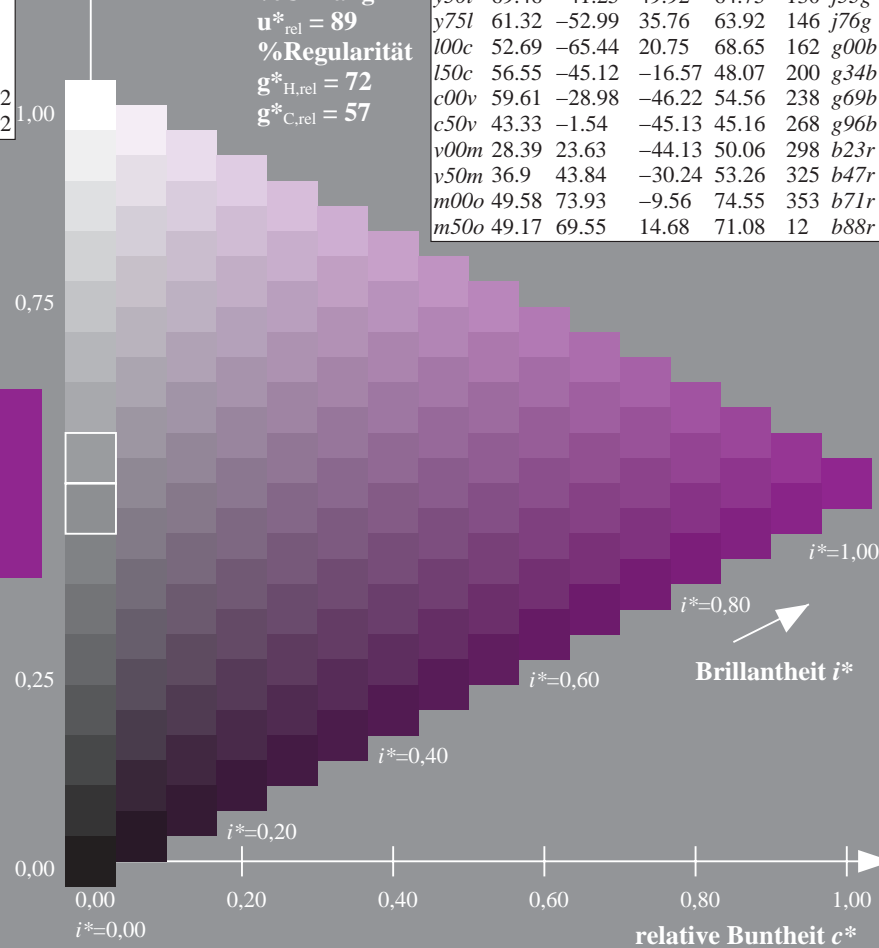
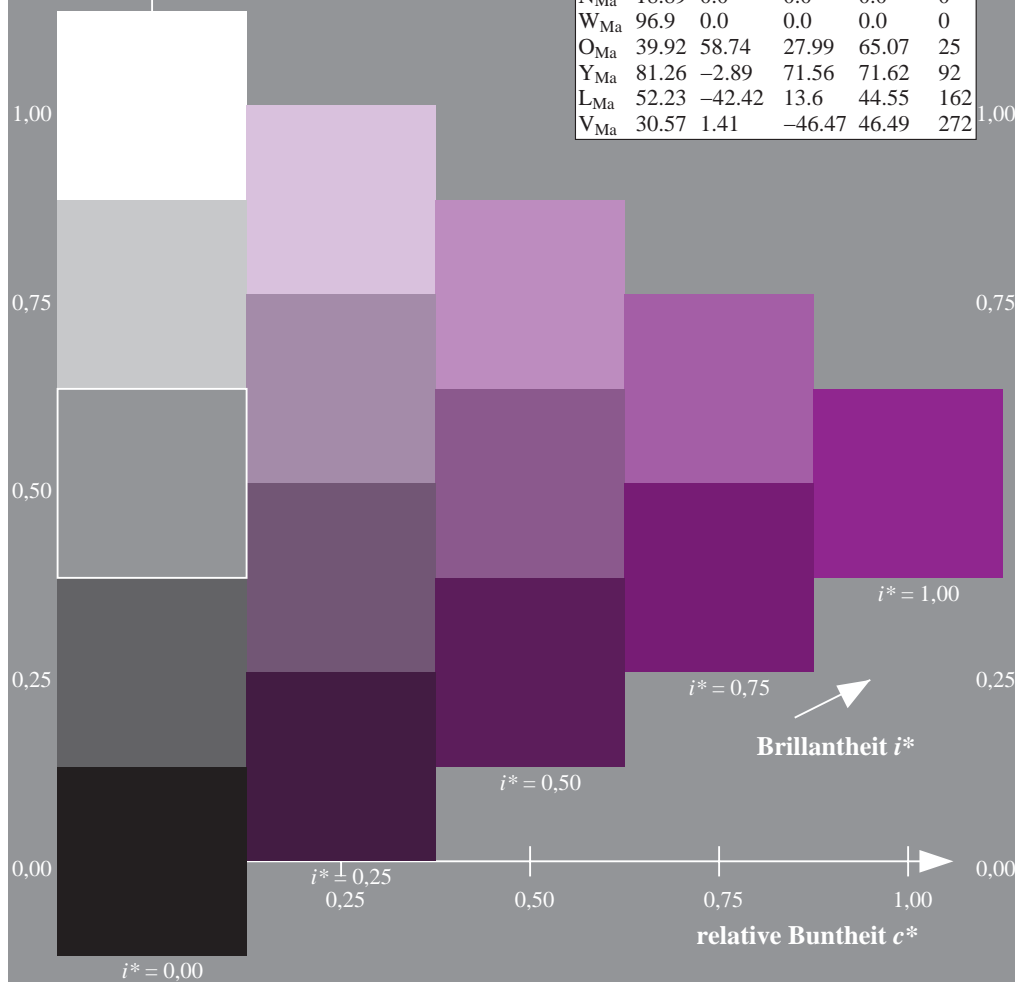
%Regularität

$g^*_{H,rel} = 72$

$g^*_{C,rel} = 57$

ORS19_96a; adaptierte CIELAB-Daten

u^*_d	$L^*=L^*_a$	a^*_a	b^*_a	$C^*_{ab,a}$	$h^*_{ab,a}$	u^*_e
o00y	48.75	65.07	39.43	76.08	31	r08j
o25y	59.04	46.67	51.1	69.21	48	r33j
o50y	68.32	30.09	61.62	68.58	64	r57j
o75y	78.23	12.39	72.85	73.9	80	r81j
y00l	90.92	-10.29	87.24	87.85	97	j06g
y25l	78.57	-28.11	65.75	71.51	113	j29g
y50l	69.46	-41.25	49.92	64.75	130	j53g
y75l	61.32	-52.99	35.76	63.92	146	j76g
l00c	52.69	-65.44	20.75	68.65	162	g00b
l50c	56.55	-45.12	-16.57	48.07	200	g34b
c00v	59.61	-28.98	-46.22	54.56	238	g69b
c50v	43.33	-1.54	-45.13	45.16	268	g96b
v00m	28.39	23.63	-44.13	50.06	298	b23r
v50m	36.9	43.84	-30.24	53.26	325	b47r
m00o	49.58	73.93	-9.56	74.55	353	b71r
m50o	49.17	69.55	14.68	71.08	12	b88r



Ein und Ausgabe: Farbmetrisches Drucker-Reflexiv-System ORS19_96a für relativen CIELAB-Buntton $h^* = lab^*h^* = h_{ab}/360 = 0.98$

Daten für jede Farbe:

lab^*ch^* und lab^*icu^*

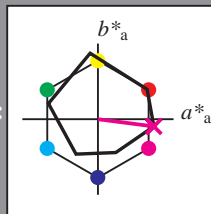
Bunttontexte:

$u^*_d = m00o$ $u^*_e = b71r$

Kontrastreduzierungsfaktor:

$c_R = 1.0$

Dreiecks-Helligkeit i^*



ORS19_96a; adaptierte CIELAB-Daten

u^*_d	$L^*=L^*_a$	a^*_a	b^*_a	$C^*_{ab,a}$	$h^*_{ab,a}$
O _{Ma}	48.75	65.07	39.43	76.08	31
Y _{Ma}	90.92	-10.29	87.24	87.85	97
L _{Ma}	52.69	-65.44	20.75	68.65	162
C _{Ma}	59.61	-28.98	-46.22	54.56	238
V _{Ma}	28.39	23.63	-44.13	50.06	298
M _{Ma}	49.58	73.93	-9.56	74.55	353
N _{Ma}	18.89	0.0	0.0	0.0	0
W _{Ma}	96.9	0.0	0.0	0.0	0
O _{Ma}	39.92	58.74	27.99	65.07	25
Y _{Ma}	81.26	-2.89	71.56	71.62	92
L _{Ma}	52.23	-42.42	13.6	44.55	162
V _{Ma}	30.57	1.41	-46.47	46.49	272

Daten für Maximalfarbe (Ma):

LAB^*LAB^*Ma : 50 74 -10

LAB^*LCH^*Ma : 50 75 352

lab^*olv^*Ma : 1.0 0.0 1.0

lab^*rgb^*Ma : 1.0 0.0 0.58

Dreiecks-Helligkeit i^*

%Umfang

$u^*_{rel} = 89$

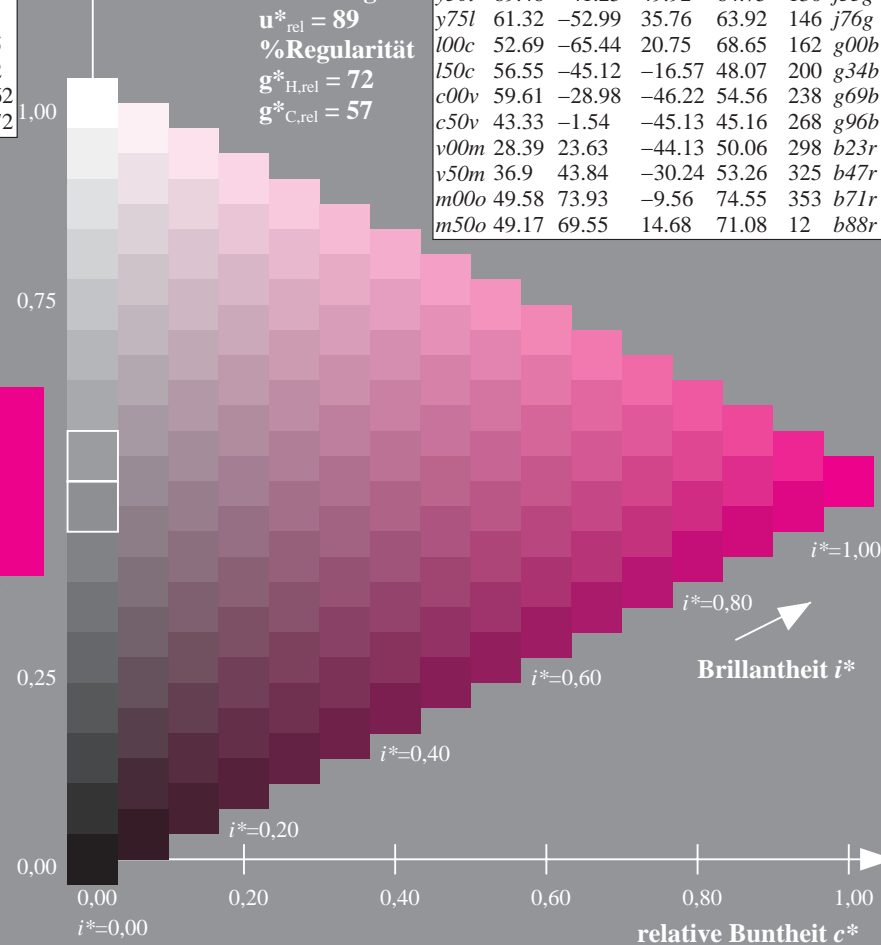
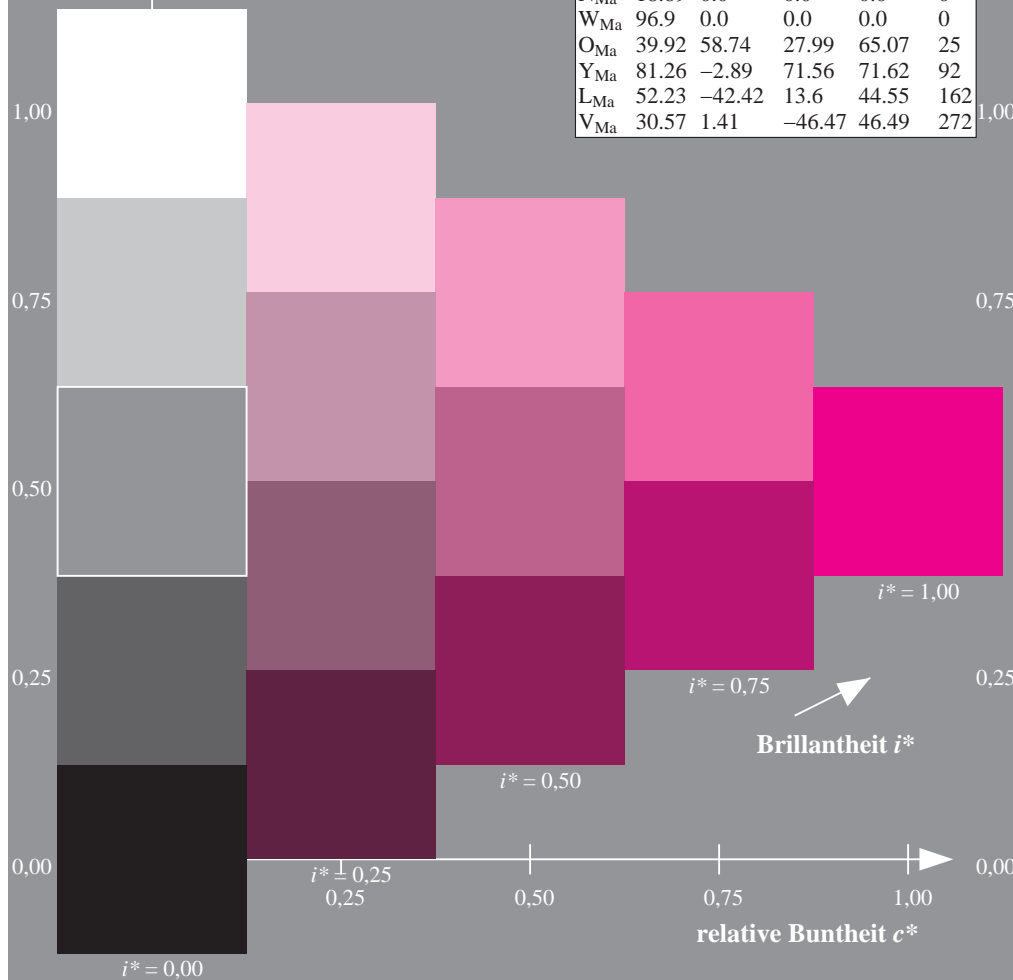
%Regularität

$g^*_{H,rel} = 72$

$g^*_{C,rel} = 57$

ORS19_96a; adaptierte CIELAB-Daten

u^*_d	$L^*=L^*_a$	a^*_a	b^*_a	$C^*_{ab,a}$	$h^*_{ab,a}$	u^*_e
o00y	48.75	65.07	39.43	76.08	31	r08j
o25y	59.04	46.67	51.1	69.21	48	r33j
o50y	68.32	30.09	61.62	68.58	64	r57j
o75y	78.23	12.39	72.85	73.9	80	r81j
y00l	90.92	-10.29	87.24	87.85	97	j06g
y25l	78.57	-28.11	65.75	71.51	113	j29g
y50l	69.46	-41.25	49.92	64.75	130	j53g
y75l	61.32	-52.99	35.76	63.92	146	j76g
l00c	52.69	-65.44	20.75	68.65	162	g00b
l50c	56.55	-45.12	-16.57	48.07	200	g34b
c00v	59.61	-28.98	-46.22	54.56	238	g69b
c50v	43.33	-1.54	-45.13	45.16	268	g96b
v00m	28.39	23.63	-44.13	50.06	298	b23r
v50m	36.9	43.84	-30.24	53.26	325	b47r
m00o	49.58	73.93	-9.56	74.55	353	b71r
m50o	49.17	69.55	14.68	71.08	12	b88r



Ein und Ausgabe: Farbmetrisches Drucker-Reflektiv-System ORS19_96a für relativen CIELAB-Buntton $h^* = lab^*h^* = h_{ab}/360 = 0.033$

Daten für jede Farbe:

lab^*tch^* und lab^*icu^*

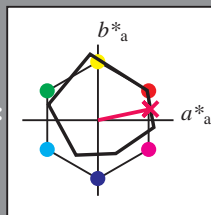
Bunttontexte:

$u^*_d = m50o$ $u^*_e = b88r$

Kontrastreduzierungsfaktor:

$c_R = 1.0$

Dreiecks-Helligkeit i^*



ORS19_96a; adaptierte CIELAB-Daten

u^*_d	$L^*=L^*_a$	a^*_a	b^*_a	$C^*_{ab,a}$	$h^*_{ab,a}$
O _{Ma}	48.75	65.07	39.43	76.08	31
Y _{Ma}	90.92	-10.29	87.24	87.85	97
L _{Ma}	52.69	-65.44	20.75	68.65	162
C _{Ma}	59.61	-28.98	-46.22	54.56	238
V _{Ma}	28.39	23.63	-44.13	50.06	298
M _{Ma}	49.58	73.93	-9.56	74.55	353
N _{Ma}	18.89	0.0	0.0	0.0	0
W _{Ma}	96.9	0.0	0.0	0.0	0
O _{Ma}	39.92	58.74	27.99	65.07	25
Y _{Ma}	81.26	-2.89	71.56	71.62	92
L _{Ma}	52.23	-42.42	13.6	44.55	162
V _{Ma}	30.57	1.41	-46.47	46.49	272

Daten für Maximalfarbe (Ma):

LAB^*LAB^*Ma : 49 70 15

LAB^*LCH^*Ma : 49 71 11

lab^*olv^*Ma : 1.0 0.0 0.5

lab^*rgb^*Ma : 1.0 0.0 0.24

Dreiecks-Helligkeit i^*

%Umfang

$u^*_{rel} = 89$

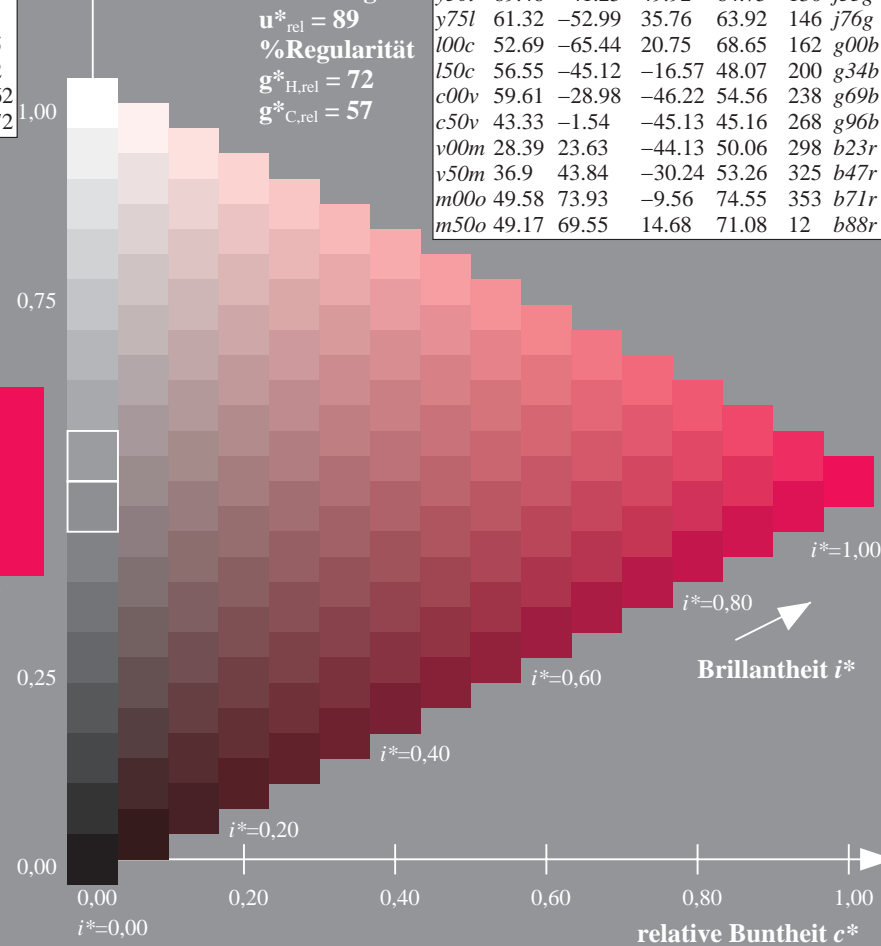
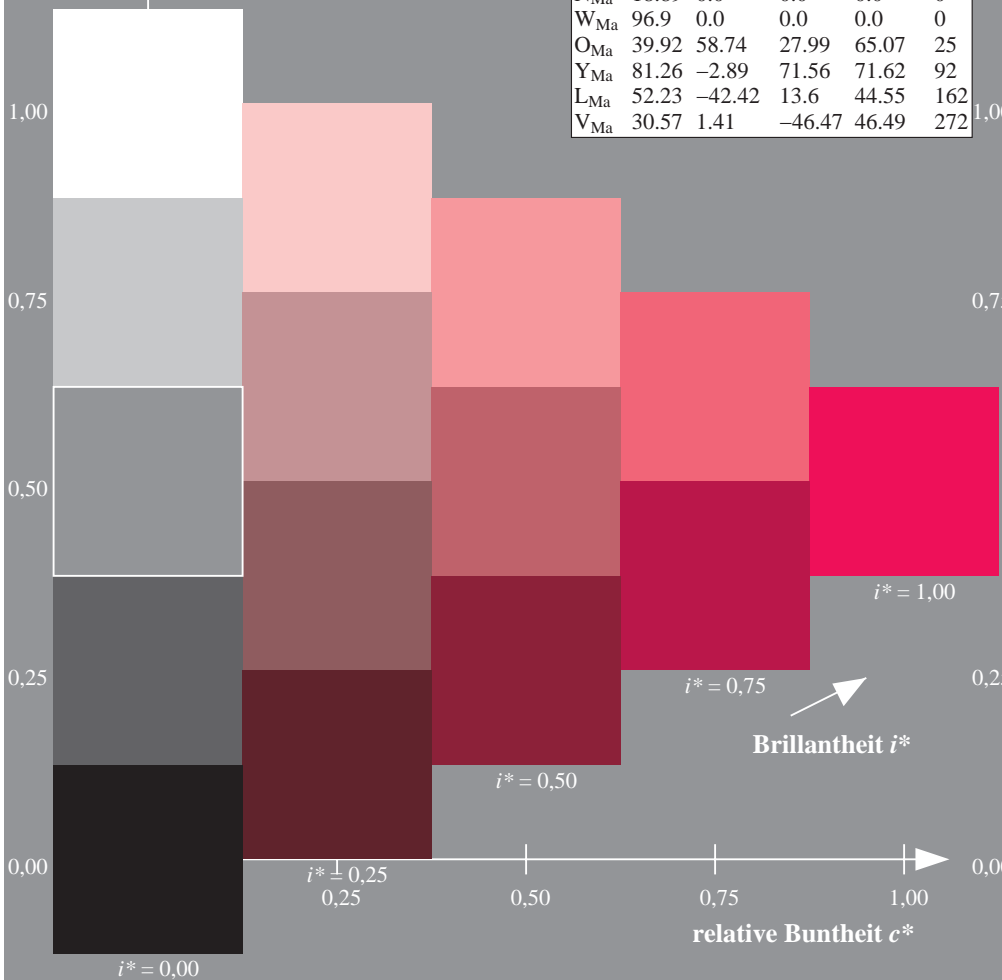
%Regularität

$g^*_{H,rel} = 72$

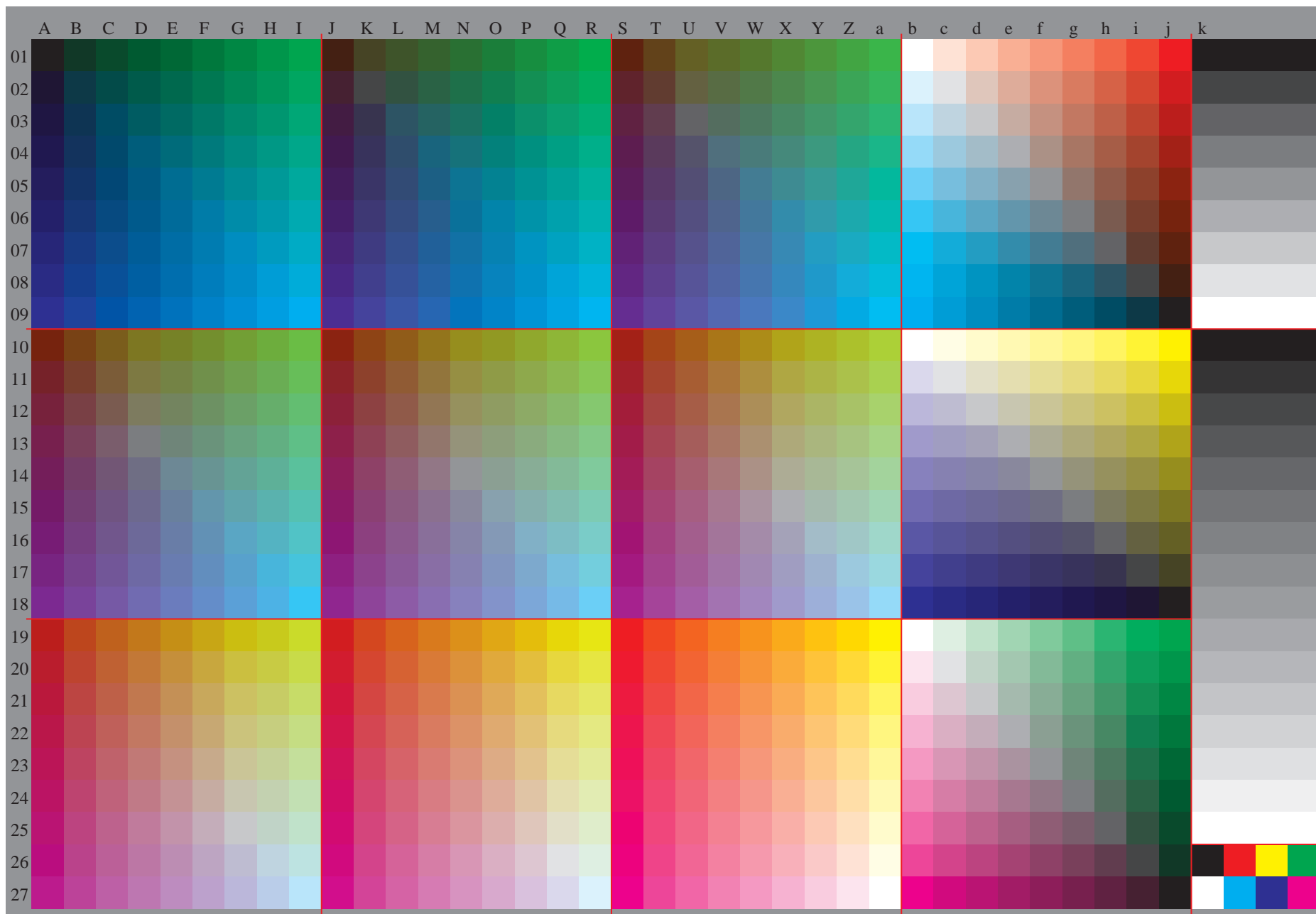
$g^*_{C,rel} = 57$

ORS19_96a; adaptierte CIELAB-Daten

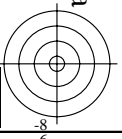
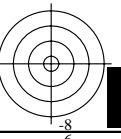
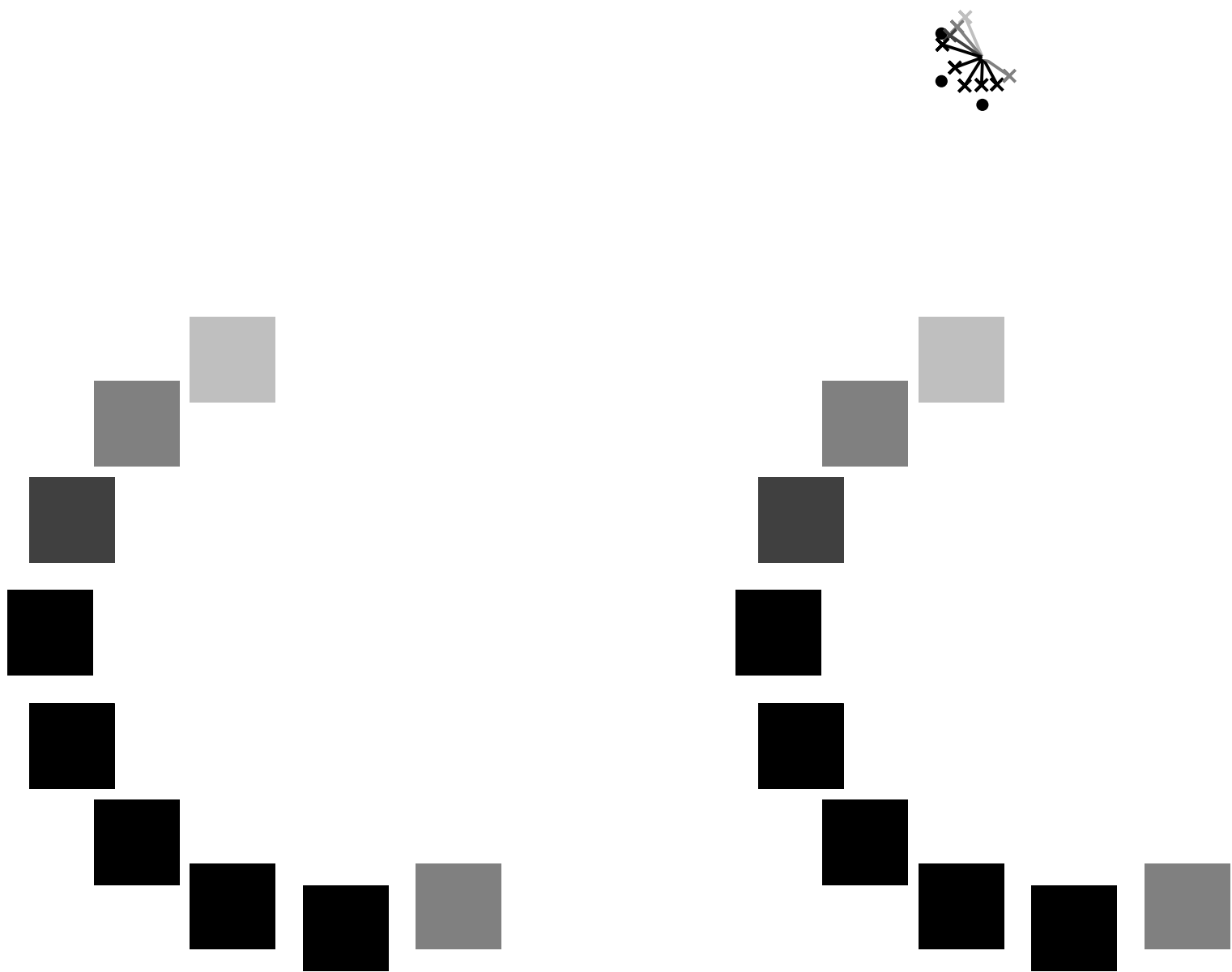
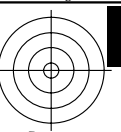
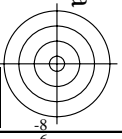
u^*_d	$L^*=L^*_a$	a^*_a	b^*_a	$C^*_{ab,a}$	$h^*_{ab,a}$	u^*_e
o00y	48.75	65.07	39.43	76.08	31	r08j
o25y	59.04	46.67	51.1	69.21	48	r33j
o50y	68.32	30.09	61.62	68.58	64	r57j
o75y	78.23	12.39	72.85	73.9	80	r81j
y00l	90.92	-10.29	87.24	87.85	97	j06g
y25l	78.57	-28.11	65.75	71.51	113	j29g
y50l	69.46	-41.25	49.92	64.75	130	j53g
y75l	61.32	-52.99	35.76	63.92	146	j76g
l00c	52.69	-65.44	20.75	68.65	162	g00b
l50c	56.55	-45.12	-16.57	48.07	200	g34b
c00v	59.61	-28.98	-46.22	54.56	238	g69b
c50v	43.33	-1.54	-45.13	45.16	268	g96b
v00m	28.39	23.63	-44.13	50.06	298	b23r
v50m	36.9	43.84	-30.24	53.26	325	b47r
m00o	49.58	73.93	-9.56	74.55	353	b71r
m50o	49.17	69.55	14.68	71.08	12	b88r

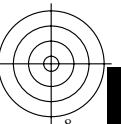
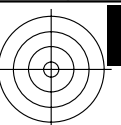


Siehe ähnliche Dateien: <http://www.ps.bam.de/Eg42/>; www.ps.bam.de/Eg.HTM
Technische Information: [http://www.ps.bam.de/Version 2.1, io=1,1, Col5px=1](http://www.ps.bam.de/Version%202.1,io=1,1,Col5px=1)



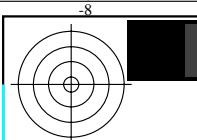
BAM-Registrierung: 20081001-Eg42/10L/L42G00NA.PS/.TXT BAM-Material: Code=rh4ta
Anwendung für Beurteilung und Messung von Drucker- oder Monitorsystemen



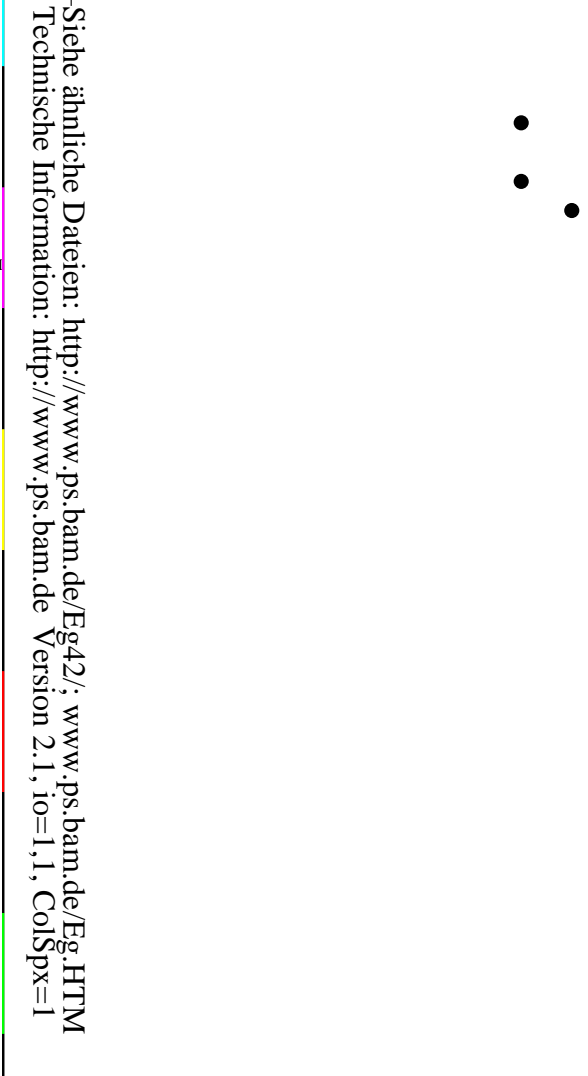
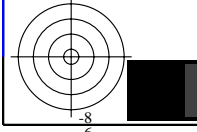




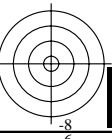
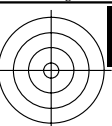
C
M
Y
O
L
V



C
M
Y
O
L
V

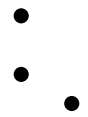


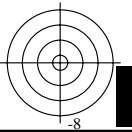
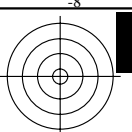
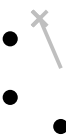
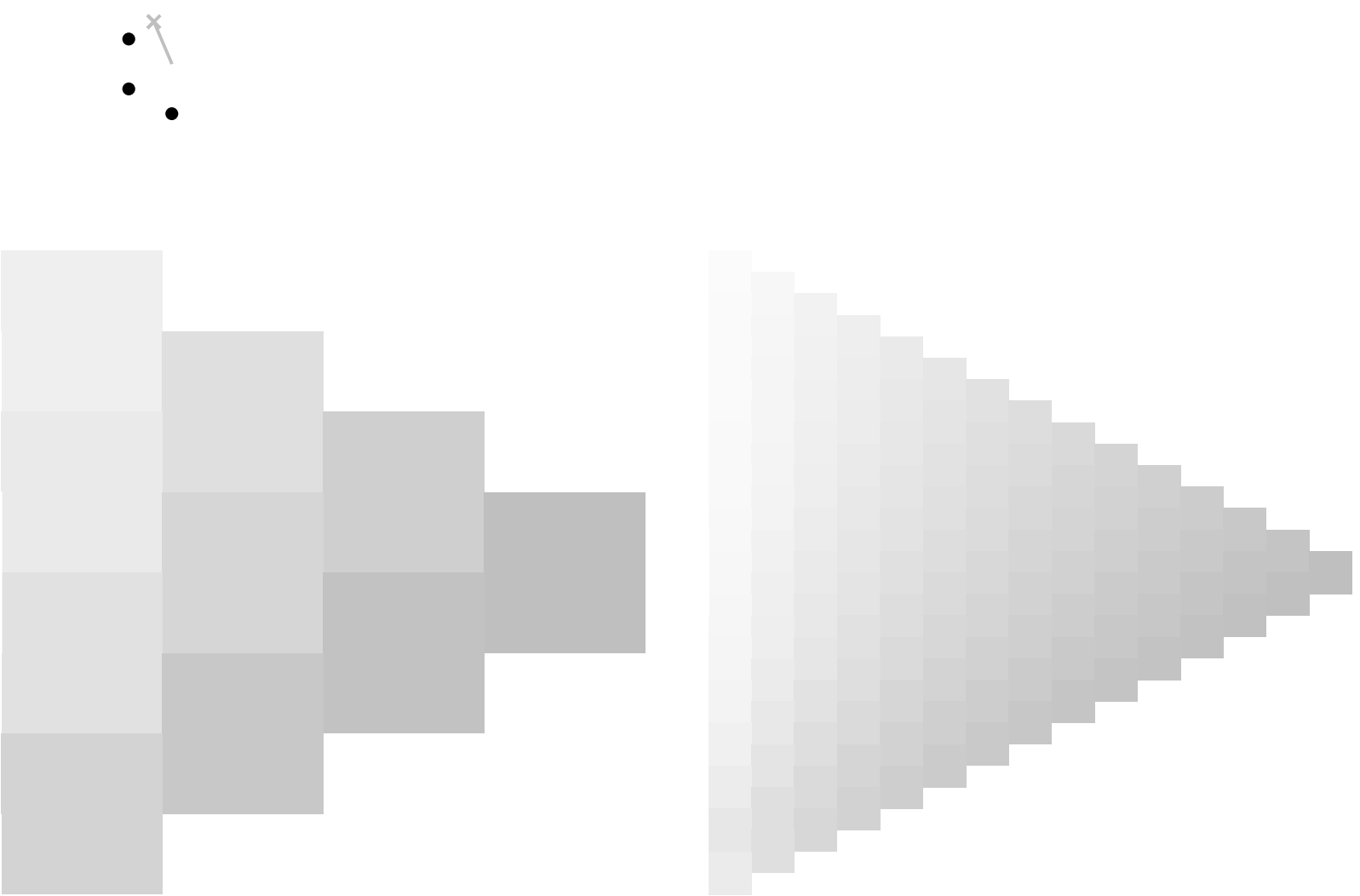
Siehe ähnliche Dateien: <http://www.ps.bam.de/Eg42/>; www.ps.bam.de/Eg.HTM
Technische Information: <http://www.ps.bam.de> Version 2.1, io=1,1, ColSpx=1





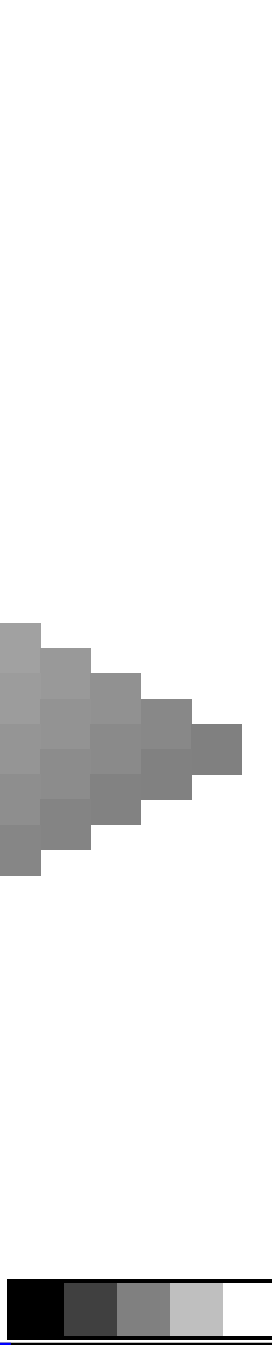
Siehe ähnliche Dateien: <http://www.ps.bam.de/Eg42/>; www.ps.bam.de/Eg.HTM
Technische Information: <http://www.ps.bam.de> Version 2.1, io=1,1, ColSpx=1



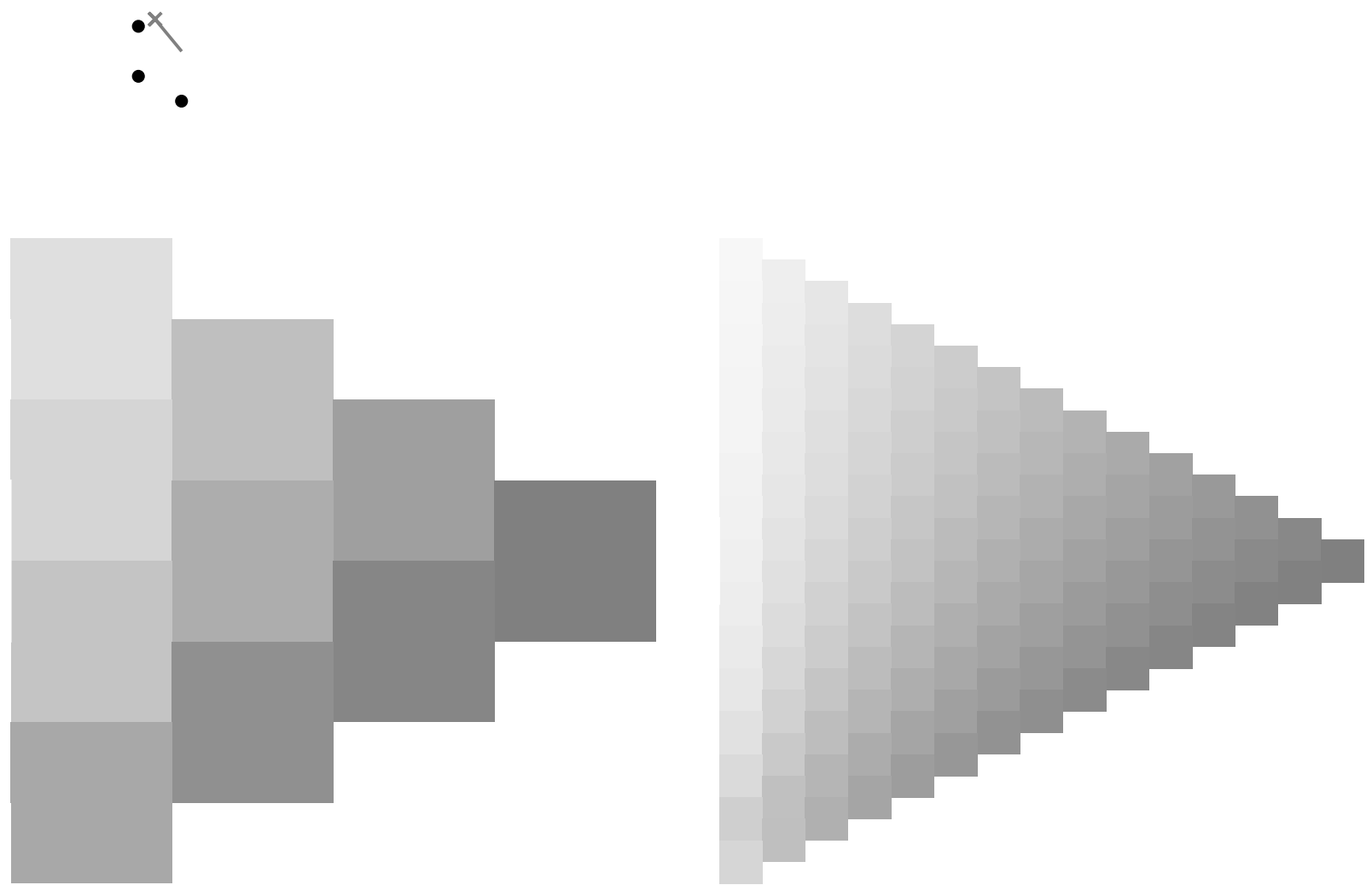




BAM-Registrierung: 20081001-Eg42/10L/L42G00NA.PS/.TXT BAM-Material: Code=rh4ta
Anwendung für Beurteilung und Messung von Drucker- oder Monitorsystemen



www.ps.bam.de/Eg42/10L/L42G00NA.PS/.TXT; ORS19_96a; Transfer und Ausgabe
N: Keine Ausgabe-Linearisierung (OL) in Datei (F), Startup (S), Gerät (D); Separation: cmyk



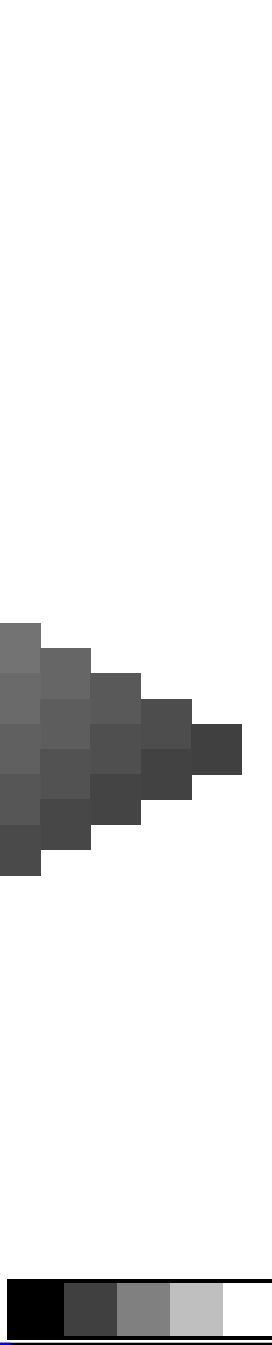
Siehe ähnliche Dateien: <http://www.ps.bam.de/Eg442>; www.ps.bam.de/Eg.HTM
Technische Information: <http://www.ps.bam.de> Version 2.1, io=1,1, ColSp=1



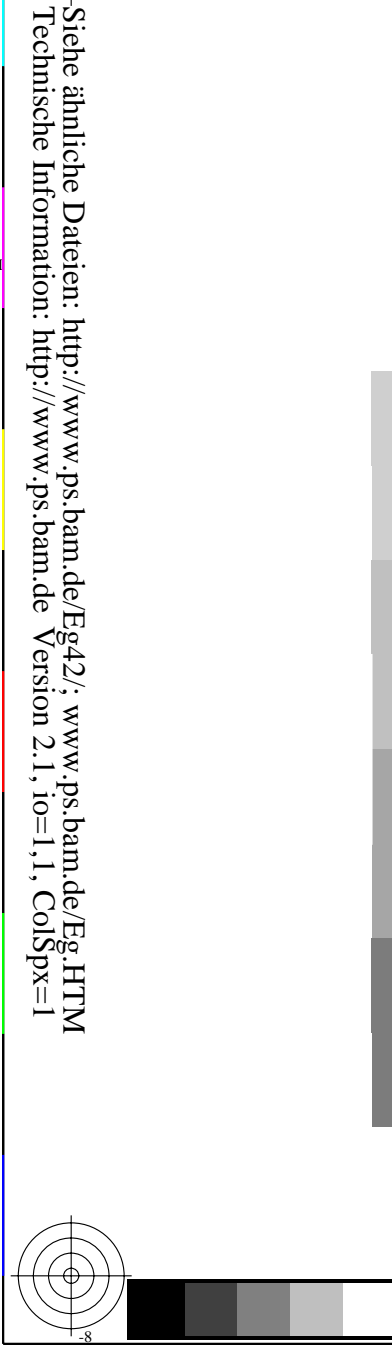
BAM-Prüfvorlage Eg42; Farbmimetrik-Systeme, Seite 44/270 Eingabe: *000n / w / nnn0 / www set...*
 4 Separationen, 9 Datentabellen für 16 Bunttöne *o00y* bis *m75a* Ausgabe: *->cmy6* setcmykcolor*



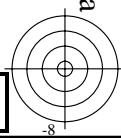
BAM-Registrierung: 20081001-Eg42/10L/L42G00NA.PS/.TXT BAM-Material: Code=rh4ta
Anwendung für Beurteilung und Messung von Drucker- oder Monitorsystemen



A series of 16 grayscale color patches arranged in a 4x4 grid. The patches show a range of gray tones from light to dark, used for color calibration and separation analysis.



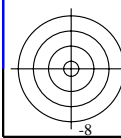
A series of 16 grayscale color patches arranged in a 4x4 grid. The patches show a range of gray tones from light to dark, used for color calibration and separation analysis.



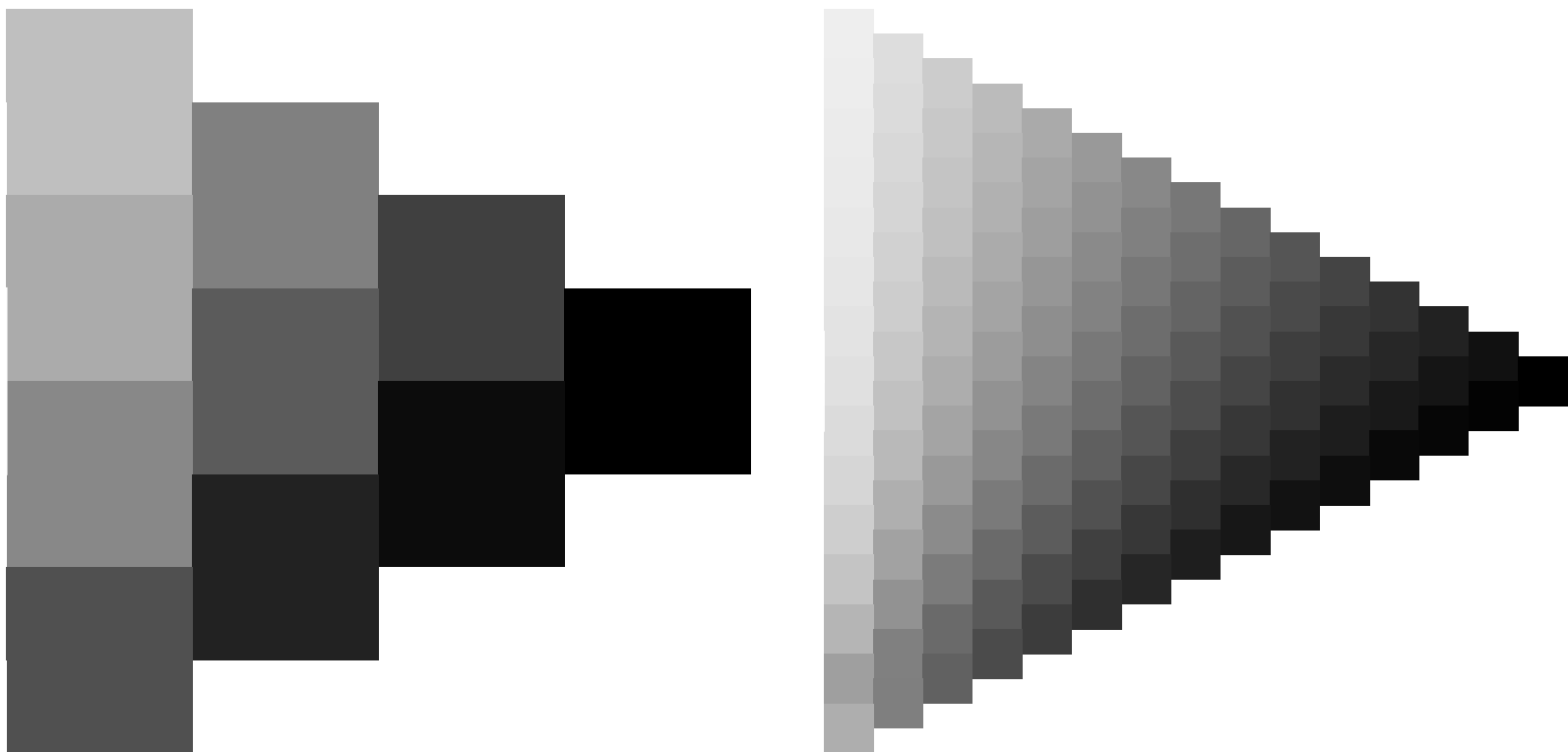
BAM-Registrierung: 20081001-Eg42/10/L42G00NA.PS/.TXT BAM-Material
+ Anwendung für Beurteilung und Messung von Drucker- oder Monitorsystemen



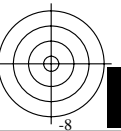
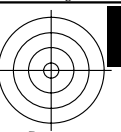
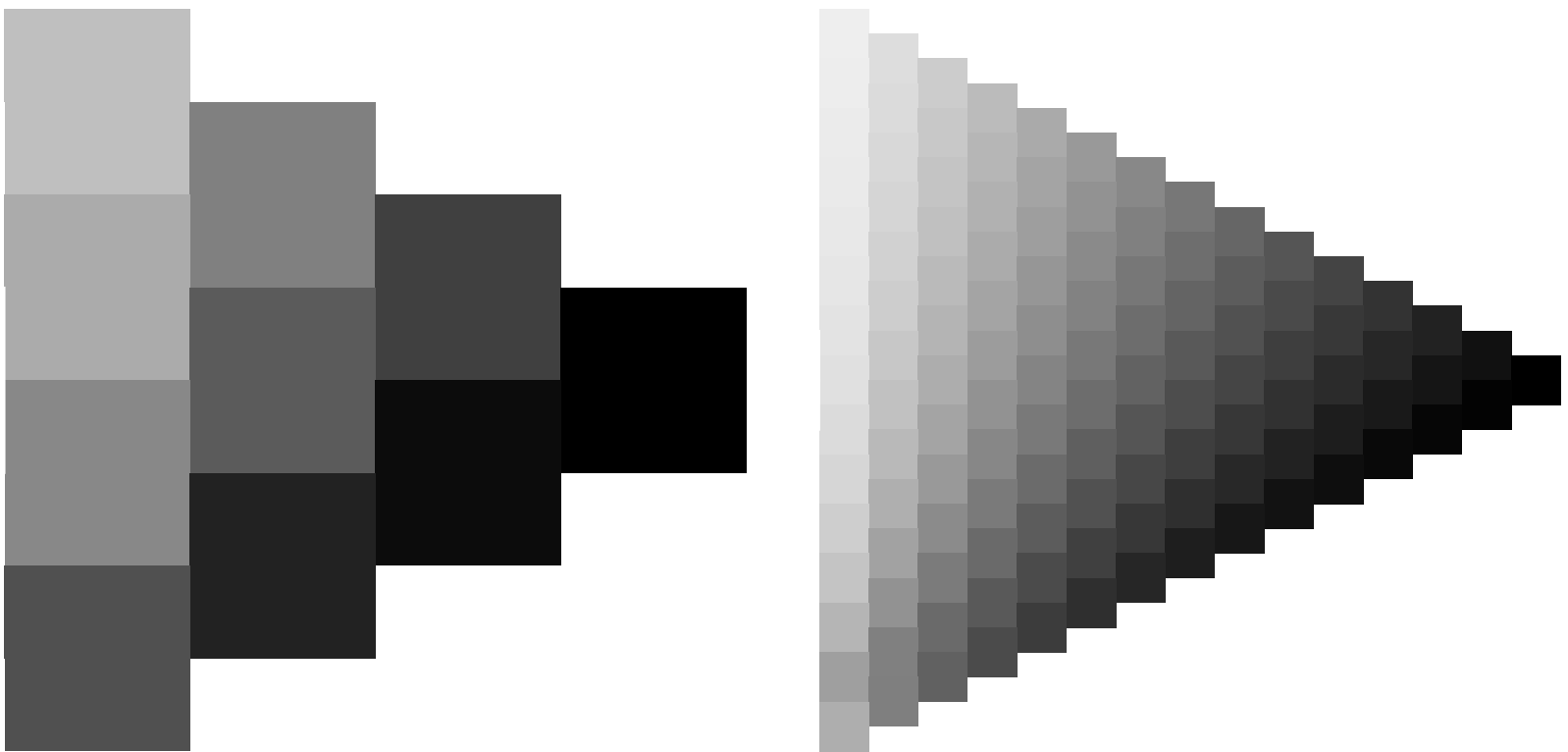
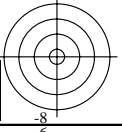
www.ps.bam.de/Eg42/10L/L42G00NA.PS/.TXT; ORS19_96a; Transfer und Ausgabe
N: Keine Ausgabe-Linearisierung (OL) in Datei (F), Startup (S), Gerät (D); Separation: cmyk



Technische Information: <http://www.ps.bam.de/Eg42/>; www.ps.bam.de/Eg42/HTML
+ Siehe ähnliche Dateien: <http://www.ps.bam.de/Eg42/>; www.ps.bam.de/Eg42/HTML
Technische Information: [http://www.ps.bam.de/Version 2.1, io=1,1, Colspx=1](http://www.ps.bam.de/Version%202.1,%20io=1,1,Colspx=1)

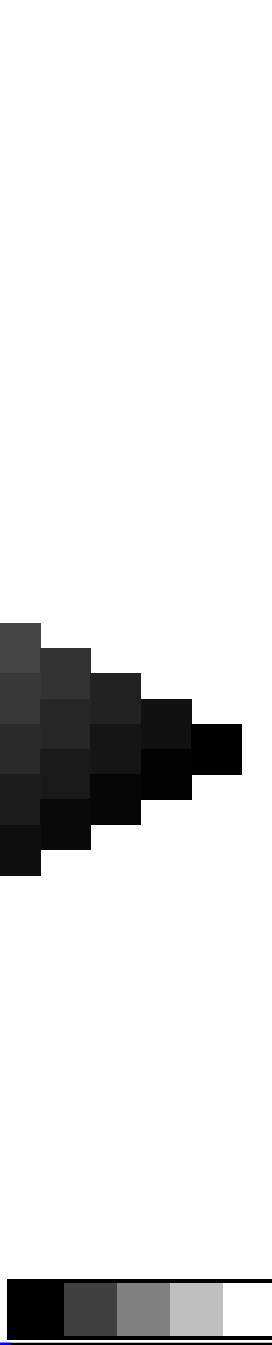


BAM-Prüfvorlage Eg42; Farbmatrik-Systeme, Seite 46/270 Eingabe: 000n / w / nnn0 / www set...
4 Separationen, 9 Datentabellen für 16 Bunttöne o00y bis m75a Ausgabe: ->cmyn6* setcmykcolor

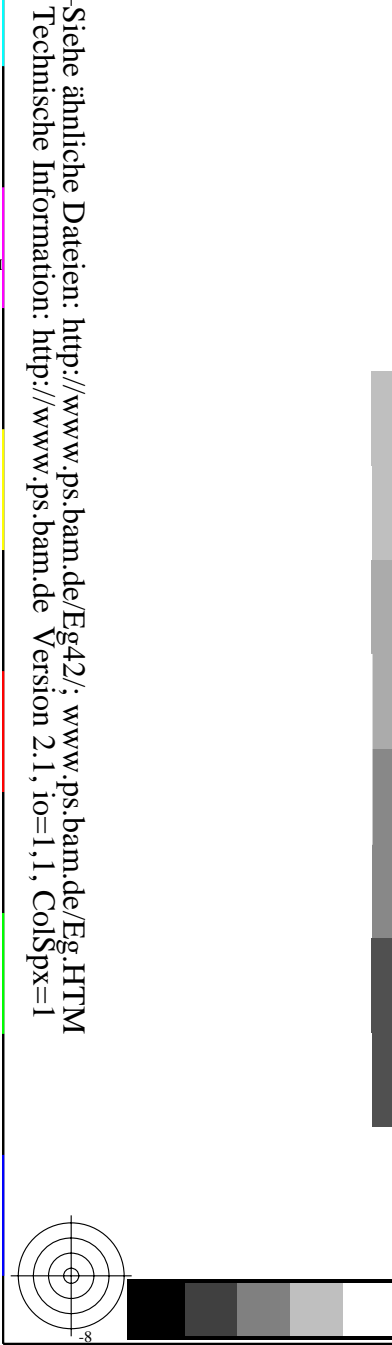




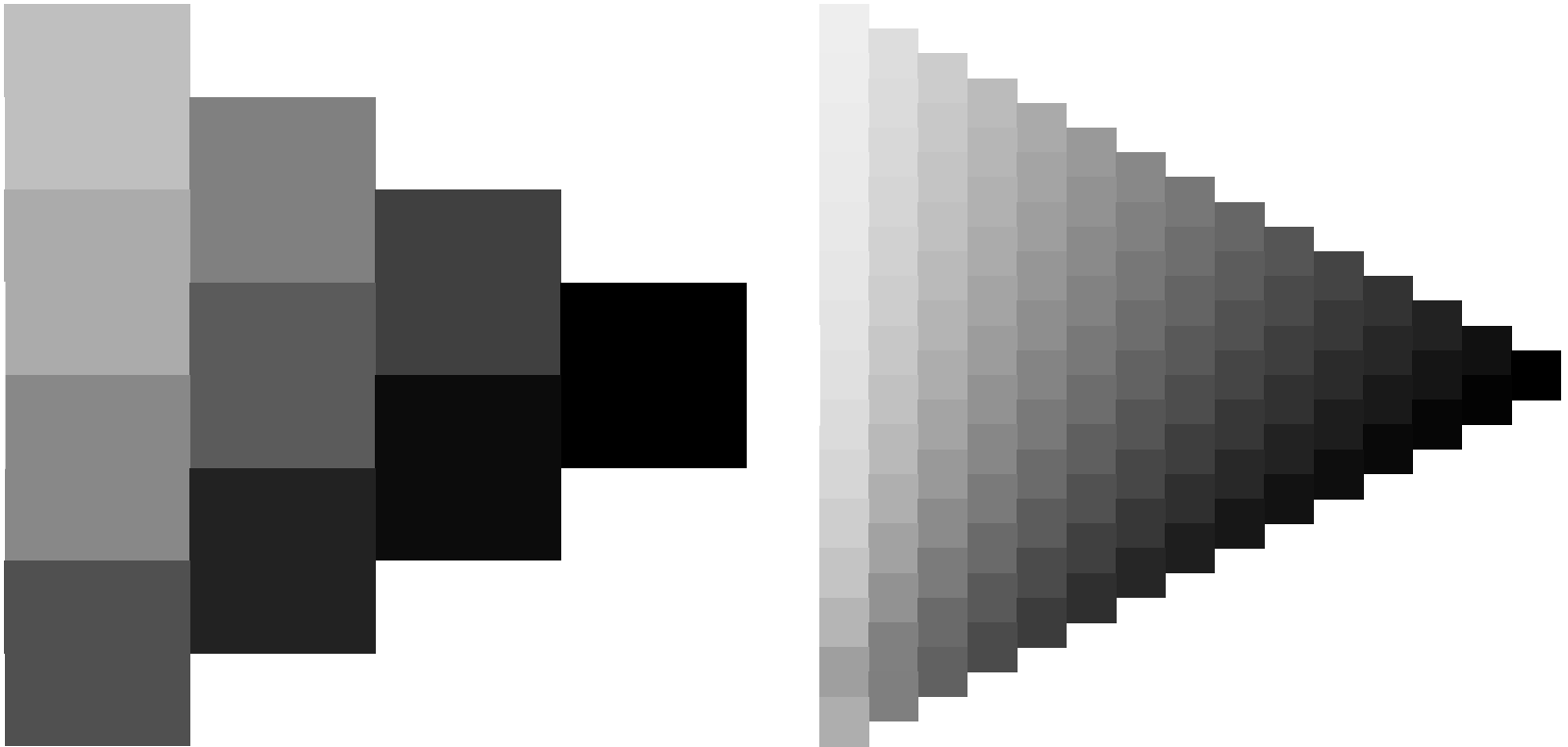
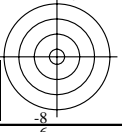
BAM-Registrierung: 20081001-Eg42/10L/L42G00NA.PS/.TXT BAM-Material: Code=rh4ta
Anwendung für Beurteilung und Messung von Drucker- oder Monitorsystemen



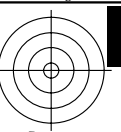
4 Separationen, 9 Datentabellen für 16 Bunttöne *o00y* bis *m75a* Ausgabe: $\rightarrow cmy n6^* setcmykcolor$



4 Separationen, 9 Datentabellen für 16 Bunttöne *o00y* bis *m75a* Ausgabe: $\rightarrow cmy n6^* setcmykcolor$

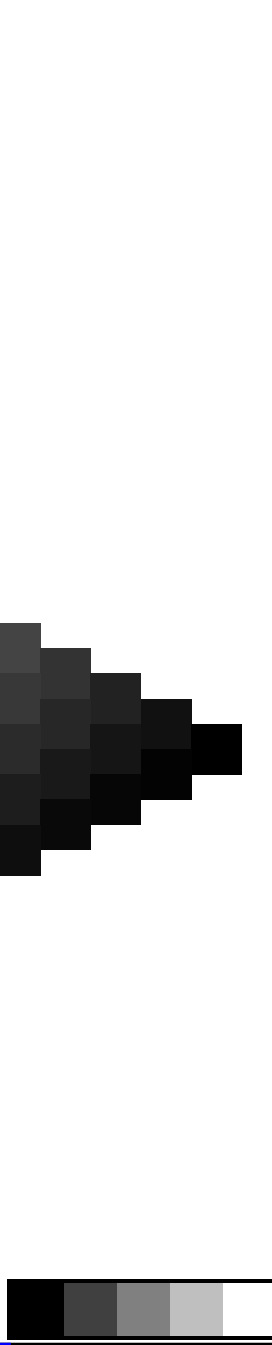


•
•
—x

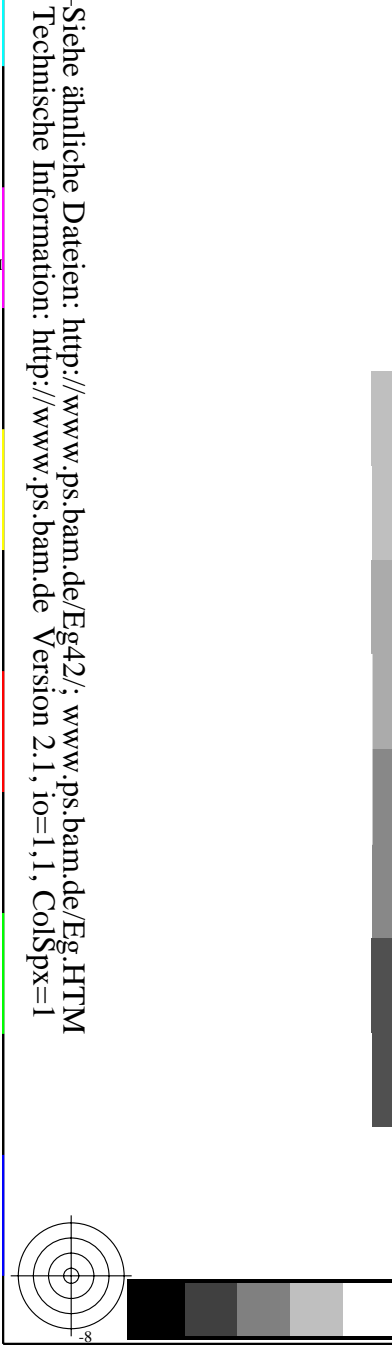




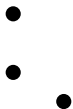
BAM-Registrierung: 20081001-Eg42/10L/L42G00NA.PS/.TXT BAM-Material: Code=rh4ta
Anwendung für Beurteilung und Messung von Drucker- oder Monitorsystemen



The image displays a color calibration target on the left and a grayscale step wedge on the right. The color target consists of a 4x4 grid of colored squares, with the top row being white, yellow, cyan, and magenta, and the bottom row being black, red, green, and blue. The grayscale step wedge is a vertical strip of 11 squares, ranging from white at the top to black at the bottom.



The image displays a color calibration target on the left and a grayscale step wedge on the right. The color target consists of a 4x4 grid of colored squares, with the top row being white, yellow, cyan, and magenta, and the bottom row being black, red, green, and blue. The grayscale step wedge is a vertical strip of 11 squares, ranging from white at the top to black at the bottom.



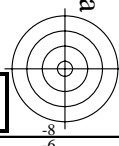
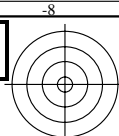


Siehe ähnliche Dateien: <http://www.ps.bam.de/Eg42/>; www.ps.bam.de/Eg.HTM
Technische Information: <http://www.ps.bam.de> Version 2.1, io=1,1, ColSpx=1

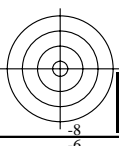
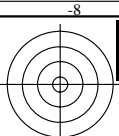
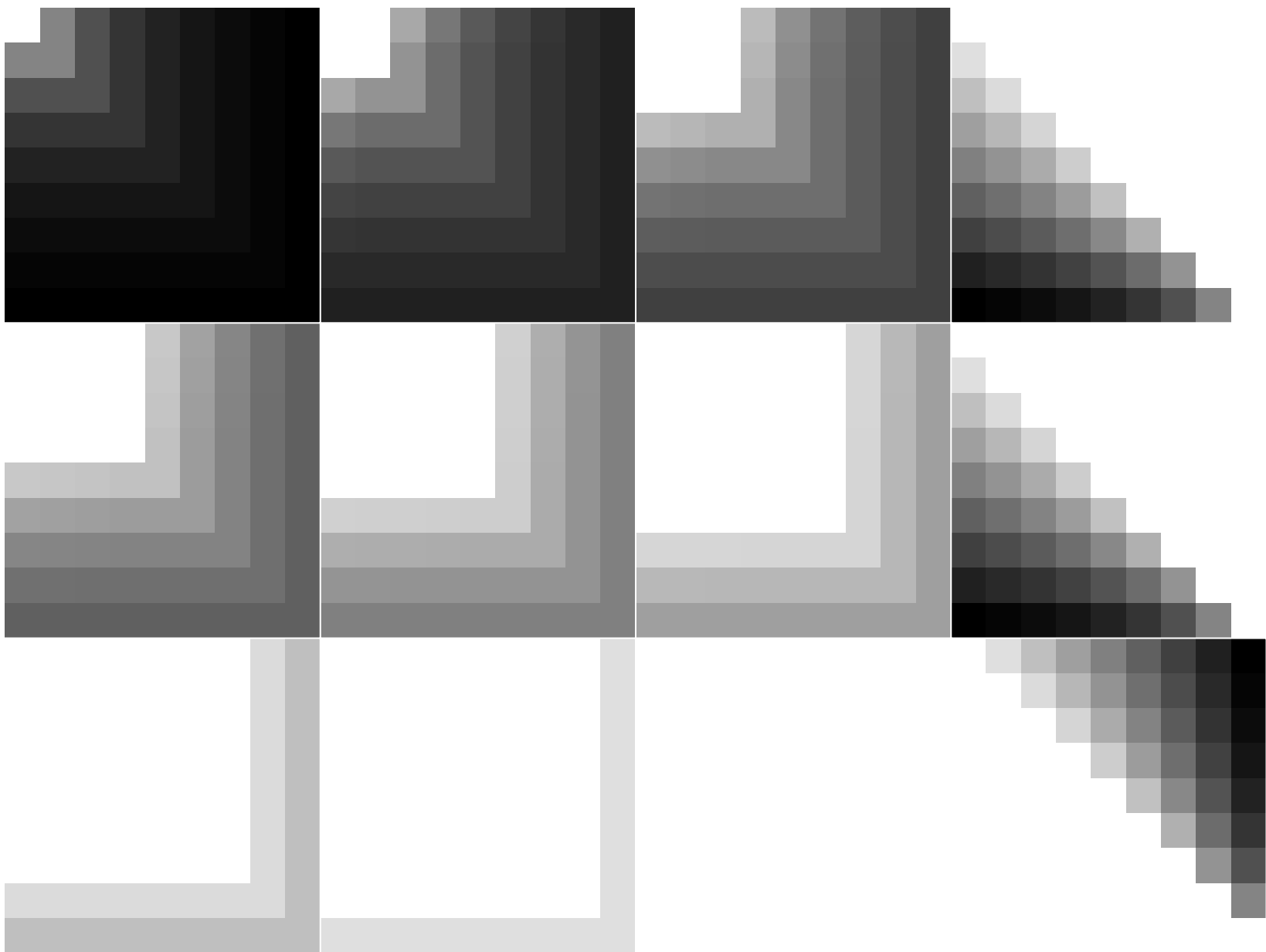


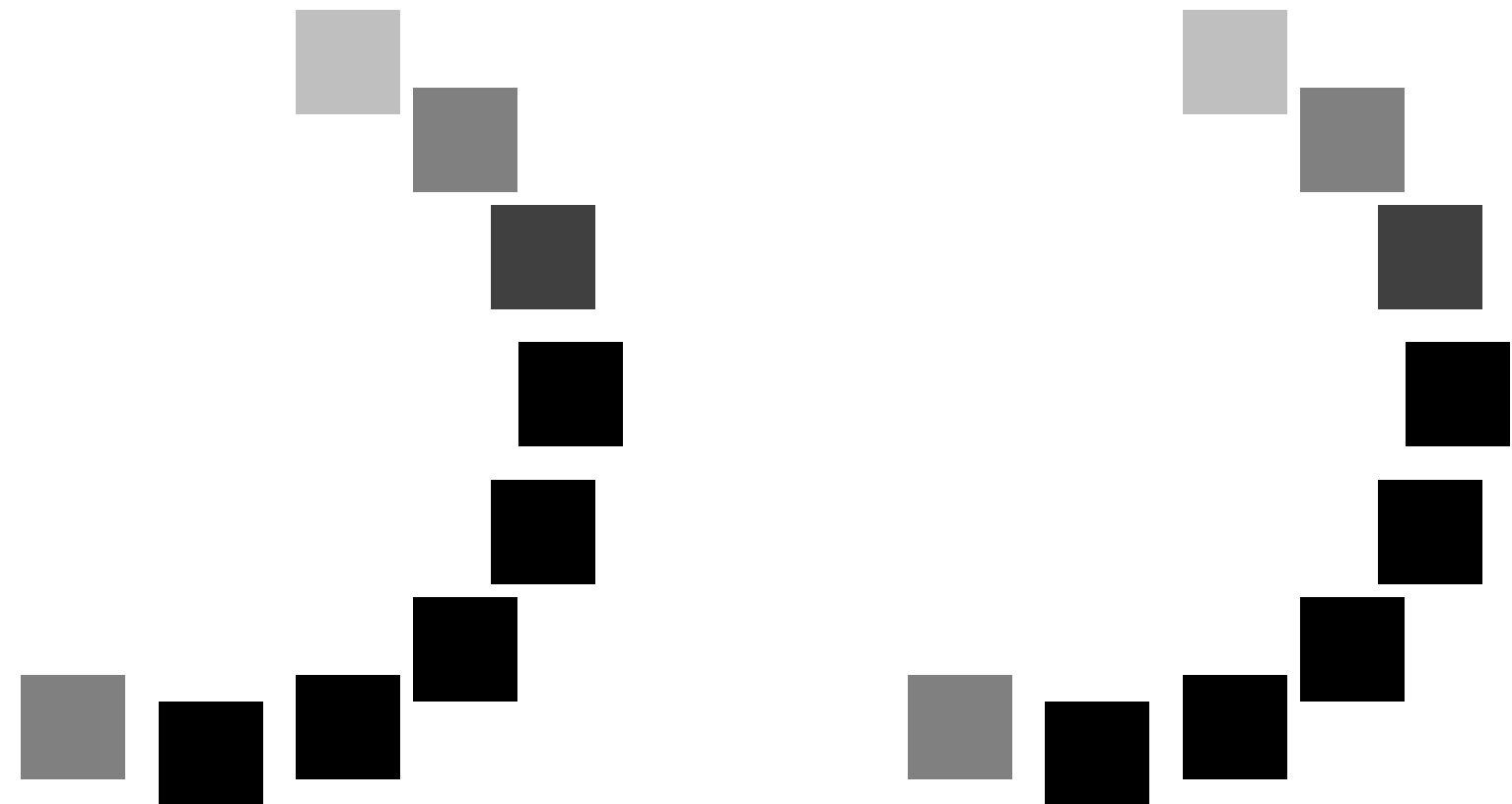
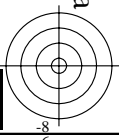
www.ps.bam.de/Eg42/10L/L42G00NA.PS/.TXT; ORS19_96a; Transfer und Ausgabe
N: Keine Ausgabe-Linearisierung (OL) in Datei (F), Startup (S), Gerät (D); Separation: **cmyn**

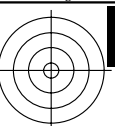
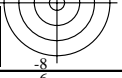




www.ps.bam.de/Eg42/10L/L42G00NA.PS/.TXT; ORS19_96a; Transfer und Ausgabe
N: Keine Ausgabe-Linearisierung (OL) in Datei (F), Startup (S), Gerät (D); Separation: **cmyn**

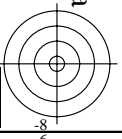
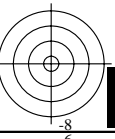
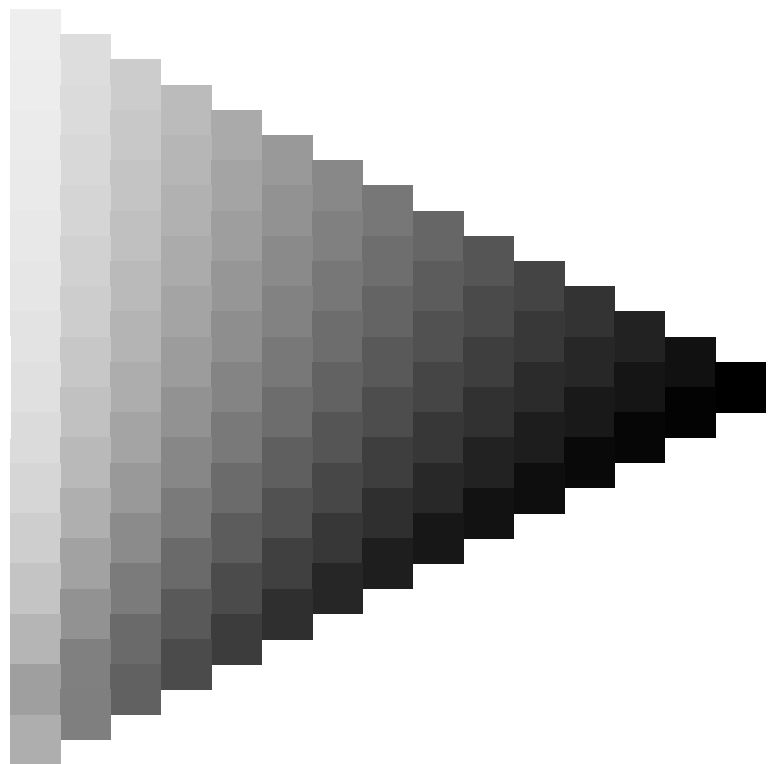
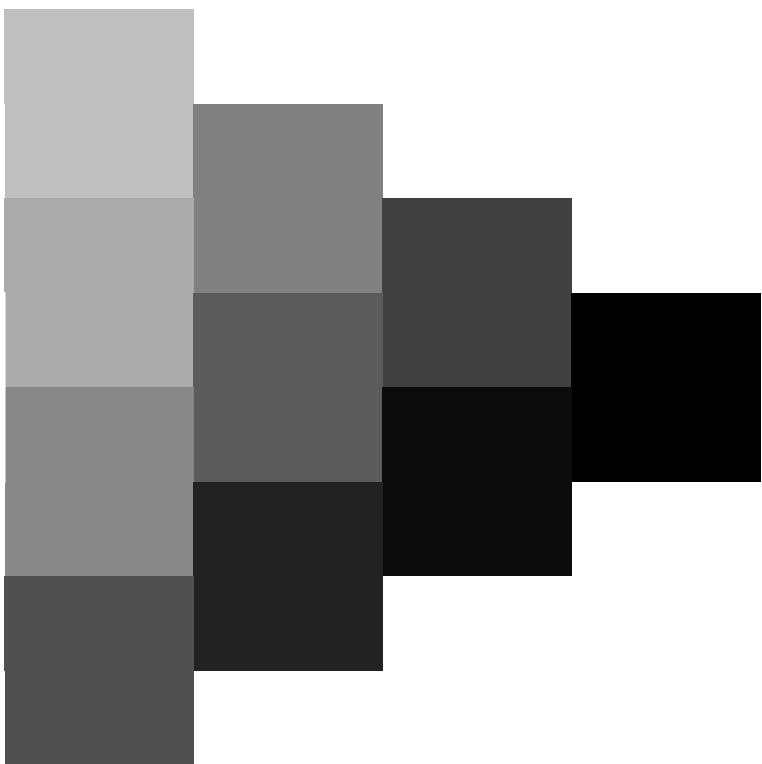


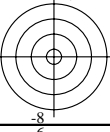
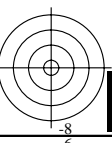
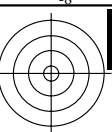
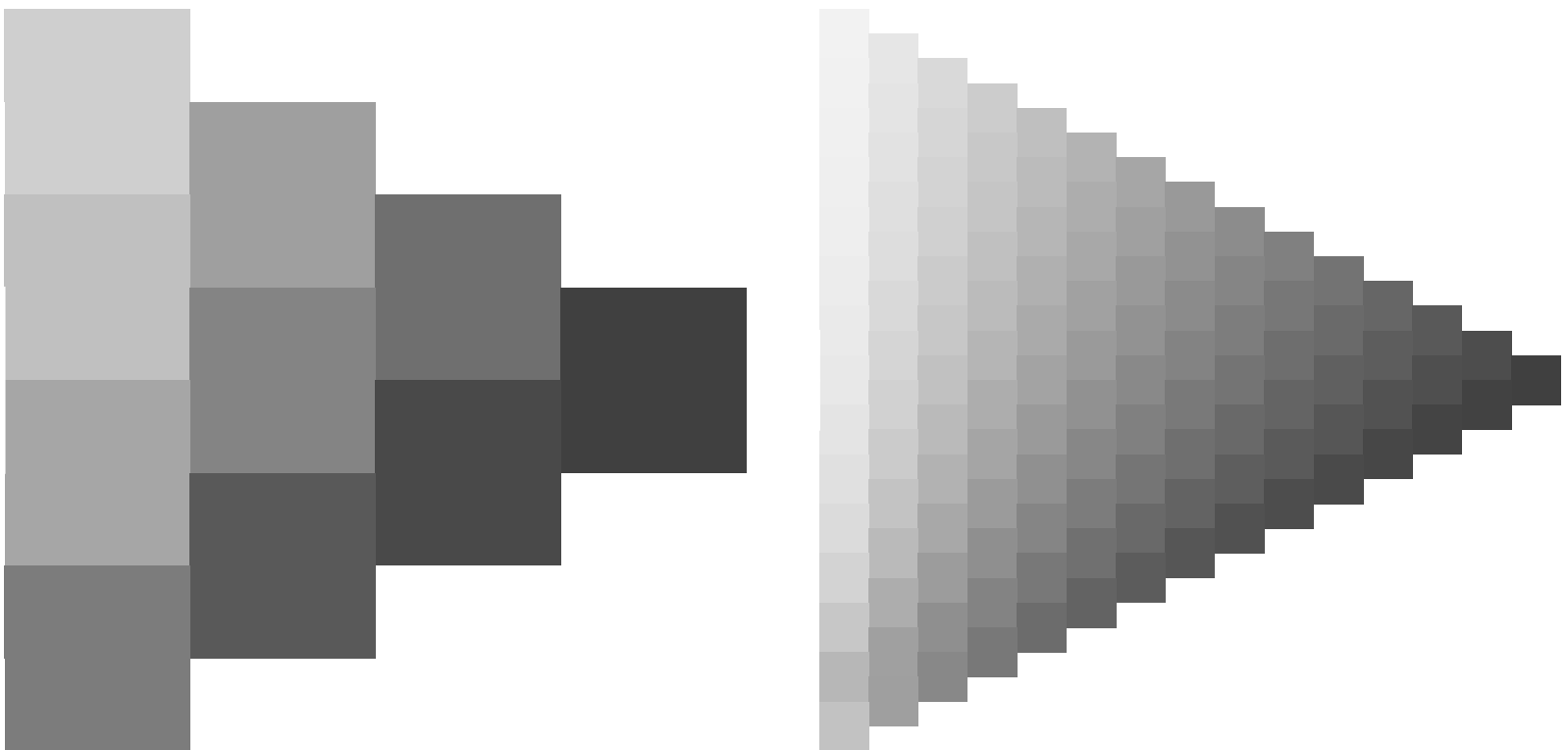
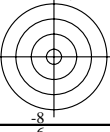




www.ps.bam.de/Eg42/10L/L42G00NA.PS/.TXT; ORS19_96a; Transfer und Ausgabe
N: Keine Ausgabe-Linearisierung (OL) in Datei (F), Startup (S), Gerät (D); Separation: **cmyn**

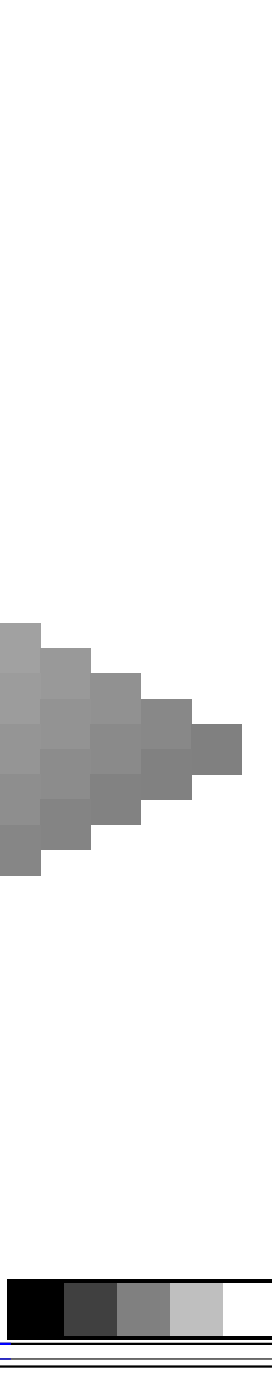
Siehe ähnliche Dateien: <http://www.ps.bam.de/Eg42/>; www.ps.bam.de/Eg.HTM
Technische Information: <http://www.ps.bam.de> Version 2.1, io=1,1, ColSpx=1







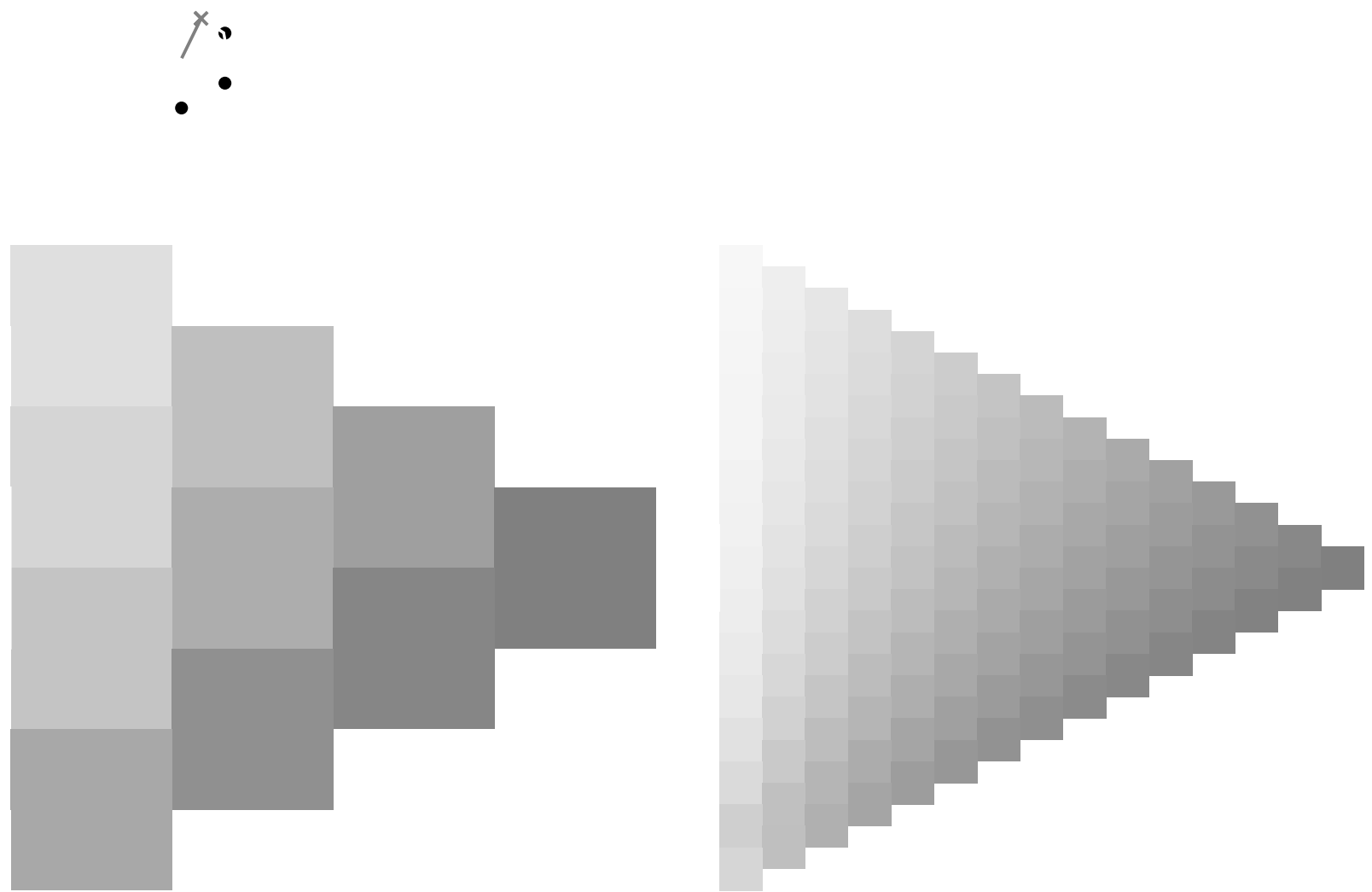
BAM-Registrierung: 20081001-Eg42/10L/L42G00NA.PS/.TXT BAM-Material: Code=rh4ta
+ Anwendung für Beurteilung und Messung von Drucker- oder Monitorsystemen



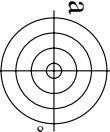
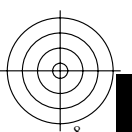
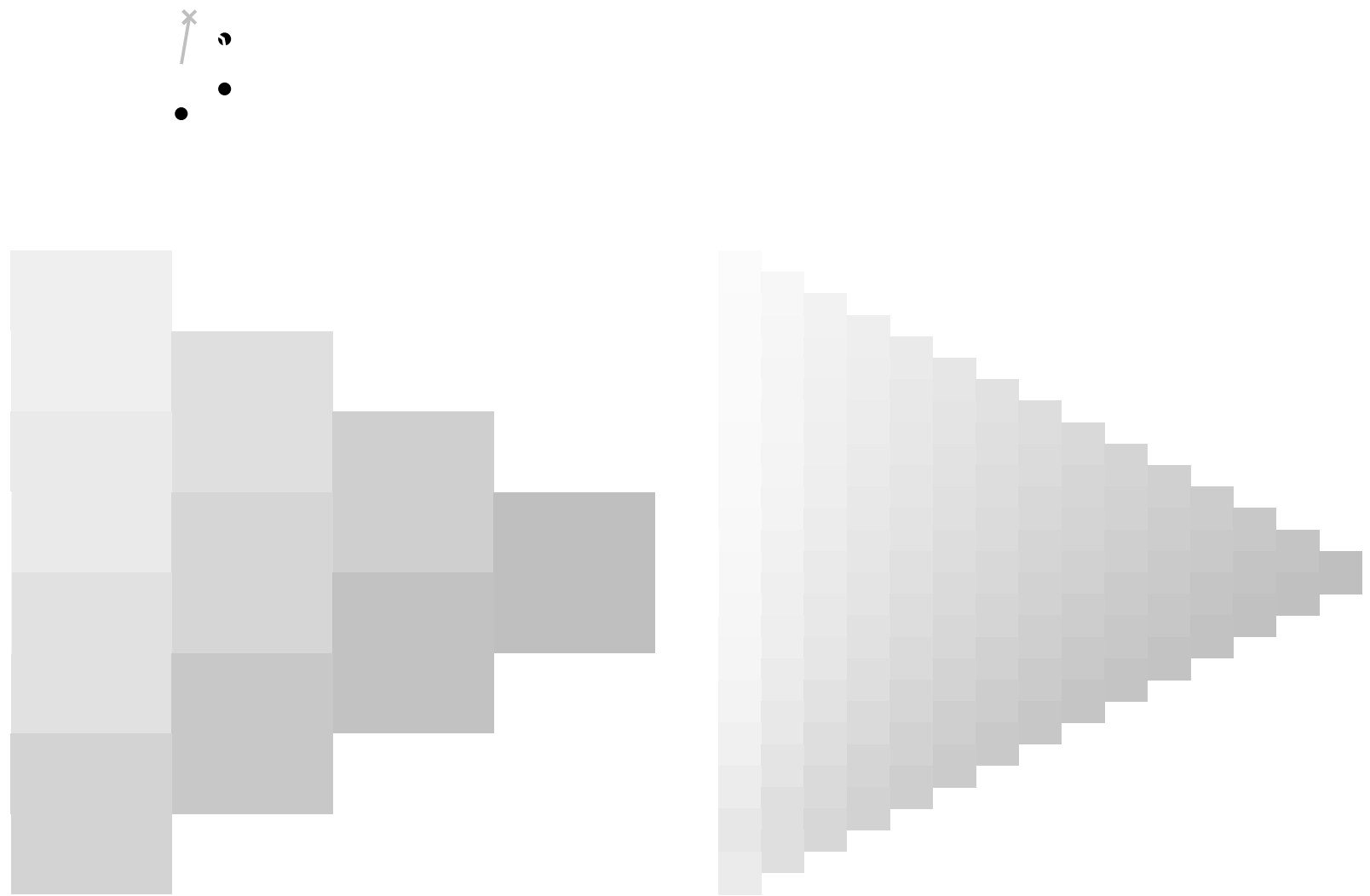
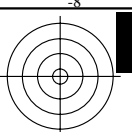
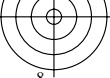
www.ps.bam.de/Eg42/10L/L42G00NA.PS/.TXT; ORS19_96a; Transfer und Ausgabe
N: Keine Ausgabe-Linearisierung (OL) in Datei (F), Startup (S), Gerät (D); Separation: cmyk

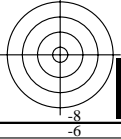
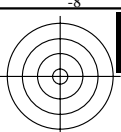
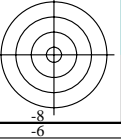
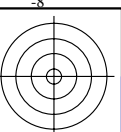


Technische Information: <http://www.ps.bam.de> Version 2.1, io=1, ColSpx=1

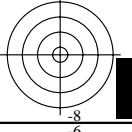
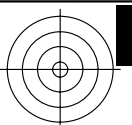
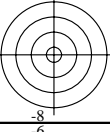
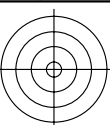


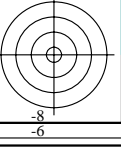
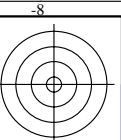
BAM-Prüfvorlage Eg42; Farbmeter-Systeme, Seite 58/270 Eingabe: 000n / w / nnn0 / www set...
4 Separationen, 9 Datentabellen für 16 Bunttöne o00y bis m75aAusgabe: ->cmyn6* setcmykcolor





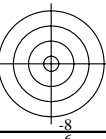
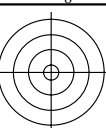
Siehe ähnliche Dateien: <http://www.ps.bam.de/Eg42/>; www.ps.bam.de/Eg.HTM
Technische Information: <http://www.ps.bam.de> Version 2.1, io=1,1, ColSpx=1



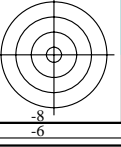
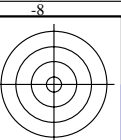


Siehe ähnliche Dateien: <http://www.ps.bam.de/Eg42/>; www.ps.bam.de/Eg.HTM
Technische Information: <http://www.ps.bam.de> Version 2.1, io=1,1, ColSpx=1

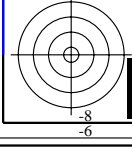
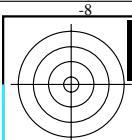




BAM-Registrierung: 20081001-Eg42/10L/L42G00NA.PS/.TXT BAM-Material: Code=rh4ta
Anwendung für Beurteilung und Messung von Drucker- oder Monitorsystemen



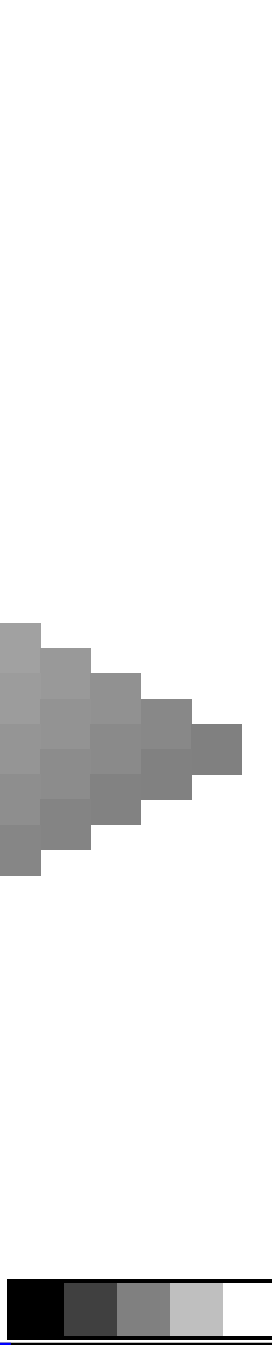
www.ps.bam.de/Eg42/10L/L42G00NA.PS/.TXT; ORS19_96a; Transfer und Ausgabe
N: Keine Ausgabe-Linearisierung (OL) in Datei (F), Startup (S), Gerät (D); Separation: **cmyn**



Siehe ähnliche Dateien: <http://www.ps.bam.de/Eg42/>; www.ps.bam.de/Eg.HTM
Technische Information: <http://www.ps.bam.de> Version 2.1, io=1,1, ColSpx=1



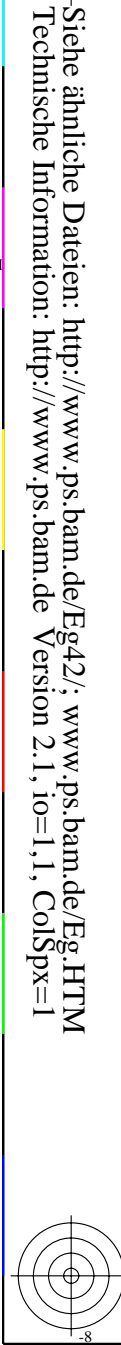
BAM-Registrierung: 20081001-Eg42/10L/L42G00NA.PS/.TXT BAM-Material: Code=rh4ta
Anwendung für Beurteilung und Messung von Drucker- oder Monitorsystemen



[BAM-Prüfvorlage Eg42; Farbmimetrik-Systeme, Seite 67/270 Eingabe: 000n / w / nnn0 / www set...
 4 Separationen, 9 Datentabellen für 16 Bunttöne o00y bis m75aAusgabe: ->cmy6* setcmykcolor



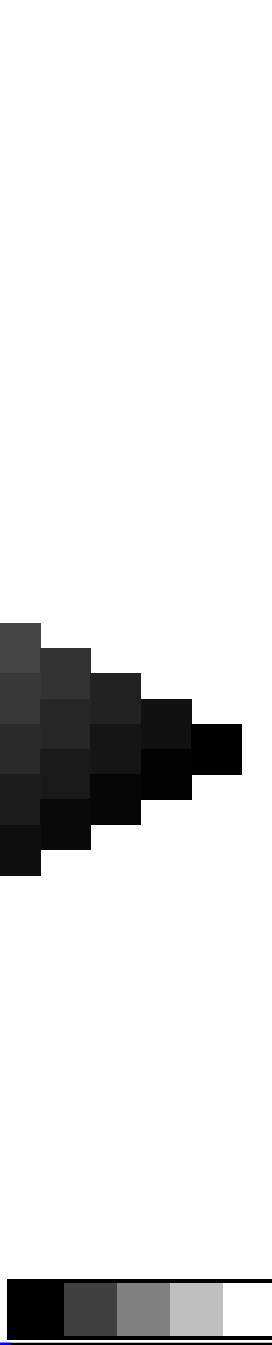
4 Separationen, 9 Datentabellen für 16 Bunttöne *o00y* bis *m75a* Ausgabe: \rightarrow *cmy*_n6* *setcmykcolor*



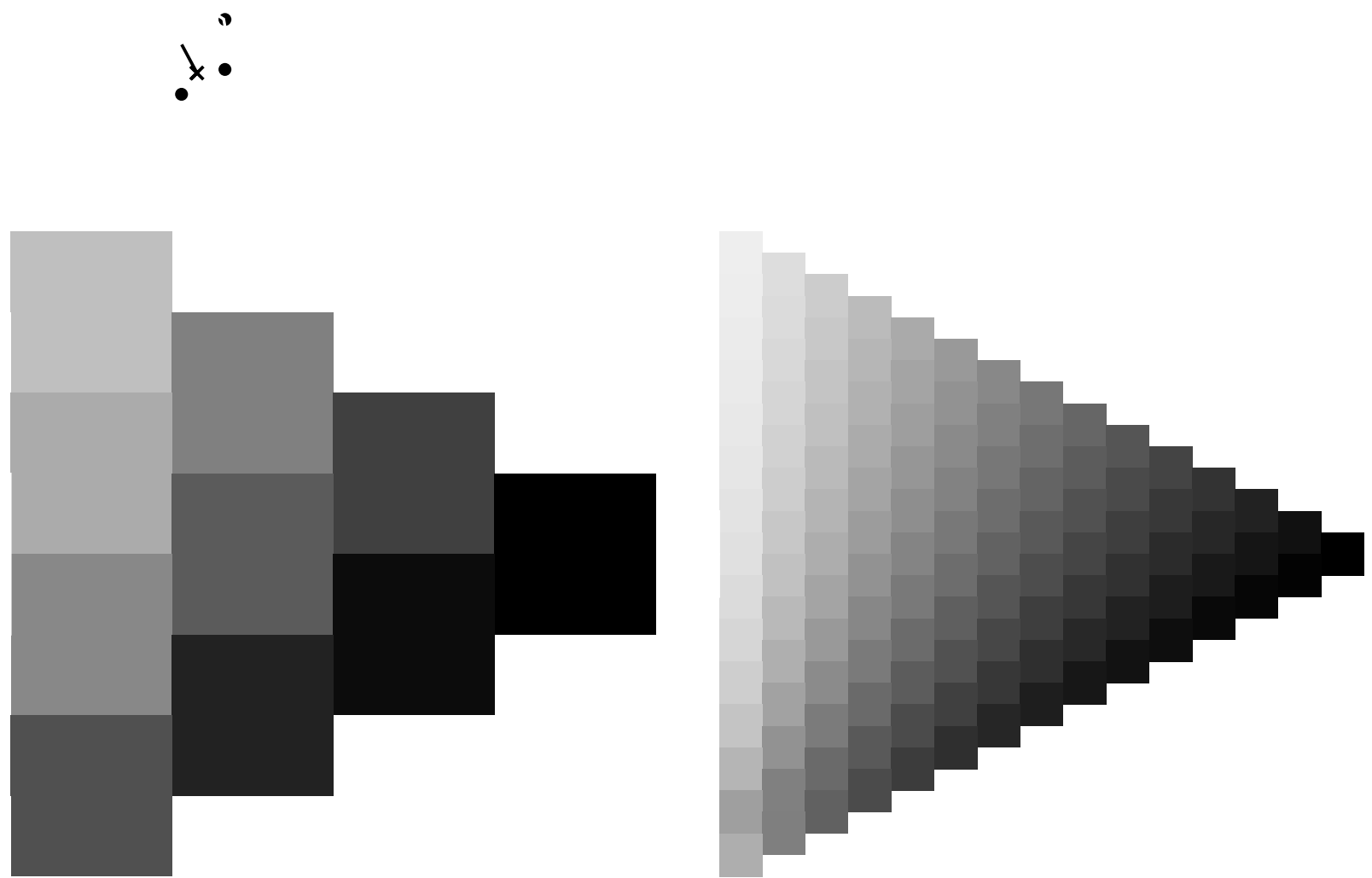
Siehe ähnliche Dateien: <http://www.ps.bam.de/Eg442>; www.ps.bam.de/Eg.HTM
Technische Information: <http://www.ps.bam.de> Version 2.1, io=1,1, ColSp=1



BAM-Registrierung: 20081001-Eg42/10L/L42G00NA.PS/.TXT BAM-Material
+ Anwendung für Beurteilung und Messung von Drucker- oder Monitorsystemen



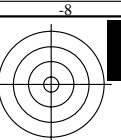
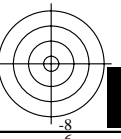
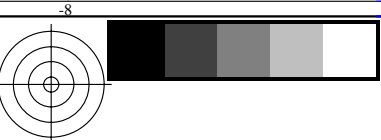
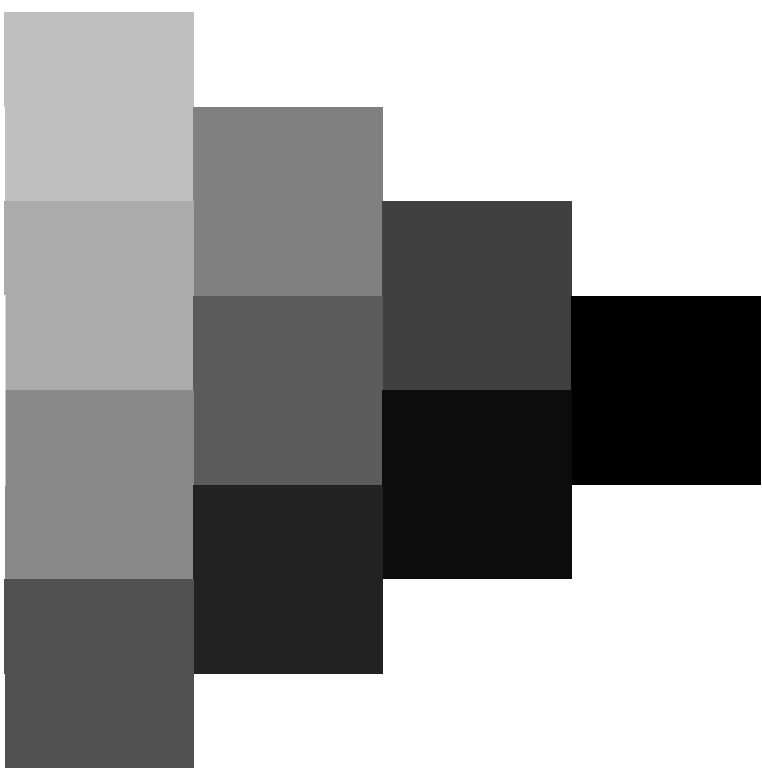
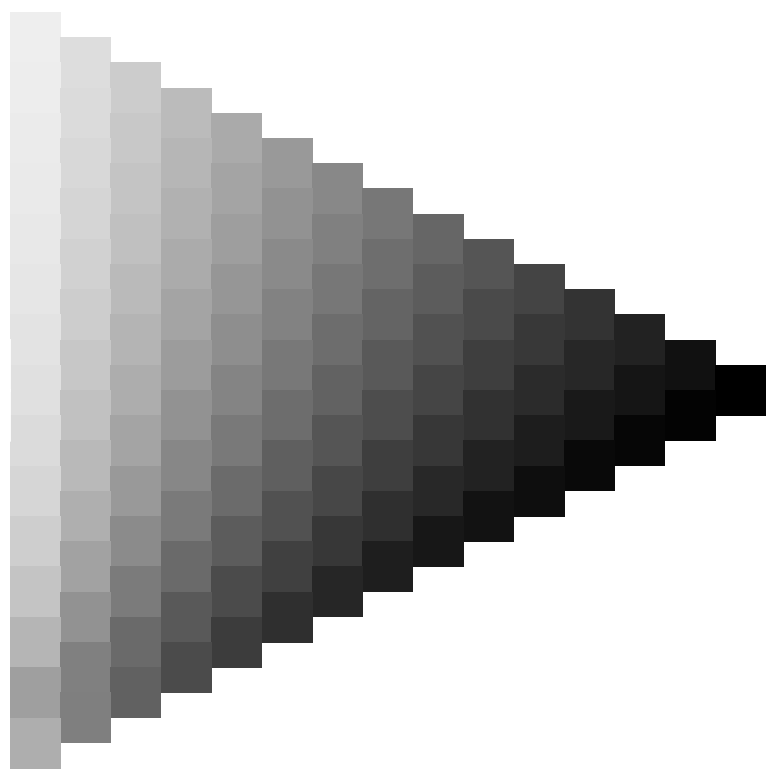
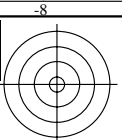
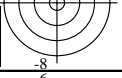
www.ps.bam.de/Eg42/10L/L42G00NA.PS/.TXT; ORS19_96a; Transfer und Ausgabe
N: Keine Ausgabe-Linearisierung (OL) in Datei (F), Startup (S), Gerät (D); Separation: cmyk

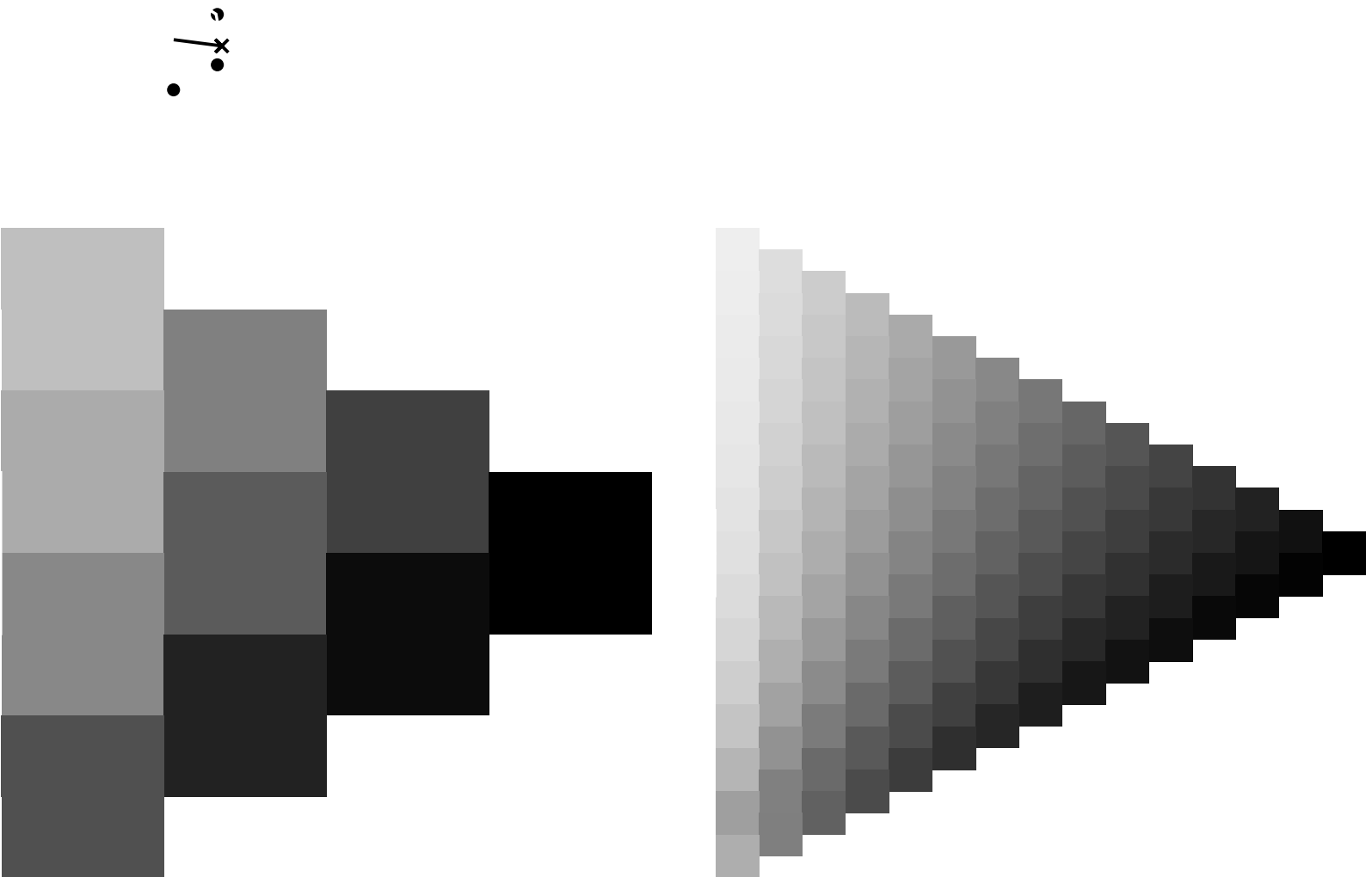
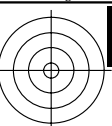
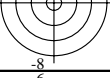


BAM-Prüfvorlage Eg42; Farbmimetrik-Systeme, Seite 68/270 Eingabe: 000n / w / nnn0 / www set...
4 Separationen, 9 Datentabellen für 16 Bunntöne o00y bis m75a Ausgabe: ->cmyn6* setcmykcolor

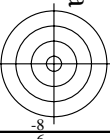
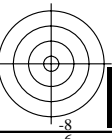


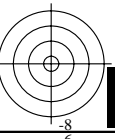
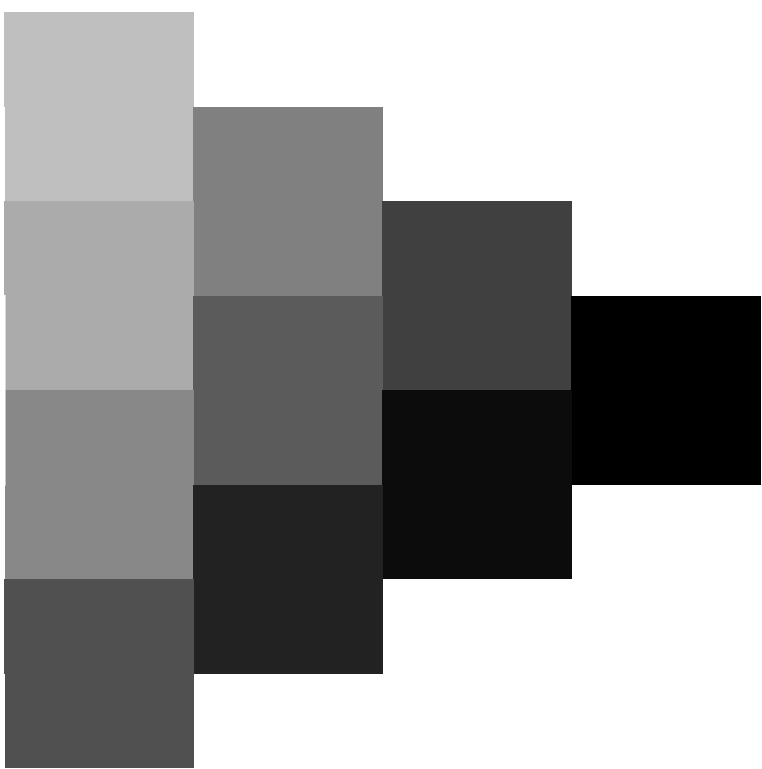
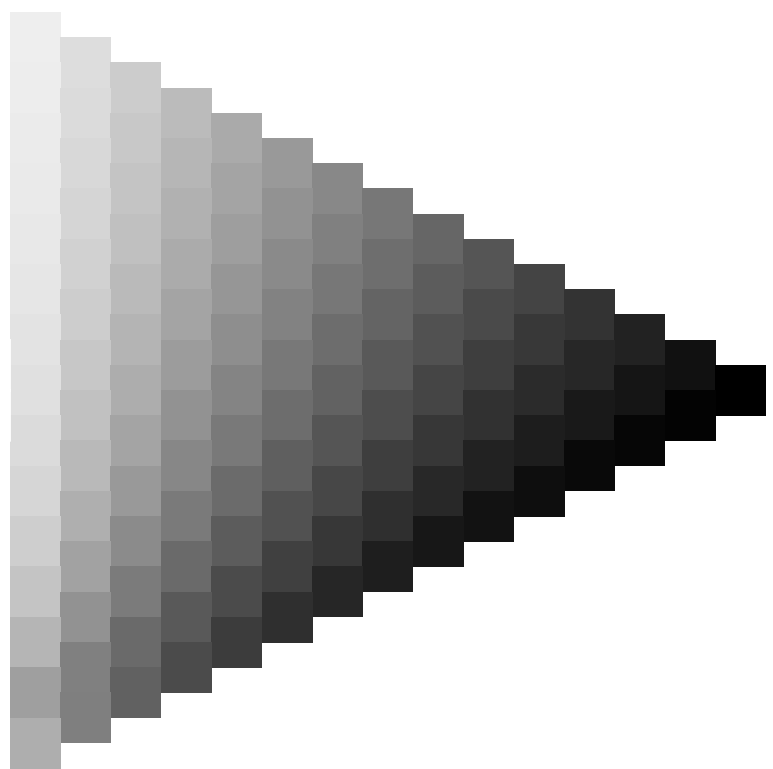
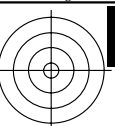
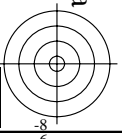
Technische Information: <http://www.ps.bam.de> Version 2.1, io=1,1, ColSpx=1

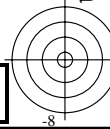
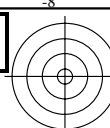




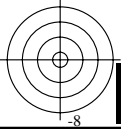
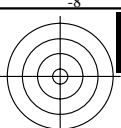
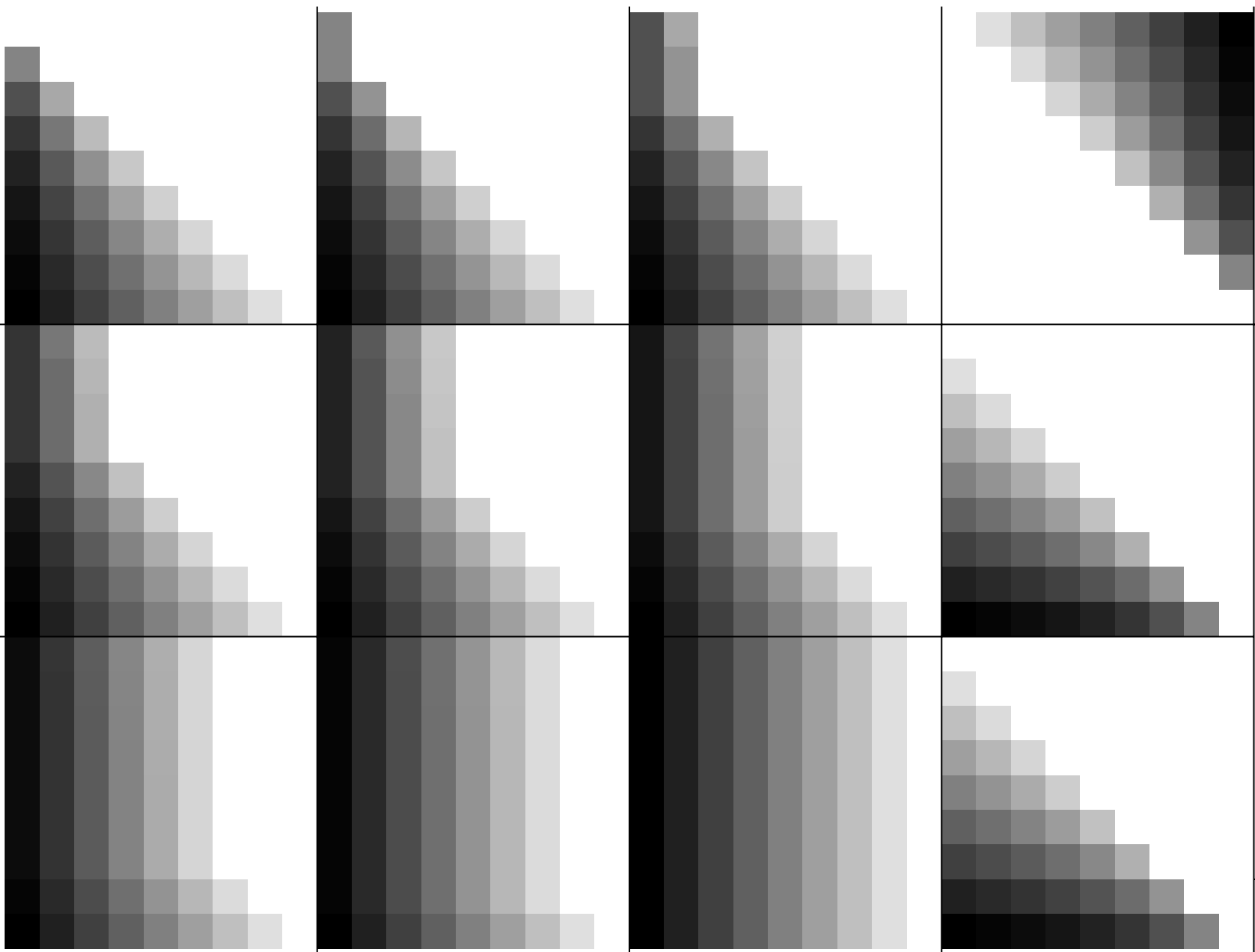
e
f







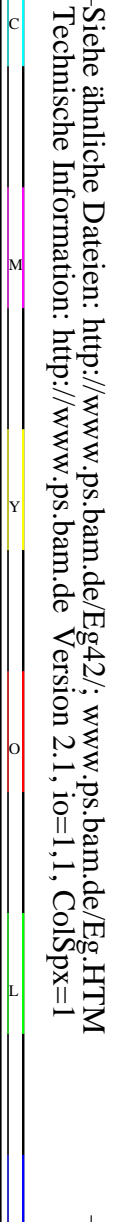
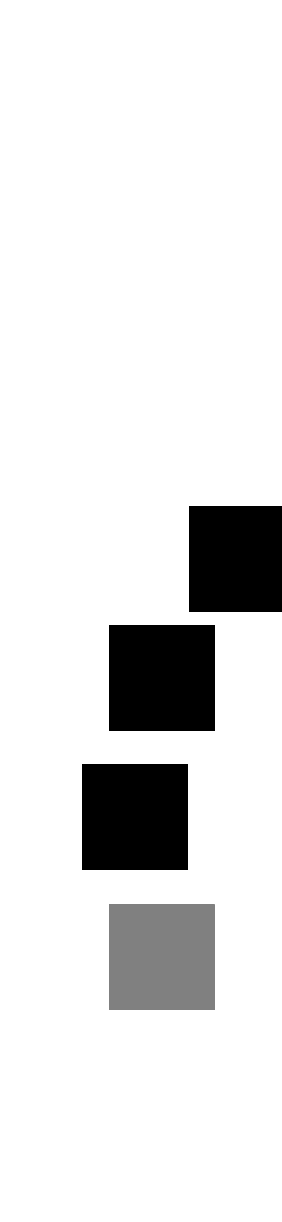
www.ps.bam.de/Eg42/10L/L42G00NA.PS/.TXT; ORS19_96a; Transfer und Ausgabe
N: Keine Ausgabe-Linearisierung (OL) in Datei (F), Startup (S), Gerät (D); Separation: **cmyn**



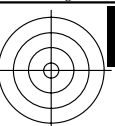
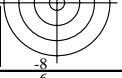
Siehe ähnliche Dateien: <http://www.ps.bam.de/Eg42/>; [www.ps.bam.de/Version 2.1, io=1,1, Col5px=1](http://www.ps.bam.de/Version%202.1,io=1,1,Col5px=1)
Technische Information: [http://www.ps.bam.de/Version 2.1, io=1,1, Col5px=1](http://www.ps.bam.de/Version%202.1,io=1,1,Col5px=1)



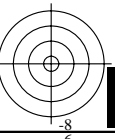
BAM-Registrierung: 20081001-Eg42/10L/L42G00NA.PS/.TXT BAM-Material: Code=rh4ta
Anwendung für Beurteilung und Messung von Drucker- oder Monitorsystemen



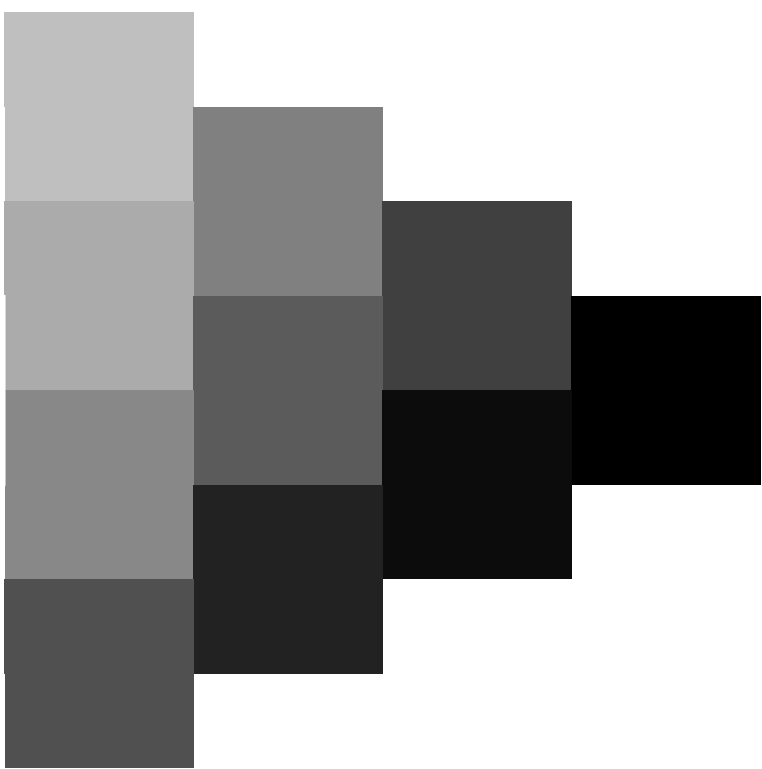
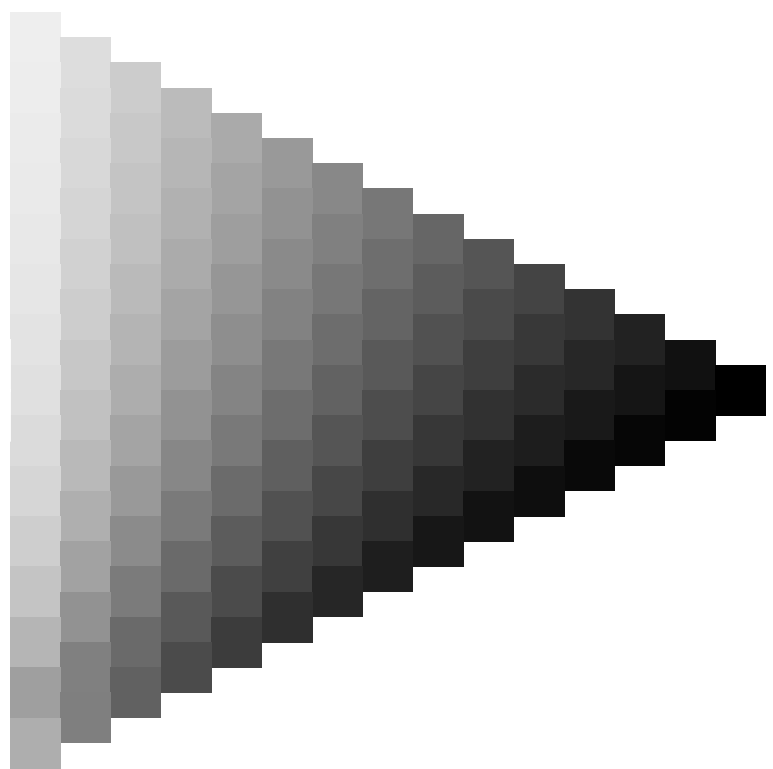
Siehe ähnliche Dateien: <http://www.ps.barn.de/Eg42/>; www.ps.barn.de/Eg.HTM
Technische Information: [http://www.ps.barn.de/Version 2.1, io=1,1, ColSp=1](http://www.ps.barn.de/Version%202.1,%20io=1,1,ColSp=1)



Siehe ähnliche Dateien: <http://www.ps.bam.de/Eg42/>; [www.ps.bam.de/Eg42/](http://www.ps.bam.de/Eg42/Version%202.1,io=1,1,ColSpx=1); [www.ps.bam.de/Eg42/](http://www.ps.bam.de/Eg42/Version%202.1,io=1,1,ColSpx=1)
Technische Information: [http://www.ps.bam.de/Eg42/](http://www.ps.bam.de/Eg42/Version%202.1,io=1,1,ColSpx=1)
Version 2.1, io=1, 1, ColSpx=1



www.ps.bam.de/Eg42/10L/L42G00NA.PS/.TXT; ORS19_96a; Transfer und Ausgabe
N: Keine Ausgabe-Linearisierung (OL) in Datei (F), Startup (S), Gerät (D); Separation: **cmyn**



BAM-Prüfvorlage Eg42; Farbmeterik-Systeme, Seite 74/270
4 Separationen, 9 Datentabellen für 16 Bunttöne o00y bis m75oAusgabe: ->cmyn6* setcmykcolor

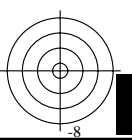
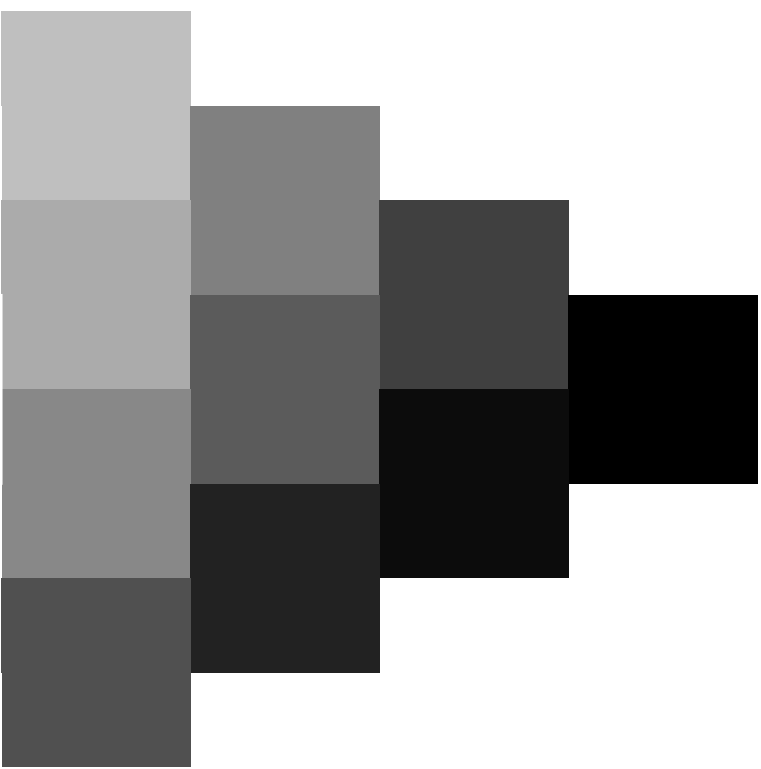
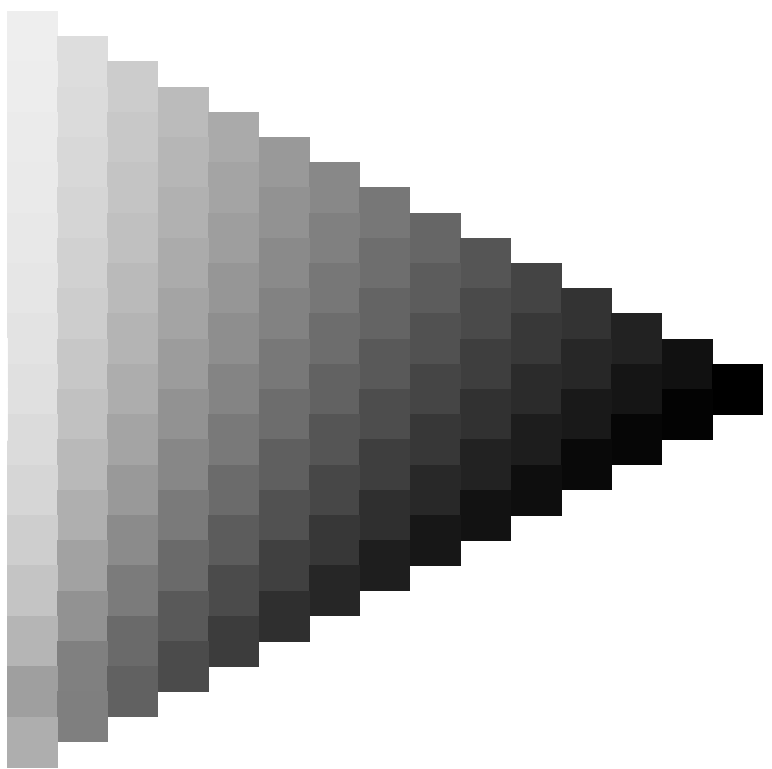
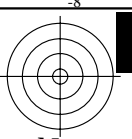


Eingabe: 000n / w / nnn0 / www set...
Ausgabe: ->cmyn6* setcmykcolor



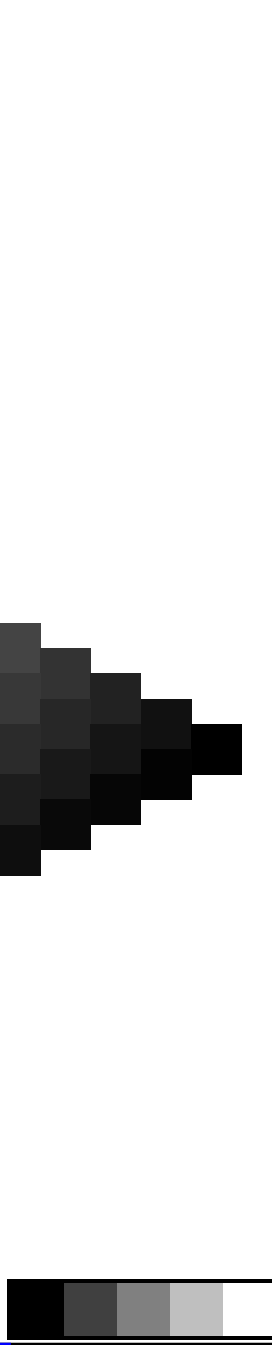
BAM-Prüfvorlage Eg42; Farbmeterik-Systeme, Seite 74/270
4 Separationen, 9 Datentabellen für 16 Bunttöne o00y bis m75oAusgabe: ->cmyn6* setcmykcolor



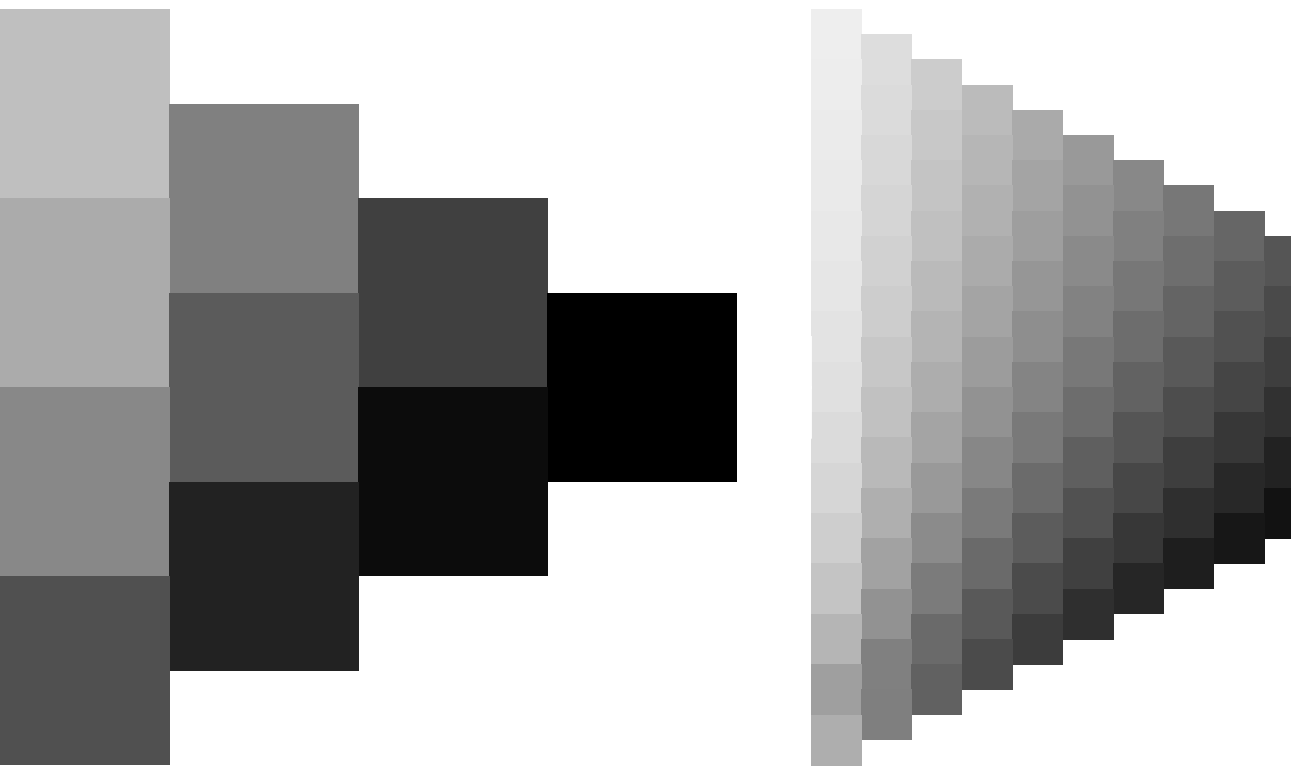




BAM-Registrierung: 20081001-Eg42/10L/L42G00NA.PS/.TXT BAM-Material: Code=rh4ta
Anwendung für Beurteilung und Messung von Drucker- oder Monitorsystemen

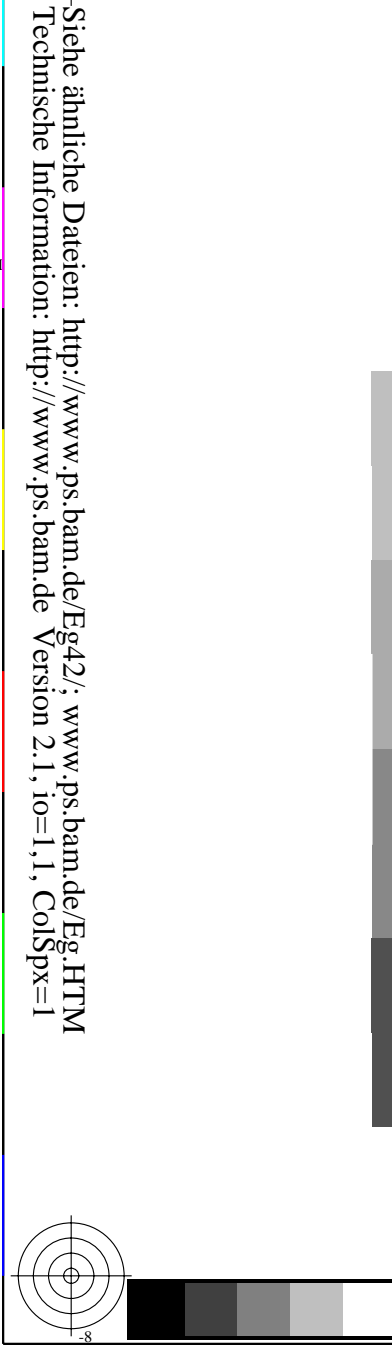


• ✂

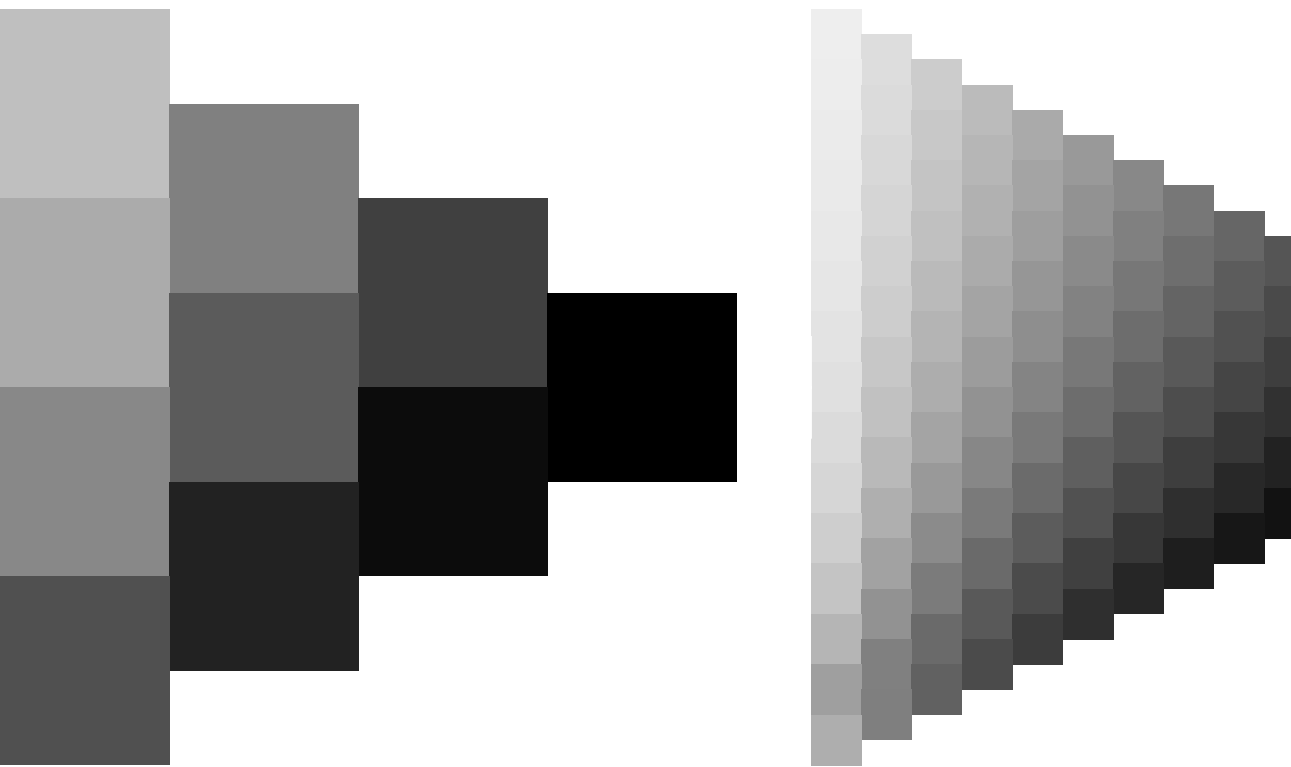


The image displays a color calibration target. On the left, there is a vertical strip of 16 grayscale patches, ranging from white at the top to black at the bottom. To the right of this strip is a series of 16 color patches, each a small square, arranged in a row. These patches include primary and secondary colors, as well as skin tones and other standard colorimetric patches. The entire chart is set against a plain white background.

BAM-Prüfvorlage Eg42; Farbmimetrik-Systeme, Seite 76/270 Eingabe: 000n / w / nnn0 / www set...
4 Separationen, 9 Datentabellen für 16 Bunttöne o00y bis m75aAusgabe: ->cmyn6* setcmykcolor



• ✂

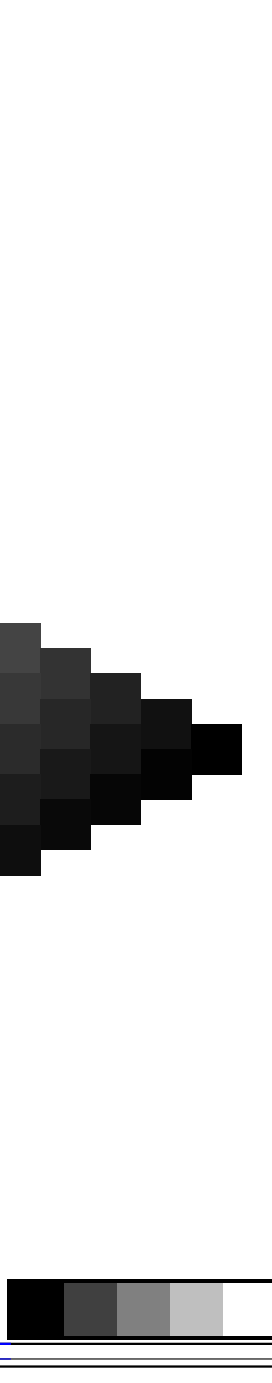


The image displays a color calibration target. On the left, there is a vertical strip of 16 grayscale patches, ranging from white at the top to black at the bottom. To the right of this strip is a series of 16 color patches, each a small square, arranged in a row. These patches include primary and secondary colors, as well as skin tones and other reference colors. The patches are used for ensuring color accuracy in digital imaging and printing.

BAM-Prüfvorlage Eg42; Farbmimetrik-Systeme, Seite 76/270 Eingabe: 000n / w / nnn0 / www set...
4 Separationen, 9 Datentabellen für 16 Bunttöne o00y bis m75aAusgabe: ->cmyn6* setcmykcolor



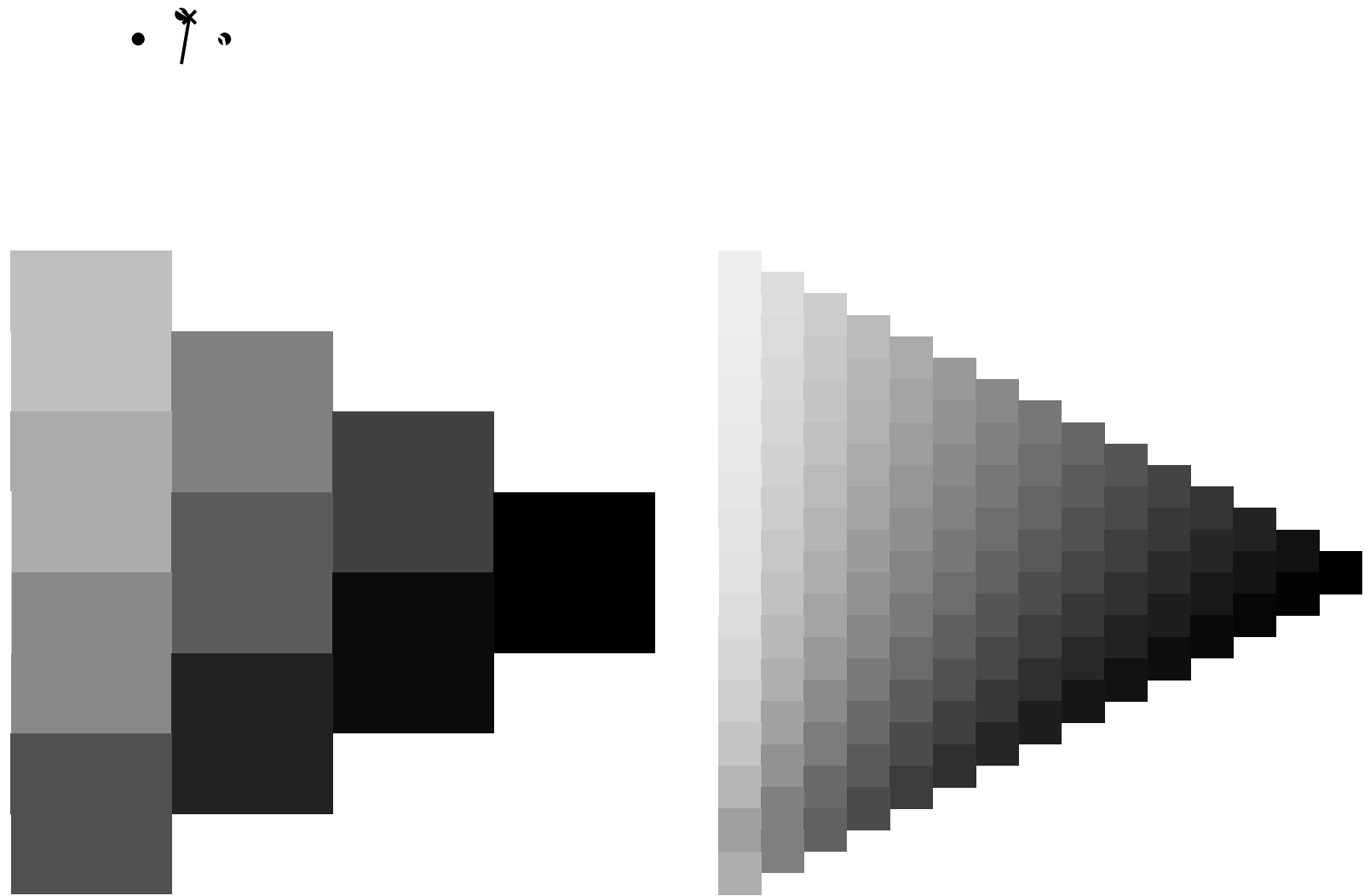
BAM-Registrierung: 20081001-Eg42/10L/L42G00NA.PS/.TXT BAM-Material: Code=rha4ta
+ Anwendung für Beurteilung und Messung von Drucker- oder Monitorsystemen



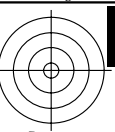
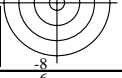
www.ps.bam.de/Eg42/10L/L42G00NA.PS/.TXT; ORS19_96a; Transfer und Ausgabe
N: Keine Ausgabe-Linearisierung (OL) in Datei (F), Startup (S), Gerät (D); Separation: cmyk



Technische Information: <http://www.ps.bam.de> Version 2.1, io=1,1, ColSpx=1

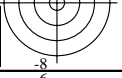
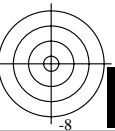
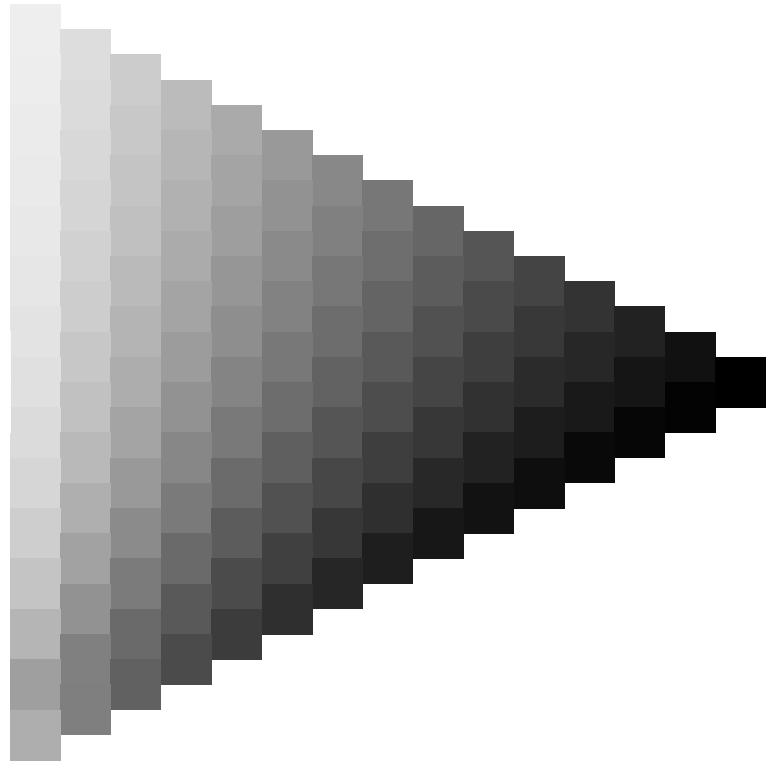
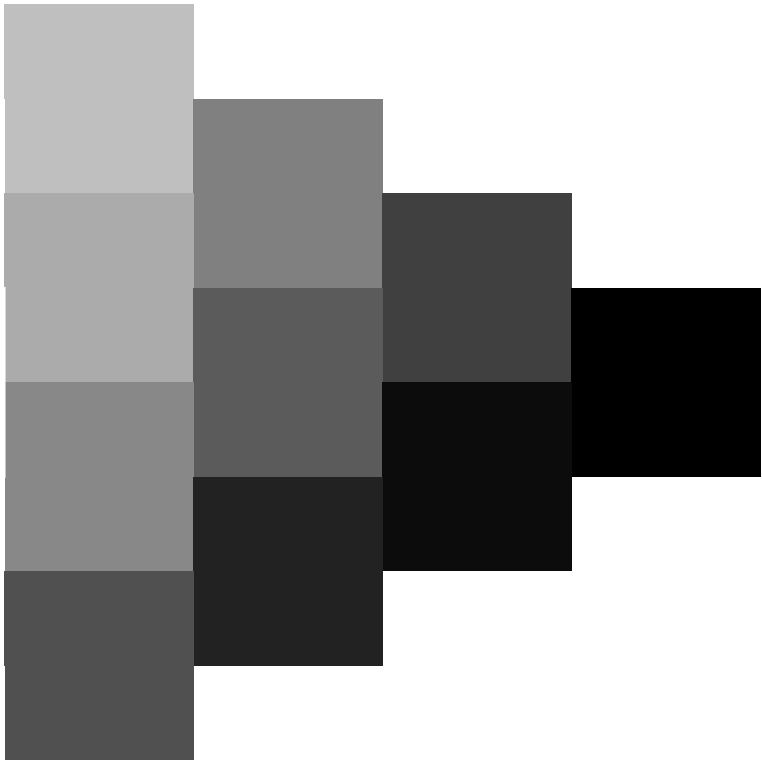


BAM-Prüfvorlage Eg42; Farbmeter-Systeme, Seite 77/270 Eingabe: 000n / w / nnn0 / www set...
4 Separationen, 9 Datentabellen für 16 Bunttöne o00y bis m75a Ausgabe: ->cmyn6* setcmykcolor



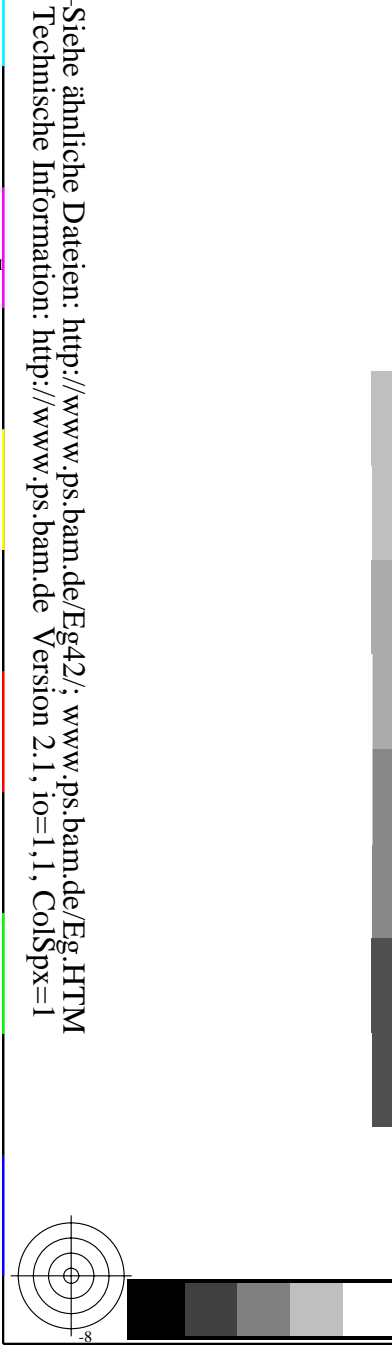
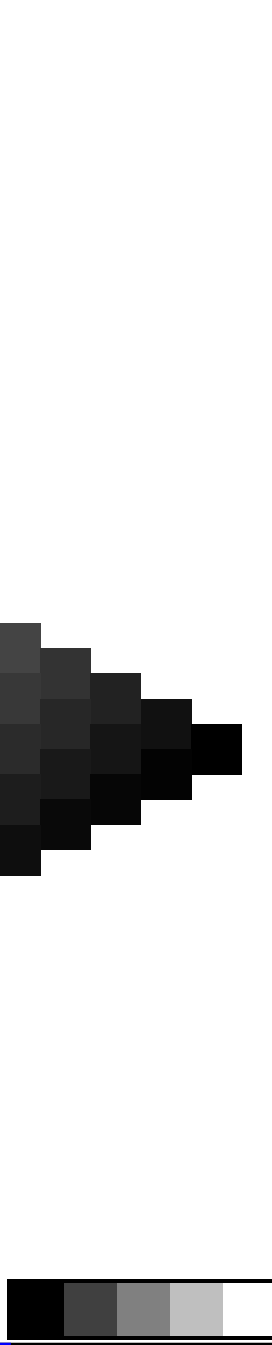
www.ps.bam.de/Eg42/10L/L42G00NA.PS/.TXT; ORS19_96a; Transfer und Ausgabe
N: Keine Ausgabe-Linearisierung (OL) in Datei (F), Startup (S), Gerät (D); Separation: **cmyn**

Siehe ähnliche Dateien: <http://www.ps.bam.de/Eg42/>; www.ps.bam.de/Eg.HTM
Technische Information: <http://www.ps.bam.de> Version 2.1, io=1,1, ColSpx=1

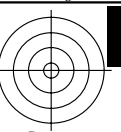
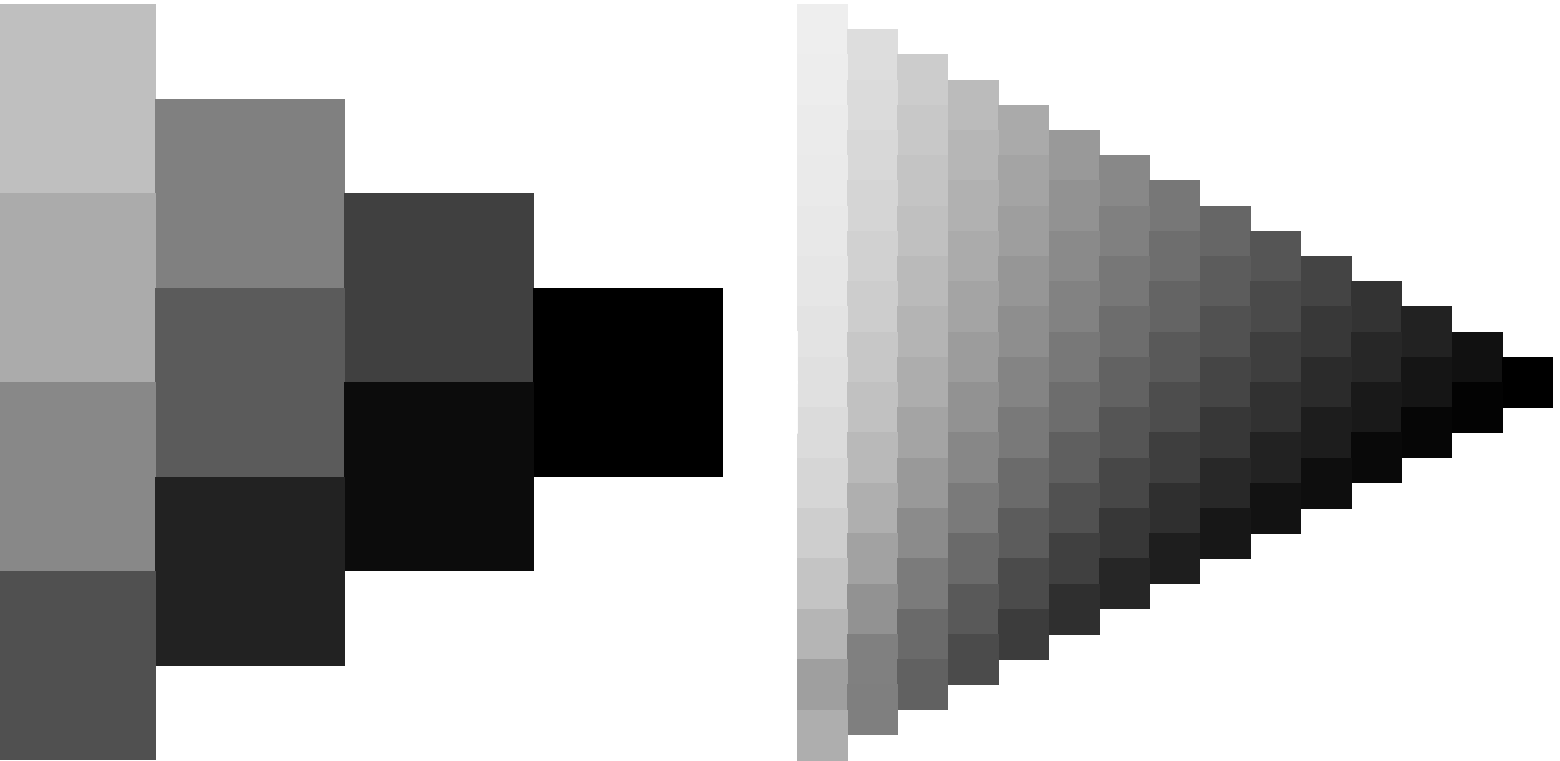
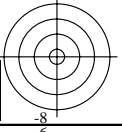


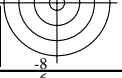


BAM-Registrierung: 20081001-Eg42/10L/L42G00NA.PS/.TXT BAM-Material: Code=rh4ta
Anwendung für Beurteilung und Messung von Drucker- oder Monitorsystemen

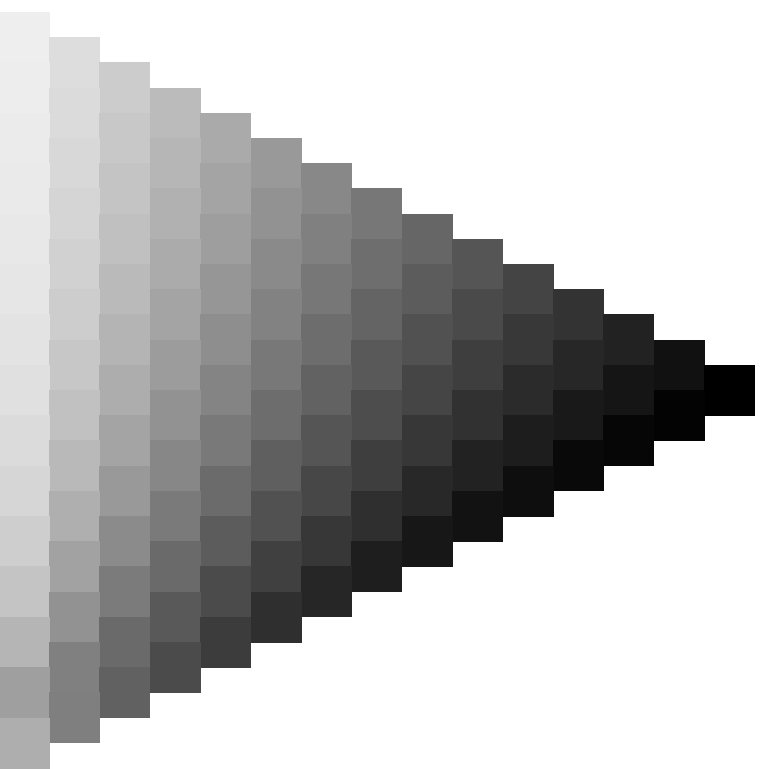


4 Separationen, 9 Datentabellen für 16 Bunttöne *o00y* bis *m75a* Ausgabe: $\rightarrow cmy n6^* setcmykcolor$



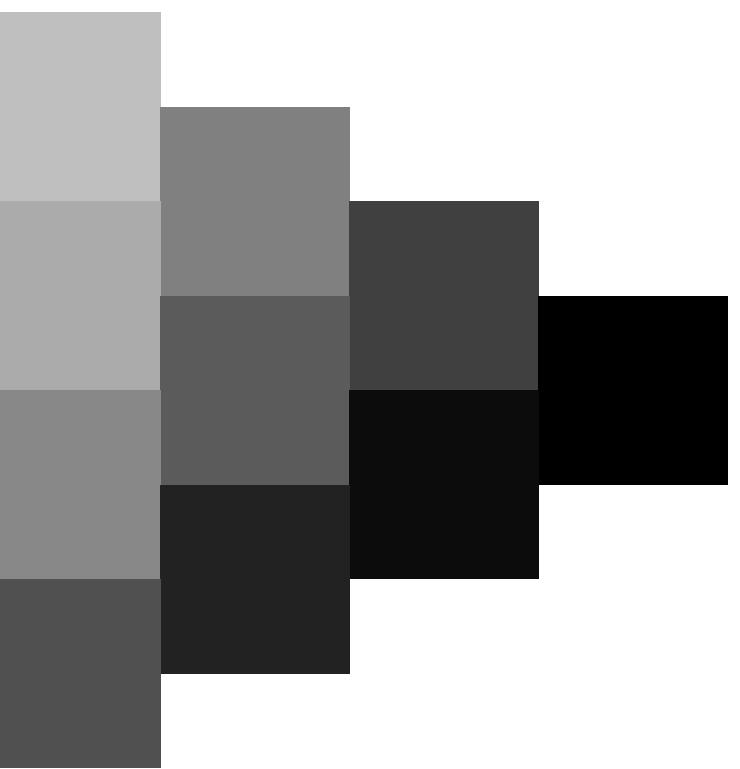


V
L
O
Y
M
C



www.ps.bam.de/Eg42/10L/L42G00NA.PS/.TXT; ORS19_96a; Transfer und Ausgabe
N: Keine Ausgabe-Linearisierung (OL) in Datei (F), Startup (S), Gerät (D); Separation: **cmyn**

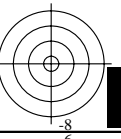
C
M
Y
O
L
V



V
L
O
Y
M
C

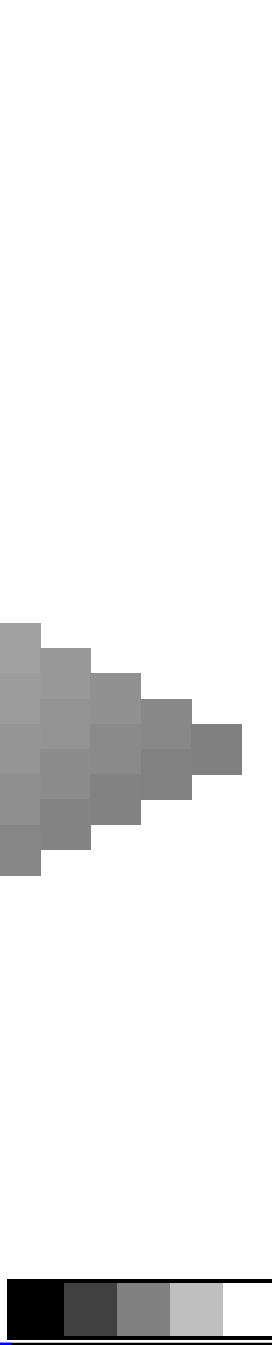


Siehe ähnliche Dateien: <http://www.ps.bam.de/Eg42/>; www.ps.bam.de/Eg.HTM
Technische Information: <http://www.ps.bam.de> Version 2.1, io=1,1, ColSpx=1





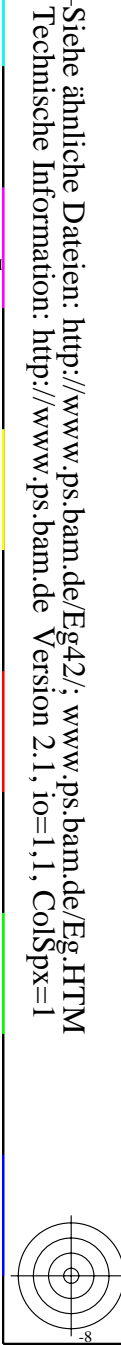
BAM-Registrierung: 20081001-Eg42/10L/L42G00NA.PS/.TXT BAM-Material: Code=rh4ta
Anwendung für Beurteilung und Messung von Drucker- oder Monitorsystemen



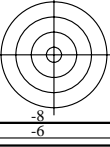
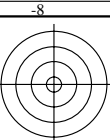
BAM-Prüfvorlage Eg42; Farbmimetrik-Systeme, Seite 83/270 Eingabe: 000n / w / nnn0 / www set...
 4 Separationen, 9 Datentabellen für 16 Bunttöne o00y bis m75aAusgabe: ->cmyn6* setcmykcolor



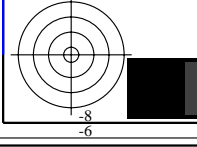
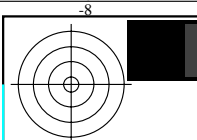
BAM-Prüfvorlage Eg42; Farbmimetrik-Systeme, Seite 83/270 Eingabe: 000n / w / nnn0 / www set...
 4 Separationen, 9 Datentabellen für 16 Bunttöne o00y bis m75aAusgabe: ->cmyn6* setcmykcolor

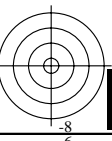
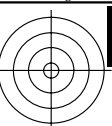


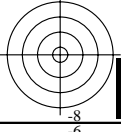
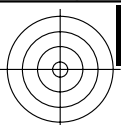
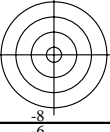
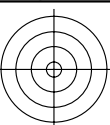
Siehe ähnliche Dateien: <http://www.ps.bam.de/Eg442>; www.ps.bam.de/Eg.HTM
Technische Information: <http://www.ps.bam.de> Version 2.1, io=1,1, ColSp=1



Siehe ähnliche Dateien: <http://www.ps.bam.de/Eg42/>; www.ps.bam.de/Eg.HTM
Technische Information: <http://www.ps.bam.de> Version 2.1, io=1,1, ColSpx=1







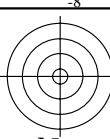




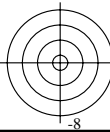
V
L
O
Y
M
C



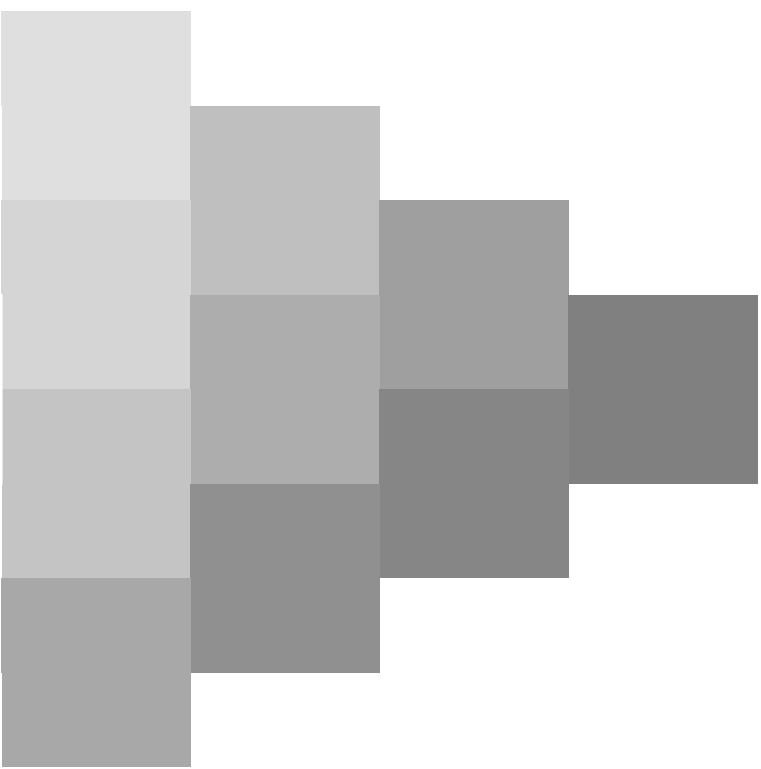
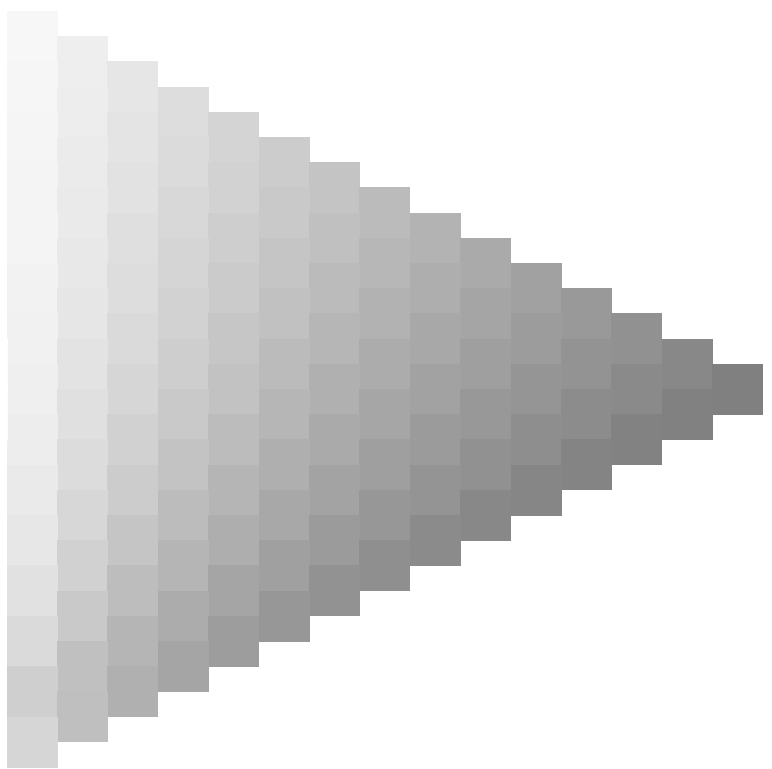
www.ps.bam.de/Eg42/10L/L42G00NA.PS/.TXT; ORS19_96a; Transfer und Ausgabe
N: Keine Ausgabe-Linearisierung (OL) in Datei (F), Startup (S), Gerät (D); Separation: **cmyn**

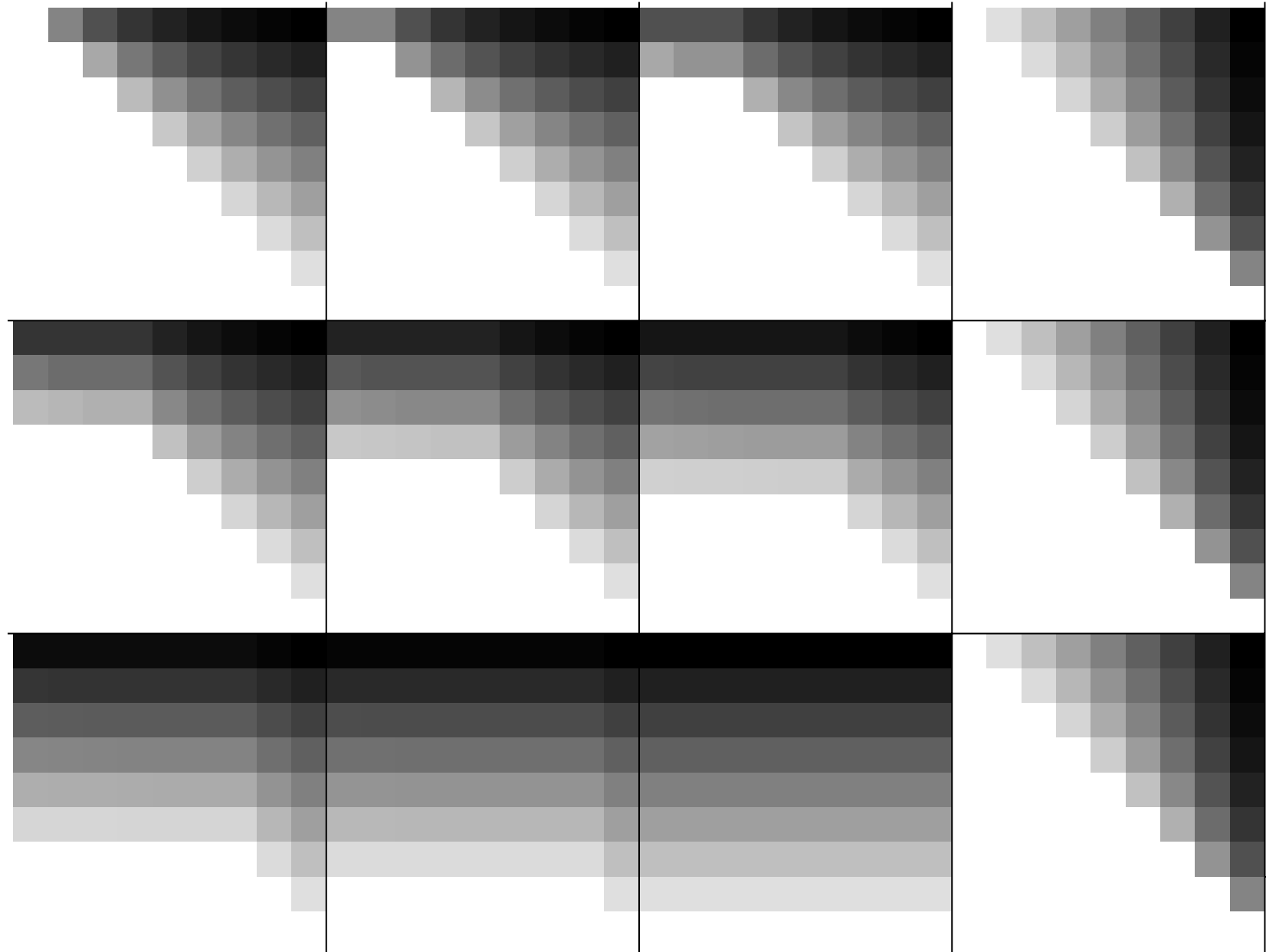


Siehe ähnliche Dateien: <http://www.ps.bam.de/Eg42/>; www.ps.bam.de/Eg.HTM
Technische Information: <http://www.ps.bam.de> Version 2.1, io=1,1, ColSpx=1



V
L
O
Y
M
C

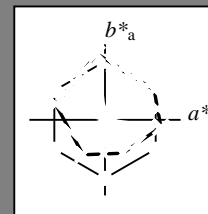




Ein und Ausgabe:
Farbmetrisches Drucker-Reflektiv-System ORS19_96a
Daten für jede Farbe:
 u^*_d und Nummer $Nr.$ = 00 .. 15
Geräte-Bunttext:
 $u^*_d = 16$ Bunttoene *o00y*, *o25y*, ..., *m50o*
Kontrastreduzierungsfaktor:
 $c_R = 1.0$

ORS19_96a; adaptierte CIELAB-Daten

u^*_d	$L^*=L^*_a$	a^*_a	b^*_a	$C^*_{ab,a}$	$h^*_{ab,a}$	u^*_e
<i>o00y</i>	48.75	65.07	39.43	76.08	31	<i>r08j</i>
<i>o25y</i>	59.04	46.67	51.1	69.21	48	<i>r33j</i>
<i>o50y</i>	68.32	30.09	61.62	68.58	64	<i>r57j</i>
<i>o75y</i>	78.23	12.39	72.85	73.9	80	<i>r81j</i>
<i>y00l</i>	90.92	-10.29	87.24	87.85	97	<i>j06g</i>
<i>y25l</i>	78.57	-28.11	65.75	71.51	113	<i>j29g</i>
<i>y50l</i>	69.46	-41.25	49.92	64.75	130	<i>j53g</i>
<i>y75l</i>	61.32	-52.99	35.76	63.92	146	<i>j76g</i>
<i>l00c</i>	52.69	-65.44	20.75	68.65	162	<i>g00b</i>
<i>l50c</i>	56.55	-45.12	-16.57	48.07	200	<i>g34b</i>
<i>c00v</i>	59.61	-28.98	-46.22	54.56	238	<i>g69b</i>
<i>c50v</i>	43.33	-1.54	-45.13	45.16	268	<i>g96b</i>
<i>v00m</i>	28.39	23.63	-44.13	50.06	298	<i>b23r</i>
<i>v50m</i>	36.9	43.84	-30.24	53.26	325	<i>b47r</i>
<i>m00o</i>	49.58	73.93	-9.56	74.55	353	<i>b71r</i>
<i>m50o</i>	49.17	69.55	14.68	71.08	12	<i>b88r</i>



%Umfang

$u^*_{rel} = 89$

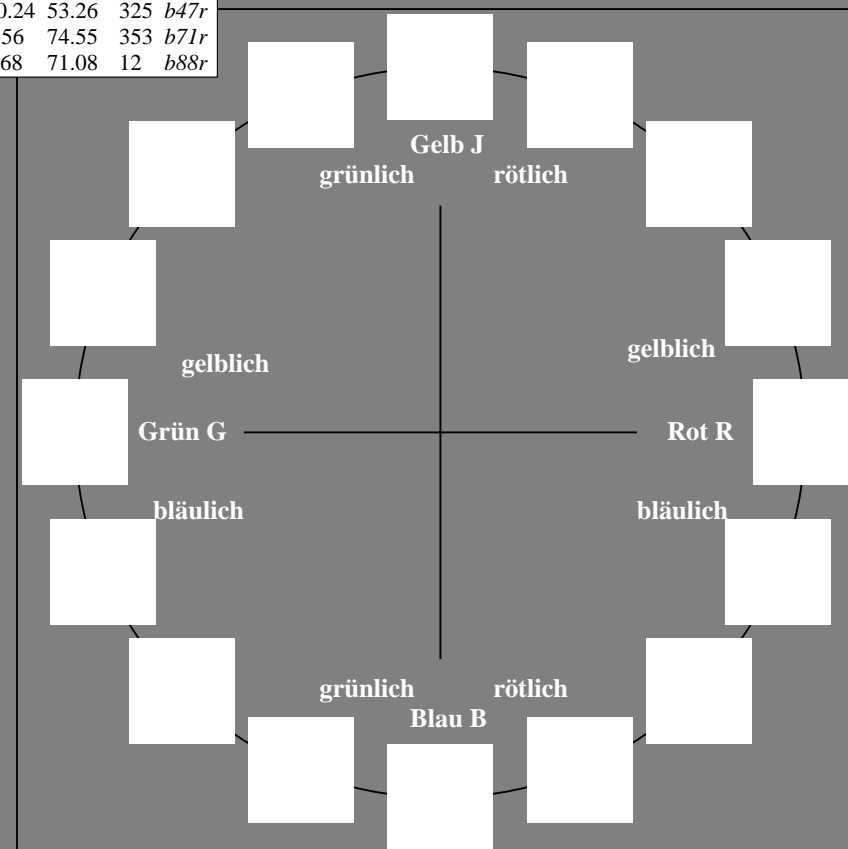
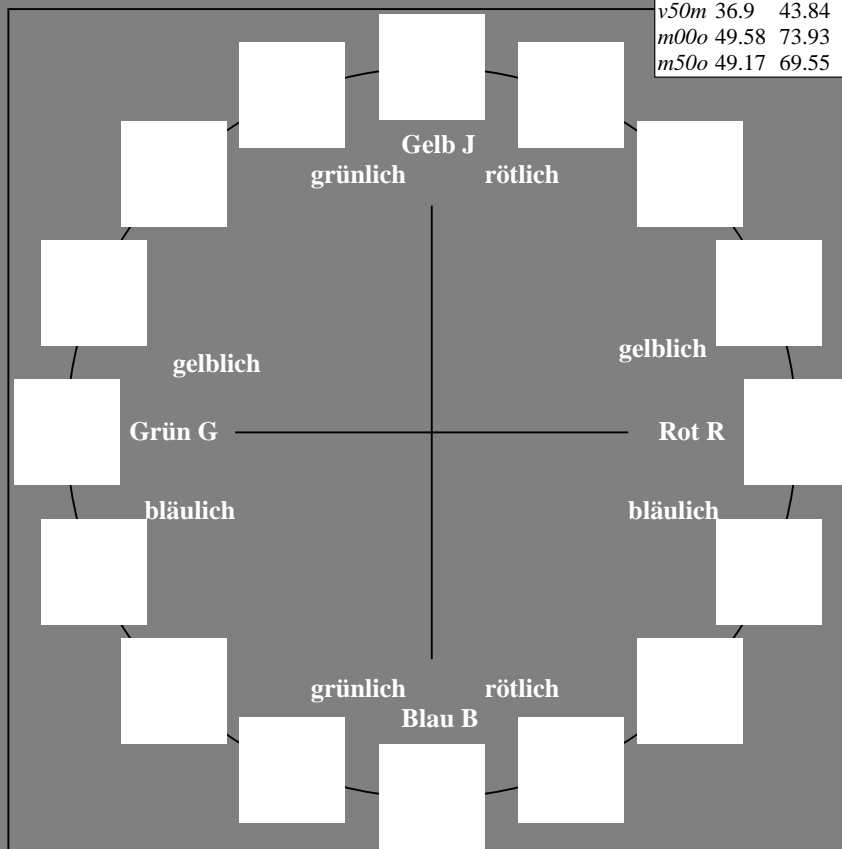
%Regularität

$g^*_{H,rel} = 72$

$g^*_{C,rel} = 57$

ORS19_96a; adaptierte CIELAB-Daten

Name	$L^*=L^*_a$	a^*_a	b^*_a	$C^*_{ab,a}$	$h^*_{ab,a}$
O _{Ma}	48.75	65.07	39.43	76.08	31
Y _{Ma}	90.92	-10.29	87.24	87.85	97
L _{Ma}	52.69	-65.44	20.75	68.65	162
C _{Ma}	59.61	-28.98	-46.22	54.56	238
V _{Ma}	28.39	23.63	-44.13	50.06	298
M _{Ma}	49.58	73.93	-9.56	74.55	353
N _{Ma}	18.89	0.0	0.0	0.0	0
W _{Ma}	96.9	0.0	0.0	0.0	0
O _{CIE}	39.92	58.74	27.99	65.07	25
Y _{CIE}	81.26	-2.89	71.56	71.62	92
L _{CIE}	52.23	-42.42	13.6	44.55	162
V _{CIE}	30.57	1.41	-46.47	46.49	272



Ein und Ausgabe: Farbmetrisches Drucker-Reflektiv-System ORS19_96a für relativen CIELAB-Buntton $h^* = lab^*h^* = h_{ab}/360 = 0.087$

Daten für jede Farbe:

lab^*ch^* und lab^*icu^*

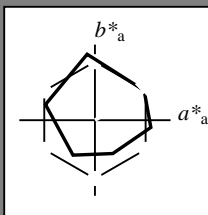
Bunttontexte:

$u^*_d = o00y$ $u^*_e = r08j$

Kontrastreduzierungsfaktor:

$c_R = 1.0$

Dreiecks-Helligkeit i^*



ORS19_96a; adaptierte CIELAB-Daten

u^*_d	$L^*=L^*_a$	a^*_a	b^*_a	$C^*_{ab,a}$	$h^*_{ab,a}$
O _{Ma}	48.75	65.07	39.43	76.08	31
Y _{Ma}	90.92	-10.29	87.24	87.85	97
L _{Ma}	52.69	-65.44	20.75	68.65	162
C _{Ma}	59.61	-28.98	-46.22	54.56	238
V _{Ma}	28.39	23.63	-44.13	50.06	298
M _{Ma}	49.58	73.93	-9.56	74.55	353
N _{Ma}	18.89	0.0	0.0	0.0	0
W _{Ma}	96.9	0.0	0.0	0.0	0
O _{Ma}	39.92	58.74	27.99	65.07	25
Y _{Ma}	81.26	-2.89	71.56	71.62	92
L _{Ma}	52.23	-42.42	13.6	44.55	162
V _{Ma}	30.57	1.41	-46.47	46.49	272

Daten für Maximalfarbe (Ma):

LAB^*LAB^*Ma : 49 65 39

LAB^*LCH^*Ma : 49 76 31

lab^*olv^*Ma : 1.0 0.0 0.0

lab^*rgb^*Ma : 1.0 0.09 0.0

Dreiecks-Helligkeit i^*

%Umfang

$u^*_{rel} = 89$

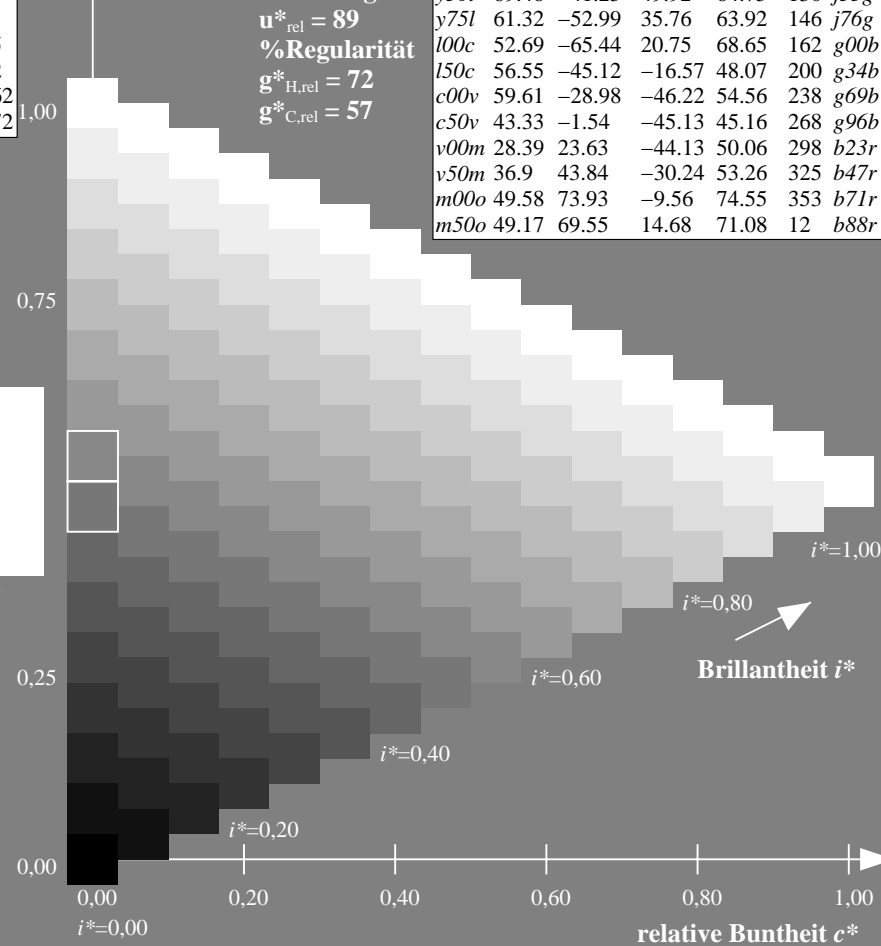
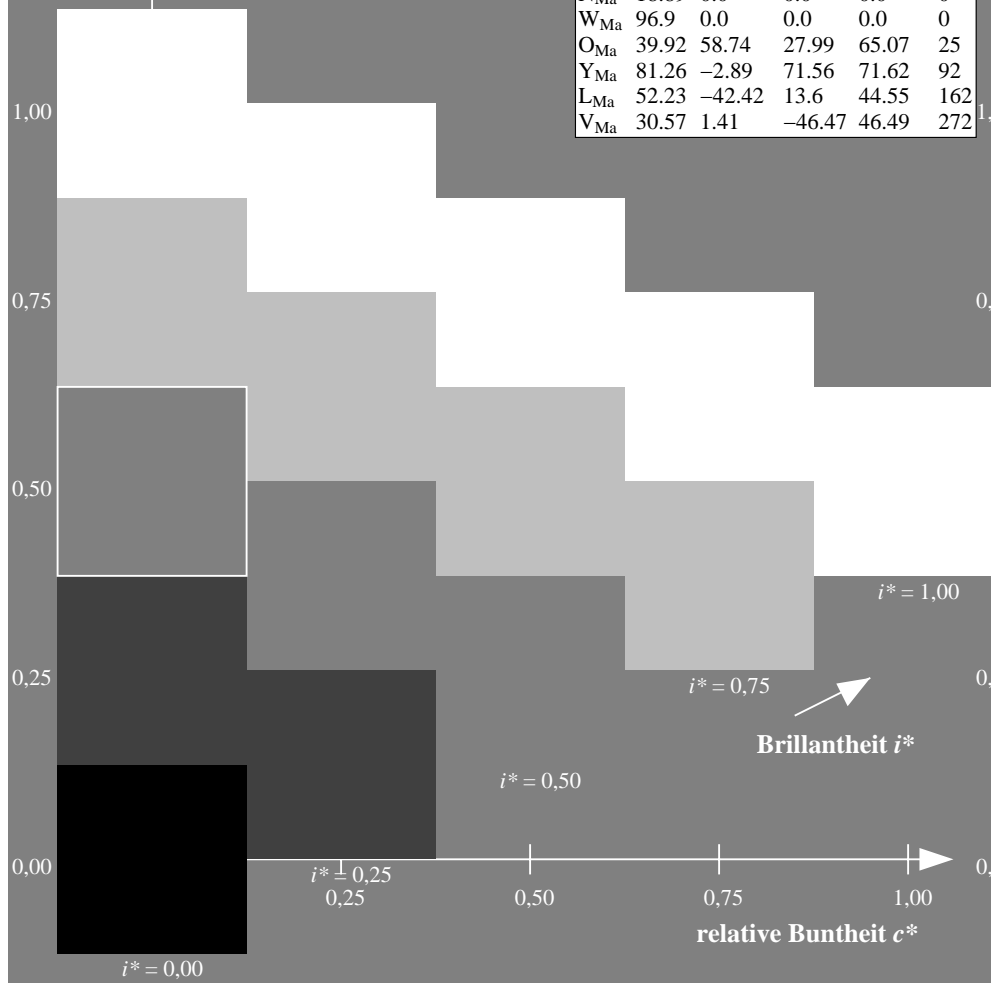
%Regularität

$g^*_{H,rel} = 72$

$g^*_{C,rel} = 57$

ORS19_96a; adaptierte CIELAB-Daten

u^*_d	$L^*=L^*_a$	a^*_a	b^*_a	$C^*_{ab,a}$	$h^*_{ab,a}$	u^*_e
<i>o00y</i>	48.75	65.07	39.43	76.08	31	<i>r08j</i>
<i>o25y</i>	59.04	46.67	51.1	69.21	48	<i>r33j</i>
<i>o50y</i>	68.32	30.09	61.62	68.58	64	<i>r57j</i>
<i>o75y</i>	78.23	12.39	72.85	73.9	80	<i>r81j</i>
<i>y00l</i>	90.92	-10.29	87.24	87.85	97	<i>j06g</i>
<i>y25l</i>	78.57	-28.11	65.75	71.51	113	<i>j29g</i>
<i>y50l</i>	69.46	-41.25	49.92	64.75	130	<i>j53g</i>
<i>y75l</i>	61.32	-52.99	35.76	63.92	146	<i>j76g</i>
<i>l00c</i>	52.69	-65.44	20.75	68.65	162	<i>g00b</i>
<i>l50c</i>	56.55	-45.12	-16.57	48.07	200	<i>g34b</i>
<i>c00v</i>	59.61	-28.98	-46.22	54.56	238	<i>g69b</i>
<i>c50v</i>	43.33	-1.54	-45.13	45.16	268	<i>g96b</i>
<i>v00m</i>	28.39	23.63	-44.13	50.06	298	<i>b23r</i>
<i>v50m</i>	36.9	43.84	-30.24	53.26	325	<i>b47r</i>
<i>m00o</i>	49.58	73.93	-9.56	74.55	353	<i>b71r</i>
<i>m50o</i>	49.17	69.55	14.68	71.08	12	<i>b88r</i>



Ein und Ausgabe: Farbmetrisches Drucker-Reflektiv-System ORS19_96a für relativen CIELAB-Buntton $h^* = lab^*h^* = h_{ab}/360 = 0.132$

Daten für jede Farbe:

lab^*ch^* und lab^*icu^*

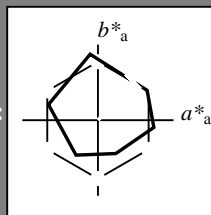
Bunttontexte:

$u^*_d = o25y$ $u^*_e = r33j$

Kontrastreduzierungsfaktor:

$c_R = 1.0$

Dreiecks-Helligkeit i^*



ORS19_96a; adaptierte CIELAB-Daten

u^*_d	$L^*=L^*_a$	a^*_a	b^*_a	$C^*_{ab,a}$	$h^*_{ab,a}$
O _{Ma}	48.75	65.07	39.43	76.08	31
Y _{Ma}	90.92	-10.29	87.24	87.85	97
L _{Ma}	52.69	-65.44	20.75	68.65	162
C _{Ma}	59.61	-28.98	-46.22	54.56	238
V _{Ma}	28.39	23.63	-44.13	50.06	298
M _{Ma}	49.58	73.93	-9.56	74.55	353
N _{Ma}	18.89	0.0	0.0	0.0	0
W _{Ma}	96.9	0.0	0.0	0.0	0
O _{Ma}	39.92	58.74	27.99	65.07	25
Y _{Ma}	81.26	-2.89	71.56	71.62	92
L _{Ma}	52.23	-42.42	13.6	44.55	162
V _{Ma}	30.57	1.41	-46.47	46.49	272

Daten für Maximalfarbe (Ma):

LAB^*LAB^*Ma : 59 47 51

LAB^*LCH^*Ma : 59 69 47

lab^*olv^*Ma : 1.0 0.25 0.0

lab^*rgb^*Ma : 1.0 0.33 0.0

Dreiecks-Helligkeit i^*

%Umfang

$u^*_{rel} = 89$

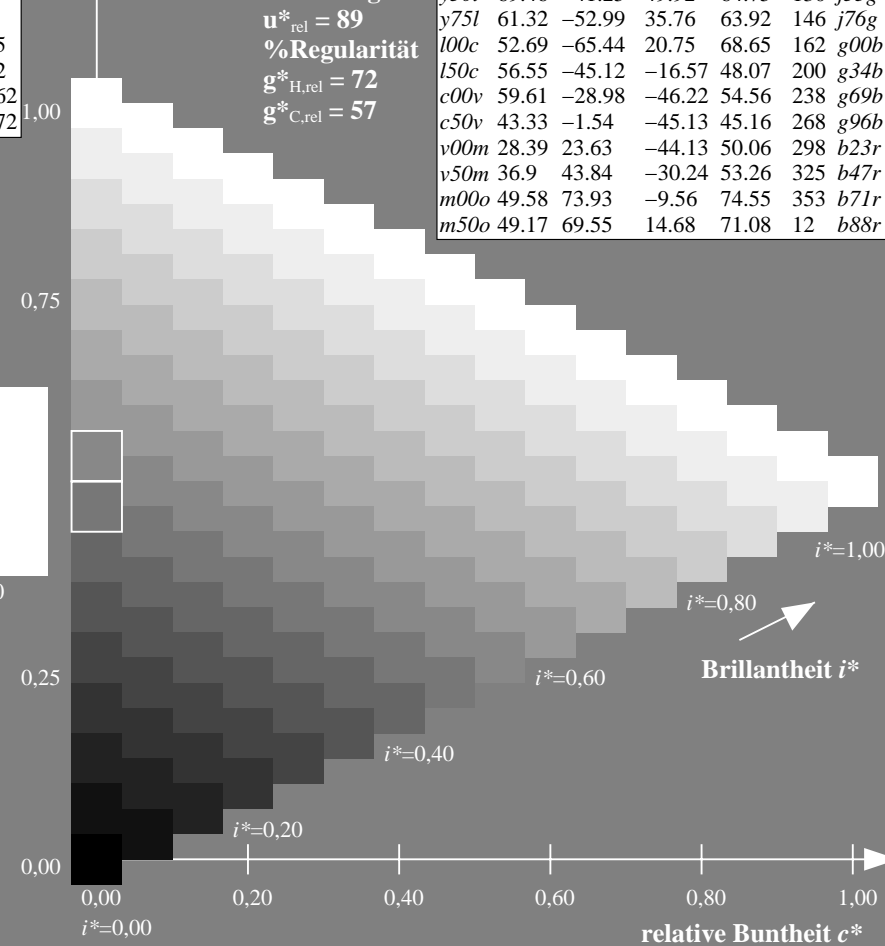
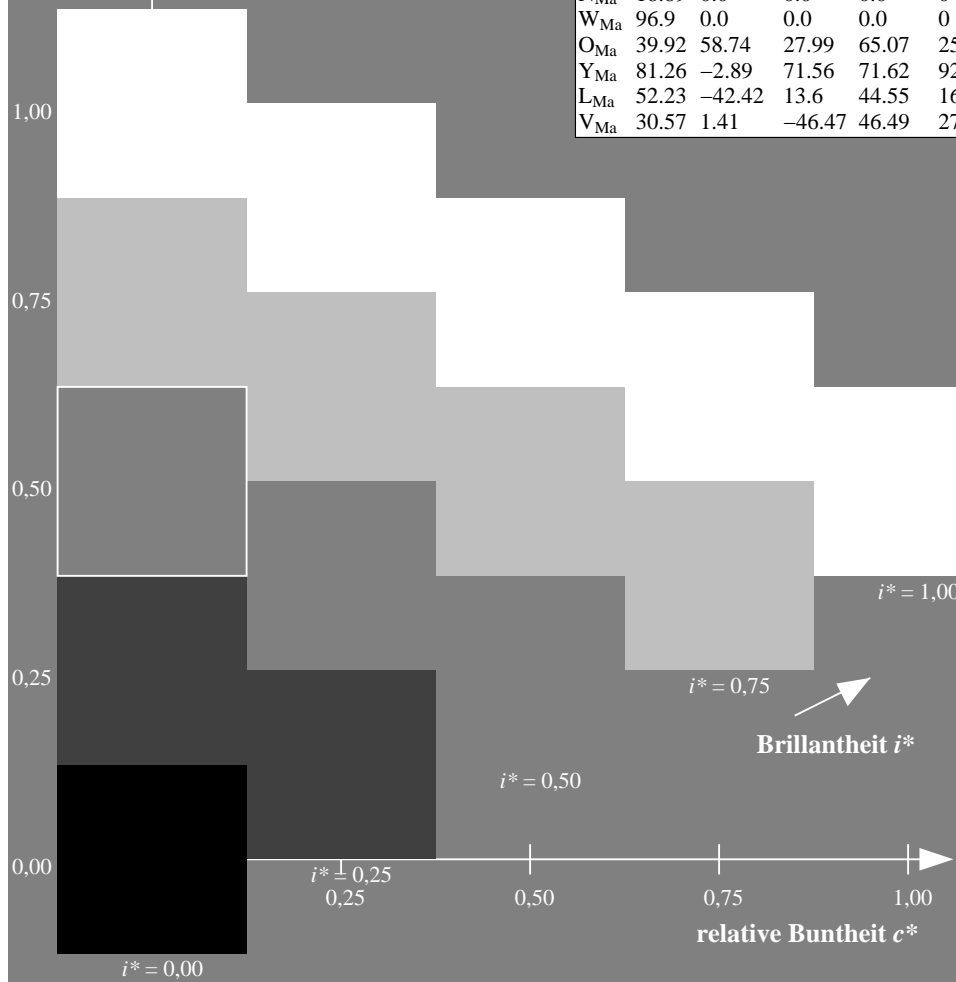
%Regularität

$g^*_{H,rel} = 72$

$g^*_{C,rel} = 57$

ORS19_96a; adaptierte CIELAB-Daten

u^*_d	$L^*=L^*_a$	a^*_a	b^*_a	$C^*_{ab,a}$	$h^*_{ab,a}$	u^*_e
o00y	48.75	65.07	39.43	76.08	31	r08j
o25y	59.04	46.67	51.1	69.21	48	r33j
o50y	68.32	30.09	61.62	68.58	64	r57j
o75y	78.23	12.39	72.85	73.9	80	r81j
y00l	90.92	-10.29	87.24	87.85	97	j06g
y25l	78.57	-28.11	65.75	71.51	113	j29g
y50l	69.46	-41.25	49.92	64.75	130	j53g
y75l	61.32	-52.99	35.76	63.92	146	j76g
l00c	52.69	-65.44	20.75	68.65	162	g00b
l50c	56.55	-45.12	-16.57	48.07	200	g34b
c00v	59.61	-28.98	-46.22	54.56	238	g69b
c50v	43.33	-1.54	-45.13	45.16	268	g96b
v00m	28.39	23.63	-44.13	50.06	298	b23r
v50m	36.9	43.84	-30.24	53.26	325	b47r
m00o	49.58	73.93	-9.56	74.55	353	b71r
m50o	49.17	69.55	14.68	71.08	12	b88r



Ein und Ausgabe: Farbmetrisches Drucker-Reflektiv-System ORS19_96a für relativen CIELAB-Buntton $h^* = lab^*h^* = h_{ab}/360 = 0.178$

Daten für jede Farbe:

lab^*ch^* und lab^*icu^*

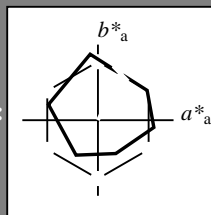
Bunttontexte:

$u^*_d = o50y$ $u^*_e = r57j$

Kontrastreduzierungsfaktor:

$c_R = 1.0$

Dreiecks-Helligkeit i^*



ORS19_96a; adaptierte CIELAB-Daten						
u^*_d	$L^*=L^*_a$	a^*_a	b^*_a	$C^*_{ab,a}$	$h^*_{ab,a}$	
O _{Ma}	48.75	65.07	39.43	76.08	31	
Y _{Ma}	90.92	-10.29	87.24	87.85	97	
L _{Ma}	52.69	-65.44	20.75	68.65	162	
C _{Ma}	59.61	-28.98	-46.22	54.56	238	
V _{Ma}	28.39	23.63	-44.13	50.06	298	
M _{Ma}	49.58	73.93	-9.56	74.55	353	
N _{Ma}	18.89	0.0	0.0	0.0	0	
W _{Ma}	96.9	0.0	0.0	0.0	0	
O _{Ma}	39.92	58.74	27.99	65.07	25	
Y _{Ma}	81.26	-2.89	71.56	71.62	92	
L _{Ma}	52.23	-42.42	13.6	44.55	162	
V _{Ma}	30.57	1.41	-46.47	46.49	272	

Daten für Maximalfarbe (Ma):

LAB^*LAB^*Ma : 68 30 62

LAB^*LCH^*Ma : 68 69 63

lab^*olv^*Ma : 1.0 0.5 0.0

lab^*rgb^*Ma : 1.0 0.58 0.0

Dreiecks-Helligkeit i^*

%Umfang

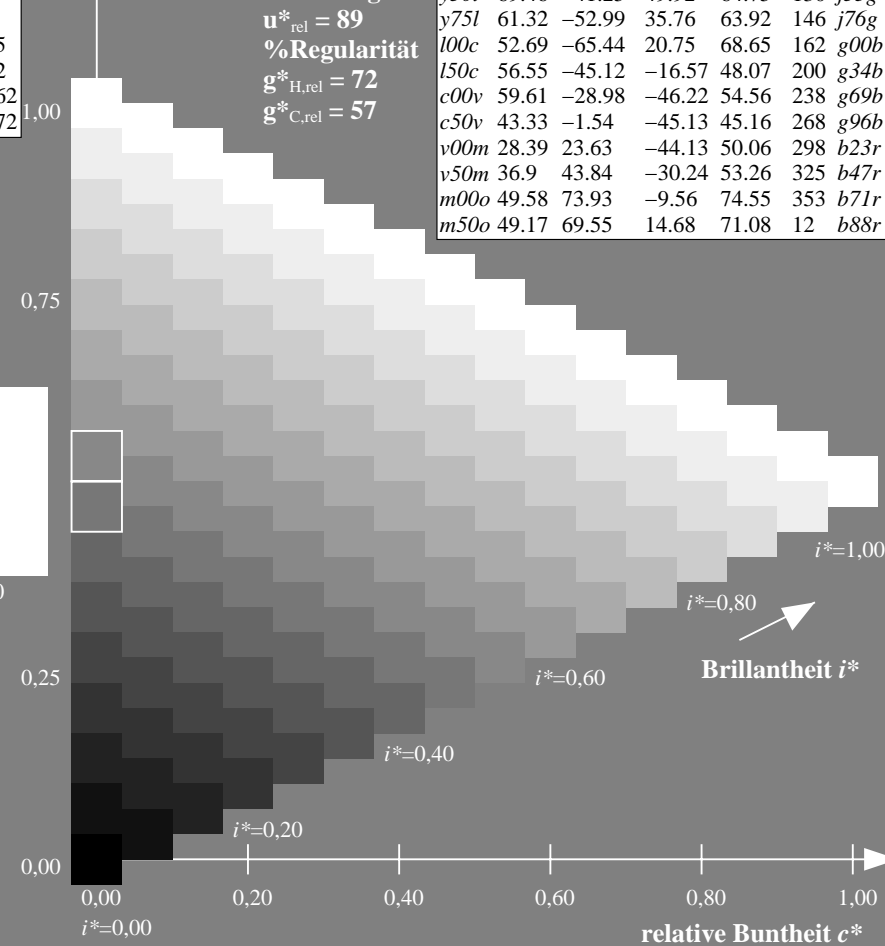
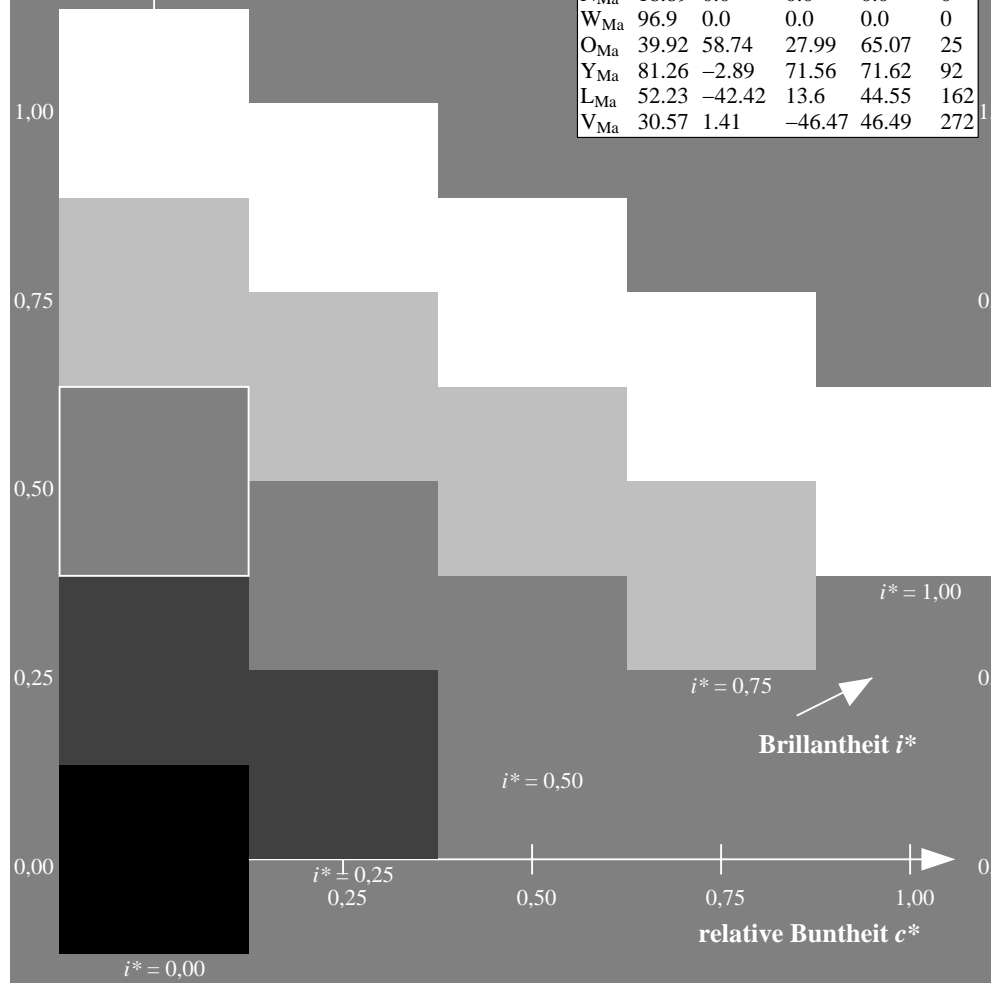
$u^*_{rel} = 89$

%Regularität

$g^*_{H,rel} = 72$

$g^*_{C,rel} = 57$

ORS19_96a; adaptierte CIELAB-Daten							
u^*_d	$L^*=L^*_a$	a^*_a	b^*_a	$C^*_{ab,a}$	$h^*_{ab,a}$	u^*_e	
o00y	48.75	65.07	39.43	76.08	31	r08j	
o25y	59.04	46.67	51.1	69.21	48	r33j	
o50y	68.32	30.09	61.62	68.58	64	r57j	
o75y	78.23	12.39	72.85	73.9	80	r81j	
y00l	90.92	-10.29	87.24	87.85	97	j06g	
y25l	78.57	-28.11	65.75	71.51	113	j29g	
y50l	69.46	-41.25	49.92	64.75	130	j53g	
y75l	61.32	-52.99	35.76	63.92	146	j76g	
l00c	52.69	-65.44	20.75	68.65	162	g00b	
l50c	56.55	-45.12	-16.57	48.07	200	g34b	
c00v	59.61	-28.98	-46.22	54.56	238	g69b	
c50v	43.33	-1.54	-45.13	45.16	268	g96b	
v00m	28.39	23.63	-44.13	50.06	298	b23r	
v50m	36.9	43.84	-30.24	53.26	325	b47r	
m00o	49.58	73.93	-9.56	74.55	353	b71r	
m50o	49.17	69.55	14.68	71.08	12	b88r	



Ein und Ausgabe: Farbmetrisches Drucker-Reflektiv-System ORS19_96a für relativen CIELAB-Buntton $h^* = lab^*h^* = h_{ab}/360 = 0.223$

Daten für jede Farbe:

lab^*ch^* und lab^*icu^*

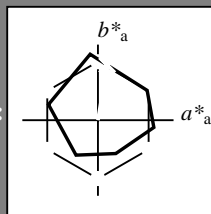
Bunttontexte:

$u^*_d = o75y$ $u^*_e = r81j$

Kontrastreduzierungsfaktor:

$c_R = 1.0$

Dreiecks-Helligkeit i^*



ORS19_96a; adaptierte CIELAB-Daten

u^*_d	$L^*=L^*_a$	a^*_a	b^*_a	$C^*_{ab,a}$	$h^*_{ab,a}$
O _{Ma}	48.75	65.07	39.43	76.08	31
Y _{Ma}	90.92	-10.29	87.24	87.85	97
L _{Ma}	52.69	-65.44	20.75	68.65	162
C _{Ma}	59.61	-28.98	-46.22	54.56	238
V _{Ma}	28.39	23.63	-44.13	50.06	298
M _{Ma}	49.58	73.93	-9.56	74.55	353
N _{Ma}	18.89	0.0	0.0	0.0	0
W _{Ma}	96.9	0.0	0.0	0.0	0
O _{Ma}	39.92	58.74	27.99	65.07	25
Y _{Ma}	81.26	-2.89	71.56	71.62	92
L _{Ma}	52.23	-42.42	13.6	44.55	162
V _{Ma}	30.57	1.41	-46.47	46.49	272

Daten für Maximalfarbe (Ma):

LAB^*LAB^*Ma : 78 12 73

LAB^*LCH^*Ma : 78 74 80

lab^*olv^*Ma : 1.0 0.75 0.0

lab^*rgb^*Ma : 1.0 0.82 0.0

Dreiecks-Helligkeit i^*

%Umfang

$u^*_{rel} = 89$

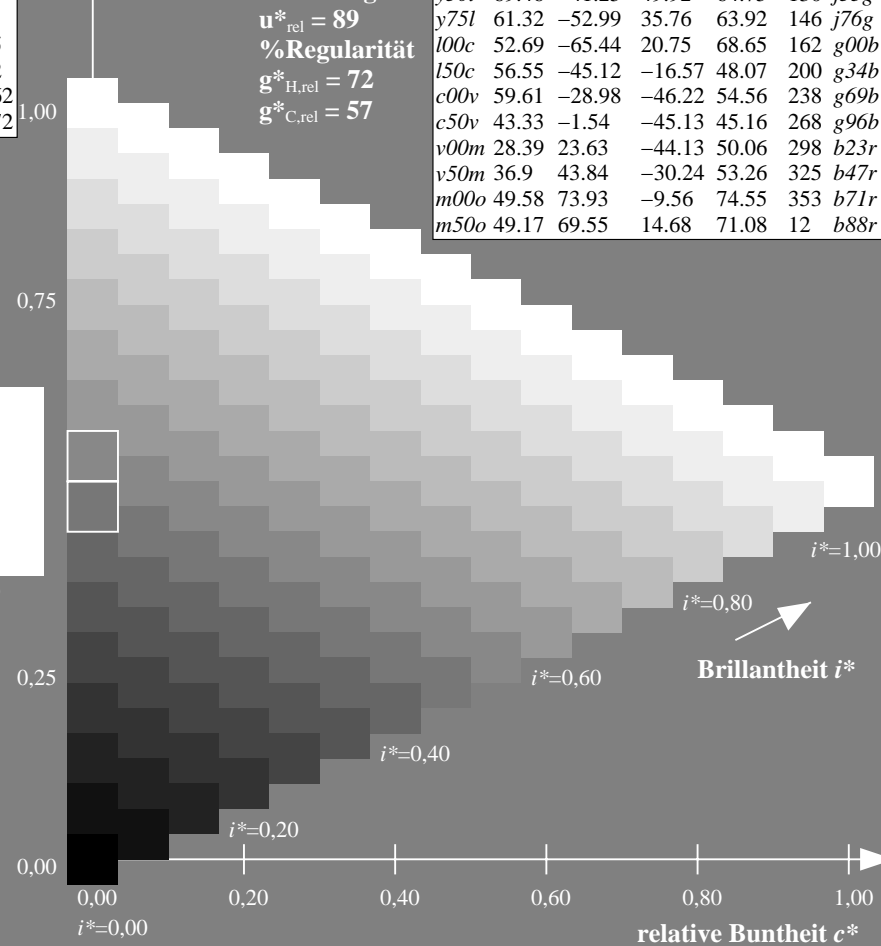
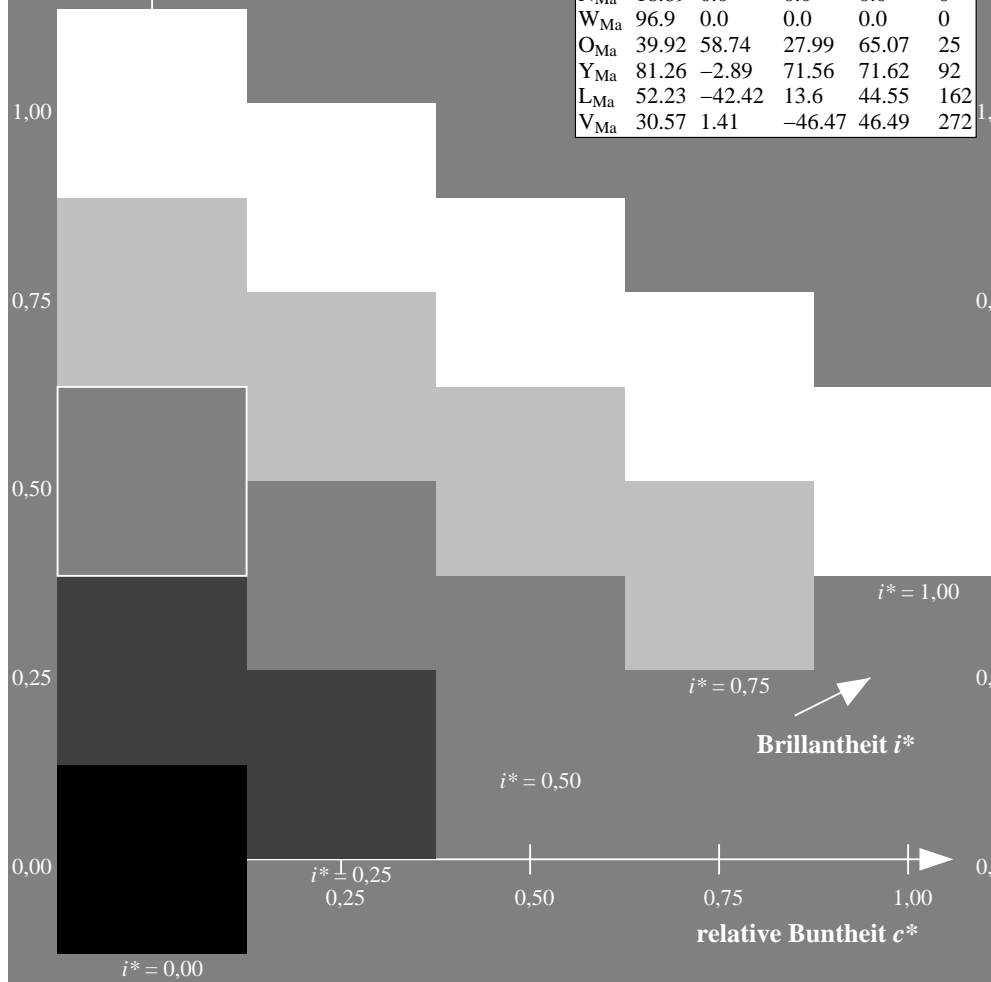
%Regularität

$g^*_{H,rel} = 72$

$g^*_{C,rel} = 57$

ORS19_96a; adaptierte CIELAB-Daten

u^*_d	$L^*=L^*_a$	a^*_a	b^*_a	$C^*_{ab,a}$	$h^*_{ab,a}$	u^*_e
o00y	48.75	65.07	39.43	76.08	31	r08j
o25y	59.04	46.67	51.1	69.21	48	r33j
o50y	68.32	30.09	61.62	68.58	64	r57j
o75y	78.23	12.39	72.85	73.9	80	r81j
y00l	90.92	-10.29	87.24	87.85	97	j06g
y25l	78.57	-28.11	65.75	71.51	113	j29g
y50l	69.46	-41.25	49.92	64.75	130	j53g
y75l	61.32	-52.99	35.76	63.92	146	j76g
l00c	52.69	-65.44	20.75	68.65	162	g00b
l50c	56.55	-45.12	-16.57	48.07	200	g34b
c00v	59.61	-28.98	-46.22	54.56	238	g69b
c50v	43.33	-1.54	-45.13	45.16	268	g96b
v00m	28.39	23.63	-44.13	50.06	298	b23r
v50m	36.9	43.84	-30.24	53.26	325	b47r
m00o	49.58	73.93	-9.56	74.55	353	b71r
m50o	49.17	69.55	14.68	71.08	12	b88r



Ein und Ausgabe: Farbmetrisches Drucker-Reflektiv-System ORS19_96a für relativen CIELAB-Buntton $h^* = lab^*h^* = h_{ab}/360 = 0.269$

Daten für jede Farbe:

lab^*ch^* und lab^*icu^*

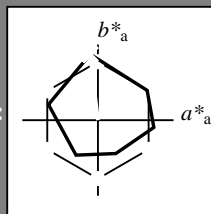
Bunttontexte:

$u^*_d = y00l$ $u^*_e = j06g$

Kontrastreduzierungsfaktor:

$c_R = 1.0$

Dreiecks-Helligkeit i^*



ORS19_96a; adaptierte CIELAB-Daten

u^*_d	$L^*=L^*_a$	a^*_a	b^*_a	$C^*_{ab,a}$	$h^*_{ab,a}$
O _{Ma}	48.75	65.07	39.43	76.08	31
Y _{Ma}	90.92	-10.29	87.24	87.85	97
L _{Ma}	52.69	-65.44	20.75	68.65	162
C _{Ma}	59.61	-28.98	-46.22	54.56	238
V _{Ma}	28.39	23.63	-44.13	50.06	298
M _{Ma}	49.58	73.93	-9.56	74.55	353
N _{Ma}	18.89	0.0	0.0	0.0	0
W _{Ma}	96.9	0.0	0.0	0.0	0
O _{Ma}	39.92	58.74	27.99	65.07	25
Y _{Ma}	81.26	-2.89	71.56	71.62	92
L _{Ma}	52.23	-42.42	13.6	44.55	162
V _{Ma}	30.57	1.41	-46.47	46.49	272

Daten für Maximalfarbe (Ma):

LAB^*LAB^*Ma : 91 -10 87

LAB^*LCH^*Ma : 91 88 96

lab^*olv^*Ma : 1.0 1.0 0.0

lab^*rgb^*Ma : 0.94 1.0 0.0

Dreiecks-Helligkeit i^*

%Umfang

$u^*_{rel} = 89$

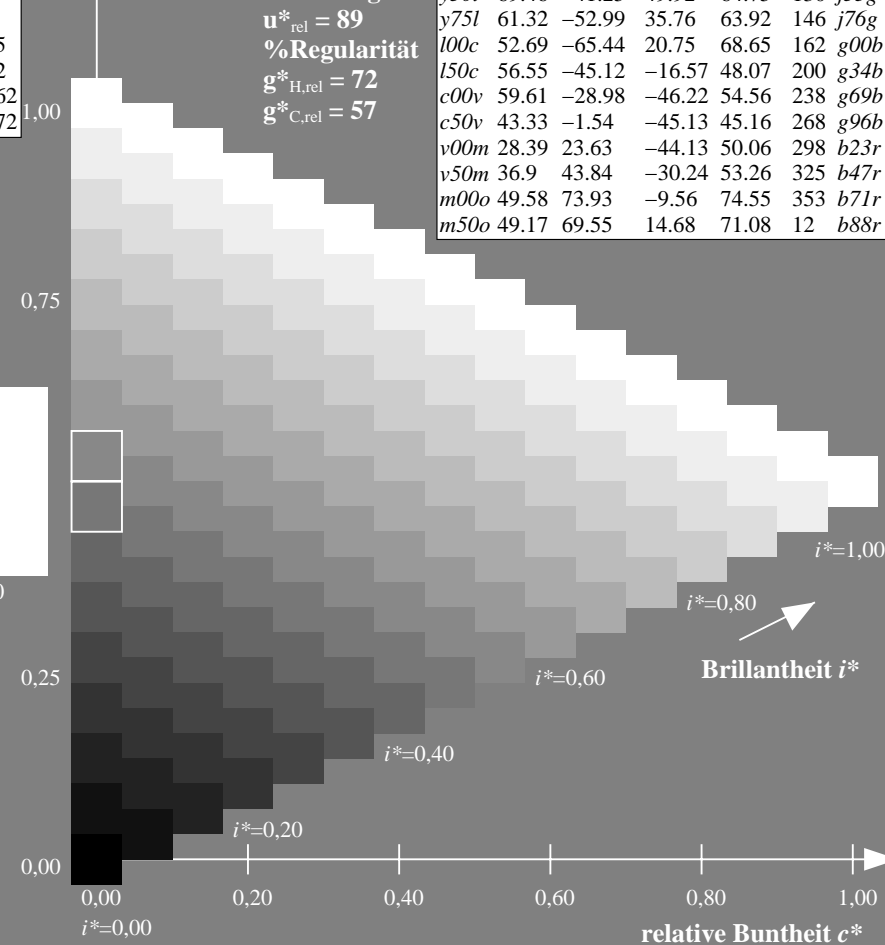
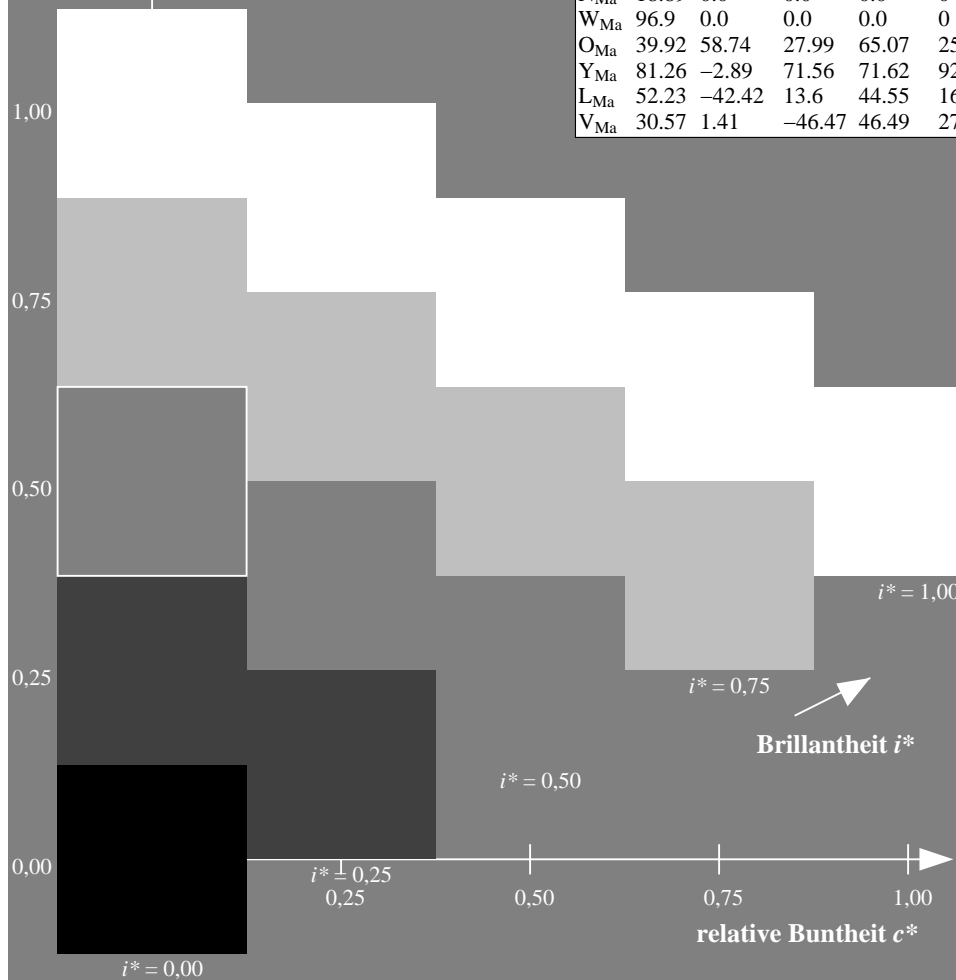
%Regularität

$g^*_{H,rel} = 72$

$g^*_{C,rel} = 57$

ORS19_96a; adaptierte CIELAB-Daten

u^*_d	$L^*=L^*_a$	a^*_a	b^*_a	$C^*_{ab,a}$	$h^*_{ab,a}$	u^*_e
o00y	48.75	65.07	39.43	76.08	31	r08j
o25y	59.04	46.67	51.1	69.21	48	r33j
o50y	68.32	30.09	61.62	68.58	64	r57j
o75y	78.23	12.39	72.85	73.9	80	r81j
y00l	90.92	-10.29	87.24	87.85	97	j06g
y25l	78.57	-28.11	65.75	71.51	113	j29g
y50l	69.46	-41.25	49.92	64.75	130	j53g
y75l	61.32	-52.99	35.76	63.92	146	j76g
l00c	52.69	-65.44	20.75	68.65	162	g00b
l50c	56.55	-45.12	-16.57	48.07	200	g34b
c00v	59.61	-28.98	-46.22	54.56	238	g69b
c50v	43.33	-1.54	-45.13	45.16	268	g96b
v00m	28.39	23.63	-44.13	50.06	298	b23r
v50m	36.9	43.84	-30.24	53.26	325	b47r
m00o	49.58	73.93	-9.56	74.55	353	b71r
m50o	49.17	69.55	14.68	71.08	12	b88r



Ein und Ausgabe: Farbmetrisches Drucker-Reflektiv-System ORS19_96a für relativen CIELAB-Buntton $h^* = lab^*h^* = h_{ab}/360 = 0.314$

Daten für jede Farbe:

lab^*ch^* und lab^*icu^*

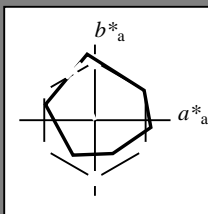
Bunttontexte:

$u^*_d = y25l$ $u^*_e = j29g$

Kontrastreduzierungsfaktor:

$c_R = 1.0$

Dreiecks-Helligkeit i^*



ORS19_96a; adaptierte CIELAB-Daten

u^*_d	$L^*=L^*_a$	a^*_a	b^*_a	$C^*_{ab,a}$	$h^*_{ab,a}$
O _{Ma}	48.75	65.07	39.43	76.08	31
Y _{Ma}	90.92	-10.29	87.24	87.85	97
L _{Ma}	52.69	-65.44	20.75	68.65	162
C _{Ma}	59.61	-28.98	-46.22	54.56	238
V _{Ma}	28.39	23.63	-44.13	50.06	298
M _{Ma}	49.58	73.93	-9.56	74.55	353
N _{Ma}	18.89	0.0	0.0	0.0	0
W _{Ma}	96.9	0.0	0.0	0.0	0
O _{Ma}	39.92	58.74	27.99	65.07	25
Y _{Ma}	81.26	-2.89	71.56	71.62	92
L _{Ma}	52.23	-42.42	13.6	44.55	162
V _{Ma}	30.57	1.41	-46.47	46.49	272

Daten für Maximalfarbe (Ma):

LAB^*LAB^*Ma : 79 -28 66

LAB^*LCH^*Ma : 79 72 113

lab^*olv^*Ma : 0.75 1.0 0.0

lab^*rgb^*Ma : 0.7 1.0 0.0

Dreiecks-Helligkeit i^*

%Umfang

$u^*_{rel} = 89$

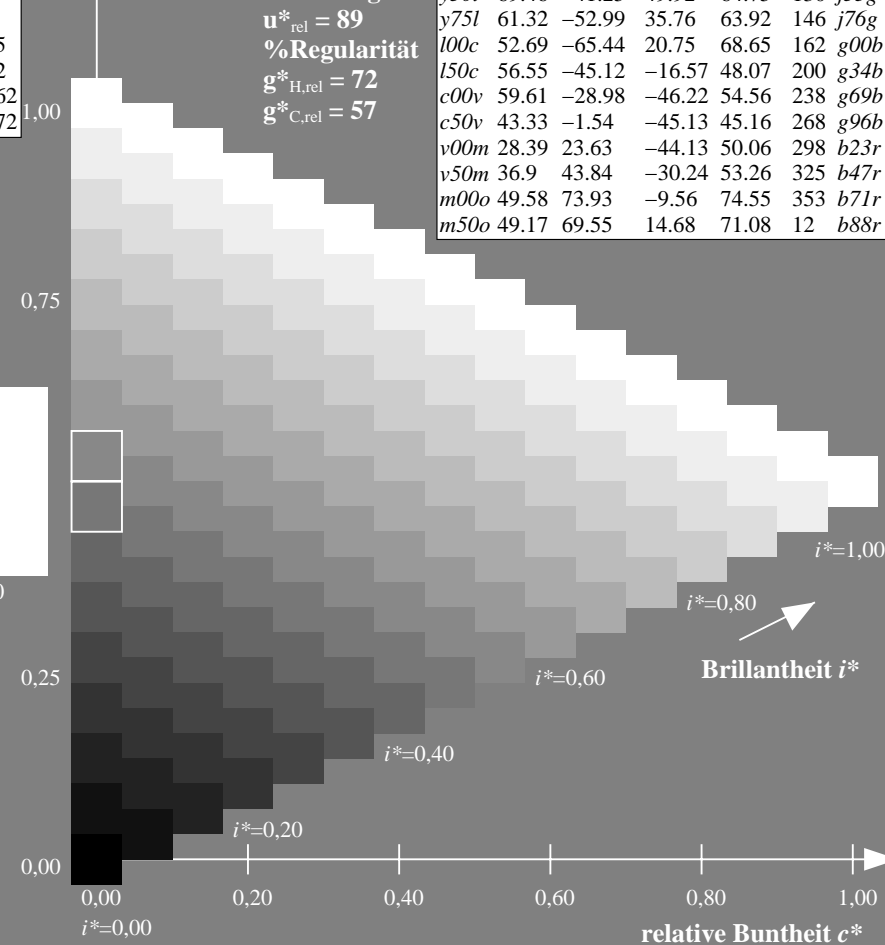
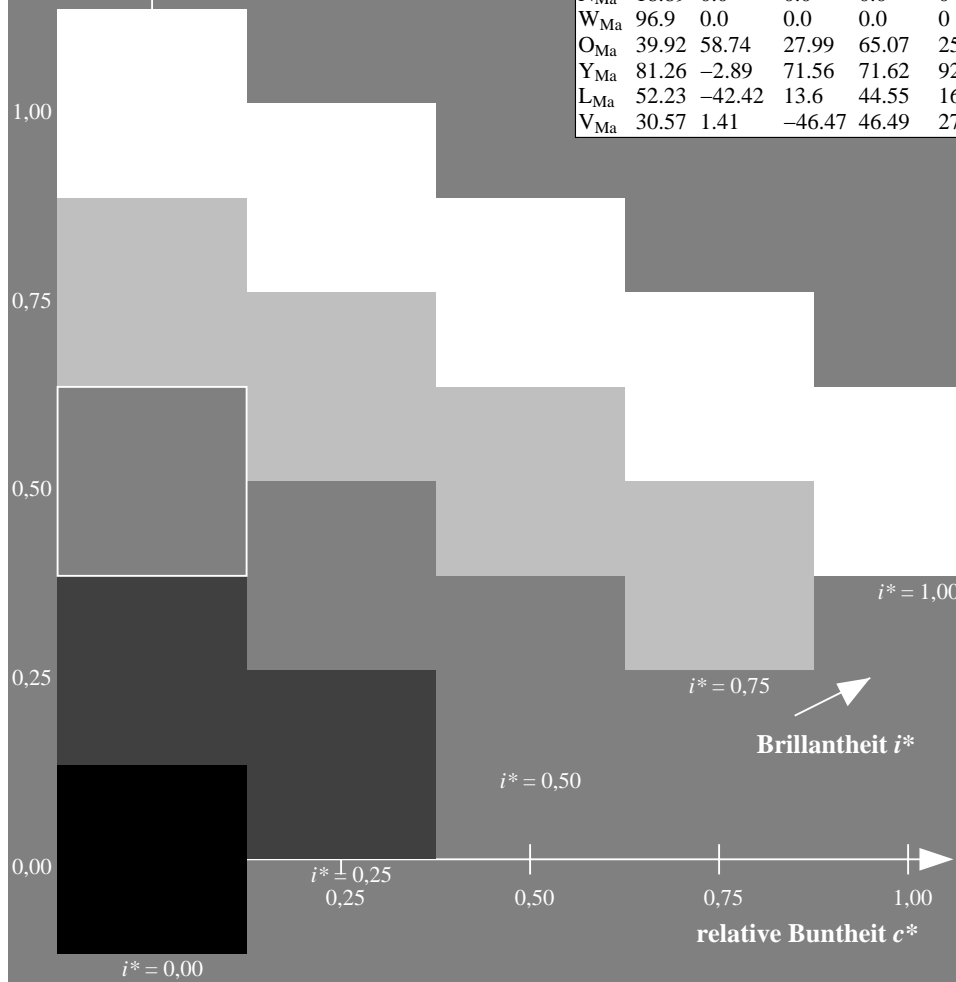
%Regularität

$g^*_{H,rel} = 72$

$g^*_{C,rel} = 57$

ORS19_96a; adaptierte CIELAB-Daten

u^*_d	$L^*=L^*_a$	a^*_a	b^*_a	$C^*_{ab,a}$	$h^*_{ab,a}$	u^*_e
o00y	48.75	65.07	39.43	76.08	31	r08j
o25y	59.04	46.67	51.1	69.21	48	r33j
o50y	68.32	30.09	61.62	68.58	64	r57j
o75y	78.23	12.39	72.85	73.9	80	r81j
y00l	90.92	-10.29	87.24	87.85	97	j06g
y25l	78.57	-28.11	65.75	71.51	113	j29g
y50l	69.46	-41.25	49.92	64.75	130	j53g
y75l	61.32	-52.99	35.76	63.92	146	j76g
l00c	52.69	-65.44	20.75	68.65	162	g00b
l50c	56.55	-45.12	-16.57	48.07	200	g34b
c00v	59.61	-28.98	-46.22	54.56	238	g69b
c50v	43.33	-1.54	-45.13	45.16	268	g96b
v00m	28.39	23.63	-44.13	50.06	298	b23r
v50m	36.9	43.84	-30.24	53.26	325	b47r
m00o	49.58	73.93	-9.56	74.55	353	b71r
m50o	49.17	69.55	14.68	71.08	12	b88r



Ein und Ausgabe: Farbmetrisches Drucker-Reflektiv-System ORS19_96a für relativen CIELAB-Buntton $h^* = lab^*h^* = h_{ab}/360 = 0.36$

Daten für jede Farbe:

lab^*ch^* und lab^*icu^*

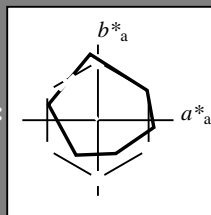
Bunttontexte:

$u^*_d = y50l$ $u^*_e = j53g$

Kontrastreduzierungsfaktor:

$c_R = 1.0$

Dreiecks-Helligkeit i^*



ORS19_96a; adaptierte CIELAB-Daten

u^*_d	$L^*=L^*_a$	a^*_a	b^*_a	$C^*_{ab,a}$	$h^*_{ab,a}$
O _{Ma}	48.75	65.07	39.43	76.08	31
Y _{Ma}	90.92	-10.29	87.24	87.85	97
L _{Ma}	52.69	-65.44	20.75	68.65	162
C _{Ma}	59.61	-28.98	-46.22	54.56	238
V _{Ma}	28.39	23.63	-44.13	50.06	298
M _{Ma}	49.58	73.93	-9.56	74.55	353
N _{Ma}	18.89	0.0	0.0	0.0	0
W _{Ma}	96.9	0.0	0.0	0.0	0
O _{Ma}	39.92	58.74	27.99	65.07	25
Y _{Ma}	81.26	-2.89	71.56	71.62	92
L _{Ma}	52.23	-42.42	13.6	44.55	162
V _{Ma}	30.57	1.41	-46.47	46.49	272

Daten für Maximalfarbe (Ma):

LAB^*LAB^*Ma : 69 -41 50

LAB^*LCH^*Ma : 69 65 129

lab^*olv^*Ma : 0.5 1.0 0.0

lab^*rgb^*Ma : 0.47 1.0 0.0

Dreiecks-Helligkeit i^*

%Umfang

$u^*_{rel} = 89$

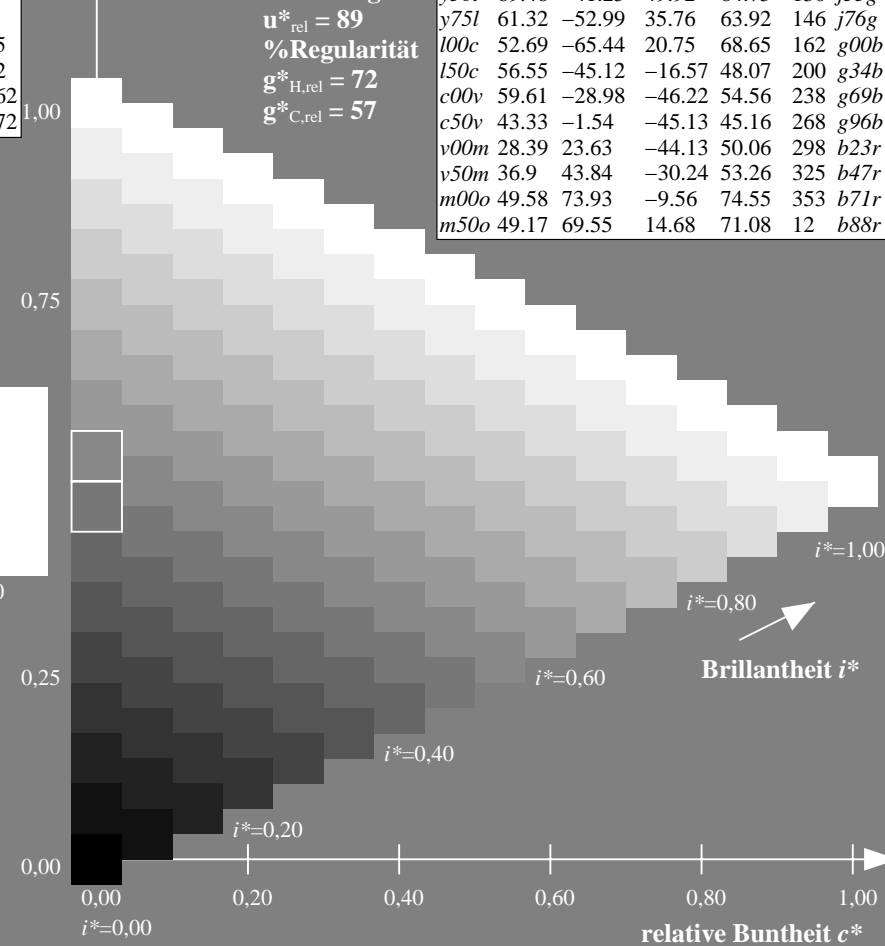
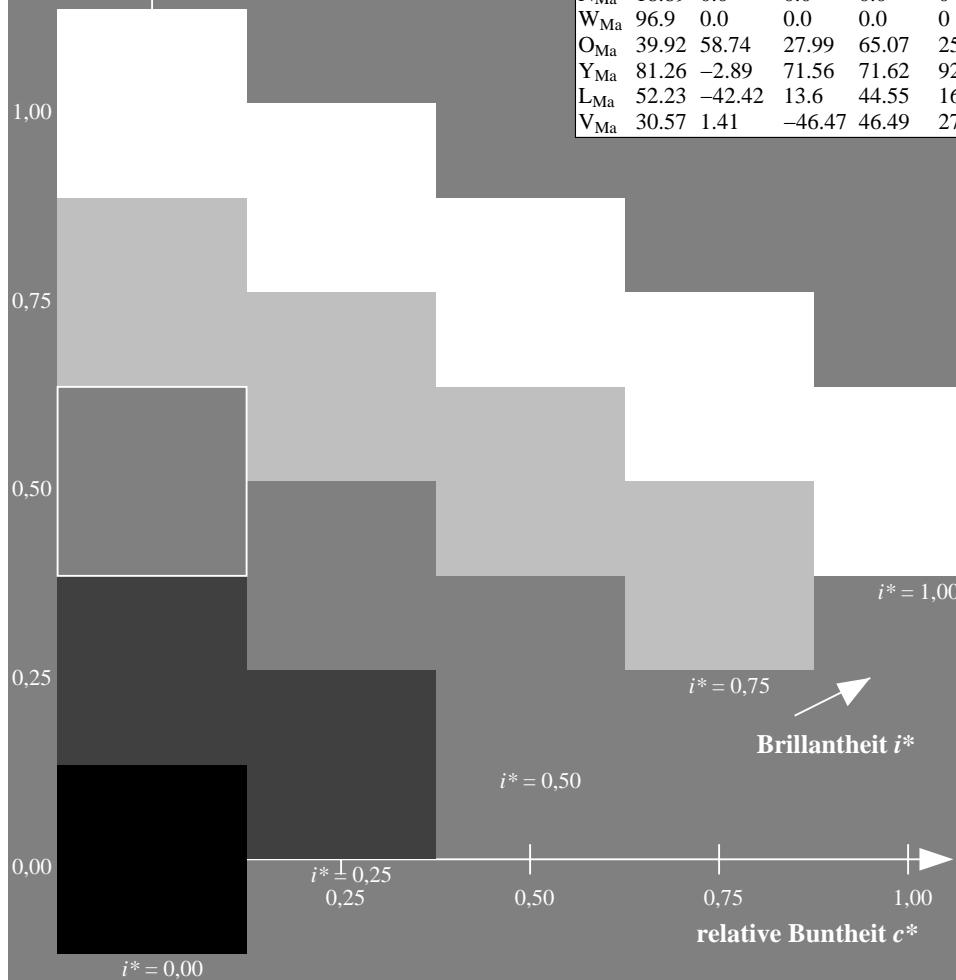
%Regularität

$g^*_{H,rel} = 72$

$g^*_{C,rel} = 57$

ORS19_96a; adaptierte CIELAB-Daten

u^*_d	$L^*=L^*_a$	a^*_a	b^*_a	$C^*_{ab,a}$	$h^*_{ab,a}$	u^*_e
o00y	48.75	65.07	39.43	76.08	31	r08j
o25y	59.04	46.67	51.1	69.21	48	r33j
o50y	68.32	30.09	61.62	68.58	64	r57j
o75y	78.23	12.39	72.85	73.9	80	r81j
y00l	90.92	-10.29	87.24	87.85	97	j06g
y25l	78.57	-28.11	65.75	71.51	113	j29g
y50l	69.46	-41.25	49.92	64.75	130	j53g
y75l	61.32	-52.99	35.76	63.92	146	j76g
l00c	52.69	-65.44	20.75	68.65	162	g00b
l50c	56.55	-45.12	-16.57	48.07	200	g34b
c00v	59.61	-28.98	-46.22	54.56	238	g69b
c50v	43.33	-1.54	-45.13	45.16	268	g96b
v00m	28.39	23.63	-44.13	50.06	298	b23r
v50m	36.9	43.84	-30.24	53.26	325	b47r
m00o	49.58	73.93	-9.56	74.55	353	b71r
m50o	49.17	69.55	14.68	71.08	12	b88r



Ein und Ausgabe: Farbmetrisches Drucker-Reflektiv-System ORS19_96a für relativen CIELAB-Buntton $h^* = lab^*h^* = h_{ab}/360 = 0.406$

Daten für jede Farbe:

lab^*ch^* und lab^*icu^*

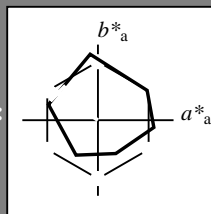
Bunttontexte:

$u^*_d = y75l$ $u^*_e = j76g$

Kontrastreduzierungsfaktor:

$c_R = 1.0$

Dreiecks-Helligkeit i^*



ORS19_96a; adaptierte CIELAB-Daten

u^*_d	$L^*=L^*_a$	a^*_a	b^*_a	$C^*_{ab,a}$	$h^*_{ab,a}$
O _{Ma}	48.75	65.07	39.43	76.08	31
Y _{Ma}	90.92	-10.29	87.24	87.85	97
L _{Ma}	52.69	-65.44	20.75	68.65	162
C _{Ma}	59.61	-28.98	-46.22	54.56	238
V _{Ma}	28.39	23.63	-44.13	50.06	298
M _{Ma}	49.58	73.93	-9.56	74.55	353
N _{Ma}	18.89	0.0	0.0	0.0	0
W _{Ma}	96.9	0.0	0.0	0.0	0
O _{Ma}	39.92	58.74	27.99	65.07	25
Y _{Ma}	81.26	-2.89	71.56	71.62	92
L _{Ma}	52.23	-42.42	13.6	44.55	162
V _{Ma}	30.57	1.41	-46.47	46.49	272

Daten für Maximalfarbe (Ma):

LAB^*LAB^*Ma : 61 -53 36

LAB^*LCH^*Ma : 61 64 145

lab^*olv^*Ma : 0.25 1.0 0.0

lab^*rgb^*Ma : 0.23 1.0 0.0

Dreiecks-Helligkeit i^*

%Umfang

$u^*_{rel} = 89$

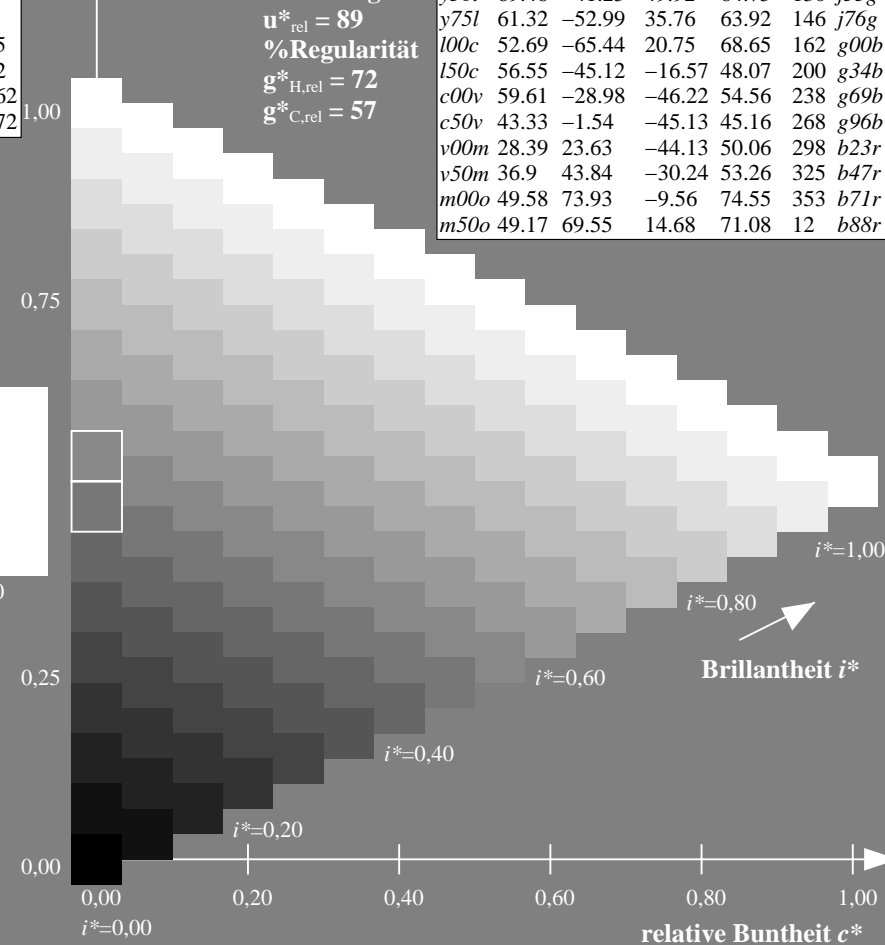
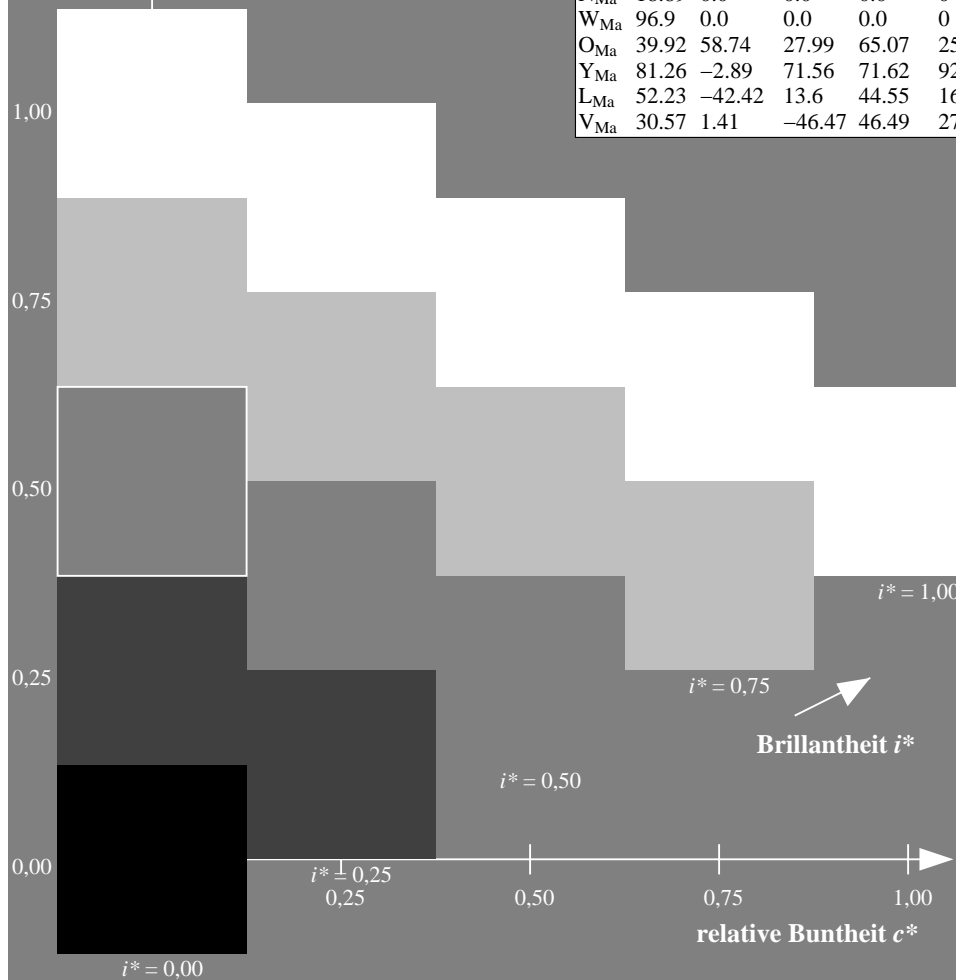
%Regularität

$g^*_{H,rel} = 72$

$g^*_{C,rel} = 57$

ORS19_96a; adaptierte CIELAB-Daten

u^*_d	$L^*=L^*_a$	a^*_a	b^*_a	$C^*_{ab,a}$	$h^*_{ab,a}$	u^*_e
o00y	48.75	65.07	39.43	76.08	31	r08j
o25y	59.04	46.67	51.1	69.21	48	r33j
o50y	68.32	30.09	61.62	68.58	64	r57j
o75y	78.23	12.39	72.85	73.9	80	r81j
y00l	90.92	-10.29	87.24	87.85	97	j06g
y25l	78.57	-28.11	65.75	71.51	113	j29g
y50l	69.46	-41.25	49.92	64.75	130	j53g
y75l	61.32	-52.99	35.76	63.92	146	j76g
l00c	52.69	-65.44	20.75	68.65	162	g00b
l50c	56.55	-45.12	-16.57	48.07	200	g34b
c00v	59.61	-28.98	-46.22	54.56	238	g69b
c50v	43.33	-1.54	-45.13	45.16	268	g96b
v00m	28.39	23.63	-44.13	50.06	298	b23r
v50m	36.9	43.84	-30.24	53.26	325	b47r
m00o	49.58	73.93	-9.56	74.55	353	b71r
m50o	49.17	69.55	14.68	71.08	12	b88r



Ein und Ausgabe: Farbmetrisches Drucker-Reflektiv-System ORS19_96a für relativen CIELAB-Buntton $h^* = lab^*h^* = h_{ab}/360 = 0.451$

Daten für jede Farbe:

lab^*ch^* und lab^*icu^*

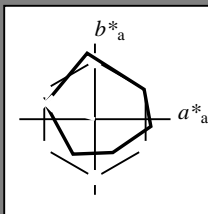
Bunttontexte:

$u^*_d = 100c$ $u^*_e = g00b$

Kontrastreduzierungsfaktor:

$c_R = 1.0$

Dreiecks-Helligkeit i^*



ORS19_96a; adaptierte CIELAB-Daten

u^*_d	$L^*=L^*_a$	a^*_a	b^*_a	$C^*_{ab,a}$	$h^*_{ab,a}$
O _{Ma}	48.75	65.07	39.43	76.08	31
Y _{Ma}	90.92	-10.29	87.24	87.85	97
L _{Ma}	52.69	-65.44	20.75	68.65	162
C _{Ma}	59.61	-28.98	-46.22	54.56	238
V _{Ma}	28.39	23.63	-44.13	50.06	298
M _{Ma}	49.58	73.93	-9.56	74.55	353
N _{Ma}	18.89	0.0	0.0	0.0	0
W _{Ma}	96.9	0.0	0.0	0.0	0
O _{Ma}	39.92	58.74	27.99	65.07	25
Y _{Ma}	81.26	-2.89	71.56	71.62	92
L _{Ma}	52.23	-42.42	13.6	44.55	162
V _{Ma}	30.57	1.41	-46.47	46.49	272

Daten für Maximalfarbe (Ma):

LAB^*LAB^*Ma : 53 -65 21

LAB^*LCH^*Ma : 53 69 162

lab^*olv^*Ma : 0.0 1.0 0.0

lab^*rgb^*Ma : 0.0 1.0 0.0

Dreiecks-Helligkeit i^*

%Umfang

$u^*_{rel} = 89$

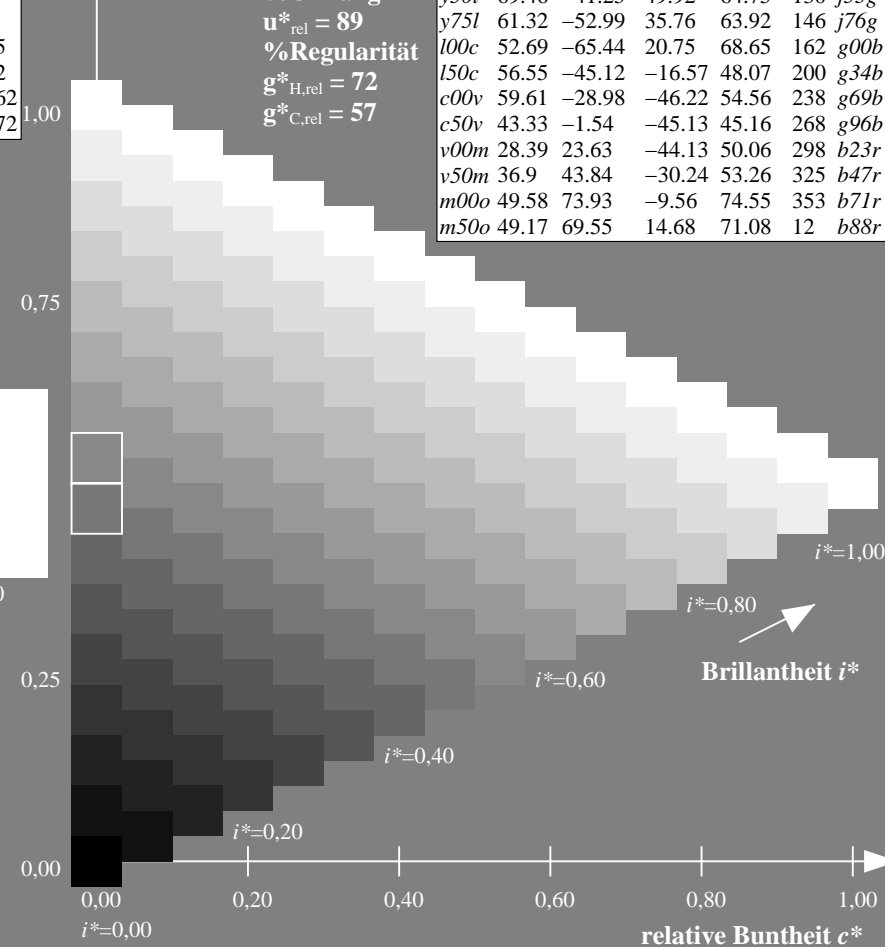
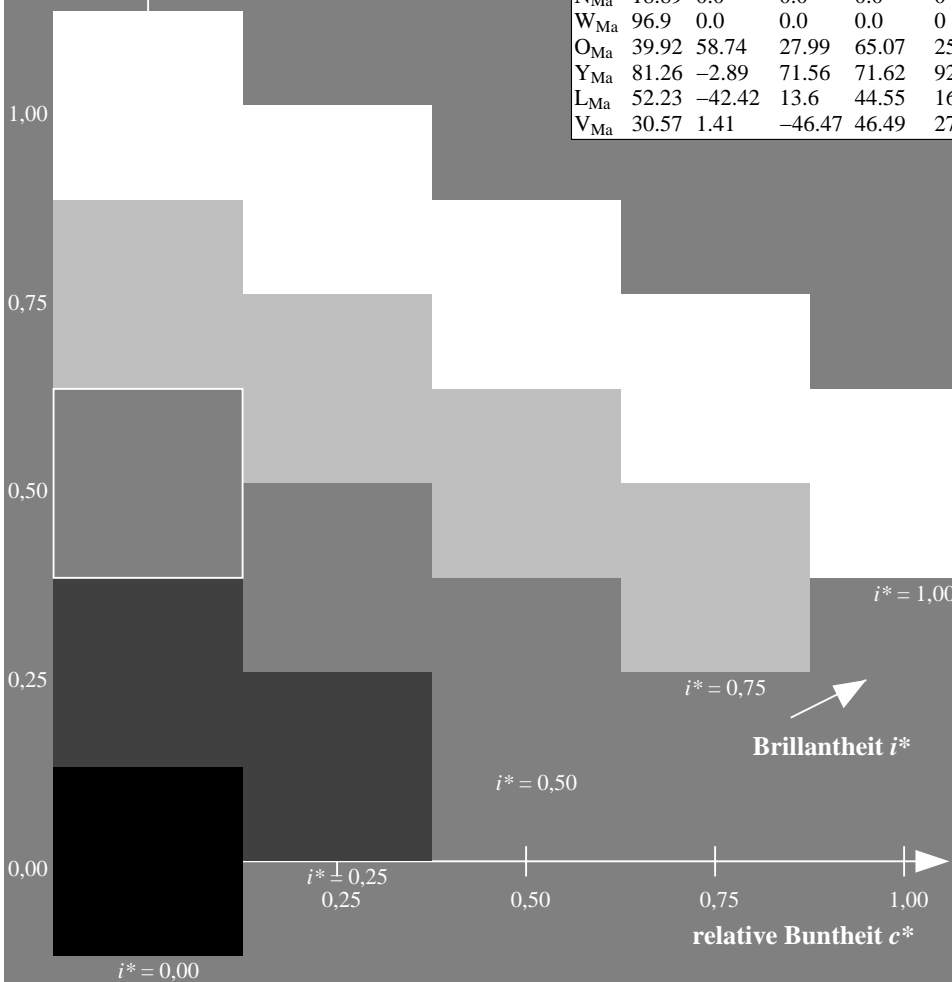
%Regularität

$g^*_{H,rel} = 72$

$g^*_{C,rel} = 57$

ORS19_96a; adaptierte CIELAB-Daten

u^*_d	$L^*=L^*_a$	a^*_a	b^*_a	$C^*_{ab,a}$	$h^*_{ab,a}$	u^*_e
o00y	48.75	65.07	39.43	76.08	31	r08j
o25y	59.04	46.67	51.1	69.21	48	r33j
o50y	68.32	30.09	61.62	68.58	64	r57j
o75y	78.23	12.39	72.85	73.9	80	r81j
y00l	90.92	-10.29	87.24	87.85	97	j06g
y25l	78.57	-28.11	65.75	71.51	113	j29g
y50l	69.46	-41.25	49.92	64.75	130	j53g
y75l	61.32	-52.99	35.76	63.92	146	j76g
l00c	52.69	-65.44	20.75	68.65	162	g00b
l50c	56.55	-45.12	-16.57	48.07	200	g34b
c00v	59.61	-28.98	-46.22	54.56	238	g69b
c50v	43.33	-1.54	-45.13	45.16	268	g96b
v00m	28.39	23.63	-44.13	50.06	298	b23r
v50m	36.9	43.84	-30.24	53.26	325	b47r
m00o	49.58	73.93	-9.56	74.55	353	b71r
m50o	49.17	69.55	14.68	71.08	12	b88r



Ein und Ausgabe: Farbmetrisches Drucker-Reflektiv-System ORS19_96a für relativen CIELAB-Buntton $h^* = lab^*h^* = h_{ab}/360 = 0.556$

Daten für jede Farbe:

lab^*ch^* und lab^*icu^*

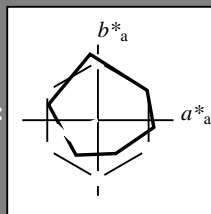
Bunttontexte:

$u^*_d = l50c$ $u^*_e = g34b$

Kontrastreduzierungsfaktor:

$c_R = 1.0$

Dreiecks-Helligkeit i^*



ORS19_96a; adaptierte CIELAB-Daten

u^*_d	$L^*=L^*_a$	a^*_a	b^*_a	$C^*_{ab,a}$	$h^*_{ab,a}$
O _{Ma}	48.75	65.07	39.43	76.08	31
Y _{Ma}	90.92	-10.29	87.24	87.85	97
L _{Ma}	52.69	-65.44	20.75	68.65	162
C _{Ma}	59.61	-28.98	-46.22	54.56	238
V _{Ma}	28.39	23.63	-44.13	50.06	298
M _{Ma}	49.58	73.93	-9.56	74.55	353
N _{Ma}	18.89	0.0	0.0	0.0	0
W _{Ma}	96.9	0.0	0.0	0.0	0
O _{Ma}	39.92	58.74	27.99	65.07	25
Y _{Ma}	81.26	-2.89	71.56	71.62	92
L _{Ma}	52.23	-42.42	13.6	44.55	162
V _{Ma}	30.57	1.41	-46.47	46.49	272

Daten für Maximalfarbe (Ma):

LAB^*LAB^*Ma : 57 -45 -17

LAB^*LCH^*Ma : 57 48 200

lab^*olv^*Ma : 0.0 1.0 0.5

lab^*rgb^*Ma : 0.0 1.0 0.69

Dreiecks-Helligkeit i^*

%Umfang

$u^*_{rel} = 89$

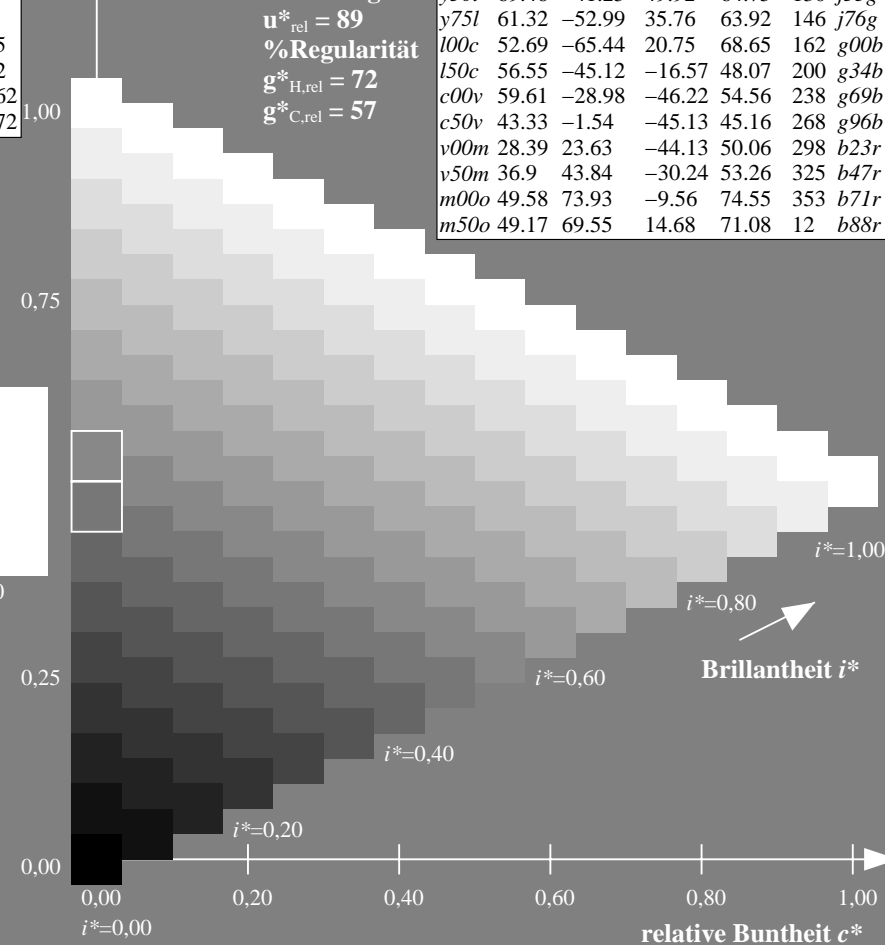
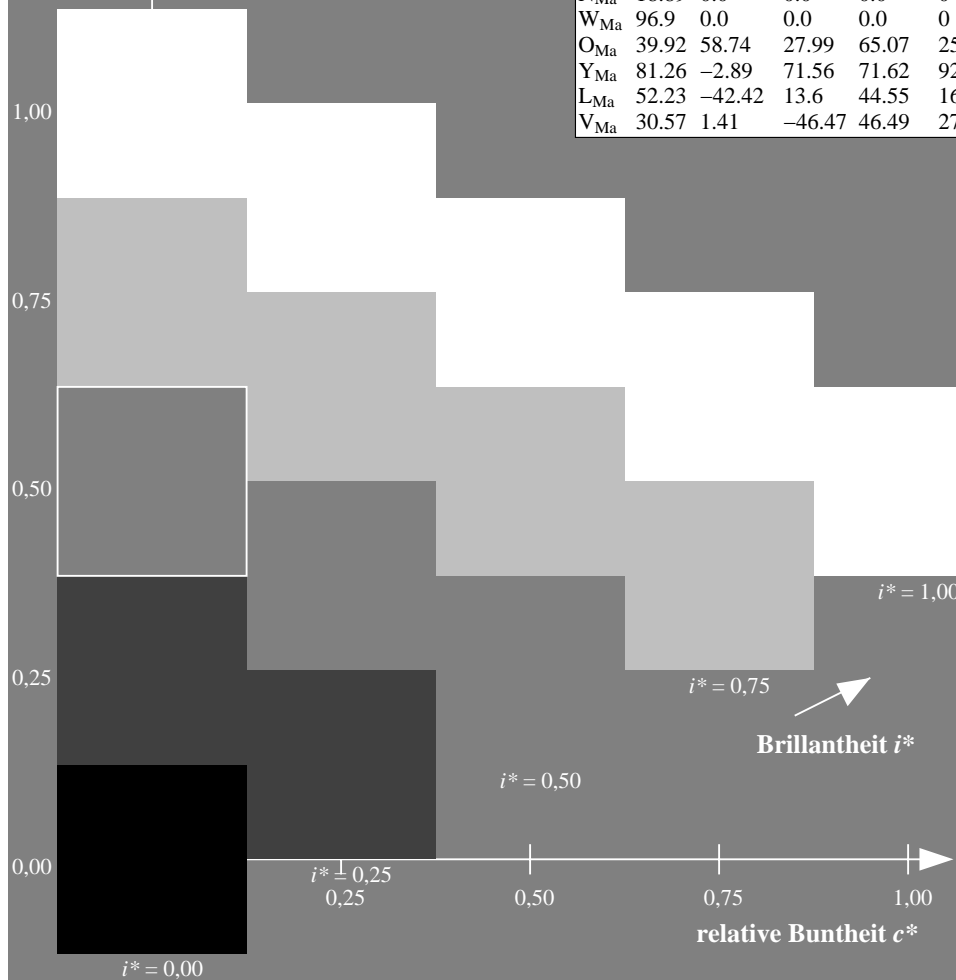
%Regularität

$g^*_{H,rel} = 72$

$g^*_{C,rel} = 57$

ORS19_96a; adaptierte CIELAB-Daten

u^*_d	$L^*=L^*_a$	a^*_a	b^*_a	$C^*_{ab,a}$	$h^*_{ab,a}$	u^*_e
o00y	48.75	65.07	39.43	76.08	31	r08j
o25y	59.04	46.67	51.1	69.21	48	r33j
o50y	68.32	30.09	61.62	68.58	64	r57j
o75y	78.23	12.39	72.85	73.9	80	r81j
y00l	90.92	-10.29	87.24	87.85	97	j06g
y25l	78.57	-28.11	65.75	71.51	113	j29g
y50l	69.46	-41.25	49.92	64.75	130	j53g
y75l	61.32	-52.99	35.76	63.92	146	j76g
l00c	52.69	-65.44	20.75	68.65	162	g00b
l50c	56.55	-45.12	-16.57	48.07	200	g34b
c00v	59.61	-28.98	-46.22	54.56	238	g69b
c50v	43.33	-1.54	-45.13	45.16	268	g96b
v00m	28.39	23.63	-44.13	50.06	298	b23r
v50m	36.9	43.84	-30.24	53.26	325	b47r
m00o	49.58	73.93	-9.56	74.55	353	b71r
m50o	49.17	69.55	14.68	71.08	12	b88r



Ein und Ausgabe: Farbmetrisches Drucker-Reflektiv-System ORS19_96a für relativen CIELAB-Buntton $h^* = lab^*h^* = h_{ab}/360 = 0.661$

Daten für jede Farbe:

lab^*ch^* und lab^*icu^*

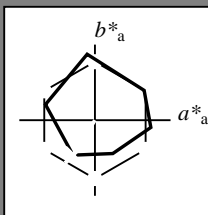
Bunttontexte:

$u^*_d = c00v$ $u^*_e = g69b$

Kontrastreduzierungsfaktor:

$c_R = 1.0$

Dreiecks-Helligkeit i^*



ORS19_96a; adaptierte CIELAB-Daten

u^*_d	$L^*=L^*_a$	a^*_a	b^*_a	$C^*_{ab,a}$	$h^*_{ab,a}$
O _{Ma}	48.75	65.07	39.43	76.08	31
Y _{Ma}	90.92	-10.29	87.24	87.85	97
L _{Ma}	52.69	-65.44	20.75	68.65	162
C _{Ma}	59.61	-28.98	-46.22	54.56	238
V _{Ma}	28.39	23.63	-44.13	50.06	298
M _{Ma}	49.58	73.93	-9.56	74.55	353
N _{Ma}	18.89	0.0	0.0	0.0	0
W _{Ma}	96.9	0.0	0.0	0.0	0
O _{Ma}	39.92	58.74	27.99	65.07	25
Y _{Ma}	81.26	-2.89	71.56	71.62	92
L _{Ma}	52.23	-42.42	13.6	44.55	162
V _{Ma}	30.57	1.41	-46.47	46.49	272

Daten für Maximalfarbe (Ma):

LAB^*LAB^*Ma : 60 -29 -46

LAB^*LCH^*Ma : 60 55 237

lab^*olv^*Ma : 0.0 1.0 1.0

lab^*rgb^*Ma : 0.0 0.62 1.0

Dreiecks-Helligkeit i^*

%Umfang

$u^*_{rel} = 89$

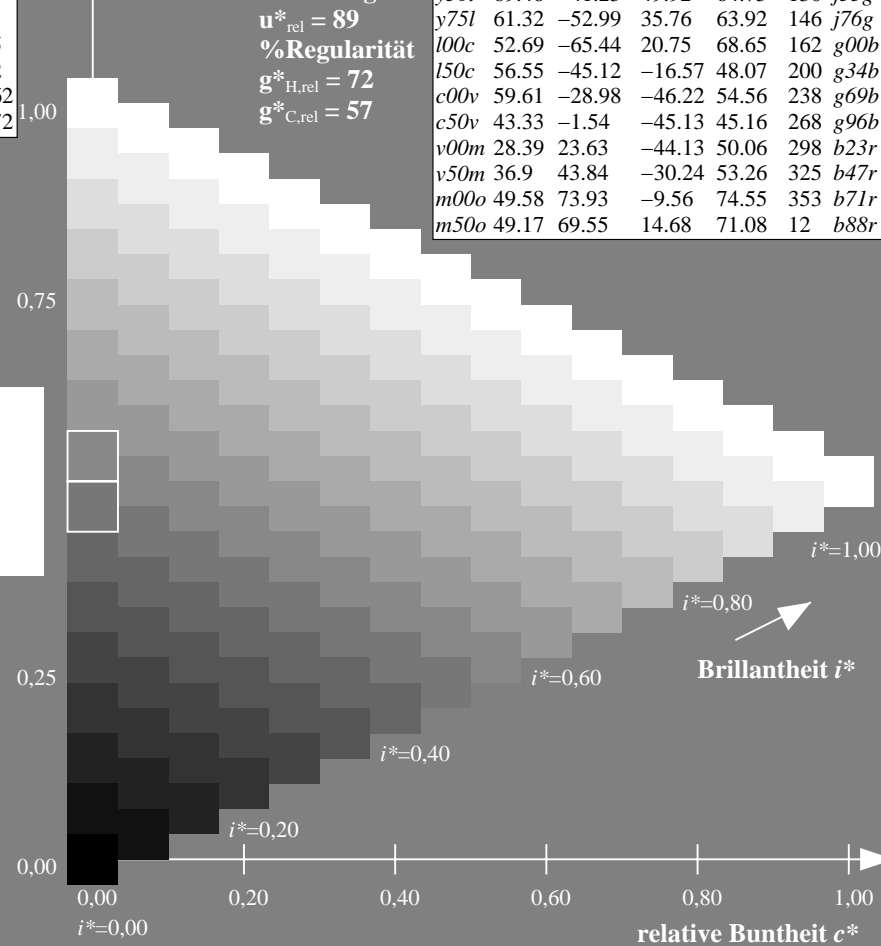
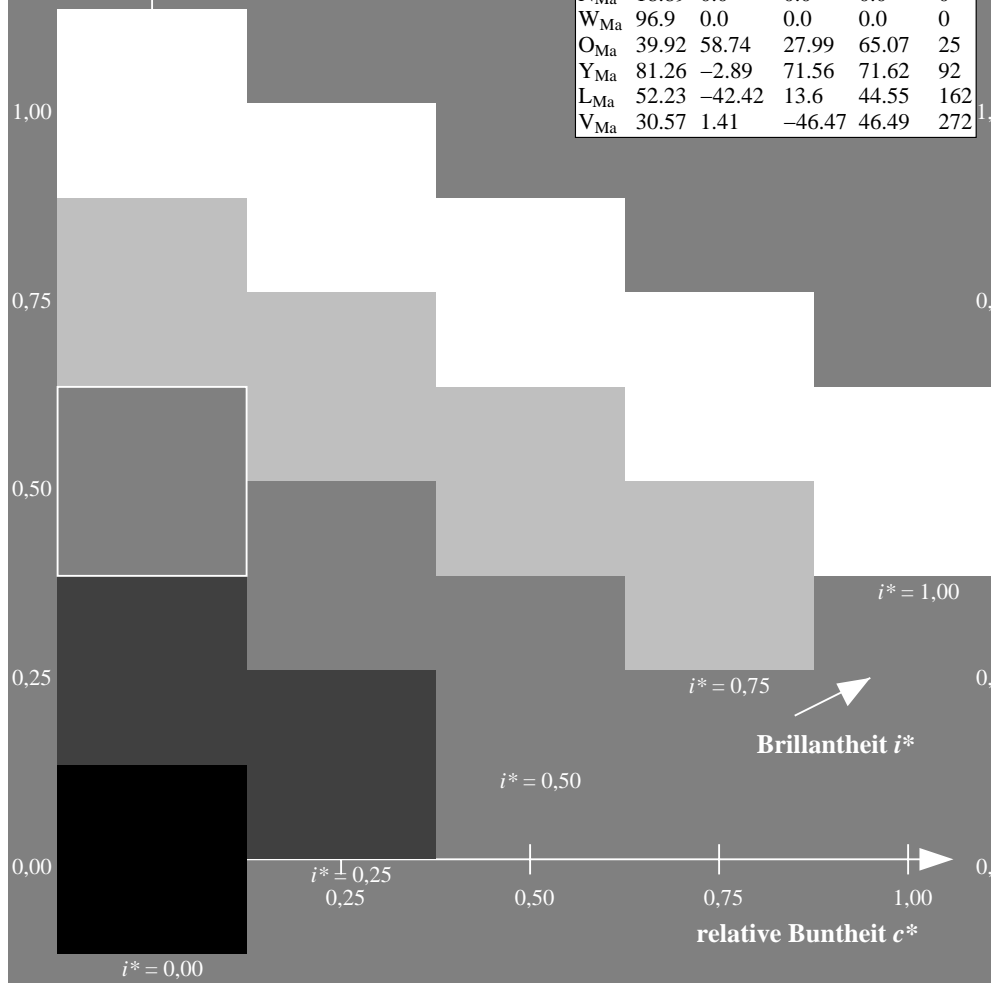
%Regularität

$g^*_{H,rel} = 72$

$g^*_{C,rel} = 57$

ORS19_96a; adaptierte CIELAB-Daten

u^*_d	$L^*=L^*_a$	a^*_a	b^*_a	$C^*_{ab,a}$	$h^*_{ab,a}$	u^*_e
o00y	48.75	65.07	39.43	76.08	31	r08j
o25y	59.04	46.67	51.1	69.21	48	r33j
o50y	68.32	30.09	61.62	68.58	64	r57j
o75y	78.23	12.39	72.85	73.9	80	r81j
y00l	90.92	-10.29	87.24	87.85	97	j06g
y25l	78.57	-28.11	65.75	71.51	113	j29g
y50l	69.46	-41.25	49.92	64.75	130	j53g
y75l	61.32	-52.99	35.76	63.92	146	j76g
l00c	52.69	-65.44	20.75	68.65	162	g00b
l50c	56.55	-45.12	-16.57	48.07	200	g34b
c00v	59.61	-28.98	-46.22	54.56	238	g69b
c50v	43.33	-1.54	-45.13	45.16	268	g96b
v00m	28.39	23.63	-44.13	50.06	298	b23r
v50m	36.9	43.84	-30.24	53.26	325	b47r
m00o	49.58	73.93	-9.56	74.55	353	b71r
m50o	49.17	69.55	14.68	71.08	12	b88r



Ein und Ausgabe: Farbmetrisches Drucker-Reflektiv-System ORS19_96a für relativen CIELAB-Buntton $h^* = lab^*h^* = h_{ab}/360 = 0.745$

Daten für jede Farbe:

lab^*ch^* und lab^*icu^*

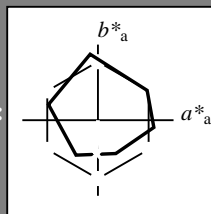
Bunttontexte:

$u^*_d = c50v$ $u^*_e = g96b$

Kontrastreduzierungsfaktor:

$c_R = 1.0$

Dreiecks-Helligkeit i^*



ORS19_96a; adaptierte CIELAB-Daten

u^*_d	$L^*=L^*_a$	a^*_a	b^*_a	$C^*_{ab,a}$	$h^*_{ab,a}$
O _{Ma}	48.75	65.07	39.43	76.08	31
Y _{Ma}	90.92	-10.29	87.24	87.85	97
L _{Ma}	52.69	-65.44	20.75	68.65	162
C _{Ma}	59.61	-28.98	-46.22	54.56	238
V _{Ma}	28.39	23.63	-44.13	50.06	298
M _{Ma}	49.58	73.93	-9.56	74.55	353
N _{Ma}	18.89	0.0	0.0	0.0	0
W _{Ma}	96.9	0.0	0.0	0.0	0
O _{Ma}	39.92	58.74	27.99	65.07	25
Y _{Ma}	81.26	-2.89	71.56	71.62	92
L _{Ma}	52.23	-42.42	13.6	44.55	162
V _{Ma}	30.57	1.41	-46.47	46.49	272

Daten für Maximalfarbe (Ma):

LAB^*LAB^*Ma : 43 -2 -45

LAB^*LCH^*Ma : 43 45 268

lab^*olv^*Ma : 0.0 0.5 1.0

lab^*rgb^*Ma : 0.0 0.07 1.0

Dreiecks-Helligkeit i^*

%Umfang

$u^*_{rel} = 89$

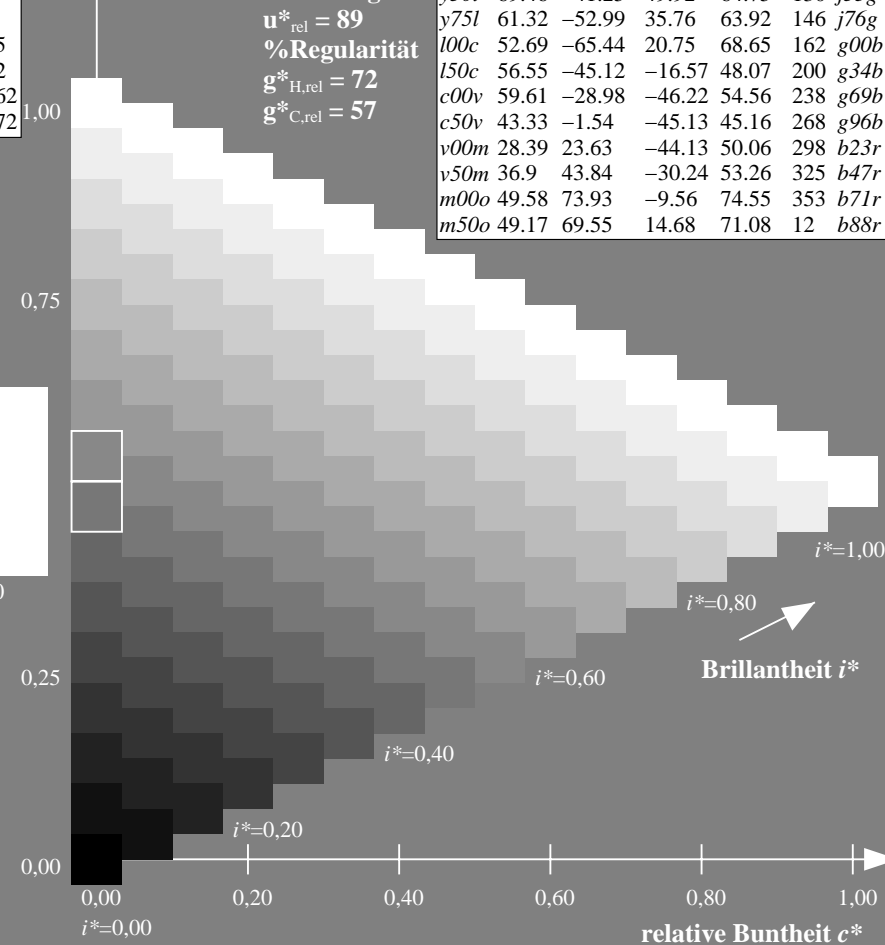
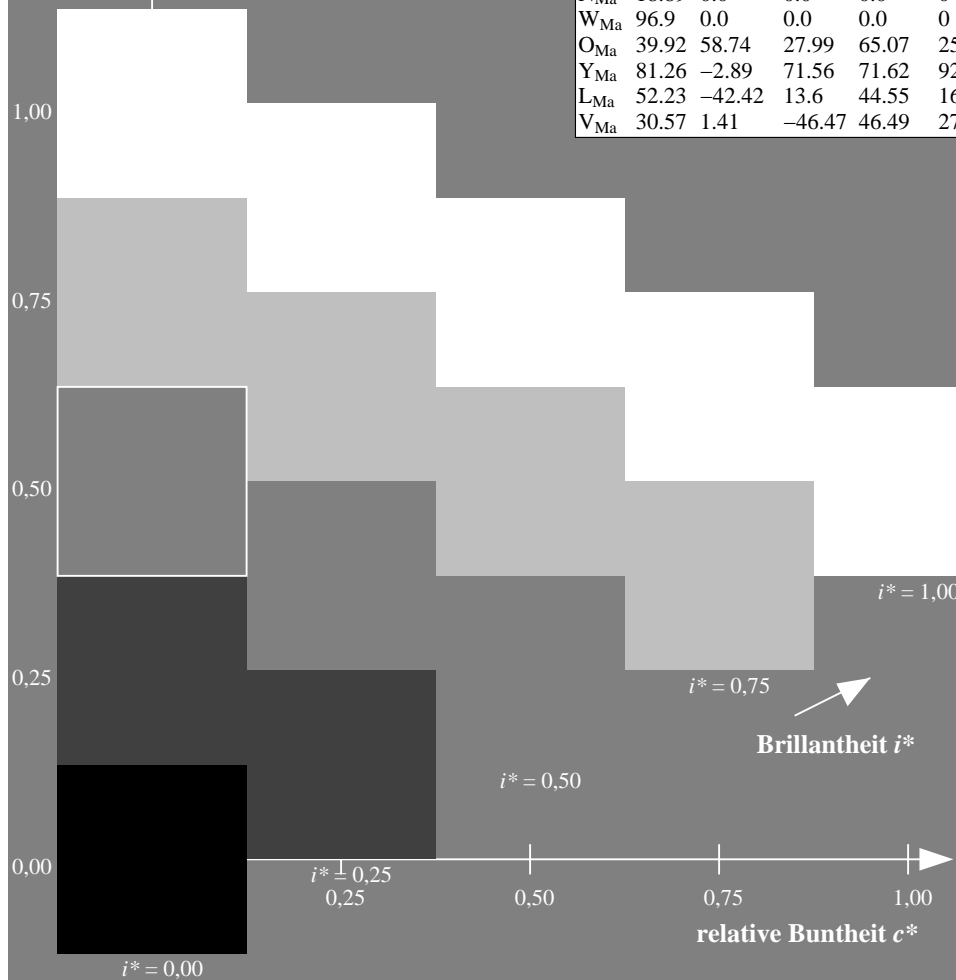
%Regularität

$g^*_{H,rel} = 72$

$g^*_{C,rel} = 57$

ORS19_96a; adaptierte CIELAB-Daten

u^*_d	$L^*=L^*_a$	a^*_a	b^*_a	$C^*_{ab,a}$	$h^*_{ab,a}$	u^*_e
o00y	48.75	65.07	39.43	76.08	31	r08j
o25y	59.04	46.67	51.1	69.21	48	r33j
o50y	68.32	30.09	61.62	68.58	64	r57j
o75y	78.23	12.39	72.85	73.9	80	r81j
y00l	90.92	-10.29	87.24	87.85	97	j06g
y25l	78.57	-28.11	65.75	71.51	113	j29g
y50l	69.46	-41.25	49.92	64.75	130	j53g
y75l	61.32	-52.99	35.76	63.92	146	j76g
l00c	52.69	-65.44	20.75	68.65	162	g00b
l50c	56.55	-45.12	-16.57	48.07	200	g34b
c00v	59.61	-28.98	-46.22	54.56	238	g69b
c50v	43.33	-1.54	-45.13	45.16	268	g96b
v00m	28.39	23.63	-44.13	50.06	298	b23r
v50m	36.9	43.84	-30.24	53.26	325	b47r
m00o	49.58	73.93	-9.56	74.55	353	b71r
m50o	49.17	69.55	14.68	71.08	12	b88r



Ein und Ausgabe: Farbmetrisches Drucker-Reflektiv-System ORS19_96a für relativen CIELAB-Buntton $h^* = lab^*h^* = h_{ab}/360 = 0.828$

Daten für jede Farbe:

lab^*ch^* und lab^*icu^*

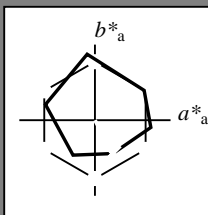
Bunttontexte:

$u^*_d = v00m$ $u^*_e = b23r$

Kontrastreduzierungsfaktor:

$c_R = 1.0$

Dreiecks-Helligkeit i^*



ORS19_96a; adaptierte CIELAB-Daten

u^*_d	$L^*=L^*_a$	a^*_a	b^*_a	$C^*_{ab,a}$	$h^*_{ab,a}$
O _{Ma}	48.75	65.07	39.43	76.08	31
Y _{Ma}	90.92	-10.29	87.24	87.85	97
L _{Ma}	52.69	-65.44	20.75	68.65	162
C _{Ma}	59.61	-28.98	-46.22	54.56	238
V _{Ma}	28.39	23.63	-44.13	50.06	298
M _{Ma}	49.58	73.93	-9.56	74.55	353
N _{Ma}	18.89	0.0	0.0	0.0	0
W _{Ma}	96.9	0.0	0.0	0.0	0
O _{Ma}	39.92	58.74	27.99	65.07	25
Y _{Ma}	81.26	-2.89	71.56	71.62	92
L _{Ma}	52.23	-42.42	13.6	44.55	162
V _{Ma}	30.57	1.41	-46.47	46.49	272

Daten für Maximalfarbe (Ma):

LAB^*LAB^*Ma : 28 24 -44

LAB^*LCH^*Ma : 28 50 298

lab^*olv^*Ma : 0.0 0.0 1.0

lab^*rgb^*Ma : 0.46 0.0 1.0

Dreiecks-Helligkeit i^*

%Umfang

$u^*_{rel} = 89$

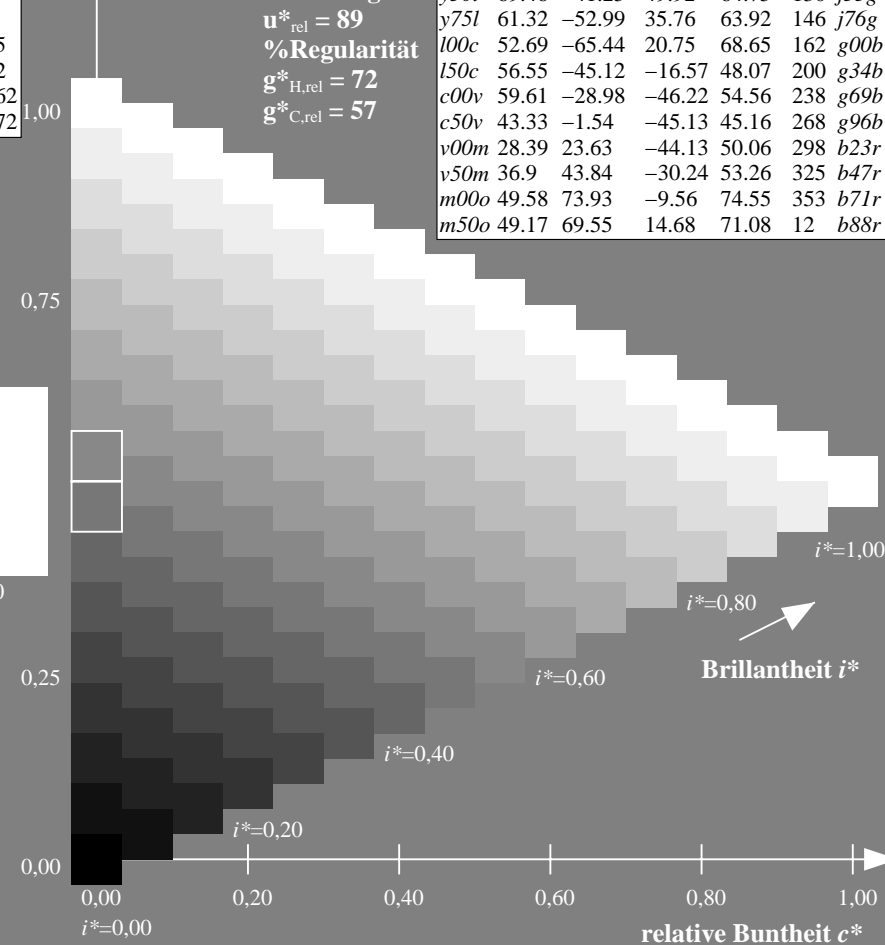
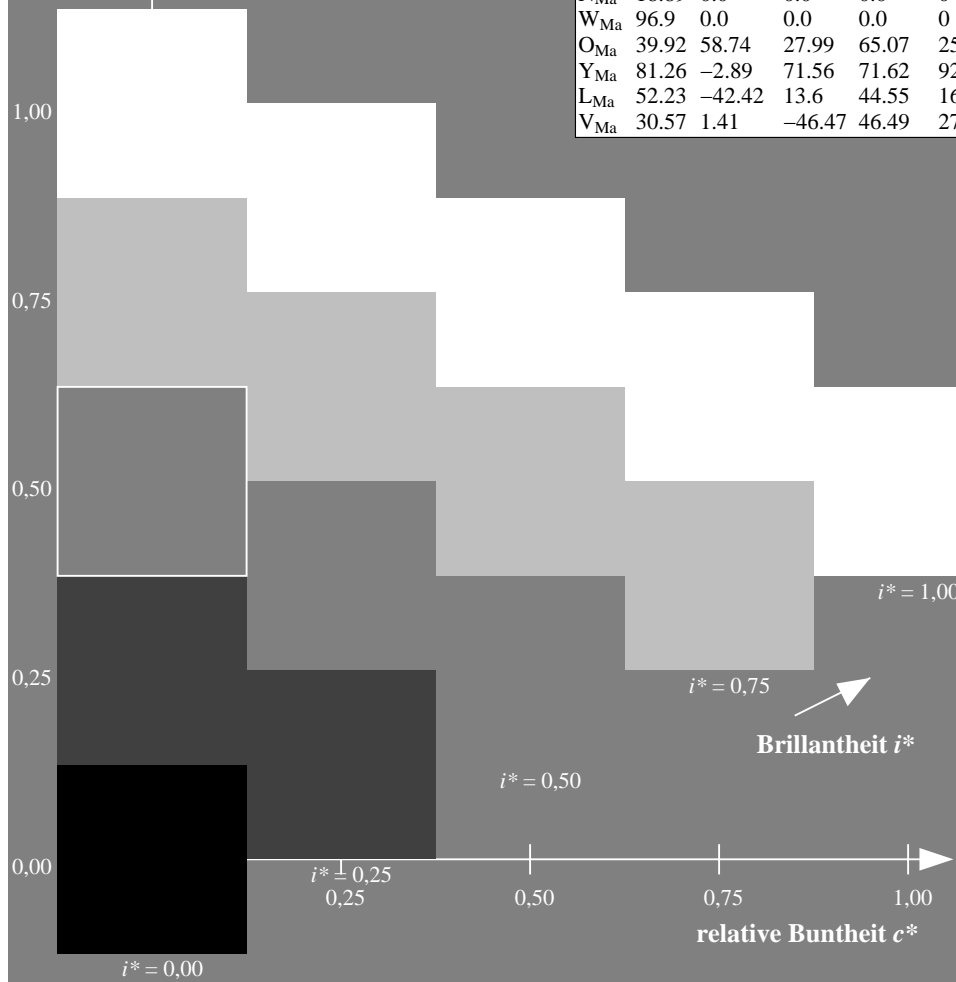
%Regularität

$g^*_{H,rel} = 72$

$g^*_{C,rel} = 57$

ORS19_96a; adaptierte CIELAB-Daten

u^*_d	$L^*=L^*_a$	a^*_a	b^*_a	$C^*_{ab,a}$	$h^*_{ab,a}$	u^*_e
o00y	48.75	65.07	39.43	76.08	31	r08j
o25y	59.04	46.67	51.1	69.21	48	r33j
o50y	68.32	30.09	61.62	68.58	64	r57j
o75y	78.23	12.39	72.85	73.9	80	r81j
y00l	90.92	-10.29	87.24	87.85	97	j06g
y25l	78.57	-28.11	65.75	71.51	113	j29g
y50l	69.46	-41.25	49.92	64.75	130	j53g
y75l	61.32	-52.99	35.76	63.92	146	j76g
l00c	52.69	-65.44	20.75	68.65	162	g00b
l50c	56.55	-45.12	-16.57	48.07	200	g34b
c00v	59.61	-28.98	-46.22	54.56	238	g69b
c50v	43.33	-1.54	-45.13	45.16	268	g96b
v00m	28.39	23.63	-44.13	50.06	298	b23r
v50m	36.9	43.84	-30.24	53.26	325	b47r
m00o	49.58	73.93	-9.56	74.55	353	b71r
m50o	49.17	69.55	14.68	71.08	12	b88r



Ein und Ausgabe: Farbmetrisches Drucker-Reflektiv-System ORS19_96a für relativen CIELAB-Buntton $h^* = lab^*h^* = h_{ab}/360 = 0.904$

Daten für jede Farbe:

lab^*ch^* und lab^*icu^*

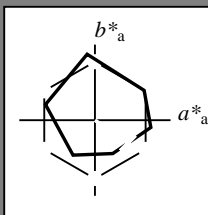
Bunttontexte:

$u^*_d = v50m$ $u^*_e = b47r$

Kontrastreduzierungsfaktor:

$c_R = 1.0$

Dreiecks-Helligkeit i^*



ORS19_96a; adaptierte CIELAB-Daten

u^*_d	$L^*=L^*_a$	a^*_a	b^*_a	$C^*_{ab,a}$	$h^*_{ab,a}$
O _{Ma}	48.75	65.07	39.43	76.08	31
Y _{Ma}	90.92	-10.29	87.24	87.85	97
L _{Ma}	52.69	-65.44	20.75	68.65	162
C _{Ma}	59.61	-28.98	-46.22	54.56	238
V _{Ma}	28.39	23.63	-44.13	50.06	298
M _{Ma}	49.58	73.93	-9.56	74.55	353
N _{Ma}	18.89	0.0	0.0	0.0	0
W _{Ma}	96.9	0.0	0.0	0.0	0
O _{Ma}	39.92	58.74	27.99	65.07	25
Y _{Ma}	81.26	-2.89	71.56	71.62	92
L _{Ma}	52.23	-42.42	13.6	44.55	162
V _{Ma}	30.57	1.41	-46.47	46.49	272

Daten für Maximalfarbe (Ma):

LAB^*LAB^*Ma : 37 44 -30

LAB^*LCH^*Ma : 37 53 325

lab^*olv^*Ma : 0.5 0.0 1.0

lab^*rgb^*Ma : 0.94 0.0 1.0

Dreiecks-Helligkeit i^*

%Umfang

$u^*_{rel} = 89$

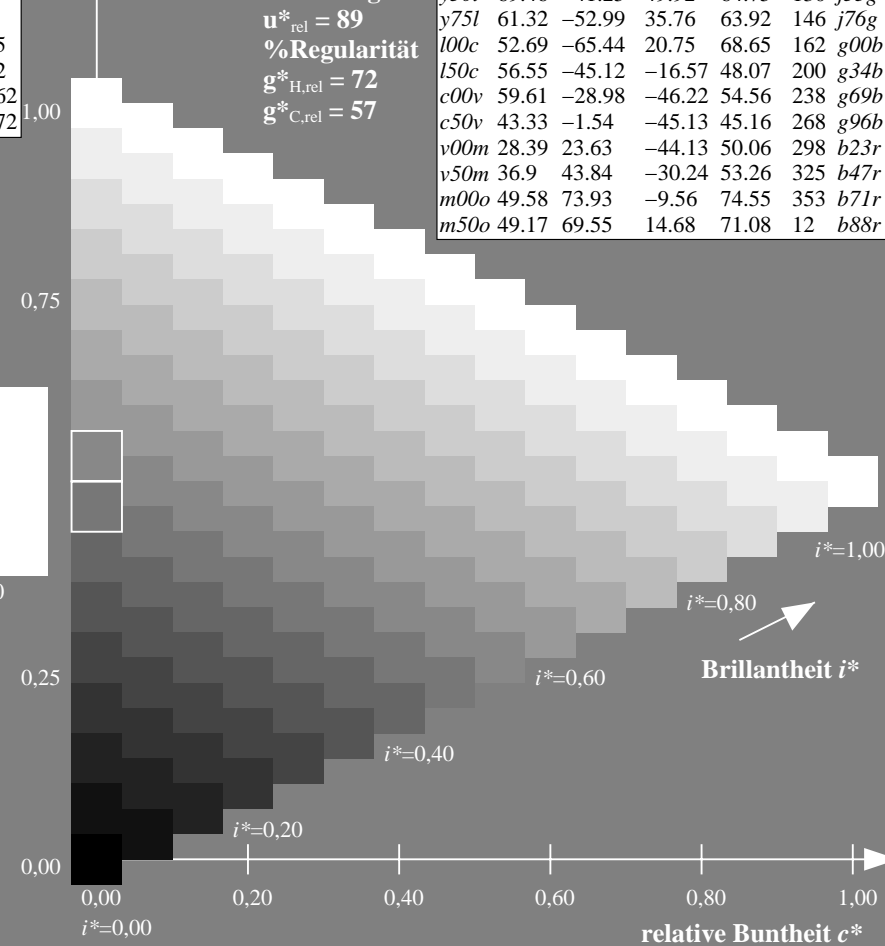
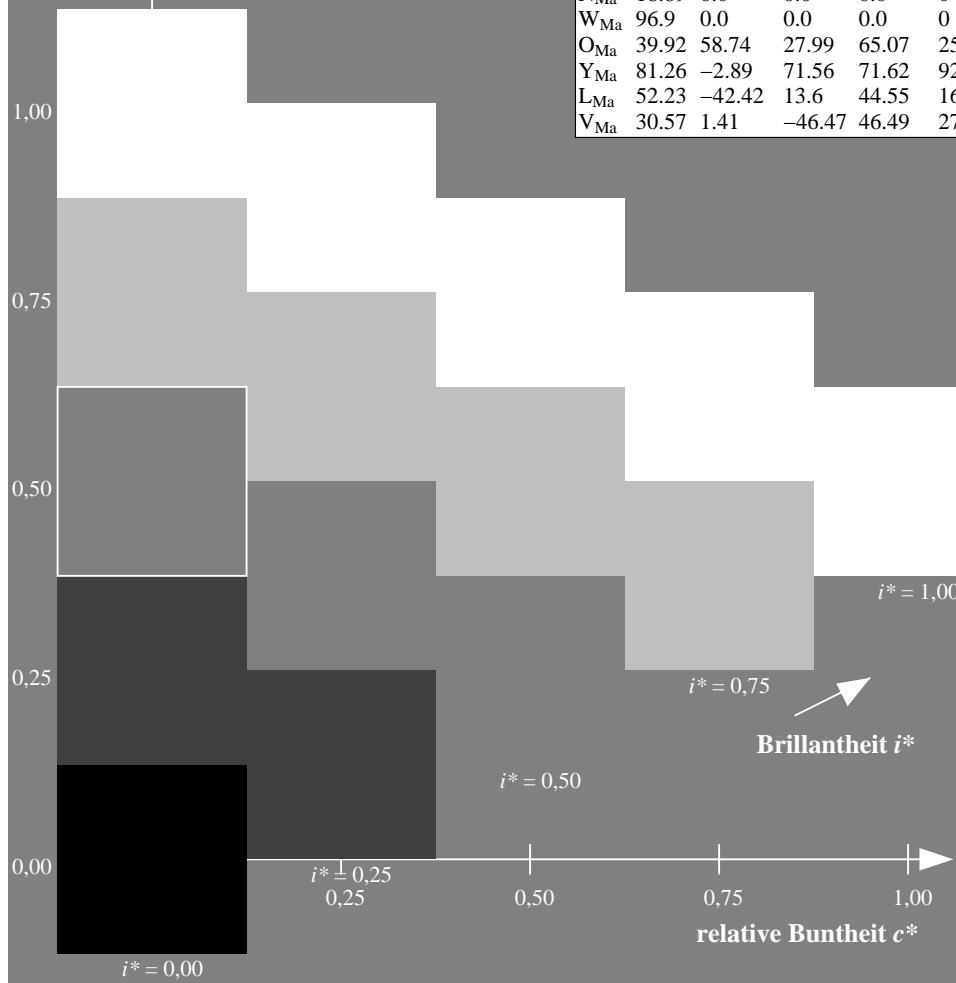
%Regularität

$g^*_{H,rel} = 72$

$g^*_{C,rel} = 57$

ORS19_96a; adaptierte CIELAB-Daten

u^*_d	$L^*=L^*_a$	a^*_a	b^*_a	$C^*_{ab,a}$	$h^*_{ab,a}$	u^*_e
o00y	48.75	65.07	39.43	76.08	31	r08j
o25y	59.04	46.67	51.1	69.21	48	r33j
o50y	68.32	30.09	61.62	68.58	64	r57j
o75y	78.23	12.39	72.85	73.9	80	r81j
y00l	90.92	-10.29	87.24	87.85	97	j06g
y25l	78.57	-28.11	65.75	71.51	113	j29g
y50l	69.46	-41.25	49.92	64.75	130	j53g
y75l	61.32	-52.99	35.76	63.92	146	j76g
l00c	52.69	-65.44	20.75	68.65	162	g00b
l50c	56.55	-45.12	-16.57	48.07	200	g34b
c00v	59.61	-28.98	-46.22	54.56	238	g69b
c50v	43.33	-1.54	-45.13	45.16	268	g96b
v00m	28.39	23.63	-44.13	50.06	298	b23r
v50m	36.9	43.84	-30.24	53.26	325	b47r
m00o	49.58	73.93	-9.56	74.55	353	b71r
m50o	49.17	69.55	14.68	71.08	12	b88r



Ein und Ausgabe: Farbmetrisches Drucker-Reflektiv-System ORS19_96a für relativen CIELAB-Buntton $h^* = lab^*h^* = h_{ab}/360 = 0.98$

Daten für jede Farbe:

lab^*ch^* und lab^*icu^*

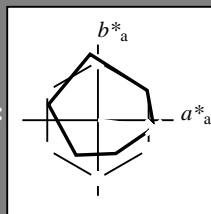
Bunttontexte:

$u^*_d = m00o$ $u^*_e = b71r$

Kontrastreduzierungsfaktor:

$c_R = 1.0$

Dreiecks-Helligkeit i^*



ORS19_96a; adaptierte CIELAB-Daten

u^*_d	$L^*=L^*_a$	a^*_a	b^*_a	$C^*_{ab,a}$	$h^*_{ab,a}$
O _{Ma}	48.75	65.07	39.43	76.08	31
Y _{Ma}	90.92	-10.29	87.24	87.85	97
L _{Ma}	52.69	-65.44	20.75	68.65	162
C _{Ma}	59.61	-28.98	-46.22	54.56	238
V _{Ma}	28.39	23.63	-44.13	50.06	298
M _{Ma}	49.58	73.93	-9.56	74.55	353
N _{Ma}	18.89	0.0	0.0	0.0	0
W _{Ma}	96.9	0.0	0.0	0.0	0
O _{Ma}	39.92	58.74	27.99	65.07	25
Y _{Ma}	81.26	-2.89	71.56	71.62	92
L _{Ma}	52.23	-42.42	13.6	44.55	162
V _{Ma}	30.57	1.41	-46.47	46.49	272

Daten für Maximalfarbe (Ma):

LAB^*LAB^*Ma : 50 74 -10

LAB^*LCH^*Ma : 50 75 352

lab^*olv^*Ma : 1.0 0.0 1.0

lab^*rgb^*Ma : 1.0 0.0 0.58

Dreiecks-Helligkeit i^*

%Umfang

$u^*_{rel} = 89$

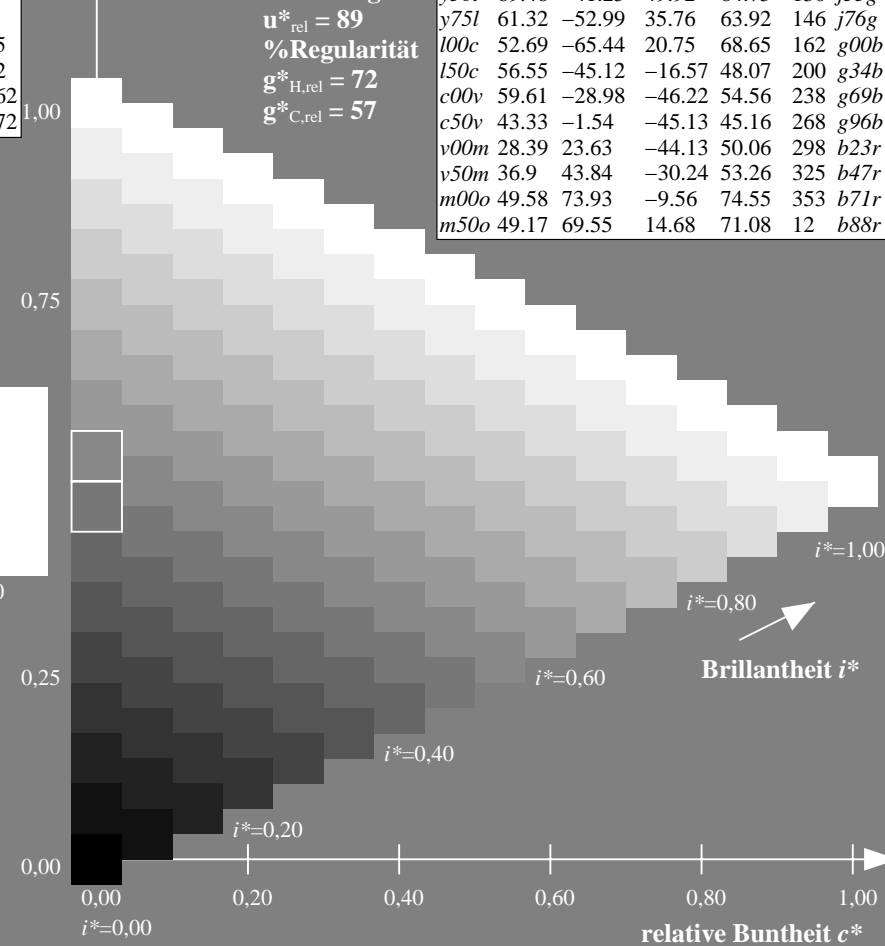
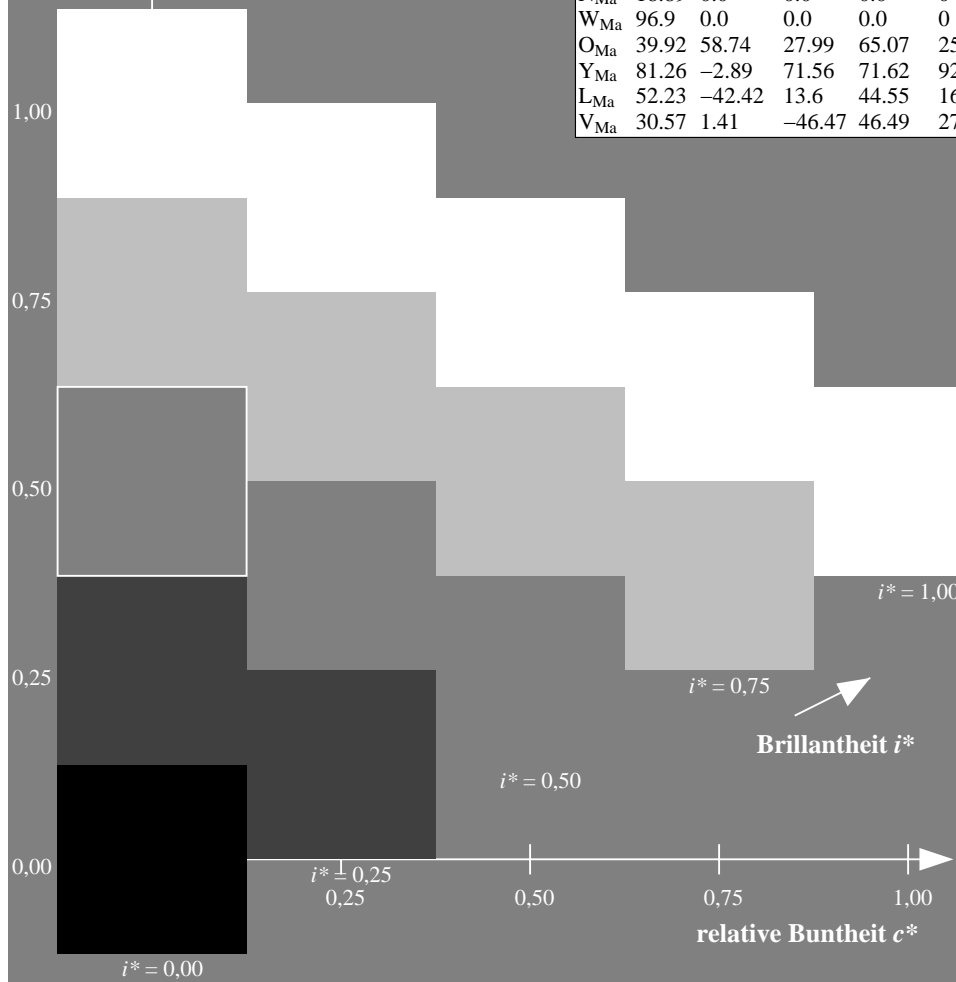
%Regularität

$g^*_{H,rel} = 72$

$g^*_{C,rel} = 57$

ORS19_96a; adaptierte CIELAB-Daten

u^*_d	$L^*=L^*_a$	a^*_a	b^*_a	$C^*_{ab,a}$	$h^*_{ab,a}$	u^*_e
o00y	48.75	65.07	39.43	76.08	31	r08j
o25y	59.04	46.67	51.1	69.21	48	r33j
o50y	68.32	30.09	61.62	68.58	64	r57j
o75y	78.23	12.39	72.85	73.9	80	r81j
y00l	90.92	-10.29	87.24	87.85	97	j06g
y25l	78.57	-28.11	65.75	71.51	113	j29g
y50l	69.46	-41.25	49.92	64.75	130	j53g
y75l	61.32	-52.99	35.76	63.92	146	j76g
l00c	52.69	-65.44	20.75	68.65	162	g00b
l50c	56.55	-45.12	-16.57	48.07	200	g34b
c00v	59.61	-28.98	-46.22	54.56	238	g69b
c50v	43.33	-1.54	-45.13	45.16	268	g96b
v00m	28.39	23.63	-44.13	50.06	298	b23r
v50m	36.9	43.84	-30.24	53.26	325	b47r
m00o	49.58	73.93	-9.56	74.55	353	b71r
m50o	49.17	69.55	14.68	71.08	12	b88r



Ein und Ausgabe: Farbmetrisches Drucker-Reflektiv-System ORS19_96a für relativen CIELAB-Buntton $h^* = lab^*h^* = h_{ab}/360 = 0.033$

Daten für jede Farbe:

lab^*ch^* und lab^*icu^*

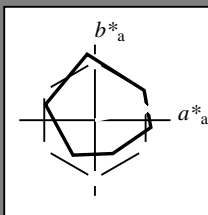
Bunttontexte:

$u^*_d = m50o$ $u^*_e = b88r$

Kontrastreduzierungsfaktor:

$c_R = 1.0$

Dreiecks-Helligkeit i^*



ORS19_96a; adaptierte CIELAB-Daten

u^*_d	$L^*=L^*_a$	a^*_a	b^*_a	$C^*_{ab,a}$	$h^*_{ab,a}$
O _{Ma}	48.75	65.07	39.43	76.08	31
Y _{Ma}	90.92	-10.29	87.24	87.85	97
L _{Ma}	52.69	-65.44	20.75	68.65	162
C _{Ma}	59.61	-28.98	-46.22	54.56	238
V _{Ma}	28.39	23.63	-44.13	50.06	298
M _{Ma}	49.58	73.93	-9.56	74.55	353
N _{Ma}	18.89	0.0	0.0	0.0	0
W _{Ma}	96.9	0.0	0.0	0.0	0
O _{Ma}	39.92	58.74	27.99	65.07	25
Y _{Ma}	81.26	-2.89	71.56	71.62	92
L _{Ma}	52.23	-42.42	13.6	44.55	162
V _{Ma}	30.57	1.41	-46.47	46.49	272

Daten für Maximalfarbe (Ma):

LAB^*LAB^*Ma : 49 70 15

LAB^*LCH^*Ma : 49 71 11

lab^*olv^*Ma : 1.0 0.0 0.5

lab^*rgb^*Ma : 1.0 0.0 0.24

Dreiecks-Helligkeit i^*

%Umfang

$u^*_{rel} = 89$

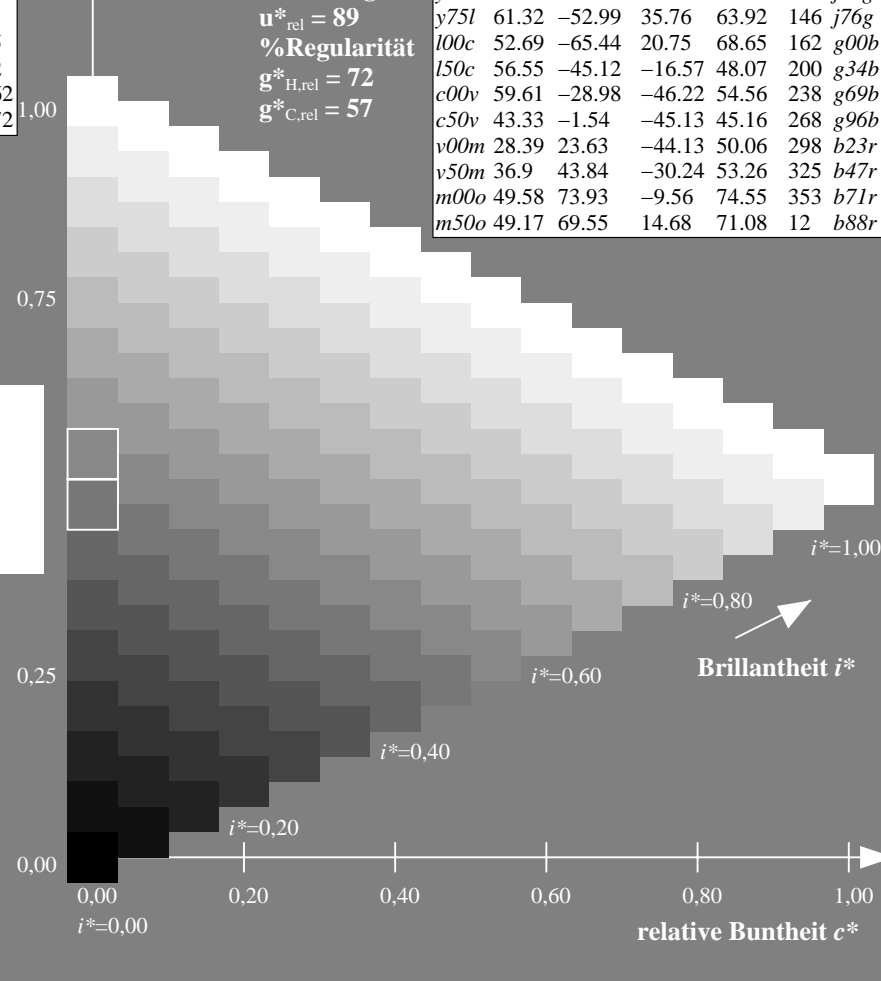
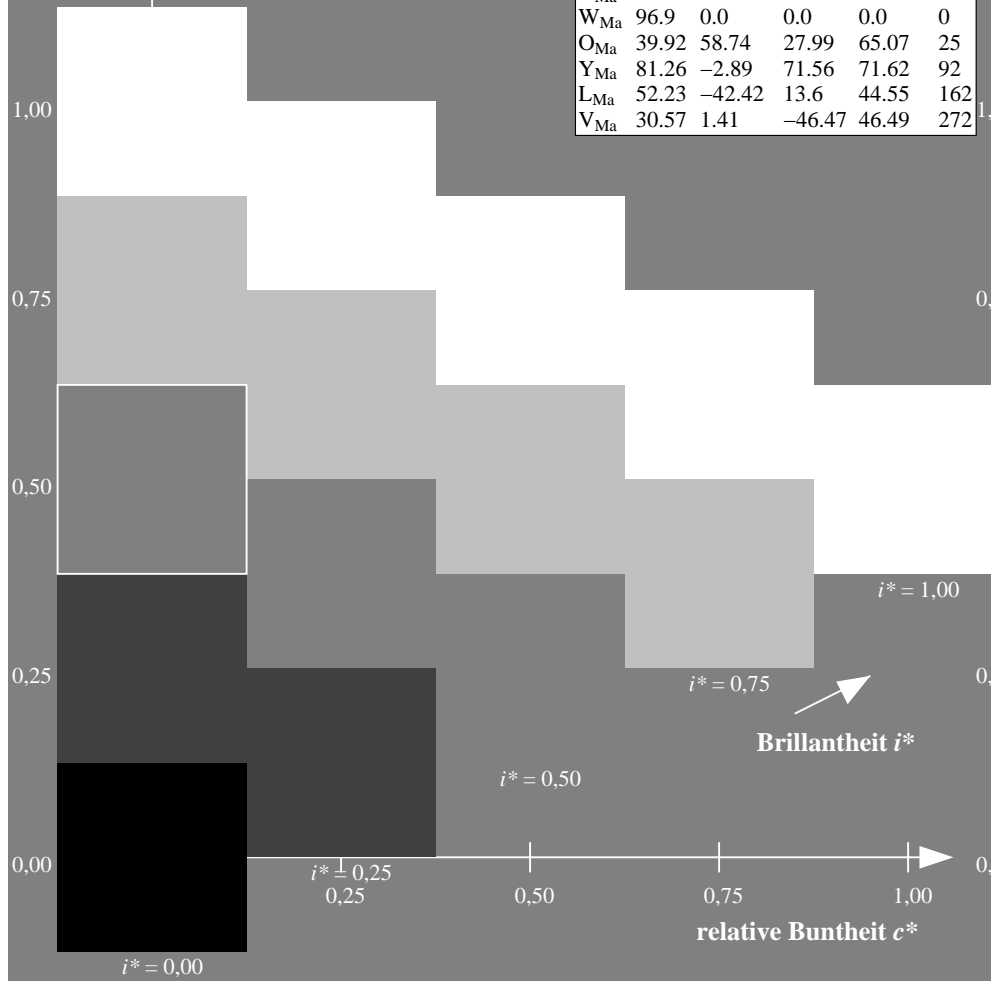
%Regularität

$g^*_{H,rel} = 72$

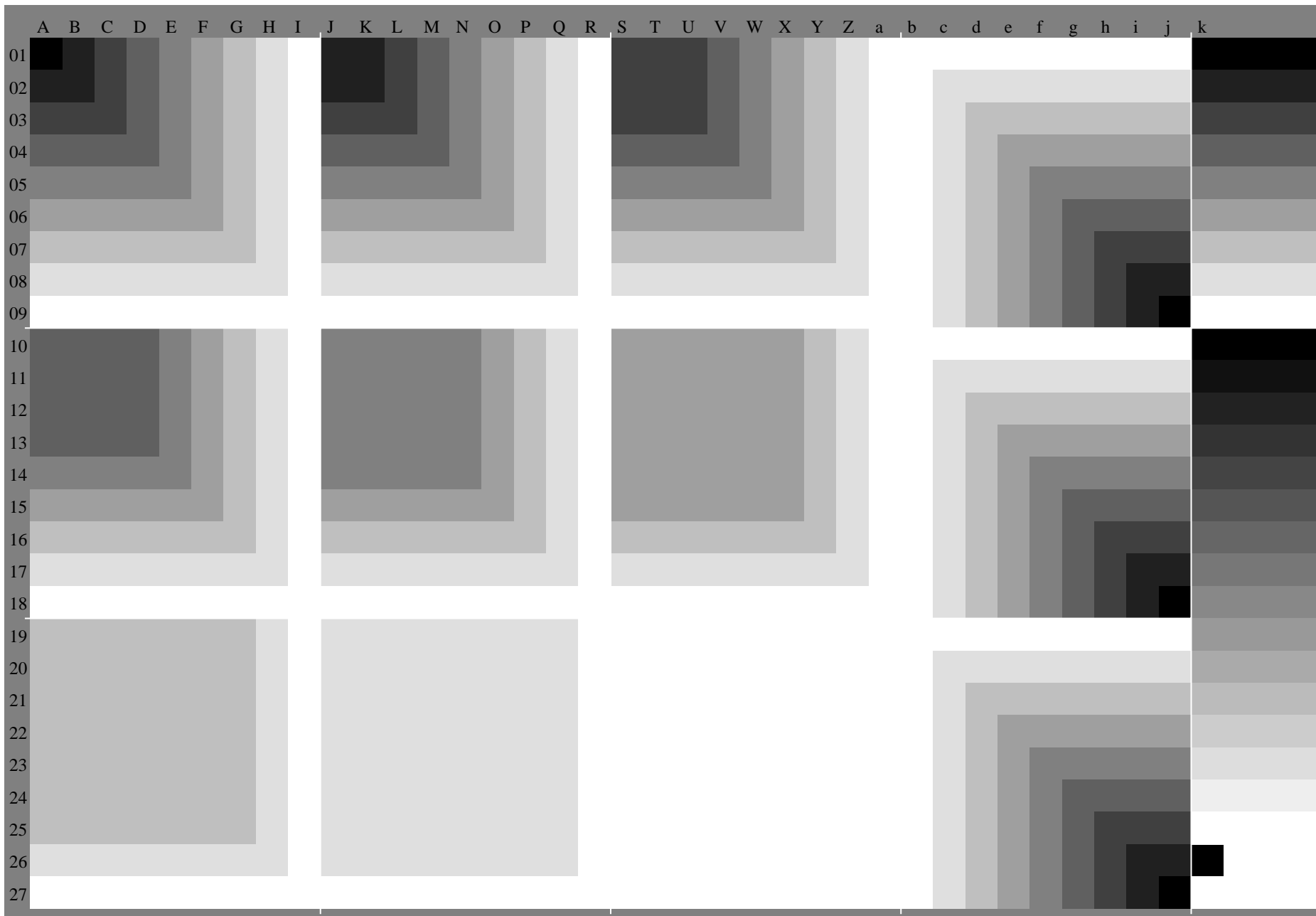
$g^*_{C,rel} = 57$

ORS19_96a; adaptierte CIELAB-Daten

u^*_d	$L^*=L^*_a$	a^*_a	b^*_a	$C^*_{ab,a}$	$h^*_{ab,a}$	u^*_e
o00y	48.75	65.07	39.43	76.08	31	r08j
o25y	59.04	46.67	51.1	69.21	48	r33j
o50y	68.32	30.09	61.62	68.58	64	r57j
o75y	78.23	12.39	72.85	73.9	80	r81j
y00l	90.92	-10.29	87.24	87.85	97	j06g
y25l	78.57	-28.11	65.75	71.51	113	j29g
y50l	69.46	-41.25	49.92	64.75	130	j53g
y75l	61.32	-52.99	35.76	63.92	146	j76g
l00c	52.69	-65.44	20.75	68.65	162	g00b
l50c	56.55	-45.12	-16.57	48.07	200	g34b
c00v	59.61	-28.98	-46.22	54.56	238	g69b
c50v	43.33	-1.54	-45.13	45.16	268	g96b
v00m	28.39	23.63	-44.13	50.06	298	b23r
v50m	36.9	43.84	-30.24	53.26	325	b47r
m00o	49.58	73.93	-9.56	74.55	353	b71r
m50o	49.17	69.55	14.68	71.08	12	b88r



Siehe ähnliche Dateien: <http://www.ps.bam.de/Eg42/>; www.ps.bam.de/Eg.HTM
Technische Information: <http://www.ps.bam.de> Version 2.1, io=1,1, ColSp=1



BAM-Registrierung: 20081001-Eg42/10L/L42G00NA.PS/.TXT BAM-Material: Code=rh4ta
Anwendung für Beurteilung und Messung von Drucker- oder Monitorsystemen

Ein und Ausgabe:
Farbmetrisches Drucker-Reflektiv-System ORS19_96a
Daten für jede Farbe:

u^*_d und Nummer $Nr.$ = 00 .. 15

Geräte-Bunttontext:

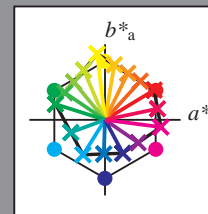
u^*_d = 16 Bunttoene $o00y$, $o25y$, ..., $m50o$

Kontrastreduzierungsfaktor:

$c_R = 1.0$

ORS19_96a; adaptierte CIELAB-Daten

u^*_d	$L^*=L^*_a$	a^*_a	b^*_a	$C^*_{ab,a}$	$h^*_{ab,a}$	u^*_e
$o00y$	48.75	65.07	39.43	76.08	31	$r08j$
$o25y$	59.04	46.67	51.1	69.21	48	$r33j$
$o50y$	68.32	30.09	61.62	68.58	64	$r57j$
$o75y$	78.23	12.39	72.85	73.9	80	$r81j$
$y00l$	90.92	-10.29	87.24	87.85	97	$j06g$
$y25l$	78.57	-28.11	65.75	71.51	113	$j29g$
$y50l$	69.46	-41.25	49.92	64.75	130	$j53g$
$y75l$	61.32	-52.99	35.76	63.92	146	$j76g$
$l00c$	52.69	-65.44	20.75	68.65	162	$g00b$
$l50c$	56.55	-45.12	-16.57	48.07	200	$g34b$
$c00v$	59.61	-28.98	-46.22	54.56	238	$g69b$
$c50v$	43.33	-1.54	-45.13	45.16	268	$g96b$
$v00m$	28.39	23.63	-44.13	50.06	298	$b23r$
$v50m$	36.9	43.84	-30.24	53.26	325	$b47r$
$m00o$	49.58	73.93	-9.56	74.55	353	$b71r$
$m50o$	49.17	69.55	14.68	71.08	12	$b88r$



%Umfang

$u^*_{rel} = 89$

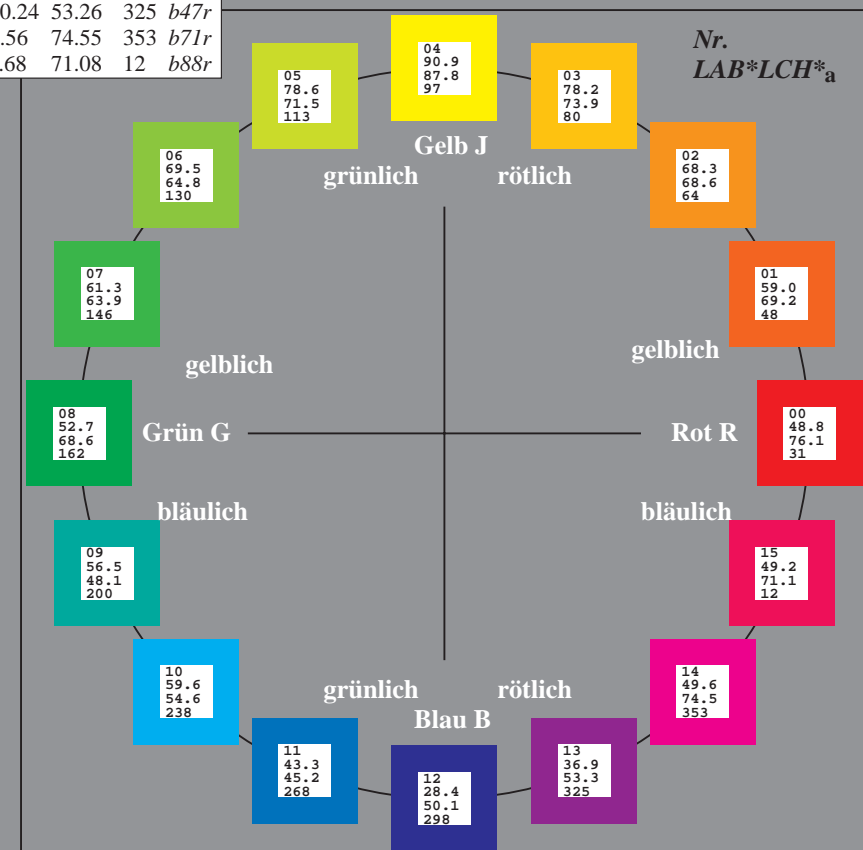
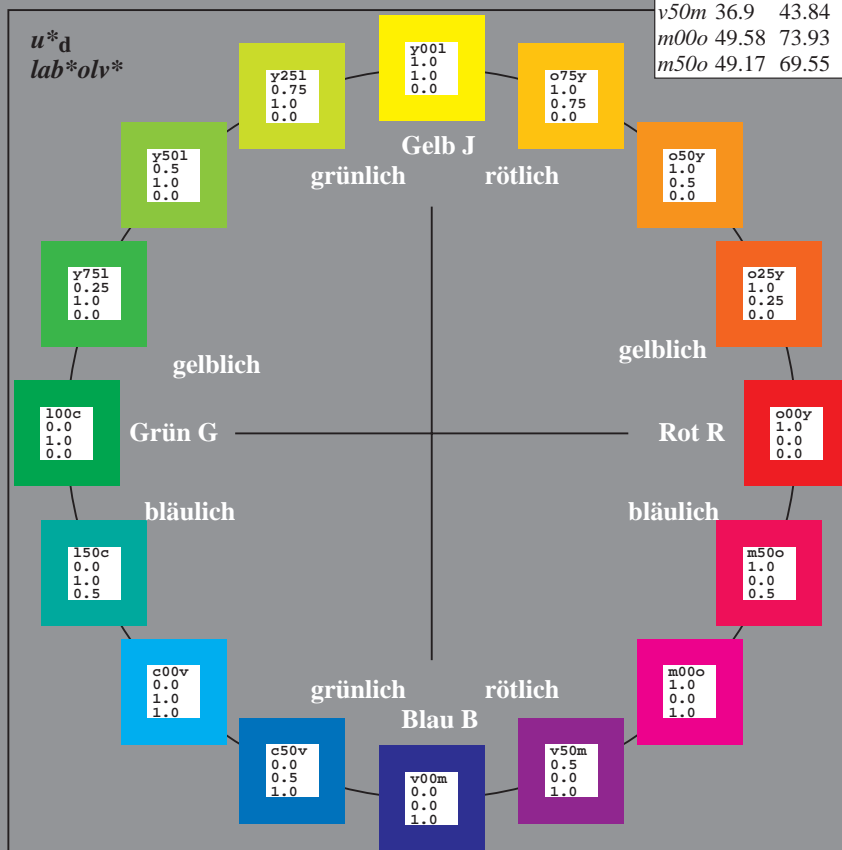
%Regularität

$g^*_{H,rel} = 72$

$g^*_{C,rel} = 57$

ORS19_96a; adaptierte CIELAB-Daten

Name	$L^*=L^*_a$	a^*_a	b^*_a	$C^*_{ab,a}$	$h^*_{ab,a}$
O_{Ma}	48.75	65.07	39.43	76.08	31
Y_{Ma}	90.92	-10.29	87.24	87.85	97
L_{Ma}	52.69	-65.44	20.75	68.65	162
C_{Ma}	59.61	-28.98	-46.22	54.56	238
V_{Ma}	28.39	23.63	-44.13	50.06	298
M_{Ma}	49.58	73.93	-9.56	74.55	353
N_{Ma}	18.89	0.0	0.0	0.0	0
W_{Ma}	96.9	0.0	0.0	0.0	0
O_{CIE}	39.92	58.74	27.99	65.07	25
Y_{CIE}	81.26	-2.89	71.56	71.62	92
L_{CIE}	52.23	-42.42	13.6	44.55	162
V_{CIE}	30.57	1.41	-46.47	46.49	272



Ein und Ausgabe: Farbmimetrisches Drucker-Reflektiv-System ORS19_96a für relativen CIELAB-Buntton $h^* = lab^*h^* = h_{ab}/360 = 0.087$

Daten für jede Farbe:

lab^*tch^* und lab^*icu^*

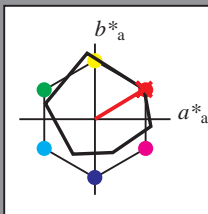
Bunttontexte:

$u^*_d = o00y$ $u^*_e = r08j$

Kontrastreduzierungsfaktor:

$c_R = 1.0$

Dreiecks-Helligkeit t^*



ORS19_96a; adaptierte CIELAB-Daten

u^*_d	$L^*=L^*_a$	a^*_a	b^*_a	$C^*_{ab,a}$	$h^*_{ab,a}$
O _{Ma}	48.75	65.07	39.43	76.08	31
Y _{Ma}	90.92	-10.29	87.24	87.85	97
L _{Ma}	52.69	-65.44	20.75	68.65	162
C _{Ma}	59.61	-28.98	-46.22	54.56	238
V _{Ma}	28.39	23.63	-44.13	50.06	298
M _{Ma}	49.58	73.93	-9.56	74.55	353
N _{Ma}	18.89	0.0	0.0	0.0	0
W _{Ma}	96.9	0.0	0.0	0.0	0
O _{Ma}	39.92	58.74	27.99	65.07	25
Y _{Ma}	81.26	-2.89	71.56	71.62	92
L _{Ma}	52.23	-42.42	13.6	44.55	162
V _{Ma}	30.57	1.41	-46.47	46.49	272

Daten für Maximalfarbe (Ma):

$LAB^*LAB^*_{Ma}$: 49 65 39

$LAB^*LCH^*_{Ma}$: 49 76 31

$lab^*olv^*_{Ma}$: 1.0 0.0 0.0

$lab^*rgb^*_{Ma}$: 1.0 0.09 0.0

Dreiecks-Helligkeit t^*

%Umfang

$u^*_{rel} = 89$

%Regularität

$g^*_{H,rel} = 72$

$g^*_{C,rel} = 57$

ORS19_96a; adaptierte CIELAB-Daten

u^*_d	$L^*=L^*_a$	a^*_a	b^*_a	$C^*_{ab,a}$	$h^*_{ab,a}$	u^*_e
$o00y$	48.75	65.07	39.43	76.08	31	$r08j$
$o25y$	59.04	46.67	51.1	69.21	48	$r33j$
$o50y$	68.32	30.09	61.62	68.58	64	$r57j$
$o75y$	78.23	12.39	72.85	73.9	80	$r81j$
$y00l$	90.92	-10.29	87.24	87.85	97	$j06g$
$y25l$	78.57	-28.11	65.75	71.51	113	$j29g$
$y50l$	69.46	-41.25	49.92	64.75	130	$j53g$
$y75l$	61.32	-52.99	35.76	63.92	146	$j76g$
$l00c$	52.69	-65.44	20.75	68.65	162	$g00b$
$l50c$	56.55	-45.12	-16.57	48.07	200	$g34b$
$c00v$	59.61	-28.98	-46.22	54.56	238	$g69b$
$c50v$	43.33	-1.54	-45.13	45.16	268	$g96b$
$v00m$	28.39	23.63	-44.13	50.06	298	$b23r$
$v50m$	36.9	43.84	-30.24	53.26	325	$b47r$
$m00o$	49.58	73.93	-9.56	74.55	353	$b71r$
$m50o$	49.17	69.55	14.68	71.08	12	$b88r$

lab^*olv^*

$i^* = 1.00$

Brillantheit i^*

$i^* = 0.80$

$i^* = 0.60$

$i^* = 0.40$

$i^* = 0.20$

$i^* = 0.00$

relative Buntheit c^*

relative Buntheit c^*

Ein und Ausgabe: Farbmetrisches Drucker-Reflektiv-System ORS19_96a für relativen CIELAB-Buntton $h^* = lab^*h^* = h_{ab}/360 = 0.132$

Daten für jede Farbe:

lab^*tch^* und lab^*icu^*

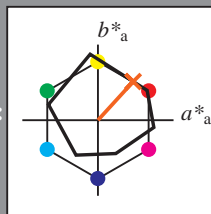
Bunttontexte:

$u^*_d = o25y$ $u^*_e = r33j$

Kontrastreduzierungsfaktor:

$c_R = 1.0$

Dreiecks-Helligkeit i^*



ORS19_96a; adaptierte CIELAB-Daten

u^*_d	$L^*=L^*_a$	a^*_a	b^*_a	$C^*_{ab,a}$	$h^*_{ab,a}$
O _{Ma}	48.75	65.07	39.43	76.08	31
Y _{Ma}	90.92	-10.29	87.24	87.85	97
L _{Ma}	52.69	-65.44	20.75	68.65	162
C _{Ma}	59.61	-28.98	-46.22	54.56	238
V _{Ma}	28.39	23.63	-44.13	50.06	298
M _{Ma}	49.58	73.93	-9.56	74.55	353
N _{Ma}	18.89	0.0	0.0	0.0	0
W _{Ma}	96.9	0.0	0.0	0.0	0
O _{Ma}	39.92	58.74	27.99	65.07	25
Y _{Ma}	81.26	-2.89	71.56	71.62	92
L _{Ma}	52.23	-42.42	13.6	44.55	162
V _{Ma}	30.57	1.41	-46.47	46.49	272

Daten für Maximalfarbe (Ma):

$LAB^*LAB^*_{Ma}$: 59 47 51

$LAB^*LCH^*_{Ma}$: 59 69 47

$lab^*olv^*_{Ma}$: 1.0 0.25 0.0

$lab^*rgb^*_{Ma}$: 1.0 0.33 0.0

Dreiecks-Helligkeit i^*

%Umfang

$u^*_{rel} = 89$

%Regularität

$g^*_{H,rel} = 72$

$g^*_{C,rel} = 57$

ORS19_96a; adaptierte CIELAB-Daten

u^*_d	$L^*=L^*_a$	a^*_a	b^*_a	$C^*_{ab,a}$	$h^*_{ab,a}$	u^*_e
o00y	48.75	65.07	39.43	76.08	31	r08j
o25y	59.04	46.67	51.1	69.21	48	r33j
o50y	68.32	30.09	61.62	68.58	64	r57j
o75y	78.23	12.39	72.85	73.9	80	r81j
y00l	90.92	-10.29	87.24	87.85	97	j06g
y25l	78.57	-28.11	65.75	71.51	113	j29g
y50l	69.46	-41.25	49.92	64.75	130	j53g
y75l	61.32	-52.99	35.76	63.92	146	j76g
l00c	52.69	-65.44	20.75	68.65	162	g00b
l50c	56.55	-45.12	-16.57	48.07	200	g34b
c00v	59.61	-28.98	-46.22	54.56	238	g69b
c50v	43.33	-1.54	-45.13	45.16	268	g96b
v00m	28.39	23.63	-44.13	50.06	298	b23r
v50m	36.9	43.84	-30.24	53.26	325	b47r
m00o	49.58	73.93	-9.56	74.55	353	b71r
m50o	49.17	69.55	14.68	71.08	12	b88r

lab^*olv^*

$i^* = 1.00$

Brillantheit i^*

$i^* = 0.80$

$i^* = 0.60$

$i^* = 0.40$

$i^* = 0.20$

$i^* = 0.00$

relative Bunttheit c^*

Ein und Ausgabe: Farbmetrisches Drucker-Reflektiv-System ORS19_96a für relativen CIELAB-Buntton $h^* = lab^*h^* = h_{ab}/360 = 0.178$

Daten für jede Farbe:

lab^*ch^* und lab^*icu^*

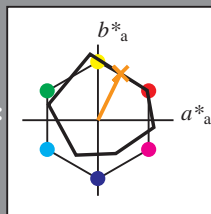
Bunttontexte:

$u^*_d = o50y$ $u^*_e = r57j$

Kontrastreduzierungsfaktor:

$c_R = 1.0$

Dreiecks-Helligkeit i^*



ORS19_96a; adaptierte CIELAB-Daten

u^*_d	$L^*=L^*_a$	a^*_a	b^*_a	$C^*_{ab,a}$	$h^*_{ab,a}$
O _{Ma}	48.75	65.07	39.43	76.08	31
Y _{Ma}	90.92	-10.29	87.24	87.85	97
L _{Ma}	52.69	-65.44	20.75	68.65	162
C _{Ma}	59.61	-28.98	-46.22	54.56	238
V _{Ma}	28.39	23.63	-44.13	50.06	298
M _{Ma}	49.58	73.93	-9.56	74.55	353
N _{Ma}	18.89	0.0	0.0	0.0	0
W _{Ma}	96.9	0.0	0.0	0.0	0
O _{Ma}	39.92	58.74	27.99	65.07	25
Y _{Ma}	81.26	-2.89	71.56	71.62	92
L _{Ma}	52.23	-42.42	13.6	44.55	162
V _{Ma}	30.57	1.41	-46.47	46.49	272

Daten für Maximalfarbe (Ma):

$LAB^*LAB^*_{Ma}$: 68 30 62

$LAB^*LCH^*_{Ma}$: 68 69 63

$lab^*olv^*_{Ma}$: 1.0 0.5 0.0

$lab^*rgb^*_{Ma}$: 1.0 0.58 0.0

Dreiecks-Helligkeit i^*

%Umfang

$u^*_{rel} = 89$

%Regularität

$g^*_{H,rel} = 72$

$g^*_{C,rel} = 57$

ORS19_96a; adaptierte CIELAB-Daten

u^*_d	$L^*=L^*_a$	a^*_a	b^*_a	$C^*_{ab,a}$	$h^*_{ab,a}$	u^*_e
o00y	48.75	65.07	39.43	76.08	31	r08j
o25y	59.04	46.67	51.1	69.21	48	r33j
o50y	68.32	30.09	61.62	68.58	64	r57j
o75y	78.23	12.39	72.85	73.9	80	r81j
y00l	90.92	-10.29	87.24	87.85	97	j06g
y25l	78.57	-28.11	65.75	71.51	113	j29g
y50l	69.46	-41.25	49.92	64.75	130	j53g
y75l	61.32	-52.99	35.76	63.92	146	j76g
l00c	52.69	-65.44	20.75	68.65	162	g00b
l50c	56.55	-45.12	-16.57	48.07	200	g34b
c00v	59.61	-28.98	-46.22	54.56	238	g69b
c50v	43.33	-1.54	-45.13	45.16	268	g96b
v00m	28.39	23.63	-44.13	50.06	298	b23r
v50m	36.9	43.84	-30.24	53.26	325	b47r
m00o	49.58	73.93	-9.56	74.55	353	b71r
m50o	49.17	69.55	14.68	71.08	12	b88r

lab^*olv^*

$i^* = 1.00$

Brillantheit i^*

$i^* = 0.80$

$i^* = 0.60$

$i^* = 0.40$

$i^* = 0.20$

$i^* = 0.00$

relative Bunttheit c^*

Ein und Ausgabe: Farbmetrisches Drucker-Reflektiv-System ORS19_96a für relativen CIELAB-Buntton $h^* = lab^*h^* = h_{ab}/360 = 0.223$

Daten für jede Farbe:

lab^*tch^* und lab^*icu^*

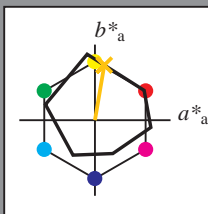
Bunttontexte:

$u^*_d = o75y$ $u^*_e = r81j$

Kontrastreduzierungsfaktor:

$c_R = 1.0$

Dreiecks-Helligkeit i^*



ORS19_96a; adaptierte CIELAB-Daten

u^*_d	$L^*=L^*_a$	a^*_a	b^*_a	$C^*_{ab,a}$	$h^*_{ab,a}$
O _{Ma}	48.75	65.07	39.43	76.08	31
Y _{Ma}	90.92	-10.29	87.24	87.85	97
L _{Ma}	52.69	-65.44	20.75	68.65	162
C _{Ma}	59.61	-28.98	-46.22	54.56	238
V _{Ma}	28.39	23.63	-44.13	50.06	298
M _{Ma}	49.58	73.93	-9.56	74.55	353
N _{Ma}	18.89	0.0	0.0	0.0	0
W _{Ma}	96.9	0.0	0.0	0.0	0
O _{Ma}	39.92	58.74	27.99	65.07	25
Y _{Ma}	81.26	-2.89	71.56	71.62	92
L _{Ma}	52.23	-42.42	13.6	44.55	162
V _{Ma}	30.57	1.41	-46.47	46.49	272

Daten für Maximalfarbe (Ma):

$LAB^*LAB^*_{Ma}$: 78 12 73

$LAB^*LCH^*_{Ma}$: 78 74 80

$lab^*olv^*_{Ma}$: 1.0 0.75 0.0

$lab^*rgb^*_{Ma}$: 1.0 0.82 0.0

Dreiecks-Helligkeit i^*

%Umfang

$u^*_{rel} = 89$

%Regularität

$g^*_{H,rel} = 72$

$g^*_{C,rel} = 57$

ORS19_96a; adaptierte CIELAB-Daten

u^*_d	$L^*=L^*_a$	a^*_a	b^*_a	$C^*_{ab,a}$	$h^*_{ab,a}$	u^*_e
o00y	48.75	65.07	39.43	76.08	31	r08j
o25y	59.04	46.67	51.1	69.21	48	r33j
o50y	68.32	30.09	61.62	68.58	64	r57j
o75y	78.23	12.39	72.85	73.9	80	r81j
y00l	90.92	-10.29	87.24	87.85	97	j06g
y25l	78.57	-28.11	65.75	71.51	113	j29g
y50l	69.46	-41.25	49.92	64.75	130	j53g
y75l	61.32	-52.99	35.76	63.92	146	j76g
l00c	52.69	-65.44	20.75	68.65	162	g00b
l50c	56.55	-45.12	-16.57	48.07	200	g34b
c00v	59.61	-28.98	-46.22	54.56	238	g69b
c50v	43.33	-1.54	-45.13	45.16	268	g96b
v00m	28.39	23.63	-44.13	50.06	298	b23r
v50m	36.9	43.84	-30.24	53.26	325	b47r
m00o	49.58	73.93	-9.56	74.55	353	b71r
m50o	49.17	69.55	14.68	71.08	12	b88r

lab^*olv^*

$i^* = 1.00$

Brillantheit i^*

$i^* = 0.80$

$i^* = 0.60$

$i^* = 0.40$

$i^* = 0.20$

$i^* = 0.00$

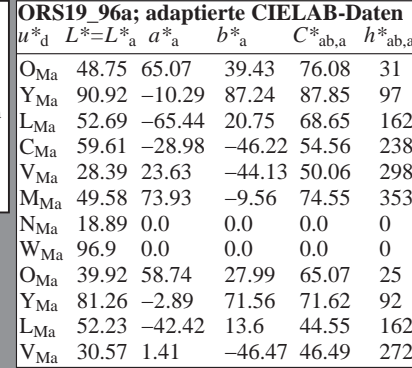
relative Buntheit c^*

Daten für jede Farbe:

Bunttexte:

Kontrastreduzierungsfaktor:

Dreiecks



*LAB*LAB**M₂: 91 -10 87

*LAP*LCH** : 01 88 06

LAB · LCH · Ma · 91 · 88 · 90

*lab*olv**Ma: 1.0 1.0 0.0

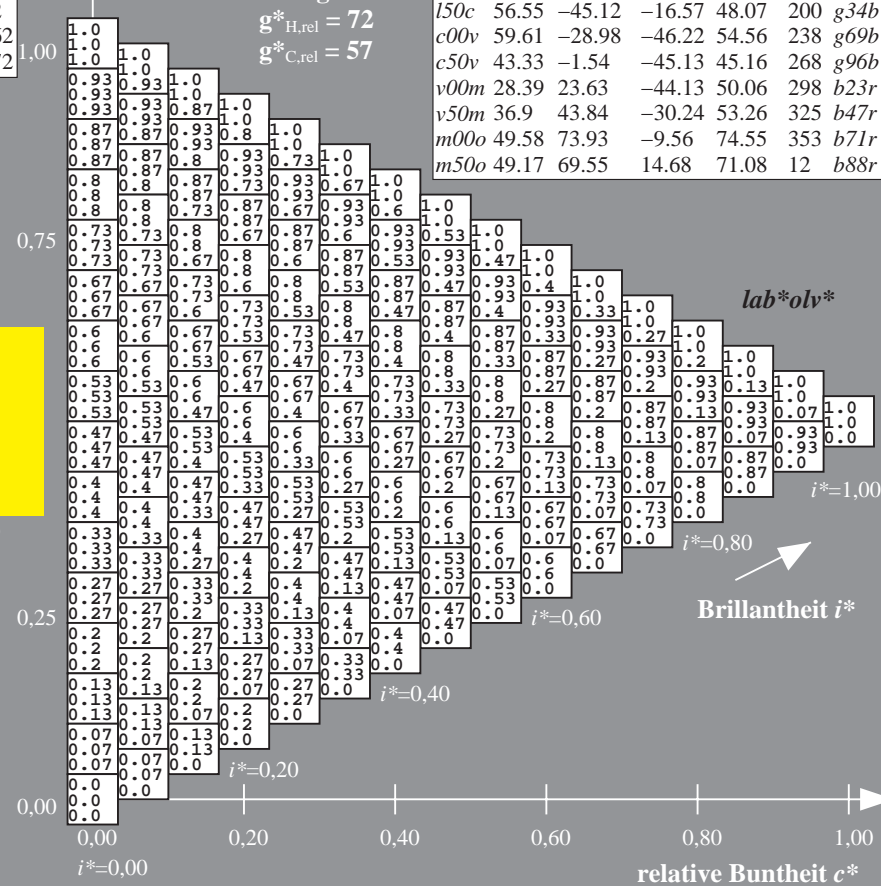
*lab*rgb*_Ma: 0.94 1.0 0.0*

Dreiecks-Helligkeit t^*

%Umfang

$$u_{rel}^* = 89$$

%Regular

$$g_{\text{H,rel}}^* = 72$$
$$g^*_{C,rel} = 57$$


Brillantheit i*

Discussion

0,80 1,0

Relative Buntheit c^*

BAM-Prüfvorlage Eg42; Farbmatrik-Systeme, Seite 114/270 Eingabe: 000n / w / nnn0 / www set...
4 Separationen, 9 Datentabellen für 16 Bunttöne o00y bis m75a Ausgabe: ->cmyn6* setcmykcolor

BAM-Registrierung: 20081001-Eg42/10L/L42G00NA.PS/ .TXT BAM-Material: Code=rhata
Anwendung für Beurteilung und Messung von Drucker- oder Monitorsystemen

Ein und Ausgabe: Farbmetrisches Drucker-Reflektiv-System ORS19_96a für relativen CIELAB-Buntton $h^* = lab^*h^* = h_{ab}/360 = 0.314$

Daten für jede Farbe:

lab^*tch^* und lab^*icu^*

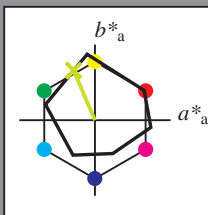
Bunttontexte:

$u^*_d = y25l$ $u^*_e = j29g$

Kontrastreduzierungsfaktor:

$c_R = 1.0$

Dreiecks-Helligkeit i^*



ORS19_96a; adaptierte CIELAB-Daten

u^*_d	$L^*=L^*_a$	a^*_a	b^*_a	$C^*_{ab,a}$	$h^*_{ab,a}$
O _{Ma}	48.75	65.07	39.43	76.08	31
Y _{Ma}	90.92	-10.29	87.24	87.85	97
L _{Ma}	52.69	-65.44	20.75	68.65	162
C _{Ma}	59.61	-28.98	-46.22	54.56	238
V _{Ma}	28.39	23.63	-44.13	50.06	298
M _{Ma}	49.58	73.93	-9.56	74.55	353
N _{Ma}	18.89	0.0	0.0	0.0	0
W _{Ma}	96.9	0.0	0.0	0.0	0
O _{Ma}	39.92	58.74	27.99	65.07	25
Y _{Ma}	81.26	-2.89	71.56	71.62	92
L _{Ma}	52.23	-42.42	13.6	44.55	162
V _{Ma}	30.57	1.41	-46.47	46.49	272

Daten für Maximalfarbe (Ma):

$LAB^*LAB^*_{Ma}$: 79 -28 66

$LAB^*LCH^*_{Ma}$: 79 72 113

$lab^*olv^*_{Ma}$: 0.75 1.0 0.0

$lab^*rgb^*_{Ma}$: 0.7 1.0 0.0

Dreiecks-Helligkeit i^*

%Umfang

$u^*_{rel} = 89$

%Regularität

$g^*_{H,rel} = 72$

$g^*_{C,rel} = 57$

ORS19_96a; adaptierte CIELAB-Daten

u^*_d	$L^*=L^*_a$	a^*_a	b^*_a	$C^*_{ab,a}$	$h^*_{ab,a}$	u^*_e
o00y	48.75	65.07	39.43	76.08	31	r08j
o25y	59.04	46.67	51.1	69.21	48	r33j
o50y	68.32	30.09	61.62	68.58	64	r57j
o75y	78.23	12.39	72.85	73.9	80	r81j
y00l	90.92	-10.29	87.24	87.85	97	j06g
y25l	78.57	-28.11	65.75	71.51	113	j29g
y50l	69.46	-41.25	49.92	64.75	130	j53g
y75l	61.32	-52.99	35.76	63.92	146	j76g
l00c	52.69	-65.44	20.75	68.65	162	g00b
l50c	56.55	-45.12	-16.57	48.07	200	g34b
c00v	59.61	-28.98	-46.22	54.56	238	g69b
c50v	43.33	-1.54	-45.13	45.16	268	g96b
v00m	28.39	23.63	-44.13	50.06	298	b23r
v50m	36.9	43.84	-30.24	53.26	325	b47r
m00o	49.58	73.93	-9.56	74.55	353	b71r
m50o	49.17	69.55	14.68	71.08	12	b88r

lab^*olv^*

$i^* = 1.00$

Brillantheit i^*

$i^* = 0.80$

$i^* = 0.60$

$i^* = 0.40$

$i^* = 0.20$

$i^* = 0.00$

relative Buntheit c^*

relative Buntheit c^*

Ein und Ausgabe: Farbmetrisches Drucker-Reflektiv-System ORS19_96a für relativen CIELAB-Buntton $h^* = lab^*h^* = h_{ab}/360 = 0.36$

Daten für jede Farbe:

lab^*tch^* und lab^*icu^*

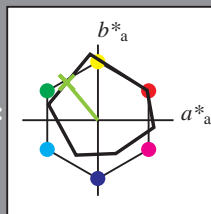
Bunttontexte:

$u^*_d = y50l$ $u^*_e = j53g$

Kontrastreduzierungsfaktor:

$c_R = 1.0$

Dreiecks-Helligkeit i^*



ORS19_96a; adaptierte CIELAB-Daten

	u^*_d	$L^*=L^*_a$	a^*_a	b^*_a	$C^*_{ab,a}$	$h^*_{ab,a}$
O _{Ma}	48.75	65.07	39.43	76.08	31	
Y _{Ma}	90.92	-10.29	87.24	87.85	97	
L _{Ma}	52.69	-65.44	20.75	68.65	162	
C _{Ma}	59.61	-28.98	-46.22	54.56	238	
V _{Ma}	28.39	23.63	-44.13	50.06	298	
M _{Ma}	49.58	73.93	-9.56	74.55	353	
N _{Ma}	18.89	0.0	0.0	0.0	0	
W _{Ma}	96.9	0.0	0.0	0.0	0	
O _{Ma}	39.92	58.74	27.99	65.07	25	
Y _{Ma}	81.26	-2.89	71.56	71.62	92	
L _{Ma}	52.23	-42.42	13.6	44.55	162	
V _{Ma}	30.57	1.41	-46.47	46.49	272	

Daten für Maximalfarbe (Ma):

$LAB^*LAB^*_{Ma}$: 69 -41 50

$LAB^*LCH^*_{Ma}$: 69 65 129

$lab^*olv^*_{Ma}$: 0.5 1.0 0.0

$lab^*rgb^*_{Ma}$: 0.47 1.0 0.0

Dreiecks-Helligkeit i^*

%Umfang

$u^*_{rel} = 89$

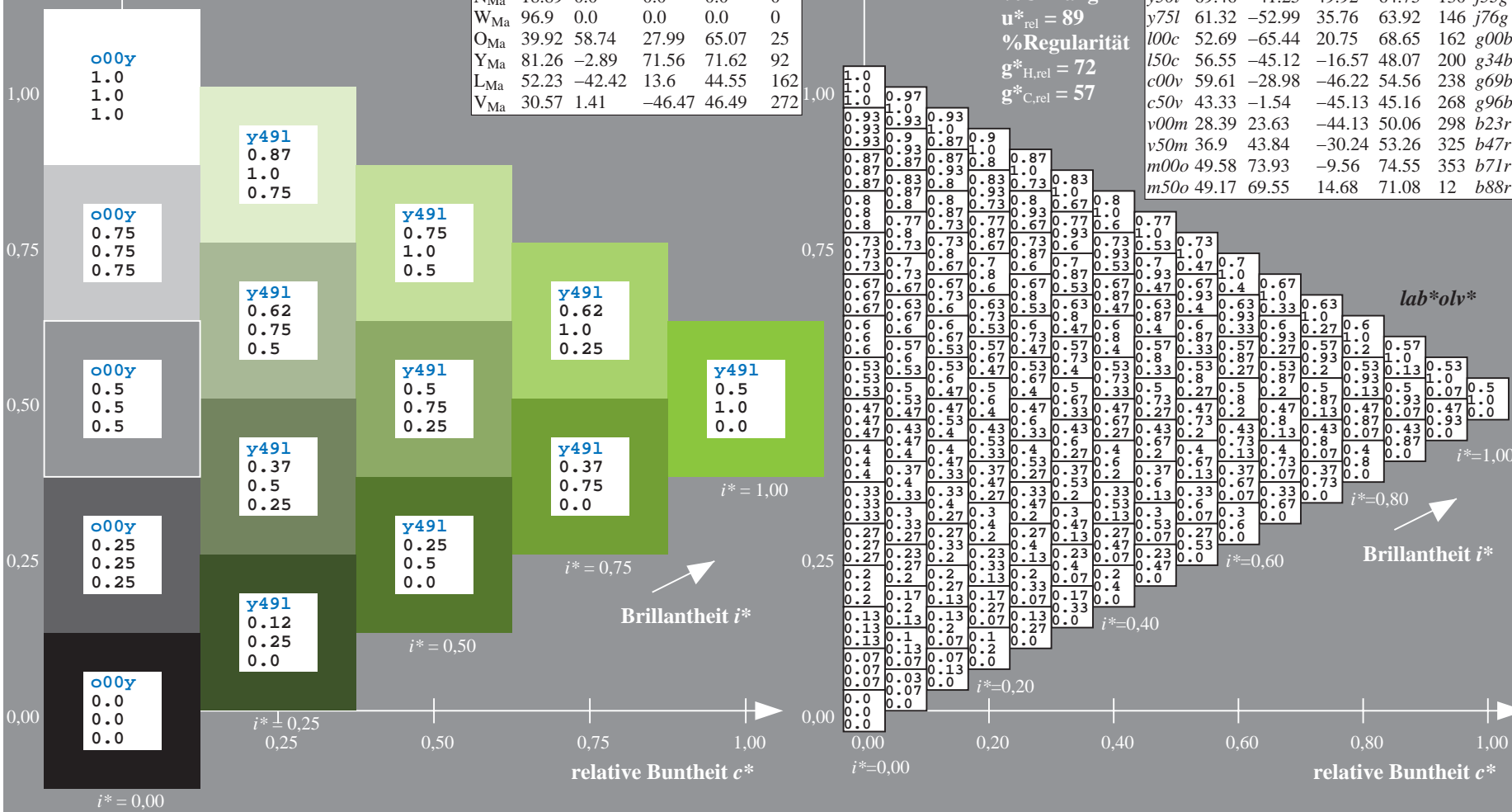
%Regularität

$g^*_{H,rel} = 72$

$g^*_{C,rel} = 57$

ORS19_96a; adaptierte CIELAB-Daten

	u^*_d	$L^*=L^*_a$	a^*_a	b^*_a	$C^*_{ab,a}$	$h^*_{ab,a}$	u^*_e
o00y	48.75	65.07	39.43	76.08	31		r08j
o25y	59.04	46.67	51.1	69.21	48		r33j
o50y	68.32	30.09	61.62	68.58	64		r57j
o75y	78.23	12.39	72.85	73.9	80		r81j
y00l	90.92	-10.29	87.24	87.85	97		j06g
y25l	78.57	-28.11	65.75	71.51	113		j29g
y50l	69.46	-41.25	49.92	64.75	130		j53g
y75l	61.32	-52.99	35.76	63.92	146		j76g
l00c	52.69	-65.44	20.75	68.65	162		g00b
l50c	56.55	-45.12	-16.57	48.07	200		g34b
c00v	59.61	-28.98	-46.22	54.56	238		g69b
c50v	43.33	-1.54	-45.13	45.16	268		g96b
v00m	28.39	23.63	-44.13	50.06	298		b23r
v50m	36.9	43.84	-30.24	53.26	325		b47r
m00o	49.58	73.93	-9.56	74.55	353		b71r
m50o	49.17	69.55	14.68	71.08	12		b88r



Ein und Ausgabe: Farbmimetrisches Drucker-Reflektiv-System ORS19_96a für relativen CIELAB-Buntton $h^* = lab^*h^* = h_{ab}/360 = 0.406$

Daten für jede Farbe:

lab^*ch^* und lab^*icu^*

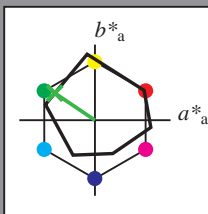
Bunttontexte:

$u^*_d = y75l$ $u^*_e = j76g$

Kontrastreduzierungsfaktor:

$c_R = 1.0$

Dreiecks-Helligkeit i^*



ORS19_96a; adaptierte CIELAB-Daten

u^*_d	$L^*=L^*_a$	a^*_a	b^*_a	$C^*_{ab,a}$	$h^*_{ab,a}$
O _{Ma}	48.75	65.07	39.43	76.08	31
Y _{Ma}	90.92	-10.29	87.24	87.85	97
L _{Ma}	52.69	-65.44	20.75	68.65	162
C _{Ma}	59.61	-28.98	-46.22	54.56	238
V _{Ma}	28.39	23.63	-44.13	50.06	298
M _{Ma}	49.58	73.93	-9.56	74.55	353
N _{Ma}	18.89	0.0	0.0	0.0	0
W _{Ma}	96.9	0.0	0.0	0.0	0
O _{Ma}	39.92	58.74	27.99	65.07	25
Y _{Ma}	81.26	-2.89	71.56	71.62	92
L _{Ma}	52.23	-42.42	13.6	44.55	162
V _{Ma}	30.57	1.41	-46.47	46.49	272

Daten für Maximalfarbe (Ma):

$LAB^*LAB^*_{Ma}$: 61 -53 36

$LAB^*LCH^*_{Ma}$: 61 64 145

$lab^*olv^*_{Ma}$: 0.25 1.0 0.0

$lab^*rgb^*_{Ma}$: 0.23 1.0 0.0

Dreiecks-Helligkeit i^*

%Umfang

$u^*_{rel} = 89$

%Regularität

$g^*_{H,rel} = 72$

$g^*_{C,rel} = 57$

ORS19_96a; adaptierte CIELAB-Daten

u^*_d	$L^*=L^*_a$	a^*_a	b^*_a	$C^*_{ab,a}$	$h^*_{ab,a}$	u^*_e
o00y	48.75	65.07	39.43	76.08	31	r08j
o25y	59.04	46.67	51.1	69.21	48	r33j
o50y	68.32	30.09	61.62	68.58	64	r57j
o75y	78.23	12.39	72.85	73.9	80	r81j
y00l	90.92	-10.29	87.24	87.85	97	j06g
y25l	78.57	-28.11	65.75	71.51	113	j29g
y50l	69.46	-41.25	49.92	64.75	130	j53g
y75l	61.32	-52.99	35.76	63.92	146	j76g
l00c	52.69	-65.44	20.75	68.65	162	g00b
l50c	56.55	-45.12	-16.57	48.07	200	g34b
c00v	59.61	-28.98	-46.22	54.56	238	g69b
c50v	43.33	-1.54	-45.13	45.16	268	g96b
v00m	28.39	23.63	-44.13	50.06	298	b23r
v50m	36.9	43.84	-30.24	53.26	325	b47r
m00o	49.58	73.93	-9.56	74.55	353	b71r
m50o	49.17	69.55	14.68	71.08	12	b88r

lab^*olv^*

$i^* = 1.00$

$i^* = 0.80$

$i^* = 0.60$

$i^* = 0.40$

$i^* = 0.20$

$i^* = 0.00$

$i^* = 0.00$

$i^* = 0.00$

$i^* = 0.00$

$i^* = 0.00$

$i^* = 0.00$

$i^* = 0.00$

$i^* = 0.00$

$i^* = 0.00$

$i^* = 0.00$

$i^* = 0.00$

$i^* = 0.00$

$i^* = 0.00$

$i^* = 0.00$

$i^* = 0.00$

$i^* = 0.00$

$i^* = 0.00$

$i^* = 0.00$

$i^* = 0.00$

$i^* = 0.00$

Ein und Ausgabe: Farbmetrisches Drucker-Reflektiv-System ORS19_96a für relativen CIELAB-Buntton $h^* = lab^*h^* = h_{ab}/360 = 0.451$

Daten für jede Farbe:

lab^*tch^* und lab^*icu^*

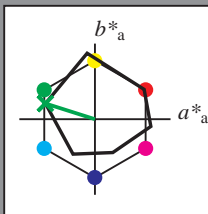
Bunttontexte:

$u^*_d = 100c$ $u^*_e = g00b$

Kontrastreduzierungsfaktor:

$c_R = 1.0$

Dreiecks-Helligkeit i^*



ORS19_96a; adaptierte CIELAB-Daten

u^*_d	$L^*=L^*_a$	a^*_a	b^*_a	$C^*_{ab,a}$	$h^*_{ab,a}$
O _{Ma}	48.75	65.07	39.43	76.08	31
Y _{Ma}	90.92	-10.29	87.24	87.85	97
L _{Ma}	52.69	-65.44	20.75	68.65	162
C _{Ma}	59.61	-28.98	-46.22	54.56	238
V _{Ma}	28.39	23.63	-44.13	50.06	298
M _{Ma}	49.58	73.93	-9.56	74.55	353
N _{Ma}	18.89	0.0	0.0	0.0	0
W _{Ma}	96.9	0.0	0.0	0.0	0
O _{Ma}	39.92	58.74	27.99	65.07	25
Y _{Ma}	81.26	-2.89	71.56	71.62	92
L _{Ma}	52.23	-42.42	13.6	44.55	162
V _{Ma}	30.57	1.41	-46.47	46.49	272

Daten für Maximalfarbe (Ma):

$LAB^*LAB^*_{Ma}$: 53 -65 21

$LAB^*LCH^*_{Ma}$: 53 69 162

$lab^*olv^*_{Ma}$: 0.0 1.0 0.0

$lab^*rgb^*_{Ma}$: 0.0 1.0 0.0

Dreiecks-Helligkeit i^*

%Umfang

$u^*_{rel} = 89$

%Regularität

$g^*_{H,rel} = 72$

$g^*_{C,rel} = 57$

ORS19_96a; adaptierte CIELAB-Daten

u^*_d	$L^*=L^*_a$	a^*_a	b^*_a	$C^*_{ab,a}$	$h^*_{ab,a}$	u^*_e
o00y	48.75	65.07	39.43	76.08	31	r08j
o25y	59.04	46.67	51.1	69.21	48	r33j
o50y	68.32	30.09	61.62	68.58	64	r57j
o75y	78.23	12.39	72.85	73.9	80	r81j
y00l	90.92	-10.29	87.24	87.85	97	j06g
y25l	78.57	-28.11	65.75	71.51	113	j29g
y50l	69.46	-41.25	49.92	64.75	130	j53g
y75l	61.32	-52.99	35.76	63.92	146	j76g
l00c	52.69	-65.44	20.75	68.65	162	g00b
l50c	56.55	-45.12	-16.57	48.07	200	g34b
c00v	59.61	-28.98	-46.22	54.56	238	g69b
c50v	43.33	-1.54	-45.13	45.16	268	g96b
v00m	28.39	23.63	-44.13	50.06	298	b23r
v50m	36.9	43.84	-30.24	53.26	325	b47r
m00o	49.58	73.93	-9.56	74.55	353	b71r
m50o	49.17	69.55	14.68	71.08	12	b88r

lab^*olv^*

$i^* = 1.00$

Brillantheit i^*

$i^* = 0.80$

$i^* = 0.60$

$i^* = 0.40$

$i^* = 0.20$

$i^* = 0.00$

relative Buntheit c^*

Ein und Ausgabe: Farbmetrisches Drucker-Reflektiv-System ORS19_96a für relativen CIELAB-Buntton $h^* = lab^*h^* = h_{ab}/360 = 0.556$

Daten für jede Farbe:

lab^*tch^* und lab^*icu^*

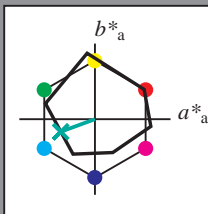
Bunttontexte:

$u^*_d = 150c$ $u^*_e = g34b$

Kontrastreduzierungsfaktor:

$c_R = 1.0$

Dreiecks-Helligkeit i^*



ORS19_96a; adaptierte CIELAB-Daten

u^*_d	$L^*=L^*_a$	a^*_a	b^*_a	$C^*_{ab,a}$	$h^*_{ab,a}$
O _{Ma}	48.75	65.07	39.43	76.08	31
Y _{Ma}	90.92	-10.29	87.24	87.85	97
L _{Ma}	52.69	-65.44	20.75	68.65	162
C _{Ma}	59.61	-28.98	-46.22	54.56	238
V _{Ma}	28.39	23.63	-44.13	50.06	298
M _{Ma}	49.58	73.93	-9.56	74.55	353
N _{Ma}	18.89	0.0	0.0	0.0	0
W _{Ma}	96.9	0.0	0.0	0.0	0
O _{Ma}	39.92	58.74	27.99	65.07	25
Y _{Ma}	81.26	-2.89	71.56	71.62	92
L _{Ma}	52.23	-42.42	13.6	44.55	162
V _{Ma}	30.57	1.41	-46.47	46.49	272

Daten für Maximalfarbe (Ma):

$LAB^*LAB^*_{Ma}$: 57 -45 -17

$LAB^*LCH^*_{Ma}$: 57 48 200

$lab^*olv^*_{Ma}$: 0.0 1.0 0.5

$lab^*rgb^*_{Ma}$: 0.0 1.0 0.69

Dreiecks-Helligkeit i^*

%Umfang

$u^*_{rel} = 89$

%Regularität

$g^*_{H,rel} = 72$

$g^*_{C,rel} = 57$

ORS19_96a; adaptierte CIELAB-Daten

u^*_d	$L^*=L^*_a$	a^*_a	b^*_a	$C^*_{ab,a}$	$h^*_{ab,a}$	u^*_e
o00y	48.75	65.07	39.43	76.08	31	r08j
o25y	59.04	46.67	51.1	69.21	48	r33j
o50y	68.32	30.09	61.62	68.58	64	r57j
o75y	78.23	12.39	72.85	73.9	80	r81j
y00l	90.92	-10.29	87.24	87.85	97	j06g
y25l	78.57	-28.11	65.75	71.51	113	j29g
y50l	69.46	-41.25	49.92	64.75	130	j53g
y75l	61.32	-52.99	35.76	63.92	146	j76g
l00c	52.69	-65.44	20.75	68.65	162	g00b
l50c	56.55	-45.12	-16.57	48.07	200	g34b
c00v	59.61	-28.98	-46.22	54.56	238	g69b
c50v	43.33	-1.54	-45.13	45.16	268	g96b
v00m	28.39	23.63	-44.13	50.06	298	b23r
v50m	36.9	43.84	-30.24	53.26	325	b47r
m00o	49.58	73.93	-9.56	74.55	353	b71r
m50o	49.17	69.55	14.68	71.08	12	b88r

lab^*olv^*

$i^* = 1.00$

Brillantheit i^*

$i^* = 0.80$

$i^* = 0.60$

$i^* = 0.40$

$i^* = 0.20$

$i^* = 0.00$

relative Buntheit c^*

Ein und Ausgabe: Farbmimetrisches Drucker-Reflektiv-System ORS19_96a für relativen CIELAB-Buntton $h^* = lab^*h^* = h_{ab}/360 = 0.661$

Daten für jede Farbe:

lab^*tch^* und lab^*icu^*

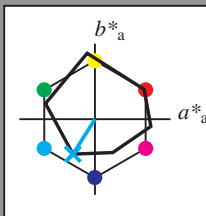
Bunttontexte:

$u^*_d = c00v$ $u^*_e = g69b$

Kontrastreduzierungsfaktor:

$c_R = 1.0$

Dreiecks-Helligkeit i^*



ORS19_96a; adaptierte CIELAB-Daten

u^*_d	$L^*=L^*_a$	a^*_a	b^*_a	$C^*_{ab,a}$	$h^*_{ab,a}$
O _{Ma}	48.75	65.07	39.43	76.08	31
Y _{Ma}	90.92	-10.29	87.24	87.85	97
L _{Ma}	52.69	-65.44	20.75	68.65	162
C _{Ma}	59.61	-28.98	-46.22	54.56	238
V _{Ma}	28.39	23.63	-44.13	50.06	298
M _{Ma}	49.58	73.93	-9.56	74.55	353
N _{Ma}	18.89	0.0	0.0	0.0	0
W _{Ma}	96.9	0.0	0.0	0.0	0
O _{Ma}	39.92	58.74	27.99	65.07	25
Y _{Ma}	81.26	-2.89	71.56	71.62	92
L _{Ma}	52.23	-42.42	13.6	44.55	162
V _{Ma}	30.57	1.41	-46.47	46.49	272

Daten für Maximalfarbe (Ma):

$LAB^*LAB^*_{Ma}$: 60 -29 -46

$LAB^*LCH^*_{Ma}$: 60 55 237

$lab^*olv^*_{Ma}$: 0.0 1.0 1.0

$lab^*rgb^*_{Ma}$: 0.0 0.62 1.0

Dreiecks-Helligkeit i^*

%Umfang

$u^*_{rel} = 89$

%Regularität

$g^*_{H,rel} = 72$

$g^*_{C,rel} = 57$

ORS19_96a; adaptierte CIELAB-Daten

u^*_d	$L^*=L^*_a$	a^*_a	b^*_a	$C^*_{ab,a}$	$h^*_{ab,a}$	u^*_e
o00y	48.75	65.07	39.43	76.08	31	r08j
o25y	59.04	46.67	51.1	69.21	48	r33j
o50y	68.32	30.09	61.62	68.58	64	r57j
o75y	78.23	12.39	72.85	73.9	80	r81j
y00l	90.92	-10.29	87.24	87.85	97	j06g
y25l	78.57	-28.11	65.75	71.51	113	j29g
y50l	69.46	-41.25	49.92	64.75	130	j53g
y75l	61.32	-52.99	35.76	63.92	146	j76g
l00c	52.69	-65.44	20.75	68.65	162	g00b
l50c	56.55	-45.12	-16.57	48.07	200	g34b
c00v	59.61	-28.98	-46.22	54.56	238	g69b
c50v	43.33	-1.54	-45.13	45.16	268	g96b
v00m	28.39	23.63	-44.13	50.06	298	b23r
v50m	36.9	43.84	-30.24	53.26	325	b47r
m00o	49.58	73.93	-9.56	74.55	353	b71r
m50o	49.17	69.55	14.68	71.08	12	b88r

lab^*olv^*

$i^* = 1.00$

Brillantheit i^*

$i^* = 0.80$

$i^* = 0.60$

$i^* = 0.40$

$i^* = 0.20$

$i^* = 0.00$

relative Buntheit c^*

relative Buntheit c^*

Ein und Ausgabe: Farbmimetrisches Drucker-Reflektiv-System ORS19_96a für relativen CIELAB-Buntton $h^* = lab^*h^* = h_{ab}/360 = 0.745$

Daten für jede Farbe:

lab^*tch^* und lab^*icu^*

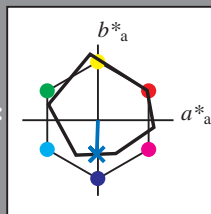
Bunttontexte:

$u^*_d = c50v$ $u^*_e = g96b$

Kontrastreduzierungsfaktor:

$c_R = 1.0$

Dreiecks-Helligkeit i^*



ORS19_96a; adaptierte CIELAB-Daten

u^*_d	$L^*=L^*_a$	a^*_a	b^*_a	$C^*_{ab,a}$	$h^*_{ab,a}$
O _{Ma}	48.75	65.07	39.43	76.08	31
Y _{Ma}	90.92	-10.29	87.24	87.85	97
L _{Ma}	52.69	-65.44	20.75	68.65	162
C _{Ma}	59.61	-28.98	-46.22	54.56	238
V _{Ma}	28.39	23.63	-44.13	50.06	298
M _{Ma}	49.58	73.93	-9.56	74.55	353
N _{Ma}	18.89	0.0	0.0	0.0	0
W _{Ma}	96.9	0.0	0.0	0.0	0
O _{Ma}	39.92	58.74	27.99	65.07	25
Y _{Ma}	81.26	-2.89	71.56	71.62	92
L _{Ma}	52.23	-42.42	13.6	44.55	162
V _{Ma}	30.57	1.41	-46.47	46.49	272

Daten für Maximalfarbe (Ma):

$LAB^*LAB^*_{Ma}$: 43 -2 -45

$LAB^*LCH^*_{Ma}$: 43 45 268

$lab^*olv^*_{Ma}$: 0.0 0.5 1.0

$lab^*rgb^*_{Ma}$: 0.0 0.07 1.0

Dreiecks-Helligkeit i^*

%Umfang

$u^*_{rel} = 89$

%Regularität

$g^*_{H,rel} = 72$

$g^*_{C,rel} = 57$

ORS19_96a; adaptierte CIELAB-Daten

u^*_d	$L^*=L^*_a$	a^*_a	b^*_a	$C^*_{ab,a}$	$h^*_{ab,a}$	u^*_e
o00y	48.75	65.07	39.43	76.08	31	r08j
o25y	59.04	46.67	51.1	69.21	48	r33j
o50y	68.32	30.09	61.62	68.58	64	r57j
o75y	78.23	12.39	72.85	73.9	80	r81j
y00l	90.92	-10.29	87.24	87.85	97	j06g
y25l	78.57	-28.11	65.75	71.51	113	j29g
y50l	69.46	-41.25	49.92	64.75	130	j53g
y75l	61.32	-52.99	35.76	63.92	146	j76g
l00c	52.69	-65.44	20.75	68.65	162	g00b
l50c	56.55	-45.12	-16.57	48.07	200	g34b
c00v	59.61	-28.98	-46.22	54.56	238	g69b
c50v	43.33	-1.54	-45.13	45.16	268	g96b
v00m	28.39	23.63	-44.13	50.06	298	b23r
v50m	36.9	43.84	-30.24	53.26	325	b47r
m00o	49.58	73.93	-9.56	74.55	353	b71r
m50o	49.17	69.55	14.68	71.08	12	b88r

lab^*olv^*

$i^* = 1.00$

Brillantheit i^*

$i^* = 0.80$

$i^* = 0.60$

$i^* = 0.40$

$i^* = 0.20$

$i^* = 0.00$

relative Bunttheit c^*

relative Bunttheit c^*

Ein und Ausgabe: Farbmetrisches Drucker-Reflektiv-System ORS19_96a für relativen CIELAB-Buntton $h^* = lab^*h^* = h_{ab}/360 = 0.828$

Daten für jede Farbe:

lab^*tch^* und lab^*icu^*

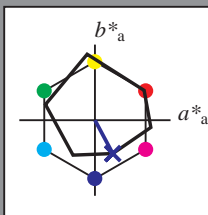
Bunttontexte:

$u^*_d = v00m$ $u^*_e = b23r$

Kontrastreduzierungsfaktor:

$c_R = 1.0$

Dreiecks-Helligkeit i^*



ORS19_96a; adaptierte CIELAB-Daten

u^*_d	$L^*=L^*_a$	a^*_a	b^*_a	$C^*_{ab,a}$	$h^*_{ab,a}$
O _{Ma}	48.75	65.07	39.43	76.08	31
Y _{Ma}	90.92	-10.29	87.24	87.85	97
L _{Ma}	52.69	-65.44	20.75	68.65	162
C _{Ma}	59.61	-28.98	-46.22	54.56	238
V _{Ma}	28.39	23.63	-44.13	50.06	298
M _{Ma}	49.58	73.93	-9.56	74.55	353
N _{Ma}	18.89	0.0	0.0	0.0	0
W _{Ma}	96.9	0.0	0.0	0.0	0
O _{Ma}	39.92	58.74	27.99	65.07	25
Y _{Ma}	81.26	-2.89	71.56	71.62	92
L _{Ma}	52.23	-42.42	13.6	44.55	162
V _{Ma}	30.57	1.41	-46.47	46.49	272

Daten für Maximalfarbe (Ma):

$LAB^*LAB^*_{Ma}$: 28 24 -44

$LAB^*LCH^*_{Ma}$: 28 50 298

$lab^*olv^*_{Ma}$: 0.0 0.0 1.0

$lab^*rgb^*_{Ma}$: 0.46 0.0 1.0

Dreiecks-Helligkeit i^*

%Umfang

$u^*_{rel} = 89$

%Regularität

$g^*_{H,rel} = 72$

$g^*_{C,rel} = 57$

ORS19_96a; adaptierte CIELAB-Daten

u^*_d	$L^*=L^*_a$	a^*_a	b^*_a	$C^*_{ab,a}$	$h^*_{ab,a}$	u^*_e
o00y	48.75	65.07	39.43	76.08	31	r08j
o25y	59.04	46.67	51.1	69.21	48	r33j
o50y	68.32	30.09	61.62	68.58	64	r57j
o75y	78.23	12.39	72.85	73.9	80	r81j
y00l	90.92	-10.29	87.24	87.85	97	j06g
y25l	78.57	-28.11	65.75	71.51	113	j29g
y50l	69.46	-41.25	49.92	64.75	130	j53g
y75l	61.32	-52.99	35.76	63.92	146	j76g
l00c	52.69	-65.44	20.75	68.65	162	g00b
l50c	56.55	-45.12	-16.57	48.07	200	g34b
c00v	59.61	-28.98	-46.22	54.56	238	g69b
c50v	43.33	-1.54	-45.13	45.16	268	g96b
v00m	28.39	23.63	-44.13	50.06	298	b23r
v50m	36.9	43.84	-30.24	53.26	325	b47r
m00o	49.58	73.93	-9.56	74.55	353	b71r
m50o	49.17	69.55	14.68	71.08	12	b88r

lab^*olv^*

$i^* = 1.00$

Brillantheit i^*

$i^* = 0.80$

$i^* = 0.60$

$i^* = 0.40$

$i^* = 0.20$

relative Buntheit c^*

relative Buntheit c^*

Ein und Ausgabe: Farbmetrisches Drucker-Reflektiv-System ORS19_96a für relativen CIELAB-Buntton $h^* = lab^*h^* = h_{ab}/360 = 0.904$

Daten für jede Farbe:

lab^*tch^* und lab^*icu^*

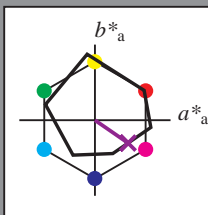
Bunttontexte:

$u^*_d = v50m$ $u^*_e = b47r$

Kontrastreduzierungsfaktor:

$c_R = 1.0$

Dreiecks-Helligkeit i^*



ORS19_96a; adaptierte CIELAB-Daten

u^*_d	$L^*=L^*_a$	a^*_a	b^*_a	$C^*_{ab,a}$	$h^*_{ab,a}$
O _{Ma}	48.75	65.07	39.43	76.08	31
Y _{Ma}	90.92	-10.29	87.24	87.85	97
L _{Ma}	52.69	-65.44	20.75	68.65	162
C _{Ma}	59.61	-28.98	-46.22	54.56	238
V _{Ma}	28.39	23.63	-44.13	50.06	298
M _{Ma}	49.58	73.93	-9.56	74.55	353
N _{Ma}	18.89	0.0	0.0	0.0	0
W _{Ma}	96.9	0.0	0.0	0.0	0
O _{Ma}	39.92	58.74	27.99	65.07	25
Y _{Ma}	81.26	-2.89	71.56	71.62	92
L _{Ma}	52.23	-42.42	13.6	44.55	162
V _{Ma}	30.57	1.41	-46.47	46.49	272

Daten für Maximalfarbe (Ma):

$LAB^*LAB^*_{Ma}$: 37 44 -30

$LAB^*LCH^*_{Ma}$: 37 53 325

$lab^*olv^*_{Ma}$: 0.5 0.0 1.0

$lab^*rgb^*_{Ma}$: 0.94 0.0 1.0

Dreiecks-Helligkeit i^*

%Umfang

$u^*_{rel} = 89$

%Regularität

$g^*_{H,rel} = 72$

$g^*_{C,rel} = 57$

ORS19_96a; adaptierte CIELAB-Daten

u^*_d	$L^*=L^*_a$	a^*_a	b^*_a	$C^*_{ab,a}$	$h^*_{ab,a}$	u^*_e
o00y	48.75	65.07	39.43	76.08	31	r08j
o25y	59.04	46.67	51.1	69.21	48	r33j
o50y	68.32	30.09	61.62	68.58	64	r57j
o75y	78.23	12.39	72.85	73.9	80	r81j
y00l	90.92	-10.29	87.24	87.85	97	j06g
y25l	78.57	-28.11	65.75	71.51	113	j29g
y50l	69.46	-41.25	49.92	64.75	130	j53g
y75l	61.32	-52.99	35.76	63.92	146	j76g
l00c	52.69	-65.44	20.75	68.65	162	g00b
l50c	56.55	-45.12	-16.57	48.07	200	g34b
c00v	59.61	-28.98	-46.22	54.56	238	g69b
c50v	43.33	-1.54	-45.13	45.16	268	g96b
v00m	28.39	23.63	-44.13	50.06	298	b23r
v50m	36.9	43.84	-30.24	53.26	325	b47r
m00o	49.58	73.93	-9.56	74.55	353	b71r
m50o	49.17	69.55	14.68	71.08	12	b88r

lab^*olv^*

$i^* = 1.00$

Brillantheit i^*

$i^* = 0.80$

$i^* = 0.60$

$i^* = 0.40$

$i^* = 0.20$

$i^* = 0.00$

Ein und Ausgabe: Farbmimetrisches Drucker-Reflektiv-System ORS19_96a für relativen CIELAB-Buntton $h^* = \text{lab}^*h^* = h_{ab}/360 = 0.98$

Daten für jede Farbe:

lab^*tch^* und lab^*icu^*

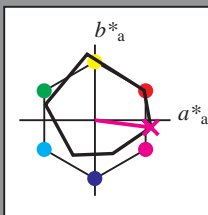
Bunttontexte:

$u^*_d = m00o$ $u^*_e = b71r$

Kontrastreduzierungsfaktor:

$c_R = 1.0$

Dreiecks-Helligkeit i^*



ORS19_96a; adaptierte CIELAB-Daten

u^*_d	$L^*=L^*_a$	a^*_a	b^*_a	$C^*_{ab,a}$	$h^*_{ab,a}$
O _{Ma}	48.75	65.07	39.43	76.08	31
Y _{Ma}	90.92	-10.29	87.24	87.85	97
L _{Ma}	52.69	-65.44	20.75	68.65	162
C _{Ma}	59.61	-28.98	-46.22	54.56	238
V _{Ma}	28.39	23.63	-44.13	50.06	298
M _{Ma}	49.58	73.93	-9.56	74.55	353
N _{Ma}	18.89	0.0	0.0	0.0	0
W _{Ma}	96.9	0.0	0.0	0.0	0
O _{Ma}	39.92	58.74	27.99	65.07	25
Y _{Ma}	81.26	-2.89	71.56	71.62	92
L _{Ma}	52.23	-42.42	13.6	44.55	162
V _{Ma}	30.57	1.41	-46.47	46.49	272

Daten für Maximalfarbe (Ma):

$\text{LAB}^*\text{LAB}^*_{\text{Ma}}$: 50 74 -10

$\text{LAB}^*\text{LCH}^*_{\text{Ma}}$: 50 75 352

$\text{lab}^*\text{olv}^*_{\text{Ma}}$: 1.0 0.0 1.0

$\text{lab}^*\text{rgb}^*_{\text{Ma}}$: 1.0 0.0 0.58

Dreiecks-Helligkeit i^*

%Umfang

$u^*_{\text{rel}} = 89$

%Regularität

$g^*_{H,\text{rel}} = 72$

$g^*_{C,\text{rel}} = 57$

ORS19_96a; adaptierte CIELAB-Daten

u^*_d	$L^*=L^*_a$	a^*_a	b^*_a	$C^*_{ab,a}$	$h^*_{ab,a}$	u^*_e
o00y	48.75	65.07	39.43	76.08	31	r08j
o25y	59.04	46.67	51.1	69.21	48	r33j
o50y	68.32	30.09	61.62	68.58	64	r57j
o75y	78.23	12.39	72.85	73.9	80	r81j
y00l	90.92	-10.29	87.24	87.85	97	j06g
y25l	78.57	-28.11	65.75	71.51	113	j29g
y50l	69.46	-41.25	49.92	64.75	130	j53g
y75l	61.32	-52.99	35.76	63.92	146	j76g
l00c	52.69	-65.44	20.75	68.65	162	g00b
l50c	56.55	-45.12	-16.57	48.07	200	g34b
c00v	59.61	-28.98	-46.22	54.56	238	g69b
c50v	43.33	-1.54	-45.13	45.16	268	g96b
v00m	28.39	23.63	-44.13	50.06	298	b23r
v50m	36.9	43.84	-30.24	53.26	325	b47r
m00o	49.58	73.93	-9.56	74.55	353	b71r
m50o	49.17	69.55	14.68	71.08	12	b88r

lab^*olv^*

$i^* = 1.00$

Brillantheit i^*

$i^* = 0.80$

$i^* = 0.60$

$i^* = 0.40$

$i^* = 0.20$

$i^* = 0.00$

relative Buntheit c^*

relative Buntheit c^*

Ein und Ausgabe: Farbmimetrisches Drucker-Reflektiv-System ORS19_96a für relativen CIELAB-Buntton $h^* = \text{lab}^*h^* = h_{ab}/360 = 0.033$

Daten für jede Farbe:

lab^*tch^* und lab^*icu^*

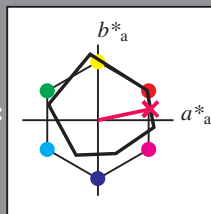
Bunttontexte:

$u^*_d = m50o$ $u^*_e = b88r$

Kontrastreduzierungsfaktor:

$c_R = 1.0$

Dreiecks-Helligkeit i^*



ORS19_96a; adaptierte CIELAB-Daten

u^*_d	$L^*=L^*_a$	a^*_a	b^*_a	$C^*_{ab,a}$	$h^*_{ab,a}$
O _{Ma}	48.75	65.07	39.43	76.08	31
Y _{Ma}	90.92	-10.29	87.24	87.85	97
L _{Ma}	52.69	-65.44	20.75	68.65	162
C _{Ma}	59.61	-28.98	-46.22	54.56	238
V _{Ma}	28.39	23.63	-44.13	50.06	298
M _{Ma}	49.58	73.93	-9.56	74.55	353
N _{Ma}	18.89	0.0	0.0	0.0	0
W _{Ma}	96.9	0.0	0.0	0.0	0
O _{Ma}	39.92	58.74	27.99	65.07	25
Y _{Ma}	81.26	-2.89	71.56	71.62	92
L _{Ma}	52.23	-42.42	13.6	44.55	162
V _{Ma}	30.57	1.41	-46.47	46.49	272

Daten für Maximalfarbe (Ma):

$\text{LAB}^*\text{LAB}^*_{\text{Ma}}$: 49 70 15

$\text{LAB}^*\text{LCH}^*_{\text{Ma}}$: 49 71 11

$\text{lab}^*\text{olv}^*_{\text{Ma}}$: 1.0 0.0 0.5

$\text{lab}^*\text{rgb}^*_{\text{Ma}}$: 1.0 0.0 0.24

Dreiecks-Helligkeit i^*

%Umfang

$u^*_{\text{rel}} = 89$

%Regularität

$g^*_{H,\text{rel}} = 72$

$g^*_{C,\text{rel}} = 57$

ORS19_96a; adaptierte CIELAB-Daten

u^*_d	$L^*=L^*_a$	a^*_a	b^*_a	$C^*_{ab,a}$	$h^*_{ab,a}$	u^*_e
o00y	48.75	65.07	39.43	76.08	31	r08j
o25y	59.04	46.67	51.1	69.21	48	r33j
o50y	68.32	30.09	61.62	68.58	64	r57j
o75y	78.23	12.39	72.85	73.9	80	r81j
y00l	90.92	-10.29	87.24	87.85	97	j06g
y25l	78.57	-28.11	65.75	71.51	113	j29g
y50l	69.46	-41.25	49.92	64.75	130	j53g
y75l	61.32	-52.99	35.76	63.92	146	j76g
l00c	52.69	-65.44	20.75	68.65	162	g00b
l50c	56.55	-45.12	-16.57	48.07	200	g34b
c00v	59.61	-28.98	-46.22	54.56	238	g69b
c50v	43.33	-1.54	-45.13	45.16	268	g96b
v00m	28.39	23.63	-44.13	50.06	298	b23r
v50m	36.9	43.84	-30.24	53.26	325	b47r
m00o	49.58	73.93	-9.56	74.55	353	b71r
m50o	49.17	69.55	14.68	71.08	12	b88r

lab^*olv^*

$i^* = 1.00$

Brillantheit i^*

$i^* = 0.80$

$i^* = 0.60$

$i^* = 0.40$

$i^* = 0.20$

$i^* = 0.00$

relative Buntheit c^*

Siehe ähnliche Dateien: <http://www.ps.bam.de/Eg42/>; www.ps.bam.de/Eg42/10L/L42G00NA.PS/.TXT BAM-Material: Code=th4ta
Technische Information: <http://www.ps.bam.de> Version 2.1, io=1,1, ColSp=1

	A	B	C	D	E	F	G	H	I	J	K	L	M	N	O	P	Q	R	S	T	U	V	W	X	Y	Z	a	b	c	d	e	f	g	h	i	j	k	lab*oly*					
01	0.0	0.0	0.0	0.0	0.0	0.0	0.0	0.0	0.0	0.0	0.13	0.12	0.12	0.12	0.12	0.12	0.12	0.12	0.25	0.25	0.25	0.25	0.25	0.25	0.25	0.25	0.25	1.0	1.0	1.0	1.0	1.0	1.0	1.0	1.0	1.0	1.0	0.0	0.0	0.0	0.0		
	0.0	0.13	0.25	0.38	0.5	0.63	0.75	0.88	1.0	0.0	0.13	0.25	0.38	0.5	0.63	0.75	0.88	1.0	0.0	0.12	0.25	0.38	0.5	0.63	0.75	0.88	1.0	0.0	0.88	0.75	0.63	0.5	0.38	0.25	0.13	0.0	0.0	0.0	0.0	0.0	0.0		
	0.0	0.0	0.0	0.0	0.0	0.0	0.0	0.0	0.0	0.0	0.0	0.0	0.0	0.0	0.0	0.0	0.0	0.0	0.0	0.0	0.0	0.0	0.0	0.0	0.0	0.0	0.0	1.0	0.88	0.75	0.63	0.5	0.38	0.25	0.13	0.0	0.0	0.0	0.0	0.0	0.0	0.0	
02	0.0	0.0	0.0	0.0	0.0	0.0	0.0	0.0	0.0	0.12	0.13	0.13	0.13	0.13	0.13	0.13	0.13	0.13	0.25	0.25	0.25	0.25	0.25	0.25	0.25	0.25	0.25	0.88	0.88	0.88	0.88	0.88	0.88	0.88	0.88	0.88	0.88	0.88	0.13	0.13	0.13	0.13	
	0.0	0.12	0.25	0.38	0.5	0.63	0.75	0.88	1.0	0.0	0.13	0.25	0.38	0.5	0.63	0.75	0.88	1.0	0.0	0.13	0.25	0.38	0.5	0.63	0.75	0.88	1.0	1.0	0.88	0.75	0.63	0.5	0.38	0.25	0.13	0.0	0.13	0.13	0.13	0.13	0.13	0.13	
	0.13	0.13	0.12	0.12	0.12	0.12	0.12	0.12	0.12	0.13	0.13	0.13	0.13	0.13	0.13	0.13	0.13	0.13	0.12	0.13	0.13	0.13	0.13	0.13	0.13	0.13	0.13	1.0	0.88	0.75	0.63	0.5	0.38	0.25	0.13	0.0	0.13	0.13	0.13	0.13	0.13	0.13	0.13
03	0.0	0.0	0.0	0.0	0.0	0.0	0.0	0.0	0.0	0.12	0.13	0.13	0.13	0.13	0.13	0.13	0.13	0.13	0.25	0.25	0.25	0.25	0.25	0.25	0.25	0.25	0.25	0.75	0.75	0.75	0.75	0.75	0.75	0.75	0.75	0.75	0.75	0.25	0.25	0.25	0.25	0.25	0.25
	0.0	0.12	0.25	0.38	0.5	0.63	0.75	0.88	1.0	0.0	0.13	0.25	0.38	0.5	0.63	0.75	0.88	1.0	0.0	0.13	0.25	0.38	0.5	0.63	0.75	0.88	1.0	1.0	0.87	0.75	0.63	0.5	0.38	0.25	0.13	0.0	0.25	0.25	0.25	0.25	0.25	0.25	
	0.25	0.25	0.25	0.25	0.25	0.25	0.25	0.25	0.25	0.25	0.25	0.25	0.25	0.25	0.25	0.25	0.25	0.25	0.25	0.25	0.25	0.25	0.25	0.25	0.25	0.25	0.25	1.0	0.88	0.75	0.63	0.5	0.38	0.25	0.13	0.0	0.25	0.25	0.25	0.25	0.25	0.25	0.25
04	0.0	0.0	0.0	0.0	0.0	0.0	0.0	0.0	0.0	0.12	0.13	0.13	0.13	0.13	0.13	0.13	0.13	0.13	0.25	0.25	0.25	0.25	0.25	0.25	0.25	0.25	0.25	0.63	0.63	0.63	0.63	0.63	0.63	0.63	0.63	0.63	0.63	0.38	0.38	0.38	0.38		
	0.0	0.12	0.25	0.37	0.5	0.63	0.75	0.88	1.0	0.0	0.13	0.25	0.37	0.5	0.63	0.75	0.88	1.0	0.0	0.13	0.25	0.37	0.5	0.63	0.75	0.88	1.0	1.0	0.87	0.75	0.63	0.5	0.38	0.25	0.13	0.0	0.38	0.38	0.38	0.38	0.38	0.38	
	0.38	0.38	0.38	0.38	0.37	0.37	0.37	0.37	0.37	0.38	0.38	0.38	0.38	0.37	0.37	0.37	0.37	0.37	0.38	0.38	0.38	0.37	0.37	0.37	0.37	0.37	0.37	1.0	0.88	0.75	0.63	0.5	0.38	0.25	0.13	0.0	0.38	0.38	0.38	0.38	0.38	0.38	0.38
05	0.0	0.0	0.0	0.0	0.0	0.0	0.0	0.0	0.0	0.12	0.13	0.13	0.13	0.13	0.13	0.13	0.13	0.13	0.25	0.25	0.25	0.25	0.25	0.25	0.25	0.25	0.25	0.5	0.5	0.5	0.5	0.5	0.5	0.5	0.5	0.5	0.5	0.5	0.5	0.5	0.5	0.5	
	0.0	0.12	0.25	0.37	0.5	0.63	0.75	0.88	1.0	0.0	0.13	0.25	0.37	0.5	0.63	0.75	0.88	1.0	0.0	0.13	0.25	0.37	0.5	0.63	0.75	0.88	1.0	0.0	0.13	0.25	0.37	0.5	0.63	0.75	0.88	1.0	0.0	0.13	0.25	0.37	0.5	0.63	0.75
	0.5	0.5	0.5	0.5	0.5	0.5	0.5	0.5	0.5	0.5	0.5	0.5	0.5	0.5	0.5	0.5	0.5	0.5	0.5	0.5	0.5	0.5	0.5	0.5	0.5	0.5	0.5	1.0	0.89	0.75	0.63	0.5	0.38	0.25	0.13	0.0	0.5	0.5	0.5	0.5	0.5	0.5	
06	0.0	0.0	0.0	0.0	0.0	0.0	0.0	0.0	0.0	0.12	0.13	0.13	0.13	0.13	0.13	0.13	0.13	0.13	0.25	0.25	0.25	0.25	0.25	0.25	0.25	0.25	0.25	0.38	0.38	0.38	0.38	0.38	0.38	0.38	0.38	0.38	0.38	0.63	0.63	0.63	0.63		
	0.0	0.12	0.25	0.37	0.5	0.62	0.75	0.88	1.0	0.0	0.13	0.25	0.37	0.5	0.62	0.75	0.88	1.0	0.0	0.13	0.25	0.37	0.5	0.62	0.75	0.88	1.0	1.0	0.87	0.75	0.62	0.5	0.38	0.25	0.13	0.0	0.63	0.63	0.63	0.63	0.63	0.63	
	0.63	0.63	0.63	0.63	0.63	0.63	0.62	0.62	0.62	0.63	0.63	0.63	0.63	0.63	0.63	0.62	0.62	0.62	0.63	0.63	0.63	0.63	0.63	0.62	0.62	0.62	0.62	1.0	0.88	0.75	0.63	0.5	0.38	0.25	0.13	0.0	0.63	0.63	0.63	0.63	0.63	0.63	
07	0.0	0.0	0.0	0.0	0.0	0.0	0.0	0.0	0.0	0.12	0.13	0.13	0.13	0.13	0.13	0.13	0.13	0.13	0.25	0.25	0.25	0.25	0.25	0.25	0.25	0.25	0.25	0.25	0.25	0.25	0.25	0.25	0.25	0.25	0.25	0.25	0.25	0.75	0.75	0.75	0.75		
	0.0	0.12	0.25	0.37	0.5	0.62	0.75	0.88	1.0	0.0	0.13	0.25	0.37	0.5	0.62	0.75	0.88	1.0	0.0	0.13	0.25	0.37	0.5	0.62	0.75	0.88	1.0	1.0	0.87	0.75	0.62	0.5	0.37	0.25	0.13	0.0	0.75	0.75	0.75	0.75	0.75	0.75	
	0.75	0.75	0.75	0.75	0.75	0.75	0.75	0.75	0.75	0.75	0.75	0.75	0.75	0.75	0.75	0.75	0.75	0.75	0.75	0.75	0.75	0.75	0.75	0.75	0.75	0.75	0.75	1.0	0.88	0.75	0.63	0.5	0.38	0.25	0.13	0.0	0.75	0.75	0.75	0.75	0.75	0.75	
08	0.0	0.0	0.0	0.0	0.0	0.0	0.0	0.0	0.0	0.12	0.13	0.13	0.13	0.13	0.13	0.13	0.13	0.13	0.25	0.25	0.25	0.25	0.25	0.25	0.25	0.25	0.25	0.13	0.13	0.13	0.13	0.13	0.13	0.13	0.13	0.88	0.88	0.88	0.88				
	0.0	0.12	0.25	0.37	0.5	0.62	0.75	0.87	1.0	0.0	0.13	0.25	0.37	0.5	0.62	0.75	0.87	1.0	0.0	0.13	0.25	0.37	0.5	0.62	0.75	0.87	1.0	1.0	0.87	0.75	0.62	0.5	0.37	0.25	0.13	0.0	0.88	0.88	0.88	0.88			
	0.88	0.88	0.88	0.88	0.88	0.88	0.88	0.88	0.87	0.88	0.88	0.88	0.88	0.88	0.88	0.88	0.88	0.87	0.88	0.88	0.88	0.88	0.88	0.88	0.88	0.88	0.87	1.0	0.88	0.88	0.88	0.88	0.88	0.87	0.88	0.88	0.88	0.88	0.88	0.88	0.88		
09	0.0	0.0	0.0	0.0	0.0	0.0	0.0	0.0	0.0	0.12	0.13	0.13	0.13	0.13	0.13	0.13	0.13	0.13	0.25	0.25	0.25	0.25	0.25	0.25	0.25	0.25	0.25	0.0	0.0	0.0	0.0	0.0	0.0	0.0	0.0	1.0	1.0	1.0	1.0				
	0.0	0.12	0.25	0.37	0.5	0.62	0.75	0.87	1.0	0.0	0.13	0.25	0.37	0.5	0.62	0.75	0.87	1.0	0.0	0.13	0.25	0.37	0.5	0.62	0.75	0.87	1.0	1.0	0.87	0.75	0.62	0.5	0.37	0.25	0.12	0.0	1.0	1.0	1.0	1.0			
	1.0	1.0	1.0	1.0	1.0	1.0	1.0	1.0	1.0	1.0	1.0	1.0	1.0	1.0	1.0	1.0	1.0	1.0	1.0	1.0	1.0	1.0	1.0	1.0	1.0	1.0	1.0	1.0	0.88	0.75	0.63	0.5	0.38	0.25	0.13	0.0	1.0	1.0	1.0	1.0			
10	0.38	0.38	0.38	0.37	0.37	0.37	0.37	0.37	0.37	0.37	0.5	0.5	0.5	0.5	0.5	0.5	0.5	0.5	0.63	0.63	0.63	0.63	0.62	0.62	0.62	0.62	0.62	1.0	1.0	1.0	1.0	1.0	1.0	1.0	1.0	1.0	1.0	0.0	0.0	0.0	0.0		
	0.12	0.25	0.38	0.5	0.63	0.75	0.88	1.0	0.0	0.12	0.25	0.37	0.5	0.63	0.75	0.88	1.0	0.0	0.12	0.25	0.37	0.5	0.63	0.75	0.88	1.0	1.0	1.0	1.0	1.0	1.0	1.0	1.0	1.0	1.0	0.0	0.0	0.0	0.0	0.0	0.0		
	0.0	0.0	0.0	0.0	0.0	0.0	0.0	0.0	0.0	0.0	0.0	0.0	0.0	0.0	0.0	0.0	0.0	0.0	0.0	0.0	0.0	0.0	0.0	0.0	0.0	0.0	1.0	0.88	0.75	0.63	0.5	0.38	0.25	0.13	0.0	0.0	0.0	0.0	0.0</				

BAM-Registrierung: 20081001-Eg42/10L/L42G00NA.PS/.TXT BAM-Material: Code=th4ta
Anwendung für Beurteilung und Messung von Drucker- oder Monitorsystemen

Ein und Ausgabe:
Farbmetrisches Drucker-Reflektiv-System ORS19_96a
Daten für jede Farbe:

u^*_d und Nummer $Nr.$ = 00 .. 15

Geräte-Bunttontext:

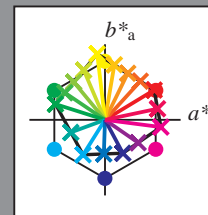
u^*_d = 16 Bunttoene $o00y$, $o25y$, ..., $m50o$

Kontrastreduzierungsfaktor:

$c_R = 1.0$

ORS19_96a; adaptierte CIELAB-Daten

u^*_d	$L^*=L^*_a$	a^*_a	b^*_a	$C^*_{ab,a}$	$h^*_{ab,a}$	u^*_e
$o00y$	48.75	65.07	39.43	76.08	31	$r08j$
$o25y$	59.04	46.67	51.1	69.21	48	$r33j$
$o50y$	68.32	30.09	61.62	68.58	64	$r57j$
$o75y$	78.23	12.39	72.85	73.9	80	$r81j$
$y00l$	90.92	-10.29	87.24	87.85	97	$j06g$
$y25l$	78.57	-28.11	65.75	71.51	113	$j29g$
$y50l$	69.46	-41.25	49.92	64.75	130	$j53g$
$y75l$	61.32	-52.99	35.76	63.92	146	$j76g$
$l00c$	52.69	-65.44	20.75	68.65	162	$g00b$
$l50c$	56.55	-45.12	-16.57	48.07	200	$g34b$
$c00v$	59.61	-28.98	-46.22	54.56	238	$g69b$
$c50v$	43.33	-1.54	-45.13	45.16	268	$g96b$
$v00m$	28.39	23.63	-44.13	50.06	298	$b23r$
$v50m$	36.9	43.84	-30.24	53.26	325	$b47r$
$m00o$	49.58	73.93	-9.56	74.55	353	$b71r$
$m50o$	49.17	69.55	14.68	71.08	12	$b88r$



%Umfang

$u^*_{rel} = 89$

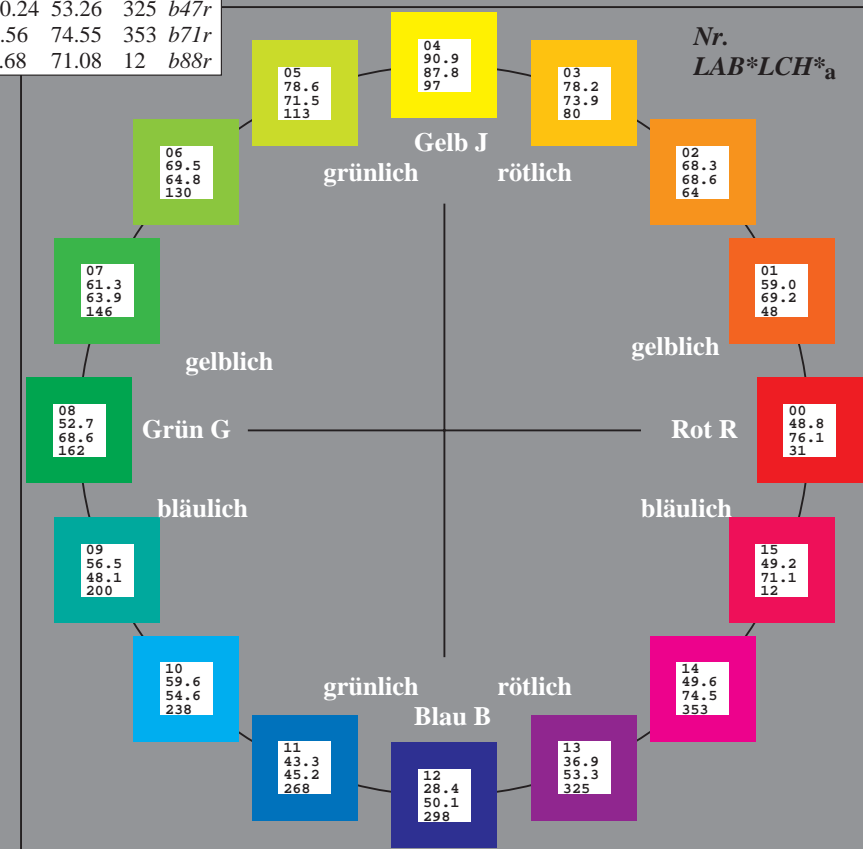
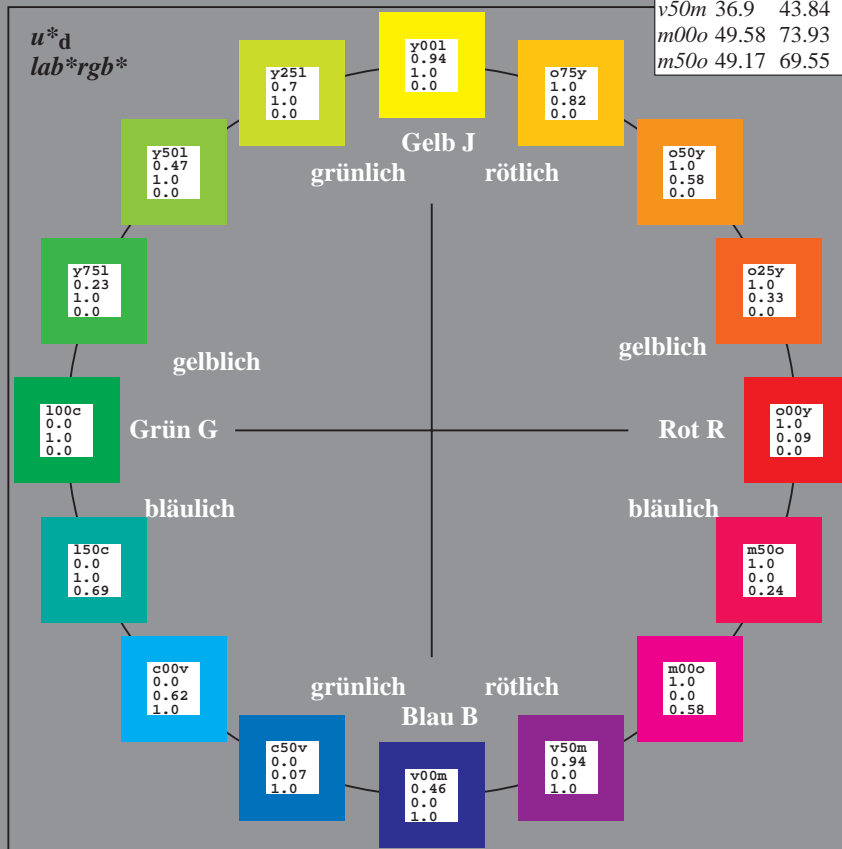
%Regularität

$g^*_{H,rel} = 72$

$g^*_{C,rel} = 57$

ORS19_96a; adaptierte CIELAB-Daten

Name	$L^*=L^*_a$	a^*_a	b^*_a	$C^*_{ab,a}$	$h^*_{ab,a}$
O_{Ma}	48.75	65.07	39.43	76.08	31
Y_{Ma}	90.92	-10.29	87.24	87.85	97
L_{Ma}	52.69	-65.44	20.75	68.65	162
C_{Ma}	59.61	-28.98	-46.22	54.56	238
V_{Ma}	28.39	23.63	-44.13	50.06	298
M_{Ma}	49.58	73.93	-9.56	74.55	353
N_{Ma}	18.89	0.0	0.0	0.0	0
W_{Ma}	96.9	0.0	0.0	0.0	0
O_{CIE}	39.92	58.74	27.99	65.07	25
Y_{CIE}	81.26	-2.89	71.56	71.62	92
L_{CIE}	52.23	-42.42	13.6	44.55	162
V_{CIE}	30.57	1.41	-46.47	46.49	272



Ein und Ausgabe: Farbmimetrisches Drucker-Reflektiv-System ORS19_96a für relativen CIELAB-Buntton $h^* = lab^*h^* = h_{ab}/360 = 0.087$

Daten für jede Farbe:

lab^*tch^* und lab^*icu^*

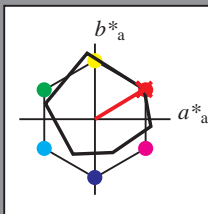
Bunttontexte:

$u^*_d = o00y$ $u^*_e = r08j$

Kontrastreduzierungsfaktor:

$c_R = 1.0$

Dreiecks-Helligkeit t^*



ORS19_96a; adaptierte CIELAB-Daten

u^*_d	$L^*=L^*_a$	a^*_a	b^*_a	$C^*_{ab,a}$	$h^*_{ab,a}$
O _{Ma}	48.75	65.07	39.43	76.08	31
Y _{Ma}	90.92	-10.29	87.24	87.85	97
L _{Ma}	52.69	-65.44	20.75	68.65	162
C _{Ma}	59.61	-28.98	-46.22	54.56	238
V _{Ma}	28.39	23.63	-44.13	50.06	298
M _{Ma}	49.58	73.93	-9.56	74.55	353
N _{Ma}	18.89	0.0	0.0	0.0	0
W _{Ma}	96.9	0.0	0.0	0.0	0
O _{Ma}	39.92	58.74	27.99	65.07	25
Y _{Ma}	81.26	-2.89	71.56	71.62	92
L _{Ma}	52.23	-42.42	13.6	44.55	162
V _{Ma}	30.57	1.41	-46.47	46.49	272

Daten für Maximalfarbe (Ma):

$LAB^*LAB^*_{Ma}$: 49 65 39

$LAB^*LCH^*_{Ma}$: 49 76 31

$lab^*olv^*_{Ma}$: 1.0 0.0 0.0

$lab^*rgb^*_{Ma}$: 1.0 0.09 0.0

Dreiecks-Helligkeit t^*

%Umfang

$u^*_{rel} = 89$

%Regularität

$g^*_{H,rel} = 72$

$g^*_{C,rel} = 57$

ORS19_96a; adaptierte CIELAB-Daten

u^*_d	$L^*=L^*_a$	a^*_a	b^*_a	$C^*_{ab,a}$	$h^*_{ab,a}$	u^*_e
$o00y$	48.75	65.07	39.43	76.08	31	$r08j$
$o25y$	59.04	46.67	51.1	69.21	48	$r33j$
$o50y$	68.32	30.09	61.62	68.58	64	$r57j$
$o75y$	78.23	12.39	72.85	73.9	80	$r81j$
$y00l$	90.92	-10.29	87.24	87.85	97	$j06g$
$y25l$	78.57	-28.11	65.75	71.51	113	$j29g$
$y50l$	69.46	-41.25	49.92	64.75	130	$j53g$
$y75l$	61.32	-52.99	35.76	63.92	146	$j76g$
$l00c$	52.69	-65.44	20.75	68.65	162	$g00b$
$l50c$	56.55	-45.12	-16.57	48.07	200	$g34b$
$c00v$	59.61	-28.98	-46.22	54.56	238	$g69b$
$c50v$	43.33	-1.54	-45.13	45.16	268	$g96b$
$v00m$	28.39	23.63	-44.13	50.06	298	$b23r$
$v50m$	36.9	43.84	-30.24	53.26	325	$b47r$
$m00o$	49.58	73.93	-9.56	74.55	353	$b71r$
$m50o$	49.17	69.55	14.68	71.08	12	$b88r$

lab^*rgb^*

$i^* = 1.00$

Brillantheit i^*

$i^* = 0.80$

$i^* = 0.60$

$i^* = 0.40$

$i^* = 0.20$

$i^* = 0.00$

relative Bunttheit c^*

relative Bunttheit c^*

Daten für jede Farbe:

*lab*tch** und *lab*icu**

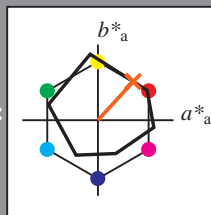
Bunttexte:

$$u^*_d = 0.25y \quad u^*_e = 0.33j$$

Kontrastreduzierungsfaktor:

 $c_R = 1.0$

Dreiecks-Helligkeit t^*



ORS19 96a; adaptierte CIELAB-Daten						
u^*_d	$L^*=L^*_a$	a^*_a	b^*_a	$C^*_{ab,a}$	$h^*_{ab,a}$	
O _{Ma}	48.75	65.07	39.43	76.08	31	
Y _{Ma}	90.92	-10.29	87.24	87.85	97	
L _{Ma}	52.69	-65.44	20.75	68.65	162	
C _{Ma}	59.61	-28.98	-46.22	54.56	238	
V _{Ma}	28.39	23.63	-44.13	50.06	298	
M _{Ma}	49.58	73.93	-9.56	74.55	353	
N _{Ma}	18.89	0.0	0.0	0.0	0	
W _{Ma}	96.9	0.0	0.0	0.0	0	
O _{Ma}	39.92	58.74	27.99	65.07	25	
Y _{Ma}	81.26	-2.89	71.56	71.62	92	
L _{Ma}	52.23	-42.42	13.6	44.55	162	
V _{Ma}	30.57	1.41	-46.47	46.49	272	

Daten für Maximalfarbe (Ma):

*LAB*LAB**_{Ma}: 59 47 51

*LAB*ICH**M: 59 69 47

LAB*LCH*Ma: 59 69 47

*lab*olv*_Ma: 1.0 0.25 0.0*

*lab*rgb*_Ma: 1.0 0.33 0.0*

Dreiecks-Helligkeit t^*

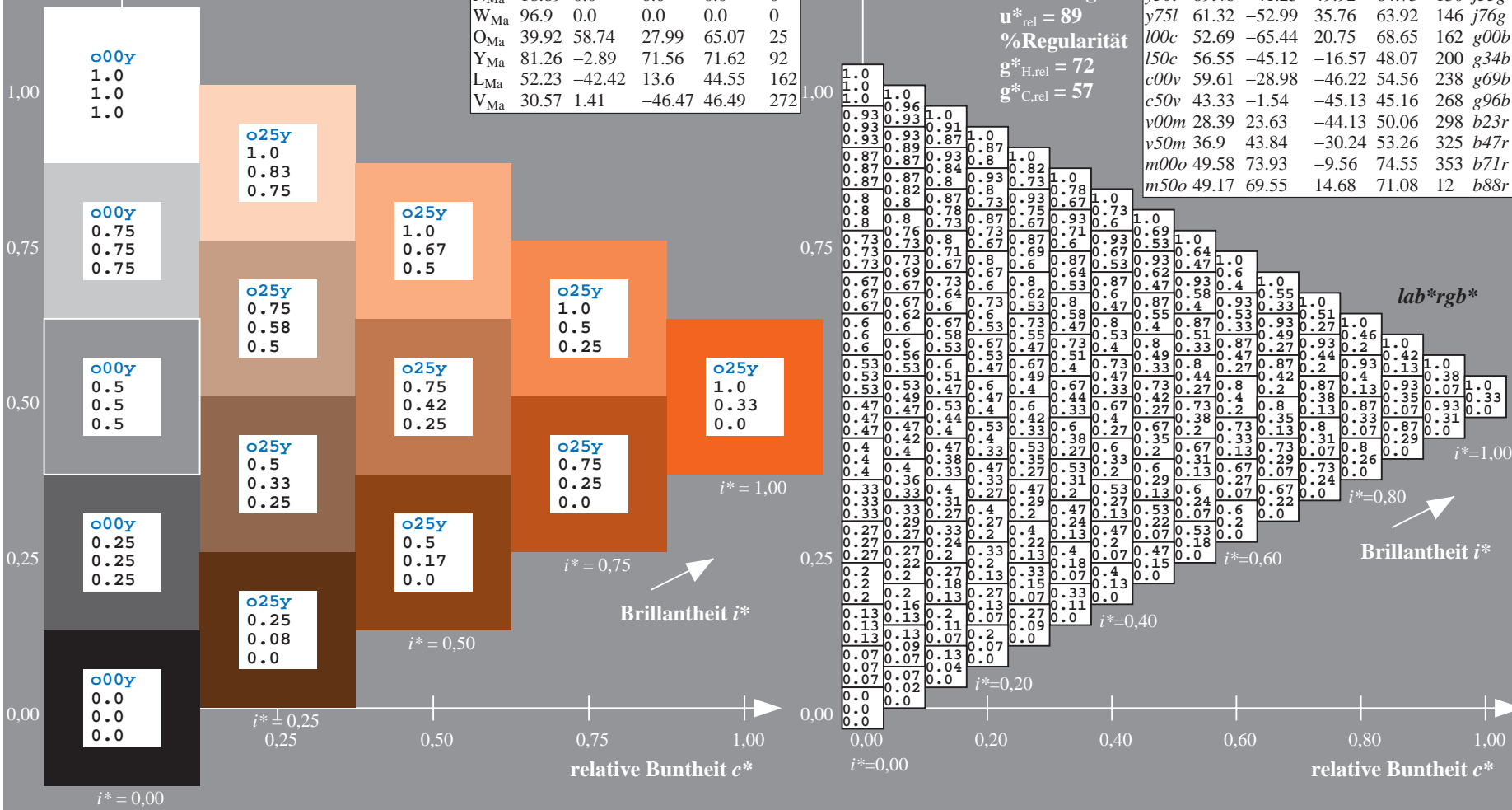
%Umfang

$$\mathbf{u}_{\text{rel}}^* = 89$$

%Regularität

$$g^*_{H,rel} = 72$$
$$g^*_{C,rel} = 57$$

ORS19_96a; adaptierte CIELAB-Daten							
u_d^*	$L^*=L_a^*$	a_a^*	b_a^*	$C^*_{ab,a}$	$h^*_{ab,a}$	u_e^*	
<i>o00y</i>	48.75	65.07	39.43	76.08	31	<i>r08i</i>	
<i>o25y</i>	59.04	46.67	51.1	69.21	48	<i>r33j</i>	
<i>o50y</i>	68.32	30.09	61.62	68.58	64	<i>r57j</i>	
<i>o75y</i>	78.23	12.39	72.85	73.9	80	<i>r81j</i>	
<i>y00l</i>	90.92	-10.29	87.24	87.85	97	<i>j06g</i>	
<i>y25l</i>	78.57	-28.11	65.75	71.51	113	<i>j29g</i>	
<i>y50l</i>	69.46	-41.25	49.92	64.75	130	<i>j53g</i>	
<i>y75l</i>	61.32	-52.99	35.76	63.92	146	<i>j76g</i>	
<i>l00c</i>	52.69	-65.44	20.75	68.65	162	<i>g00b</i>	
<i>l50c</i>	56.55	-45.12	-16.57	48.07	200	<i>g34b</i>	
<i>c00v</i>	59.61	-28.98	-46.22	54.56	238	<i>g69b</i>	
<i>c50v</i>	43.33	-1.54	-45.13	45.16	268	<i>g96b</i>	
<i>v00m</i>	28.39	23.63	-44.13	50.06	298	<i>b23r</i>	
<i>v50m</i>	36.9	43.84	-30.24	53.26	325	<i>b47r</i>	
<i>m00o</i>	49.58	73.93	-9.56	74.55	353	<i>b71r</i>	
<i>m50o</i>	49.17	69.55	14.68	71.08	12	<i>b88r</i>	



BAM-Prüfvorlage Eg42; Farbmatrik-Systeme, Seite 129/270 Eingabe: 000n / w / nnn0 / www set...
4 Separationen, 9 Datentabellen für 16 Bunttöne o00y bis m75aAusgabe: ->cmyn6* setcmykcolor

BAM-Registrierung: 20081001-Egg42/10L/L42G00NA.PS/.TXT BAM-Material: Code=rha4ta
Anwendung für Beurteilung und Messung von Drucker- oder Monitorsystemen

Daten für jede Farbe:

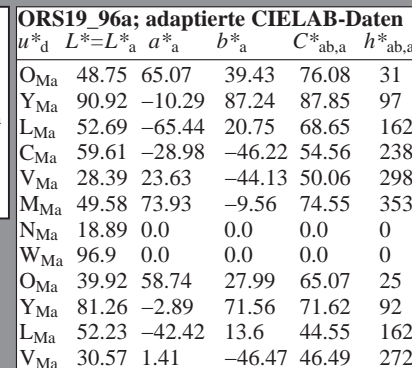
Bunttexte:

Kontrastreduzierungsfaktor:

 $c_{\text{R}} = 1.0$

K Dreiecks

Directs Strength:



*LAB*LAB*Me*: 68 30 62

LAD*LCU* 68 60 62

LABLCH**Ma: 68 69 6**

*lab*olv**Ma: 1.0 0.5 0.0

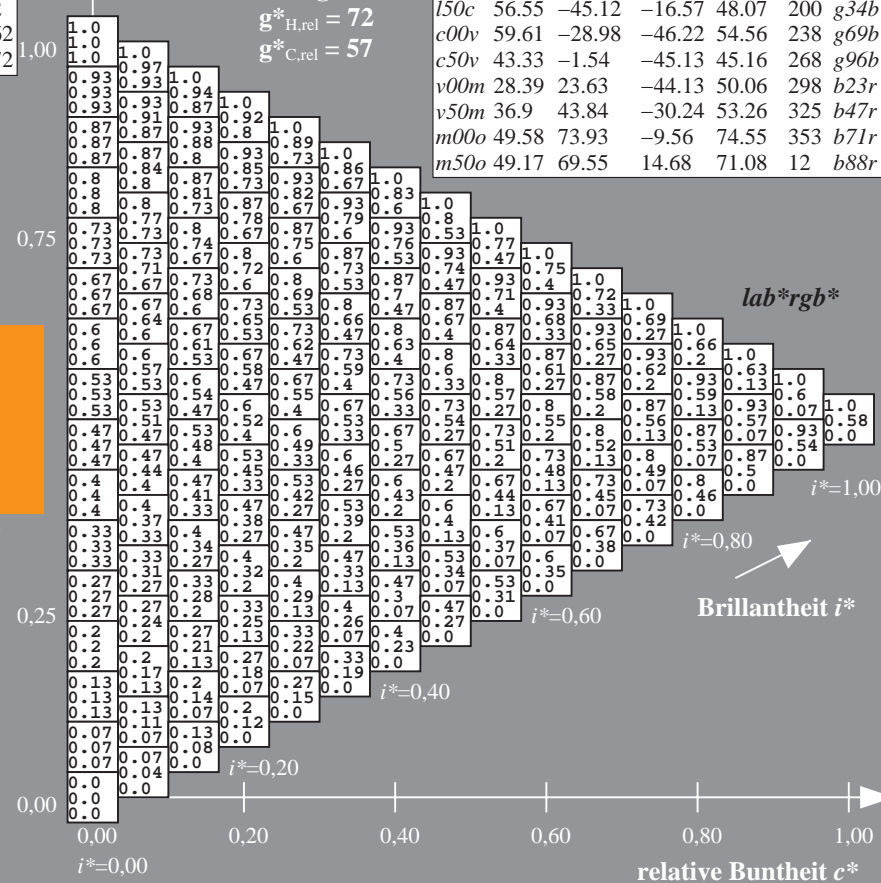
*lab*rgb*_{Ma}: 1.0 0.58 0.0

Dreiecks-Helligkeit t^*

%Umfang

$$u_{rel}^* = 89$$

%Regularität

$$g^*_{H,rel} = 72$$


*lab*rgb**

 $i^* = 1,00$

Brillantheit *i**

relative Buntheit c^*

BAM-Prüfvorlage Eg42; Farbmatrik-Systeme, Seite 130/270 Eingabe: 000n / w / nnn0 / www set...
4 Separationen, 9 Datentabellen für 16 Bunttöne o00y bis m75aAusgabe: ->cmyn6* setcmykcolor

BAM-Registrierung: 20081001-Eg42/10L/L42G00NA.PS/.TXT BAM-Material: Code=rha4ta
+ Anwendung für Beurteilung und Messung von Drucker- oder Monitorsystemen

Stiehe ähnliche Dateien: <http://www.ps.bam.de/Eg42/>; www.ps.bam.de/Eg.HTM
Technische Information: <http://www.ps.bam.de> Version 2.1, io=1,1, ColSp=1

Ein und Ausgabe: Farbmetrisches Drucker-Reflektiv-System ORS19_96a für relativen CIELAB-Buntton $h^* = lab^*h^* = h_{ab}/360 = 0.223$

Daten für jede Farbe:

lab^*tch^* und lab^*icu^*

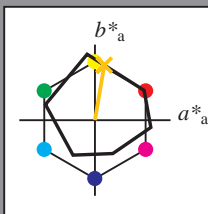
Bunttontexte:

$u^*_d = o75y$ $u^*_e = r81j$

Kontrastreduzierungsfaktor:

$c_R = 1.0$

Dreiecks-Helligkeit t^*



ORS19_96a; adaptierte CIELAB-Daten

u^*_d	$L^*=L^*_a$	a^*_a	b^*_a	$C^*_{ab,a}$	$h^*_{ab,a}$
O _{Ma}	48.75	65.07	39.43	76.08	31
Y _{Ma}	90.92	-10.29	87.24	87.85	97
L _{Ma}	52.69	-65.44	20.75	68.65	162
C _{Ma}	59.61	-28.98	-46.22	54.56	238
V _{Ma}	28.39	23.63	-44.13	50.06	298
M _{Ma}	49.58	73.93	-9.56	74.55	353
N _{Ma}	18.89	0.0	0.0	0.0	0
W _{Ma}	96.9	0.0	0.0	0.0	0
O _{Ma}	39.92	58.74	27.99	65.07	25
Y _{Ma}	81.26	-2.89	71.56	71.62	92
L _{Ma}	52.23	-42.42	13.6	44.55	162
V _{Ma}	30.57	1.41	-46.47	46.49	272

Daten für Maximalfarbe (Ma):

$LAB^*LAB^*_{Ma}$: 78 12 73

$LAB^*LCH^*_{Ma}$: 78 74 80

$lab^*olv^*_{Ma}$: 1.0 0.75 0.0

$lab^*rgb^*_{Ma}$: 1.0 0.82 0.0

Dreiecks-Helligkeit t^*

%Umfang

$u^*_{rel} = 89$

%Regularität

$g^*_{H,rel} = 72$

$g^*_{C,rel} = 57$

ORS19_96a; adaptierte CIELAB-Daten

u^*_d	$L^*=L^*_a$	a^*_a	b^*_a	$C^*_{ab,a}$	$h^*_{ab,a}$	u^*_e
o00y	48.75	65.07	39.43	76.08	31	r08j
o25y	59.04	46.67	51.1	69.21	48	r33j
o50y	68.32	30.09	61.62	68.58	64	r57j
o75y	78.23	12.39	72.85	73.9	80	r81j
y00l	90.92	-10.29	87.24	87.85	97	j06g
y25l	78.57	-28.11	65.75	71.51	113	j29g
y50l	69.46	-41.25	49.92	64.75	130	j53g
y75l	61.32	-52.99	35.76	63.92	146	j76g
l00c	52.69	-65.44	20.75	68.65	162	g00b
l50c	56.55	-45.12	-16.57	48.07	200	g34b
c00v	59.61	-28.98	-46.22	54.56	238	g69b
c50v	43.33	-1.54	-45.13	45.16	268	g96b
v00m	28.39	23.63	-44.13	50.06	298	b23r
v50m	36.9	43.84	-30.24	53.26	325	b47r
m00o	49.58	73.93	-9.56	74.55	353	b71r
m50o	49.17	69.55	14.68	71.08	12	b88r

lab^*rgb^*

$i^* = 1.00$

Brillantheit i^*

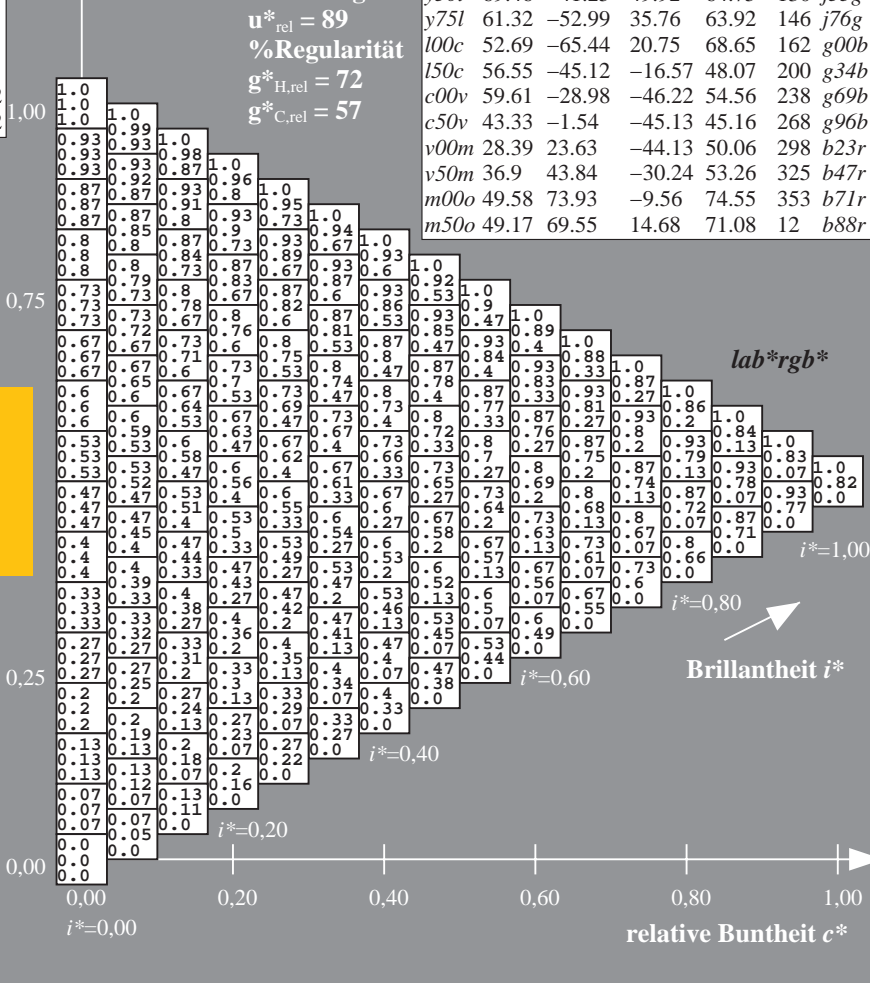
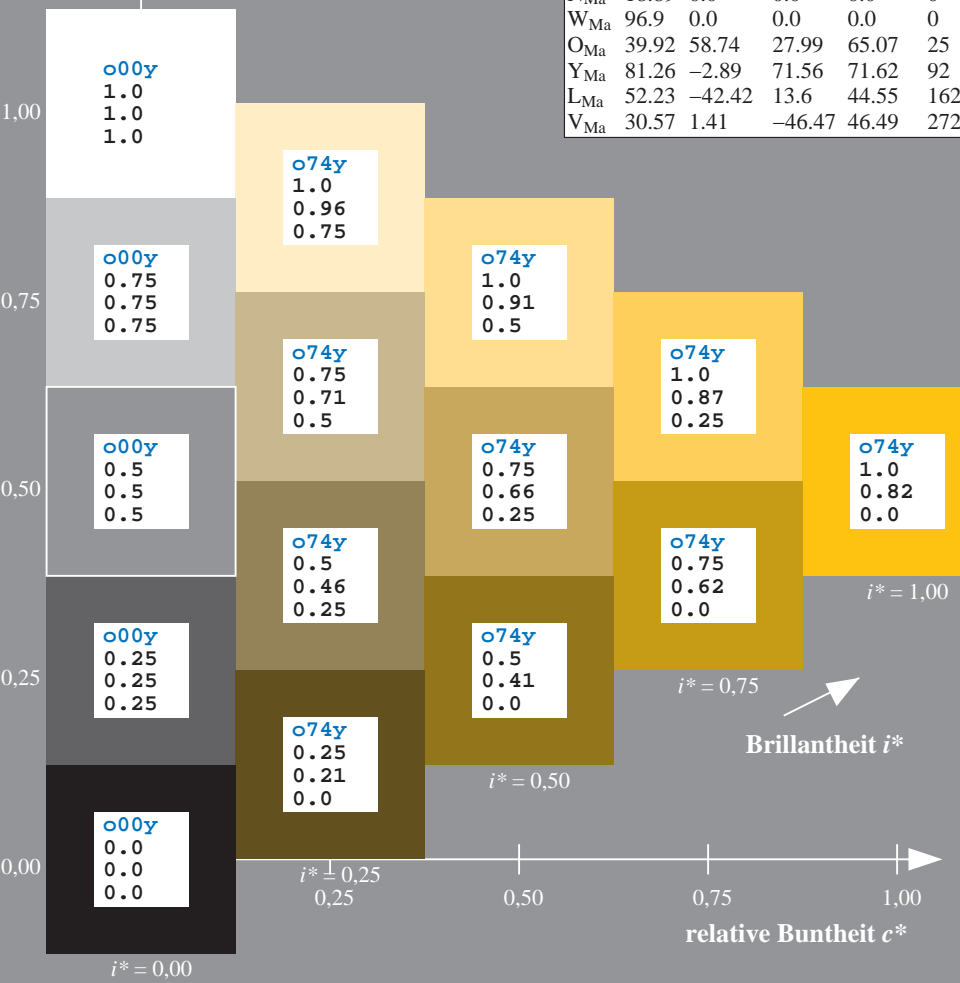
$i^* = 0.80$

$i^* = 0.60$

$i^* = 0.40$

$i^* = 0.20$

$i^* = 0.00$



Ein und Ausgabe: Farbmimetrisches Drucker-Reflektiv-System ORS19_96a für relativen CIELAB-Buntton $h^* = lab^*h^* = h_{ab}/360 = 0.269$

Daten für jede Farbe:

lab^*tch^* und lab^*icu^*

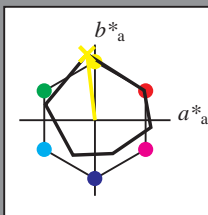
Bunttontexte:

$u^*_d = y00l$ $u^*_e = j06g$

Kontrastreduzierungsfaktor:

$c_R = 1.0$

Dreiecks-Helligkeit i^*



ORS19_96a; adaptierte CIELAB-Daten

u^*_d	$L^*=L^*_a$	a^*_a	b^*_a	$C^*_{ab,a}$	$h^*_{ab,a}$
O _{Ma}	48.75	65.07	39.43	76.08	31
Y _{Ma}	90.92	-10.29	87.24	87.85	97
L _{Ma}	52.69	-65.44	20.75	68.65	162
C _{Ma}	59.61	-28.98	-46.22	54.56	238
V _{Ma}	28.39	23.63	-44.13	50.06	298
M _{Ma}	49.58	73.93	-9.56	74.55	353
N _{Ma}	18.89	0.0	0.0	0.0	0
W _{Ma}	96.9	0.0	0.0	0.0	0
O _{Ma}	39.92	58.74	27.99	65.07	25
Y _{Ma}	81.26	-2.89	71.56	71.62	92
L _{Ma}	52.23	-42.42	13.6	44.55	162
V _{Ma}	30.57	1.41	-46.47	46.49	272

Daten für Maximalfarbe (Ma):

$LAB^*LAB^*_{Ma}$: 91 -10 87

$LAB^*LCH^*_{Ma}$: 91 88 96

$lab^*olv^*_{Ma}$: 1.0 1.0 0.0

$lab^*rgb^*_{Ma}$: 0.94 1.0 0.0

Dreiecks-Helligkeit i^*

%Umfang

$u^*_{rel} = 89$

%Regularität

$g^*_{H,rel} = 72$

$g^*_{C,rel} = 57$

ORS19_96a; adaptierte CIELAB-Daten

u^*_d	$L^*=L^*_a$	a^*_a	b^*_a	$C^*_{ab,a}$	$h^*_{ab,a}$	u^*_e
o00y	48.75	65.07	39.43	76.08	31	r08j
o25y	59.04	46.67	51.1	69.21	48	r33j
o50y	68.32	30.09	61.62	68.58	64	r57j
o75y	78.23	12.39	72.85	73.9	80	r81j
y00l	90.92	-10.29	87.24	87.85	97	j06g
y25l	78.57	-28.11	65.75	71.51	113	j29g
y50l	69.46	-41.25	49.92	64.75	130	j53g
y75l	61.32	-52.99	35.76	63.92	146	j76g
l00c	52.69	-65.44	20.75	68.65	162	g00b
l50c	56.55	-45.12	-16.57	48.07	200	g34b
c00v	59.61	-28.98	-46.22	54.56	238	g69b
c50v	43.33	-1.54	-45.13	45.16	268	g96b
v00m	28.39	23.63	-44.13	50.06	298	b23r
v50m	36.9	43.84	-30.24	53.26	325	b47r
m00o	49.58	73.93	-9.56	74.55	353	b71r
m50o	49.17	69.55	14.68	71.08	12	b88r

lab^*rgb^*

$i^* = 1.00$

Brillantheit i^*

$i^* = 0.80$

$i^* = 0.60$

$i^* = 0.40$

$i^* = 0.20$

$i^* = 0.00$

relative Buntheit c^*

relative Buntheit c^*

Ein und Ausgabe: Farbmimetrisches Drucker-Reflektiv-System ORS19_96a für relativen CIELAB-Buntton $h^* = lab^*h^* = h_{ab}/360 = 0.314$

Daten für jede Farbe:

lab^*tch^* und lab^*icu^*

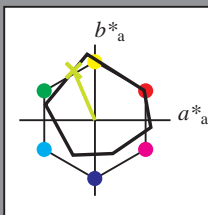
Bunttontexte:

$u^*_d = y25l$ $u^*_e = j29g$

Kontrastreduzierungsfaktor:

$c_R = 1.0$

Dreiecks-Helligkeit i^*



ORS19_96a; adaptierte CIELAB-Daten

u^*_d	$L^*=L^*_a$	a^*_a	b^*_a	$C^*_{ab,a}$	$h^*_{ab,a}$
O _{Ma}	48.75	65.07	39.43	76.08	31
Y _{Ma}	90.92	-10.29	87.24	87.85	97
L _{Ma}	52.69	-65.44	20.75	68.65	162
C _{Ma}	59.61	-28.98	-46.22	54.56	238
V _{Ma}	28.39	23.63	-44.13	50.06	298
M _{Ma}	49.58	73.93	-9.56	74.55	353
N _{Ma}	18.89	0.0	0.0	0.0	0
W _{Ma}	96.9	0.0	0.0	0.0	0
O _{Ma}	39.92	58.74	27.99	65.07	25
Y _{Ma}	81.26	-2.89	71.56	71.62	92
L _{Ma}	52.23	-42.42	13.6	44.55	162
V _{Ma}	30.57	1.41	-46.47	46.49	272

Daten für Maximalfarbe (Ma):

$LAB^*LAB^*_{Ma}$: 79 -28 66

$LAB^*LCH^*_{Ma}$: 79 72 113

$lab^*olv^*_{Ma}$: 0.75 1.0 0.0

$lab^*rgb^*_{Ma}$: 0.7 1.0 0.0

Dreiecks-Helligkeit i^*

%Umfang

$u^*_{rel} = 89$

%Regularität

$g^*_{H,rel} = 72$

$g^*_{C,rel} = 57$

ORS19_96a; adaptierte CIELAB-Daten

u^*_d	$L^*=L^*_a$	a^*_a	b^*_a	$C^*_{ab,a}$	$h^*_{ab,a}$	u^*_e
o00y	48.75	65.07	39.43	76.08	31	r08j
o25y	59.04	46.67	51.1	69.21	48	r33j
o50y	68.32	30.09	61.62	68.58	64	r57j
o75y	78.23	12.39	72.85	73.9	80	r81j
y00l	90.92	-10.29	87.24	87.85	97	j06g
y25l	78.57	-28.11	65.75	71.51	113	j29g
y50l	69.46	-41.25	49.92	64.75	130	j53g
y75l	61.32	-52.99	35.76	63.92	146	j76g
l00c	52.69	-65.44	20.75	68.65	162	g00b
l50c	56.55	-45.12	-16.57	48.07	200	g34b
c00v	59.61	-28.98	-46.22	54.56	238	g69b
c50v	43.33	-1.54	-45.13	45.16	268	g96b
v00m	28.39	23.63	-44.13	50.06	298	b23r
v50m	36.9	43.84	-30.24	53.26	325	b47r
m00o	49.58	73.93	-9.56	74.55	353	b71r
m50o	49.17	69.55	14.68	71.08	12	b88r

lab^*rgb^*

$i^* = 1.00$

Brillantheit i^*

$i^* = 0.80$

$i^* = 0.60$

$i^* = 0.40$

$i^* = 0.20$

$i^* = 0.00$

Ein und Ausgabe: Farbmetrisches Drucker-Reflektiv-System ORS19_96a für relativen CIELAB-Buntton $h^* = lab^*h^* = h_{ab}/360 = 0.36$

Daten für jede Farbe:

lab^*tch^* und lab^*icu^*

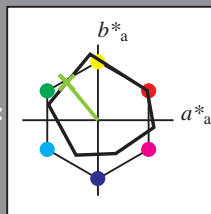
Bunttontexte:

$u^*_d = y50l$ $u^*_e = j53g$

Kontrastreduzierungsfaktor:

$c_R = 1.0$

Dreiecks-Helligkeit i^*



ORS19_96a; adaptierte CIELAB-Daten

u^*_d	$L^*=L^*_a$	a^*_a	b^*_a	$C^*_{ab,a}$	$h^*_{ab,a}$
O _{Ma}	48.75	65.07	39.43	76.08	31
Y _{Ma}	90.92	-10.29	87.24	87.85	97
L _{Ma}	52.69	-65.44	20.75	68.65	162
C _{Ma}	59.61	-28.98	-46.22	54.56	238
V _{Ma}	28.39	23.63	-44.13	50.06	298
M _{Ma}	49.58	73.93	-9.56	74.55	353
N _{Ma}	18.89	0.0	0.0	0.0	0
W _{Ma}	96.9	0.0	0.0	0.0	0
O _{Ma}	39.92	58.74	27.99	65.07	25
Y _{Ma}	81.26	-2.89	71.56	71.62	92
L _{Ma}	52.23	-42.42	13.6	44.55	162
V _{Ma}	30.57	1.41	-46.47	46.49	272

Daten für Maximalfarbe (Ma):

$LAB^*LAB^*_{Ma}$: 69 -41 50

$LAB^*LCH^*_{Ma}$: 69 65 129

$lab^*olv^*_{Ma}$: 0.5 1.0 0.0

$lab^*rgb^*_{Ma}$: 0.47 1.0 0.0

Dreiecks-Helligkeit i^*

%Umfang

$u^*_{rel} = 89$

%Regularität

$g^*_{H,rel} = 72$

$g^*_{C,rel} = 57$

ORS19_96a; adaptierte CIELAB-Daten

u^*_d	$L^*=L^*_a$	a^*_a	b^*_a	$C^*_{ab,a}$	$h^*_{ab,a}$	u^*_e
o00y	48.75	65.07	39.43	76.08	31	r08j
o25y	59.04	46.67	51.1	69.21	48	r33j
o50y	68.32	30.09	61.62	68.58	64	r57j
o75y	78.23	12.39	72.85	73.9	80	r81j
y00l	90.92	-10.29	87.24	87.85	97	j06g
y25l	78.57	-28.11	65.75	71.51	113	j29g
y50l	69.46	-41.25	49.92	64.75	130	j53g
y75l	61.32	-52.99	35.76	63.92	146	j76g
l00c	52.69	-65.44	20.75	68.65	162	g00b
l50c	56.55	-45.12	-16.57	48.07	200	g34b
c00v	59.61	-28.98	-46.22	54.56	238	g69b
c50v	43.33	-1.54	-45.13	45.16	268	g96b
v00m	28.39	23.63	-44.13	50.06	298	b23r
v50m	36.9	43.84	-30.24	53.26	325	b47r
m00o	49.58	73.93	-9.56	74.55	353	b71r
m50o	49.17	69.55	14.68	71.08	12	b88r

lab^*rgb^*

$i^* = 1.00$

Brillantheit i^*

$i^* = 0.80$

$i^* = 0.60$

$i^* = 0.40$

$i^* = 0.20$

$i^* = 0.00$

Ein und Ausgabe: Farbmimetrisches Drucker-Reflektiv-System ORS19_96a für relativen CIELAB-Buntton $h^* = lab^*h^* = h_{ab}/360 = 0.406$

Daten für jede Farbe:

lab^*tch^* und lab^*icu^*

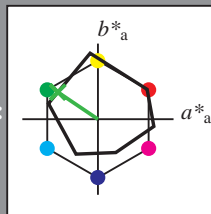
Bunttontexte:

$u^*_d = y75l$ $u^*_e = j76g$

Kontrastreduzierungsfaktor:

$c_R = 1.0$

Dreiecks-Helligkeit t^*



ORS19_96a; adaptierte CIELAB-Daten

u^*_d	$L^*=L^*_a$	a^*_a	b^*_a	$C^*_{ab,a}$	$h^*_{ab,a}$
O _{Ma}	48.75	65.07	39.43	76.08	31
Y _{Ma}	90.92	-10.29	87.24	87.85	97
L _{Ma}	52.69	-65.44	20.75	68.65	162
C _{Ma}	59.61	-28.98	-46.22	54.56	238
V _{Ma}	28.39	23.63	-44.13	50.06	298
M _{Ma}	49.58	73.93	-9.56	74.55	353
N _{Ma}	18.89	0.0	0.0	0.0	0
W _{Ma}	96.9	0.0	0.0	0.0	0
O _{Ma}	39.92	58.74	27.99	65.07	25
Y _{Ma}	81.26	-2.89	71.56	71.62	92
L _{Ma}	52.23	-42.42	13.6	44.55	162
V _{Ma}	30.57	1.41	-46.47	46.49	272

Daten für Maximalfarbe (Ma):

$LAB^*LAB^*_{Ma}$: 61 -53 36

$LAB^*LCH^*_{Ma}$: 61 64 145

$lab^*olv^*_{Ma}$: 0.25 1.0 0.0

$lab^*rgb^*_{Ma}$: 0.23 1.0 0.0

Dreiecks-Helligkeit t^*

%Umfang

$u^*_{rel} = 89$

%Regularität

$g^*_{H,rel} = 72$

$g^*_{C,rel} = 57$

ORS19_96a; adaptierte CIELAB-Daten

u^*_d	$L^*=L^*_a$	a^*_a	b^*_a	$C^*_{ab,a}$	$h^*_{ab,a}$	u^*_e
o00y	48.75	65.07	39.43	76.08	31	r08j
o25y	59.04	46.67	51.1	69.21	48	r33j
o50y	68.32	30.09	61.62	68.58	64	r57j
o75y	78.23	12.39	72.85	73.9	80	r81j
y00l	90.92	-10.29	87.24	87.85	97	j06g
y25l	78.57	-28.11	65.75	71.51	113	j29g
y50l	69.46	-41.25	49.92	64.75	130	j53g
y75l	61.32	-52.99	35.76	63.92	146	j76g
l00c	52.69	-65.44	20.75	68.65	162	g00b
l50c	56.55	-45.12	-16.57	48.07	200	g34b
c00v	59.61	-28.98	-46.22	54.56	238	g69b
c50v	43.33	-1.54	-45.13	45.16	268	g96b
v00m	28.39	23.63	-44.13	50.06	298	b23r
v50m	36.9	43.84	-30.24	53.26	325	b47r
m00o	49.58	73.93	-9.56	74.55	353	b71r
m50o	49.17	69.55	14.68	71.08	12	b88r

lab^*rgb^*

$i^* = 1.00$

Brillantheit i^*

$i^* = 0.80$

$i^* = 0.60$

$i^* = 0.40$

$i^* = 0.20$

$i^* = 0.00$

Ein und Ausgabe: Farbmimetrisches Drucker-Reflektiv-System ORS19_96a für relativen CIELAB-Buntton $h^* = lab^*h^* = h_{ab}/360 = 0.451$

Daten für jede Farbe:

lab^*tch^* und lab^*icu^*

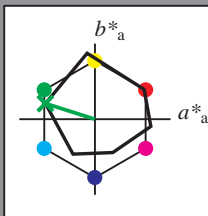
Bunttontexte:

$u^*_d = 100c$ $u^*_e = g00b$

Kontrastreduzierungsfaktor:

$c_R = 1.0$

Dreiecks-Helligkeit t^*



ORS19_96a; adaptierte CIELAB-Daten

u^*_d	$L^*=L^*_a$	a^*_a	b^*_a	$C^*_{ab,a}$	$h^*_{ab,a}$
O _{Ma}	48.75	65.07	39.43	76.08	31
Y _{Ma}	90.92	-10.29	87.24	87.85	97
L _{Ma}	52.69	-65.44	20.75	68.65	162
C _{Ma}	59.61	-28.98	-46.22	54.56	238
V _{Ma}	28.39	23.63	-44.13	50.06	298
M _{Ma}	49.58	73.93	-9.56	74.55	353
N _{Ma}	18.89	0.0	0.0	0.0	0
W _{Ma}	96.9	0.0	0.0	0.0	0
O _{Ma}	39.92	58.74	27.99	65.07	25
Y _{Ma}	81.26	-2.89	71.56	71.62	92
L _{Ma}	52.23	-42.42	13.6	44.55	162
V _{Ma}	30.57	1.41	-46.47	46.49	272

Daten für Maximalfarbe (Ma):

$LAB^*LAB^*_{Ma}$: 53 -65 21

$LAB^*LCH^*_{Ma}$: 53 69 162

$lab^*olv^*_{Ma}$: 0.0 1.0 0.0

$lab^*rgb^*_{Ma}$: 0.0 1.0 0.0

Dreiecks-Helligkeit t^*

%Umfang

$u^*_{rel} = 89$

%Regularität

$g^*_{H,rel} = 72$

$g^*_{C,rel} = 57$

ORS19_96a; adaptierte CIELAB-Daten

u^*_d	$L^*=L^*_a$	a^*_a	b^*_a	$C^*_{ab,a}$	$h^*_{ab,a}$	u^*_e
o00y	48.75	65.07	39.43	76.08	31	r08j
o25y	59.04	46.67	51.1	69.21	48	r33j
o50y	68.32	30.09	61.62	68.58	64	r57j
o75y	78.23	12.39	72.85	73.9	80	r81j
y00l	90.92	-10.29	87.24	87.85	97	j06g
y25l	78.57	-28.11	65.75	71.51	113	j29g
y50l	69.46	-41.25	49.92	64.75	130	j53g
y75l	61.32	-52.99	35.76	63.92	146	j76g
l00c	52.69	-65.44	20.75	68.65	162	g00b
l50c	56.55	-45.12	-16.57	48.07	200	g34b
c00v	59.61	-28.98	-46.22	54.56	238	g69b
c50v	43.33	-1.54	-45.13	45.16	268	g96b
v00m	28.39	23.63	-44.13	50.06	298	b23r
v50m	36.9	43.84	-30.24	53.26	325	b47r
m00o	49.58	73.93	-9.56	74.55	353	b71r
m50o	49.17	69.55	14.68	71.08	12	b88r

lab^*rgb^*

$i^* = 1.00$

Brillantheit i^*

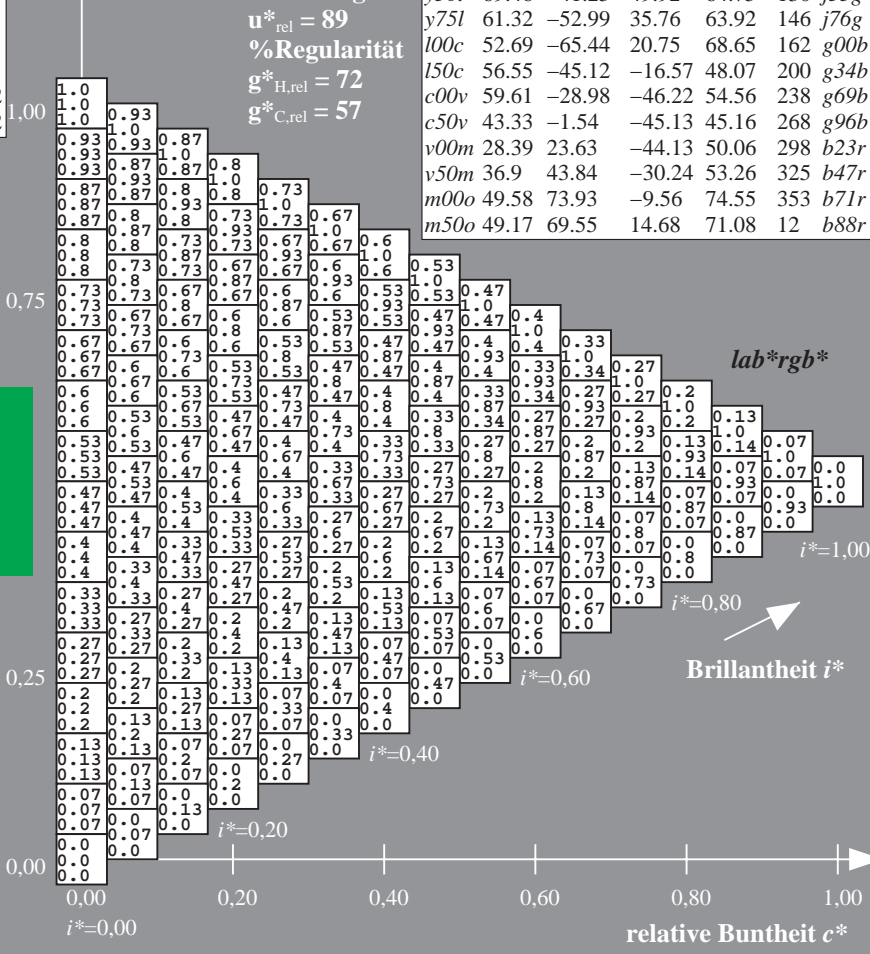
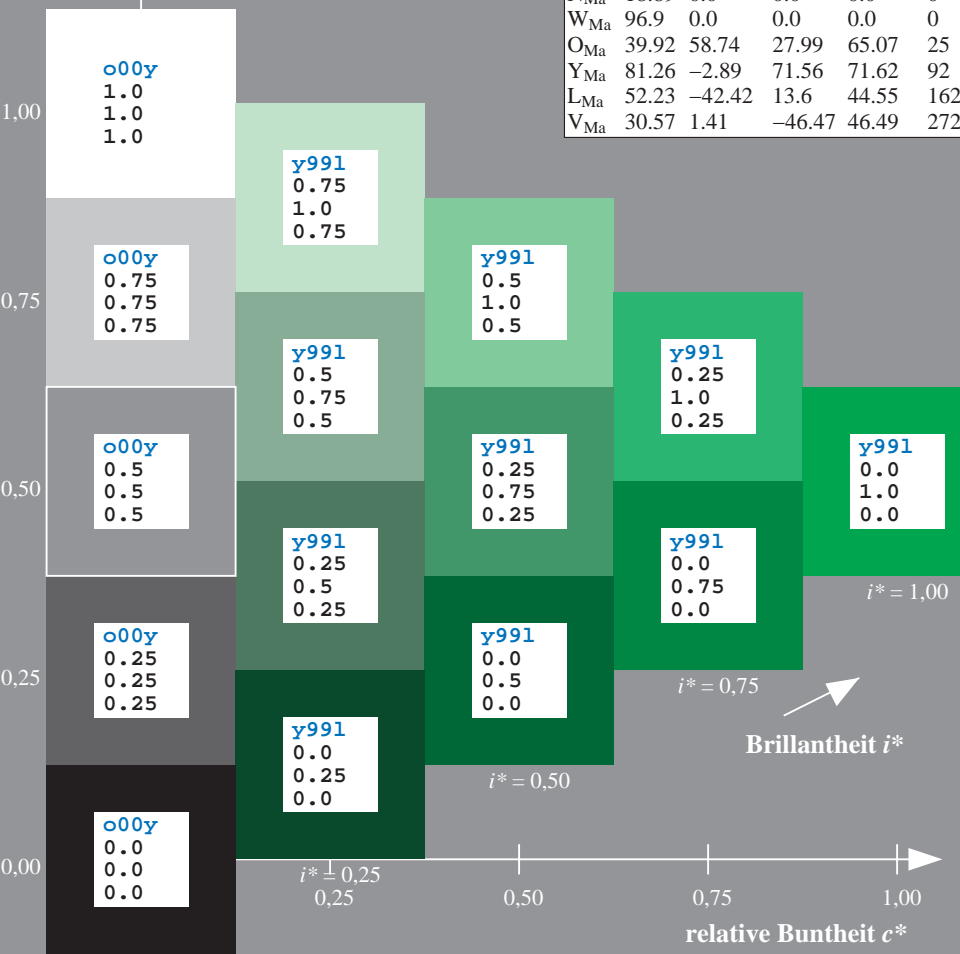
$i^* = 0.80$

$i^* = 0.60$

$i^* = 0.40$

$i^* = 0.20$

$i^* = 0.00$



Ein und Ausgabe: Farbmimetrisches Drucker-Reflektiv-System ORS19_96a für relativen CIELAB-Buntton $h^* = lab^*h^* = h_{ab}/360 = 0.556$

Daten für jede Farbe:

lab^*tch^* und lab^*icu^*

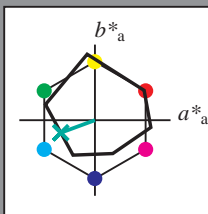
Bunttontexte:

$u^*_d = 150c$ $u^*_e = g34b$

Kontrastreduzierungsfaktor:

$c_R = 1.0$

Dreiecks-Helligkeit i^*



ORS19_96a; adaptierte CIELAB-Daten

u^*_d	$L^*=L^*_a$	a^*_a	b^*_a	$C^*_{ab,a}$	$h^*_{ab,a}$
O _{Ma}	48.75	65.07	39.43	76.08	31
Y _{Ma}	90.92	-10.29	87.24	87.85	97
L _{Ma}	52.69	-65.44	20.75	68.65	162
C _{Ma}	59.61	-28.98	-46.22	54.56	238
V _{Ma}	28.39	23.63	-44.13	50.06	298
M _{Ma}	49.58	73.93	-9.56	74.55	353
N _{Ma}	18.89	0.0	0.0	0.0	0
W _{Ma}	96.9	0.0	0.0	0.0	0
O _{Ma}	39.92	58.74	27.99	65.07	25
Y _{Ma}	81.26	-2.89	71.56	71.62	92
L _{Ma}	52.23	-42.42	13.6	44.55	162
V _{Ma}	30.57	1.41	-46.47	46.49	272

Daten für Maximalfarbe (Ma):

$LAB^*LAB^*_{Ma}$: 57 -45 -17

$LAB^*LCH^*_{Ma}$: 57 48 200

$lab^*olv^*_{Ma}$: 0.0 1.0 0.5

$lab^*rgb^*_{Ma}$: 0.0 1.0 0.69

Dreiecks-Helligkeit i^*

%Umfang

$u^*_{rel} = 89$

%Regularität

$g^*_{H,rel} = 72$

$g^*_{C,rel} = 57$

ORS19_96a; adaptierte CIELAB-Daten

u^*_d	$L^*=L^*_a$	a^*_a	b^*_a	$C^*_{ab,a}$	$h^*_{ab,a}$	u^*_e
o00y	48.75	65.07	39.43	76.08	31	r08j
o25y	59.04	46.67	51.1	69.21	48	r33j
o50y	68.32	30.09	61.62	68.58	64	r57j
o75y	78.23	12.39	72.85	73.9	80	r81j
y00l	90.92	-10.29	87.24	87.85	97	j06g
y25l	78.57	-28.11	65.75	71.51	113	j29g
y50l	69.46	-41.25	49.92	64.75	130	j53g
y75l	61.32	-52.99	35.76	63.92	146	j76g
l00c	52.69	-65.44	20.75	68.65	162	g00b
l50c	56.55	-45.12	-16.57	48.07	200	g34b
c00v	59.61	-28.98	-46.22	54.56	238	g69b
c50v	43.33	-1.54	-45.13	45.16	268	g96b
v00m	28.39	23.63	-44.13	50.06	298	b23r
v50m	36.9	43.84	-30.24	53.26	325	b47r
m00o	49.58	73.93	-9.56	74.55	353	b71r
m50o	49.17	69.55	14.68	71.08	12	b88r

lab^*rgb^*

$i^* = 1.00$

Brillantheit i^*

$i^* = 0.80$

$i^* = 0.60$

$i^* = 0.40$

$i^* = 0.20$

$i^* = 0.00$

Ein und Ausgabe: Farbmimetrisches Drucker-Reflektiv-System ORS19_96a für relativen CIELAB-Buntton $h^* = lab^*h^* = h_{ab}/360 = 0.661$

Daten für jede Farbe:

lab^*tch^* und lab^*icu^*

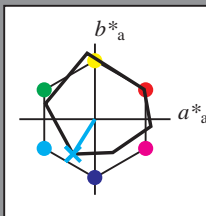
Bunttontexte:

$u^*_d = c00v$ $u^*_e = g69b$

Kontrastreduzierungsfaktor:

$c_R = 1.0$

Dreiecks-Helligkeit i^*



ORS19_96a; adaptierte CIELAB-Daten

u^*_d	$L^*=L^*_a$	a^*_a	b^*_a	$C^*_{ab,a}$	$h^*_{ab,a}$
O _{Ma}	48.75	65.07	39.43	76.08	31
Y _{Ma}	90.92	-10.29	87.24	87.85	97
L _{Ma}	52.69	-65.44	20.75	68.65	162
C _{Ma}	59.61	-28.98	-46.22	54.56	238
V _{Ma}	28.39	23.63	-44.13	50.06	298
M _{Ma}	49.58	73.93	-9.56	74.55	353
N _{Ma}	18.89	0.0	0.0	0.0	0
W _{Ma}	96.9	0.0	0.0	0.0	0
O _{Ma}	39.92	58.74	27.99	65.07	25
Y _{Ma}	81.26	-2.89	71.56	71.62	92
L _{Ma}	52.23	-42.42	13.6	44.55	162
V _{Ma}	30.57	1.41	-46.47	46.49	272

Daten für Maximalfarbe (Ma):

$LAB^*LAB^*_{Ma}$: 60 -29 -46

$LAB^*LCH^*_{Ma}$: 60 55 237

$lab^*olv^*_{Ma}$: 0.0 1.0 1.0

$lab^*rgb^*_{Ma}$: 0.0 0.62 1.0

Dreiecks-Helligkeit i^*

%Umfang

$u^*_{rel} = 89$

%Regularität

$g^*_{H,rel} = 72$

$g^*_{C,rel} = 57$

ORS19_96a; adaptierte CIELAB-Daten

u^*_d	$L^*=L^*_a$	a^*_a	b^*_a	$C^*_{ab,a}$	$h^*_{ab,a}$	u^*_e
o00y	48.75	65.07	39.43	76.08	31	r08j
o25y	59.04	46.67	51.1	69.21	48	r33j
o50y	68.32	30.09	61.62	68.58	64	r57j
o75y	78.23	12.39	72.85	73.9	80	r81j
y00l	90.92	-10.29	87.24	87.85	97	j06g
y25l	78.57	-28.11	65.75	71.51	113	j29g
y50l	69.46	-41.25	49.92	64.75	130	j53g
y75l	61.32	-52.99	35.76	63.92	146	j76g
l00c	52.69	-65.44	20.75	68.65	162	g00b
l50c	56.55	-45.12	-16.57	48.07	200	g34b
c00v	59.61	-28.98	-46.22	54.56	238	g69b
c50v	43.33	-1.54	-45.13	45.16	268	g96b
v00m	28.39	23.63	-44.13	50.06	298	b23r
v50m	36.9	43.84	-30.24	53.26	325	b47r
m00o	49.58	73.93	-9.56	74.55	353	b71r
m50o	49.17	69.55	14.68	71.08	12	b88r

lab^*rgb^*

$i^* = 1.00$

Brillantheit i^*

$i^* = 0.80$

$i^* = 0.60$

$i^* = 0.40$

$i^* = 0.20$

$i^* = 0.00$

relative Buntheit c^*

relative Buntheit c^*

Ein und Ausgabe: Farbmetrisches Drucker-Reflektiv-System ORS19_96a für relativen CIELAB-Buntton $h^* = \text{lab}^*h^* = h_{ab}/360 = 0.745$

Daten für jede Farbe:

lab^*tch^* und lab^*icu^*

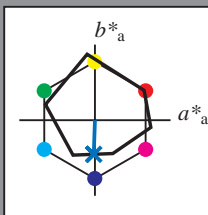
Bunttontexte:

$u^*_d = c50v$ $u^*_e = g96b$

Kontrastreduzierungsfaktor:

$c_R = 1.0$

Dreiecks-Helligkeit i^*



ORS19_96a; adaptierte CIELAB-Daten

u^*_d	$L^*=L^*_a$	a^*_a	b^*_a	$C^*_{ab,a}$	$h^*_{ab,a}$
O _{Ma}	48.75	65.07	39.43	76.08	31
Y _{Ma}	90.92	-10.29	87.24	87.85	97
L _{Ma}	52.69	-65.44	20.75	68.65	162
C _{Ma}	59.61	-28.98	-46.22	54.56	238
V _{Ma}	28.39	23.63	-44.13	50.06	298
M _{Ma}	49.58	73.93	-9.56	74.55	353
N _{Ma}	18.89	0.0	0.0	0.0	0
W _{Ma}	96.9	0.0	0.0	0.0	0
O _{Ma}	39.92	58.74	27.99	65.07	25
Y _{Ma}	81.26	-2.89	71.56	71.62	92
L _{Ma}	52.23	-42.42	13.6	44.55	162
V _{Ma}	30.57	1.41	-46.47	46.49	272

Daten für Maximalfarbe (Ma):

$\text{LAB}^*\text{LAB}^*_{Ma}$: 43 -2 -45

$\text{LAB}^*\text{LCH}^*_{Ma}$: 43 45 268

$\text{lab}^*\text{olv}^*_{Ma}$: 0.0 0.5 1.0

$\text{lab}^*\text{rgb}^*_{Ma}$: 0.0 0.07 1.0

Dreiecks-Helligkeit i^*

%Umfang

$u^*_{rel} = 89$

%Regularität

$g^*_{H,rel} = 72$

$g^*_{C,rel} = 57$

ORS19_96a; adaptierte CIELAB-Daten

u^*_d	$L^*=L^*_a$	a^*_a	b^*_a	$C^*_{ab,a}$	$h^*_{ab,a}$	u^*_e
o00y	48.75	65.07	39.43	76.08	31	r08j
o25y	59.04	46.67	51.1	69.21	48	r33j
o50y	68.32	30.09	61.62	68.58	64	r57j
o75y	78.23	12.39	72.85	73.9	80	r81j
y00l	90.92	-10.29	87.24	87.85	97	j06g
y25l	78.57	-28.11	65.75	71.51	113	j29g
y50l	69.46	-41.25	49.92	64.75	130	j53g
y75l	61.32	-52.99	35.76	63.92	146	j76g
l00c	52.69	-65.44	20.75	68.65	162	g00b
l50c	56.55	-45.12	-16.57	48.07	200	g34b
c00v	59.61	-28.98	-46.22	54.56	238	g69b
c50v	43.33	-1.54	-45.13	45.16	268	g96b
v00m	28.39	23.63	-44.13	50.06	298	b23r
v50m	36.9	43.84	-30.24	53.26	325	b47r
m00o	49.58	73.93	-9.56	74.55	353	b71r
m50o	49.17	69.55	14.68	71.08	12	b88r

lab^*rgb^*

$i^* = 1.00$

Brillantheit i^*

$i^* = 0.80$

$i^* = 0.60$

$i^* = 0.40$

$i^* = 0.20$

$i^* = 0.00$

relative Buntheit c^*

relative Buntheit c^*

Ein und Ausgabe: Farbmimetrisches Drucker-Reflektiv-System ORS19_96a für relativen CIELAB-Buntton $h^* = lab^*h^* = h_{ab}/360 = 0.828$

Daten für jede Farbe:

lab^*tch^* und lab^*icu^*

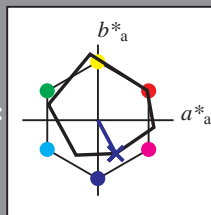
Bunttontexte:

$u^*_d = v00m$ $u^*_e = b23r$

Kontrastreduzierungsfaktor:

$c_R = 1.0$

Dreiecks-Helligkeit i^*



ORS19_96a; adaptierte CIELAB-Daten						
u^*_d	$L^*=L^*_a$	a^*_a	b^*_a	$C^*_{ab,a}$	$h^*_{ab,a}$	
O _{Ma}	48.75	65.07	39.43	76.08	31	
Y _{Ma}	90.92	-10.29	87.24	87.85	97	
L _{Ma}	52.69	-65.44	20.75	68.65	162	
C _{Ma}	59.61	-28.98	-46.22	54.56	238	
V _{Ma}	28.39	23.63	-44.13	50.06	298	
M _{Ma}	49.58	73.93	-9.56	74.55	353	
N _{Ma}	18.89	0.0	0.0	0.0	0	
W _{Ma}	96.9	0.0	0.0	0.0	0	
O _{Ma}	39.92	58.74	27.99	65.07	25	
Y _{Ma}	81.26	-2.89	71.56	71.62	92	
L _{Ma}	52.23	-42.42	13.6	44.55	162	
V _{Ma}	30.57	1.41	-46.47	46.49	272	

Daten für Maximalfarbe (Ma):

$LAB^*LAB^*_{Ma}$: 28 24 -44

$LAB^*LCH^*_{Ma}$: 28 50 298

$lab^*olv^*_{Ma}$: 0.0 0.0 1.0

$lab^*rgb^*_{Ma}$: 0.46 0.0 1.0

Dreiecks-Helligkeit i^*

%Umfang

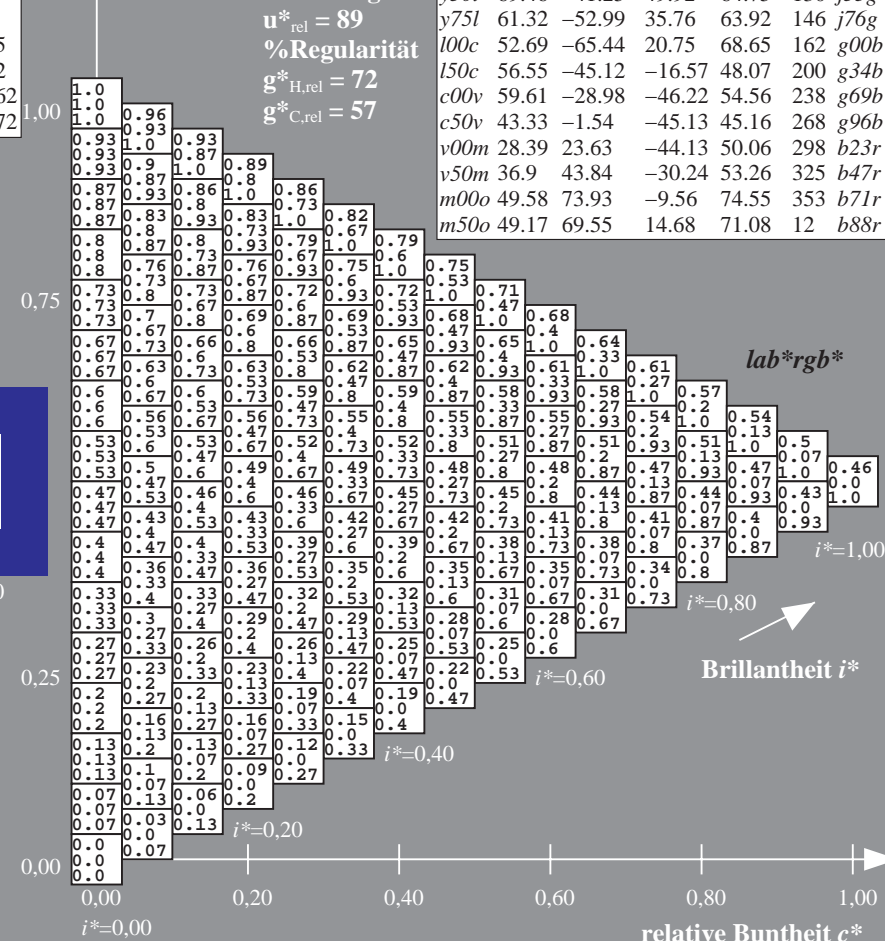
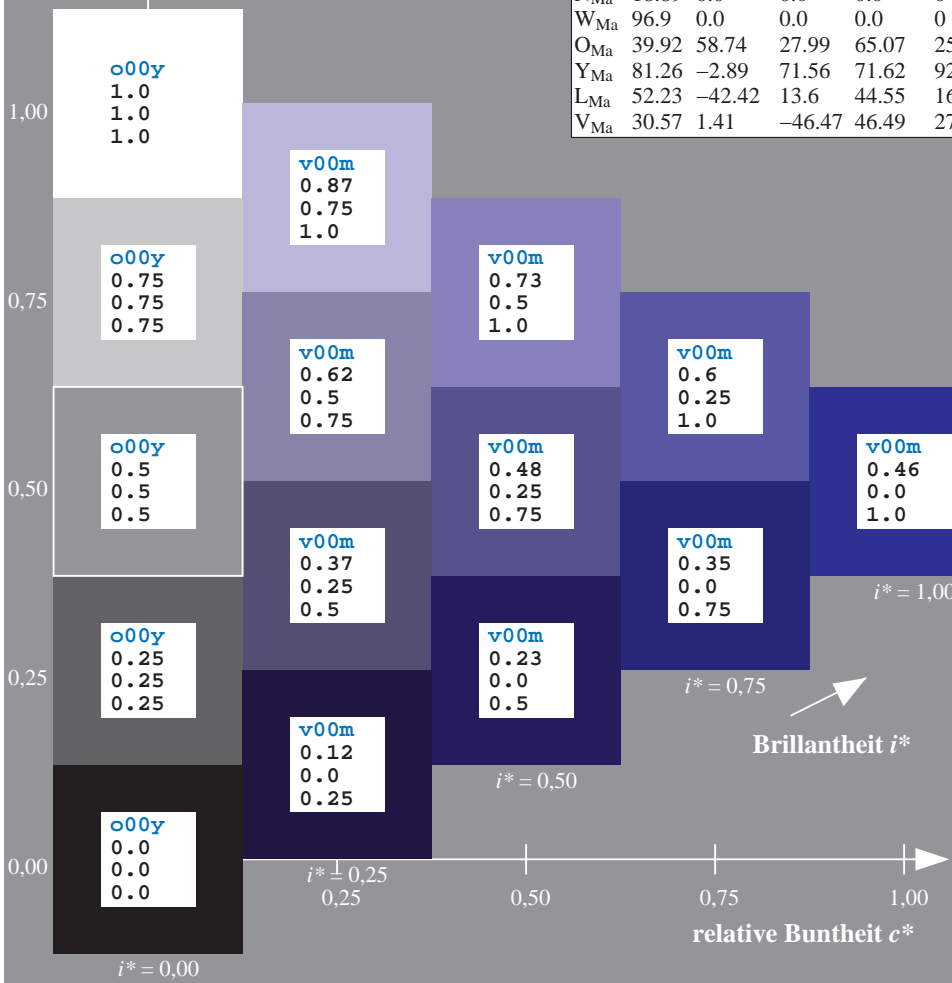
$u^*_{rel} = 89$

%Regularität

$g^*_{H,rel} = 72$

$g^*_{C,rel} = 57$

ORS19_96a; adaptierte CIELAB-Daten						
u^*_d	$L^*=L^*_a$	a^*_a	b^*_a	$C^*_{ab,a}$	$h^*_{ab,a}$	u^*_e
o00y	48.75	65.07	39.43	76.08	31	r08j
o25y	59.04	46.67	51.1	69.21	48	r33j
o50y	68.32	30.09	61.62	68.58	64	r57j
o75y	78.23	12.39	72.85	73.9	80	r81j
y00l	90.92	-10.29	87.24	87.85	97	j06g
y25l	78.57	-28.11	65.75	71.51	113	j29g
y50l	69.46	-41.25	49.92	64.75	130	j53g
y75l	61.32	-52.99	35.76	63.92	146	j76g
l00c	52.69	-65.44	20.75	68.65	162	g00b
l50c	56.55	-45.12	-16.57	48.07	200	g34b
c00v	59.61	-28.98	-46.22	54.56	238	g69b
c50v	43.33	-1.54	-45.13	45.16	268	g96b
v00m	28.39	23.63	-44.13	50.06	298	b23r
v50m	36.9	43.84	-30.24	53.26	325	b47r
m00o	49.58	73.93	-9.56	74.55	353	b71r
m50o	49.17	69.55	14.68	71.08	12	b88r



Ein und Ausgabe: Farbmetrisches Drucker-Reflektiv-System ORS19_96a für relativen CIELAB-Buntton $h^* = lab^*h^* = h_{ab}/360 = 0.904$

Daten für jede Farbe:

lab^*tch^* und lab^*icu^*

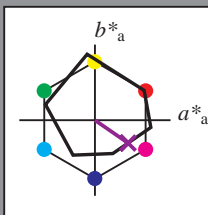
Bunttontexte:

$u^*_d = v50m$ $u^*_e = b47r$

Kontrastreduzierungsfaktor:

$c_R = 1.0$

Dreiecks-Helligkeit i^*



ORS19_96a; adaptierte CIELAB-Daten

	u^*_d	$L^*=L^*_a$	a^*_a	b^*_a	$C^*_{ab,a}$	$h^*_{ab,a}$
O _{Ma}	48.75	65.07	39.43	76.08	31	
Y _{Ma}	90.92	-10.29	87.24	87.85	97	
L _{Ma}	52.69	-65.44	20.75	68.65	162	
C _{Ma}	59.61	-28.98	-46.22	54.56	238	
V _{Ma}	28.39	23.63	-44.13	50.06	298	
M _{Ma}	49.58	73.93	-9.56	74.55	353	
N _{Ma}	18.89	0.0	0.0	0.0	0	
W _{Ma}	96.9	0.0	0.0	0.0	0	
O _{Ma}	39.92	58.74	27.99	65.07	25	
Y _{Ma}	81.26	-2.89	71.56	71.62	92	
L _{Ma}	52.23	-42.42	13.6	44.55	162	
V _{Ma}	30.57	1.41	-46.47	46.49	272	

Daten für Maximalfarbe (Ma):

$LAB^*LAB^*_{Ma}$: 37 44 -30

$LAB^*LCH^*_{Ma}$: 37 53 325

$lab^*olv^*_{Ma}$: 0.5 0.0 1.0

$lab^*rgb^*_{Ma}$: 0.94 0.0 1.0

Dreiecks-Helligkeit i^*

%Umfang

$u^*_{rel} = 89$

%Regularität

$g^*_{H,rel} = 72$

$g^*_{C,rel} = 57$

ORS19_96a; adaptierte CIELAB-Daten

	u^*_d	$L^*=L^*_a$	a^*_a	b^*_a	$C^*_{ab,a}$	$h^*_{ab,a}$	u^*_e
o00y	48.75	65.07	39.43	76.08	31		r08j
o25y	59.04	46.67	51.1	69.21	48		r33j
o50y	68.32	30.09	61.62	68.58	64		r57j
o75y	78.23	12.39	72.85	73.9	80		r81j
y00l	90.92	-10.29	87.24	87.85	97		j06g
y25l	78.57	-28.11	65.75	71.51	113		j29g
y50l	69.46	-41.25	49.92	64.75	130		j53g
y75l	61.32	-52.99	35.76	63.92	146		j76g
l00c	52.69	-65.44	20.75	68.65	162		g00b
l50c	56.55	-45.12	-16.57	48.07	200		g34b
c00v	59.61	-28.98	-46.22	54.56	238		g69b
c50v	43.33	-1.54	-45.13	45.16	268		g96b
v00m	28.39	23.63	-44.13	50.06	298		b23r
v50m	36.9	43.84	-30.24	53.26	325		b47r
m00o	49.58	73.93	-9.56	74.55	353		b71r
m50o	49.17	69.55	14.68	71.08	12		b88r

lab^*rgb^*

$i^* = 1.00$

Brillantheit i^*

$i^* = 0.80$

$i^* = 0.60$

$i^* = 0.40$

$i^* = 0.20$

$i^* = 0.00$

Ein und Ausgabe: Farbmetrisches Drucker-Reflektiv-System ORS19_96a für relativen CIELAB-Buntton $h^* = lab^*h^* = h_{ab}/360 = 0.98$

Daten für jede Farbe:

lab^*tch^* und lab^*icu^*

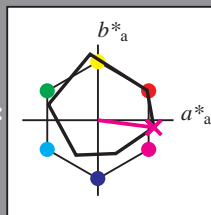
Bunttontexte:

$u^*_d = m00o$ $u^*_e = b71r$

Kontrastreduzierungsfaktor:

$c_R = 1.0$

Dreiecks-Helligkeit i^*



ORS19_96a; adaptierte CIELAB-Daten

u^*_d	$L^*=L^*_a$	a^*_a	b^*_a	$C^*_{ab,a}$	$h^*_{ab,a}$
O _{Ma}	48.75	65.07	39.43	76.08	31
Y _{Ma}	90.92	-10.29	87.24	87.85	97
L _{Ma}	52.69	-65.44	20.75	68.65	162
C _{Ma}	59.61	-28.98	-46.22	54.56	238
V _{Ma}	28.39	23.63	-44.13	50.06	298
M _{Ma}	49.58	73.93	-9.56	74.55	353
N _{Ma}	18.89	0.0	0.0	0.0	0
W _{Ma}	96.9	0.0	0.0	0.0	0
O _{Ma}	39.92	58.74	27.99	65.07	25
Y _{Ma}	81.26	-2.89	71.56	71.62	92
L _{Ma}	52.23	-42.42	13.6	44.55	162
V _{Ma}	30.57	1.41	-46.47	46.49	272

Daten für Maximalfarbe (Ma):

$LAB^*LAB^*_{Ma}$: 50 74 -10

$LAB^*LCH^*_{Ma}$: 50 75 352

$lab^*olv^*_{Ma}$: 1.0 0.0 1.0

$lab^*rgb^*_{Ma}$: 1.0 0.0 0.58

Dreiecks-Helligkeit i^*

%Umfang

$u^*_{rel} = 89$

%Regularität

$g^*_{H,rel} = 72$

$g^*_{C,rel} = 57$

ORS19_96a; adaptierte CIELAB-Daten

u^*_d	$L^*=L^*_a$	a^*_a	b^*_a	$C^*_{ab,a}$	$h^*_{ab,a}$	u^*_e
o00y	48.75	65.07	39.43	76.08	31	r08j
o25y	59.04	46.67	51.1	69.21	48	r33j
o50y	68.32	30.09	61.62	68.58	64	r57j
o75y	78.23	12.39	72.85	73.9	80	r81j
y00l	90.92	-10.29	87.24	87.85	97	j06g
y25l	78.57	-28.11	65.75	71.51	113	j29g
y50l	69.46	-41.25	49.92	64.75	130	j53g
y75l	61.32	-52.99	35.76	63.92	146	j76g
l00c	52.69	-65.44	20.75	68.65	162	g00b
l50c	56.55	-45.12	-16.57	48.07	200	g34b
c00v	59.61	-28.98	-46.22	54.56	238	g69b
c50v	43.33	-1.54	-45.13	45.16	268	g96b
v00m	28.39	23.63	-44.13	50.06	298	b23r
v50m	36.9	43.84	-30.24	53.26	325	b47r
m00o	49.58	73.93	-9.56	74.55	353	b71r
m50o	49.17	69.55	14.68	71.08	12	b88r

lab^*rgb^*

$i^* = 1.00$

Brillantheit i^*

$i^* = 0.80$

$i^* = 0.60$

$i^* = 0.40$

$i^* = 0.20$

$i^* = 0.00$

Ein und Ausgabe: Farbmetrisches Drucker-Reflektiv-System ORS19_96a für relativen CIELAB-Buntton $h^* = lab^*h^* = h_{ab}/360 = 0.033$

Daten für jede Farbe:

lab^*ch^* und lab^*icu^*

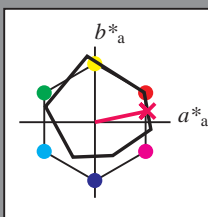
Bunttontexte:

$u^*_d = m50o$ $u^*_e = b88r$

Kontrastreduzierungsfaktor:

$c_R = 1.0$

Dreiecks-Helligkeit i^*



ORS19_96a; adaptierte CIELAB-Daten

u^*_d	$L^*=L^*_a$	a^*_a	b^*_a	$C^*_{ab,a}$	$h^*_{ab,a}$
O _{Ma}	48.75	65.07	39.43	76.08	31
Y _{Ma}	90.92	-10.29	87.24	87.85	97
L _{Ma}	52.69	-65.44	20.75	68.65	162
C _{Ma}	59.61	-28.98	-46.22	54.56	238
V _{Ma}	28.39	23.63	-44.13	50.06	298
M _{Ma}	49.58	73.93	-9.56	74.55	353
N _{Ma}	18.89	0.0	0.0	0.0	0
W _{Ma}	96.9	0.0	0.0	0.0	0
O _{Ma}	39.92	58.74	27.99	65.07	25
Y _{Ma}	81.26	-2.89	71.56	71.62	92
L _{Ma}	52.23	-42.42	13.6	44.55	162
V _{Ma}	30.57	1.41	-46.47	46.49	272

Daten für Maximalfarbe (Ma):

$LAB^*LAB^*_{Ma}$: 49 70 15

$LAB^*LCH^*_{Ma}$: 49 71 11

$lab^*olv^*_{Ma}$: 1.0 0.0 0.5

$lab^*rgb^*_{Ma}$: 1.0 0.0 0.24

Dreiecks-Helligkeit i^*

%Umfang

$u^*_{rel} = 89$

%Regularität

$g^*_{H,rel} = 72$

$g^*_{C,rel} = 57$

ORS19_96a; adaptierte CIELAB-Daten

u^*_d	$L^*=L^*_a$	a^*_a	b^*_a	$C^*_{ab,a}$	$h^*_{ab,a}$	u^*_e
o00y	48.75	65.07	39.43	76.08	31	r08j
o25y	59.04	46.67	51.1	69.21	48	r33j
o50y	68.32	30.09	61.62	68.58	64	r57j
o75y	78.23	12.39	72.85	73.9	80	r81j
y00l	90.92	-10.29	87.24	87.85	97	j06g
y25l	78.57	-28.11	65.75	71.51	113	j29g
y50l	69.46	-41.25	49.92	64.75	130	j53g
y75l	61.32	-52.99	35.76	63.92	146	j76g
l00c	52.69	-65.44	20.75	68.65	162	g00b
l50c	56.55	-45.12	-16.57	48.07	200	g34b
c00v	59.61	-28.98	-46.22	54.56	238	g69b
c50v	43.33	-1.54	-45.13	45.16	268	g96b
v00m	28.39	23.63	-44.13	50.06	298	b23r
v50m	36.9	43.84	-30.24	53.26	325	b47r
m00o	49.58	73.93	-9.56	74.55	353	b71r
m50o	49.17	69.55	14.68	71.08	12	b88r

lab^*rgb^*

$i^* = 1.00$

Brillantheit i^*

$i^* = 0.80$

$i^* = 0.60$

$i^* = 0.40$

$i^* = 0.20$

$i^* = 0.00$

BAM-Prüfvorlage Eg42; Farbmimetrik-Systeme, Seite 144/270 Eingabe: 000n / w / nnn0 / www set...
4 Separationen, 9 Datentabellen für 16 Bunttöne o00y bis m75oAusgabe: ->cmy6* setcmykcolor

Ein und Ausgabe:
Farbmetrisches Drucker-Reflektiv-System ORS19_96a
Daten für jede Farbe:

u^*_d und Nummer $Nr.$ = 00 .. 15

Geräte-Bunttontext:

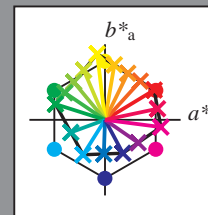
u^*_d = 16 Bunttoene $o00y$, $o25y$, ..., $m50o$

Kontrastreduzierungsfaktor:

$c_R = 1.0$

ORS19_96a; adaptierte CIELAB-Daten

u^*_d	$L^*=L^*_a$	a^*_a	b^*_a	$C^*_{ab,a}$	$h^*_{ab,a}$	u^*_e
$o00y$	48.75	65.07	39.43	76.08	31	$r08j$
$o25y$	59.04	46.67	51.1	69.21	48	$r33j$
$o50y$	68.32	30.09	61.62	68.58	64	$r57j$
$o75y$	78.23	12.39	72.85	73.9	80	$r81j$
$y00l$	90.92	-10.29	87.24	87.85	97	$j06g$
$y25l$	78.57	-28.11	65.75	71.51	113	$j29g$
$y50l$	69.46	-41.25	49.92	64.75	130	$j53g$
$y75l$	61.32	-52.99	35.76	63.92	146	$j76g$
$l00c$	52.69	-65.44	20.75	68.65	162	$g00b$
$l50c$	56.55	-45.12	-16.57	48.07	200	$g34b$
$c00v$	59.61	-28.98	-46.22	54.56	238	$g69b$
$c50v$	43.33	-1.54	-45.13	45.16	268	$g96b$
$v00m$	28.39	23.63	-44.13	50.06	298	$b23r$
$v50m$	36.9	43.84	-30.24	53.26	325	$b47r$
$m00o$	49.58	73.93	-9.56	74.55	353	$b71r$
$m50o$	49.17	69.55	14.68	71.08	12	$b88r$



%Umfang

$u^*_{rel} = 89$

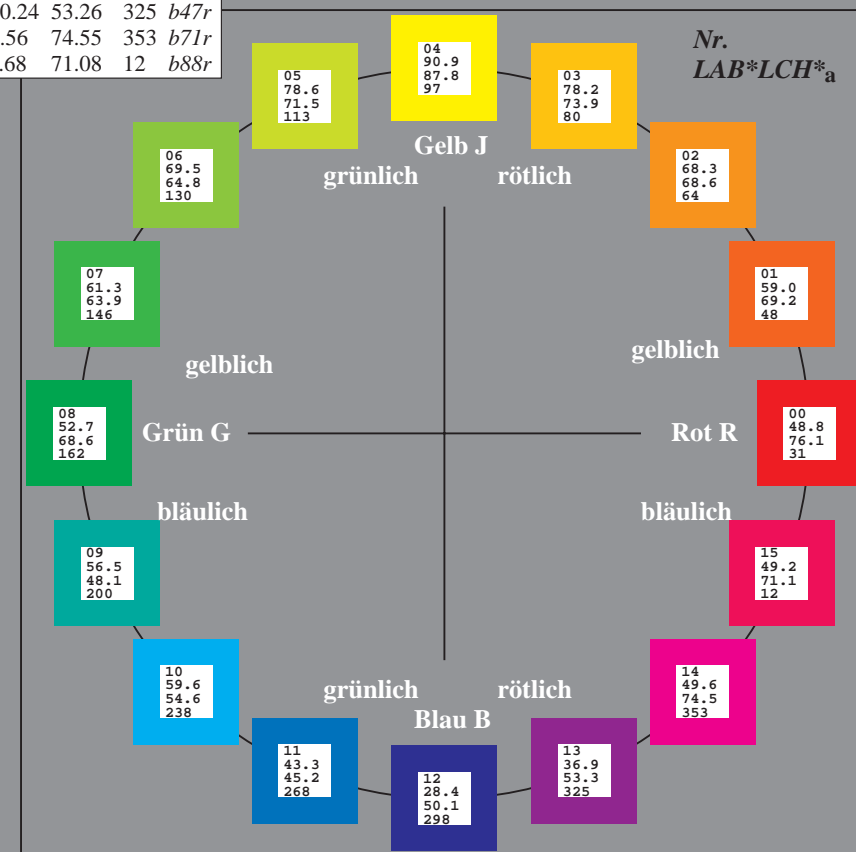
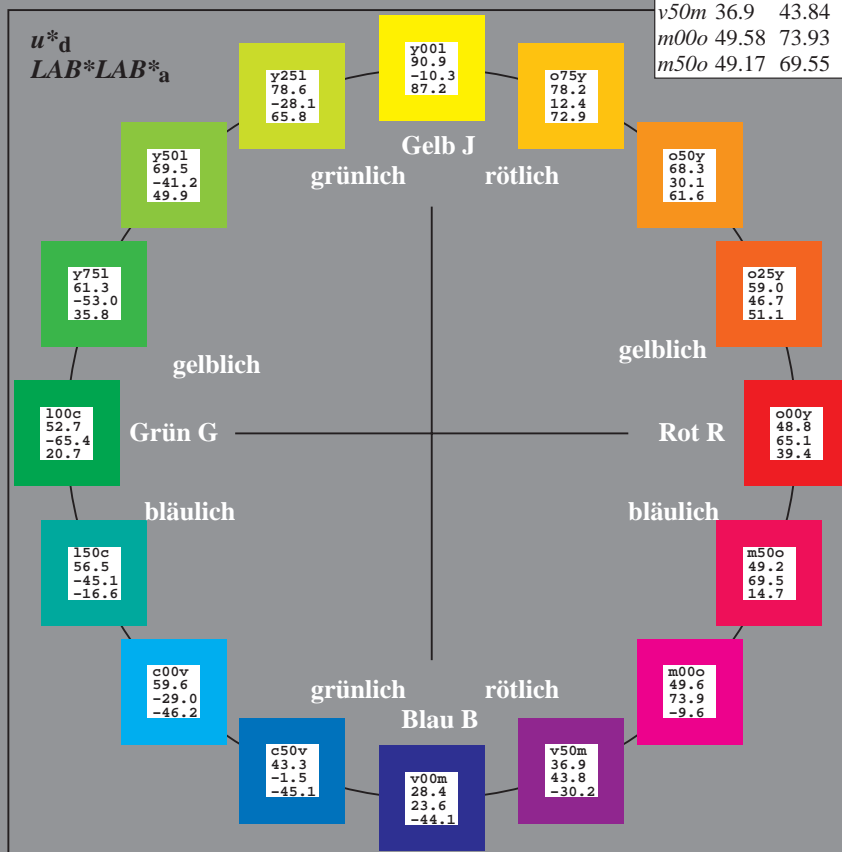
%Regularität

$g^*_{H,rel} = 72$

$g^*_{C,rel} = 57$

ORS19_96a; adaptierte CIELAB-Daten

Name	$L^*=L^*_a$	a^*_a	b^*_a	$C^*_{ab,a}$	$h^*_{ab,a}$
O_{Ma}	48.75	65.07	39.43	76.08	31
Y_{Ma}	90.92	-10.29	87.24	87.85	97
L_{Ma}	52.69	-65.44	20.75	68.65	162
C_{Ma}	59.61	-28.98	-46.22	54.56	238
V_{Ma}	28.39	23.63	-44.13	50.06	298
M_{Ma}	49.58	73.93	-9.56	74.55	353
N_{Ma}	18.89	0.0	0.0	0.0	0
W_{Ma}	96.9	0.0	0.0	0.0	0
O_{CIE}	39.92	58.74	27.99	65.07	25
Y_{CIE}	81.26	-2.89	71.56	71.62	92
L_{CIE}	52.23	-42.42	13.6	44.55	162
V_{CIE}	30.57	1.41	-46.47	46.49	272



Ein und Ausgabe: Farbmimetrisches Drucker-Reflektiv-System ORS19_96a für relativen CIELAB-Buntton $h^* = lab^*h^* = h_{ab}/360 = 0.087$

Daten für jede Farbe:

lab^*ch^* und lab^*icu^*

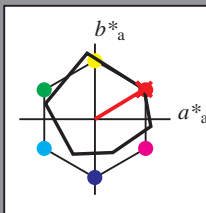
Bunttontexte:

$u^*_d = o00y$ $u^*_e = r08j$

Kontrastreduzierungsfaktor:

$c_R = 1.0$

Dreiecks-Helligkeit i^*



ORS19_96a; adaptierte CIELAB-Daten

u^*_d	$L^*=L^*_a$	a^*_a	b^*_a	$C^*_{ab,a}$	$h^*_{ab,a}$
O _{Ma}	48.75	65.07	39.43	76.08	31
Y _{Ma}	90.92	-10.29	87.24	87.85	97
L _{Ma}	52.69	-65.44	20.75	68.65	162
C _{Ma}	59.61	-28.98	-46.22	54.56	238
V _{Ma}	28.39	23.63	-44.13	50.06	298
M _{Ma}	49.58	73.93	-9.56	74.55	353
N _{Ma}	18.89	0.0	0.0	0.0	0
W _{Ma}	96.9	0.0	0.0	0.0	0
O _{Ma}	39.92	58.74	27.99	65.07	25
Y _{Ma}	81.26	-2.89	71.56	71.62	92
L _{Ma}	52.23	-42.42	13.6	44.55	162
V _{Ma}	30.57	1.41	-46.47	46.49	272

Daten für Maximalfarbe (Ma):

$LAB^*LAB^*_{Ma}$: 49 65 39

$LAB^*LCH^*_{Ma}$: 49 76 31

$lab^*olv^*_{Ma}$: 1.0 0.0 0.0

$lab^*rgb^*_{Ma}$: 1.0 0.09 0.0

Dreiecks-Helligkeit i^*

%Umfang

$u^*_{rel} = 89$

%Regularität

$g^*_{H,rel} = 72$

$g^*_{C,rel} = 57$

ORS19_96a; adaptierte CIELAB-Daten

u^*_d	$L^*=L^*_a$	a^*_a	b^*_a	$C^*_{ab,a}$	$h^*_{ab,a}$	u^*_e
$o00y$	48.75	65.07	39.43	76.08	31	$r08j$
$o25y$	59.04	46.67	51.1	69.21	48	$r33j$
$o50y$	68.32	30.09	61.62	68.58	64	$r57j$
$o75y$	78.23	12.39	72.85	73.9	80	$r81j$
$y00l$	90.92	-10.29	87.24	87.85	97	$j06g$
$y25l$	78.57	-28.11	65.75	71.51	113	$j29g$
$y50l$	69.46	-41.25	49.92	64.75	130	$j53g$
$y75l$	61.32	-52.99	35.76	63.92	146	$j76g$
$l00c$	52.69	-65.44	20.75	68.65	162	$g00b$
$l50c$	56.55	-45.12	-16.57	48.07	200	$g34b$
$c00v$	59.61	-28.98	-46.22	54.56	238	$g69b$
$c50v$	43.33	-1.54	-45.13	45.16	268	$g96b$
$v00m$	28.39	23.63	-44.13	50.06	298	$b23r$
$v50m$	36.9	43.84	-30.24	53.26	325	$b47r$
$m00o$	49.58	73.93	-9.56	74.55	353	$b71r$
$m50o$	49.17	69.55	14.68	71.08	12	$b88r$

$LAB^*LAB^*_{Ma}$

$i^* = 1.00$

Brillanzheit i^*

$i^* = 0.80$

$i^* = 0.60$

$i^* = 0.40$

$i^* = 0.20$

$i^* = 0.00$

Ein und Ausgabe: Farbmimetrisches Drucker-Reflektiv-System ORS19_96a für relativen CIELAB-Buntton $h^* = \text{lab}^*h^* = h_{ab}/360 = 0.132$

Daten für jede Farbe:

lab^*tch^* und lab^*icu^*

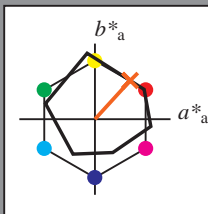
Bunttontexte:

$u^*_d = o25y$ $u^*_e = r33j$

Kontrastreduzierungsfaktor:

$c_R = 1.0$

Dreiecks-Helligkeit i^*



ORS19_96a; adaptierte CIELAB-Daten

u^*_d	$L^*=L^*_a$	a^*_a	b^*_a	$C^*_{ab,a}$	$h^*_{ab,a}$
O _{Ma}	48.75	65.07	39.43	76.08	31
Y _{Ma}	90.92	-10.29	87.24	87.85	97
L _{Ma}	52.69	-65.44	20.75	68.65	162
C _{Ma}	59.61	-28.98	-46.22	54.56	238
V _{Ma}	28.39	23.63	-44.13	50.06	298
M _{Ma}	49.58	73.93	-9.56	74.55	353
N _{Ma}	18.89	0.0	0.0	0.0	0
W _{Ma}	96.9	0.0	0.0	0.0	0
O _{Ma}	39.92	58.74	27.99	65.07	25
Y _{Ma}	81.26	-2.89	71.56	71.62	92
L _{Ma}	52.23	-42.42	13.6	44.55	162
V _{Ma}	30.57	1.41	-46.47	46.49	272

Daten für Maximalfarbe (Ma):

$\text{LAB}^*\text{LAB}^*_{Ma}$: 59 47 51

$\text{LAB}^*\text{LCH}^*_{Ma}$: 59 69 47

$\text{lab}^*\text{olv}^*_{Ma}$: 1.0 0.25 0.0

$\text{lab}^*\text{rgb}^*_{Ma}$: 1.0 0.33 0.0

Dreiecks-Helligkeit i^*

%Umfang

$u^*_{rel} = 89$

%Regularität

$g^*_{H,rel} = 72$

$g^*_{C,rel} = 57$

ORS19_96a; adaptierte CIELAB-Daten

u^*_d	$L^*=L^*_a$	a^*_a	b^*_a	$C^*_{ab,a}$	$h^*_{ab,a}$	u^*_e
o00y	48.75	65.07	39.43	76.08	31	r08j
o25y	59.04	46.67	51.1	69.21	48	r33j
o50y	68.32	30.09	61.62	68.58	64	r57j
o75y	78.23	12.39	72.85	73.9	80	r81j
y00l	90.92	-10.29	87.24	87.85	97	j06g
y25l	78.57	-28.11	65.75	71.51	113	j29g
y50l	69.46	-41.25	49.92	64.75	130	j53g
y75l	61.32	-52.99	35.76	63.92	146	j76g
l00c	52.69	-65.44	20.75	68.65	162	g00b
l50c	56.55	-45.12	-16.57	48.07	200	g34b
c00v	59.61	-28.98	-46.22	54.56	238	g69b
c50v	43.33	-1.54	-45.13	45.16	268	g96b
v00m	28.39	23.63	-44.13	50.06	298	b23r
v50m	36.9	43.84	-30.24	53.26	325	b47r
m00o	49.58	73.93	-9.56	74.55	353	b71r
m50o	49.17	69.55	14.68	71.08	12	b88r

$\text{LAB}^*\text{LAB}^*_a$

$i^* = 1.00$

Brillantheit i^*

$i^* = 0.80$

$i^* = 0.60$

$i^* = 0.40$

$i^* = 0.20$

Ein und Ausgabe: Farbmetrisches Drucker-Reflektiv-System ORS19_96a für relativen CIELAB-Buntton $h^* = lab^*h^* = h_{ab}/360 = 0.178$

Daten für jede Farbe:

lab^*ch^* und lab^*icu^*

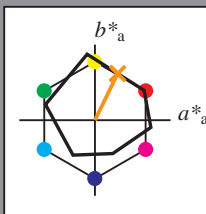
Bunttontexte:

$u^*_d = o50y$ $u^*_e = r57j$

Kontrastreduzierungsfaktor:

$c_R = 1.0$

Dreiecks-Helligkeit i^*



ORS19_96a; adaptierte CIELAB-Daten

u^*_d	$L^*=L^*_a$	a^*_a	b^*_a	$C^*_{ab,a}$	$h^*_{ab,a}$
O _{Ma}	48.75	65.07	39.43	76.08	31
Y _{Ma}	90.92	-10.29	87.24	87.85	97
L _{Ma}	52.69	-65.44	20.75	68.65	162
C _{Ma}	59.61	-28.98	-46.22	54.56	238
V _{Ma}	28.39	23.63	-44.13	50.06	298
M _{Ma}	49.58	73.93	-9.56	74.55	353
N _{Ma}	18.89	0.0	0.0	0.0	0
W _{Ma}	96.9	0.0	0.0	0.0	0
O _{Ma}	39.92	58.74	27.99	65.07	25
Y _{Ma}	81.26	-2.89	71.56	71.62	92
L _{Ma}	52.23	-42.42	13.6	44.55	162
V _{Ma}	30.57	1.41	-46.47	46.49	272

Daten für Maximalfarbe (Ma):

$LAB^*LAB^*_{Ma}$: 68 30 62

$LAB^*LCH^*_{Ma}$: 68 69 63

$lab^*olv^*_{Ma}$: 1.0 0.5 0.0

$lab^*rgb^*_{Ma}$: 1.0 0.58 0.0

Dreiecks-Helligkeit i^*

%Umfang

$u^*_{rel} = 89$

%Regularität

$g^*_{H,rel} = 72$

$g^*_{C,rel} = 57$

ORS19_96a; adaptierte CIELAB-Daten

u^*_d	$L^*=L^*_a$	a^*_a	b^*_a	$C^*_{ab,a}$	$h^*_{ab,a}$	u^*_e
o00y	48.75	65.07	39.43	76.08	31	r08j
o25y	59.04	46.67	51.1	69.21	48	r33j
o50y	68.32	30.09	61.62	68.58	64	r57j
o75y	78.23	12.39	72.85	73.9	80	r81j
y00l	90.92	-10.29	87.24	87.85	97	j06g
y25l	78.57	-28.11	65.75	71.51	113	j29g
y50l	69.46	-41.25	49.92	64.75	130	j53g
y75l	61.32	-52.99	35.76	63.92	146	j76g
l00c	52.69	-65.44	20.75	68.65	162	g00b
l50c	56.55	-45.12	-16.57	48.07	200	g34b
c00v	59.61	-28.98	-46.22	54.56	238	g69b
c50v	43.33	-1.54	-45.13	45.16	268	g96b
v00m	28.39	23.63	-44.13	50.06	298	b23r
v50m	36.9	43.84	-30.24	53.26	325	b47r
m00o	49.58	73.93	-9.56	74.55	353	b71r
m50o	49.17	69.55	14.68	71.08	12	b88r

$LAB^*LAB^*_{a}$

$i^*=1.00$

Brillantheit i^*

$i^*=0.80$

$i^*=0.60$

$i^*=0.40$

$i^*=0.20$

Ein und Ausgabe: Farbmetrisches Drucker-Reflektiv-System ORS19_96a für relativen CIELAB-Buntton $h^* = lab^*h^* = h_{ab}/360 = 0.223$

Daten für jede Farbe:

lab^*ch^* und lab^*icu^*

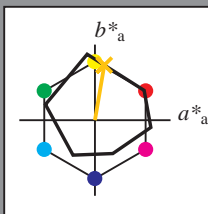
Bunttontexte:

$u^*_d = o75y$ $u^*_e = r81j$

Kontrastreduzierungsfaktor:

$c_R = 1.0$

Dreiecks-Helligkeit i^*



ORS19_96a; adaptierte CIELAB-Daten

u^*_d	$L^*=L^*_a$	a^*_a	b^*_a	$C^*_{ab,a}$	$h^*_{ab,a}$
O _{Ma}	48.75	65.07	39.43	76.08	31
Y _{Ma}	90.92	-10.29	87.24	87.85	97
L _{Ma}	52.69	-65.44	20.75	68.65	162
C _{Ma}	59.61	-28.98	-46.22	54.56	238
V _{Ma}	28.39	23.63	-44.13	50.06	298
M _{Ma}	49.58	73.93	-9.56	74.55	353
N _{Ma}	18.89	0.0	0.0	0.0	0
W _{Ma}	96.9	0.0	0.0	0.0	0
O _{Ma}	39.92	58.74	27.99	65.07	25
Y _{Ma}	81.26	-2.89	71.56	71.62	92
L _{Ma}	52.23	-42.42	13.6	44.55	162
V _{Ma}	30.57	1.41	-46.47	46.49	272

Daten für Maximalfarbe (Ma):

$LAB^*LAB^*_Ma$: 78 12 73

$LAB^*LCH^*_Ma$: 78 74 80

$lab^*olv^*_Ma$: 1.0 0.75 0.0

$lab^*rgb^*_Ma$: 1.0 0.82 0.0

Dreiecks-Helligkeit i^*

%Umfang

$u^*_{rel} = 89$

%Regularität

$g^*_{H,rel} = 72$

$g^*_{C,rel} = 57$

ORS19_96a; adaptierte CIELAB-Daten

u^*_d	$L^*=L^*_a$	a^*_a	b^*_a	$C^*_{ab,a}$	$h^*_{ab,a}$	u^*_e
o00y	48.75	65.07	39.43	76.08	31	r08j
o25y	59.04	46.67	51.1	69.21	48	r33j
o50y	68.32	30.09	61.62	68.58	64	r57j
o75y	78.23	12.39	72.85	73.9	80	r81j
y00l	90.92	-10.29	87.24	87.85	97	j06g
y25l	78.57	-28.11	65.75	71.51	113	j29g
y50l	69.46	-41.25	49.92	64.75	130	j53g
y75l	61.32	-52.99	35.76	63.92	146	j76g
l00c	52.69	-65.44	20.75	68.65	162	g00b
l50c	56.55	-45.12	-16.57	48.07	200	g34b
c00v	59.61	-28.98	-46.22	54.56	238	g69b
c50v	43.33	-1.54	-45.13	45.16	268	g96b
v00m	28.39	23.63	-44.13	50.06	298	b23r
v50m	36.9	43.84	-30.24	53.26	325	b47r
m00o	49.58	73.93	-9.56	74.55	353	b71r
m50o	49.17	69.55	14.68	71.08	12	b88r

$u^*_d = o75y$
 $LAB^*LAB^*_a$

$LAB^*LAB^*_a$

$i^* = 1.00$

Brillantheit i^*

$i^* = 0.80$

$i^* = 0.60$

$i^* = 0.40$

$i^* = 0.20$

$i^* = 0.00$

Ein und Ausgabe: Farbmetrisches Drucker-Reflektiv-System ORS19_96a für relativen CIELAB-Buntton $h^* = lab^*h^* = h_{ab}/360 = 0.269$

Daten für jede Farbe:

lab^*ch^* und lab^*icu^*

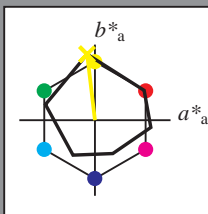
Bunttontexte:

$u^*_d = y00l$ $u^*_e = j06g$

Kontrastreduzierungsfaktor:

$c_R = 1.0$

Dreiecks-Helligkeit i^*



ORS19_96a; adaptierte CIELAB-Daten

u^*_d	$L^*=L^*_a$	a^*_a	b^*_a	$C^*_{ab,a}$	$h^*_{ab,a}$
O _{Ma}	48.75	65.07	39.43	76.08	31
Y _{Ma}	90.92	-10.29	87.24	87.85	97
L _{Ma}	52.69	-65.44	20.75	68.65	162
C _{Ma}	59.61	-28.98	-46.22	54.56	238
V _{Ma}	28.39	23.63	-44.13	50.06	298
M _{Ma}	49.58	73.93	-9.56	74.55	353
N _{Ma}	18.89	0.0	0.0	0.0	0
W _{Ma}	96.9	0.0	0.0	0.0	0
O _{Ma}	39.92	58.74	27.99	65.07	25
Y _{Ma}	81.26	-2.89	71.56	71.62	92
L _{Ma}	52.23	-42.42	13.6	44.55	162
V _{Ma}	30.57	1.41	-46.47	46.49	272

Daten für Maximalfarbe (Ma):

$LAB^*LAB^*_{Ma}$: 91 -10 87

$LAB^*LCH^*_{Ma}$: 91 88 96

$lab^*olv^*_{Ma}$: 1.0 1.0 0.0

$lab^*rgb^*_{Ma}$: 0.94 1.0 0.0

Dreiecks-Helligkeit i^*

%Umfang

$u^*_{rel} = 89$

%Regularität

$g^*_{H,rel} = 72$

$g^*_{C,rel} = 57$

ORS19_96a; adaptierte CIELAB-Daten

u^*_d	$L^*=L^*_a$	a^*_a	b^*_a	$C^*_{ab,a}$	$h^*_{ab,a}$	u^*_e
o00y	48.75	65.07	39.43	76.08	31	r08j
o25y	59.04	46.67	51.1	69.21	48	r33j
o50y	68.32	30.09	61.62	68.58	64	r57j
o75y	78.23	12.39	72.85	73.9	80	r81j
y00l	90.92	-10.29	87.24	87.85	97	j06g
y25l	78.57	-28.11	65.75	71.51	113	j29g
y50l	69.46	-41.25	49.92	64.75	130	j53g
y75l	61.32	-52.99	35.76	63.92	146	j76g
l00c	52.69	-65.44	20.75	68.65	162	g00b
l50c	56.55	-45.12	-16.57	48.07	200	g34b
c00v	59.61	-28.98	-46.22	54.56	238	g69b
c50v	43.33	-1.54	-45.13	45.16	268	g96b
v00m	28.39	23.63	-44.13	50.06	298	b23r
v50m	36.9	43.84	-30.24	53.26	325	b47r
m00o	49.58	73.93	-9.56	74.55	353	b71r
m50o	49.17	69.55	14.68	71.08	12	b88r

$u^*_d = y00l$
 $LAB^*LAB^*_{Ma}$

$LAB^*LAB^*_{Ma}$

$i^* = 1.00$

Brillantheit i^*

$i^* = 0.80$

$i^* = 0.60$

$i^* = 0.40$

$i^* = 0.20$

$i^* = 0.00$

Ein und Ausgabe: Farbmetrisches Drucker-Reflektiv-System ORS19_96a für relativen CIELAB-Buntton $h^* = lab^*h^* = h_{ab}/360 = 0.314$

Daten für jede Farbe:

lab^*ch^* und lab^*icu^*

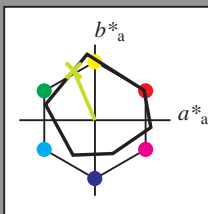
Bunttontexte:

$u^*_d = y25l$ $u^*_e = j29g$

Kontrastreduzierungsfaktor:

$c_R = 1.0$

Dreiecks-Helligkeit i^*



ORS19_96a; adaptierte CIELAB-Daten

u^*_d	$L^*=L^*_a$	a^*_a	b^*_a	$C^*_{ab,a}$	$h^*_{ab,a}$
O _{Ma}	48.75	65.07	39.43	76.08	31
Y _{Ma}	90.92	-10.29	87.24	87.85	97
L _{Ma}	52.69	-65.44	20.75	68.65	162
C _{Ma}	59.61	-28.98	-46.22	54.56	238
V _{Ma}	28.39	23.63	-44.13	50.06	298
M _{Ma}	49.58	73.93	-9.56	74.55	353
N _{Ma}	18.89	0.0	0.0	0.0	0
W _{Ma}	96.9	0.0	0.0	0.0	0
O _{Ma}	39.92	58.74	27.99	65.07	25
Y _{Ma}	81.26	-2.89	71.56	71.62	92
L _{Ma}	52.23	-42.42	13.6	44.55	162
V _{Ma}	30.57	1.41	-46.47	46.49	272

Daten für Maximalfarbe (Ma):

$LAB^*LAB^*_{Ma}$: 79 -28 66

$LAB^*LCH^*_{Ma}$: 79 72 113

$lab^*olv^*_{Ma}$: 0.75 1.0 0.0

$lab^*rgb^*_{Ma}$: 0.7 1.0 0.0

Dreiecks-Helligkeit i^*

%Umfang

$u^*_{rel} = 89$

%Regularität

$g^*_{H,rel} = 72$

$g^*_{C,rel} = 57$

ORS19_96a; adaptierte CIELAB-Daten

u^*_d	$L^*=L^*_a$	a^*_a	b^*_a	$C^*_{ab,a}$	$h^*_{ab,a}$	u^*_e
o00y	48.75	65.07	39.43	76.08	31	r08j
o25y	59.04	46.67	51.1	69.21	48	r33j
o50y	68.32	30.09	61.62	68.58	64	r57j
o75y	78.23	12.39	72.85	73.9	80	r81j
y00l	90.92	-10.29	87.24	87.85	97	j06g
y25l	78.57	-28.11	65.75	71.51	113	j29g
y50l	69.46	-41.25	49.92	64.75	130	j53g
y75l	61.32	-52.99	35.76	63.92	146	j76g
l00c	52.69	-65.44	20.75	68.65	162	g00b
l50c	56.55	-45.12	-16.57	48.07	200	g34b
c00v	59.61	-28.98	-46.22	54.56	238	g69b
c50v	43.33	-1.54	-45.13	45.16	268	g96b
v00m	28.39	23.63	-44.13	50.06	298	b23r
v50m	36.9	43.84	-30.24	53.26	325	b47r
m00o	49.58	73.93	-9.56	74.55	353	b71r
m50o	49.17	69.55	14.68	71.08	12	b88r

$LAB^*LAB^*_{a}$

$i^*=1.00$

Brillantheit i^*

$i^*=0.80$

$i^*=0.60$

$i^*=0.40$

$i^*=0.20$

Ein und Ausgabe: Farbmetrisches Drucker-Reflektiv-System ORS19_96a für relativen CIELAB-Buntton $h^* = \text{lab}^*h^* = h_{ab}/360 = 0.36$

Daten für jede Farbe:

lab^*tch^* und lab^*icu^*

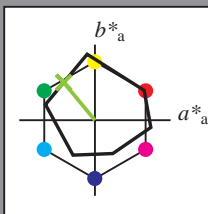
Bunttontexte:

$u^*_d = y50l$ $u^*_e = j53g$

Kontrastreduzierungsfaktor:

$c_R = 1.0$

Dreiecks-Helligkeit i^*



ORS19_96a; adaptierte CIELAB-Daten

u^*_d	$L^*=L^*_a$	a^*_a	b^*_a	$C^*_{ab,a}$	$h^*_{ab,a}$
O _{Ma}	48.75	65.07	39.43	76.08	31
Y _{Ma}	90.92	-10.29	87.24	87.85	97
L _{Ma}	52.69	-65.44	20.75	68.65	162
C _{Ma}	59.61	-28.98	-46.22	54.56	238
V _{Ma}	28.39	23.63	-44.13	50.06	298
M _{Ma}	49.58	73.93	-9.56	74.55	353
N _{Ma}	18.89	0.0	0.0	0.0	0
W _{Ma}	96.9	0.0	0.0	0.0	0
O _{Ma}	39.92	58.74	27.99	65.07	25
Y _{Ma}	81.26	-2.89	71.56	71.62	92
L _{Ma}	52.23	-42.42	13.6	44.55	162
V _{Ma}	30.57	1.41	-46.47	46.49	272

Daten für Maximalfarbe (Ma):

$\text{LAB}^*\text{LAB}^*_{\text{Ma}}$: 69 -41 50

$\text{LAB}^*\text{LCH}^*_{\text{Ma}}$: 69 65 129

$\text{lab}^*\text{olv}^*_{\text{Ma}}$: 0.5 1.0 0.0

$\text{lab}^*\text{rgb}^*_{\text{Ma}}$: 0.47 1.0 0.0

Dreiecks-Helligkeit i^*

%Umfang

$u^*_{\text{rel}} = 89$

%Regularität

$g^*_{H,\text{rel}} = 72$

$g^*_{C,\text{rel}} = 57$

ORS19_96a; adaptierte CIELAB-Daten

u^*_d	$L^*=L^*_a$	a^*_a	b^*_a	$C^*_{ab,a}$	$h^*_{ab,a}$	u^*_e
o00y	48.75	65.07	39.43	76.08	31	r08j
o25y	59.04	46.67	51.1	69.21	48	r33j
o50y	68.32	30.09	61.62	68.58	64	r57j
o75y	78.23	12.39	72.85	73.9	80	r81j
y00l	90.92	-10.29	87.24	87.85	97	j06g
y25l	78.57	-28.11	65.75	71.51	113	j29g
y50l	69.46	-41.25	49.92	64.75	130	j53g
y75l	61.32	-52.99	35.76	63.92	146	j76g
l00c	52.69	-65.44	20.75	68.65	162	g00b
l50c	56.55	-45.12	-16.57	48.07	200	g34b
c00v	59.61	-28.98	-46.22	54.56	238	g69b
c50v	43.33	-1.54	-45.13	45.16	268	g96b
v00m	28.39	23.63	-44.13	50.06	298	b23r
v50m	36.9	43.84	-30.24	53.26	325	b47r
m00o	49.58	73.93	-9.56	74.55	353	b71r
m50o	49.17	69.55	14.68	71.08	12	b88r

$\text{LAB}^*\text{LAB}^*_{\text{a}}$

$i^* = 1.00$

Brillantheit i^*

$i^* = 0.80$

$i^* = 0.60$

$i^* = 0.40$

$i^* = 0.20$

$i^* = 0.00$

relative Buntheit c^*

Ein und Ausgabe: Farbmetrisches Drucker-Reflektiv-System ORS19_96a für relativen CIELAB-Buntton $h^* = \text{lab}^*h^* = h_{ab}/360 = 0.406$

Daten für jede Farbe:

lab^*tch^* und lab^*icu^*

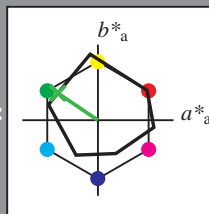
Bunttontexte:

$u^*_d = y75l$ $u^*_e = j76g$

Kontrastreduzierungsfaktor:

$c_R = 1.0$

Dreiecks-Helligkeit i^*



ORS19_96a; adaptierte CIELAB-Daten

u^*_d	$L^*=L^*_a$	a^*_a	b^*_a	$C^*_{ab,a}$	$h^*_{ab,a}$
O _{Ma}	48.75	65.07	39.43	76.08	31
Y _{Ma}	90.92	-10.29	87.24	87.85	97
L _{Ma}	52.69	-65.44	20.75	68.65	162
C _{Ma}	59.61	-28.98	-46.22	54.56	238
V _{Ma}	28.39	23.63	-44.13	50.06	298
M _{Ma}	49.58	73.93	-9.56	74.55	353
N _{Ma}	18.89	0.0	0.0	0.0	0
W _{Ma}	96.9	0.0	0.0	0.0	0
O _{Ma}	39.92	58.74	27.99	65.07	25
Y _{Ma}	81.26	-2.89	71.56	71.62	92
L _{Ma}	52.23	-42.42	13.6	44.55	162
V _{Ma}	30.57	1.41	-46.47	46.49	272

Daten für Maximalfarbe (Ma):

$\text{LAB}^*\text{LAB}^*_{\text{Ma}}$: 61 -53 36

$\text{LAB}^*\text{LCH}^*_{\text{Ma}}$: 61 64 145

$\text{lab}^*\text{olv}^*_{\text{Ma}}$: 0.25 1.0 0.0

$\text{lab}^*\text{rgb}^*_{\text{Ma}}$: 0.23 1.0 0.0

Dreiecks-Helligkeit i^*

%Umfang

$u^*_{\text{rel}} = 89$

%Regularität

$g^*_{H,\text{rel}} = 72$

$g^*_{C,\text{rel}} = 57$

ORS19_96a; adaptierte CIELAB-Daten

u^*_d	$L^*=L^*_a$	a^*_a	b^*_a	$C^*_{ab,a}$	$h^*_{ab,a}$	u^*_e
o00y	48.75	65.07	39.43	76.08	31	r08j
o25y	59.04	46.67	51.1	69.21	48	r33j
o50y	68.32	30.09	61.62	68.58	64	r57j
o75y	78.23	12.39	72.85	73.9	80	r81j
y00l	90.92	-10.29	87.24	87.85	97	j06g
y25l	78.57	-28.11	65.75	71.51	113	j29g
y50l	69.46	-41.25	49.92	64.75	130	j53g
y75l	61.32	-52.99	35.76	63.92	146	j76g
l00c	52.69	-65.44	20.75	68.65	162	g00b
l50c	56.55	-45.12	-16.57	48.07	200	g34b
c00v	59.61	-28.98	-46.22	54.56	238	g69b
c50v	43.33	-1.54	-45.13	45.16	268	g96b
v00m	28.39	23.63	-44.13	50.06	298	b23r
v50m	36.9	43.84	-30.24	53.26	325	b47r
m00o	49.58	73.93	-9.56	74.55	353	b71r
m50o	49.17	69.55	14.68	71.08	12	b88r

$\text{LAB}^*\text{LAB}^*_a$

$i^* = 1.00$

Brillantheit i^*

$i^* = 0.80$

$i^* = 0.60$

$i^* = 0.40$

$i^* = 0.20$

$i^* = 0.00$

relative Buntheit c^*

Ein und Ausgabe: Farbmimetrisches Drucker-Reflektiv-System ORS19_96a für relativen CIELAB-Buntton $h^* = \text{lab}^*h^* = h_{ab}/360 = 0.451$

Daten für jede Farbe:

lab^*tch^* und lab^*icu^*

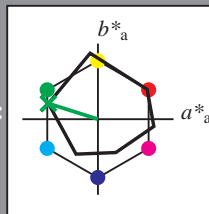
Bunttontexte:

$u^*_d = 100c$ $u^*_e = g00b$

Kontrastreduzierungsfaktor:

$c_R = 1.0$

Dreiecks-Helligkeit t^*



ORS19_96a; adaptierte CIELAB-Daten

u^*_d	$L^*=L^*_a$	a^*_a	b^*_a	$C^*_{ab,a}$	$h^*_{ab,a}$
O _{Ma}	48.75	65.07	39.43	76.08	31
Y _{Ma}	90.92	-10.29	87.24	87.85	97
L _{Ma}	52.69	-65.44	20.75	68.65	162
C _{Ma}	59.61	-28.98	-46.22	54.56	238
V _{Ma}	28.39	23.63	-44.13	50.06	298
M _{Ma}	49.58	73.93	-9.56	74.55	353
N _{Ma}	18.89	0.0	0.0	0.0	0
W _{Ma}	96.9	0.0	0.0	0.0	0
O _{Ma}	39.92	58.74	27.99	65.07	25
Y _{Ma}	81.26	-2.89	71.56	71.62	92
L _{Ma}	52.23	-42.42	13.6	44.55	162
V _{Ma}	30.57	1.41	-46.47	46.49	272

Daten für Maximalfarbe (Ma):

$\text{LAB}^*\text{LAB}^*_{\text{Ma}}$: 53 -65 21

$\text{LAB}^*\text{LCH}^*_{\text{Ma}}$: 53 69 162

$\text{lab}^*\text{olv}^*_{\text{Ma}}$: 0.0 1.0 0.0

$\text{lab}^*\text{rgb}^*_{\text{Ma}}$: 0.0 1.0 0.0

Dreiecks-Helligkeit t^*

%Umfang

$u^*_{\text{rel}} = 89$

%Regularität

$g^*_{H,\text{rel}} = 72$

$g^*_{C,\text{rel}} = 57$

ORS19_96a; adaptierte CIELAB-Daten

u^*_d	$L^*=L^*_a$	a^*_a	b^*_a	$C^*_{ab,a}$	$h^*_{ab,a}$	u^*_e
o00y	48.75	65.07	39.43	76.08	31	r08j
o25y	59.04	46.67	51.1	69.21	48	r33j
o50y	68.32	30.09	61.62	68.58	64	r57j
o75y	78.23	12.39	72.85	73.9	80	r81j
y00l	90.92	-10.29	87.24	87.85	97	j06g
y25l	78.57	-28.11	65.75	71.51	113	j29g
y50l	69.46	-41.25	49.92	64.75	130	j53g
y75l	61.32	-52.99	35.76	63.92	146	j76g
l00c	52.69	-65.44	20.75	68.65	162	g00b
l50c	56.55	-45.12	-16.57	48.07	200	g34b
c00v	59.61	-28.98	-46.22	54.56	238	g69b
c50v	43.33	-1.54	-45.13	45.16	268	g96b
v00m	28.39	23.63	-44.13	50.06	298	b23r
v50m	36.9	43.84	-30.24	53.26	325	b47r
m00o	49.58	73.93	-9.56	74.55	353	b71r
m50o	49.17	69.55	14.68	71.08	12	b88r

$\text{LAB}^*\text{LAB}^*_a$

$i^* = 1.00$

Brillantheit i^*

$i^* = 0.80$

$i^* = 0.60$

$i^* = 0.40$

$i^* = 0.20$

$i^* = 0.00$

relative Buntheit c^*

Ein und Ausgabe: Farbmimetrisches Drucker-Reflektiv-System ORS19_96a für relativen CIELAB-Buntton $h^* = \text{lab}^*h^* = h_{ab}/360 = 0.556$

Daten für jede Farbe:

lab^*tch^* und lab^*icu^*

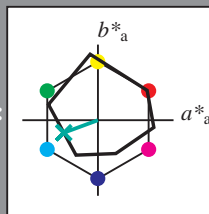
Bunttontexte:

$u^*_d = 150c$ $u^*_e = g34b$

Kontrastreduzierungsfaktor:

$c_R = 1.0$

Dreiecks-Helligkeit i^*



ORS19_96a; adaptierte CIELAB-Daten

u^*_d	$L^*=L^*_a$	a^*_a	b^*_a	$C^*_{ab,a}$	$h^*_{ab,a}$
O _{Ma}	48.75	65.07	39.43	76.08	31
Y _{Ma}	90.92	-10.29	87.24	87.85	97
L _{Ma}	52.69	-65.44	20.75	68.65	162
C _{Ma}	59.61	-28.98	-46.22	54.56	238
V _{Ma}	28.39	23.63	-44.13	50.06	298
M _{Ma}	49.58	73.93	-9.56	74.55	353
N _{Ma}	18.89	0.0	0.0	0.0	0
W _{Ma}	96.9	0.0	0.0	0.0	0
O _{Ma}	39.92	58.74	27.99	65.07	25
Y _{Ma}	81.26	-2.89	71.56	71.62	92
L _{Ma}	52.23	-42.42	13.6	44.55	162
V _{Ma}	30.57	1.41	-46.47	46.49	272

Daten für Maximalfarbe (Ma):

$\text{LAB}^*\text{LAB}^*_{Ma}$: 57 -45 -17

$\text{LAB}^*\text{LCH}^*_{Ma}$: 57 48 200

$\text{lab}^*\text{olv}^*_{Ma}$: 0.0 1.0 0.5

$\text{lab}^*\text{rgb}^*_{Ma}$: 0.0 1.0 0.69

Dreiecks-Helligkeit i^*

%Umfang

$u^*_{rel} = 89$

%Regularität

$g^*_{H,rel} = 72$

$g^*_{C,rel} = 57$

ORS19_96a; adaptierte CIELAB-Daten

u^*_d	$L^*=L^*_a$	a^*_a	b^*_a	$C^*_{ab,a}$	$h^*_{ab,a}$	u^*_e
o00y	48.75	65.07	39.43	76.08	31	r08j
o25y	59.04	46.67	51.1	69.21	48	r33j
o50y	68.32	30.09	61.62	68.58	64	r57j
o75y	78.23	12.39	72.85	73.9	80	r81j
y00l	90.92	-10.29	87.24	87.85	97	j06g
y25l	78.57	-28.11	65.75	71.51	113	j29g
y50l	69.46	-41.25	49.92	64.75	130	j53g
y75l	61.32	-52.99	35.76	63.92	146	j76g
l00c	52.69	-65.44	20.75	68.65	162	g00b
l50c	56.55	-45.12	-16.57	48.07	200	g34b
c00v	59.61	-28.98	-46.22	54.56	238	g69b
c50v	43.33	-1.54	-45.13	45.16	268	g96b
v00m	28.39	23.63	-44.13	50.06	298	b23r
v50m	36.9	43.84	-30.24	53.26	325	b47r
m00o	49.58	73.93	-9.56	74.55	353	b71r
m50o	49.17	69.55	14.68	71.08	12	b88r

$\text{LAB}^*\text{LAB}^*_{Ma}$

$i^* = 1.00$

Brillantheit i^*

$i^* = 0.80$

$i^* = 0.60$

$i^* = 0.40$

$i^* = 0.20$

Ein und Ausgabe: Farbmetrisches Drucker-Reflektiv-System ORS19_96a für relativen CIELAB-Buntton $h^* = lab^*h^* = h_{ab}/360 = 0.661$

Daten für jede Farbe:

lab^*ch^* und lab^*icu^*

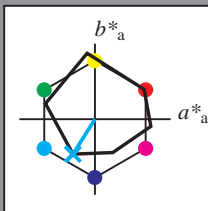
Bunttontexte:

$u^*_d = c00v$ $u^*_e = g69b$

Kontrastreduzierungsfaktor:

$c_R = 1.0$

Dreiecks-Helligkeit i^*



ORS19_96a; adaptierte CIELAB-Daten

u^*_d	$L^*=L^*_a$	a^*_a	b^*_a	$C^*_{ab,a}$	$h^*_{ab,a}$
O _{Ma}	48.75	65.07	39.43	76.08	31
Y _{Ma}	90.92	-10.29	87.24	87.85	97
L _{Ma}	52.69	-65.44	20.75	68.65	162
C _{Ma}	59.61	-28.98	-46.22	54.56	238
V _{Ma}	28.39	23.63	-44.13	50.06	298
M _{Ma}	49.58	73.93	-9.56	74.55	353
N _{Ma}	18.89	0.0	0.0	0.0	0
W _{Ma}	96.9	0.0	0.0	0.0	0
O _{Ma}	39.92	58.74	27.99	65.07	25
Y _{Ma}	81.26	-2.89	71.56	71.62	92
L _{Ma}	52.23	-42.42	13.6	44.55	162
V _{Ma}	30.57	1.41	-46.47	46.49	272

Daten für Maximalfarbe (Ma):

$LAB^*LAB^*_{Ma}$: 60 -29 -46

$LAB^*LCH^*_{Ma}$: 60 55 237

$lab^*olv^*_{Ma}$: 0.0 1.0 1.0

$lab^*rgb^*_{Ma}$: 0.0 0.62 1.0

Dreiecks-Helligkeit i^*

%Umfang

$u^*_{rel} = 89$

%Regularität

$g^*_{H,rel} = 72$

$g^*_{C,rel} = 57$

ORS19_96a; adaptierte CIELAB-Daten

u^*_d	$L^*=L^*_a$	a^*_a	b^*_a	$C^*_{ab,a}$	$h^*_{ab,a}$	u^*_e
o00y	48.75	65.07	39.43	76.08	31	r08j
o25y	59.04	46.67	51.1	69.21	48	r33j
o50y	68.32	30.09	61.62	68.58	64	r57j
o75y	78.23	12.39	72.85	73.9	80	r81j
y00l	90.92	-10.29	87.24	87.85	97	j06g
y25l	78.57	-28.11	65.75	71.51	113	j29g
y50l	69.46	-41.25	49.92	64.75	130	j53g
y75l	61.32	-52.99	35.76	63.92	146	j76g
l00c	52.69	-65.44	20.75	68.65	162	g00b
l50c	56.55	-45.12	-16.57	48.07	200	g34b
c00v	59.61	-28.98	-46.22	54.56	238	g69b
c50v	43.33	-1.54	-45.13	45.16	268	g96b
v00m	28.39	23.63	-44.13	50.06	298	b23r
v50m	36.9	43.84	-30.24	53.26	325	b47r
m00o	49.58	73.93	-9.56	74.55	353	b71r
m50o	49.17	69.55	14.68	71.08	12	b88r

$LAB^*LAB^*_{a}$

$i^*=1.00$

Brillantheit i^*

$i^*=0.80$

$i^*=0.60$

$i^*=0.40$

$i^*=0.20$

Ein und Ausgabe: Farbmetrisches Drucker-Reflektiv-System ORS19_96a für relativen CIELAB-Buntton $h^* = lab^*h^* = h_{ab}/360 = 0.745$

Daten für jede Farbe:

lab^*tch^* und lab^*icu^*

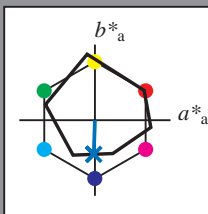
Bunttontexte:

$u^*_d = c50v$ $u^*_e = g96b$

Kontrastreduzierungsfaktor:

$c_R = 1.0$

Dreiecks-Helligkeit i^*



ORS19_96a; adaptierte CIELAB-Daten

u^*_d	$L^*=L^*_a$	a^*_a	b^*_a	$C^*_{ab,a}$	$h^*_{ab,a}$
O _{Ma}	48.75	65.07	39.43	76.08	31
Y _{Ma}	90.92	-10.29	87.24	87.85	97
L _{Ma}	52.69	-65.44	20.75	68.65	162
C _{Ma}	59.61	-28.98	-46.22	54.56	238
V _{Ma}	28.39	23.63	-44.13	50.06	298
M _{Ma}	49.58	73.93	-9.56	74.55	353
N _{Ma}	18.89	0.0	0.0	0.0	0
W _{Ma}	96.9	0.0	0.0	0.0	0
O _{Ma}	39.92	58.74	27.99	65.07	25
Y _{Ma}	81.26	-2.89	71.56	71.62	92
L _{Ma}	52.23	-42.42	13.6	44.55	162
V _{Ma}	30.57	1.41	-46.47	46.49	272

Daten für Maximalfarbe (Ma):

$LAB^*LAB^*_{Ma}$: 43 -2 -45

$LAB^*LCH^*_{Ma}$: 43 45 268

$lab^*olv^*_{Ma}$: 0.0 0.5 1.0

$lab^*rgb^*_{Ma}$: 0.0 0.07 1.0

Dreiecks-Helligkeit i^*

%Umfang

$u^*_{rel} = 89$

%Regularität

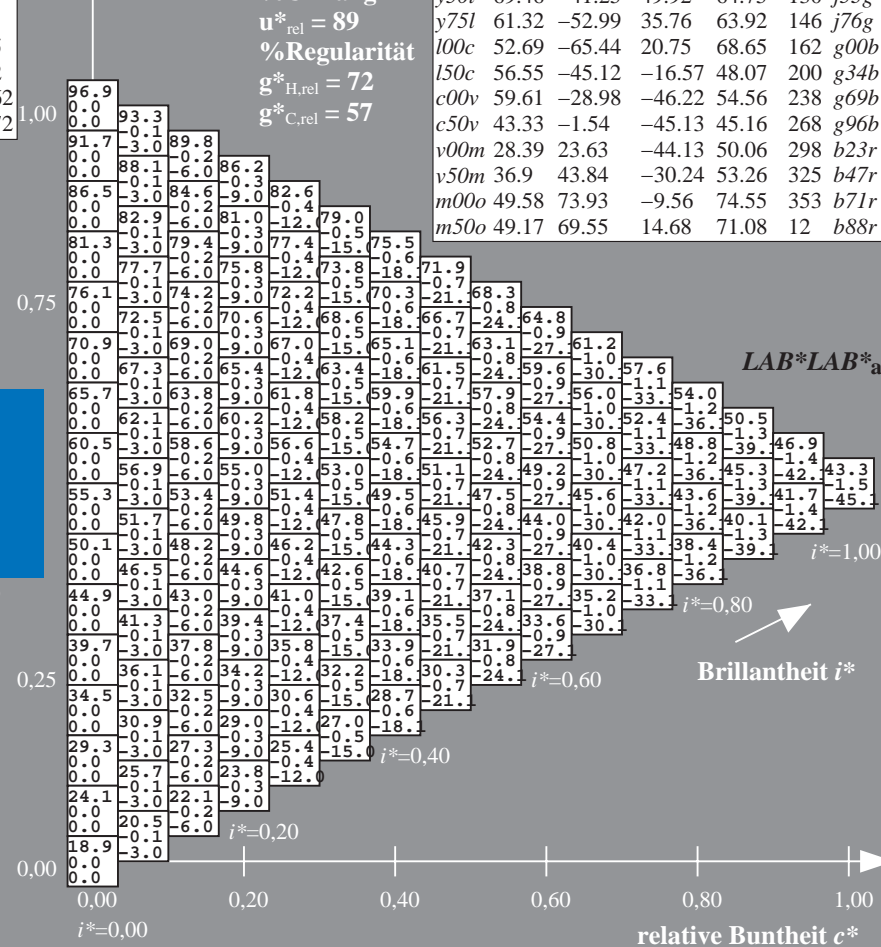
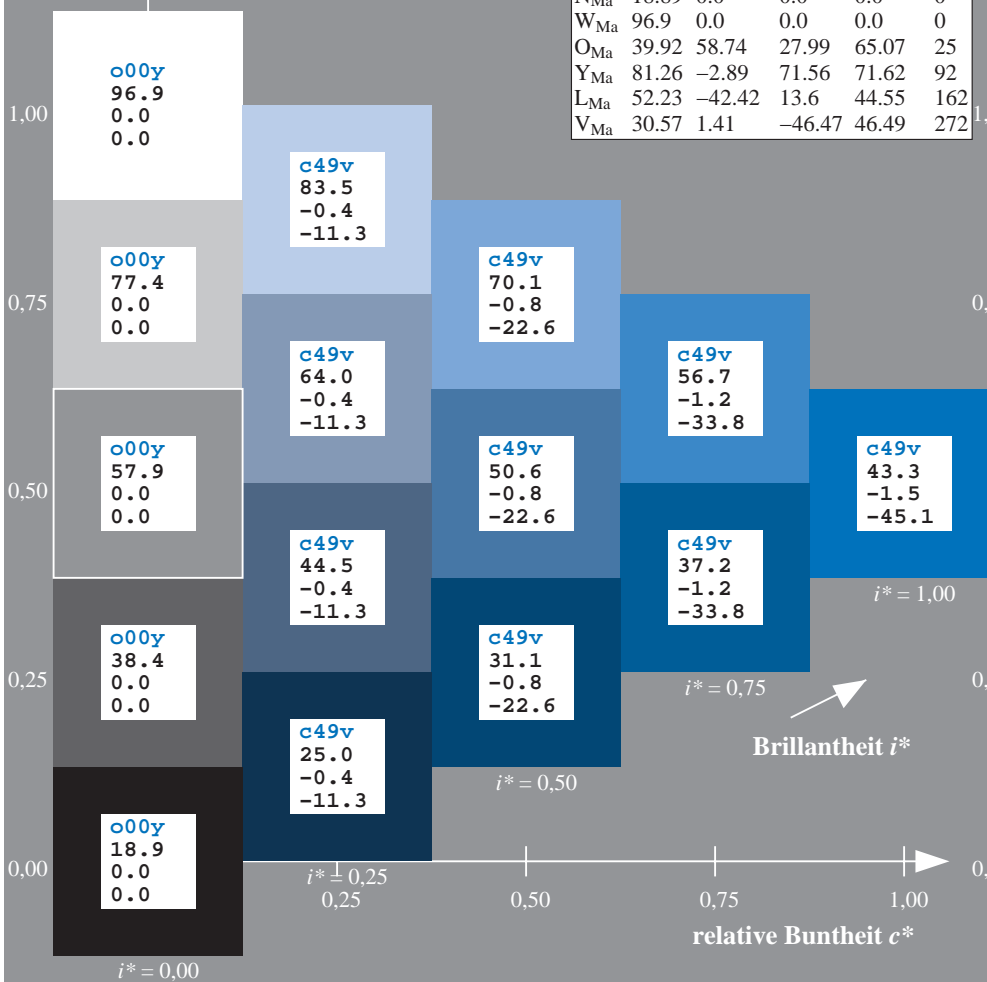
$g^*_{H,rel} = 72$

$g^*_{C,rel} = 57$

ORS19_96a; adaptierte CIELAB-Daten

u^*_d	$L^*=L^*_a$	a^*_a	b^*_a	$C^*_{ab,a}$	$h^*_{ab,a}$	u^*_e
o00y	48.75	65.07	39.43	76.08	31	r08j
o25y	59.04	46.67	51.1	69.21	48	r33j
o50y	68.32	30.09	61.62	68.58	64	r57j
o75y	78.23	12.39	72.85	73.9	80	r81j
y00l	90.92	-10.29	87.24	87.85	97	j06g
y25l	78.57	-28.11	65.75	71.51	113	j29g
y50l	69.46	-41.25	49.92	64.75	130	j53g
y75l	61.32	-52.99	35.76	63.92	146	j76g
l00c	52.69	-65.44	20.75	68.65	162	g00b
l50c	56.55	-45.12	-16.57	48.07	200	g34b
c00v	59.61	-28.98	-46.22	54.56	238	g69b
c50v	43.33	-1.54	-45.13	45.16	268	g96b
v00m	28.39	23.63	-44.13	50.06	298	b23r
v50m	36.9	43.84	-30.24	53.26	325	b47r
m00o	49.58	73.93	-9.56	74.55	353	b71r
m50o	49.17	69.55	14.68	71.08	12	b88r

$u^*_d = c50v$
 $LAB^*LAB^*_a$



Ein und Ausgabe: Farbmimetrisches Drucker-Reflektiv-System ORS19_96a für relativen CIELAB-Buntton $h^* = lab^*h^* = h_{ab}/360 = 0.828$

Daten für jede Farbe:

lab^*ch^* und lab^*icu^*

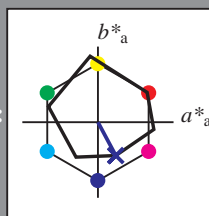
Bunttontexte:

$u^*_d = v00m$ $u^*_e = b23r$

Kontrastreduzierungsfaktor:

$c_R = 1.0$

Dreiecks-Helligkeit i^*



ORS19_96a; adaptierte CIELAB-Daten

u^*_d	$L^*=L^*_a$	a^*_a	b^*_a	$C^*_{ab,a}$	$h^*_{ab,a}$
O _{Ma}	48.75	65.07	39.43	76.08	31
Y _{Ma}	90.92	-10.29	87.24	87.85	97
L _{Ma}	52.69	-65.44	20.75	68.65	162
C _{Ma}	59.61	-28.98	-46.22	54.56	238
V _{Ma}	28.39	23.63	-44.13	50.06	298
M _{Ma}	49.58	73.93	-9.56	74.55	353
N _{Ma}	18.89	0.0	0.0	0.0	0
W _{Ma}	96.9	0.0	0.0	0.0	0
O _{Ma}	39.92	58.74	27.99	65.07	25
Y _{Ma}	81.26	-2.89	71.56	71.62	92
L _{Ma}	52.23	-42.42	13.6	44.55	162
V _{Ma}	30.57	1.41	-46.47	46.49	272

Daten für Maximalfarbe (Ma):

$LAB^*LAB^*_{Ma}$: 28 24 -44

$LAB^*LCH^*_{Ma}$: 28 50 298

$lab^*olv^*_{Ma}$: 0.0 0.0 1.0

$lab^*rgb^*_{Ma}$: 0.46 0.0 1.0

Dreiecks-Helligkeit i^*

%Umfang

$u^*_{rel} = 89$

%Regularität

$g^*_{H,rel} = 72$

$g^*_{C,rel} = 57$

ORS19_96a; adaptierte CIELAB-Daten

u^*_d	$L^*=L^*_a$	a^*_a	b^*_a	$C^*_{ab,a}$	$h^*_{ab,a}$	u^*_e
o00y	48.75	65.07	39.43	76.08	31	r08j
o25y	59.04	46.67	51.1	69.21	48	r33j
o50y	68.32	30.09	61.62	68.58	64	r57j
o75y	78.23	12.39	72.85	73.9	80	r81j
y00l	90.92	-10.29	87.24	87.85	97	j06g
y25l	78.57	-28.11	65.75	71.51	113	j29g
y50l	69.46	-41.25	49.92	64.75	130	j53g
y75l	61.32	-52.99	35.76	63.92	146	j76g
l00c	52.69	-65.44	20.75	68.65	162	g00b
l50c	56.55	-45.12	-16.57	48.07	200	g34b
c00v	59.61	-28.98	-46.22	54.56	238	g69b
c50v	43.33	-1.54	-45.13	45.16	268	g96b
v00m	28.39	23.63	-44.13	50.06	298	b23r
v50m	36.9	43.84	-30.24	53.26	325	b47r
m00o	49.58	73.93	-9.56	74.55	353	b71r
m50o	49.17	69.55	14.68	71.08	12	b88r

$u^*_d = v00m$
 $LAB^*LAB^*_a$

$LAB^*LAB^*_a$

$i^* = 1.00$

$i^* = 0.80$

Brillantheit i^*

$i^* = 0.60$

$i^* = 0.40$

$i^* = 0.20$

$i^* = 0.00$

Ein und Ausgabe: Farbmetrisches Drucker-Reflektiv-System ORS19_96a für relativen CIELAB-Buntton $h^* = lab^*h^* = h_{ab}/360 = 0.904$

Daten für jede Farbe:

lab^*ch^* und lab^*icu^*

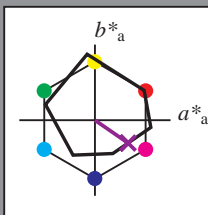
Bunttontexte:

$u^*_d = v50m$ $u^*_e = b47r$

Kontrastreduzierungsfaktor:

$c_R = 1.0$

Dreiecks-Helligkeit i^*



ORS19_96a; adaptierte CIELAB-Daten

u^*_d	$L^*=L^*_a$	a^*_a	b^*_a	$C^*_{ab,a}$	$h^*_{ab,a}$
O _{Ma}	48.75	65.07	39.43	76.08	31
Y _{Ma}	90.92	-10.29	87.24	87.85	97
L _{Ma}	52.69	-65.44	20.75	68.65	162
C _{Ma}	59.61	-28.98	-46.22	54.56	238
V _{Ma}	28.39	23.63	-44.13	50.06	298
M _{Ma}	49.58	73.93	-9.56	74.55	353
N _{Ma}	18.89	0.0	0.0	0.0	0
W _{Ma}	96.9	0.0	0.0	0.0	0
O _{Ma}	39.92	58.74	27.99	65.07	25
Y _{Ma}	81.26	-2.89	71.56	71.62	92
L _{Ma}	52.23	-42.42	13.6	44.55	162
V _{Ma}	30.57	1.41	-46.47	46.49	272

Daten für Maximalfarbe (Ma):

$LAB^*LAB^*_{Ma}$: 37 44 -30

$LAB^*LCH^*_{Ma}$: 37 53 325

$lab^*olv^*_{Ma}$: 0.5 0.0 1.0

$lab^*rgb^*_{Ma}$: 0.94 0.0 1.0

Dreiecks-Helligkeit i^*

%Umfang

$u^*_{rel} = 89$

%Regularität

$g^*_{H,rel} = 72$

$g^*_{C,rel} = 57$

ORS19_96a; adaptierte CIELAB-Daten

u^*_d	$L^*=L^*_a$	a^*_a	b^*_a	$C^*_{ab,a}$	$h^*_{ab,a}$	u^*_e
o00y	48.75	65.07	39.43	76.08	31	r08j
o25y	59.04	46.67	51.1	69.21	48	r33j
o50y	68.32	30.09	61.62	68.58	64	r57j
o75y	78.23	12.39	72.85	73.9	80	r81j
y00l	90.92	-10.29	87.24	87.85	97	j06g
y25l	78.57	-28.11	65.75	71.51	113	j29g
y50l	69.46	-41.25	49.92	64.75	130	j53g
y75l	61.32	-52.99	35.76	63.92	146	j76g
l00c	52.69	-65.44	20.75	68.65	162	g00b
l50c	56.55	-45.12	-16.57	48.07	200	g34b
c00v	59.61	-28.98	-46.22	54.56	238	g69b
c50v	43.33	-1.54	-45.13	45.16	268	g96b
v00m	28.39	23.63	-44.13	50.06	298	b23r
v50m	36.9	43.84	-30.24	53.26	325	b47r
m00o	49.58	73.93	-9.56	74.55	353	b71r
m50o	49.17	69.55	14.68	71.08	12	b88r

$u^*_d = v50m$
 $LAB^*LAB^*_a$

$LAB^*LAB^*_a$

$i^* = 1.00$

$i^* = 0.80$

Brillantheit i^*

$i^* = 0.60$

$i^* = 0.40$

$i^* = 0.20$

$i^* = 0.00$

relative Buntheit c^*

relative Buntheit c^*

Ein und Ausgabe: Farbmetrisches Drucker-Reflektiv-System ORS19_96a für relativen CIELAB-Buntton $h^* = lab^*h^* = h_{ab}/360 = 0.98$

Daten für jede Farbe:

lab^*ch^* und lab^*icu^*

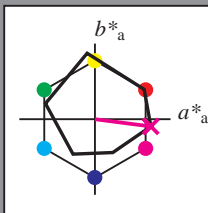
Bunttontexte:

$u^*_d = m00o$ $u^*_e = b71r$

Kontrastreduzierungsfaktor:

$c_R = 1.0$

Dreiecks-Helligkeit i^*



ORS19_96a; adaptierte CIELAB-Daten

u^*_d	$L^*=L^*_a$	a^*_a	b^*_a	$C^*_{ab,a}$	$h^*_{ab,a}$
O _{Ma}	48.75	65.07	39.43	76.08	31
Y _{Ma}	90.92	-10.29	87.24	87.85	97
L _{Ma}	52.69	-65.44	20.75	68.65	162
C _{Ma}	59.61	-28.98	-46.22	54.56	238
V _{Ma}	28.39	23.63	-44.13	50.06	298
M _{Ma}	49.58	73.93	-9.56	74.55	353
N _{Ma}	18.89	0.0	0.0	0.0	0
W _{Ma}	96.9	0.0	0.0	0.0	0
O _{Ma}	39.92	58.74	27.99	65.07	25
Y _{Ma}	81.26	-2.89	71.56	71.62	92
L _{Ma}	52.23	-42.42	13.6	44.55	162
V _{Ma}	30.57	1.41	-46.47	46.49	272

Daten für Maximalfarbe (Ma):

$LAB^*LAB^*_{Ma}$: 50 74 -10

$LAB^*LCH^*_{Ma}$: 50 75 352

$lab^*olv^*_{Ma}$: 1.0 0.0 1.0

$lab^*rgb^*_{Ma}$: 1.0 0.0 0.58

Dreiecks-Helligkeit i^*

%Umfang

$u^*_{rel} = 89$

%Regularität

$g^*_{H,rel} = 72$

$g^*_{C,rel} = 57$

ORS19_96a; adaptierte CIELAB-Daten

u^*_d	$L^*=L^*_a$	a^*_a	b^*_a	$C^*_{ab,a}$	$h^*_{ab,a}$	u^*_e
o00y	48.75	65.07	39.43	76.08	31	r08j
o25y	59.04	46.67	51.1	69.21	48	r33j
o50y	68.32	30.09	61.62	68.58	64	r57j
o75y	78.23	12.39	72.85	73.9	80	r81j
y00l	90.92	-10.29	87.24	87.85	97	j06g
y25l	78.57	-28.11	65.75	71.51	113	j29g
y50l	69.46	-41.25	49.92	64.75	130	j53g
y75l	61.32	-52.99	35.76	63.92	146	j76g
l00c	52.69	-65.44	20.75	68.65	162	g00b
l50c	56.55	-45.12	-16.57	48.07	200	g34b
c00v	59.61	-28.98	-46.22	54.56	238	g69b
c50v	43.33	-1.54	-45.13	45.16	268	g96b
v00m	28.39	23.63	-44.13	50.06	298	b23r
v50m	36.9	43.84	-30.24	53.26	325	b47r
m00o	49.58	73.93	-9.56	74.55	353	b71r
m50o	49.17	69.55	14.68	71.08	12	b88r

$LAB^*LAB^*_{a}$

$i^* = 1.00$

Brillantheit i^*

$i^* = 0.80$

$i^* = 0.60$

$i^* = 0.40$

$i^* = 0.20$

$i^* = 0.00$

relative Buntheit c^*

Ein und Ausgabe: Farbmetrisches Drucker-Reflektiv-System ORS19_96a für relativen CIELAB-Buntton $h^* = lab^*h^* = h_{ab}/360 = 0.033$

Daten für jede Farbe:

lab^*tch^* und lab^*icu^*

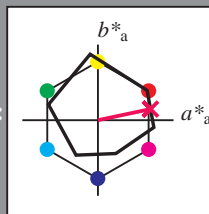
Bunttontexte:

$u^*_d = m50o$ $u^*_e = b88r$

Kontrastreduzierungsfaktor:

$c_R = 1.0$

Dreiecks-Helligkeit i^*



ORS19_96a; adaptierte CIELAB-Daten

u^*_d	$L^*=L^*_a$	a^*_a	b^*_a	$C^*_{ab,a}$	$h^*_{ab,a}$
O _{Ma}	48.75	65.07	39.43	76.08	31
Y _{Ma}	90.92	-10.29	87.24	87.85	97
L _{Ma}	52.69	-65.44	20.75	68.65	162
C _{Ma}	59.61	-28.98	-46.22	54.56	238
V _{Ma}	28.39	23.63	-44.13	50.06	298
M _{Ma}	49.58	73.93	-9.56	74.55	353
N _{Ma}	18.89	0.0	0.0	0.0	0
W _{Ma}	96.9	0.0	0.0	0.0	0
O _{Ma}	39.92	58.74	27.99	65.07	25
Y _{Ma}	81.26	-2.89	71.56	71.62	92
L _{Ma}	52.23	-42.42	13.6	44.55	162
V _{Ma}	30.57	1.41	-46.47	46.49	272

Daten für Maximalfarbe (Ma):

$LAB^*LAB^*_{Ma}$: 49 70 15

$LAB^*LCH^*_{Ma}$: 49 71 11

$lab^*olv^*_{Ma}$: 1.0 0.0 0.5

$lab^*rgb^*_{Ma}$: 1.0 0.0 0.24

Dreiecks-Helligkeit i^*

%Umfang

$u^*_{rel} = 89$

%Regularität

$g^*_{H,rel} = 72$

$g^*_{C,rel} = 57$

ORS19_96a; adaptierte CIELAB-Daten

u^*_d	$L^*=L^*_a$	a^*_a	b^*_a	$C^*_{ab,a}$	$h^*_{ab,a}$	u^*_e
o00y	48.75	65.07	39.43	76.08	31	r08j
o25y	59.04	46.67	51.1	69.21	48	r33j
o50y	68.32	30.09	61.62	68.58	64	r57j
o75y	78.23	12.39	72.85	73.9	80	r81j
y00l	90.92	-10.29	87.24	87.85	97	j06g
y25l	78.57	-28.11	65.75	71.51	113	j29g
y50l	69.46	-41.25	49.92	64.75	130	j53g
y75l	61.32	-52.99	35.76	63.92	146	j76g
l00c	52.69	-65.44	20.75	68.65	162	g00b
l50c	56.55	-45.12	-16.57	48.07	200	g34b
c00v	59.61	-28.98	-46.22	54.56	238	g69b
c50v	43.33	-1.54	-45.13	45.16	268	g96b
v00m	28.39	23.63	-44.13	50.06	298	b23r
v50m	36.9	43.84	-30.24	53.26	325	b47r
m00o	49.58	73.93	-9.56	74.55	353	b71r
m50o	49.17	69.55	14.68	71.08	12	b88r

$u^*_d = m50o$
 $LAB^*LAB^*_a$

$LAB^*LAB^*_a$

Brillantheit i^*

Ein und Ausgabe:
Farbmetrisches Drucker-Reflektiv-System ORS19_96a
Daten für jede Farbe:

u^*_d und Nummer $Nr.$ = 00 .. 15

Geräte-Bunttontext:

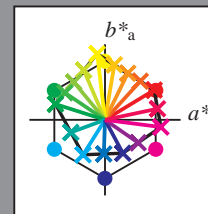
u^*_d = 16 Bunttoene $o00y$, $o25y$, ..., $m50o$

Kontrastreduzierungsfaktor:

$c_R = 1.0$

ORS19_96a; adaptierte CIELAB-Daten

u^*_d	$L^*=L^*_a$	a^*_a	b^*_a	$C^*_{ab,a}$	$h^*_{ab,a}$	u^*_e
$o00y$	48.75	65.07	39.43	76.08	31	$r08j$
$o25y$	59.04	46.67	51.1	69.21	48	$r33j$
$o50y$	68.32	30.09	61.62	68.58	64	$r57j$
$o75y$	78.23	12.39	72.85	73.9	80	$r81j$
$y00l$	90.92	-10.29	87.24	87.85	97	$j06g$
$y25l$	78.57	-28.11	65.75	71.51	113	$j29g$
$y50l$	69.46	-41.25	49.92	64.75	130	$j53g$
$y75l$	61.32	-52.99	35.76	63.92	146	$j76g$
$l00c$	52.69	-65.44	20.75	68.65	162	$g00b$
$l50c$	56.55	-45.12	-16.57	48.07	200	$g34b$
$c00v$	59.61	-28.98	-46.22	54.56	238	$g69b$
$c50v$	43.33	-1.54	-45.13	45.16	268	$g96b$
$v00m$	28.39	23.63	-44.13	50.06	298	$b23r$
$v50m$	36.9	43.84	-30.24	53.26	325	$b47r$
$m00o$	49.58	73.93	-9.56	74.55	353	$b71r$
$m50o$	49.17	69.55	14.68	71.08	12	$b88r$



%Umfang

$u^*_{rel} = 89$

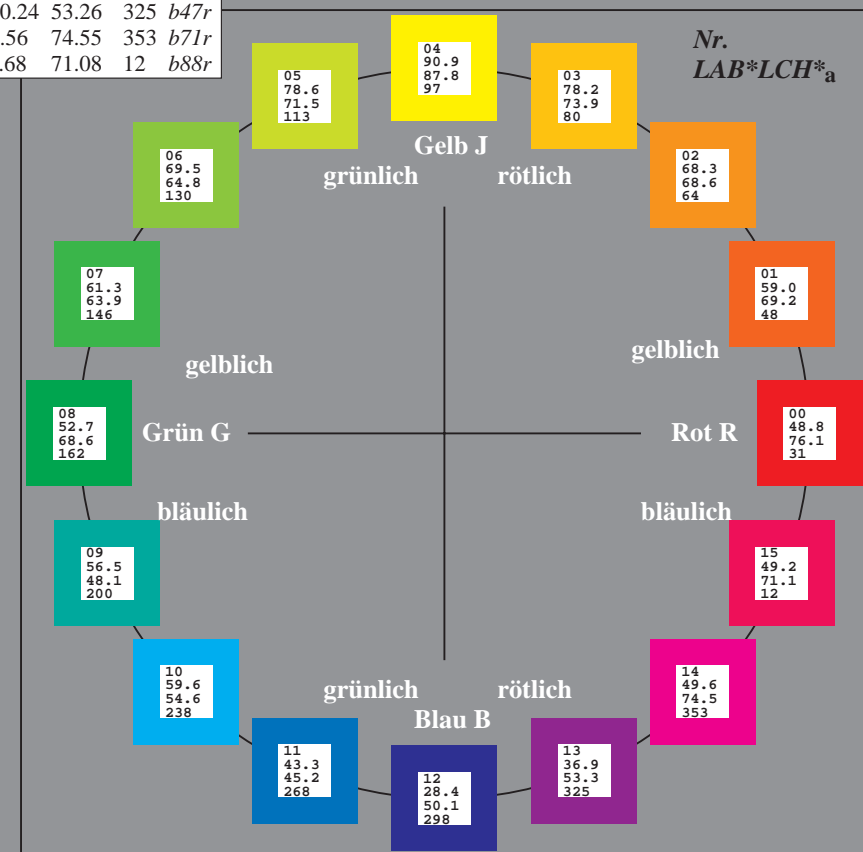
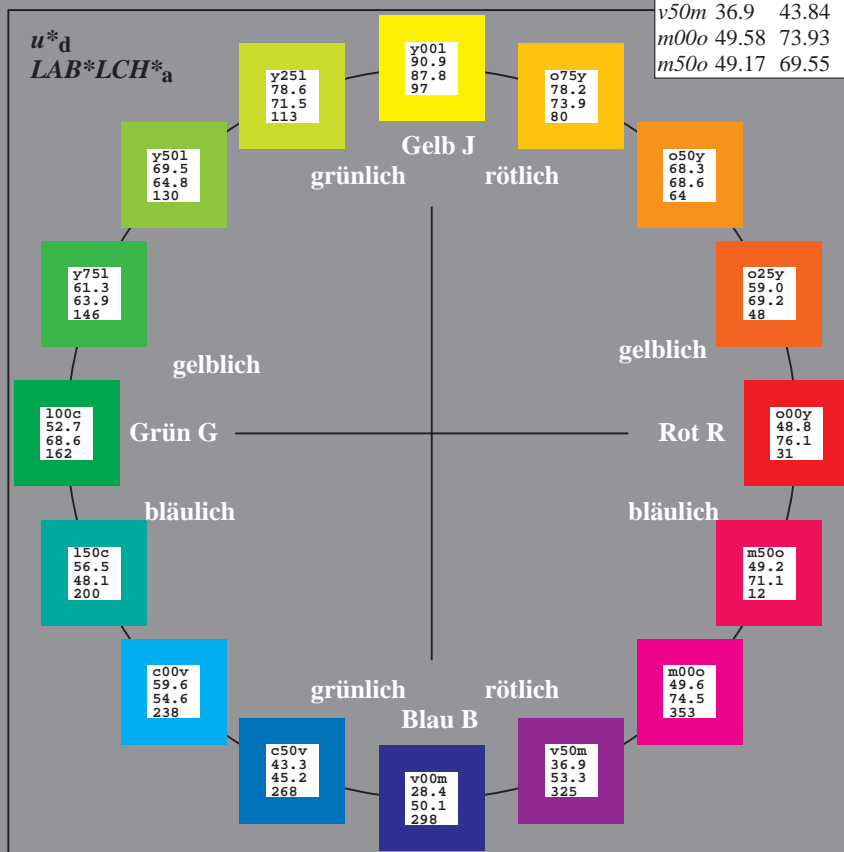
%Regularität

$g^*_{H,rel} = 72$

$g^*_{C,rel} = 57$

ORS19_96a; adaptierte CIELAB-Daten

Name	$L^*=L^*_a$	a^*_a	b^*_a	$C^*_{ab,a}$	$h^*_{ab,a}$
O_{Ma}	48.75	65.07	39.43	76.08	31
Y_{Ma}	90.92	-10.29	87.24	87.85	97
L_{Ma}	52.69	-65.44	20.75	68.65	162
C_{Ma}	59.61	-28.98	-46.22	54.56	238
V_{Ma}	28.39	23.63	-44.13	50.06	298
M_{Ma}	49.58	73.93	-9.56	74.55	353
N_{Ma}	18.89	0.0	0.0	0.0	0
W_{Ma}	96.9	0.0	0.0	0.0	0
O_{CIE}	39.92	58.74	27.99	65.07	25
Y_{CIE}	81.26	-2.89	71.56	71.62	92
L_{CIE}	52.23	-42.42	13.6	44.55	162
V_{CIE}	30.57	1.41	-46.47	46.49	272



Ein und Ausgabe: Farbmimetrisches Drucker-Reflektiv-System ORS19_96a für relativen CIELAB-Buntton $h^* = lab^*h^* = h_{ab}/360 = 0.087$

Daten für jede Farbe:

lab^*tch^* und lab^*icu^*

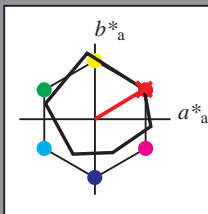
Bunttontexte:

$u^*_d = o00y$ $u^*_e = r08j$

Kontrastreduzierungsfaktor:

$c_R = 1.0$

Dreiecks-Helligkeit i^*



ORS19_96a; adaptierte CIELAB-Daten

u^*_d	$L^*=L^*_a$	a^*_a	b^*_a	$C^*_{ab,a}$	$h^*_{ab,a}$
O _{Ma}	48.75	65.07	39.43	76.08	31
Y _{Ma}	90.92	-10.29	87.24	87.85	97
L _{Ma}	52.69	-65.44	20.75	68.65	162
C _{Ma}	59.61	-28.98	-46.22	54.56	238
V _{Ma}	28.39	23.63	-44.13	50.06	298
M _{Ma}	49.58	73.93	-9.56	74.55	353
N _{Ma}	18.89	0.0	0.0	0.0	0
W _{Ma}	96.9	0.0	0.0	0.0	0
O _{Ma}	39.92	58.74	27.99	65.07	25
Y _{Ma}	81.26	-2.89	71.56	71.62	92
L _{Ma}	52.23	-42.42	13.6	44.55	162
V _{Ma}	30.57	1.41	-46.47	46.49	272

Daten für Maximalfarbe (Ma):

$LAB^*LAB^*_{Ma}$: 49 65 39

$LAB^*LCH^*_{Ma}$: 49 76 31

$lab^*olv^*_{Ma}$: 1.0 0.0 0.0

$lab^*rgb^*_{Ma}$: 1.0 0.09 0.0

Dreiecks-Helligkeit i^*

%Umfang

$u^*_{rel} = 89$

%Regularität

$g^*_{H,rel} = 72$

$g^*_{C,rel} = 57$

ORS19_96a; adaptierte CIELAB-Daten

u^*_d	$L^*=L^*_a$	a^*_a	b^*_a	$C^*_{ab,a}$	$h^*_{ab,a}$	u^*_e
$o00y$	48.75	65.07	39.43	76.08	31	$r08j$
$o25y$	59.04	46.67	51.1	69.21	48	$r33j$
$o50y$	68.32	30.09	61.62	68.58	64	$r57j$
$o75y$	78.23	12.39	72.85	73.9	80	$r81j$
$y00l$	90.92	-10.29	87.24	87.85	97	$j06g$
$y25l$	78.57	-28.11	65.75	71.51	113	$j29g$
$y50l$	69.46	-41.25	49.92	64.75	130	$j53g$
$y75l$	61.32	-52.99	35.76	63.92	146	$j76g$
$l00c$	52.69	-65.44	20.75	68.65	162	$g00b$
$l50c$	56.55	-45.12	-16.57	48.07	200	$g34b$
$c00v$	59.61	-28.98	-46.22	54.56	238	$g69b$
$c50v$	43.33	-1.54	-45.13	45.16	268	$g96b$
$v00m$	28.39	23.63	-44.13	50.06	298	$b23r$
$v50m$	36.9	43.84	-30.24	53.26	325	$b47r$
$m00o$	49.58	73.93	-9.56	74.55	353	$b71r$
$m50o$	49.17	69.55	14.68	71.08	12	$b88r$

$LAB^*LCH^*_{a}$

$i^*=1.00$

Brillantheit i^*

$i^*=0.80$

$i^*=0.60$

$i^*=0.40$

$i^*=0.20$

$i^*=0.00$

relative Buntheit c^*

relative Buntheit c^*

Ein und Ausgabe: Farbmimetrisches Drucker-Reflektiv-System ORS19_96a für relativen CIELAB-Buntton $h^* = lab^*h^* = h_{ab}/360 = 0.132$

Daten für jede Farbe:

lab^*tch^* und lab^*icu^*

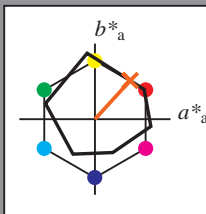
Bunttontexte:

$u^*_d = o25y$ $u^*_e = r33j$

Kontrastreduzierungsfaktor:

$c_R = 1.0$

Dreiecks-Helligkeit t^*



ORS19_96a; adaptierte CIELAB-Daten

u^*_d	$L^*=L^*_a$	a^*_a	b^*_a	$C^*_{ab,a}$	$h^*_{ab,a}$
O _{Ma}	48.75	65.07	39.43	76.08	31
Y _{Ma}	90.92	-10.29	87.24	87.85	97
L _{Ma}	52.69	-65.44	20.75	68.65	162
C _{Ma}	59.61	-28.98	-46.22	54.56	238
V _{Ma}	28.39	23.63	-44.13	50.06	298
M _{Ma}	49.58	73.93	-9.56	74.55	353
N _{Ma}	18.89	0.0	0.0	0.0	0
W _{Ma}	96.9	0.0	0.0	0.0	0
O _{Ma}	39.92	58.74	27.99	65.07	25
Y _{Ma}	81.26	-2.89	71.56	71.62	92
L _{Ma}	52.23	-42.42	13.6	44.55	162
V _{Ma}	30.57	1.41	-46.47	46.49	272

Daten für Maximalfarbe (Ma):

$LAB^*LAB^*_{Ma}$: 59 47 51

$LAB^*LCH^*_{Ma}$: 59 69 47

$lab^*olv^*_{Ma}$: 1.0 0.25 0.0

$lab^*rgb^*_{Ma}$: 1.0 0.33 0.0

Dreiecks-Helligkeit t^*

%Umfang

$u^*_{rel} = 89$

%Regularität

$g^*_{H,rel} = 72$

$g^*_{C,rel} = 57$

ORS19_96a; adaptierte CIELAB-Daten

u^*_d	$L^*=L^*_a$	a^*_a	b^*_a	$C^*_{ab,a}$	$h^*_{ab,a}$	u^*_e
o00y	48.75	65.07	39.43	76.08	31	r08j
o25y	59.04	46.67	51.1	69.21	48	r33j
o50y	68.32	30.09	61.62	68.58	64	r57j
o75y	78.23	12.39	72.85	73.9	80	r81j
y00l	90.92	-10.29	87.24	87.85	97	j06g
y25l	78.57	-28.11	65.75	71.51	113	j29g
y50l	69.46	-41.25	49.92	64.75	130	j53g
y75l	61.32	-52.99	35.76	63.92	146	j76g
l00c	52.69	-65.44	20.75	68.65	162	g00b
l50c	56.55	-45.12	-16.57	48.07	200	g34b
c00v	59.61	-28.98	-46.22	54.56	238	g69b
c50v	43.33	-1.54	-45.13	45.16	268	g96b
v00m	28.39	23.63	-44.13	50.06	298	b23r
v50m	36.9	43.84	-30.24	53.26	325	b47r
m00o	49.58	73.93	-9.56	74.55	353	b71r
m50o	49.17	69.55	14.68	71.08	12	b88r

$LAB^*LCH^*_{Ma}$

$i^* = 1.00$

Brillantheit i^*

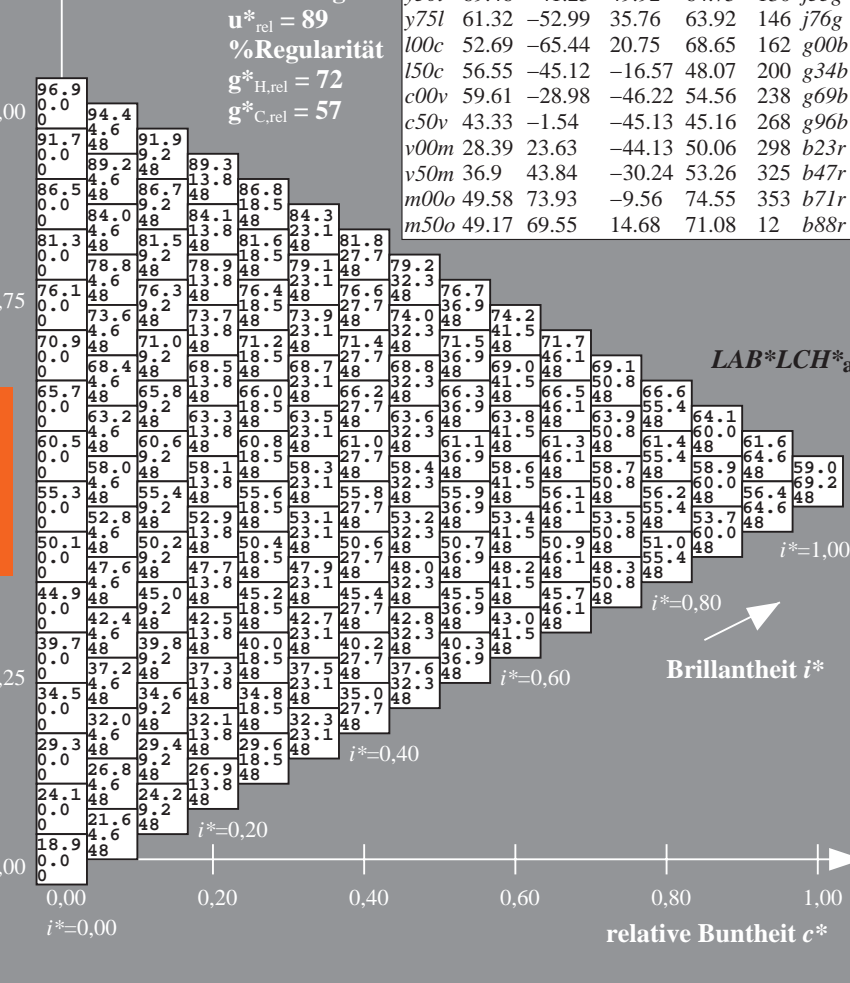
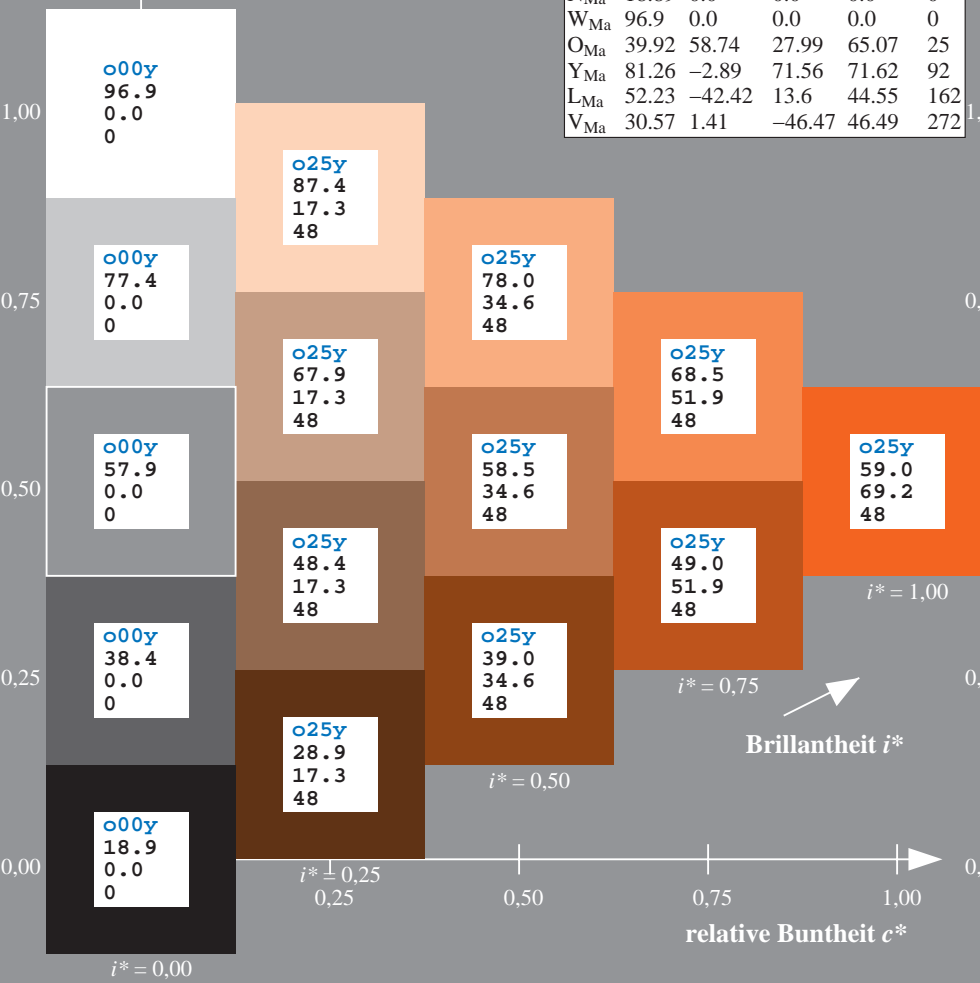
$i^* = 0.80$

$i^* = 0.60$

$i^* = 0.40$

$i^* = 0.20$

$i^* = 0.00$



Ein und Ausgabe: Farbmimetrisches Drucker-Reflektiv-System ORS19_96a für relativen CIELAB-Buntton $h^* = lab^*h^* = h_{ab}/360 = 0.178$

Daten für jede Farbe:

lab^*ch^* und lab^*icu^*

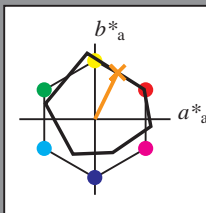
Bunttontexte:

$u^*_d = o50y$ $u^*_e = r57j$

Kontrastreduzierungsfaktor:

$c_R = 1.0$

Dreiecks-Helligkeit i^*



ORS19_96a; adaptierte CIELAB-Daten

u^*_d	$L^*=L^*_a$	a^*_a	b^*_a	$C^*_{ab,a}$	$h^*_{ab,a}$
O _{Ma}	48.75	65.07	39.43	76.08	31
Y _{Ma}	90.92	-10.29	87.24	87.85	97
L _{Ma}	52.69	-65.44	20.75	68.65	162
C _{Ma}	59.61	-28.98	-46.22	54.56	238
V _{Ma}	28.39	23.63	-44.13	50.06	298
M _{Ma}	49.58	73.93	-9.56	74.55	353
N _{Ma}	18.89	0.0	0.0	0.0	0
W _{Ma}	96.9	0.0	0.0	0.0	0
O _{Ma}	39.92	58.74	27.99	65.07	25
Y _{Ma}	81.26	-2.89	71.56	71.62	92
L _{Ma}	52.23	-42.42	13.6	44.55	162
V _{Ma}	30.57	1.41	-46.47	46.49	272

Daten für Maximalfarbe (Ma):

$LAB^*LAB^*_{Ma}$: 68 30 62

$LAB^*LCH^*_{Ma}$: 68 69 63

$lab^*olv^*_{Ma}$: 1.0 0.5 0.0

$lab^*rgb^*_{Ma}$: 1.0 0.58 0.0

Dreiecks-Helligkeit i^*

%Umfang

$u^*_{rel} = 89$

%Regularität

$g^*_{H,rel} = 72$

$g^*_{C,rel} = 57$

ORS19_96a; adaptierte CIELAB-Daten

u^*_d	$L^*=L^*_a$	a^*_a	b^*_a	$C^*_{ab,a}$	$h^*_{ab,a}$	u^*_e
o00y	48.75	65.07	39.43	76.08	31	r08j
o25y	59.04	46.67	51.1	69.21	48	r33j
o50y	68.32	30.09	61.62	68.58	64	r57j
o75y	78.23	12.39	72.85	73.9	80	r81j
y00l	90.92	-10.29	87.24	87.85	97	j06g
y25l	78.57	-28.11	65.75	71.51	113	j29g
y50l	69.46	-41.25	49.92	64.75	130	j53g
y75l	61.32	-52.99	35.76	63.92	146	j76g
l00c	52.69	-65.44	20.75	68.65	162	g00b
l50c	56.55	-45.12	-16.57	48.07	200	g34b
c00v	59.61	-28.98	-46.22	54.56	238	g69b
c50v	43.33	-1.54	-45.13	45.16	268	g96b
v00m	28.39	23.63	-44.13	50.06	298	b23r
v50m	36.9	43.84	-30.24	53.26	325	b47r
m00o	49.58	73.93	-9.56	74.55	353	b71r
m50o	49.17	69.55	14.68	71.08	12	b88r

$LAB^*LCH^*_{Ma}$

$i^* = 1.00$

Brillantheit i^*

$i^* = 0.80$

$i^* = 0.60$

$i^* = 0.40$

$i^* = 0.20$

$i^* = 0.00$

relative Buntheit c^*

Ein und Ausgabe: Farbmimetrisches Drucker-Reflektiv-System ORS19_96a für relativen CIELAB-Buntton $h^* = lab^*h^* = h_{ab}/360 = 0.223$

Daten für jede Farbe:

lab^*tch^* und lab^*icu^*

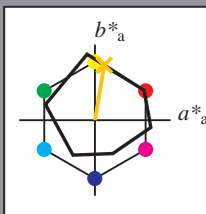
Bunttontexte:

$u^*_d = 075y$ $u^*_e = r81j$

Kontrastreduzierungsfaktor:

$c_R = 1.0$

Dreiecks-Helligkeit i^*



ORS19_96a; adaptierte CIELAB-Daten

u^*_d	$L^*=L^*_a$	a^*_a	b^*_a	$C^*_{ab,a}$	$h^*_{ab,a}$
O _{Ma}	48.75	65.07	39.43	76.08	31
Y _{Ma}	90.92	-10.29	87.24	87.85	97
L _{Ma}	52.69	-65.44	20.75	68.65	162
C _{Ma}	59.61	-28.98	-46.22	54.56	238
V _{Ma}	28.39	23.63	-44.13	50.06	298
M _{Ma}	49.58	73.93	-9.56	74.55	353
N _{Ma}	18.89	0.0	0.0	0.0	0
W _{Ma}	96.9	0.0	0.0	0.0	0
O _{Ma}	39.92	58.74	27.99	65.07	25
Y _{Ma}	81.26	-2.89	71.56	71.62	92
L _{Ma}	52.23	-42.42	13.6	44.55	162
V _{Ma}	30.57	1.41	-46.47	46.49	272

Daten für Maximalfarbe (Ma):

$LAB^*LAB^*_{Ma}$: 78 12 73

$LAB^*LCH^*_{Ma}$: 78 74 80

$lab^*olv^*_{Ma}$: 1.0 0.75 0.0

$lab^*rgb^*_{Ma}$: 1.0 0.82 0.0

Dreiecks-Helligkeit i^*

%Umfang

$u^*_{rel} = 89$

%Regularität

$g^*_{H,rel} = 72$

$g^*_{C,rel} = 57$

ORS19_96a; adaptierte CIELAB-Daten

u^*_d	$L^*=L^*_a$	a^*_a	b^*_a	$C^*_{ab,a}$	$h^*_{ab,a}$	u^*_e
o00y	48.75	65.07	39.43	76.08	31	r08j
o25y	59.04	46.67	51.1	69.21	48	r33j
o50y	68.32	30.09	61.62	68.58	64	r57j
o75y	78.23	12.39	72.85	73.9	80	r81j
y00l	90.92	-10.29	87.24	87.85	97	j06g
y25l	78.57	-28.11	65.75	71.51	113	j29g
y50l	69.46	-41.25	49.92	64.75	130	j53g
y75l	61.32	-52.99	35.76	63.92	146	j76g
l00c	52.69	-65.44	20.75	68.65	162	g00b
l50c	56.55	-45.12	-16.57	48.07	200	g34b
c00v	59.61	-28.98	-46.22	54.56	238	g69b
c50v	43.33	-1.54	-45.13	45.16	268	g96b
v00m	28.39	23.63	-44.13	50.06	298	b23r
v50m	36.9	43.84	-30.24	53.26	325	b47r
m00o	49.58	73.93	-9.56	74.55	353	b71r
m50o	49.17	69.55	14.68	71.08	12	b88r

$LAB^*LCH^*_{Ma}$

$i^*=1.00$

Brillantheit i^*

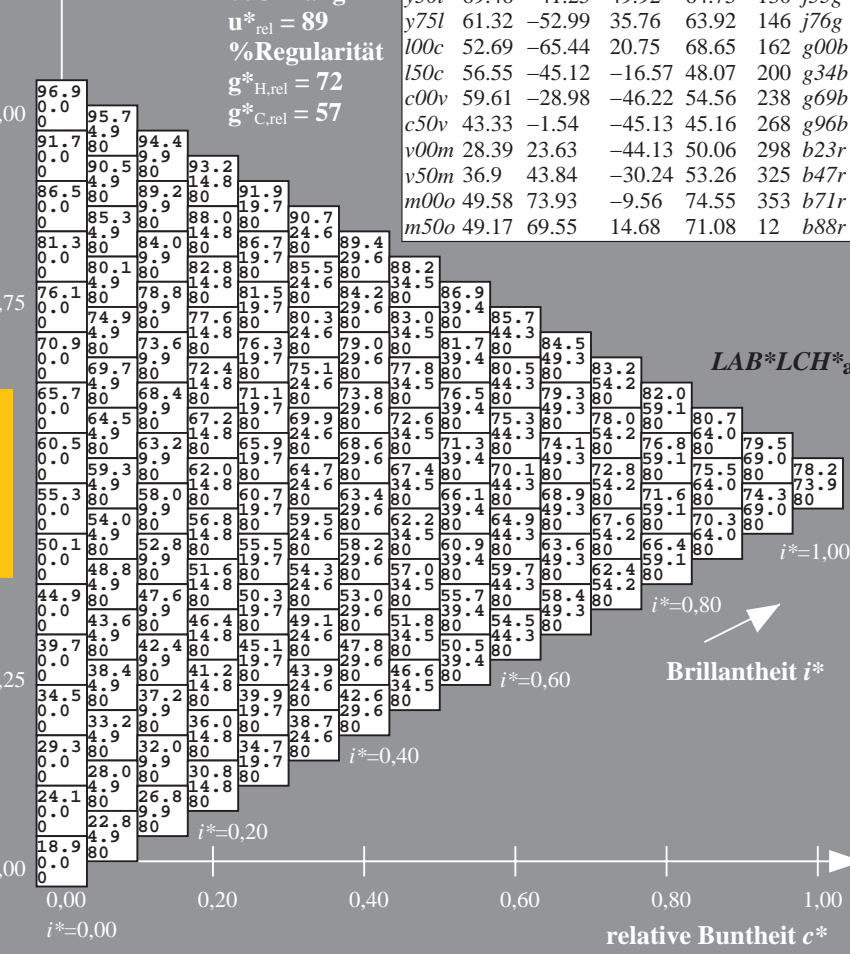
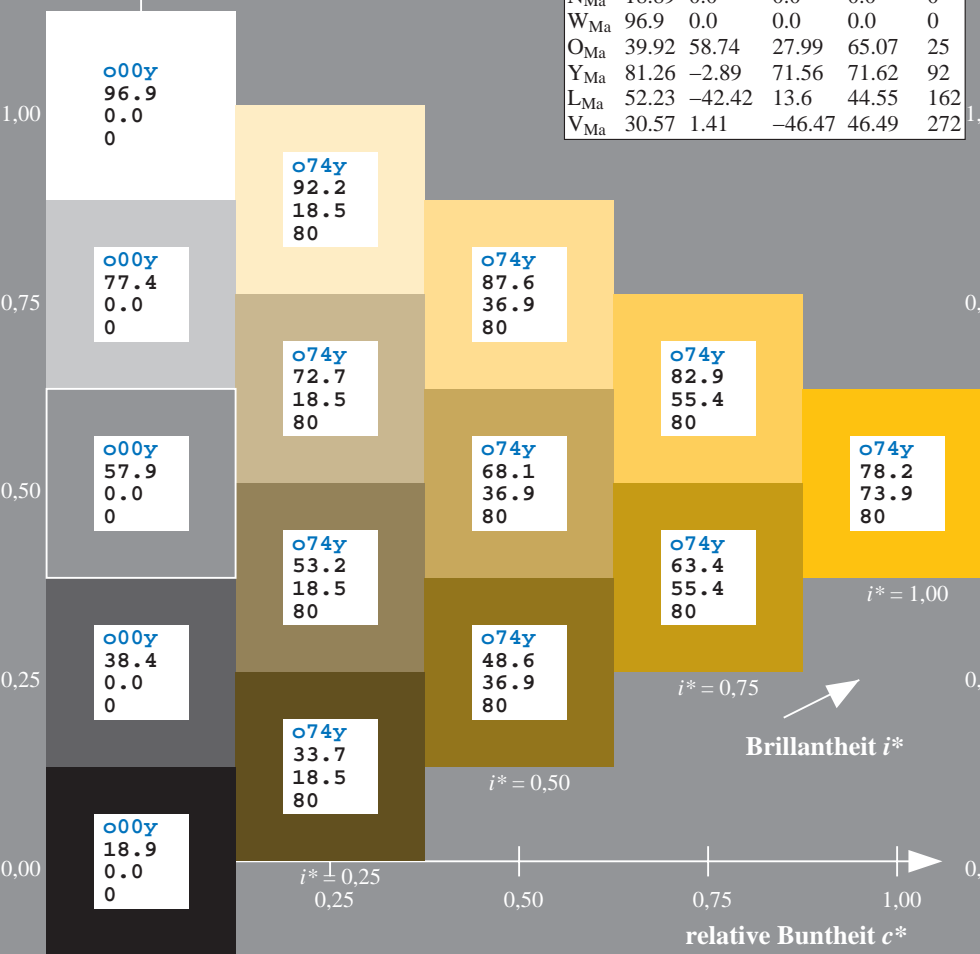
$i^*=0.80$

$i^*=0.60$

$i^*=0.40$

$i^*=0.20$

$i^*=0.00$



Ein und Ausgabe: Farbmimetrisches Drucker-Reflektiv-System ORS19_96a für relativen CIELAB-Buntton $h^* = lab^*h^* = h_{ab}/360 = 0.269$

Daten für jede Farbe:

lab^*ch^* und lab^*icu^*

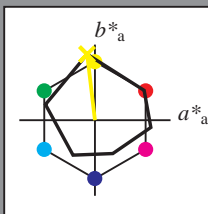
Bunttontexte:

$u^*_d = y00l$ $u^*_e = j06g$

Kontrastreduzierungsfaktor:

$c_R = 1.0$

Dreiecks-Helligkeit i^*



ORS19_96a; adaptierte CIELAB-Daten

	u^*_d	$L^*=L^*_a$	a^*_a	b^*_a	$C^*_{ab,a}$	$h^*_{ab,a}$
O _{Ma}	48.75	65.07	39.43	76.08	31	
Y _{Ma}	90.92	-10.29	87.24	87.85	97	
L _{Ma}	52.69	-65.44	20.75	68.65	162	
C _{Ma}	59.61	-28.98	-46.22	54.56	238	
V _{Ma}	28.39	23.63	-44.13	50.06	298	
M _{Ma}	49.58	73.93	-9.56	74.55	353	
N _{Ma}	18.89	0.0	0.0	0.0	0	
W _{Ma}	96.9	0.0	0.0	0.0	0	
O _{Ma}	39.92	58.74	27.99	65.07	25	
Y _{Ma}	81.26	-2.89	71.56	71.62	92	
L _{Ma}	52.23	-42.42	13.6	44.55	162	
V _{Ma}	30.57	1.41	-46.47	46.49	272	

Daten für Maximalfarbe (Ma):

$LAB^*LAB^*_{Ma}$: 91 -10 87

$LAB^*LCH^*_{Ma}$: 91 88 96

$lab^*olv^*_{Ma}$: 1.0 1.0 0.0

$lab^*rgb^*_{Ma}$: 0.94 1.0 0.0

Dreiecks-Helligkeit i^*

%Umfang

$u^*_{rel} = 89$

%Regularität

$g^*_{H,rel} = 72$

$g^*_{C,rel} = 57$

ORS19_96a; adaptierte CIELAB-Daten

	u^*_d	$L^*=L^*_a$	a^*_a	b^*_a	$C^*_{ab,a}$	$h^*_{ab,a}$	u^*_e
o00y	48.75	65.07	39.43	76.08	31		r08j
o25y	59.04	46.67	51.1	69.21	48		r33j
o50y	68.32	30.09	61.62	68.58	64		r57j
o75y	78.23	12.39	72.85	73.9	80		r81j
y00l	90.92	-10.29	87.24	87.85	97		j06g
y25l	78.57	-28.11	65.75	71.51	113		j29g
y50l	69.46	-41.25	49.92	64.75	130		j53g
y75l	61.32	-52.99	35.76	63.92	146		j76g
l00c	52.69	-65.44	20.75	68.65	162		g00b
l50c	56.55	-45.12	-16.57	48.07	200		g34b
c00v	59.61	-28.98	-46.22	54.56	238		g69b
c50v	43.33	-1.54	-45.13	45.16	268		g96b
v00m	28.39	23.63	-44.13	50.06	298		b23r
v50m	36.9	43.84	-30.24	53.26	325		b47r
m00o	49.58	73.93	-9.56	74.55	353		b71r
m50o	49.17	69.55	14.68	71.08	12		b88r

$LAB^*LCH^*_{Ma}$

$i^* = 1.00$

Brillantheit i^*

$i^* = 0.80$

$i^* = 0.60$

$i^* = 0.40$

$i^* = 0.20$

$i^* = 0.00$

relative Buntheit c^*

relative Buntheit c^*

Ein und Ausgabe: Farbmimetrisches Drucker-Reflektiv-System ORS19_96a für relativen CIELAB-Buntton $h^* = \text{lab}^*h^* = h_{ab}/360 = 0.314$

Daten für jede Farbe:

lab^*tch^* und lab^*icu^*

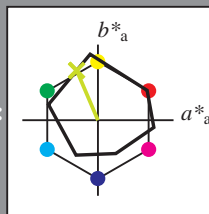
Bunttontexte:

$u^*_d = y25l$ $u^*_e = j29g$

Kontrastreduzierungsfaktor:

$c_R = 1.0$

Dreiecks-Helligkeit t^*



ORS19_96a; adaptierte CIELAB-Daten

u^*_d	$L^*=L^*_a$	a^*_a	b^*_a	$C^*_{ab,a}$	$h^*_{ab,a}$
O _{Ma}	48.75	65.07	39.43	76.08	31
Y _{Ma}	90.92	-10.29	87.24	87.85	97
L _{Ma}	52.69	-65.44	20.75	68.65	162
C _{Ma}	59.61	-28.98	-46.22	54.56	238
V _{Ma}	28.39	23.63	-44.13	50.06	298
M _{Ma}	49.58	73.93	-9.56	74.55	353
N _{Ma}	18.89	0.0	0.0	0.0	0
W _{Ma}	96.9	0.0	0.0	0.0	0
O _{Ma}	39.92	58.74	27.99	65.07	25
Y _{Ma}	81.26	-2.89	71.56	71.62	92
L _{Ma}	52.23	-42.42	13.6	44.55	162
V _{Ma}	30.57	1.41	-46.47	46.49	272

Daten für Maximalfarbe (Ma):

$\text{LAB}^*\text{LAB}^*_{Ma}$: 79 -28 66

$\text{LAB}^*\text{LCH}^*_{Ma}$: 79 72 113

$\text{lab}^*\text{olv}^*_{Ma}$: 0.75 1.0 0.0

$\text{lab}^*\text{rgb}^*_{Ma}$: 0.7 1.0 0.0

Dreiecks-Helligkeit t^*

%Umfang

$u^*_{rel} = 89$

%Regularität

$g^*_{H,rel} = 72$

$g^*_{C,rel} = 57$

$u^*_d = y25l$
 $\text{LAB}^*\text{LCH}^*_{Ma}$

ORS19_96a; adaptierte CIELAB-Daten

u^*_d	$L^*=L^*_a$	a^*_a	b^*_a	$C^*_{ab,a}$	$h^*_{ab,a}$	u^*_e
o00y	48.75	65.07	39.43	76.08	31	r08j
o25y	59.04	46.67	51.1	69.21	48	r33j
o50y	68.32	30.09	61.62	68.58	64	r57j
o75y	78.23	12.39	72.85	73.9	80	r81j
y00l	90.92	-10.29	87.24	87.85	97	j06g
y25l	78.57	-28.11	65.75	71.51	113	j29g
y50l	69.46	-41.25	49.92	64.75	130	j53g
y75l	61.32	-52.99	35.76	63.92	146	j76g
l00c	52.69	-65.44	20.75	68.65	162	g00b
l50c	56.55	-45.12	-16.57	48.07	200	g34b
c00v	59.61	-28.98	-46.22	54.56	238	g69b
c50v	43.33	-1.54	-45.13	45.16	268	g96b
v00m	28.39	23.63	-44.13	50.06	298	b23r
v50m	36.9	43.84	-30.24	53.26	325	b47r
m00o	49.58	73.93	-9.56	74.55	353	b71r
m50o	49.17	69.55	14.68	71.08	12	b88r

$\text{LAB}^*\text{LCH}^*_{Ma}$

$i^* = 1.00$

Brillantheit i^*

$i^* = 0.80$

$i^* = 0.60$

$i^* = 0.40$

$i^* = 0.20$

$i^* = 0.00$

relative Buntheit c^*

Ein und Ausgabe: Farbmimetrisches Drucker-Reflektiv-System ORS19_96a für relativen CIELAB-Buntton $h^* = lab^*h^* = h_{ab}/360 = 0.36$

Daten für jede Farbe:

lab^*ch^* und lab^*icu^*

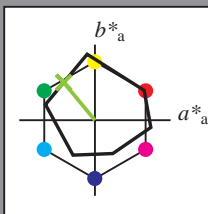
Bunttontexte:

$u^*_d = y50l$ $u^*_e = j53g$

Kontrastreduzierungsfaktor:

$c_R = 1.0$

Dreiecks-Helligkeit i^*



ORS19_96a; adaptierte CIELAB-Daten

u^*_d	$L^*=L^*_a$	a^*_a	b^*_a	$C^*_{ab,a}$	$h^*_{ab,a}$
O _{Ma}	48.75	65.07	39.43	76.08	31
Y _{Ma}	90.92	-10.29	87.24	87.85	97
L _{Ma}	52.69	-65.44	20.75	68.65	162
C _{Ma}	59.61	-28.98	-46.22	54.56	238
V _{Ma}	28.39	23.63	-44.13	50.06	298
M _{Ma}	49.58	73.93	-9.56	74.55	353
N _{Ma}	18.89	0.0	0.0	0.0	0
W _{Ma}	96.9	0.0	0.0	0.0	0
O _{Ma}	39.92	58.74	27.99	65.07	25
Y _{Ma}	81.26	-2.89	71.56	71.62	92
L _{Ma}	52.23	-42.42	13.6	44.55	162
V _{Ma}	30.57	1.41	-46.47	46.49	272

Daten für Maximalfarbe (Ma):

$LAB^*LAB^*_{Ma}$: 69 -41 50

$LAB^*LCH^*_{Ma}$: 69 65 129

$lab^*olv^*_{Ma}$: 0.5 1.0 0.0

$lab^*rgb^*_{Ma}$: 0.47 1.0 0.0

Dreiecks-Helligkeit i^*

%Umfang

$u^*_{rel} = 89$

%Regularität

$g^*_{H,rel} = 72$

$g^*_{C,rel} = 57$

ORS19_96a; adaptierte CIELAB-Daten

u^*_d	$L^*=L^*_a$	a^*_a	b^*_a	$C^*_{ab,a}$	$h^*_{ab,a}$	u^*_e
o00y	48.75	65.07	39.43	76.08	31	r08j
o25y	59.04	46.67	51.1	69.21	48	r33j
o50y	68.32	30.09	61.62	68.58	64	r57j
o75y	78.23	12.39	72.85	73.9	80	r81j
y00l	90.92	-10.29	87.24	87.85	97	j06g
y25l	78.57	-28.11	65.75	71.51	113	j29g
y50l	69.46	-41.25	49.92	64.75	130	j53g
y75l	61.32	-52.99	35.76	63.92	146	j76g
l00c	52.69	-65.44	20.75	68.65	162	g00b
l50c	56.55	-45.12	-16.57	48.07	200	g34b
c00v	59.61	-28.98	-46.22	54.56	238	g69b
c50v	43.33	-1.54	-45.13	45.16	268	g96b
v00m	28.39	23.63	-44.13	50.06	298	b23r
v50m	36.9	43.84	-30.24	53.26	325	b47r
m00o	49.58	73.93	-9.56	74.55	353	b71r
m50o	49.17	69.55	14.68	71.08	12	b88r

$LAB^*LCH^*_{a}$

$i^* = 1.00$

Brillantheit i^*

$i^* = 0.80$

$i^* = 0.60$

$i^* = 0.40$

$i^* = 0.20$

$i^* = 0.00$

relative Buntheit c^*

relative Buntheit c^*

Ein und Ausgabe: Farbmimetrisches Drucker-Reflektiv-System ORS19_96a für relativen CIELAB-Buntton $h^* = \text{lab}^*h^* = h_{ab}/360 = 0.406$

Daten für jede Farbe:

lab^*tch^* und lab^*icu^*

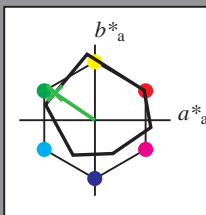
Bunttontexte:

$u^*_d = y75l$ $u^*_e = j76g$

Kontrastreduzierungsfaktor:

$c_R = 1.0$

Dreiecks-Helligkeit i^*



ORS19_96a; adaptierte CIELAB-Daten

u^*_d	$L^*=L^*_a$	a^*_a	b^*_a	$C^*_{ab,a}$	$h^*_{ab,a}$
O _{Ma}	48.75	65.07	39.43	76.08	31
Y _{Ma}	90.92	-10.29	87.24	87.85	97
L _{Ma}	52.69	-65.44	20.75	68.65	162
C _{Ma}	59.61	-28.98	-46.22	54.56	238
V _{Ma}	28.39	23.63	-44.13	50.06	298
M _{Ma}	49.58	73.93	-9.56	74.55	353
N _{Ma}	18.89	0.0	0.0	0.0	0
W _{Ma}	96.9	0.0	0.0	0.0	0
O _{Ma}	39.92	58.74	27.99	65.07	25
Y _{Ma}	81.26	-2.89	71.56	71.62	92
L _{Ma}	52.23	-42.42	13.6	44.55	162
V _{Ma}	30.57	1.41	-46.47	46.49	272

Daten für Maximalfarbe (Ma):

$\text{LAB}^*\text{LAB}^*_{\text{Ma}}$: 61 -53 36

$\text{LAB}^*\text{LCH}^*_{\text{Ma}}$: 61 64 145

$\text{lab}^*\text{olv}^*_{\text{Ma}}$: 0.25 1.0 0.0

$\text{lab}^*\text{rgb}^*_{\text{Ma}}$: 0.23 1.0 0.0

Dreiecks-Helligkeit i^*

%Umfang

$u^*_{\text{rel}} = 89$

%Regularität

$g^*_{H,\text{rel}} = 72$

$g^*_{C,\text{rel}} = 57$

ORS19_96a; adaptierte CIELAB-Daten

u^*_d	$L^*=L^*_a$	a^*_a	b^*_a	$C^*_{ab,a}$	$h^*_{ab,a}$	u^*_e
o00y	48.75	65.07	39.43	76.08	31	r08j
o25y	59.04	46.67	51.1	69.21	48	r33j
o50y	68.32	30.09	61.62	68.58	64	r57j
o75y	78.23	12.39	72.85	73.9	80	r81j
y00l	90.92	-10.29	87.24	87.85	97	j06g
y25l	78.57	-28.11	65.75	71.51	113	j29g
y50l	69.46	-41.25	49.92	64.75	130	j53g
y75l	61.32	-52.99	35.76	63.92	146	j76g
l00c	52.69	-65.44	20.75	68.65	162	g00b
l50c	56.55	-45.12	-16.57	48.07	200	g34b
c00v	59.61	-28.98	-46.22	54.56	238	g69b
c50v	43.33	-1.54	-45.13	45.16	268	g96b
v00m	28.39	23.63	-44.13	50.06	298	b23r
v50m	36.9	43.84	-30.24	53.26	325	b47r
m00o	49.58	73.93	-9.56	74.55	353	b71r
m50o	49.17	69.55	14.68	71.08	12	b88r

$u^*_d = y75l$
 $\text{LAB}^*\text{LCH}^*_{\text{Ma}}$

$\text{LAB}^*\text{LCH}^*_{\text{Ma}}$

$i^* = 1.00$

Brillantheit i^*

$i^* = 0.80$

$i^* = 0.60$

$i^* = 0.40$

$i^* = 0.20$

$i^* = 0.00$

relative Buntheit c^*

Ein und Ausgabe: Farbmimetrisches Drucker-Reflektiv-System ORS19_96a für relativen CIELAB-Buntton $h^* = lab^*h^* = h_{ab}/360 = 0.451$

Daten für jede Farbe:

lab^*ch^* und lab^*icu^*

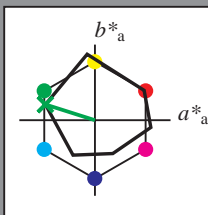
Bunttontexte:

$u^*_d = 100c$ $u^*_e = g00b$

Kontrastreduzierungsfaktor:

$c_R = 1.0$

Dreiecks-Helligkeit i^*



ORS19_96a; adaptierte CIELAB-Daten

u^*_d	$L^*=L^*_a$	a^*_a	b^*_a	$C^*_{ab,a}$	$h^*_{ab,a}$
O _{Ma}	48.75	65.07	39.43	76.08	31
Y _{Ma}	90.92	-10.29	87.24	87.85	97
L _{Ma}	52.69	-65.44	20.75	68.65	162
C _{Ma}	59.61	-28.98	-46.22	54.56	238
V _{Ma}	28.39	23.63	-44.13	50.06	298
M _{Ma}	49.58	73.93	-9.56	74.55	353
N _{Ma}	18.89	0.0	0.0	0.0	0
W _{Ma}	96.9	0.0	0.0	0.0	0
O _{Ma}	39.92	58.74	27.99	65.07	25
Y _{Ma}	81.26	-2.89	71.56	71.62	92
L _{Ma}	52.23	-42.42	13.6	44.55	162
V _{Ma}	30.57	1.41	-46.47	46.49	272

Daten für Maximalfarbe (Ma):

$LAB^*LAB^*_{Ma}$: 53 -65 21

$LAB^*LCH^*_{Ma}$: 53 69 162

$lab^*olv^*_{Ma}$: 0.0 1.0 0.0

$lab^*rgb^*_{Ma}$: 0.0 1.0 0.0

Dreiecks-Helligkeit i^*

%Umfang

$u^*_{rel} = 89$

%Regularität

$g^*_{H,rel} = 72$

$g^*_{C,rel} = 57$

ORS19_96a; adaptierte CIELAB-Daten

u^*_d	$L^*=L^*_a$	a^*_a	b^*_a	$C^*_{ab,a}$	$h^*_{ab,a}$	u^*_e
o00y	48.75	65.07	39.43	76.08	31	r08j
o25y	59.04	46.67	51.1	69.21	48	r33j
o50y	68.32	30.09	61.62	68.58	64	r57j
o75y	78.23	12.39	72.85	73.9	80	r81j
y00l	90.92	-10.29	87.24	87.85	97	j06g
y25l	78.57	-28.11	65.75	71.51	113	j29g
y50l	69.46	-41.25	49.92	64.75	130	j53g
y75l	61.32	-52.99	35.76	63.92	146	j76g
l00c	52.69	-65.44	20.75	68.65	162	g00b
l50c	56.55	-45.12	-16.57	48.07	200	g34b
c00v	59.61	-28.98	-46.22	54.56	238	g69b
c50v	43.33	-1.54	-45.13	45.16	268	g96b
v00m	28.39	23.63	-44.13	50.06	298	b23r
v50m	36.9	43.84	-30.24	53.26	325	b47r
m00o	49.58	73.93	-9.56	74.55	353	b71r
m50o	49.17	69.55	14.68	71.08	12	b88r

$LAB^*LCH^*_{Ma}$

$i^* = 1.00$

Brillantheit i^*

$i^* = 0.80$

$i^* = 0.60$

$i^* = 0.40$

$i^* = 0.20$

$i^* = 0.00$

relative Buntheit c^*

Ein und Ausgabe: Farbmimetrisches Drucker-Reflektiv-System ORS19_96a für relativen CIELAB-Buntton $h^* = \text{lab}^*h^* = h_{ab}/360 = 0.556$

Daten für jede Farbe:

lab^*tch^* und lab^*icu^*

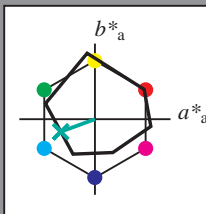
Bunttontexte:

$u^*_d = 150c$ $u^*_e = g34b$

Kontrastreduzierungsfaktor:

$c_R = 1.0$

Dreiecks-Helligkeit i^*



ORS19_96a; adaptierte CIELAB-Daten

u^*_d	$L^*=L^*_a$	a^*_a	b^*_a	$C^*_{ab,a}$	$h^*_{ab,a}$
O _{Ma}	48.75	65.07	39.43	76.08	31
Y _{Ma}	90.92	-10.29	87.24	87.85	97
L _{Ma}	52.69	-65.44	20.75	68.65	162
C _{Ma}	59.61	-28.98	-46.22	54.56	238
V _{Ma}	28.39	23.63	-44.13	50.06	298
M _{Ma}	49.58	73.93	-9.56	74.55	353
N _{Ma}	18.89	0.0	0.0	0.0	0
W _{Ma}	96.9	0.0	0.0	0.0	0
O _{Ma}	39.92	58.74	27.99	65.07	25
Y _{Ma}	81.26	-2.89	71.56	71.62	92
L _{Ma}	52.23	-42.42	13.6	44.55	162
V _{Ma}	30.57	1.41	-46.47	46.49	272

Daten für Maximalfarbe (Ma):

$\text{LAB}^*\text{LAB}^*_{\text{Ma}}$: 57 -45 -17

$\text{LAB}^*\text{LCH}^*_{\text{Ma}}$: 57 48 200

$\text{lab}^*\text{olv}^*_{\text{Ma}}$: 0.0 1.0 0.5

$\text{lab}^*\text{rgb}^*_{\text{Ma}}$: 0.0 1.0 0.69

Dreiecks-Helligkeit i^*

%Umfang

$u^*_{\text{rel}} = 89$

%Regularität

$g^*_{H,\text{rel}} = 72$

$g^*_{C,\text{rel}} = 57$

ORS19_96a; adaptierte CIELAB-Daten

u^*_d	$L^*=L^*_a$	a^*_a	b^*_a	$C^*_{ab,a}$	$h^*_{ab,a}$	u^*_e
o00y	48.75	65.07	39.43	76.08	31	r08j
o25y	59.04	46.67	51.1	69.21	48	r33j
o50y	68.32	30.09	61.62	68.58	64	r57j
o75y	78.23	12.39	72.85	73.9	80	r81j
y00l	90.92	-10.29	87.24	87.85	97	j06g
y25l	78.57	-28.11	65.75	71.51	113	j29g
y50l	69.46	-41.25	49.92	64.75	130	j53g
y75l	61.32	-52.99	35.76	63.92	146	j76g
l00c	52.69	-65.44	20.75	68.65	162	g00b
l50c	56.55	-45.12	-16.57	48.07	200	g34b
c00v	59.61	-28.98	-46.22	54.56	238	g69b
c50v	43.33	-1.54	-45.13	45.16	268	g96b
v00m	28.39	23.63	-44.13	50.06	298	b23r
v50m	36.9	43.84	-30.24	53.26	325	b47r
m00o	49.58	73.93	-9.56	74.55	353	b71r
m50o	49.17	69.55	14.68	71.08	12	b88r

$\text{LAB}^*\text{LCH}^*_{\text{Ma}}$

$i^* = 1.00$

Brillantheit i^*

$i^* = 0.80$

$i^* = 0.60$

$i^* = 0.40$

$i^* = 0.20$

$i^* = 0.00$

relative Buntheit c^*

Ein und Ausgabe: Farbmetrisches Drucker-Reflektiv-System ORS19_96a für relativen CIELAB-Buntton $h^* = lab^*h^* = h_{ab}/360 = 0.661$

Daten für jede Farbe:

lab^*ch^* und lab^*icu^*

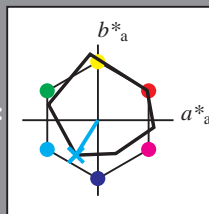
Bunttontexte:

$u^*_d = c00v$ $u^*_e = g69b$

Kontrastreduzierungsfaktor:

$c_R = 1.0$

Dreiecks-Helligkeit i^*



ORS19_96a; adaptierte CIELAB-Daten

u^*_d	$L^*=L^*_a$	a^*_a	b^*_a	$C^*_{ab,a}$	$h^*_{ab,a}$
O _{Ma}	48.75	65.07	39.43	76.08	31
Y _{Ma}	90.92	-10.29	87.24	87.85	97
L _{Ma}	52.69	-65.44	20.75	68.65	162
C _{Ma}	59.61	-28.98	-46.22	54.56	238
V _{Ma}	28.39	23.63	-44.13	50.06	298
M _{Ma}	49.58	73.93	-9.56	74.55	353
N _{Ma}	18.89	0.0	0.0	0.0	0
W _{Ma}	96.9	0.0	0.0	0.0	0
O _{Ma}	39.92	58.74	27.99	65.07	25
Y _{Ma}	81.26	-2.89	71.56	71.62	92
L _{Ma}	52.23	-42.42	13.6	44.55	162
V _{Ma}	30.57	1.41	-46.47	46.49	272

Daten für Maximalfarbe (Ma):

$LAB^*LAB^*_{Ma}$: 60 -29 -46

$LAB^*LCH^*_{Ma}$: 60 55 237

$lab^*olv^*_{Ma}$: 0.0 1.0 1.0

$lab^*rgb^*_{Ma}$: 0.0 0.62 1.0

Dreiecks-Helligkeit i^*

%Umfang

$u^*_{rel} = 89$

%Regularität

$g^*_{H,rel} = 72$

$g^*_{C,rel} = 57$

ORS19_96a; adaptierte CIELAB-Daten

u^*_d	$L^*=L^*_a$	a^*_a	b^*_a	$C^*_{ab,a}$	$h^*_{ab,a}$	u^*_e
o00y	48.75	65.07	39.43	76.08	31	r08j
o25y	59.04	46.67	51.1	69.21	48	r33j
o50y	68.32	30.09	61.62	68.58	64	r57j
o75y	78.23	12.39	72.85	73.9	80	r81j
y00l	90.92	-10.29	87.24	87.85	97	j06g
y25l	78.57	-28.11	65.75	71.51	113	j29g
y50l	69.46	-41.25	49.92	64.75	130	j53g
y75l	61.32	-52.99	35.76	63.92	146	j76g
l00c	52.69	-65.44	20.75	68.65	162	g00b
l50c	56.55	-45.12	-16.57	48.07	200	g34b
c00v	59.61	-28.98	-46.22	54.56	238	g69b
c50v	43.33	-1.54	-45.13	45.16	268	g96b
v00m	28.39	23.63	-44.13	50.06	298	b23r
v50m	36.9	43.84	-30.24	53.26	325	b47r
m00o	49.58	73.93	-9.56	74.55	353	b71r
m50o	49.17	69.55	14.68	71.08	12	b88r

$LAB^*LCH^*_{a}$

$i^*=1.00$

Brillantheit i^*

$i^*=0.80$

$i^*=0.60$

$i^*=0.40$

$i^*=0.20$

relative Buntheit c^*

relative Buntheit c^*

Ein und Ausgabe: Farbmetrisches Drucker-Reflektiv-System ORS19_96a für relativen CIELAB-Buntton $h^* = lab^*h^* = h_{ab}/360 = 0.745$

Daten für jede Farbe:

lab^*ch^* und lab^*icu^*

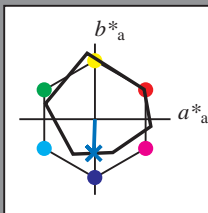
Bunttontexte:

$u^*_d = c50v$ $u^*_e = g96b$

Kontrastreduzierungsfaktor:

$c_R = 1.0$

Dreiecks-Helligkeit i^*



ORS19_96a; adaptierte CIELAB-Daten

u^*_d	$L^*=L^*_a$	a^*_a	b^*_a	$C^*_{ab,a}$	$h^*_{ab,a}$
O _{Ma}	48.75	65.07	39.43	76.08	31
Y _{Ma}	90.92	-10.29	87.24	87.85	97
L _{Ma}	52.69	-65.44	20.75	68.65	162
C _{Ma}	59.61	-28.98	-46.22	54.56	238
V _{Ma}	28.39	23.63	-44.13	50.06	298
M _{Ma}	49.58	73.93	-9.56	74.55	353
N _{Ma}	18.89	0.0	0.0	0.0	0
W _{Ma}	96.9	0.0	0.0	0.0	0
O _{Ma}	39.92	58.74	27.99	65.07	25
Y _{Ma}	81.26	-2.89	71.56	71.62	92
L _{Ma}	52.23	-42.42	13.6	44.55	162
V _{Ma}	30.57	1.41	-46.47	46.49	272

Daten für Maximalfarbe (Ma):

$LAB^*LAB^*_{Ma}$: 43 -2 -45

$LAB^*LCH^*_{Ma}$: 43 45 268

$lab^*olv^*_{Ma}$: 0.0 0.5 1.0

$lab^*rgb^*_{Ma}$: 0.0 0.07 1.0

Dreiecks-Helligkeit i^*

%Umfang

$u^*_{rel} = 89$

%Regularität

$g^*_{H,rel} = 72$

$g^*_{C,rel} = 57$

ORS19_96a; adaptierte CIELAB-Daten

u^*_d	$L^*=L^*_a$	a^*_a	b^*_a	$C^*_{ab,a}$	$h^*_{ab,a}$	u^*_e
o00y	48.75	65.07	39.43	76.08	31	r08j
o25y	59.04	46.67	51.1	69.21	48	r33j
o50y	68.32	30.09	61.62	68.58	64	r57j
o75y	78.23	12.39	72.85	73.9	80	r81j
y00l	90.92	-10.29	87.24	87.85	97	j06g
y25l	78.57	-28.11	65.75	71.51	113	j29g
y50l	69.46	-41.25	49.92	64.75	130	j53g
y75l	61.32	-52.99	35.76	63.92	146	j76g
l00c	52.69	-65.44	20.75	68.65	162	g00b
l50c	56.55	-45.12	-16.57	48.07	200	g34b
c00v	59.61	-28.98	-46.22	54.56	238	g69b
c50v	43.33	-1.54	-45.13	45.16	268	g96b
v00m	28.39	23.63	-44.13	50.06	298	b23r
v50m	36.9	43.84	-30.24	53.26	325	b47r
m00o	49.58	73.93	-9.56	74.55	353	b71r
m50o	49.17	69.55	14.68	71.08	12	b88r

$LAB^*LCH^*_{a}$

$i^*=1.00$

Brillantheit i^*

$i^*=0.80$

$i^*=0.60$

$i^*=0.40$

$i^*=0.20$

$i^*=0.00$

relative Buntheit c^*

relative Buntheit c^*

Ein und Ausgabe: Farbmimetrisches Drucker-Reflektiv-System ORS19_96a für relativen CIELAB-Buntton $h^* = lab^*h^* = h_{ab}/360 = 0.828$

Daten für jede Farbe:

lab^*ch^* und lab^*icu^*

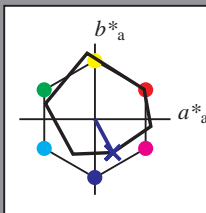
Bunttontexte:

$u^*_d = v00m$ $u^*_e = b23r$

Kontrastreduzierungsfaktor:

$c_R = 1.0$

Dreiecks-Helligkeit i^*



ORS19_96a; adaptierte CIELAB-Daten

u^*_d	$L^*=L^*_a$	a^*_a	b^*_a	$C^*_{ab,a}$	$h^*_{ab,a}$
O _{Ma}	48.75	65.07	39.43	76.08	31
Y _{Ma}	90.92	-10.29	87.24	87.85	97
L _{Ma}	52.69	-65.44	20.75	68.65	162
C _{Ma}	59.61	-28.98	-46.22	54.56	238
V _{Ma}	28.39	23.63	-44.13	50.06	298
M _{Ma}	49.58	73.93	-9.56	74.55	353
N _{Ma}	18.89	0.0	0.0	0.0	0
W _{Ma}	96.9	0.0	0.0	0.0	0
O _{Ma}	39.92	58.74	27.99	65.07	25
Y _{Ma}	81.26	-2.89	71.56	71.62	92
L _{Ma}	52.23	-42.42	13.6	44.55	162
V _{Ma}	30.57	1.41	-46.47	46.49	272

Daten für Maximalfarbe (Ma):

$LAB^*LAB^*_{Ma}$: 28 24 -44

$LAB^*LCH^*_{Ma}$: 28 50 298

$lab^*olv^*_{Ma}$: 0.0 0.0 1.0

$lab^*rgb^*_{Ma}$: 0.46 0.0 1.0

Dreiecks-Helligkeit i^*

%Umfang

$u^*_{rel} = 89$

%Regularität

$g^*_{H,rel} = 72$

$g^*_{C,rel} = 57$

ORS19_96a; adaptierte CIELAB-Daten

u^*_d	$L^*=L^*_a$	a^*_a	b^*_a	$C^*_{ab,a}$	$h^*_{ab,a}$	u^*_e
o00y	48.75	65.07	39.43	76.08	31	r08j
o25y	59.04	46.67	51.1	69.21	48	r33j
o50y	68.32	30.09	61.62	68.58	64	r57j
o75y	78.23	12.39	72.85	73.9	80	r81j
y00l	90.92	-10.29	87.24	87.85	97	j06g
y25l	78.57	-28.11	65.75	71.51	113	j29g
y50l	69.46	-41.25	49.92	64.75	130	j53g
y75l	61.32	-52.99	35.76	63.92	146	j76g
l00c	52.69	-65.44	20.75	68.65	162	g00b
l50c	56.55	-45.12	-16.57	48.07	200	g34b
c00v	59.61	-28.98	-46.22	54.56	238	g69b
c50v	43.33	-1.54	-45.13	45.16	268	g96b
v00m	28.39	23.63	-44.13	50.06	298	b23r
v50m	36.9	43.84	-30.24	53.26	325	b47r
m00o	49.58	73.93	-9.56	74.55	353	b71r
m50o	49.17	69.55	14.68	71.08	12	b88r

$u^*_d = v00m$
 $LAB^*LCH^*_{Ma}$

$LAB^*LCH^*_{Ma}$

$i^* = 1.00$

Brillantheit i^*

$i^* = 0.80$

$i^* = 0.60$

$i^* = 0.40$

$i^* = 0.20$

$i^* = 0.00$

relative Buntheit c^*

Ein und Ausgabe: Farbmimetrisches Drucker-Reflektiv-System ORS19_96a für relativen CIELAB-Buntton $h^* = \text{lab}^*h^* = h_{ab}/360 = 0.904$

Daten für jede Farbe:

lab^*ch^* und lab^*icu^*

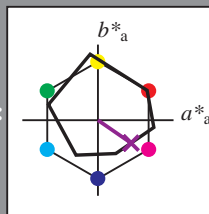
Bunttontexte:

$u^*_d = v50m$ $u^*_e = b47r$

Kontrastreduzierungsfaktor:

$c_R = 1.0$

Dreiecks-Helligkeit i^*



ORS19_96a; adaptierte CIELAB-Daten

	u^*_d	$L^*=L^*_a$	a^*_a	b^*_a	$C^*_{ab,a}$	$h^*_{ab,a}$
O _{Ma}	48.75	65.07	39.43	76.08	31	
Y _{Ma}	90.92	-10.29	87.24	87.85	97	
L _{Ma}	52.69	-65.44	20.75	68.65	162	
C _{Ma}	59.61	-28.98	-46.22	54.56	238	
V _{Ma}	28.39	23.63	-44.13	50.06	298	
M _{Ma}	49.58	73.93	-9.56	74.55	353	
N _{Ma}	18.89	0.0	0.0	0.0	0	
W _{Ma}	96.9	0.0	0.0	0.0	0	
O _{Ma}	39.92	58.74	27.99	65.07	25	
Y _{Ma}	81.26	-2.89	71.56	71.62	92	
L _{Ma}	52.23	-42.42	13.6	44.55	162	
V _{Ma}	30.57	1.41	-46.47	46.49	272	

Daten für Maximalfarbe (Ma):

$\text{LAB}^*\text{LAB}^*_{Ma}$: 37 44 -30

$\text{LAB}^*\text{LCH}^*_{Ma}$: 37 53 325

$\text{lab}^*\text{olv}^*_{Ma}$: 0.5 0.0 1.0

$\text{lab}^*\text{rgb}^*_{Ma}$: 0.94 0.0 1.0

Dreiecks-Helligkeit i^*

%Umfang

$u^*_{rel} = 89$

%Regularität

$g^*_{H,rel} = 72$

$g^*_{C,rel} = 57$

ORS19_96a; adaptierte CIELAB-Daten

	u^*_d	$L^*=L^*_a$	a^*_a	b^*_a	$C^*_{ab,a}$	$h^*_{ab,a}$	u^*_e
o00y	48.75	65.07	39.43	76.08	31		r08j
o25y	59.04	46.67	51.1	69.21	48		r33j
o50y	68.32	30.09	61.62	68.58	64		r57j
o75y	78.23	12.39	72.85	73.9	80		r81j
y00l	90.92	-10.29	87.24	87.85	97		j06g
y25l	78.57	-28.11	65.75	71.51	113		j29g
y50l	69.46	-41.25	49.92	64.75	130		j53g
y75l	61.32	-52.99	35.76	63.92	146		j76g
l00c	52.69	-65.44	20.75	68.65	162		g00b
l50c	56.55	-45.12	-16.57	48.07	200		g34b
c00v	59.61	-28.98	-46.22	54.56	238		g69b
c50v	43.33	-1.54	-45.13	45.16	268		g96b
v00m	28.39	23.63	-44.13	50.06	298		b23r
v50m	36.9	43.84	-30.24	53.26	325		b47r
m00o	49.58	73.93	-9.56	74.55	353		b71r
m50o	49.17	69.55	14.68	71.08	12		b88r

$\text{LAB}^*\text{LCH}^*_{Ma}$

$i^*=1.00$

Brillantheit i^*

$i^*=0.80$

$i^*=0.60$

$i^*=0.40$

$i^*=0.20$

relative Buntheit c^*

relative Buntheit c^*

Ein und Ausgabe: Farbmimetrisches Drucker-Reflektiv-System ORS19_96a für relativen CIELAB-Buntton $h^* = \text{lab}^*h^* = h_{ab}/360 = 0.98$

Daten für jede Farbe:

lab^*tch^* und lab^*icu^*

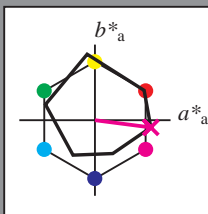
Bunttontexte:

$u^*_d = m00o$ $u^*_e = b71r$

Kontrastreduzierungsfaktor:

$c_R = 1.0$

Dreiecks-Helligkeit t^*



ORS19_96a; adaptierte CIELAB-Daten

u^*_d	$L^*=L^*_a$	a^*_a	b^*_a	$C^*_{ab,a}$	$h^*_{ab,a}$
O _{Ma}	48.75	65.07	39.43	76.08	31
Y _{Ma}	90.92	-10.29	87.24	87.85	97
L _{Ma}	52.69	-65.44	20.75	68.65	162
C _{Ma}	59.61	-28.98	-46.22	54.56	238
V _{Ma}	28.39	23.63	-44.13	50.06	298
M _{Ma}	49.58	73.93	-9.56	74.55	353
N _{Ma}	18.89	0.0	0.0	0.0	0
W _{Ma}	96.9	0.0	0.0	0.0	0
O _{Ma}	39.92	58.74	27.99	65.07	25
Y _{Ma}	81.26	-2.89	71.56	71.62	92
L _{Ma}	52.23	-42.42	13.6	44.55	162
V _{Ma}	30.57	1.41	-46.47	46.49	272

Daten für Maximalfarbe (Ma):

$\text{LAB}^*\text{LAB}^*_{\text{Ma}}$: 50 74 -10

$\text{LAB}^*\text{LCH}^*_{\text{Ma}}$: 50 75 352

$\text{lab}^*\text{olv}^*_{\text{Ma}}$: 1.0 0.0 1.0

$\text{lab}^*\text{rgb}^*_{\text{Ma}}$: 1.0 0.0 0.58

Dreiecks-Helligkeit t^*

%Umfang

$u^*_{\text{rel}} = 89$

%Regularität

$g^*_{H,\text{rel}} = 72$

$g^*_{C,\text{rel}} = 57$

ORS19_96a; adaptierte CIELAB-Daten

u^*_d	$L^*=L^*_a$	a^*_a	b^*_a	$C^*_{ab,a}$	$h^*_{ab,a}$	u^*_e
o00y	48.75	65.07	39.43	76.08	31	r08j
o25y	59.04	46.67	51.1	69.21	48	r33j
o50y	68.32	30.09	61.62	68.58	64	r57j
o75y	78.23	12.39	72.85	73.9	80	r81j
y00l	90.92	-10.29	87.24	87.85	97	j06g
y25l	78.57	-28.11	65.75	71.51	113	j29g
y50l	69.46	-41.25	49.92	64.75	130	j53g
y75l	61.32	-52.99	35.76	63.92	146	j76g
l00c	52.69	-65.44	20.75	68.65	162	g00b
l50c	56.55	-45.12	-16.57	48.07	200	g34b
c00v	59.61	-28.98	-46.22	54.56	238	g69b
c50v	43.33	-1.54	-45.13	45.16	268	g96b
v00m	28.39	23.63	-44.13	50.06	298	b23r
v50m	36.9	43.84	-30.24	53.26	325	b47r
m00o	49.58	73.93	-9.56	74.55	353	b71r
m50o	49.17	69.55	14.68	71.08	12	b88r

$\text{LAB}^*\text{LCH}^*_{\text{Ma}}$

$i^* = 1.00$

Brillanzheit i^*

$i^* = 0.80$

$i^* = 0.60$

$i^* = 0.40$

$i^* = 0.20$

$i^* = 0.00$

relative Buntheit c^*

Ein und Ausgabe: Farbmetrisches Drucker-Reflektiv-System ORS19_96a für relativen CIELAB-Buntton $h^* = lab^*h^* = h_{ab}/360 = 0.033$

Daten für jede Farbe:

lab^*tch^* und lab^*icu^*

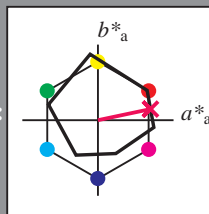
Bunttontexte:

$u^*_d = m50o$ $u^*_e = b88r$

Kontrastreduzierungsfaktor:

$c_R = 1.0$

Dreiecks-Helligkeit i^*



ORS19_96a; adaptierte CIELAB-Daten

u^*_d	$L^*=L^*_a$	a^*_a	b^*_a	$C^*_{ab,a}$	$h^*_{ab,a}$
O _{Ma}	48.75	65.07	39.43	76.08	31
Y _{Ma}	90.92	-10.29	87.24	87.85	97
L _{Ma}	52.69	-65.44	20.75	68.65	162
C _{Ma}	59.61	-28.98	-46.22	54.56	238
V _{Ma}	28.39	23.63	-44.13	50.06	298
M _{Ma}	49.58	73.93	-9.56	74.55	353
N _{Ma}	18.89	0.0	0.0	0.0	0
W _{Ma}	96.9	0.0	0.0	0.0	0
O _{Ma}	39.92	58.74	27.99	65.07	25
Y _{Ma}	81.26	-2.89	71.56	71.62	92
L _{Ma}	52.23	-42.42	13.6	44.55	162
V _{Ma}	30.57	1.41	-46.47	46.49	272

Daten für Maximalfarbe (Ma):

$LAB^*LAB^*_{Ma}$: 49 70 15

$LAB^*LCH^*_{Ma}$: 49 71 11

$lab^*olv^*_{Ma}$: 1.0 0.0 0.5

$lab^*rgb^*_{Ma}$: 1.0 0.0 0.24

Dreiecks-Helligkeit i^*

%Umfang

$u^*_{rel} = 89$

%Regularität

$g^*_{H,rel} = 72$

$g^*_{C,rel} = 57$

ORS19_96a; adaptierte CIELAB-Daten

u^*_d	$L^*=L^*_a$	a^*_a	b^*_a	$C^*_{ab,a}$	$h^*_{ab,a}$	u^*_e
o00y	48.75	65.07	39.43	76.08	31	r08j
o25y	59.04	46.67	51.1	69.21	48	r33j
o50y	68.32	30.09	61.62	68.58	64	r57j
o75y	78.23	12.39	72.85	73.9	80	r81j
y00l	90.92	-10.29	87.24	87.85	97	j06g
y25l	78.57	-28.11	65.75	71.51	113	j29g
y50l	69.46	-41.25	49.92	64.75	130	j53g
y75l	61.32	-52.99	35.76	63.92	146	j76g
l00c	52.69	-65.44	20.75	68.65	162	g00b
l50c	56.55	-45.12	-16.57	48.07	200	g34b
c00v	59.61	-28.98	-46.22	54.56	238	g69b
c50v	43.33	-1.54	-45.13	45.16	268	g96b
v00m	28.39	23.63	-44.13	50.06	298	b23r
v50m	36.9	43.84	-30.24	53.26	325	b47r
m00o	49.58	73.93	-9.56	74.55	353	b71r
m50o	49.17	69.55	14.68	71.08	12	b88r

$LAB^*LCH^*_{a}$

$i^* = 1.00$

Brillantheit i^*

$i^* = 0.80$

$i^* = 0.60$

$i^* = 0.40$

$i^* = 0.20$

$i^* = 0.00$

relative Buntheit c^*

Siehe ähnliche Dateien: <http://www.ps.bam.de/Eg42/>; www.ps.bam.de/Eg42/10L/L42G00NA.PS/.TXT BAM-Material: Code=rh4ta
Technische Information: <http://www.ps.bam.de> Version 2.1, io=1.1, ColSp=1

	A	B	C	D	E	F	G	H	I	J	K	L	M	N	O	P	Q	R	S	T	U	V	W	X	Y	Z	a	b	c	d	e	f	g	h	i	j	k	LAB*LCH*a																																																																																																																																																																																																																																																																																																																																																																																																																																																																																																																																																																																																																																																																																																																																																																																																																																																																																																													
01	18.9	23.1	27.3	31.6	35.8	40.0	44.2	48.5	52.7	56.9	61.1	65.4	69.6	73.8	78.0	82.2	86.4	90.6	94.8	99.0	103.2	107.4	111.6	115.8	120.0	124.2	128.4	132.6	136.8	141.0	145.2	149.4	153.6	157.8	162.0	166.2	170.4	174.6	178.8	183.0	187.2	191.4	195.6	199.8	204.0	208.2	212.4	216.6	220.8	225.0	229.2	233.4	237.6	241.8	246.0	250.2	254.4	258.6	262.8	267.0	271.2	275.4	279.6	283.8	288.0	292.2	296.4	300.6	304.8	309.0	313.2	317.4	321.6	325.8	330.0	334.2	338.4	342.6	346.8	351.0	355.2	359.4	363.6	367.8	372.0	376.2	380.4	384.6	388.8	393.0	397.2	401.4	405.6	409.8	414.0	418.2	422.4	426.6	430.8	435.0	439.2	443.4	447.6	451.8	456.0	460.2	464.4	468.6	472.8	477.0	481.2	485.4	489.6	493.8	498.0	502.2	506.4	510.6	514.8	519.0	523.2	527.4	531.6	535.8	540.0	544.2	548.4	552.6	556.8	561.0	565.2	569.4	573.6	577.8	582.0	586.2	590.4	594.6	598.8	603.0	607.2	611.4	615.6	619.8	624.0	628.2	632.4	636.6	640.8	645.0	649.2	653.4	657.6	661.8	666.0	670.2	674.4	678.6	682.8	687.0	691.2	695.4	699.6	703.8	708.0	712.2	716.4	720.6	724.8	729.0	733.2	737.4	741.6	745.8	750.0	754.2	758.4	762.6	766.8	771.0	775.2	779.4	783.6	787.8	792.0	796.2	800.4	804.6	808.8	813.0	817.2	821.4	825.6	829.8	834.0	838.2	842.4	846.6	850.8	855.0	859.2	863.4	867.6	871.8	876.0	880.2	884.4	888.6	892.8	897.0	901.2	905.4	909.6	913.8	918.0	922.2	926.4	930.6	934.8	939.0	943.2	947.4	951.6	955.8	960.0	964.2	968.4	972.6	976.8	981.0	985.2	989.4	993.6	997.8	1002.0	1006.2	1010.4	1014.6	1018.8	1023.0	1027.2	1031.4	1035.6	1039.8	1044.0	1048.2	1052.4	1056.6	1060.8	1065.0	1069.2	1073.4	1077.6	1081.8	1086.0	1090.2	1094.4	1098.6	1102.8	1107.0	1111.2	1115.4	1119.6	1123.8	1128.0	1132.2	1136.4	1140.6	1144.8	1149.0	1153.2	1157.4	1161.6	1165.8	1170.0	1174.2	1178.4	1182.6	1186.8	1191.0	1195.2	1199.4	1203.6	1207.8	1212.0	1216.2	1220.4	1224.6	1228.8	1233.0	1237.2	1241.4	1245.6	1249.8	1254.0	1258.2	1262.4	1266.6	1270.8	1275.0	1279.2	1283.4	1287.6	1291.8	1296.0	1300.2	1304.4	1308.6	1312.8	1317.0	1321.2	1325.4	1329.6	1333.8	1338.0	1342.2	1346.4	1350.6	1354.8	1359.0	1363.2	1367.4	1371.6	1375.8	1380.0	1384.2	1388.4	1392.6	1396.8	1401.0	1405.2	1409.4	1413.6	1417.8	1422.0	1426.2	1430.4	1434.6	1438.8	1443.0	1447.2	1451.4	1455.6	1459.8	1464.0	1468.2	1472.4	1476.6	1480.8	1485.0	1489.2	1493.4	1497.6	1501.8	1506.0	1510.2	1514.4	1518.6	1522.8	1527.0	1531.2	1535.4	1539.6	1543.8	1548.0	1552.2	1556.4	1560.6	1564.8	1569.0	1573.2	1577.4	1581.6	1585.8	1590.0	1594.2	1598.4	1602.6	1606.8	1611.0	1615.2	1619.4	1623.6	1627.8	1632.0	1636.2	1640.4	1644.6	1648.8	1653.0	1657.2	1661.4	1665.6	1669.8	1674.0	1678.2	1682.4	1686.6	1690.8	1695.0	1699.2	1703.4	1707.6	1711.8	1716.0	1720.2	1724.4	1728.6	1732.8	1737.0	1741.2	1745.4	1749.6	1753.8	1758.0	1762.2	1766.4	1770.6	1774.8	1779.0	1783.2	1787.4	1791.6	1795.8	1799.8	1804.0	1808.2	1812.4	1816.6	1820.8	1825.0	1829.2	1833.4	1837.6	1841.8	1846.0	1850.2	1854.4	1858.6	1862.8	1867.0	1871.2	1875.4	1879.6	1883.8	1888.0	1892.2	1896.4	1900.6	1904.8	1909.0	1913.2	1917.4	1921.6	1925.8	1930.0	1934.2	1938.4	1942.6	1946.8	1951.0	1955.2	1959.4	1963.6	1967.8	1972.0	1976.2	1980.4	1984.6	1988.8	1993.0	1997.2	2001.4	2005.6	2009.8	2014.0	2018.2	2022.4	2026.6	2030.8	2035.0	2039.2	2043.4	2047.6	2051.8	2056.0	2060.2	2064.4	2068.6	2072.8	2077.0	2081.2	2085.4	2089.6	2093.8	2098.0	2102.2	2106.4	2110.6	2114.8	2119.0	2123.2	2127.4	2131.6	2135.8	2140.0	2144.2	2148.4	2152.6	2156.8	2161.0	2165.2	2169.4	2173.6	2177.8	2182.0	2186.2	2190.4	2194.6	2198.8	2203.0	2207.2	2211.4	2215.6	2219.8	2224.0	2228.2	2232.4	2236.6	2240.8	2245.0	2249.2	2253.4	2257.6	2261.8	2266.0	2270.2	2274.4	2278.6	2282.8	2287.0	2291.2	2295.4	2299.6	2303.8	2308.0	2312.2	2316.4	2320.6	2324.8	2329.0	2333.2	2337.4	2341.6	2345.8	2350.0	2354.2	2358.4	2362.6	2366.8	2371.0	2375.2	2379.4	2383.6	2387.8	2392.0	2396.2	2400.4	2404.6	2408.8	2413.0	2417.2	2421.4	2425.6	2429.8	2434.0	2438.2	2442.4	2446.6	2450.8	2455.0	2459.2	2463.4	2467.6	2471.8	2476.0	2480.2	2484.4	2488.6	2492.8	2497.0	2501.2	2505.4	2509.6	2513.8	2518.0	2522.2	2526.4	2530.6	2534.8	2539.0	2543.2	2547.4	2551.6	2555.8	2560.0	2564.2	2568.4	2572.6	2576.8	2581.0	2585.2	2589.4	2593.6	2597.8	2602.0	2606.2	2610.4	2614.6	2618.8	2623.0	2627.2	2631.4	2635.6	2639.8	2644.0	2648.2	2652.4	2656.6	2660.8	2665.0	2669.2	2673.4	2677.6	2681.8	2686.0	2690.2	2694.4	2698.6	2702.8	2707.0	2711.2	2715.4	2719.6	2723.8	2728.0	2732.2	2736.4	2740.6	2744.8	2749.0	2753.2	2757.4	2761.6	2765.8	2770.0	2774.2	2778.4	2782.6	2786.8	2791.0	2795.2	2799.4	2803.6	2807.8	2812.0	2816.2	2820.4	2824.6	2828.8	2833.0	2837.2	2841.4	2845.6	2849.8	2854.0	2858.2	2862.4	2866.6	2870.8	2875.0	2879.2	2883.4	2887.6	2891.8	2896.0	2900.2	2904.4	2908.6	2912.8	2917.0	2921.2	2925.4	2929.6	2933.8	2938.0	2942.2	2946.4	2950.6	2954.8	2959.0	2963.2	2967.4	2971.6	2975.8	2980.0	2984.2	2988.4	2992.6	2996.8	3001.0	3005.2	3009.4	3013.6	3017.8	3022.0	3026.2	3030.4	3034.6	3038.8	3043.0	3047.2	3051.4	3055.6	3059.8	3064.0	3068.2	3072.4	3076.6	3080.8	3085.0	3089.2	3093.4	3097.6	3101.8	3106.0	3110.2	3114.4	3118.6	3122.8	3127.0	3131.2	3135.4	3139.6	3143.8	3148.0	3152.2	3156.4	3160.6	3164.8	3169.0	3173.2	3177.4	3181.6	3185.8	3190.0	3194.2	3198.4	3202.6	3206.8	3211.0	3215.2	3219.4	3223.6	3227.8	3232.0	3236.2	3240.4	3244.6	3248.8	3253.0	3257.2	3261.4	3265.6	3269.8	3274.0	3278.2	3282.4	3286.6	3290.8	3295.0	3299.2	3303.4	3307.6	3311.8	3316.0	3320.2	3324.4	3328.6	3332.8	3337.0	3341.2	3345.4	3349.6	3353.8	3358.0	3362.2	3366.4	3370.6	3374.8	3379.0	3383.2	3387.4	3391.6	3395.8	3400.0	3404.2	3408.4	3412.6	3416.8	3421.0	3425.2	3429.4	3433.6	3437.8	3442.0	3446.2	3450.4	3454.6	3458.8	3463.0	3467.2	3471.4	3475.6	3479.8	3484.0	3488.2	3492.4	3496.6	3500.8	3505.0	3509.2	3513.4	3517.6	3521.8	3526.0	3530.2	3534.4	3538.6	3542.8	3547.0	3551.2	3555.4	3559.6	3563.8	3568.0	3572.2	3576.4	3580.6	3584.8	3589.0	3593.2	3597.4	3601.6	3605.8	3610.0	3614.2	3618.4	3622.6	3626.8	3631.0	3635.2	3639.4	3643.6	3647.8	3652.0	3656.2	3660.4	3664.6	3668.8	3673.0	3677.2	3681.4	3685.6	3689.8	3694.0	3698.2	3702.4	3706.6	3710.8	3715.0	3719.2	3723.4	3727.6	3731.8	3736.0	3740.2	3744.4	3748.6	3752.8	3757.0	3761.2	3765.4	3769.6	3773.8	3778.0	3782.2	3786.4	3790.6	3794.8	3799.0	3803.2	3807.4	3811.6	3815.8	3820.0	3824.2	3828.4	3832.6	3836.8	3841.0	3845.2	3849.4	3853.6	3857.8</

Ein und Ausgabe:
Farbmetrisches Drucker-Reflektiv-System ORS19_96a
Daten für jede Farbe:

u^*_d und Nummer $Nr.$ = 00 .. 15

Geräte-Bunttontext:

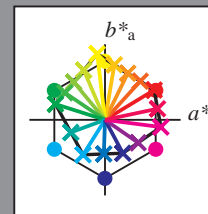
u^*_d = 16 Bunttoene $o00y$, $o25y$, ..., $m50o$

Kontrastreduzierungsfaktor:

$c_R = 1.0$

ORS19_96a; adaptierte CIELAB-Daten

u^*_d	$L^*=L^*_a$	a^*_a	b^*_a	$C^*_{ab,a}$	$h^*_{ab,a}$	u^*_e
$o00y$	48.75	65.07	39.43	76.08	31	$r08j$
$o25y$	59.04	46.67	51.1	69.21	48	$r33j$
$o50y$	68.32	30.09	61.62	68.58	64	$r57j$
$o75y$	78.23	12.39	72.85	73.9	80	$r81j$
$y00l$	90.92	-10.29	87.24	87.85	97	$j06g$
$y25l$	78.57	-28.11	65.75	71.51	113	$j29g$
$y50l$	69.46	-41.25	49.92	64.75	130	$j53g$
$y75l$	61.32	-52.99	35.76	63.92	146	$j76g$
$l00c$	52.69	-65.44	20.75	68.65	162	$g00b$
$l50c$	56.55	-45.12	-16.57	48.07	200	$g34b$
$c00v$	59.61	-28.98	-46.22	54.56	238	$g69b$
$c50v$	43.33	-1.54	-45.13	45.16	268	$g96b$
$v00m$	28.39	23.63	-44.13	50.06	298	$b23r$
$v50m$	36.9	43.84	-30.24	53.26	325	$b47r$
$m00o$	49.58	73.93	-9.56	74.55	353	$b71r$
$m50o$	49.17	69.55	14.68	71.08	12	$b88r$



%Umfang

$u^*_{rel} = 89$

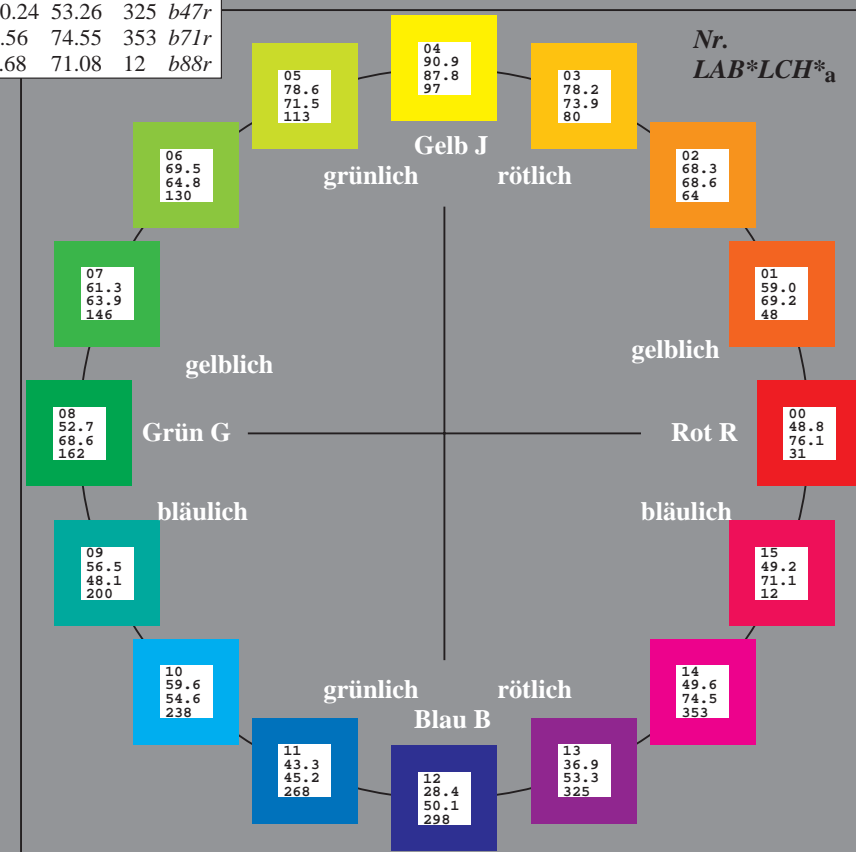
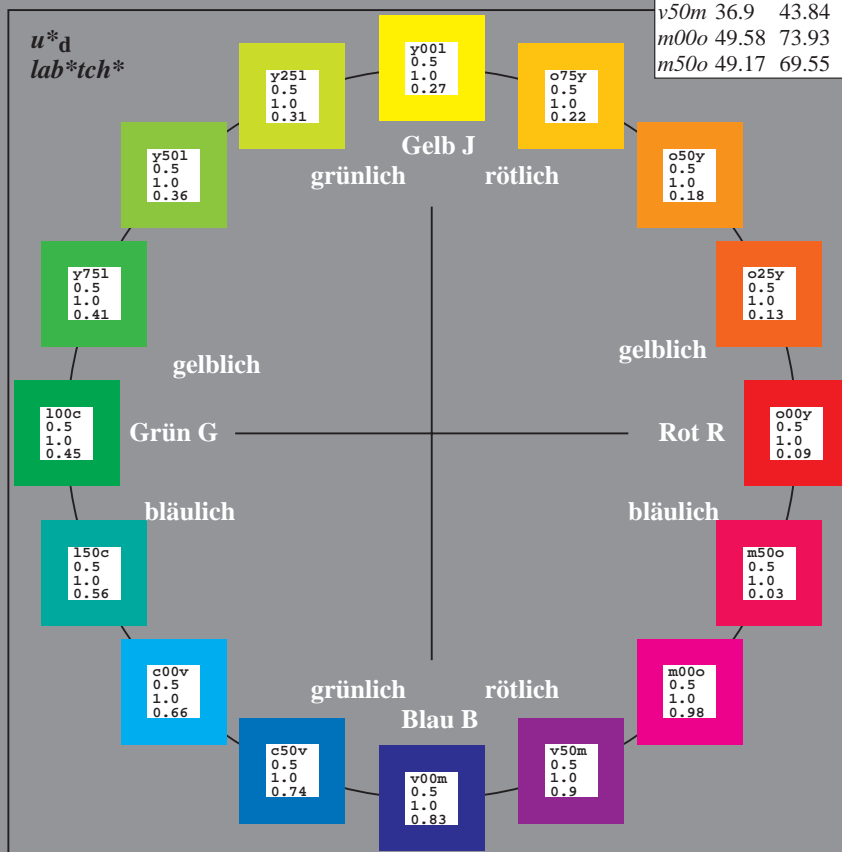
%Regularität

$g^*_{H,rel} = 72$

$g^*_{C,rel} = 57$

ORS19_96a; adaptierte CIELAB-Daten

Name	$L^*=L^*_a$	a^*_a	b^*_a	$C^*_{ab,a}$	$h^*_{ab,a}$
O_{Ma}	48.75	65.07	39.43	76.08	31
Y_{Ma}	90.92	-10.29	87.24	87.85	97
L_{Ma}	52.69	-65.44	20.75	68.65	162
C_{Ma}	59.61	-28.98	-46.22	54.56	238
V_{Ma}	28.39	23.63	-44.13	50.06	298
M_{Ma}	49.58	73.93	-9.56	74.55	353
N_{Ma}	18.89	0.0	0.0	0.0	0
W_{Ma}	96.9	0.0	0.0	0.0	0
O_{CIE}	39.92	58.74	27.99	65.07	25
Y_{CIE}	81.26	-2.89	71.56	71.62	92
L_{CIE}	52.23	-42.42	13.6	44.55	162
V_{CIE}	30.57	1.41	-46.47	46.49	272



Ein und Ausgabe: Farbmimetrisches Drucker-Reflektiv-System ORS19_96a für relativen CIELAB-Buntton $h^* = lab^*h^* = h_{ab}/360 = 0.087$

Daten für jede Farbe:

lab^*tch^* und lab^*icu^*

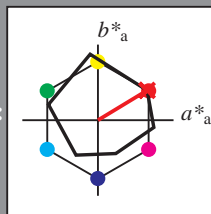
Bunttontexte:

$u^*_d = o00y$ $u^*_e = r08j$

Kontrastreduzierungsfaktor:

$c_R = 1.0$

Dreiecks-Helligkeit i^*



ORS19_96a; adaptierte CIELAB-Daten

u^*_d	$L^*=L^*_a$	a^*_a	b^*_a	$C^*_{ab,a}$	$h^*_{ab,a}$
O _{Ma}	48.75	65.07	39.43	76.08	31
Y _{Ma}	90.92	-10.29	87.24	87.85	97
L _{Ma}	52.69	-65.44	20.75	68.65	162
C _{Ma}	59.61	-28.98	-46.22	54.56	238
V _{Ma}	28.39	23.63	-44.13	50.06	298
M _{Ma}	49.58	73.93	-9.56	74.55	353
N _{Ma}	18.89	0.0	0.0	0.0	0
W _{Ma}	96.9	0.0	0.0	0.0	0
O _{Ma}	39.92	58.74	27.99	65.07	25
Y _{Ma}	81.26	-2.89	71.56	71.62	92
L _{Ma}	52.23	-42.42	13.6	44.55	162
V _{Ma}	30.57	1.41	-46.47	46.49	272

Daten für Maximalfarbe (Ma):

$LAB^*LAB^*_{Ma}$: 49 65 39

$LAB^*LCH^*_{Ma}$: 49 76 31

$lab^*olv^*_{Ma}$: 1.0 0.0 0.0

$lab^*rgb^*_{Ma}$: 1.0 0.09 0.0

Dreiecks-Helligkeit i^*

%Umfang

$u^*_{rel} = 89$

%Regularität

$g^*_{H,rel} = 72$

$g^*_{C,rel} = 57$

ORS19_96a; adaptierte CIELAB-Daten

u^*_d	$L^*=L^*_a$	a^*_a	b^*_a	$C^*_{ab,a}$	$h^*_{ab,a}$	u^*_e
$o00y$	48.75	65.07	39.43	76.08	31	$r08j$
$o25y$	59.04	46.67	51.1	69.21	48	$r33j$
$o50y$	68.32	30.09	61.62	68.58	64	$r57j$
$o75y$	78.23	12.39	72.85	73.9	80	$r81j$
$y00l$	90.92	-10.29	87.24	87.85	97	$j06g$
$y25l$	78.57	-28.11	65.75	71.51	113	$j29g$
$y50l$	69.46	-41.25	49.92	64.75	130	$j53g$
$y75l$	61.32	-52.99	35.76	63.92	146	$j76g$
$l00c$	52.69	-65.44	20.75	68.65	162	$g00b$
$l50c$	56.55	-45.12	-16.57	48.07	200	$g34b$
$c00v$	59.61	-28.98	-46.22	54.56	238	$g69b$
$c50v$	43.33	-1.54	-45.13	45.16	268	$g96b$
$v00m$	28.39	23.63	-44.13	50.06	298	$b23r$
$v50m$	36.9	43.84	-30.24	53.26	325	$b47r$
$m00o$	49.58	73.93	-9.56	74.55	353	$b71r$
$m50o$	49.17	69.55	14.68	71.08	12	$b88r$

lab^*tch^*

$i^* = 1.00$

Brillantheit i^*

$i^* = 0.80$

$i^* = 0.60$

$i^* = 0.40$

$i^* = 0.20$

$i^* = 0.00$

relative Buntheit c^*

Ein und Ausgabe: Farbmimetrisches Drucker-Reflektiv-System ORS19_96a für relativen CIELAB-Buntton $h^* = lab^*h^* = h_{ab}/360 = 0.132$

Daten für jede Farbe:

lab^*tch^* und lab^*icu^*

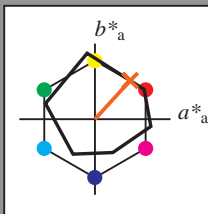
Bunttontexte:

$u^*_d = o25y$ $u^*_e = r33j$

Kontrastreduzierungsfaktor:

$c_R = 1.0$

Dreiecks-Helligkeit i^*



ORS19_96a; adaptierte CIELAB-Daten

u^*_d	$L^*=L^*_a$	a^*_a	b^*_a	$C^*_{ab,a}$	$h^*_{ab,a}$
O _{Ma}	48.75	65.07	39.43	76.08	31
Y _{Ma}	90.92	-10.29	87.24	87.85	97
L _{Ma}	52.69	-65.44	20.75	68.65	162
C _{Ma}	59.61	-28.98	-46.22	54.56	238
V _{Ma}	28.39	23.63	-44.13	50.06	298
M _{Ma}	49.58	73.93	-9.56	74.55	353
N _{Ma}	18.89	0.0	0.0	0.0	0
W _{Ma}	96.9	0.0	0.0	0.0	0
O _{Ma}	39.92	58.74	27.99	65.07	25
Y _{Ma}	81.26	-2.89	71.56	71.62	92
L _{Ma}	52.23	-42.42	13.6	44.55	162
V _{Ma}	30.57	1.41	-46.47	46.49	272

Daten für Maximalfarbe (Ma):

$LAB^*LAB^*_{Ma}$: 59 47 51

$LAB^*LCH^*_{Ma}$: 59 69 47

$lab^*olv^*_{Ma}$: 1.0 0.25 0.0

$lab^*rgb^*_{Ma}$: 1.0 0.33 0.0

Dreiecks-Helligkeit i^*

%Umfang

$u^*_{rel} = 89$

%Regularität

$g^*_{H,rel} = 72$

$g^*_{C,rel} = 57$

ORS19_96a; adaptierte CIELAB-Daten

u^*_d	$L^*=L^*_a$	a^*_a	b^*_a	$C^*_{ab,a}$	$h^*_{ab,a}$	u^*_e
o00y	48.75	65.07	39.43	76.08	31	r08j
o25y	59.04	46.67	51.1	69.21	48	r33j
o50y	68.32	30.09	61.62	68.58	64	r57j
o75y	78.23	12.39	72.85	73.9	80	r81j
y00l	90.92	-10.29	87.24	87.85	97	j06g
y25l	78.57	-28.11	65.75	71.51	113	j29g
y50l	69.46	-41.25	49.92	64.75	130	j53g
y75l	61.32	-52.99	35.76	63.92	146	j76g
l00c	52.69	-65.44	20.75	68.65	162	g00b
l50c	56.55	-45.12	-16.57	48.07	200	g34b
c00v	59.61	-28.98	-46.22	54.56	238	g69b
c50v	43.33	-1.54	-45.13	45.16	268	g96b
v00m	28.39	23.63	-44.13	50.06	298	b23r
v50m	36.9	43.84	-30.24	53.26	325	b47r
m00o	49.58	73.93	-9.56	74.55	353	b71r
m50o	49.17	69.55	14.68	71.08	12	b88r

lab^*tch^*

$i^* = 1.00$

Brillantheit i^*

$i^* = 0.80$

$i^* = 0.60$

$i^* = 0.40$

$i^* = 0.20$

$i^* = 0.00$

Ein und Ausgabe: Farbmimetrisches Drucker-Reflektiv-System ORS19_96a für relativen CIELAB-Buntton $h^* = \text{lab}^*h^* = h_{ab}/360 = 0.178$

Daten für jede Farbe:

lab^*tch^* und lab^*icu^*

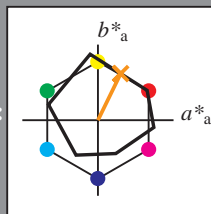
Bunttontexte:

$u^*_d = o50y$ $u^*_e = r57j$

Kontrastreduzierungsfaktor:

$c_R = 1.0$

Dreiecks-Helligkeit i^*



ORS19_96a; adaptierte CIELAB-Daten

u^*_d	$L^*=L^*_a$	a^*_a	b^*_a	$C^*_{ab,a}$	$h^*_{ab,a}$
O _{Ma}	48.75	65.07	39.43	76.08	31
Y _{Ma}	90.92	-10.29	87.24	87.85	97
L _{Ma}	52.69	-65.44	20.75	68.65	162
C _{Ma}	59.61	-28.98	-46.22	54.56	238
V _{Ma}	28.39	23.63	-44.13	50.06	298
M _{Ma}	49.58	73.93	-9.56	74.55	353
N _{Ma}	18.89	0.0	0.0	0.0	0
W _{Ma}	96.9	0.0	0.0	0.0	0
O _{Ma}	39.92	58.74	27.99	65.07	25
Y _{Ma}	81.26	-2.89	71.56	71.62	92
L _{Ma}	52.23	-42.42	13.6	44.55	162
V _{Ma}	30.57	1.41	-46.47	46.49	272

Daten für Maximalfarbe (Ma):

$\text{LAB}^*\text{LAB}^*_{Ma}$: 68 30 62

$\text{LAB}^*\text{LCH}^*_{Ma}$: 68 69 63

$\text{lab}^*\text{olv}^*_{Ma}$: 1.0 0.5 0.0

$\text{lab}^*\text{rgb}^*_{Ma}$: 1.0 0.58 0.0

Dreiecks-Helligkeit i^*

%Umfang

$u^*_{rel} = 89$

%Regularität

$g^*_{H,rel} = 72$

$g^*_{C,rel} = 57$

ORS19_96a; adaptierte CIELAB-Daten

u^*_d	$L^*=L^*_a$	a^*_a	b^*_a	$C^*_{ab,a}$	$h^*_{ab,a}$	u^*_e
o00y	48.75	65.07	39.43	76.08	31	r08j
o25y	59.04	46.67	51.1	69.21	48	r33j
o50y	68.32	30.09	61.62	68.58	64	r57j
o75y	78.23	12.39	72.85	73.9	80	r81j
y00l	90.92	-10.29	87.24	87.85	97	j06g
y25l	78.57	-28.11	65.75	71.51	113	j29g
y50l	69.46	-41.25	49.92	64.75	130	j53g
y75l	61.32	-52.99	35.76	63.92	146	j76g
l00c	52.69	-65.44	20.75	68.65	162	g00b
l50c	56.55	-45.12	-16.57	48.07	200	g34b
c00v	59.61	-28.98	-46.22	54.56	238	g69b
c50v	43.33	-1.54	-45.13	45.16	268	g96b
v00m	28.39	23.63	-44.13	50.06	298	b23r
v50m	36.9	43.84	-30.24	53.26	325	b47r
m00o	49.58	73.93	-9.56	74.55	353	b71r
m50o	49.17	69.55	14.68	71.08	12	b88r

lab^*tch^*

$i^* = 1.00$

Brillantheit i^*

$i^* = 0.80$

$i^* = 0.60$

$i^* = 0.40$

$i^* = 0.20$

$i^* = 0.00$

Ein und Ausgabe: Farbmimetrisches Drucker-Reflektiv-System ORS19_96a für relativen CIELAB-Buntton $h^* = lab^*h^* = h_{ab}/360 = 0.223$

Daten für jede Farbe:

lab^*tch^* und lab^*icu^*

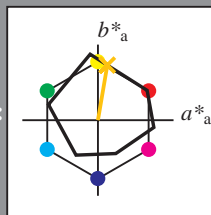
Bunttontexte:

$u^*_d = 075y$ $u^*_e = r81j$

Kontrastreduzierungsfaktor:

$c_R = 1.0$

Dreiecks-Helligkeit i^*



ORS19_96a; adaptierte CIELAB-Daten

u^*_d	$L^*=L^*_a$	a^*_a	b^*_a	$C^*_{ab,a}$	$h^*_{ab,a}$
O _{Ma}	48.75	65.07	39.43	76.08	31
Y _{Ma}	90.92	-10.29	87.24	87.85	97
L _{Ma}	52.69	-65.44	20.75	68.65	162
C _{Ma}	59.61	-28.98	-46.22	54.56	238
V _{Ma}	28.39	23.63	-44.13	50.06	298
M _{Ma}	49.58	73.93	-9.56	74.55	353
N _{Ma}	18.89	0.0	0.0	0.0	0
W _{Ma}	96.9	0.0	0.0	0.0	0
O _{Ma}	39.92	58.74	27.99	65.07	25
Y _{Ma}	81.26	-2.89	71.56	71.62	92
L _{Ma}	52.23	-42.42	13.6	44.55	162
V _{Ma}	30.57	1.41	-46.47	46.49	272

Daten für Maximalfarbe (Ma):

$LAB^*LAB^*_{Ma}$: 78 12 73

$LAB^*LCH^*_{Ma}$: 78 74 80

$lab^*olv^*_{Ma}$: 1.0 0.75 0.0

$lab^*rgb^*_{Ma}$: 1.0 0.82 0.0

Dreiecks-Helligkeit i^*

%Umfang

$u^*_{rel} = 89$

%Regularität

$g^*_{H,rel} = 72$

$g^*_{C,rel} = 57$

ORS19_96a; adaptierte CIELAB-Daten

u^*_d	$L^*=L^*_a$	a^*_a	b^*_a	$C^*_{ab,a}$	$h^*_{ab,a}$	u^*_e
o00y	48.75	65.07	39.43	76.08	31	r08j
o25y	59.04	46.67	51.1	69.21	48	r33j
o50y	68.32	30.09	61.62	68.58	64	r57j
o75y	78.23	12.39	72.85	73.9	80	r81j
y00l	90.92	-10.29	87.24	87.85	97	j06g
y25l	78.57	-28.11	65.75	71.51	113	j29g
y50l	69.46	-41.25	49.92	64.75	130	j53g
y75l	61.32	-52.99	35.76	63.92	146	j76g
l00c	52.69	-65.44	20.75	68.65	162	g00b
l50c	56.55	-45.12	-16.57	48.07	200	g34b
c00v	59.61	-28.98	-46.22	54.56	238	g69b
c50v	43.33	-1.54	-45.13	45.16	268	g96b
v00m	28.39	23.63	-44.13	50.06	298	b23r
v50m	36.9	43.84	-30.24	53.26	325	b47r
m00o	49.58	73.93	-9.56	74.55	353	b71r
m50o	49.17	69.55	14.68	71.08	12	b88r

lab^*tch^*

$i^* = 1.00$

Brillantheit i^*

$i^* = 0.80$

$i^* = 0.60$

$i^* = 0.40$

$i^* = 0.20$

$i^* = 0.00$

relative Buntheit c^*

Ein und Ausgabe: Farbmimetrisches Drucker-Reflektiv-System ORS19_96a für relativen CIELAB-Buntton $h^* = lab^*h^* = h_{ab}/360 = 0.269$

Daten für jede Farbe:

lab^*tch^* und lab^*icu^*

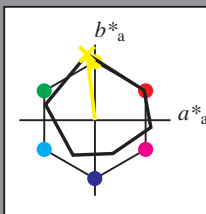
Bunttontexte:

$u^*_d = y00l$ $u^*_e = j06g$

Kontrastreduzierungsfaktor:

$c_R = 1.0$

Dreiecks-Helligkeit t^*



ORS19_96a; adaptierte CIELAB-Daten

u^*_d	$L^*=L^*_a$	a^*_a	b^*_a	$C^*_{ab,a}$	$h^*_{ab,a}$
O _{Ma}	48.75	65.07	39.43	76.08	31
Y _{Ma}	90.92	-10.29	87.24	87.85	97
L _{Ma}	52.69	-65.44	20.75	68.65	162
C _{Ma}	59.61	-28.98	-46.22	54.56	238
V _{Ma}	28.39	23.63	-44.13	50.06	298
M _{Ma}	49.58	73.93	-9.56	74.55	353
N _{Ma}	18.89	0.0	0.0	0.0	0
W _{Ma}	96.9	0.0	0.0	0.0	0
O _{Ma}	39.92	58.74	27.99	65.07	25
Y _{Ma}	81.26	-2.89	71.56	71.62	92
L _{Ma}	52.23	-42.42	13.6	44.55	162
V _{Ma}	30.57	1.41	-46.47	46.49	272

Daten für Maximalfarbe (Ma):

$LAB^*LAB^*_{Ma}$: 91 -10 87

$LAB^*LCH^*_{Ma}$: 91 88 96

$lab^*olv^*_{Ma}$: 1.0 1.0 0.0

$lab^*rgb^*_{Ma}$: 0.94 1.0 0.0

Dreiecks-Helligkeit t^*

%Umfang

$u^*_{rel} = 89$

%Regularität

$g^*_{H,rel} = 72$

$g^*_{C,rel} = 57$

ORS19_96a; adaptierte CIELAB-Daten

u^*_d	$L^*=L^*_a$	a^*_a	b^*_a	$C^*_{ab,a}$	$h^*_{ab,a}$	u^*_e
o00y	48.75	65.07	39.43	76.08	31	r08j
o25y	59.04	46.67	51.1	69.21	48	r33j
o50y	68.32	30.09	61.62	68.58	64	r57j
o75y	78.23	12.39	72.85	73.9	80	r81j
y00l	90.92	-10.29	87.24	87.85	97	j06g
y25l	78.57	-28.11	65.75	71.51	113	j29g
y50l	69.46	-41.25	49.92	64.75	130	j53g
y75l	61.32	-52.99	35.76	63.92	146	j76g
l00c	52.69	-65.44	20.75	68.65	162	g00b
l50c	56.55	-45.12	-16.57	48.07	200	g34b
c00v	59.61	-28.98	-46.22	54.56	238	g69b
c50v	43.33	-1.54	-45.13	45.16	268	g96b
v00m	28.39	23.63	-44.13	50.06	298	b23r
v50m	36.9	43.84	-30.24	53.26	325	b47r
m00o	49.58	73.93	-9.56	74.55	353	b71r
m50o	49.17	69.55	14.68	71.08	12	b88r

lab^*tch^*

$i^* = 1.00$

Brillantheit i^*

$i^* = 0.80$

$i^* = 0.60$

$i^* = 0.40$

$i^* = 0.20$

$i^* = 0.00$

relative Buntheit c^*

relative Buntheit c^*

Ein und Ausgabe: Farbmetrisches Drucker-Reflektiv-System ORS19_96a für relativen CIELAB-Buntton $h^* = lab^*h^* = h_{ab}/360 = 0.314$

Daten für jede Farbe:

lab^*tch^* und lab^*icu^*

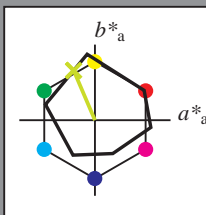
Bunttontexte:

$u^*_d = y25l$ $u^*_e = j29g$

Kontrastreduzierungsfaktor:

$c_R = 1.0$

Dreiecks-Helligkeit i^*



ORS19_96a; adaptierte CIELAB-Daten

u^*_d	$L^*=L^*_a$	a^*_a	b^*_a	$C^*_{ab,a}$	$h^*_{ab,a}$
O _{Ma}	48.75	65.07	39.43	76.08	31
Y _{Ma}	90.92	-10.29	87.24	87.85	97
L _{Ma}	52.69	-65.44	20.75	68.65	162
C _{Ma}	59.61	-28.98	-46.22	54.56	238
V _{Ma}	28.39	23.63	-44.13	50.06	298
M _{Ma}	49.58	73.93	-9.56	74.55	353
N _{Ma}	18.89	0.0	0.0	0.0	0
W _{Ma}	96.9	0.0	0.0	0.0	0
O _{Ma}	39.92	58.74	27.99	65.07	25
Y _{Ma}	81.26	-2.89	71.56	71.62	92
L _{Ma}	52.23	-42.42	13.6	44.55	162
V _{Ma}	30.57	1.41	-46.47	46.49	272

Daten für Maximalfarbe (Ma):

$LAB^*LAB^*_{Ma}$: 79 -28 66

$LAB^*LCH^*_{Ma}$: 79 72 113

$lab^*olv^*_{Ma}$: 0.75 1.0 0.0

$lab^*rgb^*_{Ma}$: 0.7 1.0 0.0

Dreiecks-Helligkeit i^*

%Umfang

$u^*_{rel} = 89$

%Regularität

$g^*_{H,rel} = 72$

$g^*_{C,rel} = 57$

ORS19_96a; adaptierte CIELAB-Daten

u^*_d	$L^*=L^*_a$	a^*_a	b^*_a	$C^*_{ab,a}$	$h^*_{ab,a}$	u^*_e
o00y	48.75	65.07	39.43	76.08	31	r08j
o25y	59.04	46.67	51.1	69.21	48	r33j
o50y	68.32	30.09	61.62	68.58	64	r57j
o75y	78.23	12.39	72.85	73.9	80	r81j
y00l	90.92	-10.29	87.24	87.85	97	j06g
y25l	78.57	-28.11	65.75	71.51	113	j29g
y50l	69.46	-41.25	49.92	64.75	130	j53g
y75l	61.32	-52.99	35.76	63.92	146	j76g
l00c	52.69	-65.44	20.75	68.65	162	g00b
l50c	56.55	-45.12	-16.57	48.07	200	g34b
c00v	59.61	-28.98	-46.22	54.56	238	g69b
c50v	43.33	-1.54	-45.13	45.16	268	g96b
v00m	28.39	23.63	-44.13	50.06	298	b23r
v50m	36.9	43.84	-30.24	53.26	325	b47r
m00o	49.58	73.93	-9.56	74.55	353	b71r
m50o	49.17	69.55	14.68	71.08	12	b88r

lab^*tch^*

$i^* = 1.00$

Brillantheit i^*

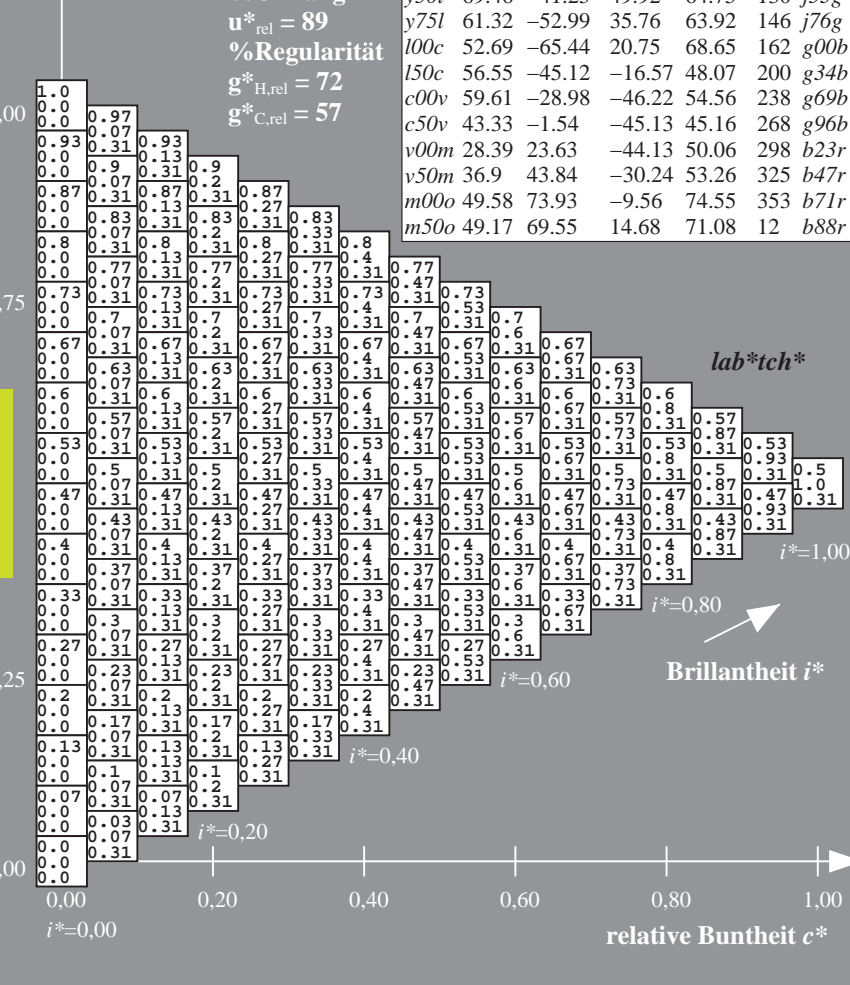
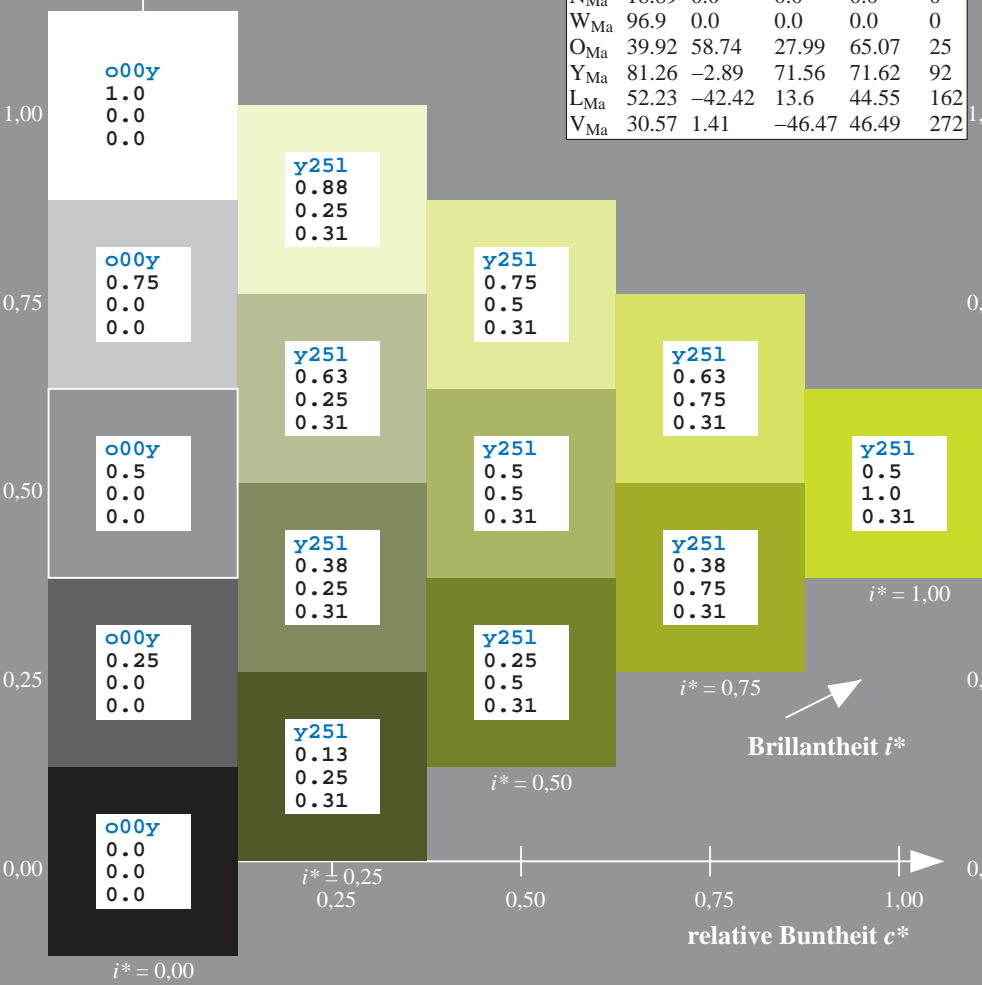
$i^* = 0.80$

$i^* = 0.60$

$i^* = 0.40$

$i^* = 0.20$

$i^* = 0.00$



Ein und Ausgabe: Farbmimetrisches Drucker-Reflektiv-System ORS19_96a für relativen CIELAB-Buntton $h^* = lab^*h^* = h_{ab}/360 = 0.36$

Daten für jede Farbe:

lab^*tch^* und lab^*icu^*

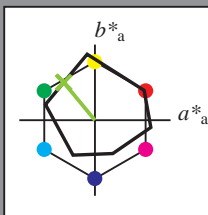
Bunttontexte:

$u^*_d = y50l$ $u^*_e = j53g$

Kontrastreduzierungsfaktor:

$c_R = 1.0$

Dreiecks-Helligkeit i^*



ORS19_96a; adaptierte CIELAB-Daten

	u^*_d	$L^*=L^*_a$	a^*_a	b^*_a	$C^*_{ab,a}$	$h^*_{ab,a}$
O _{Ma}	48.75	65.07	39.43	76.08	31	
Y _{Ma}	90.92	-10.29	87.24	87.85	97	
L _{Ma}	52.69	-65.44	20.75	68.65	162	
C _{Ma}	59.61	-28.98	-46.22	54.56	238	
V _{Ma}	28.39	23.63	-44.13	50.06	298	
M _{Ma}	49.58	73.93	-9.56	74.55	353	
N _{Ma}	18.89	0.0	0.0	0.0	0	
W _{Ma}	96.9	0.0	0.0	0.0	0	
O _{Ma}	39.92	58.74	27.99	65.07	25	
Y _{Ma}	81.26	-2.89	71.56	71.62	92	
L _{Ma}	52.23	-42.42	13.6	44.55	162	
V _{Ma}	30.57	1.41	-46.47	46.49	272	

Daten für Maximalfarbe (Ma):

$LAB^*LAB^*_{Ma}$: 69 -41 50

$LAB^*LCH^*_{Ma}$: 69 65 129

$lab^*olv^*_{Ma}$: 0.5 1.0 0.0

$lab^*rgb^*_{Ma}$: 0.47 1.0 0.0

Dreiecks-Helligkeit i^*

%Umfang

$u^*_{rel} = 89$

%Regularität

$g^*_{H,rel} = 72$

$g^*_{C,rel} = 57$

ORS19_96a; adaptierte CIELAB-Daten

	u^*_d	$L^*=L^*_a$	a^*_a	b^*_a	$C^*_{ab,a}$	$h^*_{ab,a}$	u^*_e
o00y	48.75	65.07	39.43	76.08	31		r08j
o25y	59.04	46.67	51.1	69.21	48		r33j
o50y	68.32	30.09	61.62	68.58	64		r57j
o75y	78.23	12.39	72.85	73.9	80		r81j
y00l	90.92	-10.29	87.24	87.85	97		j06g
y25l	78.57	-28.11	65.75	71.51	113		j29g
y50l	69.46	-41.25	49.92	64.75	130		j53g
y75l	61.32	-52.99	35.76	63.92	146		j76g
l00c	52.69	-65.44	20.75	68.65	162		g00b
l50c	56.55	-45.12	-16.57	48.07	200		g34b
c00v	59.61	-28.98	-46.22	54.56	238		g69b
c50v	43.33	-1.54	-45.13	45.16	268		g96b
v00m	28.39	23.63	-44.13	50.06	298		b23r
v50m	36.9	43.84	-30.24	53.26	325		b47r
m00o	49.58	73.93	-9.56	74.55	353		b71r
m50o	49.17	69.55	14.68	71.08	12		b88r

lab^*tch^*

$i^* = 1.00$

Brillantheit i^*

$i^* = 0.80$

$i^* = 0.60$

$i^* = 0.40$

$i^* = 0.20$

$i^* = 0.00$

relative Buntheit c^*

relative Buntheit c^*

Ein und Ausgabe: Farbmimetrisches Drucker-Reflektiv-System ORS19_96a für relativen CIELAB-Buntton $h^* = lab^*h^* = h_{ab}/360 = 0.406$

Daten für jede Farbe:

lab^*tch^* und lab^*icu^*

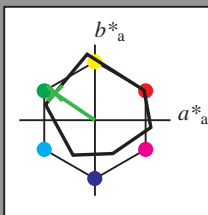
Bunttontexte:

$u^*_d = y75l$ $u^*_e = j76g$

Kontrastreduzierungsfaktor:

$c_R = 1.0$

Dreiecks-Helligkeit i^*



ORS19_96a; adaptierte CIELAB-Daten

	u^*_d	$L^*=L^*_a$	a^*_a	b^*_a	$C^*_{ab,a}$	$h^*_{ab,a}$
O _{Ma}	48.75	65.07	39.43	76.08	31	
Y _{Ma}	90.92	-10.29	87.24	87.85	97	
L _{Ma}	52.69	-65.44	20.75	68.65	162	
C _{Ma}	59.61	-28.98	-46.22	54.56	238	
V _{Ma}	28.39	23.63	-44.13	50.06	298	
M _{Ma}	49.58	73.93	-9.56	74.55	353	
N _{Ma}	18.89	0.0	0.0	0.0	0	
W _{Ma}	96.9	0.0	0.0	0.0	0	
O _{Ma}	39.92	58.74	27.99	65.07	25	
Y _{Ma}	81.26	-2.89	71.56	71.62	92	
L _{Ma}	52.23	-42.42	13.6	44.55	162	
V _{Ma}	30.57	1.41	-46.47	46.49	272	

Daten für Maximalfarbe (Ma):

LAB^*LAB^*Ma : 61 -53 36

LAB^*LCH^*Ma : 61 64 145

lab^*olv^*Ma : 0.25 1.0 0.0

lab^*rgb^*Ma : 0.23 1.0 0.0

Dreiecks-Helligkeit i^*

%Umfang

$u^*_{rel} = 89$

%Regularität

$g^*_{H,rel} = 72$

$g^*_{C,rel} = 57$

ORS19_96a; adaptierte CIELAB-Daten

	u^*_d	$L^*=L^*_a$	a^*_a	b^*_a	$C^*_{ab,a}$	$h^*_{ab,a}$	u^*_e
o00y	48.75	65.07	39.43	76.08	31		r08j
o25y	59.04	46.67	51.1	69.21	48		r33j
o50y	68.32	30.09	61.62	68.58	64		r57j
o75y	78.23	12.39	72.85	73.9	80		r81j
y00l	90.92	-10.29	87.24	87.85	97		j06g
y25l	78.57	-28.11	65.75	71.51	113		j29g
y50l	69.46	-41.25	49.92	64.75	130		j53g
y75l	61.32	-52.99	35.76	63.92	146		j76g
l00c	52.69	-65.44	20.75	68.65	162		g00b
l50c	56.55	-45.12	-16.57	48.07	200		g34b
c00v	59.61	-28.98	-46.22	54.56	238		g69b
c50v	43.33	-1.54	-45.13	45.16	268		g96b
v00m	28.39	23.63	-44.13	50.06	298		b23r
v50m	36.9	43.84	-30.24	53.26	325		b47r
m00o	49.58	73.93	-9.56	74.55	353		b71r
m50o	49.17	69.55	14.68	71.08	12		b88r

lab^*tch^*

$i^* = 1.00$

Brillantheit i^*

$i^* = 0.80$

$i^* = 0.60$

$i^* = 0.40$

$i^* = 0.20$

$i^* = 0.00$

Ein und Ausgabe: Farbmetrisches Drucker-Reflektiv-System ORS19_96a für relativen CIELAB-Buntton $h^* = lab^*h^* = h_{ab}/360 = 0.451$

Daten für jede Farbe:

lab^*tch^* und lab^*icu^*

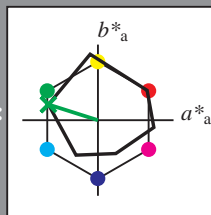
Bunttontexte:

$u^*_d = 100c$ $u^*_e = g00b$

Kontrastreduzierungsfaktor:

$c_R = 1.0$

Dreiecks-Helligkeit t^*



ORS19_96a; adaptierte CIELAB-Daten

u^*_d	$L^*=L^*_a$	a^*_a	b^*_a	$C^*_{ab,a}$	$h^*_{ab,a}$
O _{Ma}	48.75	65.07	39.43	76.08	31
Y _{Ma}	90.92	-10.29	87.24	87.85	97
L _{Ma}	52.69	-65.44	20.75	68.65	162
C _{Ma}	59.61	-28.98	-46.22	54.56	238
V _{Ma}	28.39	23.63	-44.13	50.06	298
M _{Ma}	49.58	73.93	-9.56	74.55	353
N _{Ma}	18.89	0.0	0.0	0.0	0
W _{Ma}	96.9	0.0	0.0	0.0	0
O _{Ma}	39.92	58.74	27.99	65.07	25
Y _{Ma}	81.26	-2.89	71.56	71.62	92
L _{Ma}	52.23	-42.42	13.6	44.55	162
V _{Ma}	30.57	1.41	-46.47	46.49	272

Daten für Maximalfarbe (Ma):

$LAB^*LAB^*_{Ma}$: 53 -65 21

$LAB^*LCH^*_{Ma}$: 53 69 162

$lab^*olv^*_{Ma}$: 0.0 1.0 0.0

$lab^*rgb^*_{Ma}$: 0.0 1.0 0.0

Dreiecks-Helligkeit t^*

%Umfang

$u^*_{rel} = 89$

%Regularität

$g^*_{H,rel} = 72$

$g^*_{C,rel} = 57$

ORS19_96a; adaptierte CIELAB-Daten

u^*_d	$L^*=L^*_a$	a^*_a	b^*_a	$C^*_{ab,a}$	$h^*_{ab,a}$	u^*_e
o00y	48.75	65.07	39.43	76.08	31	r08j
o25y	59.04	46.67	51.1	69.21	48	r33j
o50y	68.32	30.09	61.62	68.58	64	r57j
o75y	78.23	12.39	72.85	73.9	80	r81j
y00l	90.92	-10.29	87.24	87.85	97	j06g
y25l	78.57	-28.11	65.75	71.51	113	j29g
y50l	69.46	-41.25	49.92	64.75	130	j53g
y75l	61.32	-52.99	35.76	63.92	146	j76g
l00c	52.69	-65.44	20.75	68.65	162	g00b
l50c	56.55	-45.12	-16.57	48.07	200	g34b
c00v	59.61	-28.98	-46.22	54.56	238	g69b
c50v	43.33	-1.54	-45.13	45.16	268	g96b
v00m	28.39	23.63	-44.13	50.06	298	b23r
v50m	36.9	43.84	-30.24	53.26	325	b47r
m00o	49.58	73.93	-9.56	74.55	353	b71r
m50o	49.17	69.55	14.68	71.08	12	b88r

lab^*tch^*

$i^* = 1.00$

Brillantheit i^*

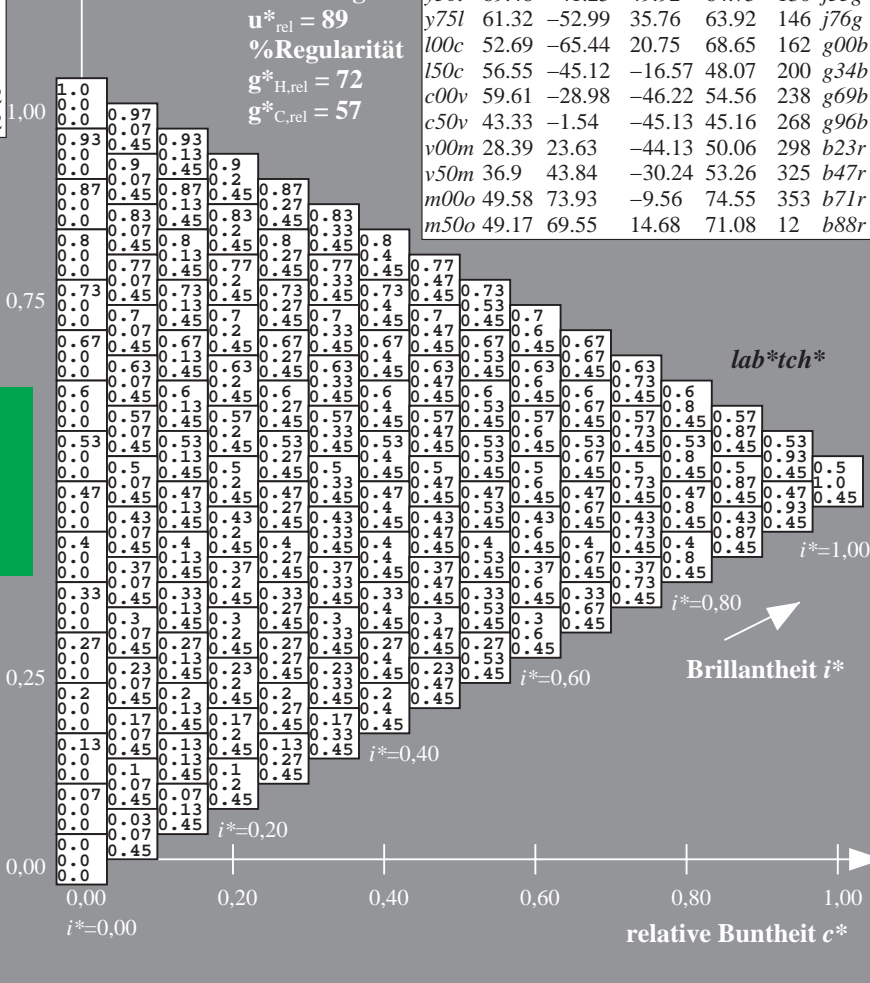
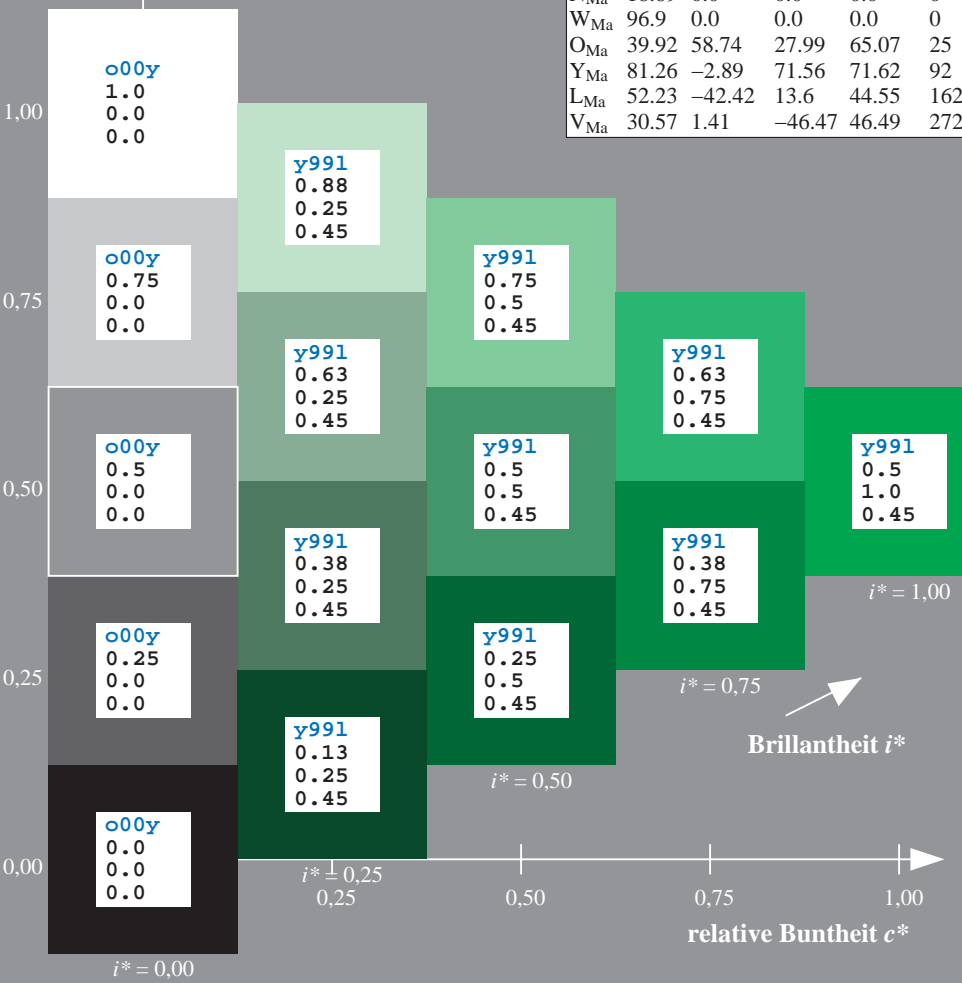
$i^* = 0.80$

$i^* = 0.60$

$i^* = 0.40$

$i^* = 0.20$

$i^* = 0.00$



Ein und Ausgabe: Farbmimetrisches Drucker-Reflektiv-System ORS19_96a für relativen CIELAB-Buntton $h^* = \text{lab}^*h^* = h_{ab}/360 = 0.556$

Daten für jede Farbe:

lab^*tch^* und lab^*icu^*

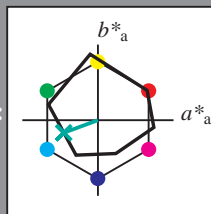
Bunttontexte:

$u^*_d = 150c$ $u^*_e = g34b$

Kontrastreduzierungsfaktor:

$c_R = 1.0$

Dreiecks-Helligkeit t^*



ORS19_96a; adaptierte CIELAB-Daten

u^*_d	$L^*=L^*_a$	a^*_a	b^*_a	$C^*_{ab,a}$	$h^*_{ab,a}$
O _{Ma}	48.75	65.07	39.43	76.08	31
Y _{Ma}	90.92	-10.29	87.24	87.85	97
L _{Ma}	52.69	-65.44	20.75	68.65	162
C _{Ma}	59.61	-28.98	-46.22	54.56	238
V _{Ma}	28.39	23.63	-44.13	50.06	298
M _{Ma}	49.58	73.93	-9.56	74.55	353
N _{Ma}	18.89	0.0	0.0	0.0	0
W _{Ma}	96.9	0.0	0.0	0.0	0
O _{Ma}	39.92	58.74	27.99	65.07	25
Y _{Ma}	81.26	-2.89	71.56	71.62	92
L _{Ma}	52.23	-42.42	13.6	44.55	162
V _{Ma}	30.57	1.41	-46.47	46.49	272

Daten für Maximalfarbe (Ma):

$\text{LAB}^*\text{LAB}^*_{\text{Ma}}$: 57 -45 -17

$\text{LAB}^*\text{LCH}^*_{\text{Ma}}$: 57 48 200

$\text{lab}^*\text{olv}^*_{\text{Ma}}$: 0.0 1.0 0.5

$\text{lab}^*\text{rgb}^*_{\text{Ma}}$: 0.0 1.0 0.69

Dreiecks-Helligkeit t^*

%Umfang

$u^*_{\text{rel}} = 89$

%Regularität

$g^*_{H,\text{rel}} = 72$

$g^*_{C,\text{rel}} = 57$

ORS19_96a; adaptierte CIELAB-Daten

u^*_d	$L^*=L^*_a$	a^*_a	b^*_a	$C^*_{ab,a}$	$h^*_{ab,a}$	u^*_e
o00y	48.75	65.07	39.43	76.08	31	r08j
o25y	59.04	46.67	51.1	69.21	48	r33j
o50y	68.32	30.09	61.62	68.58	64	r57j
o75y	78.23	12.39	72.85	73.9	80	r81j
y00l	90.92	-10.29	87.24	87.85	97	j06g
y25l	78.57	-28.11	65.75	71.51	113	j29g
y50l	69.46	-41.25	49.92	64.75	130	j53g
y75l	61.32	-52.99	35.76	63.92	146	j76g
l00c	52.69	-65.44	20.75	68.65	162	g00b
l50c	56.55	-45.12	-16.57	48.07	200	g34b
c00v	59.61	-28.98	-46.22	54.56	238	g69b
c50v	43.33	-1.54	-45.13	45.16	268	g96b
v00m	28.39	23.63	-44.13	50.06	298	b23r
v50m	36.9	43.84	-30.24	53.26	325	b47r
m00o	49.58	73.93	-9.56	74.55	353	b71r
m50o	49.17	69.55	14.68	71.08	12	b88r

lab^*tch^*

$i^* = 1.00$

Brillantheit i^*

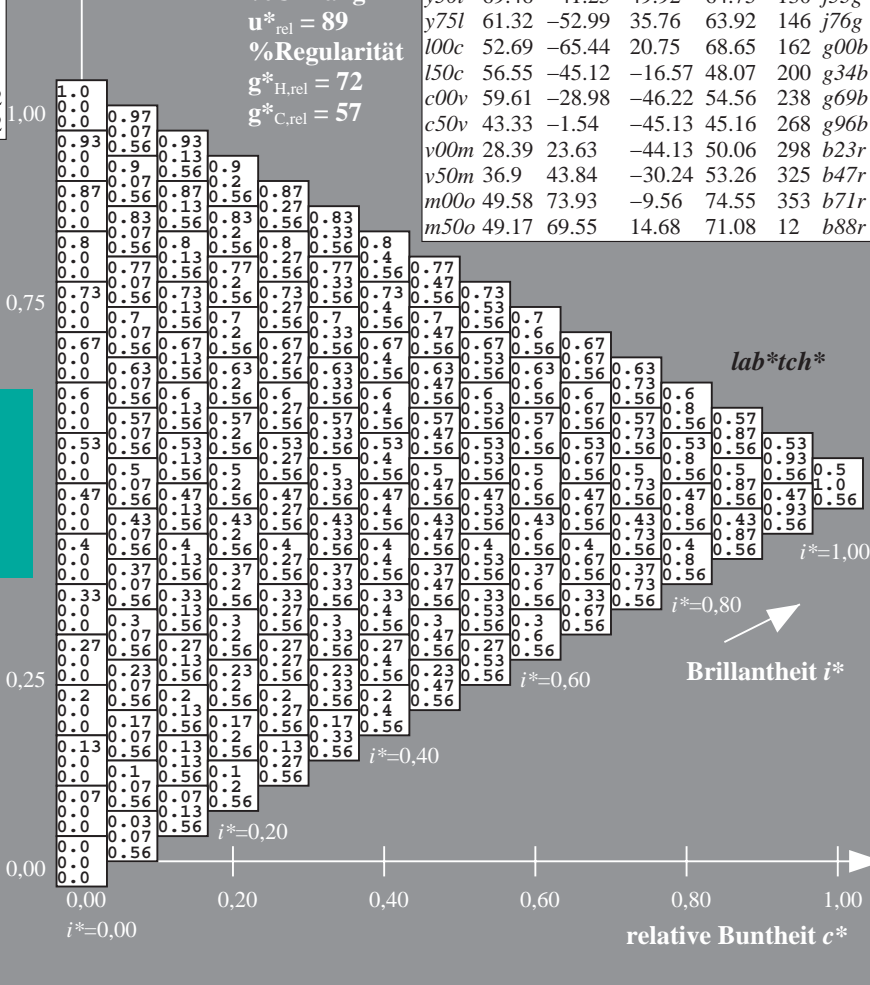
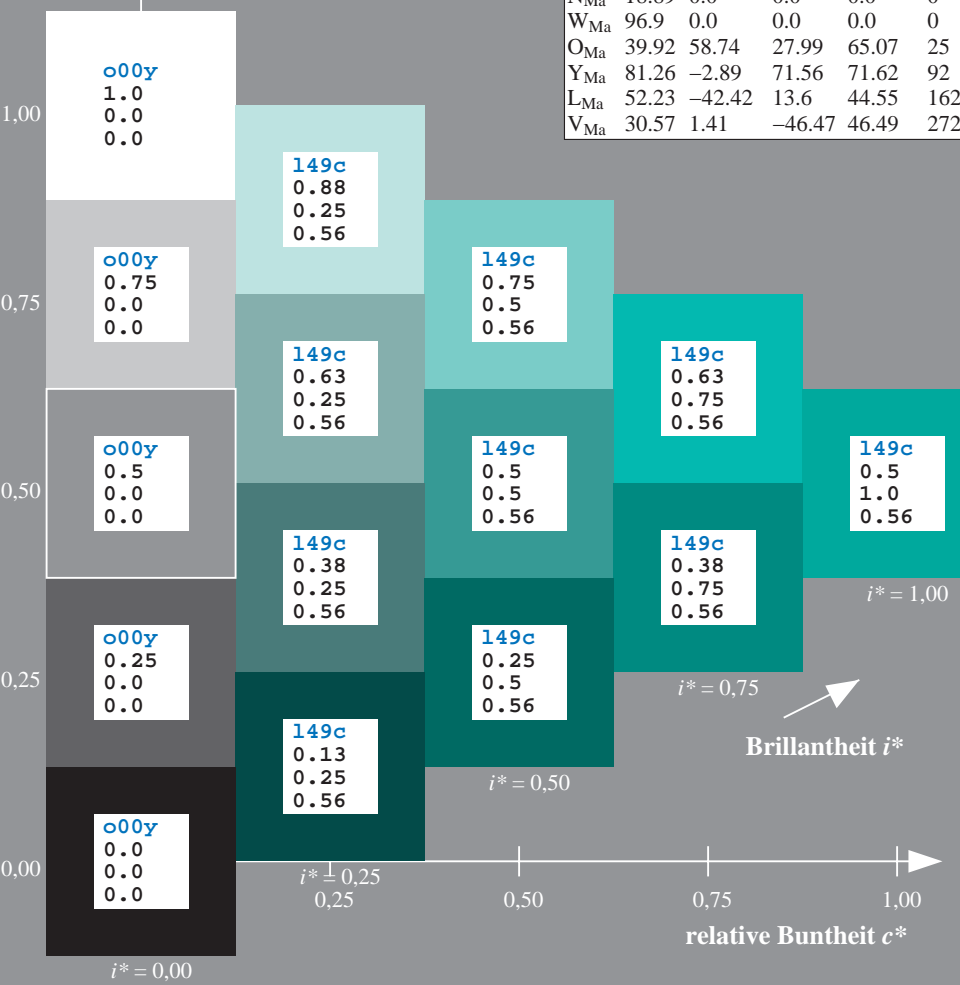
$i^* = 0.80$

$i^* = 0.60$

$i^* = 0.40$

$i^* = 0.20$

$i^* = 0.00$



Ein und Ausgabe: Farbmimetrisches Drucker-Reflektiv-System ORS19_96a für relativen CIELAB-Buntton $h^* = lab^*h^* = h_{ab}/360 = 0.661$

Daten für jede Farbe:

lab^*tch^* und lab^*icu^*

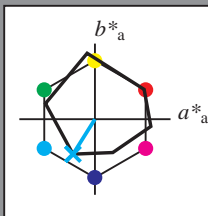
Bunttontexte:

$u^*_d = c00v$ $u^*_e = g69b$

Kontrastreduzierungsfaktor:

$c_R = 1.0$

Dreiecks-Helligkeit t^*



ORS19_96a; adaptierte CIELAB-Daten

u^*_d	$L^*=L^*_a$	a^*_a	b^*_a	$C^*_{ab,a}$	$h^*_{ab,a}$
O _{Ma}	48.75	65.07	39.43	76.08	31
Y _{Ma}	90.92	-10.29	87.24	87.85	97
L _{Ma}	52.69	-65.44	20.75	68.65	162
C _{Ma}	59.61	-28.98	-46.22	54.56	238
V _{Ma}	28.39	23.63	-44.13	50.06	298
M _{Ma}	49.58	73.93	-9.56	74.55	353
N _{Ma}	18.89	0.0	0.0	0.0	0
W _{Ma}	96.9	0.0	0.0	0.0	0
O _{Ma}	39.92	58.74	27.99	65.07	25
Y _{Ma}	81.26	-2.89	71.56	71.62	92
L _{Ma}	52.23	-42.42	13.6	44.55	162
V _{Ma}	30.57	1.41	-46.47	46.49	272

Daten für Maximalfarbe (Ma):

$LAB^*LAB^*_{Ma}$: 60 -29 -46

$LAB^*LCH^*_{Ma}$: 60 55 237

$lab^*olv^*_{Ma}$: 0.0 1.0 1.0

$lab^*rgb^*_{Ma}$: 0.0 0.62 1.0

Dreiecks-Helligkeit t^*

%Umfang

$u^*_{rel} = 89$

%Regularität

$g^*_{H,rel} = 72$

$g^*_{C,rel} = 57$

ORS19_96a; adaptierte CIELAB-Daten

u^*_d	$L^*=L^*_a$	a^*_a	b^*_a	$C^*_{ab,a}$	$h^*_{ab,a}$	u^*_e
o00y	48.75	65.07	39.43	76.08	31	r08j
o25y	59.04	46.67	51.1	69.21	48	r33j
o50y	68.32	30.09	61.62	68.58	64	r57j
o75y	78.23	12.39	72.85	73.9	80	r81j
y00l	90.92	-10.29	87.24	87.85	97	j06g
y25l	78.57	-28.11	65.75	71.51	113	j29g
y50l	69.46	-41.25	49.92	64.75	130	j53g
y75l	61.32	-52.99	35.76	63.92	146	j76g
l00c	52.69	-65.44	20.75	68.65	162	g00b
l50c	56.55	-45.12	-16.57	48.07	200	g34b
c00v	59.61	-28.98	-46.22	54.56	238	g69b
c50v	43.33	-1.54	-45.13	45.16	268	g96b
v00m	28.39	23.63	-44.13	50.06	298	b23r
v50m	36.9	43.84	-30.24	53.26	325	b47r
m00o	49.58	73.93	-9.56	74.55	353	b71r
m50o	49.17	69.55	14.68	71.08	12	b88r

lab^*tch^*

$i^* = 1.00$

Brillantheit i^*

$i^* = 0.80$

$i^* = 0.60$

$i^* = 0.40$

$i^* = 0.20$

$i^* = 0.00$

relative Bunttheit c^*

relative Bunttheit c^*

Ein und Ausgabe: Farbmetrisches Drucker-Reflektiv-System ORS19_96a für relativen CIELAB-Buntton $h^* = lab^*h^* = h_{ab}/360 = 0.745$

Daten für jede Farbe:

lab^*tch^* und lab^*icu^*

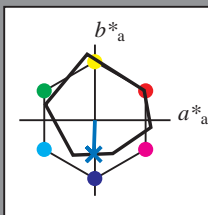
Bunttontexte:

$u^*_d = c50v$ $u^*_e = g96b$

Kontrastreduzierungsfaktor:

$c_R = 1.0$

Dreiecks-Helligkeit i^*



ORS19_96a; adaptierte CIELAB-Daten

u^*_d	$L^*=L^*_a$	a^*_a	b^*_a	$C^*_{ab,a}$	$h^*_{ab,a}$
O _{Ma}	48.75	65.07	39.43	76.08	31
Y _{Ma}	90.92	-10.29	87.24	87.85	97
L _{Ma}	52.69	-65.44	20.75	68.65	162
C _{Ma}	59.61	-28.98	-46.22	54.56	238
V _{Ma}	28.39	23.63	-44.13	50.06	298
M _{Ma}	49.58	73.93	-9.56	74.55	353
N _{Ma}	18.89	0.0	0.0	0.0	0
W _{Ma}	96.9	0.0	0.0	0.0	0
O _{Ma}	39.92	58.74	27.99	65.07	25
Y _{Ma}	81.26	-2.89	71.56	71.62	92
L _{Ma}	52.23	-42.42	13.6	44.55	162
V _{Ma}	30.57	1.41	-46.47	46.49	272

Daten für Maximalfarbe (Ma):

$LAB^*LAB^*_{Ma}$: 43 -2 -45

$LAB^*LCH^*_{Ma}$: 43 45 268

$lab^*olv^*_{Ma}$: 0.0 0.5 1.0

$lab^*rgb^*_{Ma}$: 0.0 0.07 1.0

Dreiecks-Helligkeit i^*

%Umfang

$u^*_{rel} = 89$

%Regularität

$g^*_{H,rel} = 72$

$g^*_{C,rel} = 57$

ORS19_96a; adaptierte CIELAB-Daten

u^*_d	$L^*=L^*_a$	a^*_a	b^*_a	$C^*_{ab,a}$	$h^*_{ab,a}$	u^*_e
o00y	48.75	65.07	39.43	76.08	31	r08j
o25y	59.04	46.67	51.1	69.21	48	r33j
o50y	68.32	30.09	61.62	68.58	64	r57j
o75y	78.23	12.39	72.85	73.9	80	r81j
y00l	90.92	-10.29	87.24	87.85	97	j06g
y25l	78.57	-28.11	65.75	71.51	113	j29g
y50l	69.46	-41.25	49.92	64.75	130	j53g
y75l	61.32	-52.99	35.76	63.92	146	j76g
l00c	52.69	-65.44	20.75	68.65	162	g00b
l50c	56.55	-45.12	-16.57	48.07	200	g34b
c00v	59.61	-28.98	-46.22	54.56	238	g69b
c50v	43.33	-1.54	-45.13	45.16	268	g96b
v00m	28.39	23.63	-44.13	50.06	298	b23r
v50m	36.9	43.84	-30.24	53.26	325	b47r
m00o	49.58	73.93	-9.56	74.55	353	b71r
m50o	49.17	69.55	14.68	71.08	12	b88r

lab^*tch^*

$i^* = 1.00$

Brillantheit i^*

$i^* = 0.80$

$i^* = 0.60$

$i^* = 0.40$

$i^* = 0.20$

$i^* = 0.00$

relative Buntheit c^*

relative Buntheit c^*

Ein und Ausgabe: Farbmetrisches Drucker-Reflektiv-System ORS19_96a für relativen CIELAB-Buntton $h^* = lab^*h^* = h_{ab}/360 = 0.828$

Daten für jede Farbe:

lab^*tch^* und lab^*icu^*

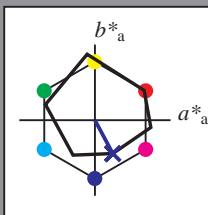
Bunttontexte:

$u^*_d = v00m$ $u^*_e = b23r$

Kontrastreduzierungsfaktor:

$c_R = 1.0$

Dreiecks-Helligkeit t^*



ORS19_96a; adaptierte CIELAB-Daten

u^*_d	$L^*=L^*_a$	a^*_a	b^*_a	$C^*_{ab,a}$	$h^*_{ab,a}$
O _{Ma}	48.75	65.07	39.43	76.08	31
Y _{Ma}	90.92	-10.29	87.24	87.85	97
L _{Ma}	52.69	-65.44	20.75	68.65	162
C _{Ma}	59.61	-28.98	-46.22	54.56	238
V _{Ma}	28.39	23.63	-44.13	50.06	298
M _{Ma}	49.58	73.93	-9.56	74.55	353
N _{Ma}	18.89	0.0	0.0	0.0	0
W _{Ma}	96.9	0.0	0.0	0.0	0
O _{Ma}	39.92	58.74	27.99	65.07	25
Y _{Ma}	81.26	-2.89	71.56	71.62	92
L _{Ma}	52.23	-42.42	13.6	44.55	162
V _{Ma}	30.57	1.41	-46.47	46.49	272

Daten für Maximalfarbe (Ma):

$LAB^*LAB^*_{Ma}$: 28 24 -44

$LAB^*LCH^*_{Ma}$: 28 50 298

$lab^*olv^*_{Ma}$: 0.0 0.0 1.0

$lab^*rgb^*_{Ma}$: 0.46 0.0 1.0

Dreiecks-Helligkeit t^*

%Umfang

$u^*_{rel} = 89$

%Regularität

$g^*_{H,rel} = 72$

$g^*_{C,rel} = 57$

ORS19_96a; adaptierte CIELAB-Daten

u^*_d	$L^*=L^*_a$	a^*_a	b^*_a	$C^*_{ab,a}$	$h^*_{ab,a}$	u^*_e
o00y	48.75	65.07	39.43	76.08	31	r08j
o25y	59.04	46.67	51.1	69.21	48	r33j
o50y	68.32	30.09	61.62	68.58	64	r57j
o75y	78.23	12.39	72.85	73.9	80	r81j
y00l	90.92	-10.29	87.24	87.85	97	j06g
y25l	78.57	-28.11	65.75	71.51	113	j29g
y50l	69.46	-41.25	49.92	64.75	130	j53g
y75l	61.32	-52.99	35.76	63.92	146	j76g
l00c	52.69	-65.44	20.75	68.65	162	g00b
l50c	56.55	-45.12	-16.57	48.07	200	g34b
c00v	59.61	-28.98	-46.22	54.56	238	g69b
c50v	43.33	-1.54	-45.13	45.16	268	g96b
v00m	28.39	23.63	-44.13	50.06	298	b23r
v50m	36.9	43.84	-30.24	53.26	325	b47r
m00o	49.58	73.93	-9.56	74.55	353	b71r
m50o	49.17	69.55	14.68	71.08	12	b88r

lab^*tch^*

$i^* = 1.00$

Brillantheit i^*

$i^* = 0.80$

$i^* = 0.60$

$i^* = 0.40$

$i^* = 0.20$

$i^* = 0.00$

relative Bunttheit c^*

relative Bunttheit c^*

Ein und Ausgabe: Farbmetrisches Drucker-Reflektiv-System ORS19_96a für relativen CIELAB-Buntton $h^* = lab^*h^* = h_{ab}/360 = 0.904$

Daten für jede Farbe:

lab^*tch^* und lab^*icu^*

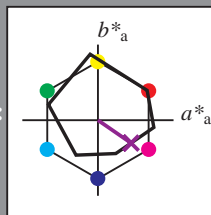
Bunttontexte:

$u^*_d = v50m$ $u^*_e = b47r$

Kontrastreduzierungsfaktor:

$c_R = 1.0$

Dreiecks-Helligkeit t^*



ORS19_96a; adaptierte CIELAB-Daten

	u^*_d	$L^*=L^*_a$	a^*_a	b^*_a	$C^*_{ab,a}$	$h^*_{ab,a}$
O _{Ma}	48.75	65.07	39.43	76.08	31	
Y _{Ma}	90.92	-10.29	87.24	87.85	97	
L _{Ma}	52.69	-65.44	20.75	68.65	162	
C _{Ma}	59.61	-28.98	-46.22	54.56	238	
V _{Ma}	28.39	23.63	-44.13	50.06	298	
M _{Ma}	49.58	73.93	-9.56	74.55	353	
N _{Ma}	18.89	0.0	0.0	0.0	0	
W _{Ma}	96.9	0.0	0.0	0.0	0	
O _{Ma}	39.92	58.74	27.99	65.07	25	
Y _{Ma}	81.26	-2.89	71.56	71.62	92	
L _{Ma}	52.23	-42.42	13.6	44.55	162	
V _{Ma}	30.57	1.41	-46.47	46.49	272	

Daten für Maximalfarbe (Ma):

$LAB^*LAB^*_{Ma}$: 37 44 -30

$LAB^*LCH^*_{Ma}$: 37 53 325

$lab^*olv^*_{Ma}$: 0.5 0.0 1.0

$lab^*rgb^*_{Ma}$: 0.94 0.0 1.0

Dreiecks-Helligkeit t^*

%Umfang

$u^*_{rel} = 89$

%Regularität

$g^*_{H,rel} = 72$

$g^*_{C,rel} = 57$

ORS19_96a; adaptierte CIELAB-Daten

	u^*_d	$L^*=L^*_a$	a^*_a	b^*_a	$C^*_{ab,a}$	$h^*_{ab,a}$	u^*_e
o00y	48.75	65.07	39.43	76.08	31		r08j
o25y	59.04	46.67	51.1	69.21	48		r33j
o50y	68.32	30.09	61.62	68.58	64		r57j
o75y	78.23	12.39	72.85	73.9	80		r81j
y00l	90.92	-10.29	87.24	87.85	97		j06g
y25l	78.57	-28.11	65.75	71.51	113		j29g
y50l	69.46	-41.25	49.92	64.75	130		j53g
y75l	61.32	-52.99	35.76	63.92	146		j76g
l00c	52.69	-65.44	20.75	68.65	162		g00b
l50c	56.55	-45.12	-16.57	48.07	200		g34b
c00v	59.61	-28.98	-46.22	54.56	238		g69b
c50v	43.33	-1.54	-45.13	45.16	268		g96b
v00m	28.39	23.63	-44.13	50.06	298		b23r
v50m	36.9	43.84	-30.24	53.26	325		b47r
m00o	49.58	73.93	-9.56	74.55	353		b71r
m50o	49.17	69.55	14.68	71.08	12		b88r

lab^*tch^*

$i^* = 1.00$

Brillantheit i^*

$i^* = 0.80$

$i^* = 0.60$

$i^* = 0.40$

$i^* = 0.20$

$i^* = 0.00$

relative Bunttheit c^*

relative Bunttheit c^*

Ein und Ausgabe: Farbmimetrisches Drucker-Reflektiv-System ORS19_96a für relativen CIELAB-Buntton $h^* = lab^*h^* = h_{ab}/360 = 0.98$

Daten für jede Farbe:

lab^*tch^* und lab^*icu^*

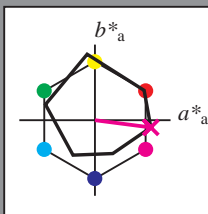
Bunttontexte:

$u^*_d = m00o$ $u^*_e = b71r$

Kontrastreduzierungsfaktor:

$c_R = 1.0$

Dreiecks-Helligkeit i^*



ORS19_96a; adaptierte CIELAB-Daten

u^*_d	$L^*=L^*_a$	a^*_a	b^*_a	$C^*_{ab,a}$	$h^*_{ab,a}$
O _{Ma}	48.75	65.07	39.43	76.08	31
Y _{Ma}	90.92	-10.29	87.24	87.85	97
L _{Ma}	52.69	-65.44	20.75	68.65	162
C _{Ma}	59.61	-28.98	-46.22	54.56	238
V _{Ma}	28.39	23.63	-44.13	50.06	298
M _{Ma}	49.58	73.93	-9.56	74.55	353
N _{Ma}	18.89	0.0	0.0	0.0	0
W _{Ma}	96.9	0.0	0.0	0.0	0
O _{Ma}	39.92	58.74	27.99	65.07	25
Y _{Ma}	81.26	-2.89	71.56	71.62	92
L _{Ma}	52.23	-42.42	13.6	44.55	162
V _{Ma}	30.57	1.41	-46.47	46.49	272

Daten für Maximalfarbe (Ma):

$LAB^*LAB^*_{Ma}$: 50 74 -10

$LAB^*LCH^*_{Ma}$: 50 75 352

$lab^*olv^*_{Ma}$: 1.0 0.0 1.0

$lab^*rgb^*_{Ma}$: 1.0 0.0 0.58

Dreiecks-Helligkeit i^*

%Umfang

$u^*_{rel} = 89$

%Regularität

$g^*_{H,rel} = 72$

$g^*_{C,rel} = 57$

ORS19_96a; adaptierte CIELAB-Daten

u^*_d	$L^*=L^*_a$	a^*_a	b^*_a	$C^*_{ab,a}$	$h^*_{ab,a}$	u^*_e
o00y	48.75	65.07	39.43	76.08	31	r08j
o25y	59.04	46.67	51.1	69.21	48	r33j
o50y	68.32	30.09	61.62	68.58	64	r57j
o75y	78.23	12.39	72.85	73.9	80	r81j
y00l	90.92	-10.29	87.24	87.85	97	j06g
y25l	78.57	-28.11	65.75	71.51	113	j29g
y50l	69.46	-41.25	49.92	64.75	130	j53g
y75l	61.32	-52.99	35.76	63.92	146	j76g
l00c	52.69	-65.44	20.75	68.65	162	g00b
l50c	56.55	-45.12	-16.57	48.07	200	g34b
c00v	59.61	-28.98	-46.22	54.56	238	g69b
c50v	43.33	-1.54	-45.13	45.16	268	g96b
v00m	28.39	23.63	-44.13	50.06	298	b23r
v50m	36.9	43.84	-30.24	53.26	325	b47r
m00o	49.58	73.93	-9.56	74.55	353	b71r
m50o	49.17	69.55	14.68	71.08	12	b88r

lab^*tch^*

$i^* = 1.00$

Brillantheit i^*

$i^* = 0.80$

$i^* = 0.60$

$i^* = 0.40$

$i^* = 0.20$

Ein und Ausgabe: Farbmetrisches Drucker-Reflektiv-System ORS19_96a für relativen CIELAB-Buntton $h^* = lab^*h^* = h_{ab}/360 = 0.033$

Daten für jede Farbe:

lab^*tch^* und lab^*icu^*

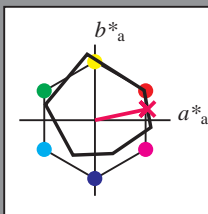
Bunttontexte:

$u^*_d = m50o$ $u^*_e = b88r$

Kontrastreduzierungsfaktor:

$c_R = 1.0$

Dreiecks-Helligkeit i^*



ORS19_96a; adaptierte CIELAB-Daten

u^*_d	$L^*=L^*_a$	a^*_a	b^*_a	$C^*_{ab,a}$	$h^*_{ab,a}$
O _{Ma}	48.75	65.07	39.43	76.08	31
Y _{Ma}	90.92	-10.29	87.24	87.85	97
L _{Ma}	52.69	-65.44	20.75	68.65	162
C _{Ma}	59.61	-28.98	-46.22	54.56	238
V _{Ma}	28.39	23.63	-44.13	50.06	298
M _{Ma}	49.58	73.93	-9.56	74.55	353
N _{Ma}	18.89	0.0	0.0	0.0	0
W _{Ma}	96.9	0.0	0.0	0.0	0
O _{Ma}	39.92	58.74	27.99	65.07	25
Y _{Ma}	81.26	-2.89	71.56	71.62	92
L _{Ma}	52.23	-42.42	13.6	44.55	162
V _{Ma}	30.57	1.41	-46.47	46.49	272

Daten für Maximalfarbe (Ma):

$LAB^*LAB^*_{Ma}$: 49 70 15

$LAB^*LCH^*_{Ma}$: 49 71 11

$lab^*olv^*_{Ma}$: 1.0 0.0 0.5

$lab^*rgb^*_{Ma}$: 1.0 0.0 0.24

Dreiecks-Helligkeit i^*

%Umfang

$u^*_{rel} = 89$

%Regularität

$g^*_{H,rel} = 72$

$g^*_{C,rel} = 57$

ORS19_96a; adaptierte CIELAB-Daten

u^*_d	$L^*=L^*_a$	a^*_a	b^*_a	$C^*_{ab,a}$	$h^*_{ab,a}$	u^*_e
o00y	48.75	65.07	39.43	76.08	31	r08j
o25y	59.04	46.67	51.1	69.21	48	r33j
o50y	68.32	30.09	61.62	68.58	64	r57j
o75y	78.23	12.39	72.85	73.9	80	r81j
y00l	90.92	-10.29	87.24	87.85	97	j06g
y25l	78.57	-28.11	65.75	71.51	113	j29g
y50l	69.46	-41.25	49.92	64.75	130	j53g
y75l	61.32	-52.99	35.76	63.92	146	j76g
l00c	52.69	-65.44	20.75	68.65	162	g00b
l50c	56.55	-45.12	-16.57	48.07	200	g34b
c00v	59.61	-28.98	-46.22	54.56	238	g69b
c50v	43.33	-1.54	-45.13	45.16	268	g96b
v00m	28.39	23.63	-44.13	50.06	298	b23r
v50m	36.9	43.84	-30.24	53.26	325	b47r
m00o	49.58	73.93	-9.56	74.55	353	b71r
m50o	49.17	69.55	14.68	71.08	12	b88r

lab^*tch^*

$i^* = 1.00$

Brillantheit i^*

$i^* = 0.80$

$i^* = 0.60$

$i^* = 0.40$

$i^* = 0.20$

$i^* = 0.00$

Siehe ähnliche Dateien: <http://www.ps.bam.de/Eg42/>; www.ps.bam.de/Eg42/
Technische Information: [http://www.ps.bam.de/Version 2.1, io=1,1, ColSp=1](http://www.ps.bam.de/Version%202.1,%20io=1,1,%20ColSp=1)

	A	B	C	D	E	F	G	H	I	J	K	L	M	N	O	P	Q	R	S	T	U	V	W	X	Y	Z	a	b	c	d	e	f	g	h	i	j	k	lab* <i>tch*</i>																																																																																																																																																																																																																																																																																																																																																																																																																																																																																																																																																																																																																																																																																																																																																																																																																																																																																																																																																																																																																																																																																																																																																																																																																														
01	0.0	0.06	0.13	0.19	0.25	0.31	0.38	0.44	0.5	0.56	0.63	0.69	0.75	0.81	0.88	0.94	1.0	1.06	1.13	1.19	1.25	1.31	1.38	1.44	1.5	1.56	1.63	1.69	1.75	1.81	1.88	1.94	2.0	2.06	2.13	2.19	2.25	2.31	2.38	2.44	2.5	2.56	2.63	2.69	2.75	2.81	2.88	2.94	3.0	3.06	3.13	3.19	3.25	3.31	3.38	3.44	3.5	3.56	3.63	3.69	3.75	3.81	3.88	3.94	4.0	4.06	4.13	4.19	4.25	4.31	4.38	4.44	4.5	4.56	4.63	4.69	4.75	4.81	4.88	4.94	5.0	5.06	5.13	5.19	5.25	5.31	5.38	5.44	5.5	5.56	5.63	5.69	5.75	5.81	5.88	5.94	6.0	6.06	6.13	6.19	6.25	6.31	6.38	6.44	6.5	6.56	6.63	6.69	6.75	6.81	6.88	6.94	7.0	7.06	7.13	7.19	7.25	7.31	7.38	7.44	7.5	7.56	7.63	7.69	7.75	7.81	7.88	7.94	8.0	8.06	8.13	8.19	8.25	8.31	8.38	8.44	8.5	8.56	8.63	8.69	8.75	8.81	8.88	8.94	9.0	9.06	9.13	9.19	9.25	9.31	9.38	9.44	9.5	9.56	9.63	9.69	9.75	9.81	9.88	9.94	10.0	10.06	10.13	10.19	10.25	10.31	10.38	10.44	10.5	10.56	10.63	10.69	10.75	10.81	10.88	10.94	11.0	11.06	11.13	11.19	11.25	11.31	11.38	11.44	11.5	11.56	11.63	11.69	11.75	11.81	11.88	11.94	12.0	12.06	12.13	12.19	12.25	12.31	12.38	12.44	12.5	12.56	12.63	12.69	12.75	12.81	12.88	12.94	13.0	13.06	13.13	13.19	13.25	13.31	13.38	13.44	13.5	13.56	13.63	13.69	13.75	13.81	13.88	13.94	14.0	14.06	14.13	14.19	14.25	14.31	14.38	14.44	14.5	14.56	14.63	14.69	14.75	14.81	14.88	14.94	15.0	15.06	15.13	15.19	15.25	15.31	15.38	15.44	15.5	15.56	15.63	15.69	15.75	15.81	15.88	15.94	16.0	16.06	16.13	16.19	16.25	16.31	16.38	16.44	16.5	16.56	16.63	16.69	16.75	16.81	16.88	16.94	17.0	17.06	17.13	17.19	17.25	17.31	17.38	17.44	17.5	17.56	17.63	17.69	17.75	17.81	17.88	17.94	18.0	18.06	18.13	18.19	18.25	18.31	18.38	18.44	18.5	18.56	18.63	18.69	18.75	18.81	18.88	18.94	19.0	19.06	19.13	19.19	19.25	19.31	19.38	19.44	19.5	19.56	19.63	19.69	19.75	19.81	19.88	19.94	20.0	20.06	20.13	20.19	20.25	20.31	20.38	20.44	20.5	20.56	20.63	20.69	20.75	20.81	20.88	20.94	21.0	21.06	21.13	21.19	21.25	21.31	21.38	21.44	21.5	21.56	21.63	21.69	21.75	21.81	21.88	21.94	22.0	22.06	22.13	22.19	22.25	22.31	22.38	22.44	22.5	22.56	22.63	22.69	22.75	22.81	22.88	22.94	23.0	23.06	23.13	23.19	23.25	23.31	23.38	23.44	23.5	23.56	23.63	23.69	23.75	23.81	23.88	23.94	24.0	24.06	24.13	24.19	24.25	24.31	24.38	24.44	24.5	24.56	24.63	24.69	24.75	24.81	24.88	24.94	25.0	25.06	25.13	25.19	25.25	25.31	25.38	25.44	25.5	25.56	25.63	25.69	25.75	25.81	25.88	25.94	26.0	26.06	26.13	26.19	26.25	26.31	26.38	26.44	26.5	26.56	26.63	26.69	26.75	26.81	26.88	26.94	27.0	27.06	27.13	27.19	27.25	27.31	27.38	27.44	27.5	27.56	27.63	27.69	27.75	27.81	27.88	27.94	28.0	28.06	28.13	28.19	28.25	28.31	28.38	28.44	28.5	28.56	28.63	28.69	28.75	28.81	28.88	28.94	29.0	29.06	29.13	29.19	29.25	29.31	29.38	29.44	29.5	29.56	29.63	29.69	29.75	29.81	29.88	29.94	30.0	30.06	30.13	30.19	30.25	30.31	30.38	30.44	30.5	30.56	30.63	30.69	30.75	30.81	30.88	30.94	31.0	31.06	31.13	31.19	31.25	31.31	31.38	31.44	31.5	31.56	31.63	31.69	31.75	31.81	31.88	31.94	32.0	32.06	32.13	32.19	32.25	32.31	32.38	32.44	32.5	32.56	32.63	32.69	32.75	32.81	32.88	32.94	33.0	33.06	33.13	33.19	33.25	33.31	33.38	33.44	33.5	33.56	33.63	33.69	33.75	33.81	33.88	33.94	34.0	34.06	34.13	34.19	34.25	34.31	34.38	34.44	34.5	34.56	34.63	34.69	34.75	34.81	34.88	34.94	35.0	35.06	35.13	35.19	35.25	35.31	35.38	35.44	35.5	35.56	35.63	35.69	35.75	35.81	35.88	35.94	36.0	36.06	36.13	36.19	36.25	36.31	36.38	36.44	36.5	36.56	36.63	36.69	36.75	36.81	36.88	36.94	37.0	37.06	37.13	37.19	37.25	37.31	37.38	37.44	37.5	37.56	37.63	37.69	37.75	37.81	37.88	37.94	38.0	38.06	38.13	38.19	38.25	38.31	38.38	38.44	38.5	38.56	38.63	38.69	38.75	38.81	38.88	38.94	39.0	39.06	39.13	39.19	39.25	39.31	39.38	39.44	39.5	39.56	39.63	39.69	39.75	39.81	39.88	39.94	40.0	40.06	40.13	40.19	40.25	40.31	40.38	40.44	40.5	40.56	40.63	40.69	40.75	40.81	40.88	40.94	41.0	41.06	41.13	41.19	41.25	41.31	41.38	41.44	41.5	41.56	41.63	41.69	41.75	41.81	41.88	41.94	42.0	42.06	42.13	42.19	42.25	42.31	42.38	42.44	42.5	42.56	42.63	42.69	42.75	42.81	42.88	42.94	43.0	43.06	43.13	43.19	43.25	43.31	43.38	43.44	43.5	43.56	43.63	43.69	43.75	43.81	43.88	43.94	44.0	44.06	44.13	44.19	44.25	44.31	44.38	44.44	44.5	44.56	44.63	44.69	44.75	44.81	44.88	44.94	45.0	45.06	45.13	45.19	45.25	45.31	45.38	45.44	45.5	45.56	45.63	45.69	45.75	45.81	45.88	45.94	46.0	46.06	46.13	46.19	46.25	46.31	46.38	46.44	46.5	46.56	46.63	46.69	46.75	46.81	46.88	46.94	47.0	47.06	47.13	47.19	47.25	47.31	47.38	47.44	47.5	47.56	47.63	47.69	47.75	47.81	47.88	47.94	48.0	48.06	48.13	48.19	48.25	48.31	48.38	48.44	48.5	48.56	48.63	48.69	48.75	48.81	48.88	48.94	49.0	49.06	49.13	49.19	49.25	49.31	49.38	49.44	49.5	49.56	49.63	49.69	49.75	49.81	49.88	49.94	50.0	50.06	50.13	50.19	50.25	50.31	50.38	50.44	50.5	50.56	50.63	50.69	50.75	50.81	50.88	50.94	51.0	51.06	51.13	51.19	51.25	51.31	51.38	51.44	51.5	51.56	51.63	51.69	51.75	51.81	51.88	51.94	52.0	52.06	52.13	52.19	52.25	52.31	52.38	52.44	52.5	52.56	52.63	52.69	52.75	52.81	52.88	52.94	53.0	53.06	53.13	53.19	53.25	53.31	53.38	53.44	53.5	53.56	53.63	53.69	53.75	53.81	53.88	53.94	54.0	54.06	54.13	54.19	54.25	54.31	54.38	54.44	54.5	54.56	54.63	54.69	54.75	54.81	54.88	54.94	55.0	55.06	55.13	55.19	55.25	55.31	55.38	55.44	55.5	55.56	55.63	55.69	55.75	55.81	55.88	55.94	56.0	56.06	56.13	56.19	56.25	56.31	56.38	56.44	56.5	56.56	56.63	56.69	56.75	56.81	56.88	56.94	57.0	57.06	57.13	57.19	57.25	57.31	57.38	57.44	57.5	57.56	57.63	57.69	57.75	57.81	57.88	57.94	58.0	58.06	58.13	58.19	58.25	58.31	58.38	58.44	58.5	58.56	58.63	58.69	58.75	58.81	58.88	58.94	59.0	59.06	59.13	59.19	59.25	59.31	59.38	59.44	59.5	59.56	59.63	59.69	59.75	59.81	59.88	59.94	60.0	60.06	60.13	60.19	60.25	60.31	60.38	60.44	60.5	60.56	60.63	60.69	60.75	60.81	60.88	60.94	61.0	61.06	61.13	61.19	61.25	61.31	61.38	61.44	61.5	61.56	61.63	61.69	61.75	61.81	61.88	61.94	62.0	62.06	62.13	62.19	62.25	62.31	62.38	62.44	62.5	62.56	62.63	62.69	62.75	62.81	62.88	62.94	63.0	63.06	63.13	63.19	63.25	63.31	63.38	63.44	63.5	63.56	63.63	63.69	63.75	63.81	63.88	63.94	64.0	64.06	64.13	64.19	64.25	64.31	64.38	64.44	64.5	64.56	64.63	64.69	64.75	64.81	64.88	64.94	65.0	65.06	65.13	65.19	65.25	65.31	65.38	65.44	65.5	65.56	65.63	65.69	65.75	65.81	65.88	65.94	66.0	66.06	66.13	66.19	66.25	66.31	66.38	66.44	66.5	66.56	66.63	66.69	66.75	66.81	66.88	66.94	67.0	67.06	67.13	67.19	67.25	67.31	67.38	67.44	67.5	67.56	67.63	67.69	67.75	67.81	67.88	67.94	68.0	68.06	68.13	68.19	68.25	68.31	68.38	68.44	68.5	68.56	68.63	68.69	68.75	68.81	68.88	68.94	69.0	69.06	69.13	69.19	69.25	69.31	69.38	69.44	69.5	69.56	69.63	69.69	69.75	69.81	69.88	69.94	70.0	70.06	70.13	70.19	70.25	70.31	70.38	70.44	70.5	70.56	70.63	70.69	70.75	70.81	70.88	70.94	71.0	71.06	71.13	71.19	71.25	71.31	71.38	71.44	71.5	71.56	71.63	71.69	71.75	71.81	71.88	71.94	72.0	72.06	72.13	72.19	72.25	72.31	72.38	72.44	72.5	72.56	72.63	72.69	72.75	72.81	72.88	72.94	73.0	73.06	73.13	73.19	73.25	73.31	73.38	73.44	73.5	73.56	73.63	73.69	73.75	73.81	73.88	73.94	74.0	74.06	74.13	74.19	74.25	74.31	74.38	74.44	74.5	74.56	74.63	74.69	74.75	74.81	74.88	74.94	75.0	75.06	75.13	75.19	75.25	75.31	75.38	75.44	75.5	75.56	75.63	75.69	75.75	75.81	75.88	75.94	76.0	76.06	76.13	7

Ein und Ausgabe:
Farbmetrisches Drucker-Reflektiv-System ORS19_96a
Daten für jede Farbe:

u^*_d und Nummer $Nr.$ = 00 .. 15

Geräte-Bunttontext:

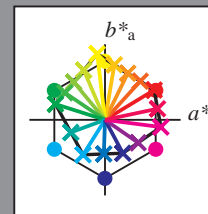
u^*_d = 16 Bunttoene $o00y$, $o25y$, ..., $m50o$

Kontrastreduzierungsfaktor:

$c_R = 1.0$

ORS19_96a; adaptierte CIELAB-Daten

u^*_d	$L^*=L^*_a$	a^*_a	b^*_a	$C^*_{ab,a}$	$h^*_{ab,a}$	u^*_e
$o00y$	48.75	65.07	39.43	76.08	31	$r08j$
$o25y$	59.04	46.67	51.1	69.21	48	$r33j$
$o50y$	68.32	30.09	61.62	68.58	64	$r57j$
$o75y$	78.23	12.39	72.85	73.9	80	$r81j$
$y00l$	90.92	-10.29	87.24	87.85	97	$j06g$
$y25l$	78.57	-28.11	65.75	71.51	113	$j29g$
$y50l$	69.46	-41.25	49.92	64.75	130	$j53g$
$y75l$	61.32	-52.99	35.76	63.92	146	$j76g$
$l00c$	52.69	-65.44	20.75	68.65	162	$g00b$
$l50c$	56.55	-45.12	-16.57	48.07	200	$g34b$
$c00v$	59.61	-28.98	-46.22	54.56	238	$g69b$
$c50v$	43.33	-1.54	-45.13	45.16	268	$g96b$
$v00m$	28.39	23.63	-44.13	50.06	298	$b23r$
$v50m$	36.9	43.84	-30.24	53.26	325	$b47r$
$m00o$	49.58	73.93	-9.56	74.55	353	$b71r$
$m50o$	49.17	69.55	14.68	71.08	12	$b88r$



%Umfang

$u^*_{rel} = 89$

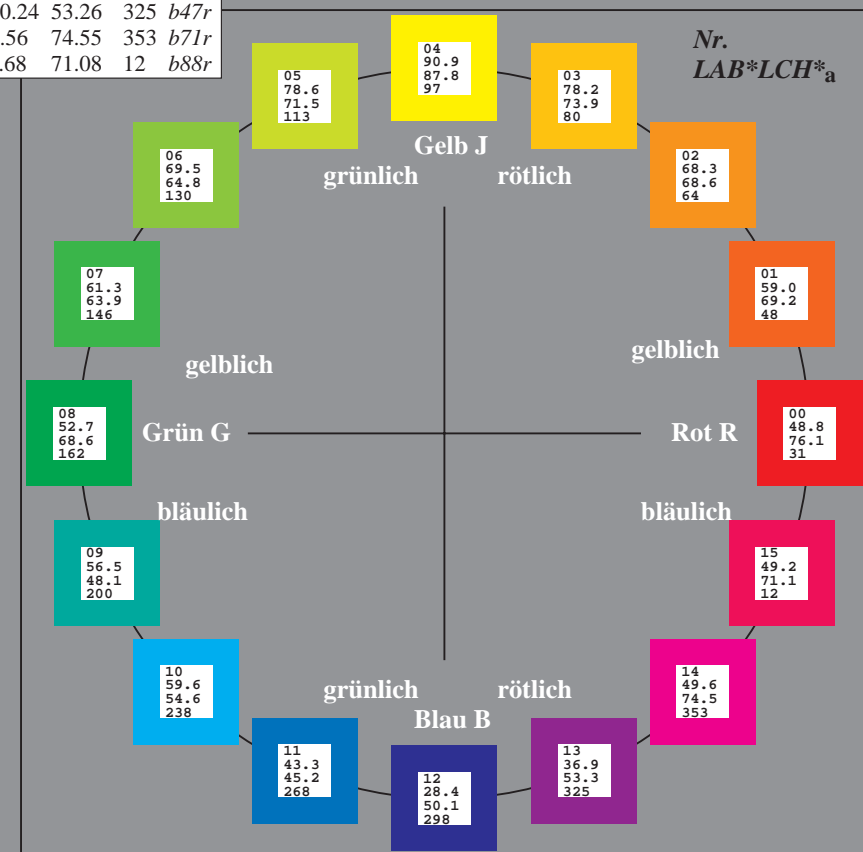
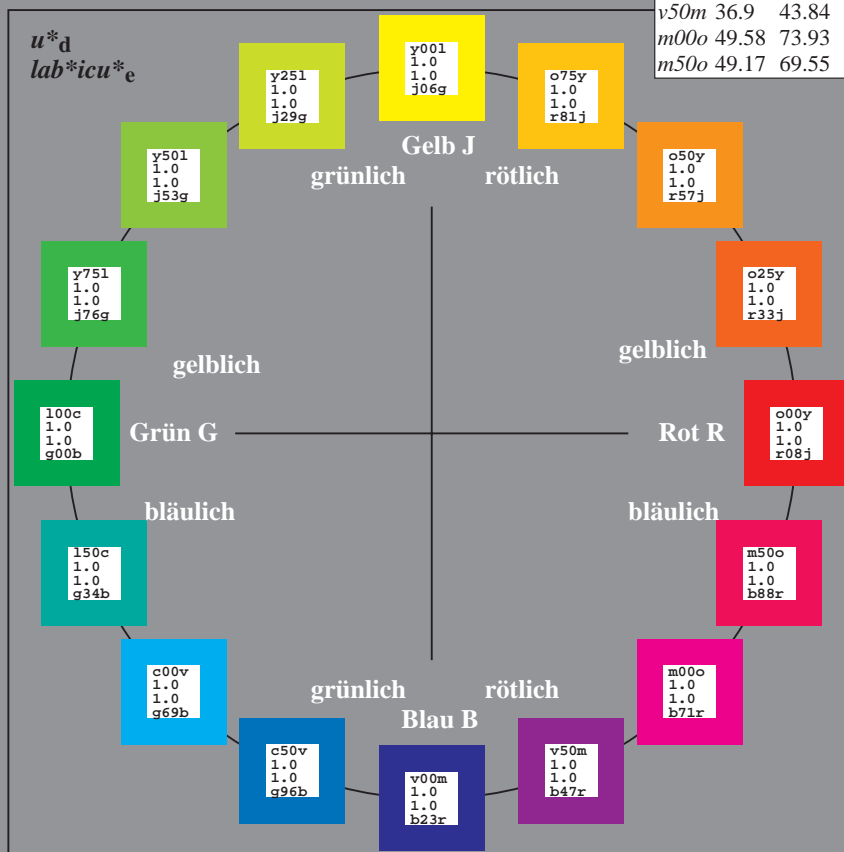
%Regularität

$g^*_{H,rel} = 72$

$g^*_{C,rel} = 57$

ORS19_96a; adaptierte CIELAB-Daten

Name	$L^*=L^*_a$	a^*_a	b^*_a	$C^*_{ab,a}$	$h^*_{ab,a}$
O_{Ma}	48.75	65.07	39.43	76.08	31
Y_{Ma}	90.92	-10.29	87.24	87.85	97
L_{Ma}	52.69	-65.44	20.75	68.65	162
C_{Ma}	59.61	-28.98	-46.22	54.56	238
V_{Ma}	28.39	23.63	-44.13	50.06	298
M_{Ma}	49.58	73.93	-9.56	74.55	353
N_{Ma}	18.89	0.0	0.0	0.0	0
W_{Ma}	96.9	0.0	0.0	0.0	0
O_{CIE}	39.92	58.74	27.99	65.07	25
Y_{CIE}	81.26	-2.89	71.56	71.62	92
L_{CIE}	52.23	-42.42	13.6	44.55	162
V_{CIE}	30.57	1.41	-46.47	46.49	272



Ein und Ausgabe: Farbmimetrisches Drucker-Reflektiv-System ORS19_96a für relativen CIELAB-Buntton $h^* = lab^*h^* = h_{ab}/360 = 0.087$

Daten für jede Farbe:

lab^*ch^* und lab^*icu^*

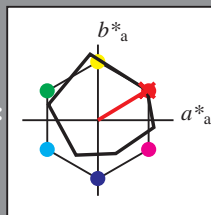
Bunttontexte:

$u^*_d = o00y$ $u^*_e = r08j$

Kontrastreduzierungsfaktor:

$c_R = 1.0$

Dreiecks-Helligkeit i^*



ORS19_96a; adaptierte CIELAB-Daten

u^*_d	$L^*=L^*_a$	a^*_a	b^*_a	$C^*_{ab,a}$	$h^*_{ab,a}$
O _{Ma}	48.75	65.07	39.43	76.08	31
Y _{Ma}	90.92	-10.29	87.24	87.85	97
L _{Ma}	52.69	-65.44	20.75	68.65	162
C _{Ma}	59.61	-28.98	-46.22	54.56	238
V _{Ma}	28.39	23.63	-44.13	50.06	298
M _{Ma}	49.58	73.93	-9.56	74.55	353
N _{Ma}	18.89	0.0	0.0	0.0	0
W _{Ma}	96.9	0.0	0.0	0.0	0
O _{Ma}	39.92	58.74	27.99	65.07	25
Y _{Ma}	81.26	-2.89	71.56	71.62	92
L _{Ma}	52.23	-42.42	13.6	44.55	162
V _{Ma}	30.57	1.41	-46.47	46.49	272

Daten für Maximalfarbe (Ma):

$LAB^*LAB^*_{Ma}$: 49 65 39

$LAB^*LCH^*_{Ma}$: 49 76 31

$lab^*olv^*_{Ma}$: 1.0 0.0 0.0

$lab^*rgb^*_{Ma}$: 1.0 0.09 0.0

Dreiecks-Helligkeit i^*

%Umfang

$u^*_{rel} = 89$

%Regularität

$g^*_{H,rel} = 72$

$g^*_{C,rel} = 57$

ORS19_96a; adaptierte CIELAB-Daten

u^*_d	$L^*=L^*_a$	a^*_a	b^*_a	$C^*_{ab,a}$	$h^*_{ab,a}$	u^*_e
$o00y$	48.75	65.07	39.43	76.08	31	$r08j$
$o25y$	59.04	46.67	51.1	69.21	48	$r33j$
$o50y$	68.32	30.09	61.62	68.58	64	$r57j$
$o75y$	78.23	12.39	72.85	73.9	80	$r81j$
$y00l$	90.92	-10.29	87.24	87.85	97	$j06g$
$y25l$	78.57	-28.11	65.75	71.51	113	$j29g$
$y50l$	69.46	-41.25	49.92	64.75	130	$j53g$
$y75l$	61.32	-52.99	35.76	63.92	146	$j76g$
$l00c$	52.69	-65.44	20.75	68.65	162	$g00b$
$l50c$	56.55	-45.12	-16.57	48.07	200	$g34b$
$c00v$	59.61	-28.98	-46.22	54.56	238	$g69b$
$c50v$	43.33	-1.54	-45.13	45.16	268	$g96b$
$v00m$	28.39	23.63	-44.13	50.06	298	$b23r$
$v50m$	36.9	43.84	-30.24	53.26	325	$b47r$
$m00o$	49.58	73.93	-9.56	74.55	353	$b71r$
$m50o$	49.17	69.55	14.68	71.08	12	$b88r$

lab^*icu^*

$i^* = 1.00$

Brillantheit i^*

$i^* = 0.80$

$i^* = 0.60$

$i^* = 0.40$

$i^* = 0.20$

$i^* = 0.00$

relative Buntheit c^*

relative Buntheit c^*

Ein und Ausgabe: Farbmimetrisches Drucker-Reflektiv-System ORS19_96a für relativen CIELAB-Buntton $h^* = \text{lab}^*h^* = h_{ab}/360 = 0.132$

Daten für jede Farbe:

lab^*tch^* und lab^*icu^*

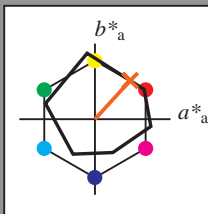
Bunttontexte:

$u^*_d = o25y$ $u^*_e = r33j$

Kontrastreduzierungsfaktor:

$c_R = 1.0$

Dreiecks-Helligkeit i^*



ORS19_96a; adaptierte CIELAB-Daten

u^*_d	$L^*=L^*_a$	a^*_a	b^*_a	$C^*_{ab,a}$	$h^*_{ab,a}$
O _{Ma}	48.75	65.07	39.43	76.08	31
Y _{Ma}	90.92	-10.29	87.24	87.85	97
L _{Ma}	52.69	-65.44	20.75	68.65	162
C _{Ma}	59.61	-28.98	-46.22	54.56	238
V _{Ma}	28.39	23.63	-44.13	50.06	298
M _{Ma}	49.58	73.93	-9.56	74.55	353
N _{Ma}	18.89	0.0	0.0	0.0	0
W _{Ma}	96.9	0.0	0.0	0.0	0
O _{Ma}	39.92	58.74	27.99	65.07	25
Y _{Ma}	81.26	-2.89	71.56	71.62	92
L _{Ma}	52.23	-42.42	13.6	44.55	162
V _{Ma}	30.57	1.41	-46.47	46.49	272

Daten für Maximalfarbe (Ma):

$\text{LAB}^*\text{LAB}^*_{Ma}$: 59 47 51

$\text{LAB}^*\text{LCH}^*_{Ma}$: 59 69 47

$\text{lab}^*\text{olv}^*_{Ma}$: 1.0 0.25 0.0

$\text{lab}^*\text{rgb}^*_{Ma}$: 1.0 0.33 0.0

Dreiecks-Helligkeit i^*

%Umfang

$u^*_{rel} = 89$

%Regularität

$g^*_{H,rel} = 72$

$g^*_{C,rel} = 57$

ORS19_96a; adaptierte CIELAB-Daten

u^*_d	$L^*=L^*_a$	a^*_a	b^*_a	$C^*_{ab,a}$	$h^*_{ab,a}$	u^*_e
o00y	48.75	65.07	39.43	76.08	31	r08j
o25y	59.04	46.67	51.1	69.21	48	r33j
o50y	68.32	30.09	61.62	68.58	64	r57j
o75y	78.23	12.39	72.85	73.9	80	r81j
y00l	90.92	-10.29	87.24	87.85	97	j06g
y25l	78.57	-28.11	65.75	71.51	113	j29g
y50l	69.46	-41.25	49.92	64.75	130	j53g
y75l	61.32	-52.99	35.76	63.92	146	j76g
l00c	52.69	-65.44	20.75	68.65	162	g00b
l50c	56.55	-45.12	-16.57	48.07	200	g34b
c00v	59.61	-28.98	-46.22	54.56	238	g69b
c50v	43.33	-1.54	-45.13	45.16	268	g96b
v00m	28.39	23.63	-44.13	50.06	298	b23r
v50m	36.9	43.84	-30.24	53.26	325	b47r
m00o	49.58	73.93	-9.56	74.55	353	b71r
m50o	49.17	69.55	14.68	71.08	12	b88r

$\text{lab}^*\text{icu}^*_e$

$i^* = 1.00$

Brillanzheit i^*

$i^* = 0.80$

$i^* = 0.60$

$i^* = 0.40$

$i^* = 0.20$

$i^* = 0.00$

Ein und Ausgabe: Farbmimetrisches Drucker-Reflektiv-System ORS19_96a für relativen CIELAB-Buntton $h^* = lab^*h^* = h_{ab}/360 = 0.178$

Daten für jede Farbe:

lab^*ch^* und lab^*icu^*

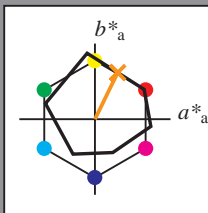
Bunttontexte:

$u^*_d = o50y$ $u^*_e = r57j$

Kontrastreduzierungsfaktor:

$c_R = 1.0$

Dreiecks-Helligkeit i^*



ORS19_96a; adaptierte CIELAB-Daten

u^*_d	$L^*=L^*_a$	a^*_a	b^*_a	$C^*_{ab,a}$	$h^*_{ab,a}$
O _{Ma}	48.75	65.07	39.43	76.08	31
Y _{Ma}	90.92	-10.29	87.24	87.85	97
L _{Ma}	52.69	-65.44	20.75	68.65	162
C _{Ma}	59.61	-28.98	-46.22	54.56	238
V _{Ma}	28.39	23.63	-44.13	50.06	298
M _{Ma}	49.58	73.93	-9.56	74.55	353
N _{Ma}	18.89	0.0	0.0	0.0	0
W _{Ma}	96.9	0.0	0.0	0.0	0
O _{Ma}	39.92	58.74	27.99	65.07	25
Y _{Ma}	81.26	-2.89	71.56	71.62	92
L _{Ma}	52.23	-42.42	13.6	44.55	162
V _{Ma}	30.57	1.41	-46.47	46.49	272

Daten für Maximalfarbe (Ma):

$LAB^*LAB^*_{Ma}$: 68 30 62

$LAB^*LCH^*_{Ma}$: 68 69 63

$lab^*olv^*_{Ma}$: 1.0 0.5 0.0

$lab^*rgb^*_{Ma}$: 1.0 0.58 0.0

Dreiecks-Helligkeit i^*

%Umfang

$u^*_{rel} = 89$

%Regularität

$g^*_{H,rel} = 72$

$g^*_{C,rel} = 57$

ORS19_96a; adaptierte CIELAB-Daten

u^*_d	$L^*=L^*_a$	a^*_a	b^*_a	$C^*_{ab,a}$	$h^*_{ab,a}$	u^*_e
o00y	48.75	65.07	39.43	76.08	31	r08j
o25y	59.04	46.67	51.1	69.21	48	r33j
o50y	68.32	30.09	61.62	68.58	64	r57j
o75y	78.23	12.39	72.85	73.9	80	r81j
y00l	90.92	-10.29	87.24	87.85	97	j06g
y25l	78.57	-28.11	65.75	71.51	113	j29g
y50l	69.46	-41.25	49.92	64.75	130	j53g
y75l	61.32	-52.99	35.76	63.92	146	j76g
l00c	52.69	-65.44	20.75	68.65	162	g00b
l50c	56.55	-45.12	-16.57	48.07	200	g34b
c00v	59.61	-28.98	-46.22	54.56	238	g69b
c50v	43.33	-1.54	-45.13	45.16	268	g96b
v00m	28.39	23.63	-44.13	50.06	298	b23r
v50m	36.9	43.84	-30.24	53.26	325	b47r
m00o	49.58	73.93	-9.56	74.55	353	b71r
m50o	49.17	69.55	14.68	71.08	12	b88r

lab^*icu^*

$i^* = 1.00$

Brillantheit i^*

$i^* = 0.80$

$i^* = 0.60$

$i^* = 0.40$

$i^* = 0.20$

$i^* = 0.00$

relative Buntheit c^*

relative Buntheit c^*

Ein und Ausgabe: Farbmimetrisches Drucker-Reflektiv-System ORS19_96a für relativen CIELAB-Buntton $h^* = \text{lab}^*h^* = h_{ab}/360 = 0.223$

Daten für jede Farbe:

lab^*ch^* und lab^*icu^*

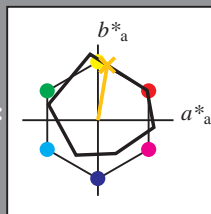
Bunttontexte:

$u^*_d = o75y$ $u^*_e = r81j$

Kontrastreduzierungsfaktor:

$c_R = 1.0$

Dreiecks-Helligkeit i^*



ORS19_96a; adaptierte CIELAB-Daten

u^*_d	$L^*=L^*_a$	a^*_a	b^*_a	$C^*_{ab,a}$	$h^*_{ab,a}$
O _{Ma}	48.75	65.07	39.43	76.08	31
Y _{Ma}	90.92	-10.29	87.24	87.85	97
L _{Ma}	52.69	-65.44	20.75	68.65	162
C _{Ma}	59.61	-28.98	-46.22	54.56	238
V _{Ma}	28.39	23.63	-44.13	50.06	298
M _{Ma}	49.58	73.93	-9.56	74.55	353
N _{Ma}	18.89	0.0	0.0	0.0	0
W _{Ma}	96.9	0.0	0.0	0.0	0
O _{Ma}	39.92	58.74	27.99	65.07	25
Y _{Ma}	81.26	-2.89	71.56	71.62	92
L _{Ma}	52.23	-42.42	13.6	44.55	162
V _{Ma}	30.57	1.41	-46.47	46.49	272

Daten für Maximalfarbe (Ma):

$\text{LAB}^*\text{LAB}^*_{\text{Ma}}$: 78 12 73

$\text{LAB}^*\text{LCH}^*_{\text{Ma}}$: 78 74 80

$\text{lab}^*\text{olv}^*_{\text{Ma}}$: 1.0 0.75 0.0

$\text{lab}^*\text{rgb}^*_{\text{Ma}}$: 1.0 0.82 0.0

Dreiecks-Helligkeit i^*

%Umfang

$u^*_{\text{rel}} = 89$

%Regularität

$g^*_{H,\text{rel}} = 72$

$g^*_{C,\text{rel}} = 57$

ORS19_96a; adaptierte CIELAB-Daten

u^*_d	$L^*=L^*_a$	a^*_a	b^*_a	$C^*_{ab,a}$	$h^*_{ab,a}$	u^*_e
o00y	48.75	65.07	39.43	76.08	31	r08j
o25y	59.04	46.67	51.1	69.21	48	r33j
o50y	68.32	30.09	61.62	68.58	64	r57j
o75y	78.23	12.39	72.85	73.9	80	r81j
y00l	90.92	-10.29	87.24	87.85	97	j06g
y25l	78.57	-28.11	65.75	71.51	113	j29g
y50l	69.46	-41.25	49.92	64.75	130	j53g
y75l	61.32	-52.99	35.76	63.92	146	j76g
l00c	52.69	-65.44	20.75	68.65	162	g00b
l50c	56.55	-45.12	-16.57	48.07	200	g34b
c00v	59.61	-28.98	-46.22	54.56	238	g69b
c50v	43.33	-1.54	-45.13	45.16	268	g96b
v00m	28.39	23.63	-44.13	50.06	298	b23r
v50m	36.9	43.84	-30.24	53.26	325	b47r
m00o	49.58	73.93	-9.56	74.55	353	b71r
m50o	49.17	69.55	14.68	71.08	12	b88r

$\text{lab}^*\text{icu}^*_e$

$i^* = 1.00$

Brillantheit i^*

$i^* = 0.80$

$i^* = 0.60$

$i^* = 0.40$

$i^* = 0.20$

$i^* = 0.00$

www.ps.bam.de/Eg42/10L/L42G00NA.PS/.TXT; ORS19_96a; Transfer und Ausgabe
N: Keine Ausgabe-Linearisierung (OL) in Datei (F), Startup (S), Gerät (D)

Daten für jede Farbe:

*lab*tch** und *lab*icu**

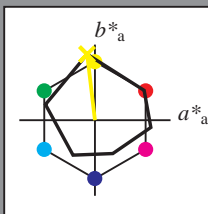
Bunttexte:

$$u^*_d = y00l \quad u^*_e = j06g$$

Kontrastreduzierungsfaktor:

 $c_p = 1.0$

K Dreiecks-Helligkeit t^*



ORS19_96a; adaptierte CIELAB-Daten
 $u^*_d \quad L^*=L^*_a \quad a^*_a \quad b^*_a \quad C^*_{ab,a} \quad h^*_{ab,a}$

O _{Ma}	48.75	65.07	39.43	76.08	31
Y _{Ma}	90.92	-10.29	87.24	87.85	97
L _{Ma}	52.69	-65.44	20.75	68.65	162
C _{Ma}	59.61	-28.98	-46.22	54.56	238
V _{Ma}	28.39	23.63	-44.13	50.06	298
M _{Ma}	49.58	73.93	-9.56	74.55	353
N _{Ma}	18.89	0.0	0.0	0.0	0
W _{Ma}	96.9	0.0	0.0	0.0	0
O _{Ma}	39.92	58.74	27.99	65.07	25
Y _{Ma}	81.26	-2.89	71.56	71.62	92
L _{Ma}	52.23	-42.42	13.6	44.55	162
V _{Ma}	30.57	1.41	-46.47	46.49	272

Daten für Maximalfarbe (Ma):

LAB*LAB*_{Ma}: 91 -10 87

*LAB*LCH**M₂: 91 88 96

*lab*aly**_{Ma}: 1.0 1.0 0.0

lab*olv*_Ma: 1.0 1.0 0.0

*lab*rgb*_{M_a}: 0.94 1.0 0.0

Dreiecks-Helligkeit t^*

%Umfang

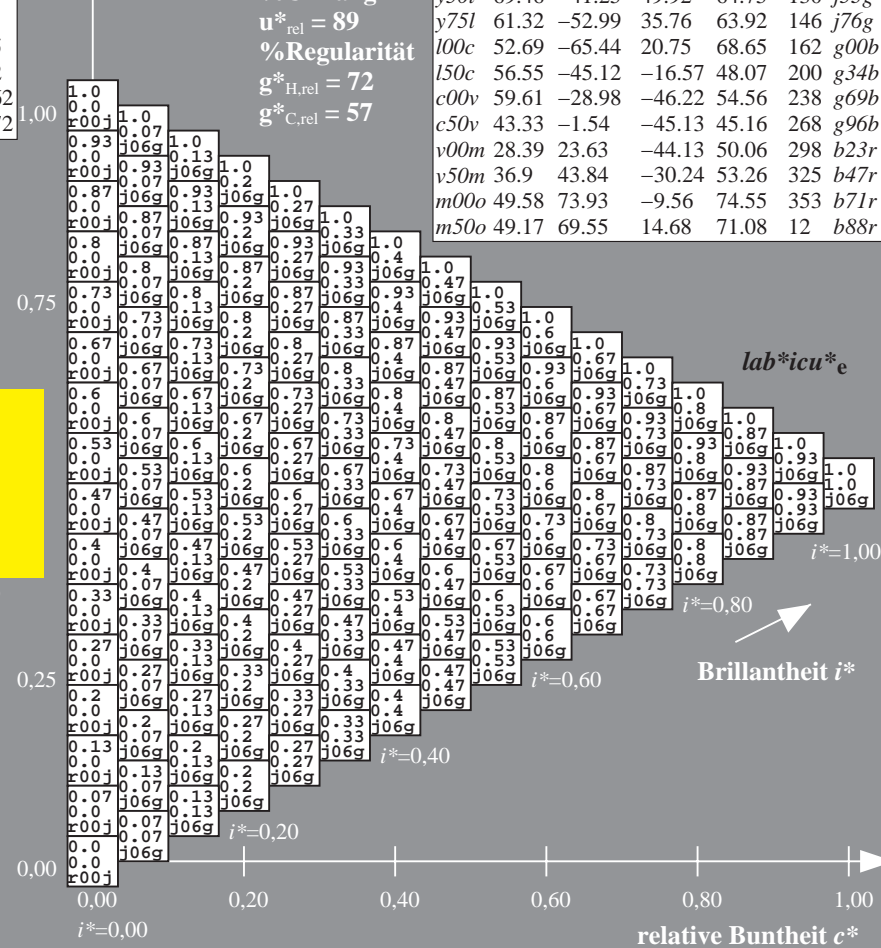
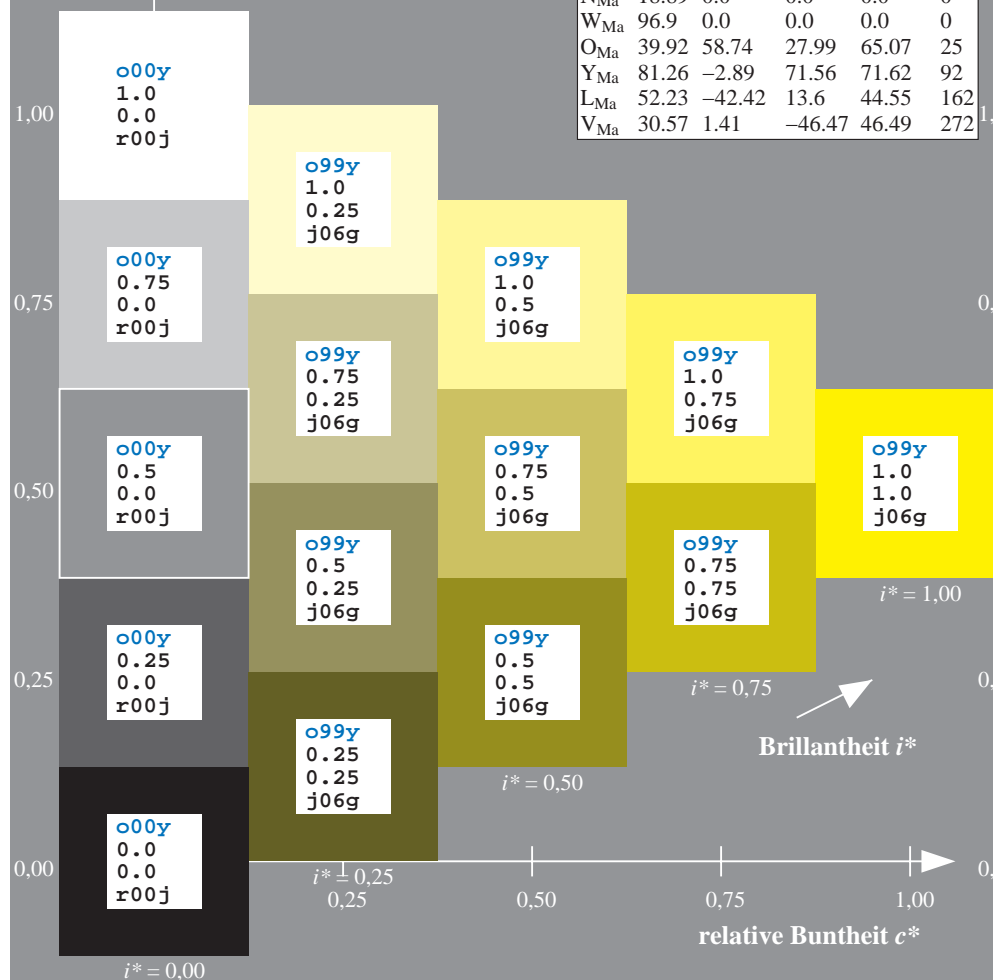
$$\mathbf{u}_{\text{rel}}^* = 89$$

%Regularität

$$g_{\text{H,rel}}^* = 72$$
$$g^*_{C,rel} = 57$$

ORS19_96a; adaptierte CIELAB-Daten
 $u^*_d \quad L^*=L^*_a \quad a^*_a \quad b^*_a \quad C^*_{ab,a} \quad h^*_{ab}$

<i>o00y</i>	48.75	65.07	39.43	76.08	31	<i>r08j</i>
<i>o25y</i>	59.04	46.67	51.1	69.21	48	<i>r33j</i>
<i>o50y</i>	68.32	30.09	61.62	68.58	64	<i>r57j</i>
<i>o75y</i>	78.23	12.39	72.85	73.9	80	<i>r81j</i>
<i>y00l</i>	90.92	-10.29	87.24	87.85	97	<i>j06g</i>
<i>y25l</i>	78.57	-28.11	65.75	71.51	113	<i>j29g</i>
<i>y50l</i>	69.46	-41.25	49.92	64.75	130	<i>j53g</i>
<i>y75l</i>	61.32	-52.99	35.76	63.92	146	<i>j76g</i>
<i>l00c</i>	52.69	-65.44	20.75	68.65	162	<i>g00b</i>
<i>l50c</i>	56.55	-45.12	-16.57	48.07	200	<i>g34b</i>
<i>c00v</i>	59.61	-28.98	-46.22	54.56	238	<i>g69b</i>
<i>c50v</i>	43.33	-1.54	-45.13	45.16	268	<i>g96b</i>
<i>v00m</i>	28.39	23.63	-44.13	50.06	298	<i>b23r</i>
<i>v50m</i>	36.9	43.84	-30.24	53.26	325	<i>b47r</i>
<i>m00o</i>	49.58	73.93	-9.56	74.55	353	<i>b71r</i>
<i>m50o</i>	49.17	69.55	14.68	71.08	12	<i>b88r</i>



Ein und Ausgabe: Farbmimetrisches Drucker-Reflektiv-System ORS19_96a für relativen CIELAB-Buntton $h^* = \text{lab}^*h^* = h_{ab}/360 = 0.314$

Daten für jede Farbe:

lab^*ch^* und lab^*icu^*

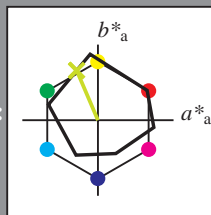
Bunttontexte:

$u^*_d = y25l$ $u^*_e = j29g$

Kontrastreduzierungsfaktor:

$c_R = 1.0$

Dreiecks-Helligkeit i^*



ORS19_96a; adaptierte CIELAB-Daten

u^*_d	$L^*=L^*_a$	a^*_a	b^*_a	$C^*_{ab,a}$	$h^*_{ab,a}$
O _{Ma}	48.75	65.07	39.43	76.08	31
Y _{Ma}	90.92	-10.29	87.24	87.85	97
L _{Ma}	52.69	-65.44	20.75	68.65	162
C _{Ma}	59.61	-28.98	-46.22	54.56	238
V _{Ma}	28.39	23.63	-44.13	50.06	298
M _{Ma}	49.58	73.93	-9.56	74.55	353
N _{Ma}	18.89	0.0	0.0	0.0	0
W _{Ma}	96.9	0.0	0.0	0.0	0
O _{Ma}	39.92	58.74	27.99	65.07	25
Y _{Ma}	81.26	-2.89	71.56	71.62	92
L _{Ma}	52.23	-42.42	13.6	44.55	162
V _{Ma}	30.57	1.41	-46.47	46.49	272

Daten für Maximalfarbe (Ma):

$\text{LAB}^*\text{LAB}^*_{\text{Ma}}$: 79 -28 66

$\text{LAB}^*\text{LCH}^*_{\text{Ma}}$: 79 72 113

$\text{lab}^*\text{olv}^*_{\text{Ma}}$: 0.75 1.0 0.0

$\text{lab}^*\text{rgb}^*_{\text{Ma}}$: 0.7 1.0 0.0

Dreiecks-Helligkeit i^*

%Umfang

$u^*_{\text{rel}} = 89$

%Regularität

$g^*_{H,\text{rel}} = 72$

$g^*_{C,\text{rel}} = 57$

ORS19_96a; adaptierte CIELAB-Daten

u^*_d	$L^*=L^*_a$	a^*_a	b^*_a	$C^*_{ab,a}$	$h^*_{ab,a}$	u^*_e
o00y	48.75	65.07	39.43	76.08	31	r08j
o25y	59.04	46.67	51.1	69.21	48	r33j
o50y	68.32	30.09	61.62	68.58	64	r57j
o75y	78.23	12.39	72.85	73.9	80	r81j
y00l	90.92	-10.29	87.24	87.85	97	j06g
y25l	78.57	-28.11	65.75	71.51	113	j29g
y50l	69.46	-41.25	49.92	64.75	130	j53g
y75l	61.32	-52.99	35.76	63.92	146	j76g
l00c	52.69	-65.44	20.75	68.65	162	g00b
l50c	56.55	-45.12	-16.57	48.07	200	g34b
c00v	59.61	-28.98	-46.22	54.56	238	g69b
c50v	43.33	-1.54	-45.13	45.16	268	g96b
v00m	28.39	23.63	-44.13	50.06	298	b23r
v50m	36.9	43.84	-30.24	53.26	325	b47r
m00o	49.58	73.93	-9.56	74.55	353	b71r
m50o	49.17	69.55	14.68	71.08	12	b88r

$\text{lab}^*\text{icu}^*_e$

$i^* = 1.00$

Brillantheit i^*

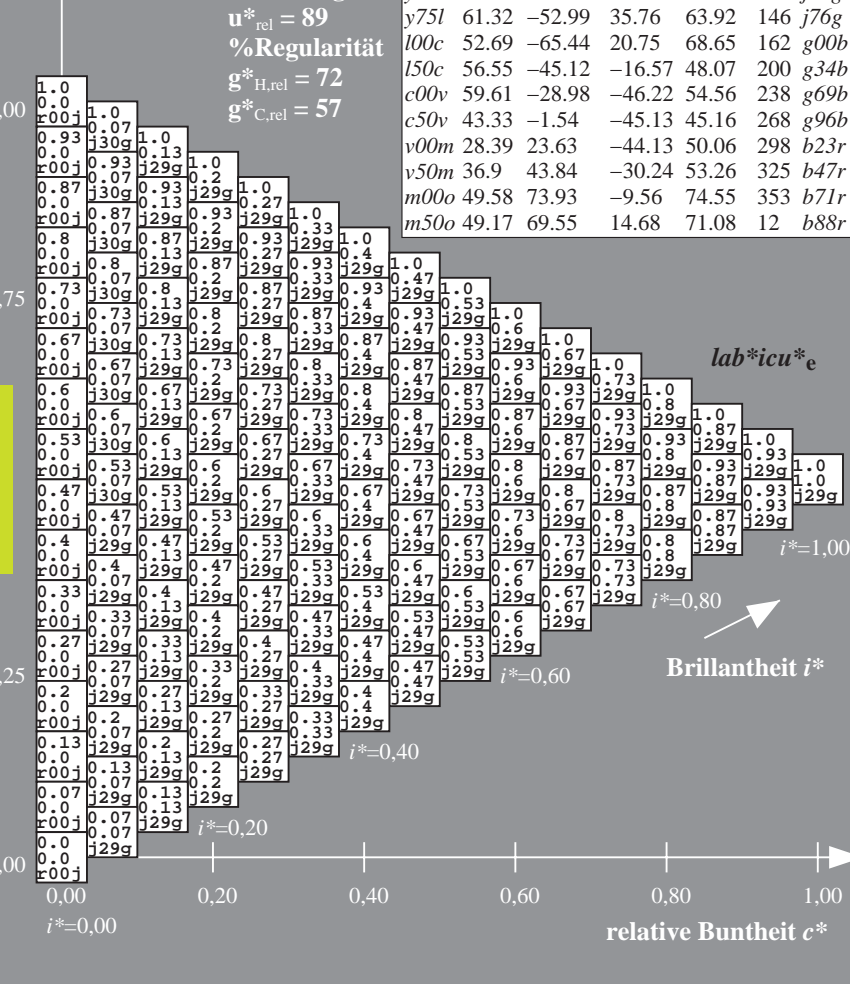
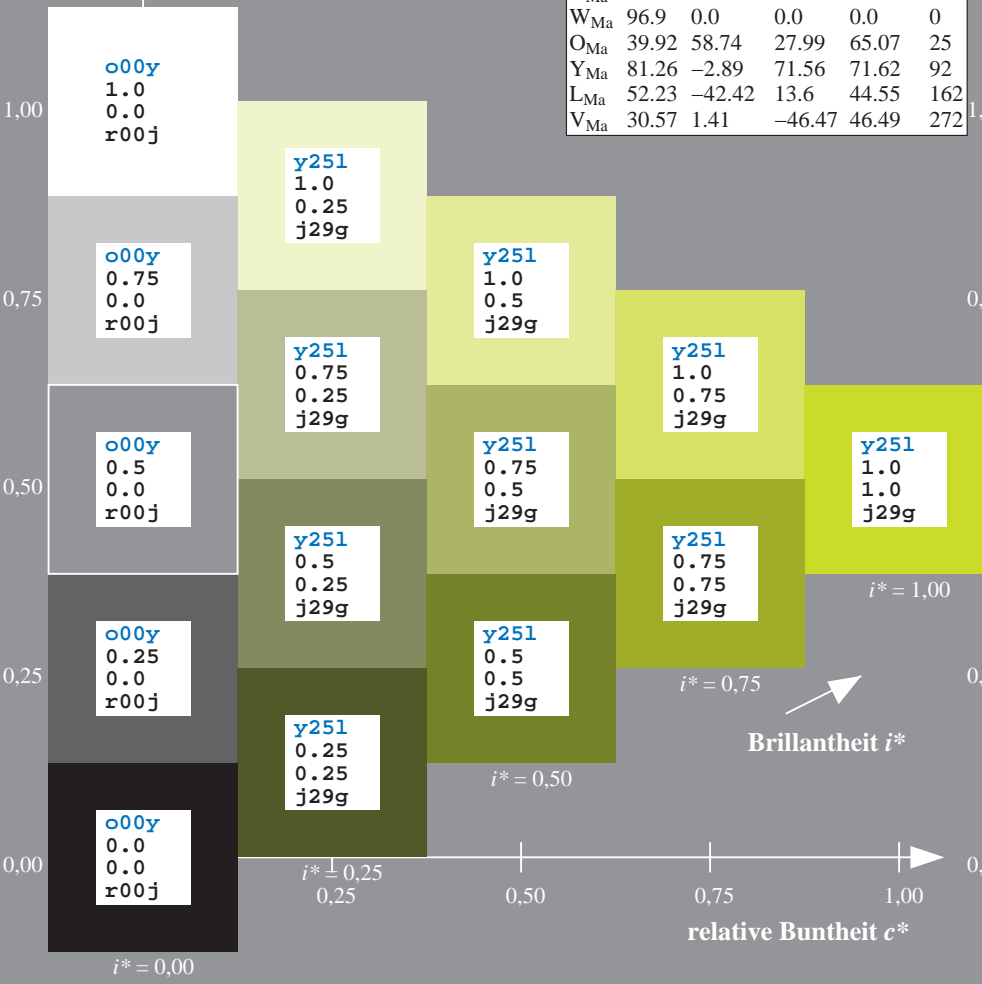
$i^* = 0.80$

$i^* = 0.60$

$i^* = 0.40$

$i^* = 0.20$

$i^* = 0.00$



Ein und Ausgabe: Farbmimetrisches Drucker-Reflektiv-System ORS19_96a für relativen CIELAB-Buntton $h^* = \text{lab}^*h^* = h_{ab}/360 = 0.36$

Daten für jede Farbe:

lab^*ch^* und lab^*icu^*

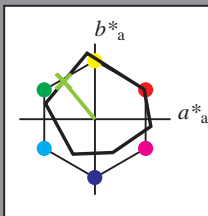
Bunttontexte:

$u^*_d = y50l$ $u^*_e = j53g$

Kontrastreduzierungsfaktor:

$c_R = 1.0$

Dreiecks-Helligkeit i^*



ORS19_96a; adaptierte CIELAB-Daten

u^*_d	$L^*=L^*_a$	a^*_a	b^*_a	$C^*_{ab,a}$	$h^*_{ab,a}$
O _{Ma}	48.75	65.07	39.43	76.08	31
Y _{Ma}	90.92	-10.29	87.24	87.85	97
L _{Ma}	52.69	-65.44	20.75	68.65	162
C _{Ma}	59.61	-28.98	-46.22	54.56	238
V _{Ma}	28.39	23.63	-44.13	50.06	298
M _{Ma}	49.58	73.93	-9.56	74.55	353
N _{Ma}	18.89	0.0	0.0	0.0	0
W _{Ma}	96.9	0.0	0.0	0.0	0
O _{Ma}	39.92	58.74	27.99	65.07	25
Y _{Ma}	81.26	-2.89	71.56	71.62	92
L _{Ma}	52.23	-42.42	13.6	44.55	162
V _{Ma}	30.57	1.41	-46.47	46.49	272

Daten für Maximalfarbe (Ma):

$\text{LAB}^*\text{LAB}^*_{\text{Ma}}$: 69 -41 50

$\text{LAB}^*\text{LCH}^*_{\text{Ma}}$: 69 65 129

$\text{lab}^*\text{olv}^*_{\text{Ma}}$: 0.5 1.0 0.0

$\text{lab}^*\text{rgb}^*_{\text{Ma}}$: 0.47 1.0 0.0

Dreiecks-Helligkeit i^*

%Umfang

$u^*_{\text{rel}} = 89$

%Regularität

$g^*_{H,\text{rel}} = 72$

$g^*_{C,\text{rel}} = 57$

ORS19_96a; adaptierte CIELAB-Daten

u^*_d	$L^*=L^*_a$	a^*_a	b^*_a	$C^*_{ab,a}$	$h^*_{ab,a}$	u^*_e
o00y	48.75	65.07	39.43	76.08	31	r08j
o25y	59.04	46.67	51.1	69.21	48	r33j
o50y	68.32	30.09	61.62	68.58	64	r57j
o75y	78.23	12.39	72.85	73.9	80	r81j
y00l	90.92	-10.29	87.24	87.85	97	j06g
y25l	78.57	-28.11	65.75	71.51	113	j29g
y50l	69.46	-41.25	49.92	64.75	130	j53g
y75l	61.32	-52.99	35.76	63.92	146	j76g
l00c	52.69	-65.44	20.75	68.65	162	g00b
l50c	56.55	-45.12	-16.57	48.07	200	g34b
c00v	59.61	-28.98	-46.22	54.56	238	g69b
c50v	43.33	-1.54	-45.13	45.16	268	g96b
v00m	28.39	23.63	-44.13	50.06	298	b23r
v50m	36.9	43.84	-30.24	53.26	325	b47r
m00o	49.58	73.93	-9.56	74.55	353	b71r
m50o	49.17	69.55	14.68	71.08	12	b88r

$\text{lab}^*\text{icu}^*_e$

$i^* = 1.00$

Brillantheit i^*

$i^* = 0.80$

$i^* = 0.60$

$i^* = 0.40$

$i^* = 0.20$

$i^* = 0.00$

Ein und Ausgabe: Farbmetrisches Drucker-Reflektiv-System ORS19_96a für relativen CIELAB-Buntton $h^* = \text{lab}^*h^* = h_{ab}/360 = 0.406$

Daten für jede Farbe:

lab^*ch^* und lab^*icu^*

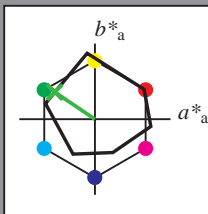
Bunttontexte:

$u^*_d = y75l$ $u^*_e = j76g$

Kontrastreduzierungsfaktor:

$c_R = 1.0$

Dreiecks-Helligkeit i^*



ORS19_96a; adaptierte CIELAB-Daten

u^*_d	$L^*=L^*_a$	a^*_a	b^*_a	$C^*_{ab,a}$	$h^*_{ab,a}$
O _{Ma}	48.75	65.07	39.43	76.08	31
Y _{Ma}	90.92	-10.29	87.24	87.85	97
L _{Ma}	52.69	-65.44	20.75	68.65	162
C _{Ma}	59.61	-28.98	-46.22	54.56	238
V _{Ma}	28.39	23.63	-44.13	50.06	298
M _{Ma}	49.58	73.93	-9.56	74.55	353
N _{Ma}	18.89	0.0	0.0	0.0	0
W _{Ma}	96.9	0.0	0.0	0.0	0
O _{Ma}	39.92	58.74	27.99	65.07	25
Y _{Ma}	81.26	-2.89	71.56	71.62	92
L _{Ma}	52.23	-42.42	13.6	44.55	162
V _{Ma}	30.57	1.41	-46.47	46.49	272

Daten für Maximalfarbe (Ma):

$\text{LAB}^*\text{LAB}^*_{\text{Ma}}$: 61 -53 36

$\text{LAB}^*\text{LCH}^*_{\text{Ma}}$: 61 64 145

$\text{lab}^*\text{olv}^*_{\text{Ma}}$: 0.25 1.0 0.0

$\text{lab}^*\text{rgb}^*_{\text{Ma}}$: 0.23 1.0 0.0

Dreiecks-Helligkeit i^*

%Umfang

$u^*_{\text{rel}} = 89$

%Regularität

$g^*_{H,\text{rel}} = 72$

$g^*_{C,\text{rel}} = 57$

ORS19_96a; adaptierte CIELAB-Daten

u^*_d	$L^*=L^*_a$	a^*_a	b^*_a	$C^*_{ab,a}$	$h^*_{ab,a}$	u^*_e
o00y	48.75	65.07	39.43	76.08	31	r08j
o25y	59.04	46.67	51.1	69.21	48	r33j
o50y	68.32	30.09	61.62	68.58	64	r57j
o75y	78.23	12.39	72.85	73.9	80	r81j
y00l	90.92	-10.29	87.24	87.85	97	j06g
y25l	78.57	-28.11	65.75	71.51	113	j29g
y50l	69.46	-41.25	49.92	64.75	130	j53g
y75l	61.32	-52.99	35.76	63.92	146	j76g
l00c	52.69	-65.44	20.75	68.65	162	g00b
l50c	56.55	-45.12	-16.57	48.07	200	g34b
c00v	59.61	-28.98	-46.22	54.56	238	g69b
c50v	43.33	-1.54	-45.13	45.16	268	g96b
v00m	28.39	23.63	-44.13	50.06	298	b23r
v50m	36.9	43.84	-30.24	53.26	325	b47r
m00o	49.58	73.93	-9.56	74.55	353	b71r
m50o	49.17	69.55	14.68	71.08	12	b88r

$\text{lab}^*\text{icu}^*_e$

$i^* = 1.00$

Brillantheit i^*

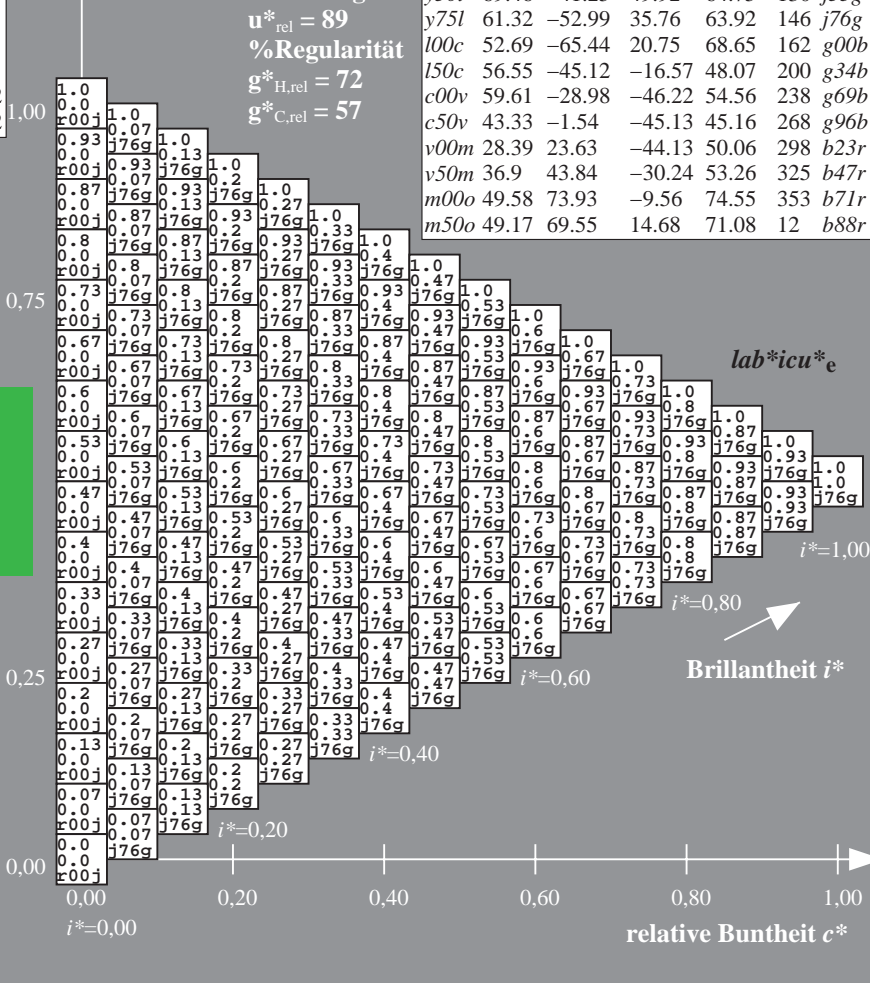
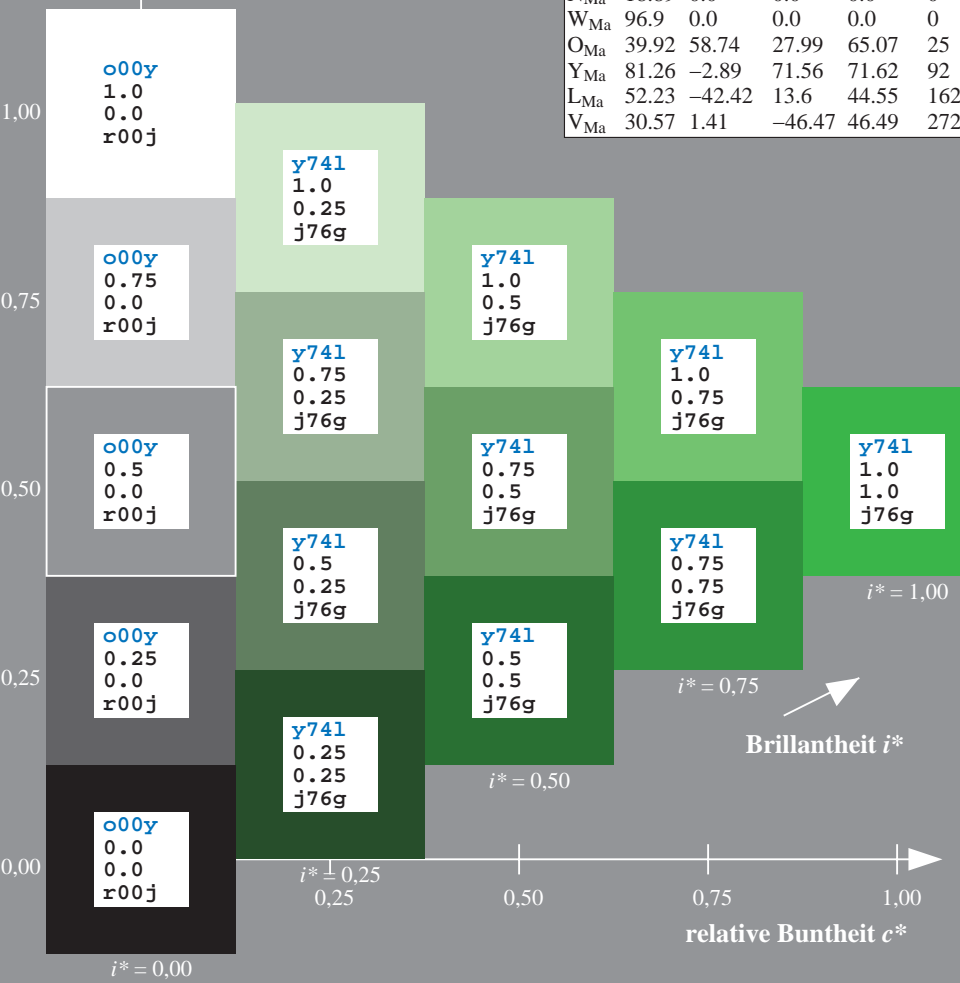
$i^* = 0.80$

$i^* = 0.60$

$i^* = 0.40$

$i^* = 0.20$

$i^* = 0.00$



Ein und Ausgabe: Farbmetrisches Drucker-Reflektiv-System ORS19_96a für relativen CIELAB-Buntton $h^* = lab^*h^* = h_{ab}/360 = 0.451$

Daten für jede Farbe:

lab^*ch^* und lab^*icu^*

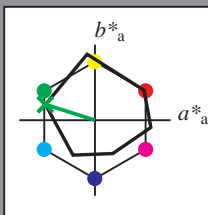
Bunttontexte:

$u^*_d = 100c$ $u^*_e = g00b$

Kontrastreduzierungsfaktor:

$c_R = 1.0$

Dreiecks-Helligkeit i^*



ORS19_96a; adaptierte CIELAB-Daten

u^*_d	$L^*=L^*_a$	a^*_a	b^*_a	$C^*_{ab,a}$	$h^*_{ab,a}$
O _{Ma}	48.75	65.07	39.43	76.08	31
Y _{Ma}	90.92	-10.29	87.24	87.85	97
L _{Ma}	52.69	-65.44	20.75	68.65	162
C _{Ma}	59.61	-28.98	-46.22	54.56	238
V _{Ma}	28.39	23.63	-44.13	50.06	298
M _{Ma}	49.58	73.93	-9.56	74.55	353
N _{Ma}	18.89	0.0	0.0	0.0	0
W _{Ma}	96.9	0.0	0.0	0.0	0
O _{Ma}	39.92	58.74	27.99	65.07	25
Y _{Ma}	81.26	-2.89	71.56	71.62	92
L _{Ma}	52.23	-42.42	13.6	44.55	162
V _{Ma}	30.57	1.41	-46.47	46.49	272

Daten für Maximalfarbe (Ma):

$LAB^*LAB^*_{Ma}$: 53 -65 21

$LAB^*LCH^*_{Ma}$: 53 69 162

$lab^*olv^*_{Ma}$: 0.0 1.0 0.0

$lab^*rgb^*_{Ma}$: 0.0 1.0 0.0

Dreiecks-Helligkeit i^*

%Umfang

$u^*_{rel} = 89$

%Regularität

$g^*_{H,rel} = 72$

$g^*_{C,rel} = 57$

ORS19_96a; adaptierte CIELAB-Daten

u^*_d	$L^*=L^*_a$	a^*_a	b^*_a	$C^*_{ab,a}$	$h^*_{ab,a}$	u^*_e
o00y	48.75	65.07	39.43	76.08	31	r08j
o25y	59.04	46.67	51.1	69.21	48	r33j
o50y	68.32	30.09	61.62	68.58	64	r57j
o75y	78.23	12.39	72.85	73.9	80	r81j
y00l	90.92	-10.29	87.24	87.85	97	j06g
y25l	78.57	-28.11	65.75	71.51	113	j29g
y50l	69.46	-41.25	49.92	64.75	130	j53g
y75l	61.32	-52.99	35.76	63.92	146	j76g
l00c	52.69	-65.44	20.75	68.65	162	g00b
l50c	56.55	-45.12	-16.57	48.07	200	g34b
c00v	59.61	-28.98	-46.22	54.56	238	g69b
c50v	43.33	-1.54	-45.13	45.16	268	g96b
v00m	28.39	23.63	-44.13	50.06	298	b23r
v50m	36.9	43.84	-30.24	53.26	325	b47r
m00o	49.58	73.93	-9.56	74.55	353	b71r
m50o	49.17	69.55	14.68	71.08	12	b88r

lab^*icu^*

$i^* = 1.00$

Brillantheit i^*

$i^* = 0.80$

$i^* = 0.60$

$i^* = 0.40$

$i^* = 0.20$

$i^* = 0.00$

relative Buntheit c^*

Ein und Ausgabe: Farbmimetrisches Drucker-Reflektiv-System ORS19_96a für relativen CIELAB-Buntton $h^* = lab^*h^* = h_{ab}/360 = 0.556$

Daten für jede Farbe:

lab^*ch^* und lab^*icu^*

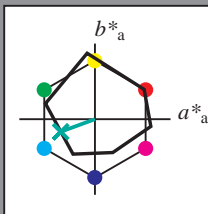
Bunttontexte:

$u^*_d = 150c$ $u^*_e = g34b$

Kontrastreduzierungsfaktor:

$c_R = 1.0$

Dreiecks-Helligkeit i^*



ORS19_96a; adaptierte CIELAB-Daten

u^*_d	$L^*=L^*_a$	a^*_a	b^*_a	$C^*_{ab,a}$	$h^*_{ab,a}$
O _{Ma}	48.75	65.07	39.43	76.08	31
Y _{Ma}	90.92	-10.29	87.24	87.85	97
L _{Ma}	52.69	-65.44	20.75	68.65	162
C _{Ma}	59.61	-28.98	-46.22	54.56	238
V _{Ma}	28.39	23.63	-44.13	50.06	298
M _{Ma}	49.58	73.93	-9.56	74.55	353
N _{Ma}	18.89	0.0	0.0	0.0	0
W _{Ma}	96.9	0.0	0.0	0.0	0
O _{Ma}	39.92	58.74	27.99	65.07	25
Y _{Ma}	81.26	-2.89	71.56	71.62	92
L _{Ma}	52.23	-42.42	13.6	44.55	162
V _{Ma}	30.57	1.41	-46.47	46.49	272

Daten für Maximalfarbe (Ma):

$LAB^*LAB^*_{Ma}$: 57 -45 -17

$LAB^*LCH^*_{Ma}$: 57 48 200

$lab^*olv^*_{Ma}$: 0.0 1.0 0.5

$lab^*rgb^*_{Ma}$: 0.0 1.0 0.69

Dreiecks-Helligkeit i^*

%Umfang

$u^*_{rel} = 89$

%Regularität

$g^*_{H,rel} = 72$

$g^*_{C,rel} = 57$

ORS19_96a; adaptierte CIELAB-Daten

u^*_d	$L^*=L^*_a$	a^*_a	b^*_a	$C^*_{ab,a}$	$h^*_{ab,a}$	u^*_e
o00y	48.75	65.07	39.43	76.08	31	r08j
o25y	59.04	46.67	51.1	69.21	48	r33j
o50y	68.32	30.09	61.62	68.58	64	r57j
o75y	78.23	12.39	72.85	73.9	80	r81j
y00l	90.92	-10.29	87.24	87.85	97	j06g
y25l	78.57	-28.11	65.75	71.51	113	j29g
y50l	69.46	-41.25	49.92	64.75	130	j53g
y75l	61.32	-52.99	35.76	63.92	146	j76g
l00c	52.69	-65.44	20.75	68.65	162	g00b
l50c	56.55	-45.12	-16.57	48.07	200	g34b
c00v	59.61	-28.98	-46.22	54.56	238	g69b
c50v	43.33	-1.54	-45.13	45.16	268	g96b
v00m	28.39	23.63	-44.13	50.06	298	b23r
v50m	36.9	43.84	-30.24	53.26	325	b47r
m00o	49.58	73.93	-9.56	74.55	353	b71r
m50o	49.17	69.55	14.68	71.08	12	b88r

lab^*icu^*

$i^* = 1.00$

Brillantheit i^*

$i^* = 0.80$

$i^* = 0.60$

$i^* = 0.40$

$i^* = 0.20$

$i^* = 0.00$

relative Buntheit c^*

relative Buntheit c^*

Ein und Ausgabe: Farbmimetrisches Drucker-Reflektiv-System ORS19_96a für relativen CIELAB-Buntton $h^* = lab^*h^* = h_{ab}/360 = 0.661$

Daten für jede Farbe:

lab^*tch^* und lab^*icu^*

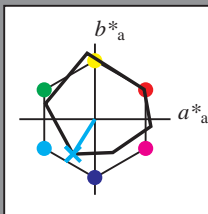
Bunttontexte:

$u^*_d = c00v$ $u^*_e = g69b$

Kontrastreduzierungsfaktor:

$c_R = 1.0$

Dreiecks-Helligkeit t^*



ORS19_96a; adaptierte CIELAB-Daten

u^*_d	$L^*=L^*_a$	a^*_a	b^*_a	$C^*_{ab,a}$	$h^*_{ab,a}$
O _{Ma}	48.75	65.07	39.43	76.08	31
Y _{Ma}	90.92	-10.29	87.24	87.85	97
L _{Ma}	52.69	-65.44	20.75	68.65	162
C _{Ma}	59.61	-28.98	-46.22	54.56	238
V _{Ma}	28.39	23.63	-44.13	50.06	298
M _{Ma}	49.58	73.93	-9.56	74.55	353
N _{Ma}	18.89	0.0	0.0	0.0	0
W _{Ma}	96.9	0.0	0.0	0.0	0
O _{Ma}	39.92	58.74	27.99	65.07	25
Y _{Ma}	81.26	-2.89	71.56	71.62	92
L _{Ma}	52.23	-42.42	13.6	44.55	162
V _{Ma}	30.57	1.41	-46.47	46.49	272

Daten für Maximalfarbe (Ma):

$LAB^*LAB^*_{Ma}$: 60 -29 -46

$LAB^*LCH^*_{Ma}$: 60 55 237

$lab^*olv^*_{Ma}$: 0.0 1.0 1.0

$lab^*rgb^*_{Ma}$: 0.0 0.62 1.0

Dreiecks-Helligkeit t^*

%Umfang

$u^*_{rel} = 89$

%Regularität

$g^*_{H,rel} = 72$

$g^*_{C,rel} = 57$

ORS19_96a; adaptierte CIELAB-Daten

u^*_d	$L^*=L^*_a$	a^*_a	b^*_a	$C^*_{ab,a}$	$h^*_{ab,a}$	u^*_e
o00y	48.75	65.07	39.43	76.08	31	r08j
o25y	59.04	46.67	51.1	69.21	48	r33j
o50y	68.32	30.09	61.62	68.58	64	r57j
o75y	78.23	12.39	72.85	73.9	80	r81j
y00l	90.92	-10.29	87.24	87.85	97	j06g
y25l	78.57	-28.11	65.75	71.51	113	j29g
y50l	69.46	-41.25	49.92	64.75	130	j53g
y75l	61.32	-52.99	35.76	63.92	146	j76g
l00c	52.69	-65.44	20.75	68.65	162	g00b
l50c	56.55	-45.12	-16.57	48.07	200	g34b
c00v	59.61	-28.98	-46.22	54.56	238	g69b
c50v	43.33	-1.54	-45.13	45.16	268	g96b
v00m	28.39	23.63	-44.13	50.06	298	b23r
v50m	36.9	43.84	-30.24	53.26	325	b47r
m00o	49.58	73.93	-9.56	74.55	353	b71r
m50o	49.17	69.55	14.68	71.08	12	b88r

lab^*icu^*

$i^* = 1.00$

Brillantheit i^*

$i^* = 0.80$

$i^* = 0.60$

$i^* = 0.40$

$i^* = 0.20$

$i^* = 0.00$

relative Buntheit c^*

relative Buntheit c^*

Ein und Ausgabe: Farbmimetrisches Drucker-Reflektiv-System ORS19_96a für relativen CIELAB-Buntton $h^* = lab^*h^* = h_{ab}/360 = 0.745$

Daten für jede Farbe:

lab^*ch^* und lab^*icu^*

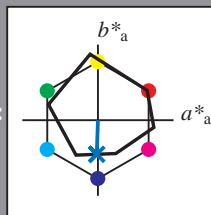
Bunttontexte:

$u^*_d = c50v$ $u^*_e = g96b$

Kontrastreduzierungsfaktor:

$c_R = 1.0$

Dreiecks-Helligkeit i^*



ORS19_96a; adaptierte CIELAB-Daten						
u^*_d	$L^*=L^*_a$	a^*_a	b^*_a	$C^*_{ab,a}$	$h^*_{ab,a}$	
O _{Ma}	48.75	65.07	39.43	76.08	31	
Y _{Ma}	90.92	-10.29	87.24	87.85	97	
L _{Ma}	52.69	-65.44	20.75	68.65	162	
C _{Ma}	59.61	-28.98	-46.22	54.56	238	
V _{Ma}	28.39	23.63	-44.13	50.06	298	
M _{Ma}	49.58	73.93	-9.56	74.55	353	
N _{Ma}	18.89	0.0	0.0	0.0	0	
W _{Ma}	96.9	0.0	0.0	0.0	0	
O _{Ma}	39.92	58.74	27.99	65.07	25	
Y _{Ma}	81.26	-2.89	71.56	71.62	92	
L _{Ma}	52.23	-42.42	13.6	44.55	162	
V _{Ma}	30.57	1.41	-46.47	46.49	272	

Daten für Maximalfarbe (Ma):

$LAB^*LAB^*_{Ma}$: 43 -2 -45

$LAB^*LCH^*_{Ma}$: 43 45 268

$lab^*olv^*_{Ma}$: 0.0 0.5 1.0

$lab^*rgb^*_{Ma}$: 0.0 0.07 1.0

Dreiecks-Helligkeit i^*

%Umfang

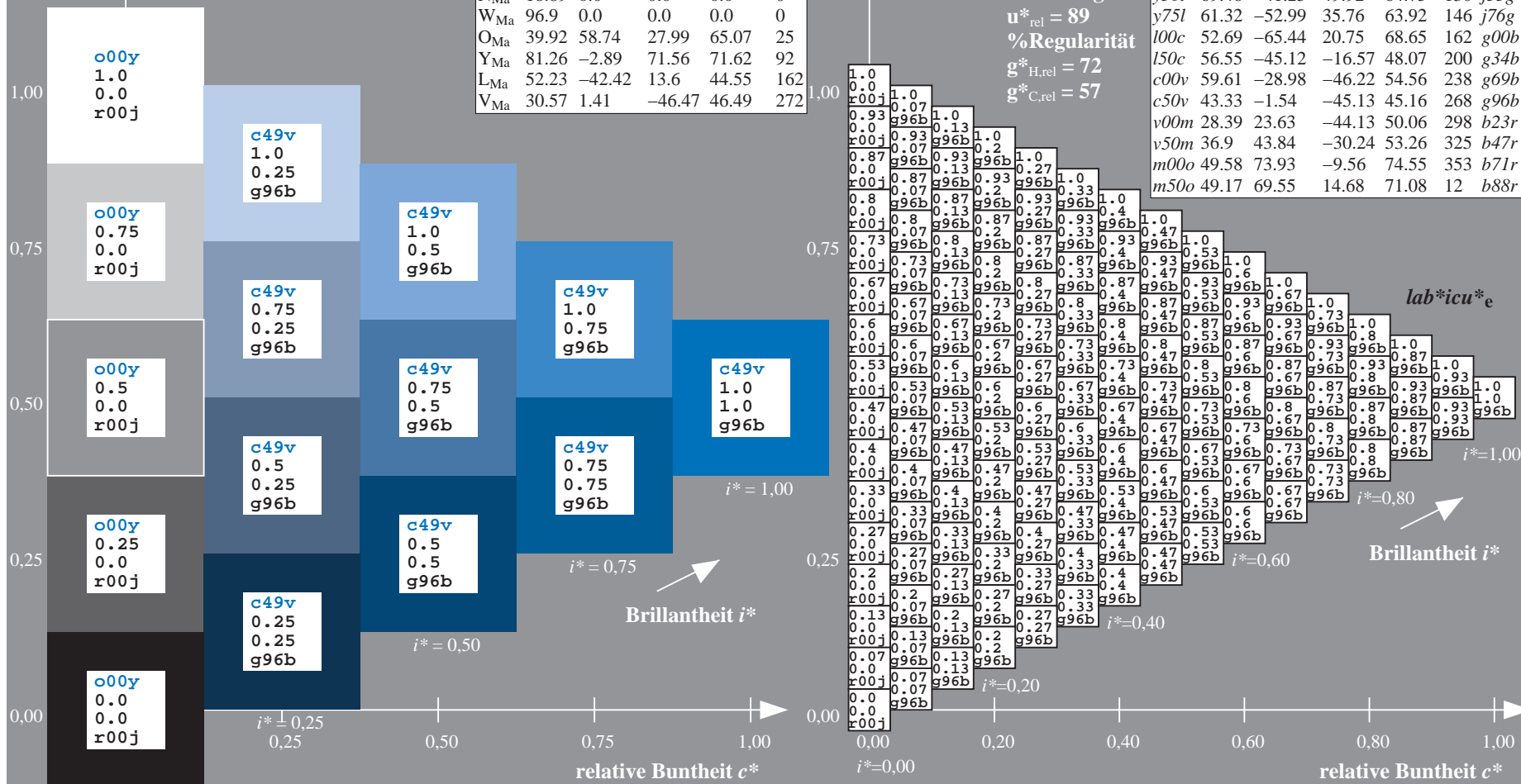
$u^*_{rel} = 89$

%Regularität

$g^*_{H,rel} = 72$

$g^*_{C,rel} = 57$

ORS19_96a; adaptierte CIELAB-Daten						
u^*_d	$L^*=L^*_a$	a^*_a	b^*_a	$C^*_{ab,a}$	$h^*_{ab,a}$	u^*_e
o00y	48.75	65.07	39.43	76.08	31	r08j
o25y	59.04	46.67	51.1	69.21	48	r33j
o50y	68.32	30.09	61.62	68.58	64	r57j
o75y	78.23	12.39	72.85	73.9	80	r81j
y00l	90.92	-10.29	87.24	87.85	97	j06g
y25l	78.57	-28.11	65.75	71.51	113	j29g
y50l	69.46	-41.25	49.92	64.75	130	j53g
y75l	61.32	-52.99	35.76	63.92	146	j76g
l00c	52.69	-65.44	20.75	68.65	162	g00b
l50c	56.55	-45.12	-16.57	48.07	200	g34b
c00v	59.61	-28.98	-46.22	54.56	238	g69b
c50v	43.33	-1.54	-45.13	45.16	268	g96b
v00m	28.39	23.63	-44.13	50.06	298	b23r
v50m	36.9	43.84	-30.24	53.26	325	b47r
m00o	49.58	73.93	-9.56	74.55	353	b71r
m50o	49.17	69.55	14.68	71.08	12	b88r



Ein und Ausgabe: Farbmetrisches Drucker-Reflexiv-System ORS19_96a für relativen CIELAB-Buntton $h^* = lab^*h^* = h_{ab}/360 = 0.828$

Daten für jede Farbe:

lab^*ch^* und lab^*icu^*

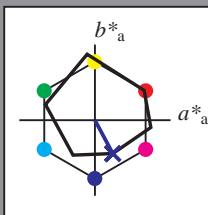
Bunttontexte:

$u^*_d = v00m$ $u^*_e = b23r$

Kontrastreduzierungsfaktor:

$c_R = 1.0$

Dreiecks-Helligkeit i^*



ORS19_96a; adaptierte CIELAB-Daten

u^*_d	$L^*=L^*_a$	a^*_a	b^*_a	$C^*_{ab,a}$	$h^*_{ab,a}$
O _{Ma}	48.75	65.07	39.43	76.08	31
Y _{Ma}	90.92	-10.29	87.24	87.85	97
L _{Ma}	52.69	-65.44	20.75	68.65	162
C _{Ma}	59.61	-28.98	-46.22	54.56	238
V _{Ma}	28.39	23.63	-44.13	50.06	298
M _{Ma}	49.58	73.93	-9.56	74.55	353
N _{Ma}	18.89	0.0	0.0	0.0	0
W _{Ma}	96.9	0.0	0.0	0.0	0
O _{Ma}	39.92	58.74	27.99	65.07	25
Y _{Ma}	81.26	-2.89	71.56	71.62	92
L _{Ma}	52.23	-42.42	13.6	44.55	162
V _{Ma}	30.57	1.41	-46.47	46.49	272

Daten für Maximalfarbe (Ma):

$LAB^*LAB^*_{Ma}$: 28 24 -44

$LAB^*LCH^*_{Ma}$: 28 50 298

$lab^*olv^*_{Ma}$: 0.0 0.0 1.0

$lab^*rgb^*_{Ma}$: 0.46 0.0 1.0

Dreiecks-Helligkeit i^*

%Umfang

$u^*_{rel} = 89$

%Regularität

$g^*_{H,rel} = 72$

$g^*_{C,rel} = 57$

ORS19_96a; adaptierte CIELAB-Daten

u^*_d	$L^*=L^*_a$	a^*_a	b^*_a	$C^*_{ab,a}$	$h^*_{ab,a}$	u^*_e
o00y	48.75	65.07	39.43	76.08	31	r08j
o25y	59.04	46.67	51.1	69.21	48	r33j
o50y	68.32	30.09	61.62	68.58	64	r57j
o75y	78.23	12.39	72.85	73.9	80	r81j
y00l	90.92	-10.29	87.24	87.85	97	j06g
y25l	78.57	-28.11	65.75	71.51	113	j29g
y50l	69.46	-41.25	49.92	64.75	130	j53g
y75l	61.32	-52.99	35.76	63.92	146	j76g
l00c	52.69	-65.44	20.75	68.65	162	g00b
l50c	56.55	-45.12	-16.57	48.07	200	g34b
c00v	59.61	-28.98	-46.22	54.56	238	g69b
c50v	43.33	-1.54	-45.13	45.16	268	g96b
v00m	28.39	23.63	-44.13	50.06	298	b23r
v50m	36.9	43.84	-30.24	53.26	325	b47r
m00o	49.58	73.93	-9.56	74.55	353	b71r
m50o	49.17	69.55	14.68	71.08	12	b88r

$lab^*icu^*_e$

$i^* = 1.00$

Brillantheit i^*

$i^* = 0.80$

$i^* = 0.60$

$i^* = 0.40$

$i^* = 0.20$

$i^* = 0.00$

relative Bunttheit c^*

relative Bunttheit c^*

Ein und Ausgabe: Farbmimetrisches Drucker-Reflektiv-System ORS19_96a für relativen CIELAB-Buntton $h^* = lab^*h^* = h_{ab}/360 = 0.904$

Daten für jede Farbe:

lab^*ch^* und lab^*icu^*

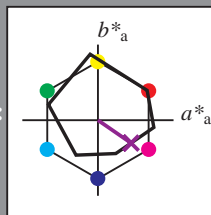
Bunttontexte:

$u^*_d = v50m$ $u^*_e = b47r$

Kontrastreduzierungsfaktor:

$c_R = 1.0$

Dreiecks-Helligkeit i^*



ORS19_96a; adaptierte CIELAB-Daten

	u^*_d	$L^*=L^*_a$	a^*_a	b^*_a	$C^*_{ab,a}$	$h^*_{ab,a}$
O _{Ma}	48.75	65.07	39.43	76.08	31	
Y _{Ma}	90.92	-10.29	87.24	87.85	97	
L _{Ma}	52.69	-65.44	20.75	68.65	162	
C _{Ma}	59.61	-28.98	-46.22	54.56	238	
V _{Ma}	28.39	23.63	-44.13	50.06	298	
M _{Ma}	49.58	73.93	-9.56	74.55	353	
N _{Ma}	18.89	0.0	0.0	0.0	0	
W _{Ma}	96.9	0.0	0.0	0.0	0	
O _{Ma}	39.92	58.74	27.99	65.07	25	
Y _{Ma}	81.26	-2.89	71.56	71.62	92	
L _{Ma}	52.23	-42.42	13.6	44.55	162	
V _{Ma}	30.57	1.41	-46.47	46.49	272	

Daten für Maximalfarbe (Ma):

$LAB^*LAB^*_{Ma}$: 37 44 -30

$LAB^*LCH^*_{Ma}$: 37 53 325

$lab^*olv^*_{Ma}$: 0.5 0.0 1.0

$lab^*rgb^*_{Ma}$: 0.94 0.0 1.0

Dreiecks-Helligkeit i^*

%Umfang

$u^*_{rel} = 89$

%Regularität

$g^*_{H,rel} = 72$

$g^*_{C,rel} = 57$

ORS19_96a; adaptierte CIELAB-Daten

	u^*_d	$L^*=L^*_a$	a^*_a	b^*_a	$C^*_{ab,a}$	$h^*_{ab,a}$	u^*_e
o00y	48.75	65.07	39.43	76.08	31		r08j
o25y	59.04	46.67	51.1	69.21	48		r33j
o50y	68.32	30.09	61.62	68.58	64		r57j
o75y	78.23	12.39	72.85	73.9	80		r81j
y00l	90.92	-10.29	87.24	87.85	97		j06g
y25l	78.57	-28.11	65.75	71.51	113		j29g
y50l	69.46	-41.25	49.92	64.75	130		j53g
y75l	61.32	-52.99	35.76	63.92	146		j76g
l00c	52.69	-65.44	20.75	68.65	162		g00b
l50c	56.55	-45.12	-16.57	48.07	200		g34b
c00v	59.61	-28.98	-46.22	54.56	238		g69b
c50v	43.33	-1.54	-45.13	45.16	268		g96b
v00m	28.39	23.63	-44.13	50.06	298		b23r
v50m	36.9	43.84	-30.24	53.26	325		b47r
m00o	49.58	73.93	-9.56	74.55	353		b71r
m50o	49.17	69.55	14.68	71.08	12		b88r

lab^*icu^*

$i^* = 1.00$

Brillantheit i^*

$i^* = 0.80$

$i^* = 0.60$

$i^* = 0.40$

$i^* = 0.20$

$i^* = 0.00$

relative Buntheit c^*

Ein und Ausgabe: Farbmimetrisches Drucker-Reflektiv-System ORS19_96a für relativen CIELAB-Buntton $h^* = \text{lab}^*h^* = h_{ab}/360 = 0.98$

Daten für jede Farbe:

lab^*ch^* und lab^*icu^*

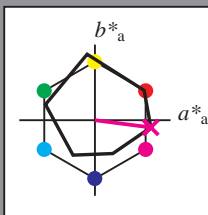
Bunttontexte:

$u^*_d = m00o$ $u^*_e = b71r$

Kontrastreduzierungsfaktor:

$c_R = 1.0$

Dreiecks-Helligkeit i^*



ORS19_96a; adaptierte CIELAB-Daten						
u^*_d	$L^*=L^*_a$	a^*_a	b^*_a	$C^*_{ab,a}$	$h^*_{ab,a}$	u^*_e
O _{Ma}	48.75	65.07	39.43	76.08	31	r08j
Y _{Ma}	90.92	-10.29	87.24	87.85	97	r33j
L _{Ma}	52.69	-65.44	20.75	68.65	162	r57j
C _{Ma}	59.61	-28.98	-46.22	54.56	238	r81j
V _{Ma}	28.39	23.63	-44.13	50.06	298	j06g
M _{Ma}	49.58	73.93	-9.56	74.55	353	j29g
N _{Ma}	18.89	0.0	0.0	0.0	0	j53g
W _{Ma}	96.9	0.0	0.0	0.0	0	j76g
O _{Ma}	39.92	58.74	27.99	65.07	25	g00b
Y _{Ma}	81.26	-2.89	71.56	71.62	92	g34b
L _{Ma}	52.23	-42.42	13.6	44.55	162	g69b
V _{Ma}	30.57	1.41	-46.47	46.49	272	g96b

Daten für Maximalfarbe (Ma):

$\text{LAB}^*\text{LAB}^*_{\text{Ma}}$: 50 74 -10

$\text{LAB}^*\text{LCH}^*_{\text{Ma}}$: 50 75 352

$\text{lab}^*\text{olv}^*_{\text{Ma}}$: 1.0 0.0 1.0

$\text{lab}^*\text{rgb}^*_{\text{Ma}}$: 1.0 0.0 0.58

Dreiecks-Helligkeit i^*

%Umfang

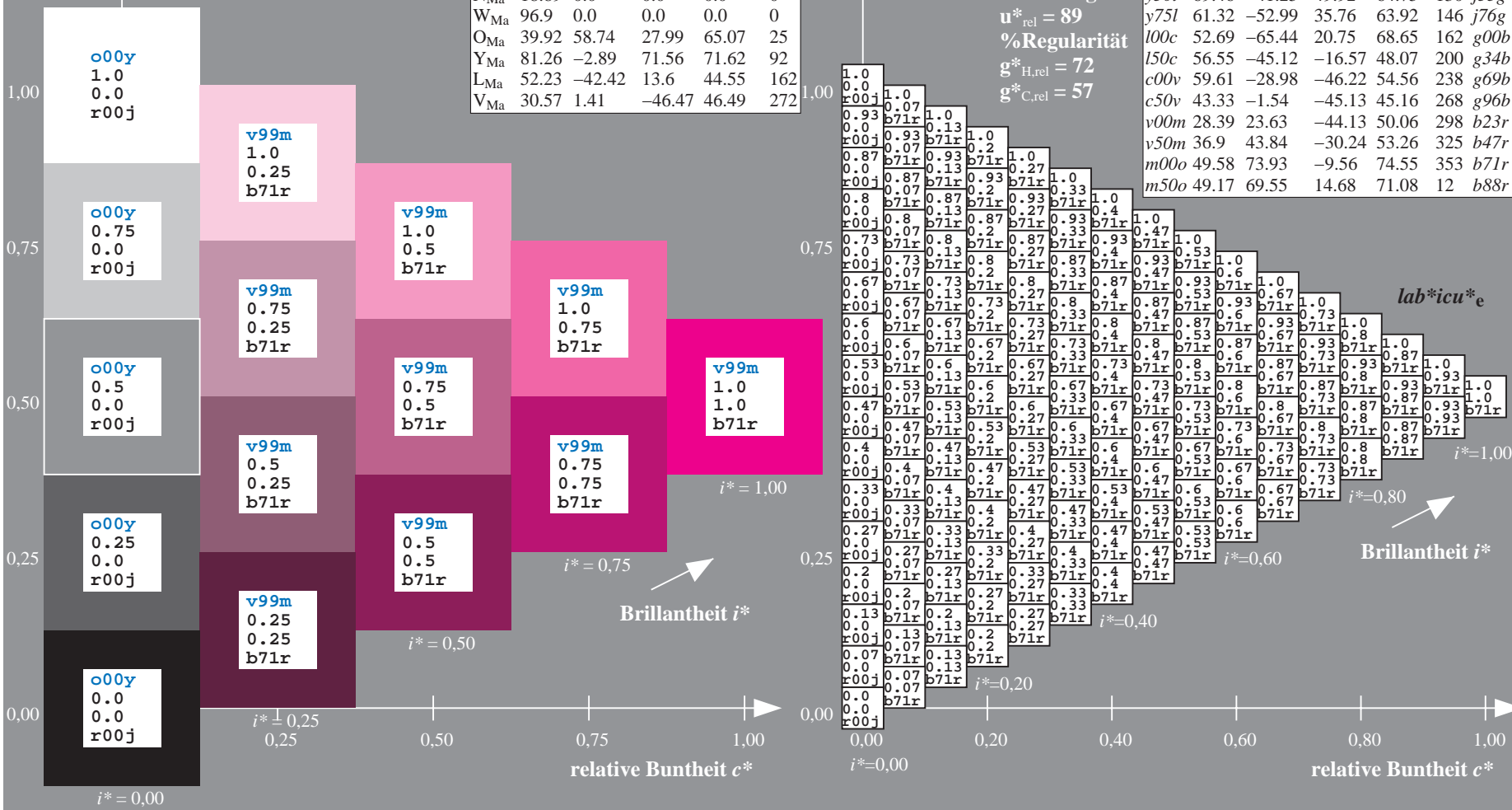
$u^*_{\text{rel}} = 89$

%Regularität

$g^*_{H,\text{rel}} = 72$

$g^*_{C,\text{rel}} = 57$

ORS19_96a; adaptierte CIELAB-Daten						
u^*_d	$L^*=L^*_a$	a^*_a	b^*_a	$C^*_{ab,a}$	$h^*_{ab,a}$	u^*_e
o00y	48.75	65.07	39.43	76.08	31	r08j
o25y	59.04	46.67	51.1	69.21	48	r33j
o50y	68.32	30.09	61.62	68.58	64	r57j
o75y	78.23	12.39	72.85	73.9	80	r81j
y00l	90.92	-10.29	87.24	87.85	97	j06g
y25l	78.57	-28.11	65.75	71.51	113	j29g
y50l	69.46	-41.25	49.92	64.75	130	j53g
y75l	61.32	-52.99	35.76	63.92	146	j76g
l00c	52.69	-65.44	20.75	68.65	162	g00b
l50c	56.55	-45.12	-16.57	48.07	200	g34b
c00v	59.61	-28.98	-46.22	54.56	238	g69b
c50v	43.33	-1.54	-45.13	45.16	268	g96b
v00m	28.39	23.63	-44.13	50.06	298	b23r
v50m	36.9	43.84	-30.24	53.26	325	b47r
m00o	49.58	73.93	-9.56	74.55	353	b71r
m50o	49.17	69.55	14.68	71.08	12	b88r



Ein und Ausgabe: Farbmimetrisches Drucker-Reflektiv-System ORS19_96a für relativen CIELAB-Buntton $h^* = lab^*h^* = h_{ab}/360 = 0.033$

Daten für jede Farbe:

lab^*ch^* und lab^*icu^*

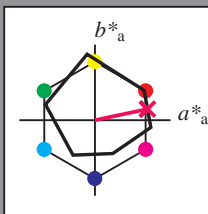
Bunttontexte:

$u^*_d = m50o$ $u^*_e = b88r$

Kontrastreduzierungsfaktor:

$c_R = 1.0$

Dreiecks-Helligkeit i^*



ORS19_96a; adaptierte CIELAB-Daten

u^*_d	$L^*=L^*_a$	a^*_a	b^*_a	$C^*_{ab,a}$	$h^*_{ab,a}$
O _{Ma}	48.75	65.07	39.43	76.08	31
Y _{Ma}	90.92	-10.29	87.24	87.85	97
L _{Ma}	52.69	-65.44	20.75	68.65	162
C _{Ma}	59.61	-28.98	-46.22	54.56	238
V _{Ma}	28.39	23.63	-44.13	50.06	298
M _{Ma}	49.58	73.93	-9.56	74.55	353
N _{Ma}	18.89	0.0	0.0	0.0	0
W _{Ma}	96.9	0.0	0.0	0.0	0
O _{Ma}	39.92	58.74	27.99	65.07	25
Y _{Ma}	81.26	-2.89	71.56	71.62	92
L _{Ma}	52.23	-42.42	13.6	44.55	162
V _{Ma}	30.57	1.41	-46.47	46.49	272

Daten für Maximalfarbe (Ma):

$LAB^*LAB^*_{Ma}$: 49 70 15

$LAB^*LCH^*_{Ma}$: 49 71 11

$lab^*olv^*_{Ma}$: 1.0 0.0 0.5

$lab^*rgb^*_{Ma}$: 1.0 0.0 0.24

Dreiecks-Helligkeit i^*

%Umfang

$u^*_{rel} = 89$

%Regularität

$g^*_{H,rel} = 72$

$g^*_{C,rel} = 57$

ORS19_96a; adaptierte CIELAB-Daten

u^*_d	$L^*=L^*_a$	a^*_a	b^*_a	$C^*_{ab,a}$	$h^*_{ab,a}$	u^*_e
o00y	48.75	65.07	39.43	76.08	31	r08j
o25y	59.04	46.67	51.1	69.21	48	r33j
o50y	68.32	30.09	61.62	68.58	64	r57j
o75y	78.23	12.39	72.85	73.9	80	r81j
y00l	90.92	-10.29	87.24	87.85	97	j06g
y25l	78.57	-28.11	65.75	71.51	113	j29g
y50l	69.46	-41.25	49.92	64.75	130	j53g
y75l	61.32	-52.99	35.76	63.92	146	j76g
l00c	52.69	-65.44	20.75	68.65	162	g00b
l50c	56.55	-45.12	-16.57	48.07	200	g34b
c00v	59.61	-28.98	-46.22	54.56	238	g69b
c50v	43.33	-1.54	-45.13	45.16	268	g96b
v00m	28.39	23.63	-44.13	50.06	298	b23r
v50m	36.9	43.84	-30.24	53.26	325	b47r
m00o	49.58	73.93	-9.56	74.55	353	b71r
m50o	49.17	69.55	14.68	71.08	12	b88r

lab^*icu^*

$i^* = 1.00$

Brillantheit i^*

$i^* = 0.80$

$i^* = 0.60$

$i^* = 0.40$

$i^* = 0.20$

$i^* = 0.00$

relative Buntheit c^*

relative Buntheit c^*

Siehe ähnliche Dateien: <http://www.ps.bam.de/Eg42/>; www.ps.bam.de/Eg42/
Technische Information: [http://www.ps.bam.de/Version 2.1, io=1.1, ColSp=1](http://www.ps.bam.de/Version%202.1,%20io=1.1,%20ColSp=1)

	A	B	C	D	E	F	G	H	I	J	K	L	M	N	O	P	Q	R	S	T	U	V	W	X	Y	Z	a	b	c	d	e	f	g	h	i	j	k	lab*icu*																																																																																																																																																																																																																																																																																																																																																																																																																																																																																																																																																																																																																																																																																																																																																																																																																																																																																																																																																																																																																																																																																																																																																																																														
01	0.0	0.13	0.25	0.38	0.5	0.63	0.75	0.88	1.0	1.13	1.25	1.38	1.5	1.63	1.75	1.88	2.0	2.13	2.25	2.38	2.5	2.63	2.75	2.88	3.0	3.13	3.25	3.38	3.5	3.63	3.75	3.88	4.0	4.13	4.25	4.38	4.5	4.63	4.75	4.88	5.0	5.13	5.25	5.38	5.5	5.63	5.75	5.88	6.0	6.13	6.25	6.38	6.5	6.63	6.75	6.88	7.0	7.13	7.25	7.38	7.5	7.63	7.75	7.88	8.0	8.13	8.25	8.38	8.5	8.63	8.75	8.88	9.0	9.13	9.25	9.38	9.5	9.63	9.75	9.88	10.0	10.13	10.25	10.38	10.5	10.63	10.75	10.88	11.0	11.13	11.25	11.38	11.5	11.63	11.75	11.88	12.0	12.13	12.25	12.38	12.5	12.63	12.75	12.88	13.0	13.13	13.25	13.38	13.5	13.63	13.75	13.88	14.0	14.13	14.25	14.38	14.5	14.63	14.75	14.88	15.0	15.13	15.25	15.38	15.5	15.63	15.75	15.88	16.0	16.13	16.25	16.38	16.5	16.63	16.75	16.88	17.0	17.13	17.25	17.38	17.5	17.63	17.75	17.88	18.0	18.13	18.25	18.38	18.5	18.63	18.75	18.88	19.0	19.13	19.25	19.38	19.5	19.63	19.75	19.88	20.0	20.13	20.25	20.38	20.5	20.63	20.75	20.88	21.0	21.13	21.25	21.38	21.5	21.63	21.75	21.88	22.0	22.13	22.25	22.38	22.5	22.63	22.75	22.88	23.0	23.13	23.25	23.38	23.5	23.63	23.75	23.88	24.0	24.13	24.25	24.38	24.5	24.63	24.75	24.88	25.0	25.13	25.25	25.38	25.5	25.63	25.75	25.88	26.0	26.13	26.25	26.38	26.5	26.63	26.75	26.88	27.0	27.13	27.25	27.38	27.5	27.63	27.75	27.88	28.0	28.13	28.25	28.38	28.5	28.63	28.75	28.88	29.0	29.13	29.25	29.38	29.5	29.63	29.75	29.88	30.0	30.13	30.25	30.38	30.5	30.63	30.75	30.88	31.0	31.13	31.25	31.38	31.5	31.63	31.75	31.88	32.0	32.13	32.25	32.38	32.5	32.63	32.75	32.88	33.0	33.13	33.25	33.38	33.5	33.63	33.75	33.88	34.0	34.13	34.25	34.38	34.5	34.63	34.75	34.88	35.0	35.13	35.25	35.38	35.5	35.63	35.75	35.88	36.0	36.13	36.25	36.38	36.5	36.63	36.75	36.88	37.0	37.13	37.25	37.38	37.5	37.63	37.75	37.88	38.0	38.13	38.25	38.38	38.5	38.63	38.75	38.88	39.0	39.13	39.25	39.38	39.5	39.63	39.75	39.88	40.0	40.13	40.25	40.38	40.5	40.63	40.75	40.88	41.0	41.13	41.25	41.38	41.5	41.63	41.75	41.88	42.0	42.13	42.25	42.38	42.5	42.63	42.75	42.88	43.0	43.13	43.25	43.38	43.5	43.63	43.75	43.88	44.0	44.13	44.25	44.38	44.5	44.63	44.75	44.88	45.0	45.13	45.25	45.38	45.5	45.63	45.75	45.88	46.0	46.13	46.25	46.38	46.5	46.63	46.75	46.88	47.0	47.13	47.25	47.38	47.5	47.63	47.75	47.88	48.0	48.13	48.25	48.38	48.5	48.63	48.75	48.88	49.0	49.13	49.25	49.38	49.5	49.63	49.75	49.88	50.0	50.13	50.25	50.38	50.5	50.63	50.75	50.88	51.0	51.13	51.25	51.38	51.5	51.63	51.75	51.88	52.0	52.13	52.25	52.38	52.5	52.63	52.75	52.88	53.0	53.13	53.25	53.38	53.5	53.63	53.75	53.88	54.0	54.13	54.25	54.38	54.5	54.63	54.75	54.88	55.0	55.13	55.25	55.38	55.5	55.63	55.75	55.88	56.0	56.13	56.25	56.38	56.5	56.63	56.75	56.88	57.0	57.13	57.25	57.38	57.5	57.63	57.75	57.88	58.0	58.13	58.25	58.38	58.5	58.63	58.75	58.88	59.0	59.13	59.25	59.38	59.5	59.63	59.75	59.88	60.0	60.13	60.25	60.38	60.5	60.63	60.75	60.88	61.0	61.13	61.25	61.38	61.5	61.63	61.75	61.88	62.0	62.13	62.25	62.38	62.5	62.63	62.75	62.88	63.0	63.13	63.25	63.38	63.5	63.63	63.75	63.88	64.0	64.13	64.25	64.38	64.5	64.63	64.75	64.88	65.0	65.13	65.25	65.38	65.5	65.63	65.75	65.88	66.0	66.13	66.25	66.38	66.5	66.63	66.75	66.88	67.0	67.13	67.25	67.38	67.5	67.63	67.75	67.88	68.0	68.13	68.25	68.38	68.5	68.63	68.75	68.88	69.0	69.13	69.25	69.38	69.5	69.63	69.75	69.88	70.0	70.13	70.25	70.38	70.5	70.63	70.75	70.88	71.0	71.13	71.25	71.38	71.5	71.63	71.75	71.88	72.0	72.13	72.25	72.38	72.5	72.63	72.75	72.88	73.0	73.13	73.25	73.38	73.5	73.63	73.75	73.88	74.0	74.13	74.25	74.38	74.5	74.63	74.75	74.88	75.0	75.13	75.25	75.38	75.5	75.63	75.75	75.88	76.0	76.13	76.25	76.38	76.5	76.63	76.75	76.88	77.0	77.13	77.25	77.38	77.5	77.63	77.75	77.88	78.0	78.13	78.25	78.38	78.5	78.63	78.75	78.88	79.0	79.13	79.25	79.38	79.5	79.63	79.75	79.88	80.0	80.13	80.25	80.38	80.5	80.63	80.75	80.88	81.0	81.13	81.25	81.38	81.5	81.63	81.75	81.88	82.0	82.13	82.25	82.38	82.5	82.63	82.75	82.88	83.0	83.13	83.25	83.38	83.5	83.63	83.75	83.88	84.0	84.13	84.25	84.38	84.5	84.63	84.75	84.88	85.0	85.13	85.25	85.38	85.5	85.63	85.75	85.88	86.0	86.13	86.25	86.38	86.5	86.63	86.75	86.88	87.0	87.13	87.25	87.38	87.5	87.63	87.75	87.88	88.0	88.13	88.25	88.38	88.5	88.63	88.75	88.88	89.0	89.13	89.25	89.38	89.5	89.63	89.75	89.88	90.0	90.13	90.25	90.38	90.5	90.63	90.75	90.88	91.0	91.13	91.25	91.38	91.5	91.63	91.75	91.88	92.0	92.13	92.25	92.38	92.5	92.63	92.75	92.88	93.0	93.13	93.25	93.38	93.5	93.63	93.75	93.88	94.0	94.13	94.25	94.38	94.5	94.63	94.75	94.88	95.0	95.13	95.25	95.38	95.5	95.63	95.75	95.88	96.0	96.13	96.25	96.38	96.5	96.63	96.75	96.88	97.0	97.13	97.25	97.38	97.5	97.63	97.75	97.88	98.0	98.13	98.25	98.38	98.5	98.63	98.75	98.88	99.0	99.13	99.25	99.38	99.5	99.63	99.75	99.88	100.0	100.13	100.25	100.38	100.5	100.63	100.75	100.88	101.0	101.13	101.25	101.38	101.5	101.63	101.75	101.88	102.0	102.13	102.25	102.38	102.5	102.63	102.75	102.88	103.0	103.13	103.25	103.38	103.5	103.63	103.75	103.88	104.0	104.13	104.25	104.38	104.5	104.63	104.75	104.88	105.0	105.13	105.25	105.38	105.5	105.63	105.75	105.88	106.0	106.13	106.25	106.38	106.5	106.63	106.75	106.88	107.0	107.13	107.25	107.38	107.5	107.63	107.75	107.88	108.0	108.13	108.25	108.38	108.5	108.63	108.75	108.88	109.0	109.13	109.25	109.38	109.5	109.63	109.75	109.88	110.0	110.13	110.25	110.38	110.5	110.63	110.75	110.88	111.0	111.13	111.25	111.38	111.5	111.63	111.75	111.88	112.0	112.13	112.25	112.38	112.5	112.63	112.75	112.88	113.0	113.13	113.25	113.38	113.5	113.63	113.75	113.88	114.0	114.13	114.25	114.38	114.5	114.63	114.75	114.88	115.0	115.13	115.25	115.38	115.5	115.63	115.75	115.88	116.0	116.13	116.25	116.38	116.5	116.63	116.75	116.88	117.0	117.13	117.25	117.38	117.5	117.63	117.75	117.88	118.0	118.13	118.25	118.38	118.5	118.63	118.75	118.88	119.0	119.13	119.25	119.38	119.5	119.63	119.75	119.88	120.0	120.13	120.25	120.38	120.5	120.63	120.75	120.88	121.0	121.13	121.25	121.38	121.5	121.63	121.75	121.88	122.0	122.13	122.25	122.38	122.5	122.63	122.75	122.88	123.0	123.13	123.25	123.38	123.5	123.63	123.75	123.88	124.0	124.13	124.25	124.38	124.5	124.63	124.75	124.88	125.0	125.13	125.25	125.38	125.5	125.63	125.75	125.88	126.0	126.13	126.25	126.38	126.5	126.63	126.75	126.88	127.0	127.13	127.25	127.38	127.5	127.63	127.75	127.88	128.0	128.13	128.25	128.38	128.5	128.63	128.75	128.88	129.0	129.13	129.25	129.38	129.5	129.63	129.75	129.88	130.0	130.13	130.25	130.38	130.5	130.63	130.75	130.88	131.0	131.13	131.25	131.38	131.5	131.63	131.75	131.88	132.0	132.13	132.25	132.38	132.5	132.63	132.75	132.88	133.0	133.13	133.25	133.38	133.5	133.63	133.75	133.88	134.0	134.13	134.25	134.38	134.5	134.63	134.75	134.88	135.0	135.13	135.25	135.38	135.5	135.63	135.75	135.88	136.0	136.13	136.25	136.38	136.5	136.63	136.75	136.88	137.0	137.13	137.25	137.38	137.5	137.63	137.75	137.88	138.0	138.13	138.25	138.38	138.5	138.63	138.75	138.88	139.0	139.13	139.25	139.38	139.5	139.63	139.75	139.88	140.0	140.13	140.25	140.38	140.5	140.63	140.75	140.88	141.0	141.13	141.25	141.38	141.5	141.63	141.75	141.88	142.0	142.13	142.25	142.38	142.5	142.63	142.75	142.88	143.0	143.13	143.25	143.38	143.5	143.63	143.75	143.88	144.0	144.13	144.25	144.38	144.5	144.63	144.75	144.88	145.0	145.13	145.25	145.38	145.5	145.63	145.75	145.88	146.0	146.13	146.25	146.38	146.5	146.63	146.75	146.88	147.0	147.13	147.25	147.38	147.5	147.63	147.75	147.88	148.0	148.13	148.25	148

Ein und Ausgabe:
Farbmetrisches Drucker-Reflektiv-System ORS19_96a
Daten für jede Farbe:

u^*_d und Nummer $Nr.$ = 00 .. 15

Geräte-Bunttontext:

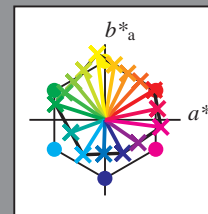
u^*_d = 16 Bunttoene $o00y$, $o25y$, ..., $m50o$

Kontrastreduzierungsfaktor:

$c_R = 1.0$

ORS19_96a; adaptierte CIELAB-Daten

u^*_d	$L^*=L^*_a$	a^*_a	b^*_a	$C^*_{ab,a}$	$h^*_{ab,a}$	u^*_e
$o00y$	48.75	65.07	39.43	76.08	31	$r08j$
$o25y$	59.04	46.67	51.1	69.21	48	$r33j$
$o50y$	68.32	30.09	61.62	68.58	64	$r57j$
$o75y$	78.23	12.39	72.85	73.9	80	$r81j$
$y00l$	90.92	-10.29	87.24	87.85	97	$j06g$
$y25l$	78.57	-28.11	65.75	71.51	113	$j29g$
$y50l$	69.46	-41.25	49.92	64.75	130	$j53g$
$y75l$	61.32	-52.99	35.76	63.92	146	$j76g$
$l00c$	52.69	-65.44	20.75	68.65	162	$g00b$
$l50c$	56.55	-45.12	-16.57	48.07	200	$g34b$
$c00v$	59.61	-28.98	-46.22	54.56	238	$g69b$
$c50v$	43.33	-1.54	-45.13	45.16	268	$g96b$
$v00m$	28.39	23.63	-44.13	50.06	298	$b23r$
$v50m$	36.9	43.84	-30.24	53.26	325	$b47r$
$m00o$	49.58	73.93	-9.56	74.55	353	$b71r$
$m50o$	49.17	69.55	14.68	71.08	12	$b88r$



%Umfang

$u^*_{rel} = 89$

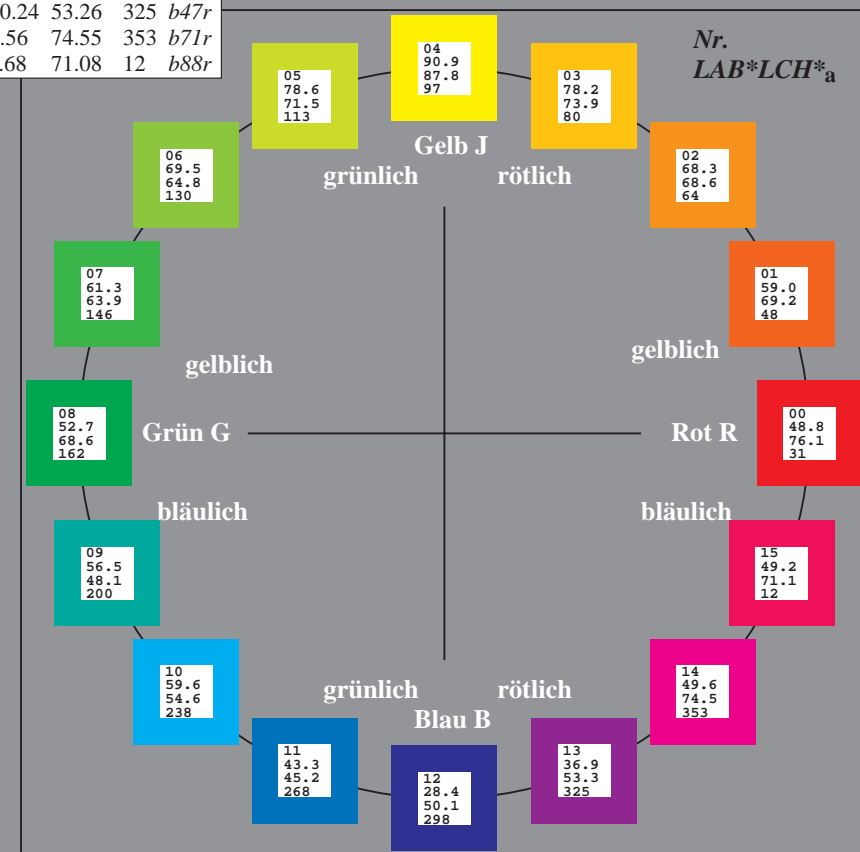
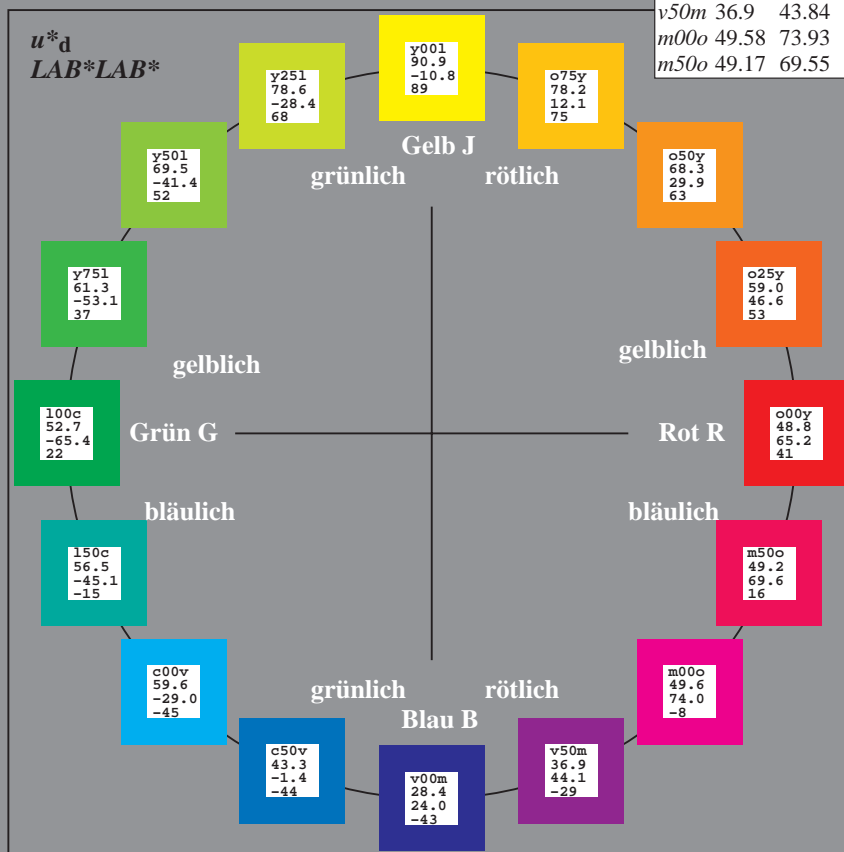
%Regularität

$g^*_{H,rel} = 72$

$g^*_{C,rel} = 57$

ORS19_96; CIELAB-Daten

Name	$L^*=L^*_a$	a^*_a	b^*_a	C^*_{ab}	h^*_{ab}
O_M	48.75	65.16	40.76	76.86	32
Y_M	90.92	-10.78	89.36	90.01	97
L_M	52.69	-65.4	22.15	69.05	161
C_M	59.61	-29.04	-44.69	53.3	237
V_M	28.39	24.0	-43.18	49.4	299
M_M	49.58	74.01	-8.22	74.47	354
N_M	18.89	0.5	0.77	0.92	57
W_M	96.9	-0.57	2.23	2.3	104
O_{CIE}	39.92	58.74	27.99	65.07	25
Y_{CIE}	81.26	-2.89	71.56	71.62	92
L_{CIE}	52.23	-42.42	13.6	44.55	162
V_{CIE}	30.57	1.41	-46.47	46.49	272



Ein und Ausgabe: Farbmimetrisches Drucker-Reflektiv-System ORS19_96a für relativen CIELAB-Buntton $h^* = \text{lab}^*h^* = h_{ab}/360 = 0.087$

Daten für jede Farbe:

lab^*tch^* und lab^*icu^*

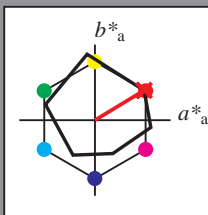
Bunttontexte:

$u^*_d = o00y$ $u^*_e = r08j$

Kontrastreduzierungsfaktor:

$c_R = 1.0$

Dreiecks-Helligkeit t^*



ORS19_96; CIELAB-Daten						
u^*_d	$L^*=L^*$	a^*	b^*	C^*_{ab}	h^*_{ab}	
O _M	48.75	65.16	40.76	76.86	32	
Y _M	90.92	-10.78	89.36	90.01	97	
L _M	52.69	-65.4	22.15	69.05	161	
C _M	59.61	-29.04	-44.69	53.3	237	
V _M	28.39	24.0	-43.18	49.4	299	
M _M	49.58	74.01	-8.22	74.47	354	
N _M	18.89	0.5	0.77	0.92	57	
W _M	96.9	-0.57	2.23	2.3	104	
O _M	39.92	58.74	27.99	65.07	25	
Y _M	81.26	-2.89	71.56	71.62	92	
L _M	52.23	-42.42	13.6	44.55	162	
V _M	30.57	1.41	-46.47	46.49	272	

Daten für Maximalfarbe (Ma):

$\text{LAB}^*\text{LAB}^*_{\text{Ma}}: 49 \ 65 \ 39$

$\text{LAB}^*\text{LCH}^*_{\text{Ma}}: 49 \ 76 \ 31$

$\text{lab}^*\text{olv}^*_{\text{Ma}}: 1.0 \ 0.0 \ 0.0$

$\text{lab}^*\text{rgb}^*_{\text{Ma}}: 1.0 \ 0.09 \ 0.0$

Dreiecks-Helligkeit t^*

%Umfang

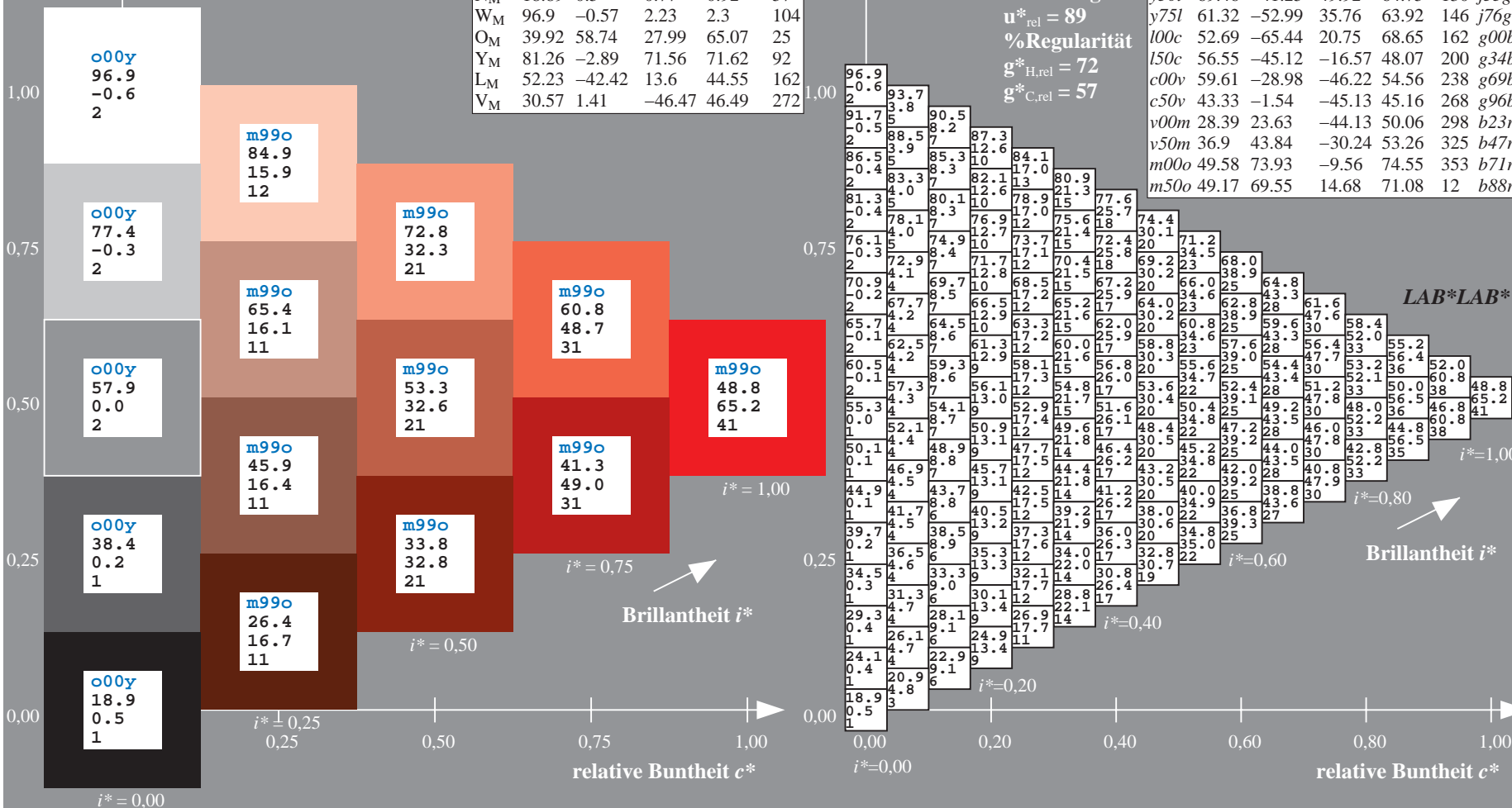
$u^*_{\text{rel}} = 89$

%Regularität

$g^*_{H,\text{rel}} = 72$

$g^*_{C,\text{rel}} = 57$

ORS19_96a; adaptierte CIELAB-Daten									
u^*_d	$L^*=L^*$	a^*_a	b^*_a	$C^*_{ab,a}$	$h^*_{ab,a}$	u^*_e			
o00y	48.75	65.07	39.43	76.08	31	r08j			
o25y	59.04	46.67	51.1	69.21	48	r33j			
o50y	68.32	30.09	61.62	68.58	64	r57j			
o75y	78.23	12.39	72.85	73.9	80	r81j			
y00l	90.92	-10.29	87.24	87.85	97	j06g			
y25l	78.57	-28.11	65.75	71.51	113	j29g			
y50l	69.46	-41.25	49.92	64.75	130	j53g			
y75l	61.32	-52.99	35.76	63.92	146	j76g			
l00c	52.69	-65.44	20.75	68.65	162	g00b			
l50c	56.55	-45.12	-16.57	48.07	200	g34b			
c00v	59.61	-28.98	-46.22	54.56	238	g69b			
c50v	43.33	-1.54	-45.13	45.16	268	g96b			
v00m	28.39	23.63	-44.13	50.06	298	b23r			
v50m	36.9	43.84	-30.24	53.26	325	b47r			
m00o	49.58	73.93	-9.56	74.55	353	b71r			
m50o	49.17	69.55	14.68	71.08	12	b88r			



Ein und Ausgabe: Farbmimetrisches Drucker-Reflektiv-System ORS19_96a für relativen CIELAB-Buntton $h^* = lab^*h^* = h_{ab}/360 = 0.132$

Daten für jede Farbe:

lab^*ch^* und lab^*icu^*

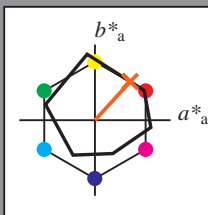
Bunttontexte:

$u^*_d = o25y$ $u^*_e = r33j$

Kontrastreduzierungsfaktor:

$c_R = 1.0$

Dreiecks-Helligkeit t^*



ORS19_96; CIELAB-Daten					
u^*_d	$L^*=L^*_a$	a^*	b^*	C^*_{ab}	h^*_{ab}
O _M	48.75	65.16	40.76	76.86	32
Y _M	90.92	-10.78	89.36	90.01	97
L _M	52.69	-65.4	22.15	69.05	161
C _M	59.61	-29.04	-44.69	53.3	237
V _M	28.39	24.0	-43.18	49.4	299
M _M	49.58	74.01	-8.22	74.47	354
N _M	18.89	0.5	0.77	0.92	57
W _M	96.9	-0.57	2.23	2.3	104
O _M	39.92	58.74	27.99	65.07	25
Y _M	81.26	-2.89	71.56	71.62	92
L _M	52.23	-42.42	13.6	44.55	162
V _M	30.57	1.41	-46.47	46.49	272

Daten für Maximalfarbe (Ma):

LAB^*LAB^*Ma : 59 47 51

LAB^*LCH^*Ma : 59 69 47

lab^*olv^*Ma : 1.0 0.25 0.0

lab^*rgb^*Ma : 1.0 0.33 0.0

Dreiecks-Helligkeit t^*

%Umfang

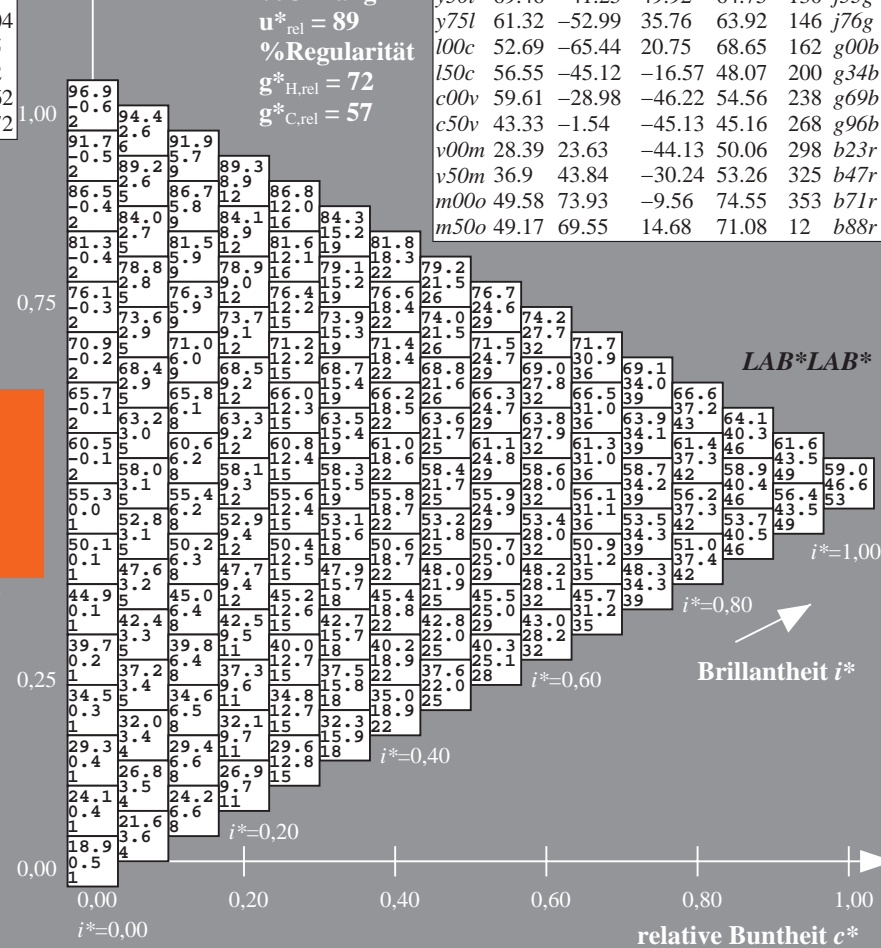
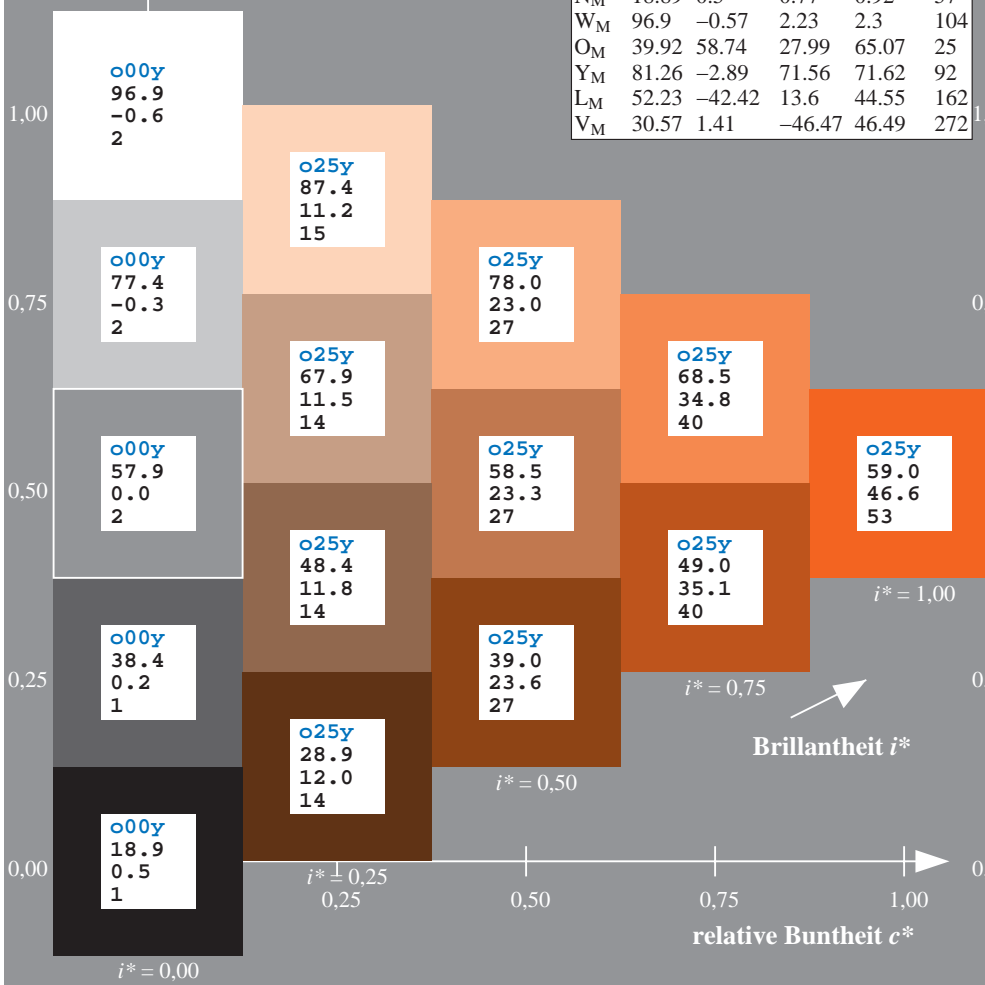
$u^*_{rel} = 89$

%Regularität

$g^*_{H,rel} = 72$

$g^*_{C,rel} = 57$

ORS19_96a; adaptierte CIELAB-Daten							
u^*_d	$L^*=L^*_a$	a^*_a	b^*_a	$C^*_{ab,a}$	$h^*_{ab,a}$	u^*_e	
o00y	48.75	65.07	39.43	76.08	31	r08j	
o25y	59.04	46.67	51.1	69.21	48	r33j	
o50y	68.32	30.09	61.62	68.58	64	r57j	
o75y	78.23	12.39	72.85	73.9	80	r81j	
y00l	90.92	-10.29	87.24	87.85	97	j06g	
y25l	78.57	-28.11	65.75	71.51	113	j29g	
y50l	69.46	-41.25	49.92	64.75	130	j53g	
y75l	61.32	-52.99	35.76	63.92	146	j76g	
l00c	52.69	-65.44	20.75	68.65	162	g00b	
l50c	56.55	-45.12	-16.57	48.07	200	g34b	
c00v	59.61	-28.98	-46.22	54.56	238	g69b	
c50v	43.33	-1.54	-45.13	45.16	268	g96b	
v00m	28.39	23.63	-44.13	50.06	298	b23r	
v50m	36.9	43.84	-30.24	53.26	325	b47r	
m00o	49.58	73.93	-9.56	74.55	353	b71r	
m50o	49.17	69.55	14.68	71.08	12	b88r	



Ein und Ausgabe: Farbmetrisches Drucker-Reflexiv-System ORS19_96a für relativen CIELAB-Buntton $h^* = lab^*h^* = h_{ab}/360 = 0.178$

Daten für jede Farbe:

lab^*ch^* und lab^*icu^*

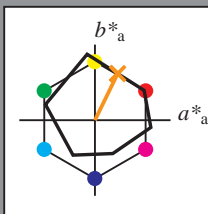
Bunttontexte:

$u^*_d = o50y$ $u^*_e = r57j$

Kontrastreduzierungsfaktor:

$c_R = 1.0$

Dreiecks-Helligkeit i^*



ORS19_96; CIELAB-Daten					
u^*_d	$L^*=L^*$	a^*	b^*	C^*_{ab}	h^*_{ab}
O _M	48.75	65.16	40.76	76.86	32
Y _M	90.92	-10.78	89.36	90.01	97
L _M	52.69	-65.4	22.15	69.05	161
C _M	59.61	-29.04	-44.69	53.3	237
V _M	28.39	24.0	-43.18	49.4	299
M _M	49.58	74.01	-8.22	74.47	354
N _M	18.89	0.5	0.77	0.92	57
W _M	96.9	-0.57	2.23	2.3	104
O _M	39.92	58.74	27.99	65.07	25
Y _M	81.26	-2.89	71.56	71.62	92
L _M	52.23	-42.42	13.6	44.55	162
V _M	30.57	1.41	-46.47	46.49	272

Daten für Maximalfarbe (Ma):

LAB^*LAB^*Ma : 68 30 62

LAB^*LCH^*Ma : 68 69 63

lab^*olv^*Ma : 1.0 0.5 0.0

lab^*rgb^*Ma : 1.0 0.58 0.0

Dreiecks-Helligkeit i^*

%Umfang

$u^*_{rel} = 89$

%Regularität

$g^*_{H,rel} = 72$

$g^*_{C,rel} = 57$

ORS19_96a; adaptierte CIELAB-Daten							
u^*_d	$L^*=L^*$	a^*	b^*	$C^*_{ab,a}$	$h^*_{ab,a}$	u^*_e	
o00y	48.75	65.07	39.43	76.08	31	r08j	
o25y	59.04	46.67	51.1	69.21	48	r33j	
o50y	68.32	30.09	61.62	68.58	64	r57j	
o75y	78.23	12.39	72.85	73.9	80	r81j	
y00l	90.92	-10.29	87.24	87.85	97	j06g	
y25l	78.57	-28.11	65.75	71.51	113	j29g	
y50l	69.46	-41.25	49.92	64.75	130	j53g	
y75l	61.32	-52.99	35.76	63.92	146	j76g	
l00c	52.69	-65.44	20.75	68.65	162	g00b	
l50c	56.55	-45.12	-16.57	48.07	200	g34b	
c00v	59.61	-28.98	-46.22	54.56	238	g69b	
c50v	43.33	-1.54	-45.13	45.16	268	g96b	
v00m	28.39	23.63	-44.13	50.06	298	b23r	
v50m	36.9	43.84	-30.24	53.26	325	b47r	
m00o	49.58	73.93	-9.56	74.55	353	b71r	
m50o	49.17	69.55	14.68	71.08	12	b88r	

LAB^*LAB^*

$i^* = 1.00$

Brillantheit i^*

$i^* = 0.80$

$i^* = 0.60$

$i^* = 0.40$

$i^* = 0.20$

$i^* = 0.00$

Ein und Ausgabe: Farbmimetrisches Drucker-Reflektiv-System ORS19_96a für relativen CIELAB-Buntton $h^* = lab^*h^* = h_{ab}/360 = 0.223$

Daten für jede Farbe:

lab^*ch^* und lab^*icu^*

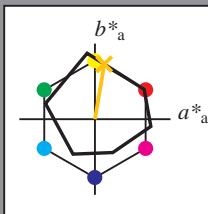
Bunttontexte:

$u^*_d = 0.75y$ $u^*_e = r81j$

Kontrastreduzierungsfaktor:

$c_R = 1.0$

Dreiecks-Helligkeit i^*



ORS19_96; CIELAB-Daten

u^*_d	$L^*=L^*$	a^*	b^*	C^*_{ab}	h^*_{ab}
O _M	48.75	65.16	40.76	76.86	32
Y _M	90.92	-10.78	89.36	90.01	97
L _M	52.69	-65.4	22.15	69.05	161
C _M	59.61	-29.04	-44.69	53.3	237
V _M	28.39	24.0	-43.18	49.4	299
M _M	49.58	74.01	-8.22	74.47	354
N _M	18.89	0.5	0.77	0.92	57
W _M	96.9	-0.57	2.23	2.3	104
O _M	39.92	58.74	27.99	65.07	25
Y _M	81.26	-2.89	71.56	71.62	92
L _M	52.23	-42.42	13.6	44.55	162
V _M	30.57	1.41	-46.47	46.49	272

Daten für Maximalfarbe (Ma):

LAB^*LAB^*Ma : 78 12 73

LAB^*LCH^*Ma : 78 74 80

lab^*olv^*Ma : 1.0 0.75 0.0

lab^*rgb^*Ma : 1.0 0.82 0.0

Dreiecks-Helligkeit i^*

%Umfang

$u^*_{rel} = 89$

%Regularität

$g^*_{H,rel} = 72$

$g^*_{C,rel} = 57$

ORS19_96a; adaptierte CIELAB-Daten

u^*_d	$L^*=L^*$	a^*_a	b^*_a	$C^*_{ab,a}$	$h^*_{ab,a}$	u^*_e
o00y	48.75	65.07	39.43	76.08	31	r08j
o25y	59.04	46.67	51.1	69.21	48	r33j
o50y	68.32	30.09	61.62	68.58	64	r57j
o75y	78.23	12.39	72.85	73.9	80	r81j
y00l	90.92	-10.29	87.24	87.85	97	j06g
y25l	78.57	-28.11	65.75	71.51	113	j29g
y50l	69.46	-41.25	49.92	64.75	130	j53g
y75l	61.32	-52.99	35.76	63.92	146	j76g
l00c	52.69	-65.44	20.75	68.65	162	g00b
l50c	56.55	-45.12	-16.57	48.07	200	g34b
c00v	59.61	-28.98	-46.22	54.56	238	g69b
c50v	43.33	-1.54	-45.13	45.16	268	g96b
v00m	28.39	23.63	-44.13	50.06	298	b23r
v50m	36.9	43.84	-30.24	53.26	325	b47r
m00o	49.58	73.93	-9.56	74.55	353	b71r
m50o	49.17	69.55	14.68	71.08	12	b88r

LAB^*LAB^*

$i^*=1.00$

Brillantheit i^*

$i^*=0.80$

$i^*=0.60$

$i^*=0.40$

$i^*=0.20$

$i^*=0.00$

Ein und Ausgabe: Farbmimetrisches Drucker-Reflektiv-System ORS19_96a für relativen CIELAB-Buntton $h^* = lab^*h^* = h_{ab}/360 = 0.269$

Daten für jede Farbe:

lab^*ch^* und lab^*icu^*

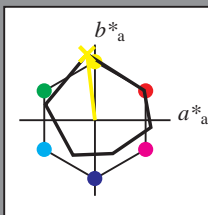
Bunttontexte:

$u^*_d = y00l$ $u^*_e = j06g$

Kontrastreduzierungsfaktor:

$c_R = 1.0$

Dreiecks-Helligkeit t^*



ORS19_96; CIELAB-Daten						
u^*_d	$L^*=L^*$	a^*	b^*	C^*_{ab}	h^*_{ab}	
O _M	48.75	65.16	40.76	76.86	32	
Y _M	90.92	-10.78	89.36	90.01	97	
L _M	52.69	-65.4	22.15	69.05	161	
C _M	59.61	-29.04	-44.69	53.3	237	
V _M	28.39	24.0	-43.18	49.4	299	
M _M	49.58	74.01	-8.22	74.47	354	
N _M	18.89	0.5	0.77	0.92	57	
W _M	96.9	-0.57	2.23	2.3	104	
O _M	39.92	58.74	27.99	65.07	25	
Y _M	81.26	-2.89	71.56	71.62	92	
L _M	52.23	-42.42	13.6	44.55	162	
V _M	30.57	1.41	-46.47	46.49	272	

Daten für Maximalfarbe (Ma):

$LAB^*LAB^*Ma: 91 -10 87$

$LAB^*LCH^*Ma: 91 88 96$

$lab^*olv^*Ma: 1.0 1.0 0.0$

$lab^*rgb^*Ma: 0.94 1.0 0.0$

Dreiecks-Helligkeit t^*

%Umfang

$u^*_{rel} = 89$

%Regularität

$g^*_{H,rel} = 72$

$g^*_{C,rel} = 57$

$u^*_d = y00l$
 LAB^*LAB^*

ORS19_96a; adaptierte CIELAB-Daten									
u^*_d	$L^*=L^*$	a^*	b^*	$C^*_{ab,a}$	$h^*_{ab,a}$	u^*_e			
o00y	48.75	65.07	39.43	76.08	31	r08j			
o25y	59.04	46.67	51.1	69.21	48	r33j			
o50y	68.32	30.09	61.62	68.58	64	r57j			
o75y	78.23	12.39	72.85	73.9	80	r81j			
y00l	90.92	-10.29	87.24	87.85	97	j06g			
y25l	78.57	-28.11	65.75	71.51	113	j29g			
y50l	69.46	-41.25	49.92	64.75	130	j53g			
y75l	61.32	-52.99	35.76	63.92	146	j76g			
l00c	52.69	-65.44	20.75	68.65	162	g00b			
l50c	56.55	-45.12	-16.57	48.07	200	g34b			
c00v	59.61	-28.98	-46.22	54.56	238	g69b			
c50v	43.33	-1.54	-45.13	45.16	268	g96b			
v00m	28.39	23.63	-44.13	50.06	298	b23r			
v50m	36.9	43.84	-30.24	53.26	325	b47r			
m00o	49.58	73.93	-9.56	74.55	353	b71r			
m50o	49.17	69.55	14.68	71.08	12	b88r			

LAB^*LAB^*

$i^*=1.00$

$i^*=0.80$

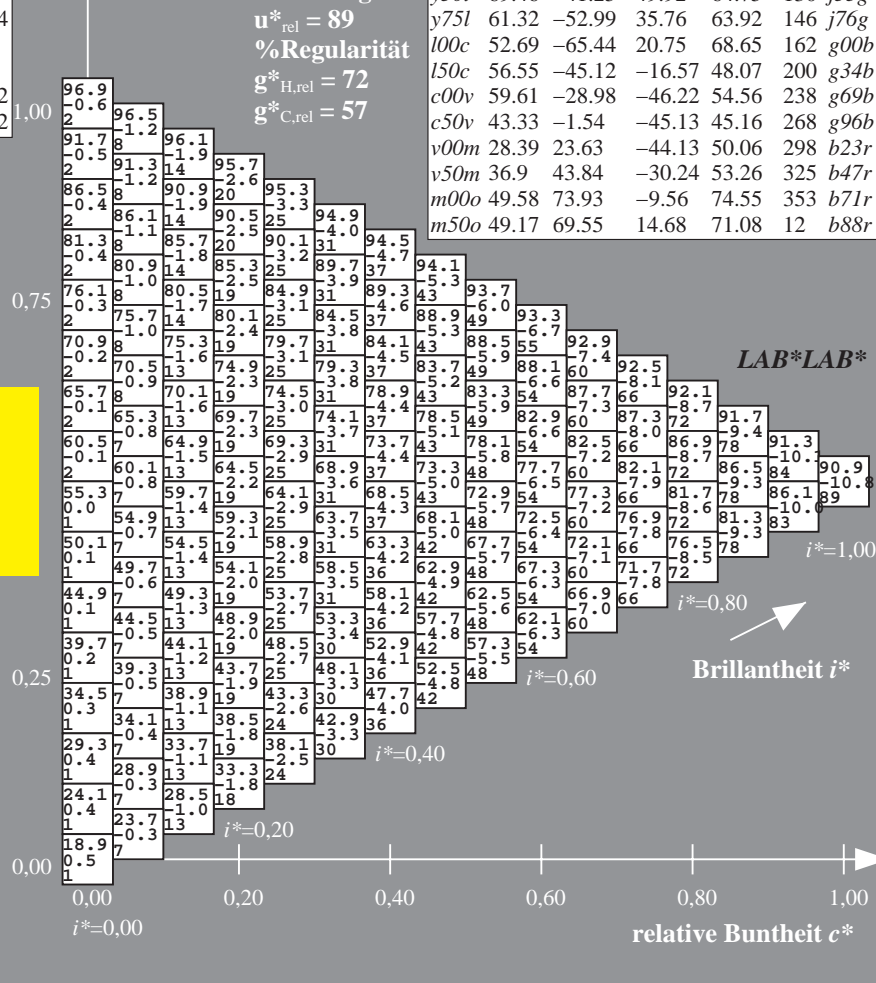
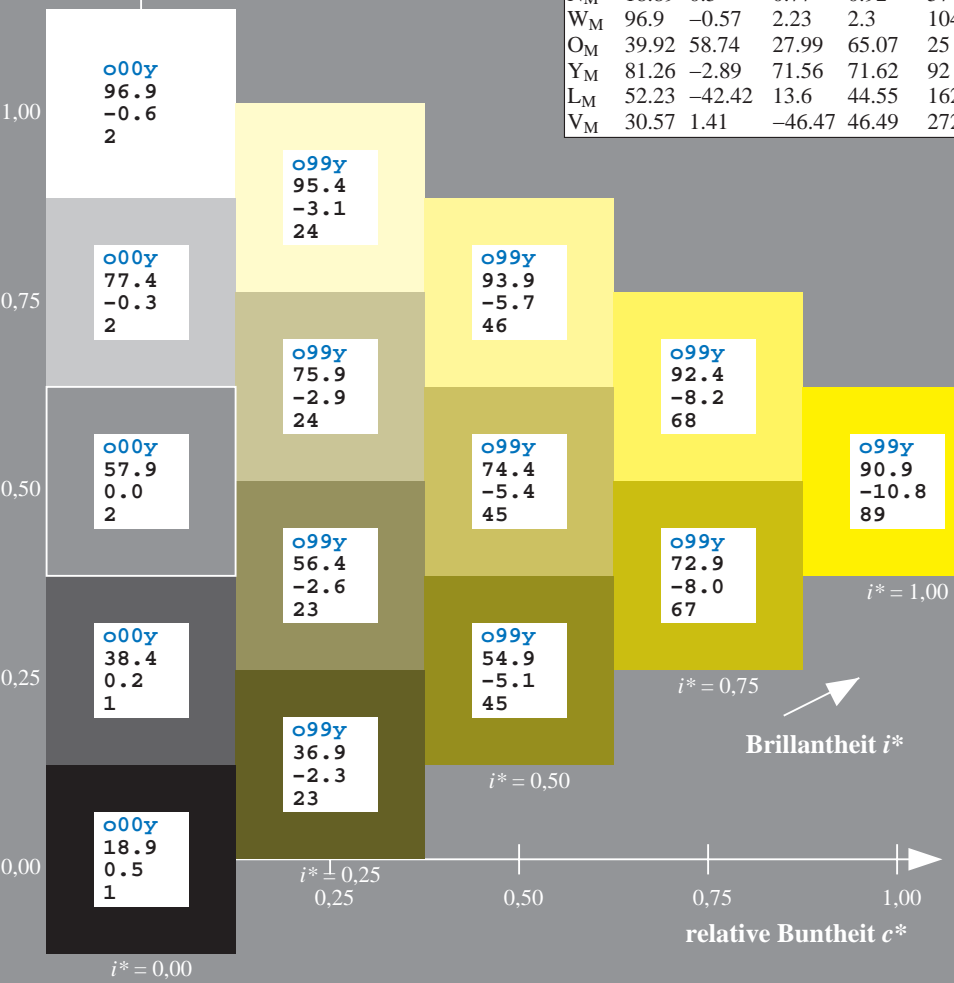
$i^*=0.60$

$i^*=0.40$

$i^*=0.20$

$i^*=0.00$

Brillantheit i^*



Ein und Ausgabe: Farbmimetrisches Drucker-Reflektiv-System ORS19_96a für relativen CIELAB-Buntton $h^* = lab^*h^* = h_{ab}/360 = 0.314$

Daten für jede Farbe:

lab^*tch^* und lab^*icu^*

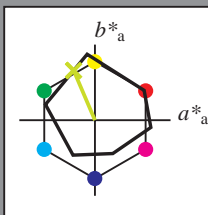
Bunttontexte:

$u^*_d = y25l$ $u^*_e = j29g$

Kontrastreduzierungsfaktor:

$c_R = 1.0$

Dreiecks-Helligkeit t^*



ORS19_96; CIELAB-Daten					
u^*_d	$L^*=L^*_a$	a^*	b^*	C^*_{ab}	h^*_{ab}
O _M	48.75	65.16	40.76	76.86	32
Y _M	90.92	-10.78	89.36	90.01	97
L _M	52.69	-65.4	22.15	69.05	161
C _M	59.61	-29.04	-44.69	53.3	237
V _M	28.39	24.0	-43.18	49.4	299
M _M	49.58	74.01	-8.22	74.47	354
N _M	18.89	0.5	0.77	0.92	57
W _M	96.9	-0.57	2.23	2.3	104
O _M	39.92	58.74	27.99	65.07	25
Y _M	81.26	-2.89	71.56	71.62	92
L _M	52.23	-42.42	13.6	44.55	162
V _M	30.57	1.41	-46.47	46.49	272

Daten für Maximalfarbe (Ma):

$LAB^*LAB^*Ma: 79 -28 66$

$LAB^*LCH^*Ma: 79 72 113$

$lab^*olv^*Ma: 0.75 1.0 0.0$

$lab^*rgb^*Ma: 0.7 1.0 0.0$

Dreiecks-Helligkeit t^*

%Umfang

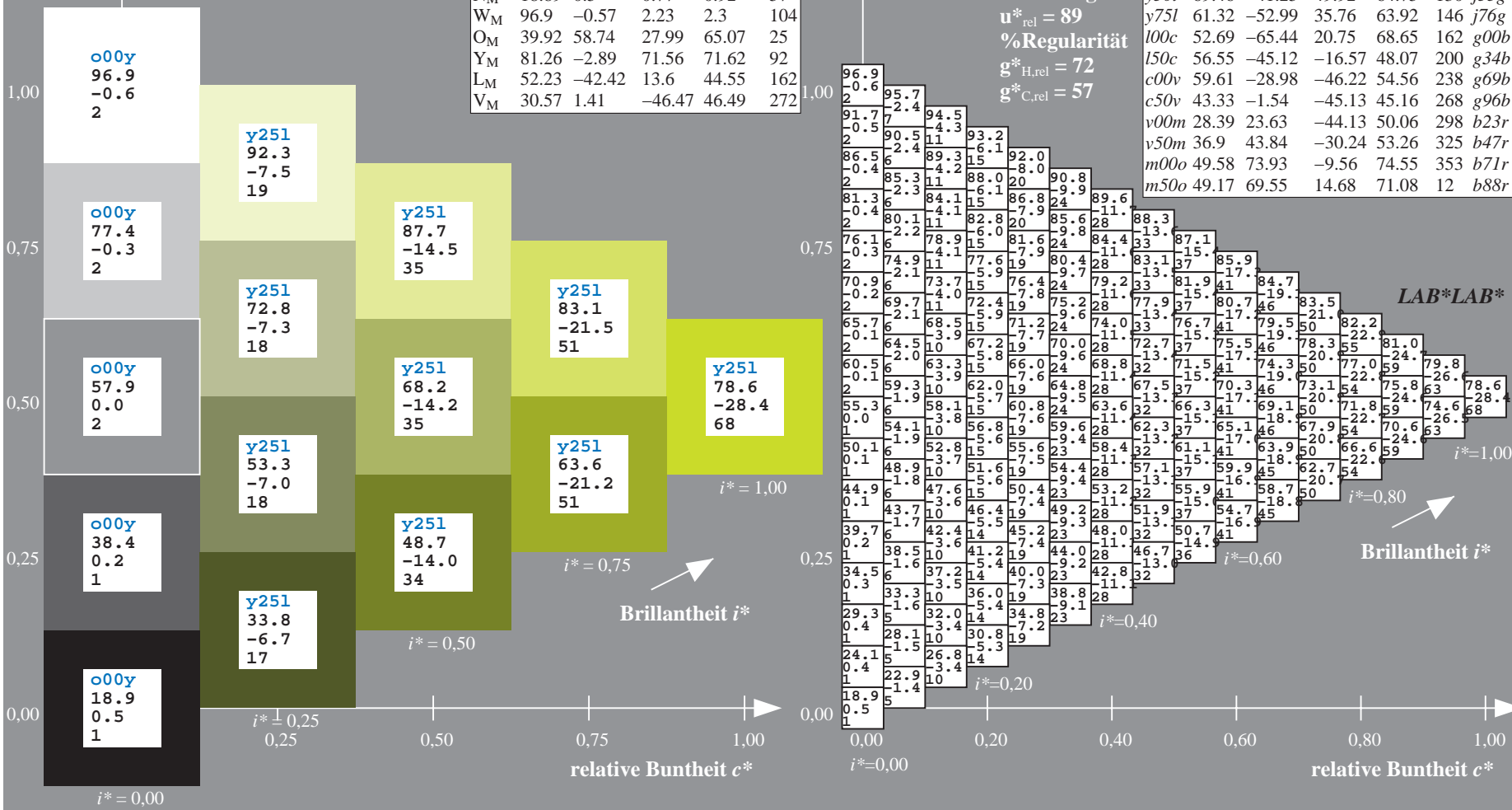
$u^*_{rel} = 89$

%Regularität

$g^*_{H,rel} = 72$

$g^*_{C,rel} = 57$

ORS19_96a; adaptierte CIELAB-Daten							
u^*_d	$L^*=L^*_a$	a^*_a	b^*_a	$C^*_{ab,a}$	$h^*_{ab,a}$	u^*_e	
o00y	48.75	65.07	39.43	76.08	31	r08j	
o25y	59.04	46.67	51.1	69.21	48	r33j	
o50y	68.32	30.09	61.62	68.58	64	r57j	
o75y	78.23	12.39	72.85	73.9	80	r81j	
y00l	90.92	-10.29	87.24	87.85	97	j06g	
y25l	78.57	-28.11	65.75	71.51	113	j29g	
y50l	69.46	-41.25	49.92	64.75	130	j53g	
y75l	61.32	-52.99	35.76	63.92	146	j76g	
l00c	52.69	-65.44	20.75	68.65	162	g00b	
l50c	56.55	-45.12	-16.57	48.07	200	g34b	
c00v	59.61	-28.98	-46.22	54.56	238	g69b	
c50v	43.33	-1.54	-45.13	45.16	268	g96b	
v00m	28.39	23.63	-44.13	50.06	298	b23r	
v50m	36.9	43.84	-30.24	53.26	325	b47r	
m00o	49.58	73.93	-9.56	74.55	353	b71r	
m50o	49.17	69.55	14.68	71.08	12	b88r	



Ein und Ausgabe: Farbmetrisches Drucker-Reflektiv-System ORS19_96a für relativen CIELAB-Buntton $h^* = \text{lab}^*h^* = h_{ab}/360 = 0.36$

Daten für jede Farbe:

lab^*ch^* und lab^*icu^*

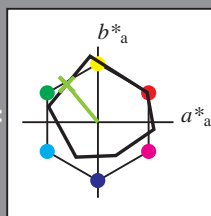
Bunttontexte:

$u^*_d = y50l$ $u^*_e = j53g$

Kontrastreduzierungsfaktor:

$c_R = 1.0$

Dreiecks-Helligkeit i^*



ORS19_96; CIELAB-Daten						
u^*_d	$L^*=L^*$	a^*	b^*	C^*_{ab}	h^*_{ab}	
O _M	48.75	65.16	40.76	76.86	32	
Y _M	90.92	-10.78	89.36	90.01	97	
L _M	52.69	-65.4	22.15	69.05	161	
C _M	59.61	-29.04	-44.69	53.3	237	
V _M	28.39	24.0	-43.18	49.4	299	
M _M	49.58	74.01	-8.22	74.47	354	
N _M	18.89	0.5	0.77	0.92	57	
W _M	96.9	-0.57	2.23	2.3	104	
O _M	39.92	58.74	27.99	65.07	25	
Y _M	81.26	-2.89	71.56	71.62	92	
L _M	52.23	-42.42	13.6	44.55	162	
V _M	30.57	1.41	-46.47	46.49	272	

Daten für Maximalfarbe (Ma):

$\text{LAB}^*\text{LAB}^*_{\text{Ma}}$: 69 -41 50

$\text{LAB}^*\text{LCH}^*_{\text{Ma}}$: 69 65 129

$\text{lab}^*\text{olv}^*_{\text{Ma}}$: 0.5 1.0 0.0

$\text{lab}^*\text{rgb}^*_{\text{Ma}}$: 0.47 1.0 0.0

Dreiecks-Helligkeit i^*

%Umfang

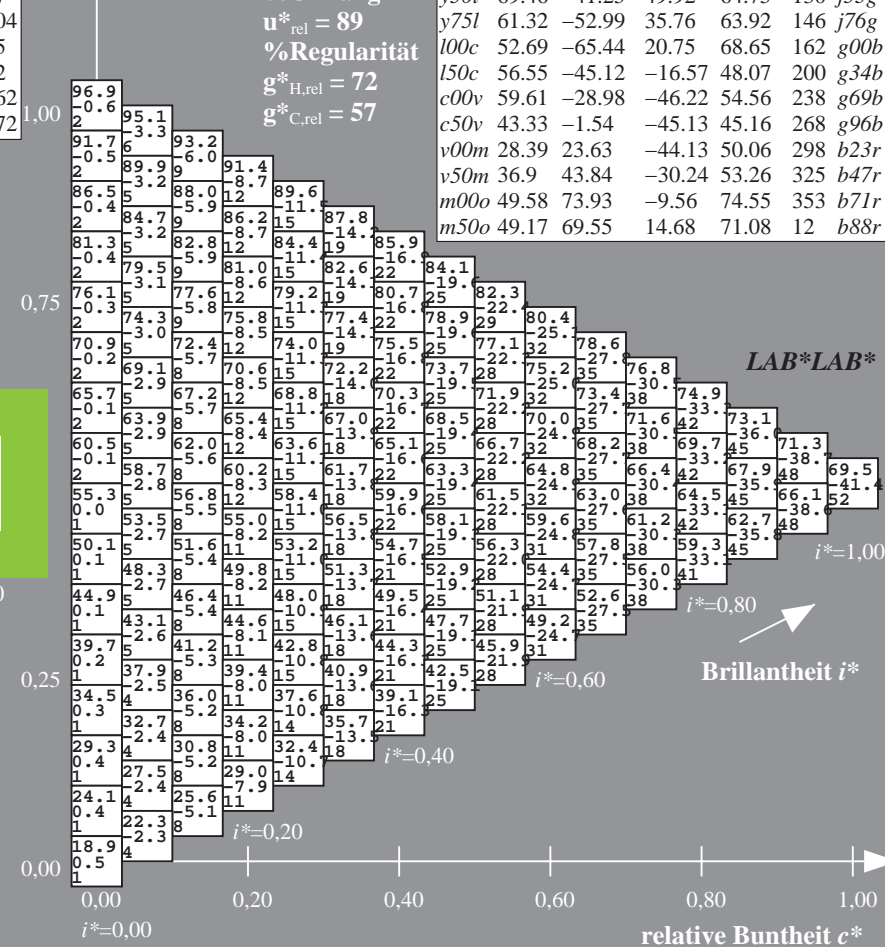
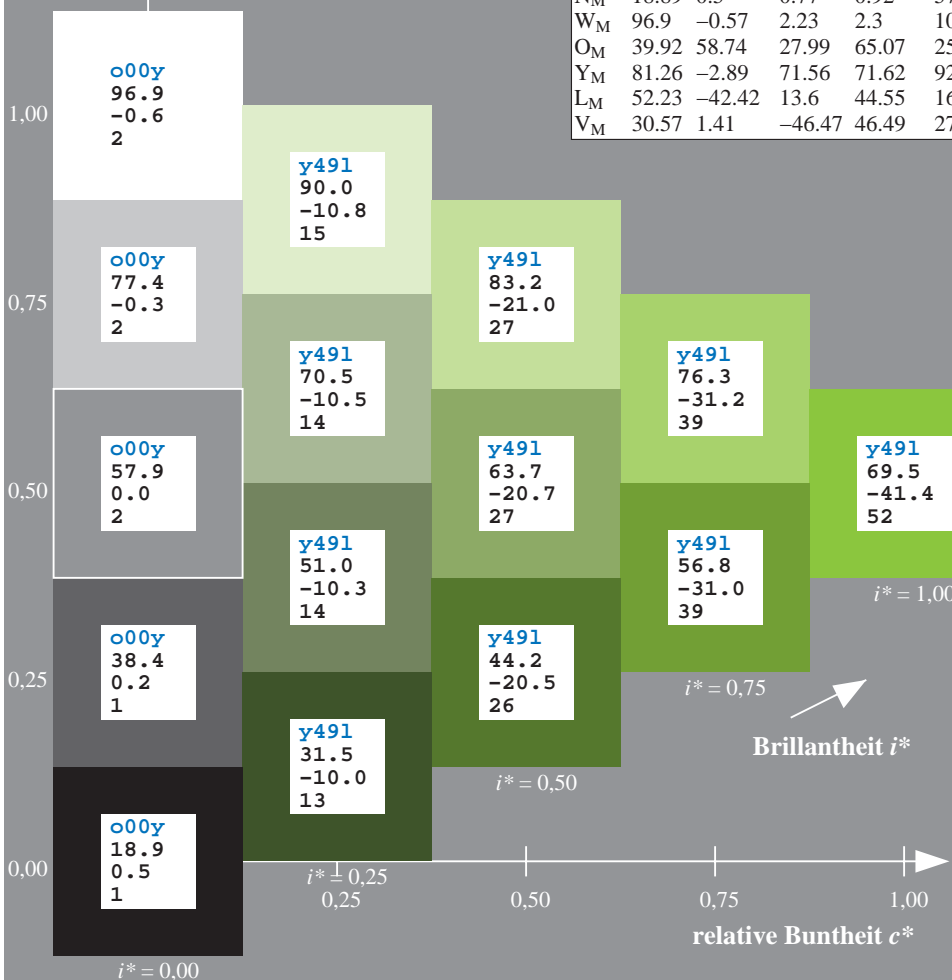
$u^*_{\text{rel}} = 89$

%Regularität

$g^*_{H,\text{rel}} = 72$

$g^*_{C,\text{rel}} = 57$

ORS19_96a; adaptierte CIELAB-Daten									
u^*_d	$L^*=L^*_a$	a^*_a	b^*_a	$C^*_{ab,a}$	$h^*_{ab,a}$	u^*_e			
o00y	48.75	65.07	39.43	76.08	31	r08j			
o25y	59.04	46.67	51.1	69.21	48	r33j			
o50y	68.32	30.09	61.62	68.58	64	r57j			
o75y	78.23	12.39	72.85	73.9	80	r81j			
y00l	90.92	-10.29	87.24	87.85	97	j06g			
y25l	78.57	-28.11	65.75	71.51	113	j29g			
y50l	69.46	-41.25	49.92	64.75	130	j53g			
y75l	61.32	-52.99	35.76	63.92	146	j76g			
l00c	52.69	-65.44	20.75	68.65	162	g00b			
l50c	56.55	-45.12	-16.57	48.07	200	g34b			
c00v	59.61	-28.98	-46.22	54.56	238	g69b			
c50v	43.33	-1.54	-45.13	45.16	268	g96b			
v00m	28.39	23.63	-44.13	50.06	298	b23r			
v50m	36.9	43.84	-30.24	53.26	325	b47r			
m00o	49.58	73.93	-9.56	74.55	353	b71r			
m50o	49.17	69.55	14.68	71.08	12	b88r			



Ein und Ausgabe: Farbmimetrisches Drucker-Reflektiv-System ORS19_96a für relativen CIELAB-Buntton $h^* = \text{lab}^*h^* = h_{ab}/360 = 0.406$

Daten für jede Farbe:

lab^*tch^* und lab^*icu^*

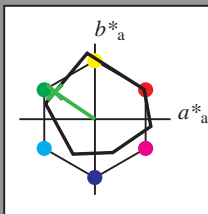
Bunttontexte:

$u^*_d = y75l$ $u^*_e = j76g$

Kontrastreduzierungsfaktor:

$c_R = 1.0$

Dreiecks-Helligkeit t^*



ORS19_96; CIELAB-Daten

u^*_d	$L^*=L^*$	a^*	b^*	C^*_{ab}	h^*_{ab}
O _M	48.75	65.16	40.76	76.86	32
Y _M	90.92	-10.78	89.36	90.01	97
L _M	52.69	-65.4	22.15	69.05	161
C _M	59.61	-29.04	-44.69	53.3	237
V _M	28.39	24.0	-43.18	49.4	299
M _M	49.58	74.01	-8.22	74.47	354
N _M	18.89	0.5	0.77	0.92	57
W _M	96.9	-0.57	2.23	2.3	104
O _M	39.92	58.74	27.99	65.07	25
Y _M	81.26	-2.89	71.56	71.62	92
L _M	52.23	-42.42	13.6	44.55	162
V _M	30.57	1.41	-46.47	46.49	272

Daten für Maximalfarbe (Ma):

$\text{LAB}^*\text{LAB}^*_{\text{Ma}}$: 61 -53 36

$\text{LAB}^*\text{LCH}^*_{\text{Ma}}$: 61 64 145

$\text{lab}^*\text{olv}^*_{\text{Ma}}$: 0.25 1.0 0.0

$\text{lab}^*\text{rgb}^*_{\text{Ma}}$: 0.23 1.0 0.0

Dreiecks-Helligkeit t^*

%Umfang

$u^*_{\text{rel}} = 89$

%Regularität

$g^*_{H,\text{rel}} = 72$

$g^*_{C,\text{rel}} = 57$

ORS19_96a; adaptierte CIELAB-Daten

u^*_d	$L^*=L^*$	a^*_a	b^*_a	$C^*_{ab,a}$	$h^*_{ab,a}$	u^*_e
o00y	48.75	65.07	39.43	76.08	31	r08j
o25y	59.04	46.67	51.1	69.21	48	r33j
o50y	68.32	30.09	61.62	68.58	64	r57j
o75y	78.23	12.39	72.85	73.9	80	r81j
y00l	90.92	-10.29	87.24	87.85	97	j06g
y25l	78.57	-28.11	65.75	71.51	113	j29g
y50l	69.46	-41.25	49.92	64.75	130	j53g
y75l	61.32	-52.99	35.76	63.92	146	j76g
l00c	52.69	-65.44	20.75	68.65	162	g00b
l50c	56.55	-45.12	-16.57	48.07	200	g34b
c00v	59.61	-28.98	-46.22	54.56	238	g69b
c50v	43.33	-1.54	-45.13	45.16	268	g96b
v00m	28.39	23.63	-44.13	50.06	298	b23r
v50m	36.9	43.84	-30.24	53.26	325	b47r
m00o	49.58	73.93	-9.56	74.55	353	b71r
m50o	49.17	69.55	14.68	71.08	12	b88r

LAB^*LAB^*

$i^* = 1.00$

Brillantheit i^*

$i^* = 0.80$

$i^* = 0.60$

$i^* = 0.40$

$i^* = 0.20$

$i^* = 0.00$

Ein und Ausgabe: Farbmimetrisches Drucker-Reflektiv-System ORS19_96a für relativen CIELAB-Buntton $h^* = lab^*h^* = h_{ab}/360 = 0.451$

Daten für jede Farbe:

lab^*ch^* und lab^*icu^*

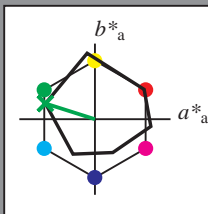
Bunttontexte:

$u^*_d = 100c$ $u^*_e = g00b$

Kontrastreduzierungsfaktor:

$c_R = 1.0$

Dreiecks-Helligkeit i^*



ORS19_96; CIELAB-Daten

u^*_d	$L^*=L^*_a$	a^*	b^*	C^*_{ab}	h^*_{ab}
O _M	48.75	65.16	40.76	76.86	32
Y _M	90.92	-10.78	89.36	90.01	97
L _M	52.69	-65.4	22.15	69.05	161
C _M	59.61	-29.04	-44.69	53.3	237
V _M	28.39	24.0	-43.18	49.4	299
M _M	49.58	74.01	-8.22	74.47	354
N _M	18.89	0.5	0.77	0.92	57
W _M	96.9	-0.57	2.23	2.3	104
O _M	39.92	58.74	27.99	65.07	25
Y _M	81.26	-2.89	71.56	71.62	92
L _M	52.23	-42.42	13.6	44.55	162
V _M	30.57	1.41	-46.47	46.49	272

Daten für Maximalfarbe (Ma):

$LAB^*LAB^*Ma: 53 -65 21$

$LAB^*LCH^*Ma: 53 69 162$

$lab^*olv^*Ma: 0.0 1.0 0.0$

$lab^*rgb^*Ma: 0.0 1.0 0.0$

Dreiecks-Helligkeit i^*

%Umfang

$u^*_{rel} = 89$

%Regularität

$g^*_{H,rel} = 72$

$g^*_{C,rel} = 57$

ORS19_96a; adaptierte CIELAB-Daten

u^*_d	$L^*=L^*_a$	a^*_a	b^*_a	$C^*_{ab,a}$	$h^*_{ab,a}$	u^*_e
o00y	48.75	65.07	39.43	76.08	31	r08j
o25y	59.04	46.67	51.1	69.21	48	r33j
o50y	68.32	30.09	61.62	68.58	64	r57j
o75y	78.23	12.39	72.85	73.9	80	r81j
y00l	90.92	-10.29	87.24	87.85	97	j06g
y25l	78.57	-28.11	65.75	71.51	113	j29g
y50l	69.46	-41.25	49.92	64.75	130	j53g
y75l	61.32	-52.99	35.76	63.92	146	j76g
l00c	52.69	-65.44	20.75	68.65	162	g00b
l50c	56.55	-45.12	-16.57	48.07	200	g34b
c00v	59.61	-28.98	-46.22	54.56	238	g69b
c50v	43.33	-1.54	-45.13	45.16	268	g96b
v00m	28.39	23.63	-44.13	50.06	298	b23r
v50m	36.9	43.84	-30.24	53.26	325	b47r
m00o	49.58	73.93	-9.56	74.55	353	b71r
m50o	49.17	69.55	14.68	71.08	12	b88r

LAB^*LAB^*

$i^*=1.00$

$i^*=0.80$

Brillantheit i^*

$i^*=0.60$

$i^*=0.40$

$i^*=0.20$

relative Buntheit c^*

relative Buntheit c^*

Ein und Ausgabe: Farbmimetrisches Drucker-Reflektiv-System ORS19_96a für relativen CIELAB-Buntton $h^* = \text{lab}^*h^* = h_{ab}/360 = 0.556$

Daten für jede Farbe:

lab^*ch^* und lab^*icu^*

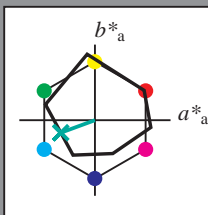
Bunttontexte:

$u^*_d = 150c$ $u^*_e = g34b$

Kontrastreduzierungsfaktor:

$c_R = 1.0$

Dreiecks-Helligkeit t^*



ORS19_96; CIELAB-Daten						
u^*_d	$L^*=L^*$	a^*	b^*	C^*_{ab}	h^*_{ab}	
O _M	48.75	65.16	40.76	76.86	32	
Y _M	90.92	-10.78	89.36	90.01	97	
L _M	52.69	-65.4	22.15	69.05	161	
C _M	59.61	-29.04	-44.69	53.3	237	
V _M	28.39	24.0	-43.18	49.4	299	
M _M	49.58	74.01	-8.22	74.47	354	
N _M	18.89	0.5	0.77	0.92	57	
W _M	96.9	-0.57	2.23	2.3	104	
O _M	39.92	58.74	27.99	65.07	25	
Y _M	81.26	-2.89	71.56	71.62	92	
L _M	52.23	-42.42	13.6	44.55	162	
V _M	30.57	1.41	-46.47	46.49	272	

Daten für Maximalfarbe (Ma):

$\text{LAB}^*\text{LAB}^*_{\text{Ma}}: 57 -45 -17$

$\text{LAB}^*\text{LCH}^*_{\text{Ma}}: 57 48 200$

$\text{lab}^*\text{olv}^*_{\text{Ma}}: 0.0 1.0 0.5$

$\text{lab}^*\text{rgb}^*_{\text{Ma}}: 0.0 1.0 0.69$

Dreiecks-Helligkeit t^*

%Umfang

$u^*_{\text{rel}} = 89$

%Regularität

$g^*_{H,\text{rel}} = 72$

$g^*_{C,\text{rel}} = 57$

ORS19_96a; adaptierte CIELAB-Daten									
u^*_d	$L^*=L^*_a$	a^*_a	b^*_a	$C^*_{ab,a}$	$h^*_{ab,a}$	u^*_e			
o00y	48.75	65.07	39.43	76.08	31	r08j			
o25y	59.04	46.67	51.1	69.21	48	r33j			
o50y	68.32	30.09	61.62	68.58	64	r57j			
o75y	78.23	12.39	72.85	73.9	80	r81j			
y00l	90.92	-10.29	87.24	87.85	97	j06g			
y25l	78.57	-28.11	65.75	71.51	113	j29g			
y50l	69.46	-41.25	49.92	64.75	130	j53g			
y75l	61.32	-52.99	35.76	63.92	146	j76g			
l00c	52.69	-65.44	20.75	68.65	162	g00b			
l50c	56.55	-45.12	-16.57	48.07	200	g34b			
c00v	59.61	-28.98	-46.22	54.56	238	g69b			
c50v	43.33	-1.54	-45.13	45.16	268	g96b			
v00m	28.39	23.63	-44.13	50.06	298	b23r			
v50m	36.9	43.84	-30.24	53.26	325	b47r			
m00o	49.58	73.93	-9.56	74.55	353	b71r			
m50o	49.17	69.55	14.68	71.08	12	b88r			

LAB^*LAB^*

$i^* = 1.00$

Brillantheit i^*

$i^* = 0.80$

$i^* = 0.60$

$i^* = 0.40$

$i^* = 0.20$

$i^* = 0.00$

Ein und Ausgabe: Farbmimetrisches Drucker-Reflektiv-System ORS19_96a für relativen CIELAB-Buntton $h^* = \text{lab}^*h^* = h_{ab}/360 = 0.661$

Daten für jede Farbe:

lab^*tch^* und lab^*icu^*

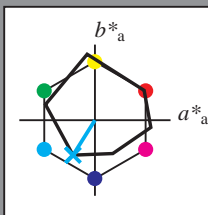
Bunttontexte:

$u^*_d = c00v$ $u^*_e = g69b$

Kontrastreduzierungsfaktor:

$c_R = 1.0$

Dreiecks-Helligkeit t^*



ORS19_96; CIELAB-Daten						
u^*_d	$L^*=L^*$	a^*	b^*	C^*_{ab}	h^*_{ab}	
O _M	48.75	65.16	40.76	76.86	32	
Y _M	90.92	-10.78	89.36	90.01	97	
L _M	52.69	-65.4	22.15	69.05	161	
C _M	59.61	-29.04	-44.69	53.3	237	
V _M	28.39	24.0	-43.18	49.4	299	
M _M	49.58	74.01	-8.22	74.47	354	
N _M	18.89	0.5	0.77	0.92	57	
W _M	96.9	-0.57	2.23	2.3	104	
O _M	39.92	58.74	27.99	65.07	25	
Y _M	81.26	-2.89	71.56	71.62	92	
L _M	52.23	-42.42	13.6	44.55	162	
V _M	30.57	1.41	-46.47	46.49	272	

Daten für Maximalfarbe (Ma):

$\text{LAB}^*\text{LAB}^*_{\text{Ma}}$: 60 -29 -46

$\text{LAB}^*\text{LCH}^*_{\text{Ma}}$: 60 55 237

$\text{lab}^*\text{olv}^*_{\text{Ma}}$: 0.0 1.0 1.0

$\text{lab}^*\text{rgb}^*_{\text{Ma}}$: 0.0 0.62 1.0

Dreiecks-Helligkeit t^*

%Umfang

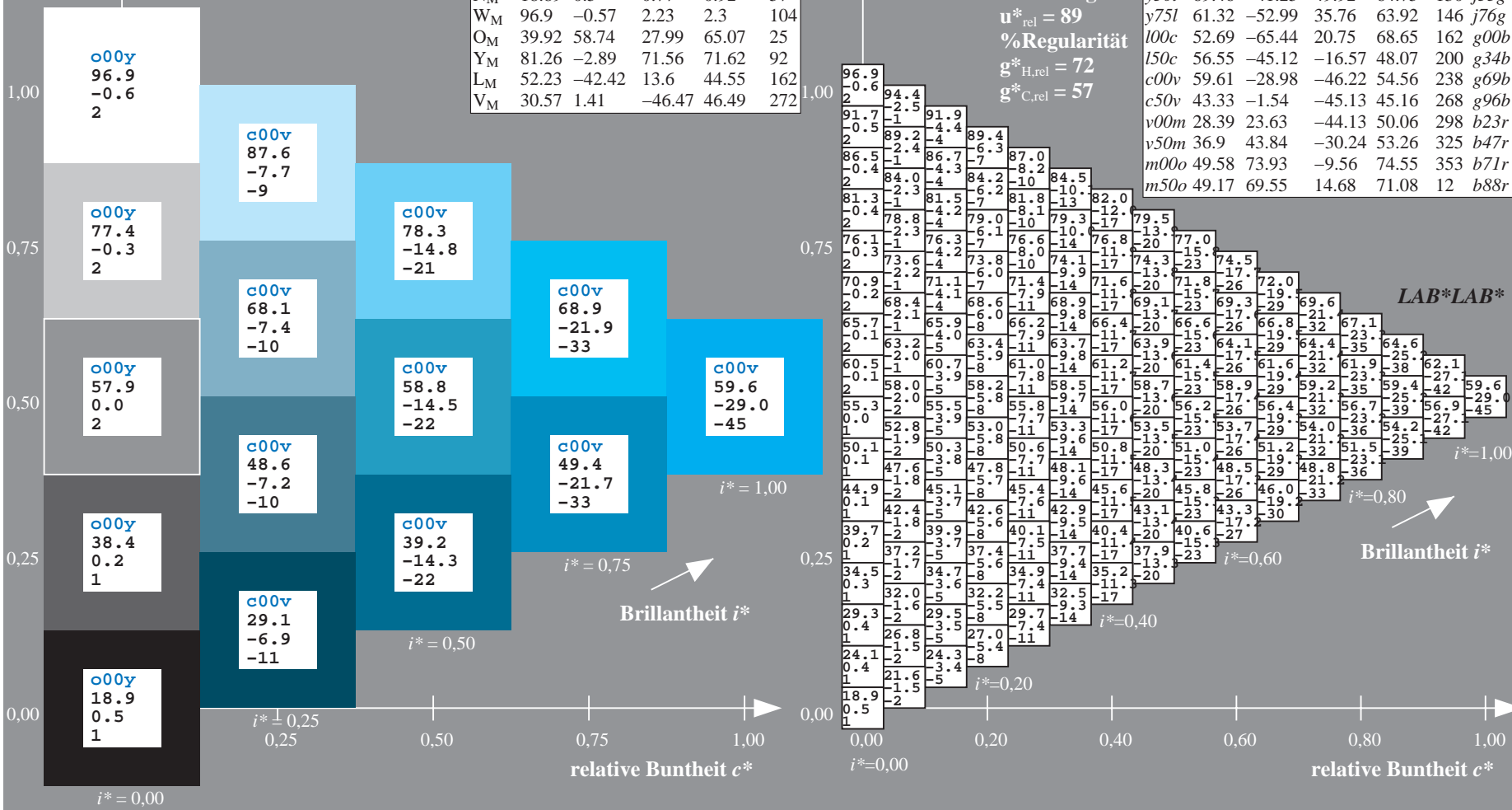
$u^*_{\text{rel}} = 89$

%Regularität

$g^*_{H,\text{rel}} = 72$

$g^*_{C,\text{rel}} = 57$

ORS19_96a; adaptierte CIELAB-Daten									
u^*_d	$L^*=L^*_a$	a^*_a	b^*_a	$C^*_{ab,a}$	$h^*_{ab,a}$	u^*_e			
o00y	48.75	65.07	39.43	76.08	31	r08j			
o25y	59.04	46.67	51.1	69.21	48	r33j			
o50y	68.32	30.09	61.62	68.58	64	r57j			
o75y	78.23	12.39	72.85	73.9	80	r81j			
y00l	90.92	-10.29	87.24	87.85	97	j06g			
y25l	78.57	-28.11	65.75	71.51	113	j29g			
y50l	69.46	-41.25	49.92	64.75	130	j53g			
y75l	61.32	-52.99	35.76	63.92	146	j76g			
l00c	52.69	-65.44	20.75	68.65	162	g00b			
l50c	56.55	-45.12	-16.57	48.07	200	g34b			
c00v	59.61	-28.98	-46.22	54.56	238	g69b			
c50v	43.33	-1.54	-45.13	45.16	268	g96b			
v00m	28.39	23.63	-44.13	50.06	298	b23r			
v50m	36.9	43.84	-30.24	53.26	325	b47r			
m00o	49.58	73.93	-9.56	74.55	353	b71r			
m50o	49.17	69.55	14.68	71.08	12	b88r			



Ein und Ausgabe: Farbmimetrisches Drucker-Reflektiv-System ORS19_96a für relativen CIELAB-Buntton $h^* = lab^*h^* = h_{ab}/360 = 0.745$

Daten für jede Farbe:

lab^*ch^* und lab^*icu^*

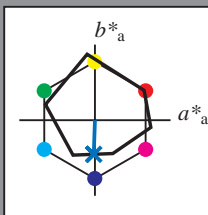
Bunttontexte:

$u^*_d = c50v$ $u^*_e = g96b$

Kontrastreduzierungsfaktor:

$c_R = 1.0$

Dreiecks-Helligkeit i^*



ORS19_96; CIELAB-Daten						
u^*_d	$L^*=L^*_a$	a^*	b^*	C^*_{ab}	h^*_{ab}	
O _M	48.75	65.16	40.76	76.86	32	
Y _M	90.92	-10.78	89.36	90.01	97	
L _M	52.69	-65.4	22.15	69.05	161	
C _M	59.61	-29.04	-44.69	53.3	237	
V _M	28.39	24.0	-43.18	49.4	299	
M _M	49.58	74.01	-8.22	74.47	354	
N _M	18.89	0.5	0.77	0.92	57	
W _M	96.9	-0.57	2.23	2.3	104	
O _M	39.92	58.74	27.99	65.07	25	
Y _M	81.26	-2.89	71.56	71.62	92	
L _M	52.23	-42.42	13.6	44.55	162	
V _M	30.57	1.41	-46.47	46.49	272	

Daten für Maximalfarbe (Ma):

LAB^*LAB^*Ma : 43 -2 -45

LAB^*LCH^*Ma : 43 45 268

lab^*olv^*Ma : 0.0 0.5 1.0

lab^*rgb^*Ma : 0.0 0.07 1.0

Dreiecks-Helligkeit i^*

%Umfang

$u^*_{rel} = 89$

%Regularität

$g^*_{H,rel} = 72$

$g^*_{C,rel} = 57$

ORS19_96a; adaptierte CIELAB-Daten									
u^*_d	$L^*=L^*_a$	a^*_a	b^*_a	$C^*_{ab,a}$	$h^*_{ab,a}$	u^*_e			
o00y	48.75	65.07	39.43	76.08	31	r08j			
o25y	59.04	46.67	51.1	69.21	48	r33j			
o50y	68.32	30.09	61.62	68.58	64	r57j			
o75y	78.23	12.39	72.85	73.9	80	r81j			
y00l	90.92	-10.29	87.24	87.85	97	j06g			
y25l	78.57	-28.11	65.75	71.51	113	j29g			
y50l	69.46	-41.25	49.92	64.75	130	j53g			
y75l	61.32	-52.99	35.76	63.92	146	j76g			
l00c	52.69	-65.44	20.75	68.65	162	g00b			
l50c	56.55	-45.12	-16.57	48.07	200	g34b			
c00v	59.61	-28.98	-46.22	54.56	238	g69b			
c50v	43.33	-1.54	-45.13	45.16	268	g96b			
v00m	28.39	23.63	-44.13	50.06	298	b23r			
v50m	36.9	43.84	-30.24	53.26	325	b47r			
m00o	49.58	73.93	-9.56	74.55	353	b71r			
m50o	49.17	69.55	14.68	71.08	12	b88r			

LAB^*LAB^*

$i^*=1.00$

Brillantheit i^*

$i^*=0.80$

$i^*=0.60$

$i^*=0.40$

$i^*=0.20$

$i^*=0.00$

relative Buntheit c^*

relative Buntheit c^*

Ein und Ausgabe: Farbmatisches Drucker-Reflektiv-System ORS19_96a für relativen CIELAB-Buntton $h^* = lab^*h^* = h_{ab}/360 = 0.828$

Daten für jede Farbe:

lab^*ch^* und lab^*icu^*

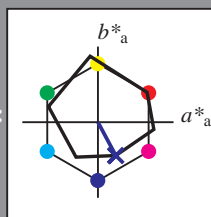
Bunttontexte:

$u^*_d = v00m$ $u^*_e = b23r$

Kontrastreduzierungsfaktor:

$c_R = 1.0$

Dreiecks-Helligkeit t^*



ORS19_96; CIELAB-Daten					
u^*_d	$L^*=L^*$	a^*	b^*	C^*_{ab}	h^*_{ab}
O _M	48.75	65.16	40.76	76.86	32
Y _M	90.92	-10.78	89.36	90.01	97
L _M	52.69	-65.4	22.15	69.05	161
C _M	59.61	-29.04	-44.69	53.3	237
V _M	28.39	24.0	-43.18	49.4	299
M _M	49.58	74.01	-8.22	74.47	354
N _M	18.89	0.5	0.77	0.92	57
W _M	96.9	-0.57	2.23	2.3	104
O _M	39.92	58.74	27.99	65.07	25
Y _M	81.26	-2.89	71.56	71.62	92
L _M	52.23	-42.42	13.6	44.55	162
V _M	30.57	1.41	-46.47	46.49	272

Daten für Maximalfarbe (Ma):

LAB^*LAB^*Ma : 28 24 -44

LAB^*LCH^*Ma : 28 50 298

lab^*olv^*Ma : 0.0 0.0 1.0

lab^*rgb^*Ma : 0.46 0.0 1.0

Dreiecks-Helligkeit t^*

%Umfang

$u^*_{rel} = 89$

%Regularität

$g^*_{H,rel} = 72$

$g^*_{C,rel} = 57$

ORS19_96a; adaptierte CIELAB-Daten									
u^*_d	$L^*=L^*$	a^*	b^*	$C^*_{ab,a}$	$h^*_{ab,a}$	u^*_e			
o00y	48.75	65.07	39.43	76.08	31	r08j			
o25y	59.04	46.67	51.1	69.21	48	r33j			
o50y	68.32	30.09	61.62	68.58	64	r57j			
o75y	78.23	12.39	72.85	73.9	80	r81j			
y00l	90.92	-10.29	87.24	87.85	97	j06g			
y25l	78.57	-28.11	65.75	71.51	113	j29g			
y50l	69.46	-41.25	49.92	64.75	130	j53g			
y75l	61.32	-52.99	35.76	63.92	146	j76g			
l00c	52.69	-65.44	20.75	68.65	162	g00b			
l50c	56.55	-45.12	-16.57	48.07	200	g34b			
c00v	59.61	-28.98	-46.22	54.56	238	g69b			
c50v	43.33	-1.54	-45.13	45.16	268	g96b			
v00m	28.39	23.63	-44.13	50.06	298	b23r			
v50m	36.9	43.84	-30.24	53.26	325	b47r			
m00o	49.58	73.93	-9.56	74.55	353	b71r			
m50o	49.17	69.55	14.68	71.08	12	b88r			

LAB^*LAB^*

$i^*=1.00$

Brillantheit i^*

$i^*=0.80$

$i^*=0.60$

$i^*=0.40$

$i^*=0.20$

$i^*=0.00$

Ein und Ausgabe: Farbmimetrisches Drucker-Reflektiv-System ORS19_96a für relativen CIELAB-Buntton $h^* = lab^*h^* = h_{ab}/360 = 0.904$

Daten für jede Farbe:

lab^*ch^* und lab^*icu^*

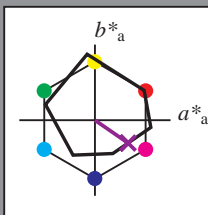
Bunttontexte:

$u^*_d = v50m$ $u^*_e = b47r$

Kontrastreduzierungsfaktor:

$c_R = 1.0$

Dreiecks-Helligkeit t^*



ORS19_96; CIELAB-Daten						
u^*_d	$L^*=L^*_a$	a^*	b^*	C^*_{ab}	h^*_{ab}	
O _M	48.75	65.16	40.76	76.86	32	
Y _M	90.92	-10.78	89.36	90.01	97	
L _M	52.69	-65.4	22.15	69.05	161	
C _M	59.61	-29.04	-44.69	53.3	237	
V _M	28.39	24.0	-43.18	49.4	299	
M _M	49.58	74.01	-8.22	74.47	354	
N _M	18.89	0.5	0.77	0.92	57	
W _M	96.9	-0.57	2.23	2.3	104	
O _M	39.92	58.74	27.99	65.07	25	
Y _M	81.26	-2.89	71.56	71.62	92	
L _M	52.23	-42.42	13.6	44.55	162	
V _M	30.57	1.41	-46.47	46.49	272	

Daten für Maximalfarbe (Ma):

LAB^*LAB^*Ma : 37 44 -30

LAB^*LCH^*Ma : 37 53 325

lab^*olv^*Ma : 0.5 0.0 1.0

lab^*rgb^*Ma : 0.94 0.0 1.0

Dreiecks-Helligkeit t^*

%Umfang

$u^*_{rel} = 89$

%Regularität

$g^*_{H,rel} = 72$

$g^*_{C,rel} = 57$

ORS19_96a; adaptierte CIELAB-Daten									
u^*_d	$L^*=L^*_a$	a^*_a	b^*_a	$C^*_{ab,a}$	$h^*_{ab,a}$	u^*_e			
o00y	48.75	65.07	39.43	76.08	31	r08j			
o25y	59.04	46.67	51.1	69.21	48	r33j			
o50y	68.32	30.09	61.62	68.58	64	r57j			
o75y	78.23	12.39	72.85	73.9	80	r81j			
y00l	90.92	-10.29	87.24	87.85	97	j06g			
y25l	78.57	-28.11	65.75	71.51	113	j29g			
y50l	69.46	-41.25	49.92	64.75	130	j53g			
y75l	61.32	-52.99	35.76	63.92	146	j76g			
l00c	52.69	-65.44	20.75	68.65	162	g00b			
l50c	56.55	-45.12	-16.57	48.07	200	g34b			
c00v	59.61	-28.98	-46.22	54.56	238	g69b			
c50v	43.33	-1.54	-45.13	45.16	268	g96b			
v00m	28.39	23.63	-44.13	50.06	298	b23r			
v50m	36.9	43.84	-30.24	53.26	325	b47r			
m00o	49.58	73.93	-9.56	74.55	353	b71r			
m50o	49.17	69.55	14.68	71.08	12	b88r			

LAB^*LAB^*

$i^*=1.00$

Brillantheit i^*

$i^*=0.80$

$i^*=0.60$

$i^*=0.40$

$i^*=0.20$

Ein und Ausgabe: Farbmimetrisches Drucker-Reflektiv-System ORS19_96a für relativen CIELAB-Buntton $h^* = \text{lab}^*h^* = h_{ab}/360 = 0.98$

Daten für jede Farbe:

lab^*tch^* und lab^*icu^*

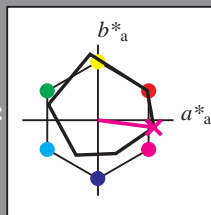
Bunttontexte:

$u^*_d = m00o$ $u^*_e = b71r$

Kontrastreduzierungsfaktor:

$c_R = 1.0$

Dreiecks-Helligkeit t^*



ORS19_96; CIELAB-Daten						
u^*_d	$L^*=L^*$	a^*	b^*	C^*_{ab}	h^*_{ab}	
O _M	48.75	65.16	40.76	76.86	32	
Y _M	90.92	-10.78	89.36	90.01	97	
L _M	52.69	-65.4	22.15	69.05	161	
C _M	59.61	-29.04	-44.69	53.3	237	
V _M	28.39	24.0	-43.18	49.4	299	
M _M	49.58	74.01	-8.22	74.47	354	
N _M	18.89	0.5	0.77	0.92	57	
W _M	96.9	-0.57	2.23	2.3	104	
O _M	39.92	58.74	27.99	65.07	25	
Y _M	81.26	-2.89	71.56	71.62	92	
L _M	52.23	-42.42	13.6	44.55	162	
V _M	30.57	1.41	-46.47	46.49	272	

Daten für Maximalfarbe (Ma):

$\text{LAB}^*\text{LAB}^*_{\text{Ma}}: 50 \ 74 \ -10$

$\text{LAB}^*\text{LCH}^*_{\text{Ma}}: 50 \ 75 \ 352$

$\text{lab}^*\text{olv}^*_{\text{Ma}}: 1.0 \ 0.0 \ 1.0$

$\text{lab}^*\text{rgb}^*_{\text{Ma}}: 1.0 \ 0.0 \ 0.58$

Dreiecks-Helligkeit t^*

%Umfang

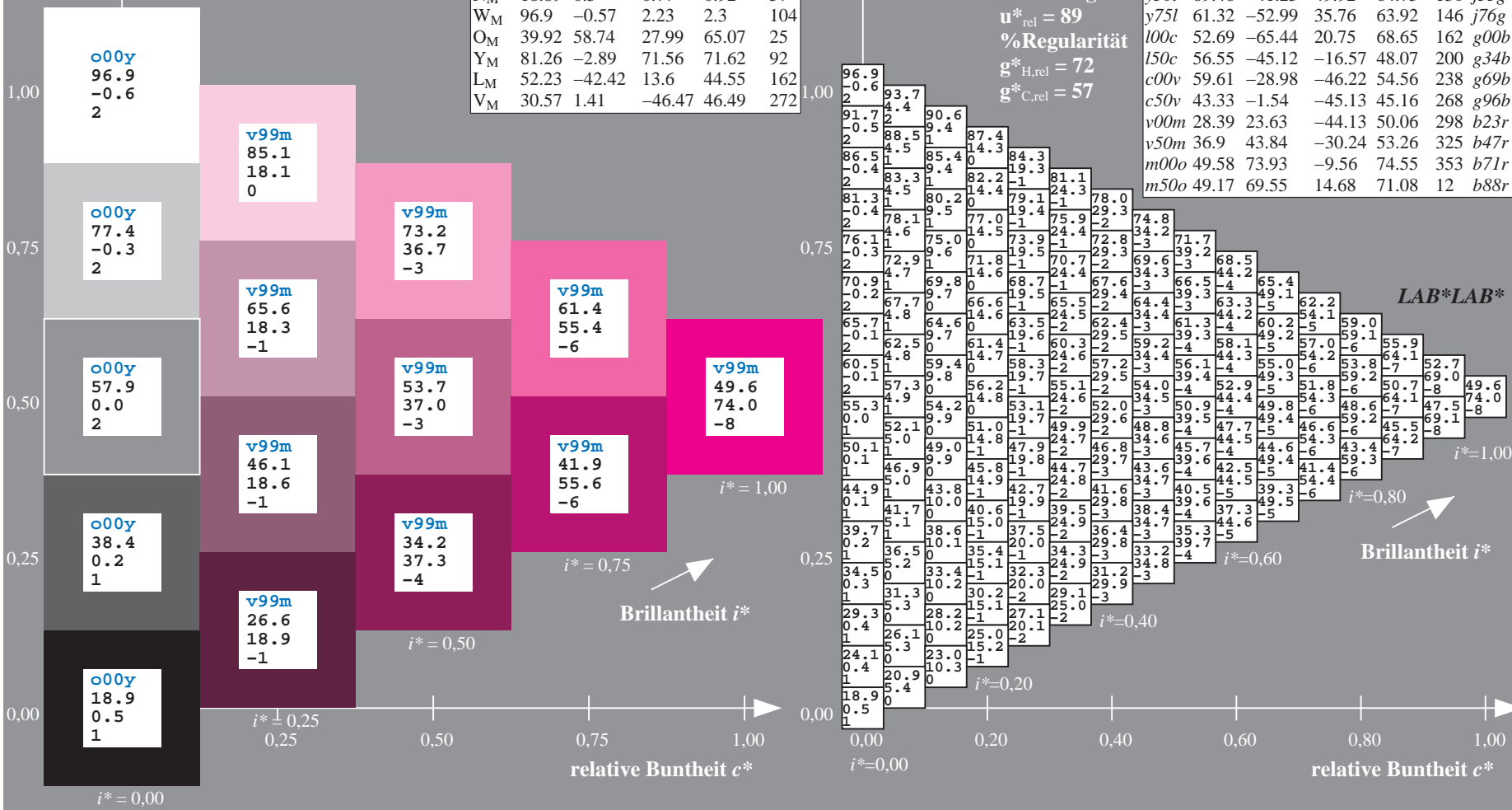
$u^*_{\text{rel}} = 89$

%Regularität

$g^*_{H,\text{rel}} = 72$

$g^*_{C,\text{rel}} = 57$

ORS19_96a; adaptierte CIELAB-Daten										
u^*_d	$L^*=L^*_a$	a^*_a	b^*_a	$C^*_{ab,a}$	$h^*_{ab,a}$	u^*_e				
o00y	48.75	65.07	39.43	76.08	31	r08j				
o25y	59.04	46.67	51.1	69.21	48	r33j				
o50y	68.32	30.09	61.62	68.58	64	r57j				
o75y	78.23	12.39	72.85	73.9	80	r81j				
y00l	90.92	-10.29	87.24	87.85	97	j06g				
y25l	78.57	-28.11	65.75	71.51	113	j29g				
y50l	69.46	-41.25	49.92	64.75	130	j53g				
y75l	61.32	-52.99	35.76	63.92	146	j76g				
l00c	52.69	-65.44	20.75	68.65	162	g00b				
l50c	56.55	-45.12	-16.57	48.07	200	g34b				
c00v	59.61	-28.98	-46.22	54.56	238	g69b				
c50v	43.33	-1.54	-45.13	45.16	268	g96b				
v00m	28.39	23.63	-44.13	50.06	298	b23r				
v50m	36.9	43.84	-30.24	53.26	325	b47r				
m00o	49.58	73.93	-9.56	74.55	353	b71r				
m50o	49.17	69.55	14.68	71.08	12	b88r				



Ein und Ausgabe: Farbmimetrisches Drucker-Reflektiv-System ORS19_96a für relativen CIELAB-Buntton $h^* = lab^*h^* = h_{ab}/360 = 0.033$

Daten für jede Farbe:

lab^*ch^* und lab^*icu^*

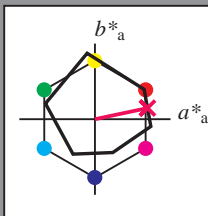
Bunttontexte:

$u^*_d = m50o$ $u^*_e = b88r$

Kontrastreduzierungsfaktor:

$c_R = 1.0$

Dreiecks-Helligkeit i^*



ORS19_96; CIELAB-Daten						
u^*_d	$L^*=L^*$	a^*	b^*	C^*_{ab}	h^*_{ab}	
O _M	48.75	65.16	40.76	76.86	32	
Y _M	90.92	-10.78	89.36	90.01	97	
L _M	52.69	-65.4	22.15	69.05	161	
C _M	59.61	-29.04	-44.69	53.3	237	
V _M	28.39	24.0	-43.18	49.4	299	
M _M	49.58	74.01	-8.22	74.47	354	
N _M	18.89	0.5	0.77	0.92	57	
W _M	96.9	-0.57	2.23	2.3	104	
O _M	39.92	58.74	27.99	65.07	25	
Y _M	81.26	-2.89	71.56	71.62	92	
L _M	52.23	-42.42	13.6	44.55	162	
V _M	30.57	1.41	-46.47	46.49	272	

Daten für Maximalfarbe (Ma):

LAB^*LAB^*Ma : 49 70 15

LAB^*LCH^*Ma : 49 71 11

lab^*olv^*Ma : 1.0 0.0 0.5

lab^*rgb^*Ma : 1.0 0.0 0.24

Dreiecks-Helligkeit i^*

%Umfang

$u^*_{rel} = 89$

%Regularität

$g^*_{H,rel} = 72$

$g^*_{C,rel} = 57$

ORS19_96a; adaptierte CIELAB-Daten									
u^*_d	$L^*=L^*$	a^*	b^*	$C^*_{ab,a}$	$h^*_{ab,a}$	u^*_e			
o00y	48.75	65.07	39.43	76.08	31	r08j			
o25y	59.04	46.67	51.1	69.21	48	r33j			
o50y	68.32	30.09	61.62	68.58	64	r57j			
o75y	78.23	12.39	72.85	73.9	80	r81j			
y00l	90.92	-10.29	87.24	87.85	97	j06g			
y25l	78.57	-28.11	65.75	71.51	113	j29g			
y50l	69.46	-41.25	49.92	64.75	130	j53g			
y75l	61.32	-52.99	35.76	63.92	146	j76g			
l00c	52.69	-65.44	20.75	68.65	162	g00b			
l50c	56.55	-45.12	-16.57	48.07	200	g34b			
c00v	59.61	-28.98	-46.22	54.56	238	g69b			
c50v	43.33	-1.54	-45.13	45.16	268	g96b			
v00m	28.39	23.63	-44.13	50.06	298	b23r			
v50m	36.9	43.84	-30.24	53.26	325	b47r			
m00o	49.58	73.93	-9.56	74.55	353	b71r			
m50o	49.17	69.55	14.68	71.08	12	b88r			

LAB^*LAB^*

$i^* = 1.00$

Brillantheit i^*

$i^* = 0.80$

$i^* = 0.60$

$i^* = 0.40$

$i^* = 0.20$

relative Buntheit c^*

relative Buntheit c^*

Siehe ähnliche Dateien: <http://www.ps.bam.de/Eg42/>; www.ps.bam.de/Eg42/10L/L42G00NA.PS/.TXT BAM-Material: Code=th4ta
Technische Information: <http://www.ps.bam.de/Version 2.1, io=1.1, ColSp=1>

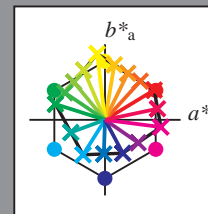
BAM-Registrierung: 20081001-Eg42/10L/L42G00NA.PS/.TXT BAM-Material: Code=th4ta
Anwendung für Beurteilung und Messung von Drucker- oder Monitorsystemen

	A	B	C	D	E	F	G	H	I	J	K	L	M	N	O	P	Q	R	S	T	U	V	W	X	Y	Z	a	b	c	d	e	f	g	h	i	j	k	LAB*	LAB*																																																																																																																																																																																																																																																																																																																																																																																																																																																																																																																																																																																																																																																																																																																																																																																																																																																																																																																										
01	18.9	23.1	27.3	31.6	35.8	40.0	44.2	48.5	52.7	56.9	61.1	65.3	69.5	73.7	77.9	82.1	86.3	90.5	94.7	98.9	103.1	107.3	111.5	115.7	119.9	124.1	128.3	132.5	136.7	140.9	145.1	149.3	153.5	157.7	161.9	166.1	170.3	174.5	178.7	182.9	187.1	191.3	195.5	199.7	203.9	208.1	212.3	216.5	220.7	224.9	229.1	233.3	237.5	241.7	245.9	250.1	254.3	258.5	262.7	266.9	271.1	275.3	279.5	283.7	287.9	292.1	296.3	300.5	304.7	308.9	313.1	317.3	321.5	325.7	329.9	334.1	338.3	342.5	346.7	350.9	355.1	359.3	363.5	367.7	371.9	376.1	380.3	384.5	388.7	392.9	397.1	401.3	405.5	409.7	413.9	418.1	422.3	426.5	430.7	434.9	439.1	443.3	447.5	451.7	455.9	460.1	464.3	468.5	472.7	476.9	481.1	485.3	489.5	493.7	497.9	502.1	506.3	510.5	514.7	518.9	523.1	527.3	531.5	535.7	539.9	544.1	548.3	552.5	556.7	560.9	565.1	569.3	573.5	577.7	581.9	586.1	590.3	594.5	598.7	602.9	607.1	611.3	615.5	619.7	623.9	628.1	632.3	636.5	640.7	644.9	649.1	653.3	657.5	661.7	665.9	670.1	674.3	678.5	682.7	686.9	691.1	695.3	699.5	703.7	707.9	712.1	716.3	720.5	724.7	728.9	733.1	737.3	741.5	745.7	749.9	754.1	758.3	762.5	766.7	770.9	775.1	779.3	783.5	787.7	791.9	796.1	800.3	804.5	808.7	812.9	817.1	821.3	825.5	829.7	833.9	838.1	842.3	846.5	850.7	854.9	859.1	863.3	867.5	871.7	875.9	880.1	884.3	888.5	892.7	896.9	901.1	905.3	909.5	913.7	917.9	922.1	926.3	930.5	934.7	938.9	943.1	947.3	951.5	955.7	959.9	964.1	968.3	972.5	976.7	980.9	985.1	989.3	993.5	997.7	1001.9	1006.1	1010.3	1014.5	1018.7	1022.9	1027.1	1031.3	1035.5	1039.7	1043.9	1048.1	1052.3	1056.5	1060.7	1064.9	1069.1	1073.3	1077.5	1081.7	1085.9	1090.1	1094.3	1098.5	1102.7	1106.9	1111.1	1115.3	1119.5	1123.7	1127.9	1132.1	1136.3	1140.5	1144.7	1148.9	1153.1	1157.3	1161.5	1165.7	1169.9	1174.1	1178.3	1182.5	1186.7	1190.9	1195.1	1199.3	1203.5	1207.7	1211.9	1216.1	1220.3	1224.5	1228.7	1232.9	1237.1	1241.3	1245.5	1249.7	1253.9	1258.1	1262.3	1266.5	1270.7	1274.9	1279.1	1283.3	1287.5	1291.7	1295.9	1300.1	1304.3	1308.5	1312.7	1316.9	1321.1	1325.3	1329.5	1333.7	1337.9	1342.1	1346.3	1350.5	1354.7	1358.9	1363.1	1367.3	1371.5	1375.7	1379.9	1384.1	1388.3	1392.5	1396.7	1400.9	1405.1	1409.3	1413.5	1417.7	1421.9	1426.1	1430.3	1434.5	1438.7	1442.9	1447.1	1451.3	1455.5	1459.7	1463.9	1468.1	1472.3	1476.5	1480.7	1484.9	1489.1	1493.3	1497.5	1501.7	1505.9	1510.1	1514.3	1518.5	1522.7	1526.9	1531.1	1535.3	1539.5	1543.7	1547.9	1552.1	1556.3	1560.5	1564.7	1568.9	1573.1	1577.3	1581.5	1585.7	1589.9	1594.1	1598.3	1602.5	1606.7	1610.9	1615.1	1619.3	1623.5	1627.7	1631.9	1636.1	1640.3	1644.5	1648.7	1652.9	1657.1	1661.3	1665.5	1669.7	1673.9	1678.1	1682.3	1686.5	1690.7	1694.9	1699.1	1703.3	1707.5	1711.7	1715.9	1720.1	1724.3	1728.5	1732.7	1736.9	1741.1	1745.3	1749.5	1753.7	1757.9	1762.1	1766.3	1770.5	1774.7	1778.9	1783.1	1787.3	1791.5	1795.7	1799.9	1804.1	1808.3	1812.5	1816.7	1820.9	1825.1	1829.3	1833.5	1837.7	1841.9	1846.1	1850.3	1854.5	1858.7	1862.9	1867.1	1871.3	1875.5	1879.7	1883.9	1888.1	1892.3	1896.5	1900.7	1904.9	1909.1	1913.3	1917.5	1921.7	1925.9	1930.1	1934.3	1938.5	1942.7	1946.9	1951.1	1955.3	1959.5	1963.7	1967.9	1972.1	1976.3	1980.5	1984.7	1988.9	1993.1	1997.3	2001.5	2005.7	2009.9	2014.1	2018.3	2022.5	2026.7	2030.9	2035.1	2039.3	2043.5	2047.7	2051.9	2056.1	2060.3	2064.5	2068.7	2072.9	2077.1	2081.3	2085.5	2089.7	2093.9	2098.1	2102.3	2106.5	2110.7	2114.9	2119.1	2123.3	2127.5	2131.7	2135.9	2140.1	2144.3	2148.5	2152.7	2156.9	2161.1	2165.3	2169.5	2173.7	2177.9	2182.1	2186.3	2190.5	2194.7	2198.9	2203.1	2207.3	2211.5	2215.7	2219.9	2224.1	2228.3	2232.5	2236.7	2240.9	2245.1	2249.3	2253.5	2257.7	2261.9	2266.1	2270.3	2274.5	2278.7	2282.9	2287.1	2291.3	2295.5	2299.7	2303.9	2308.1	2312.3	2316.5	2320.7	2324.9	2329.1	2333.3	2337.5	2341.7	2345.9	2350.1	2354.3	2358.5	2362.7	2366.9	2371.1	2375.3	2379.5	2383.7	2387.9	2392.1	2396.3	2400.5	2404.7	2408.9	2413.1	2417.3	2421.5	2425.7	2429.9	2434.1	2438.3	2442.5	2446.7	2450.9	2455.1	2459.3	2463.5	2467.7	2471.9	2476.1	2480.3	2484.5	2488.7	2492.9	2497.1	2501.3	2505.5	2509.7	2513.9	2518.1	2522.3	2526.5	2530.7	2534.9	2539.1	2543.3	2547.5	2551.7	2555.9	2560.1	2564.3	2568.5	2572.7	2576.9	2581.1	2585.3	2589.5	2593.7	2597.9	2602.1	2606.3	2610.5	2614.7	2618.9	2623.1	2627.3	2631.5	2635.7	2639.9	2644.1	2648.3	2652.5	2656.7	2660.9	2665.1	2669.3	2673.5	2677.7	2681.9	2686.1	2690.3	2694.5	2698.7	2702.9	2707.1	2711.3	2715.5	2719.7	2723.9	2728.1	2732.3	2736.5	2740.7	2744.9	2749.1	2753.3	2757.5	2761.7	2765.9	2770.1	2774.3	2778.5	2782.7	2786.9	2791.1	2795.3	2799.5	2803.7	2807.9	2812.1	2816.3	2820.5	2824.7	2828.9	2833.1	2837.3	2841.5	2845.7	2849.9	2854.1	2858.3	2862.5	2866.7	2870.9	2875.1	2879.3	2883.5	2887.7	2891.9	2896.1	2900.3	2904.5	2908.7	2912.9	2917.1	2921.3	2925.5	2929.7	2933.9	2938.1	2942.3	2946.5	2950.7	2954.9	2959.1	2963.3	2967.5	2971.7	2975.9	2980.1	2984.3	2988.5	2992.7	2996.9	3001.1	3005.3	3009.5	3013.7	3017.9	3022.1	3026.3	3030.5	3034.7	3038.9	3043.1	3047.3	3051.5	3055.7	3059.9	3064.1	3068.3	3072.5	3076.7	3080.9	3085.1	3089.3	3093.5	3097.7	3101.9	3106.1	3110.3	3114.5	3118.7	3122.9	3127.1	3131.3	3135.5	3139.7	3143.9	3148.1	3152.3	3156.5	3160.7	3164.9	3169.1	3173.3	3177.5	3181.7	3185.9	3190.1	3194.3	3198.5	3202.7	3206.9	3211.1	3215.3	3219.5	3223.7	3227.9	3232.1	3236.3	3240.5	3244.7	3248.9	3253.1	3257.3	3261.5	3265.7	3269.9	3274.1	3278.3	3282.5	3286.7	3290.9	3295.1	3299.3	3303.5	3307.7	3311.9	3316.1	3320.3	3324.5	3328.7	3332.9	3337.1	3341.3	3345.5	3349.7	3353.9	3358.1	3362.3	3366.5	3370.7	3374.9	3379.1	3383.3	3387.5	3391.7	3395.9	3400.1	3404.3	3408.5	3412.7	3416.9	3421.1	3425.3	3429.5	3433.7	3437.9	3442.1	3446.3	3450.5	3454.7	3458.9	3463.1	3467.3	3471.5	3475.7	3479.9	3484.1	3488.3	3492.5	3496.7	3500.9	3505.1	3509.3	3513.5	3517.7	3521.9	3526.1	3530.3	3534.5	3538.7	3542.9	3547.1	3551.3	3555.5	3559.7	3563.9	3568.1	3572.3	3576.5	3580.7	3584.9	3589.1	3593.3	3597.5	3601.7	3605.9	3610.1	3614.3	3618.5	3622.7	3626.9	3631.1	3635.3	3639.5	3643.7	3647.9	3652.1	3656.3	3660.5	3664.7	3668.9	3673.1	3677.3	3681.5	3685.7	3689.9	3694.1	3698.3	3702.5	3706.7	3710.9	3715.1	3719.3	3723.5	3727.7	3731.9	3736.1	3740.3	3744.5	3748.7	3752.9	3757.1	3761.3	3765.5	3769.7	3773.9	3778.1	3782.3	3786.5	3790.7	3794.9	3799.1	3803.3	3807.5	3811.7	3815.9	3820.1	3824.3	3828.5	3832.7	3836.9	3841.1	3845.3	3849.5	3853.7	3857.9	3862.1	3866.3	3870.5	3874.7	3878.9	3883.1	3887.3	3891.5	3895.7	3899.9	3904.1	3908.3	3912.5	391

Ein und Ausgabe:
Farbmetrisches Drucker-Reflektiv-System ORS19_96a
Daten für jede Farbe:
 u^*_d und Nummer $Nr.$ = 00 .. 15
Geräte-Bunttontext:
 u^*_d = 16 Bunttoene $o00y$, $o25y$, ..., $m50o$
Kontrastreduzierungsfaktor:
 $c_R = 1.0$

ORS19_96a; adaptierte CIELAB-Daten

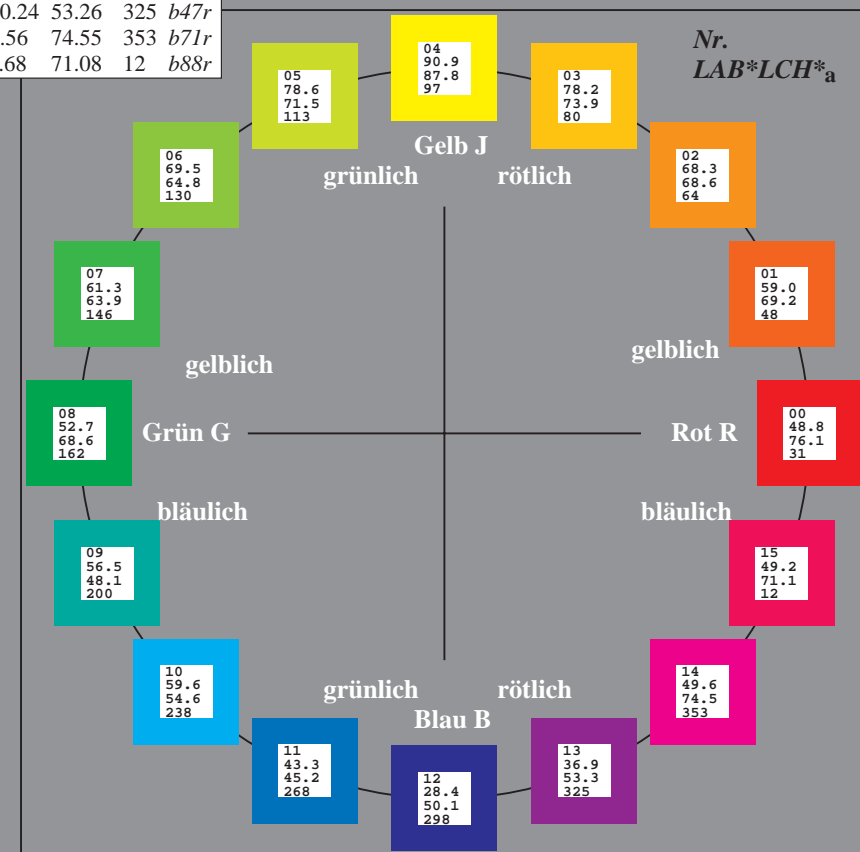
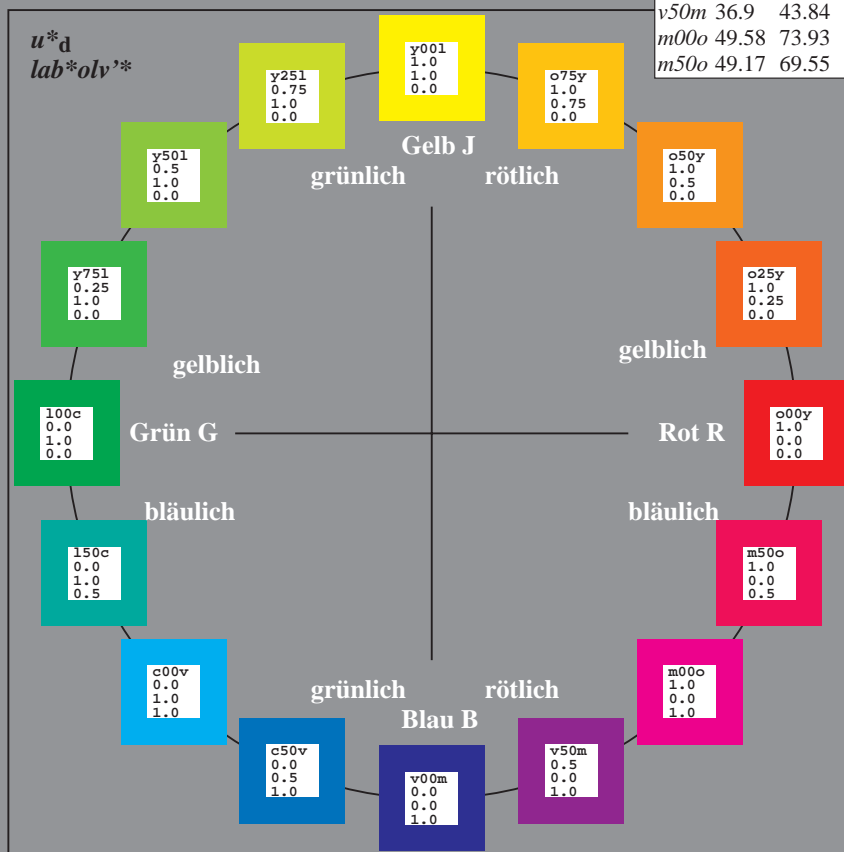
u^*_d	$L^*=L^*_a$	a^*_a	b^*_a	$C^*_{ab,a}$	$h^*_{ab,a}$	u^*_e
$o00y$	48.75	65.07	39.43	76.08	31	$r08j$
$o25y$	59.04	46.67	51.1	69.21	48	$r33j$
$o50y$	68.32	30.09	61.62	68.58	64	$r57j$
$o75y$	78.23	12.39	72.85	73.9	80	$r81j$
$y00l$	90.92	-10.29	87.24	87.85	97	$j06g$
$y25l$	78.57	-28.11	65.75	71.51	113	$j29g$
$y50l$	69.46	-41.25	49.92	64.75	130	$j53g$
$y75l$	61.32	-52.99	35.76	63.92	146	$j76g$
$l00c$	52.69	-65.44	20.75	68.65	162	$g00b$
$l50c$	56.55	-45.12	-16.57	48.07	200	$g34b$
$c00v$	59.61	-28.98	-46.22	54.56	238	$g69b$
$c50v$	43.33	-1.54	-45.13	45.16	268	$g96b$
$v00m$	28.39	23.63	-44.13	50.06	298	$b23r$
$v50m$	36.9	43.84	-30.24	53.26	325	$b47r$
$m00o$	49.58	73.93	-9.56	74.55	353	$b71r$
$m50o$	49.17	69.55	14.68	71.08	12	$b88r$



%Umfang
 $u^*_{rel} = 89$
%Regularität
 $g^*_{H,rel} = 72$
 $g^*_{C,rel} = 57$

ORS19_96a; CIELAB-Daten

Name	$L^*=L^*_a$	a^*_a	b^*_a	C^*_{ab}	h^*_{ab}
O_M	48.75	65.16	40.76	76.86	32
Y_M	90.92	-10.78	89.36	90.01	97
L_M	52.69	-65.4	22.15	69.05	161
C_M	59.61	-29.04	-44.69	53.3	237
V_M	28.39	24.0	-43.18	49.4	299
M_M	49.58	74.01	-8.22	74.47	354
N_M	18.89	0.5	0.77	0.92	57
W_M	96.9	-0.57	2.23	2.3	104
O_{CIE}	39.92	58.74	27.99	65.07	25
Y_{CIE}	81.26	-2.89	71.56	71.62	92
L_{CIE}	52.23	-42.42	13.6	44.55	162
V_{CIE}	30.57	1.41	-46.47	46.49	272



Ein und Ausgabe: Farbmimetrisches Drucker-Reflektiv-System ORS19_96a für relativen CIELAB-Buntton $h^* = lab^*h^* = h_{ab}/360 = 0.087$

Daten für jede Farbe:

lab^*tch^* und lab^*icu^*

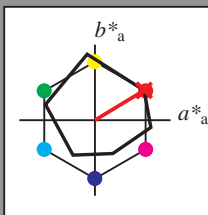
Bunttontexte:

$u^*_d = o00y$ $u^*_e = r08j$

Kontrastreduzierungsfaktor:

$c_R = 1.0$

Dreiecks-Helligkeit t^*



ORS19_96a; CIELAB-Daten						
u^*_d	$L^*=L^*_a$	a^*	b^*	C^*_{ab}	h^*_{ab}	
O _M	48.75	65.16	40.76	76.86	32	
Y _M	90.92	-10.78	89.36	90.01	97	
L _M	52.69	-65.4	22.15	69.05	161	
C _M	59.61	-29.04	-44.69	53.3	237	
V _M	28.39	24.0	-43.18	49.4	299	
M _M	49.58	74.01	-8.22	74.47	354	
N _M	18.89	0.5	0.77	0.92	57	
W _M	96.9	-0.57	2.23	2.3	104	
O _M	39.92	58.74	27.99	65.07	25	
Y _M	81.26	-2.89	71.56	71.62	92	
L _M	52.23	-42.42	13.6	44.55	162	
V _M	30.57	1.41	-46.47	46.49	272	

Daten für Maximalfarbe (Ma):

$LAB^*LAB^*_{Ma}$: 49 65 39

$LAB^*LCH^*_{Ma}$: 49 76 31

$lab^*olv^*_{Ma}$: 1.0 0.0 0.0

$lab^*rgb^*_{Ma}$: 1.0 0.09 0.0

Dreiecks-Helligkeit t^*

%Umfang

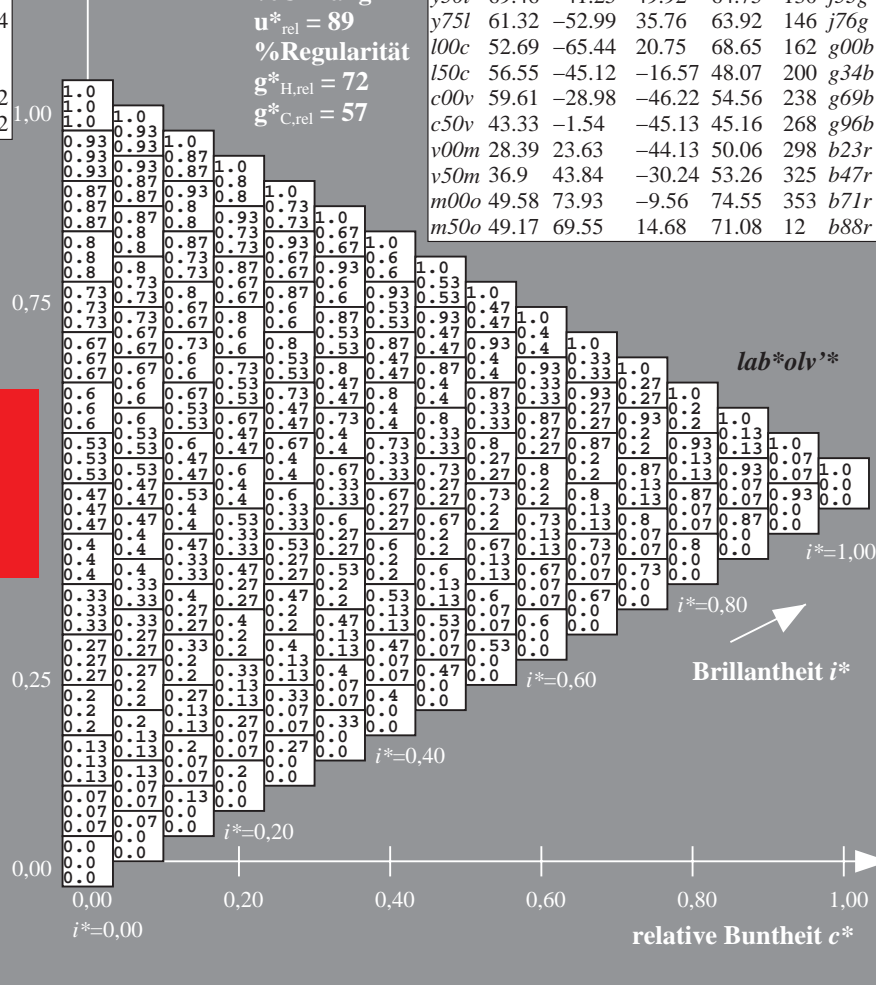
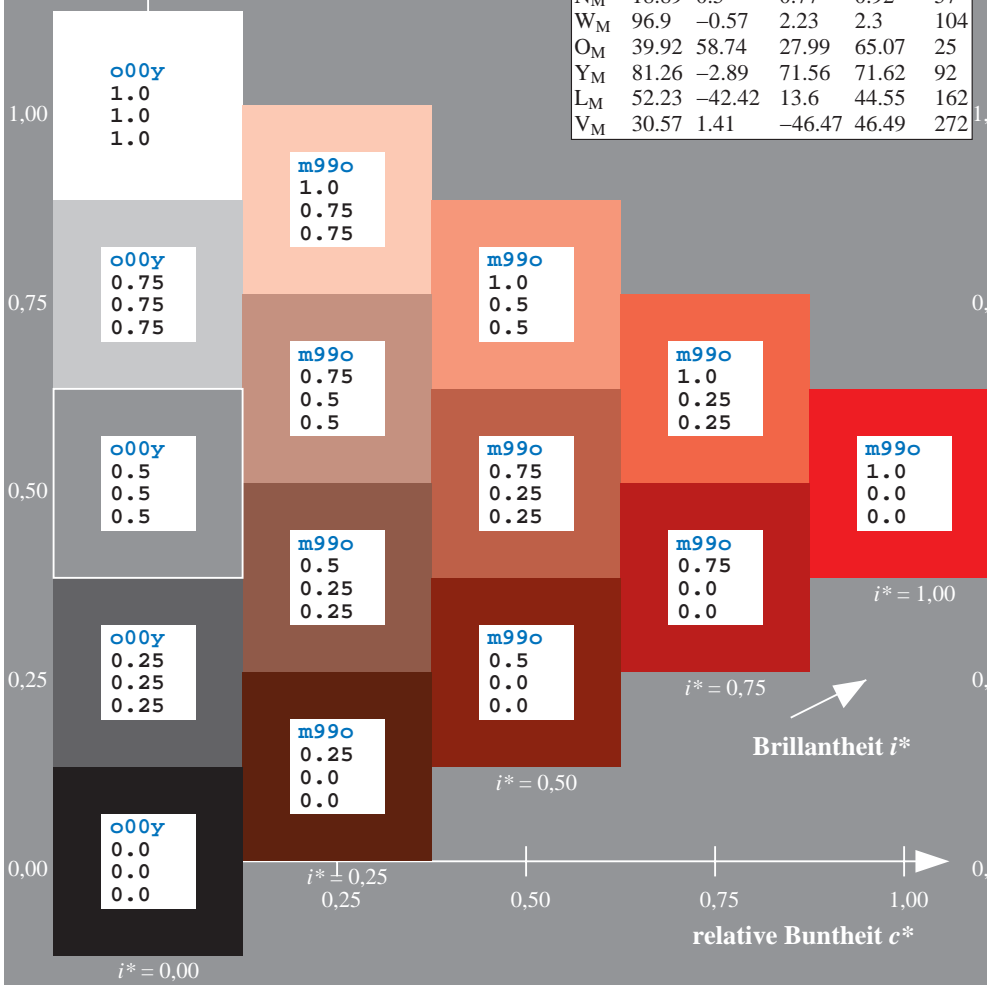
$u^*_{rel} = 89$

%Regularität

$g^*_{H,rel} = 72$

$g^*_{C,rel} = 57$

ORS19_96a; adaptierte CIELAB-Daten									
u^*_d	$L^*=L^*_a$	a^*_a	b^*_a	$C^*_{ab,a}$	$h^*_{ab,a}$	u^*_e			
$o00y$	48.75	65.07	39.43	76.08	31	$r08j$			
$o25y$	59.04	46.67	51.1	69.21	48	$r33j$			
$o50y$	68.32	30.09	61.62	68.58	64	$r57j$			
$o75y$	78.23	12.39	72.85	73.9	80	$r81j$			
$y00l$	90.92	-10.29	87.24	87.85	97	$j06g$			
$y25l$	78.57	-28.11	65.75	71.51	113	$j29g$			
$y50l$	69.46	-41.25	49.92	64.75	130	$j53g$			
$y75l$	61.32	-52.99	35.76	63.92	146	$j76g$			
$l00c$	52.69	-65.44	20.75	68.65	162	$g00b$			
$l50c$	56.55	-45.12	-16.57	48.07	200	$g34b$			
$c00v$	59.61	-28.98	-46.22	54.56	238	$g69b$			
$c50v$	43.33	-1.54	-45.13	45.16	268	$g96b$			
$v00m$	28.39	23.63	-44.13	50.06	298	$b23r$			
$v50m$	36.9	43.84	-30.24	53.26	325	$b47r$			
$m00o$	49.58	73.93	-9.56	74.55	353	$b71r$			
$m50o$	49.17	69.55	14.68	71.08	12	$b88r$			



Ein und Ausgabe: Farbmimetrisches Drucker-Reflektiv-System ORS19_96a für relativen CIELAB-Buntton $h^* = \text{lab}^*h^* = h_{ab}/360 = 0.132$

Daten für jede Farbe:

lab^*tch^* und lab^*icu^*

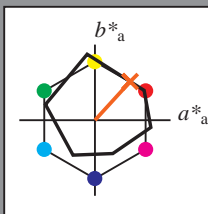
Bunttontexte:

$u^*_d = o25y$ $u^*_e = r33j$

Kontrastreduzierungsfaktor:

$c_R = 1.0$

Dreiecks-Helligkeit i^*



ORS19_96a; CIELAB-Daten

u^*_d	$L^*=L^*_a$	a^*	b^*	C^*_{ab}	h^*_{ab}
O_M	48.75	65.16	40.76	76.86	32
Y_M	90.92	-10.78	89.36	90.01	97
L_M	52.69	-65.4	22.15	69.05	161
C_M	59.61	-29.04	-44.69	53.3	237
V_M	28.39	24.0	-43.18	49.4	299
M_M	49.58	74.01	-8.22	74.47	354
N_M	18.89	0.5	0.77	0.92	57
W_M	96.9	-0.57	2.23	2.3	104
O_M	39.92	58.74	27.99	65.07	25
Y_M	81.26	-2.89	71.56	71.62	92
L_M	52.23	-42.42	13.6	44.55	162
V_M	30.57	1.41	-46.47	46.49	272

Daten für Maximalfarbe (Ma):

$\text{LAB}^*\text{LAB}^*_{Ma}: 59\ 47\ 51$

$\text{LAB}^*\text{LCH}^*_{Ma}: 59\ 69\ 47$

$\text{lab}^*\text{olv}^*_{Ma}: 1.0\ 0.25\ 0.0$

$\text{lab}^*\text{rgb}^*_{Ma}: 1.0\ 0.33\ 0.0$

Dreiecks-Helligkeit i^*

%Umfang

$u^*_{rel} = 89$

%Regularität

$g^*_{H,rel} = 72$

$g^*_{C,rel} = 57$

ORS19_96a; adaptierte CIELAB-Daten

u^*_d	$L^*=L^*_a$	a^*_a	b^*_a	$C^*_{ab,a}$	$h^*_{ab,a}$	u^*_e
$o00y$	48.75	65.07	39.43	76.08	31	$r08j$
$o25y$	59.04	46.67	51.1	69.21	48	$r33j$
$o50y$	68.32	30.09	61.62	68.58	64	$r57j$
$o75y$	78.23	12.39	72.85	73.9	80	$r81j$
$y00l$	90.92	-10.29	87.24	87.85	97	$j06g$
$y25l$	78.57	-28.11	65.75	71.51	113	$j29g$
$y50l$	69.46	-41.25	49.92	64.75	130	$j53g$
$y75l$	61.32	-52.99	35.76	63.92	146	$j76g$
$l00c$	52.69	-65.44	20.75	68.65	162	$g00b$
$l50c$	56.55	-45.12	-16.57	48.07	200	$g34b$
$c00v$	59.61	-28.98	-46.22	54.56	238	$g69b$
$c50v$	43.33	-1.54	-45.13	45.16	268	$g96b$
$v00m$	28.39	23.63	-44.13	50.06	298	$b23r$
$v50m$	36.9	43.84	-30.24	53.26	325	$b47r$
$m00o$	49.58	73.93	-9.56	74.55	353	$b71r$
$m50o$	49.17	69.55	14.68	71.08	12	$b88r$

lab^*olv^*

$i^* = 1.00$

Brillantheit i^*

$i^* = 0.80$

$i^* = 0.60$

$i^* = 0.40$

$i^* = 0.20$

$i^* = 0.00$

Ein und Ausgabe: Farbmetrisches Drucker-Reflektiv-System ORS19_96a für relativen CIELAB-Buntton $h^* = lab^*h^* = h_{ab}/360 = 0.178$

Daten für jede Farbe:

lab^*ch^* und lab^*icu^*

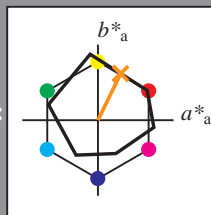
Bunttontexte:

$u^*_d = o50y$ $u^*_e = r57j$

Kontrastreduzierungsfaktor:

$c_R = 1.0$

Dreiecks-Helligkeit i^*



ORS19_96a; CIELAB-Daten

u^*_d	$L^*=L^*_a$	a^*	b^*	C^*_{ab}	h^*_{ab}
O _M	48.75	65.16	40.76	76.86	32
Y _M	90.92	-10.78	89.36	90.01	97
L _M	52.69	-65.4	22.15	69.05	161
C _M	59.61	-29.04	-44.69	53.3	237
V _M	28.39	24.0	-43.18	49.4	299
M _M	49.58	74.01	-8.22	74.47	354
N _M	18.89	0.5	0.77	0.92	57
W _M	96.9	-0.57	2.23	2.3	104
O _M	39.92	58.74	27.99	65.07	25
Y _M	81.26	-2.89	71.56	71.62	92
L _M	52.23	-42.42	13.6	44.55	162
V _M	30.57	1.41	-46.47	46.49	272

Daten für Maximalfarbe (Ma):

LAB^*LAB^*Ma : 68 30 62

LAB^*LCH^*Ma : 68 69 63

lab^*olv^*Ma : 1.0 0.5 0.0

lab^*rgb^*Ma : 1.0 0.58 0.0

Dreiecks-Helligkeit i^*

%Umfang

$u^*_{rel} = 89$

%Regularität

$g^*_{H,rel} = 72$

$g^*_{C,rel} = 57$

ORS19_96a; adaptierte CIELAB-Daten

u^*_d	$L^*=L^*_a$	a^*_a	b^*_a	$C^*_{ab,a}$	$h^*_{ab,a}$	u^*_e
o00y	48.75	65.07	39.43	76.08	31	r08j
o25y	59.04	46.67	51.1	69.21	48	r33j
o50y	68.32	30.09	61.62	68.58	64	r57j
o75y	78.23	12.39	72.85	73.9	80	r81j
y00l	90.92	-10.29	87.24	87.85	97	j06g
y25l	78.57	-28.11	65.75	71.51	113	j29g
y50l	69.46	-41.25	49.92	64.75	130	j53g
y75l	61.32	-52.99	35.76	63.92	146	j76g
l00c	52.69	-65.44	20.75	68.65	162	g00b
l50c	56.55	-45.12	-16.57	48.07	200	g34b
c00v	59.61	-28.98	-46.22	54.56	238	g69b
c50v	43.33	-1.54	-45.13	45.16	268	g96b
v00m	28.39	23.63	-44.13	50.06	298	b23r
v50m	36.9	43.84	-30.24	53.26	325	b47r
m00o	49.58	73.93	-9.56	74.55	353	b71r
m50o	49.17	69.55	14.68	71.08	12	b88r

lab^*olv^*

$i^* = 1.00$

Brillantheit i^*

$i^* = 0.80$

$i^* = 0.60$

$i^* = 0.40$

$i^* = 0.20$

$i^* = 0.00$

Ein und Ausgabe: Farbmetrisches Drucker-Reflektiv-System ORS19_96a für relativen CIELAB-Buntton $h^* = lab^*h^* = h_{ab}/360 = 0.223$

Daten für jede Farbe:

lab^*tch^* und lab^*icu^*

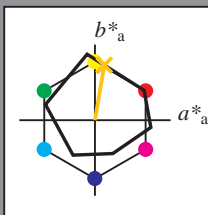
Bunttontexte:

$u^*_d = o75y$ $u^*_e = r81j$

Kontrastreduzierungsfaktor:

$c_R = 1.0$

Dreiecks-Helligkeit i^*



ORS19_96a; CIELAB-Daten

u^*_d	$L^*=L^*_a$	a^*	b^*	C^*_{ab}	h^*_{ab}
O _M	48.75	65.16	40.76	76.86	32
Y _M	90.92	-10.78	89.36	90.01	97
L _M	52.69	-65.4	22.15	69.05	161
C _M	59.61	-29.04	-44.69	53.3	237
V _M	28.39	24.0	-43.18	49.4	299
M _M	49.58	74.01	-8.22	74.47	354
N _M	18.89	0.5	0.77	0.92	57
W _M	96.9	-0.57	2.23	2.3	104
O _M	39.92	58.74	27.99	65.07	25
Y _M	81.26	-2.89	71.56	71.62	92
L _M	52.23	-42.42	13.6	44.55	162
V _M	30.57	1.41	-46.47	46.49	272

Daten für Maximalfarbe (Ma):

$LAB^*LAB^*_{Ma}$: 78 12 73

$LAB^*LCH^*_{Ma}$: 78 74 80

$lab^*olv^*_{Ma}$: 1.0 0.75 0.0

$lab^*rgb^*_{Ma}$: 1.0 0.82 0.0

Dreiecks-Helligkeit i^*

%Umfang

$u^*_{rel} = 89$

%Regularität

$g^*_{H,rel} = 72$

$g^*_{C,rel} = 57$

ORS19_96a; adaptierte CIELAB-Daten

u^*_d	$L^*=L^*_a$	a^*_a	b^*_a	$C^*_{ab,a}$	$h^*_{ab,a}$	u^*_e
o00y	48.75	65.07	39.43	76.08	31	r08j
o25y	59.04	46.67	51.1	69.21	48	r33j
o50y	68.32	30.09	61.62	68.58	64	r57j
o75y	78.23	12.39	72.85	73.9	80	r81j
y00l	90.92	-10.29	87.24	87.85	97	j06g
y25l	78.57	-28.11	65.75	71.51	113	j29g
y50l	69.46	-41.25	49.92	64.75	130	j53g
y75l	61.32	-52.99	35.76	63.92	146	j76g
l00c	52.69	-65.44	20.75	68.65	162	g00b
l50c	56.55	-45.12	-16.57	48.07	200	g34b
c00v	59.61	-28.98	-46.22	54.56	238	g69b
c50v	43.33	-1.54	-45.13	45.16	268	g96b
v00m	28.39	23.63	-44.13	50.06	298	b23r
v50m	36.9	43.84	-30.24	53.26	325	b47r
m00o	49.58	73.93	-9.56	74.55	353	b71r
m50o	49.17	69.55	14.68	71.08	12	b88r

lab^*olv^*

$i^* = 1.00$

Brillantheit i^*

$i^* = 0.80$

$i^* = 0.60$

$i^* = 0.40$

$i^* = 0.20$

$i^* = 0.00$

Ein und Ausgabe: Farbmimetrisches Drucker-Reflektiv-System ORS19_96a für relativen CIELAB-Buntton $h^* = lab^*h^* = h_{ab}/360 = 0.269$

Daten für jede Farbe:

lab^*tch^* und lab^*icu^*

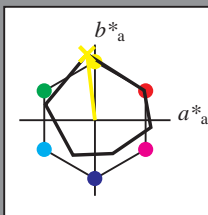
Bunttontexte:

$u^*_d = y00l$ $u^*_e = j06g$

Kontrastreduzierungsfaktor:

$c_R = 1.0$

Dreiecks-Helligkeit i^*



ORS19_96a; CIELAB-Daten						
u^*_d	$L^*=L^*_a$	a^*	b^*	C^*_{ab}	h^*_{ab}	
O _M	48.75	65.16	40.76	76.86	32	
Y _M	90.92	-10.78	89.36	90.01	97	
L _M	52.69	-65.4	22.15	69.05	161	
C _M	59.61	-29.04	-44.69	53.3	237	
V _M	28.39	24.0	-43.18	49.4	299	
M _M	49.58	74.01	-8.22	74.47	354	
N _M	18.89	0.5	0.77	0.92	57	
W _M	96.9	-0.57	2.23	2.3	104	
O _M	39.92	58.74	27.99	65.07	25	
Y _M	81.26	-2.89	71.56	71.62	92	
L _M	52.23	-42.42	13.6	44.55	162	
V _M	30.57	1.41	-46.47	46.49	272	

Daten für Maximalfarbe (Ma):

$LAB^*LAB^*_{Ma}$: 91 -10 87

$LAB^*LCH^*_{Ma}$: 91 88 96

$lab^*olv^*_{Ma}$: 1.0 1.0 0.0

$lab^*rgb^*_{Ma}$: 0.94 1.0 0.0

Dreiecks-Helligkeit i^*

%Umfang

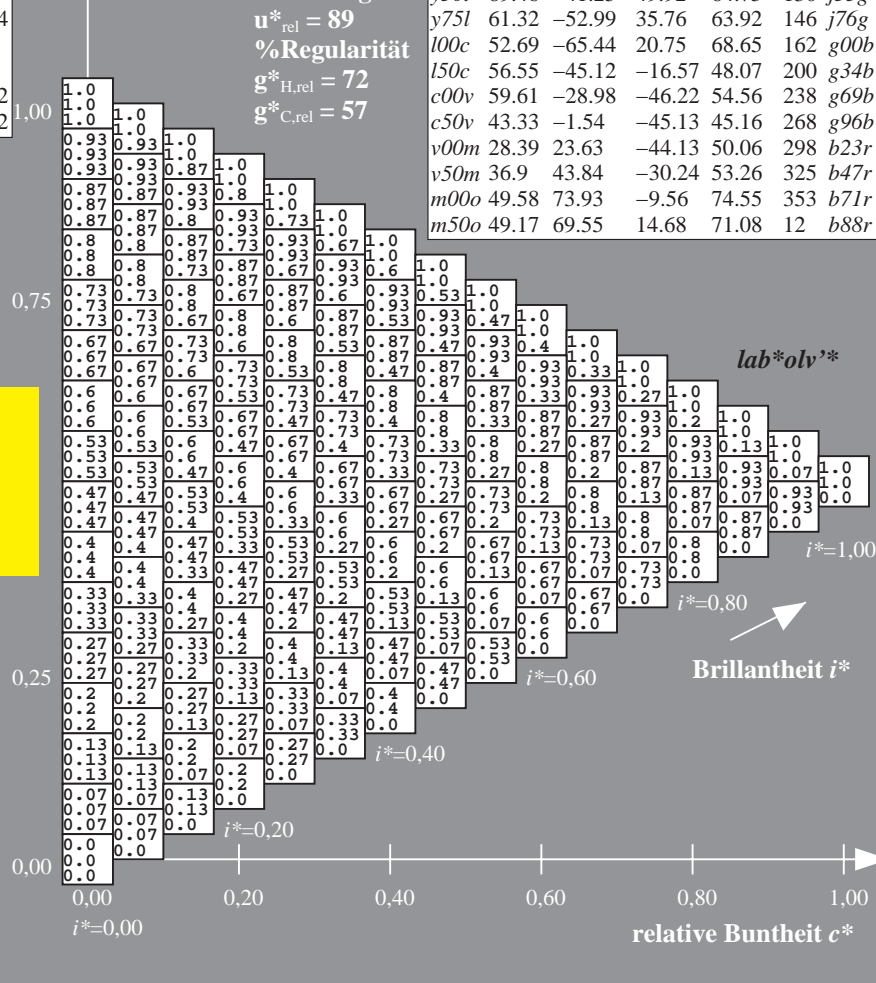
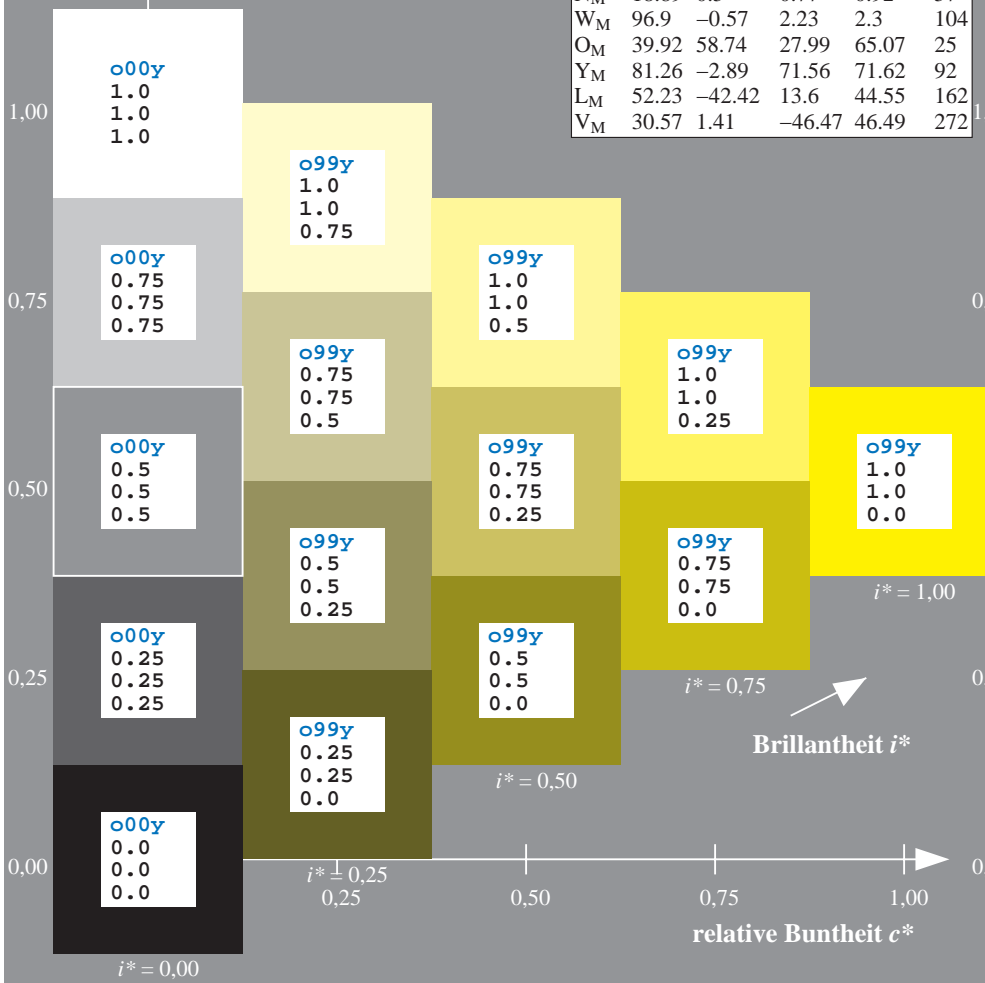
$u^*_{rel} = 89$

%Regularität

$g^*_{H,rel} = 72$

$g^*_{C,rel} = 57$

ORS19_96a; adaptierte CIELAB-Daten									
u^*_d	$L^*=L^*_a$	a^*_a	b^*_a	$C^*_{ab,a}$	$h^*_{ab,a}$	u^*_e			
o00y	48.75	65.07	39.43	76.08	31	r08j			
o25y	59.04	46.67	51.1	69.21	48	r33j			
o50y	68.32	30.09	61.62	68.58	64	r57j			
o75y	78.23	12.39	72.85	73.9	80	r81j			
y00l	90.92	-10.29	87.24	87.85	97	j06g			
y25l	78.57	-28.11	65.75	71.51	113	j29g			
y50l	69.46	-41.25	49.92	64.75	130	j53g			
y75l	61.32	-52.99	35.76	63.92	146	j76g			
l00c	52.69	-65.44	20.75	68.65	162	g00b			
l50c	56.55	-45.12	-16.57	48.07	200	g34b			
c00v	59.61	-28.98	-46.22	54.56	238	g69b			
c50v	43.33	-1.54	-45.13	45.16	268	g96b			
v00m	28.39	23.63	-44.13	50.06	298	b23r			
v50m	36.9	43.84	-30.24	53.26	325	b47r			
m00o	49.58	73.93	-9.56	74.55	353	b71r			
m50o	49.17	69.55	14.68	71.08	12	b88r			



Ein und Ausgabe: Farbmimetrisches Drucker-Reflektiv-System ORS19_96a für relativen CIELAB-Buntton $h^* = \text{lab}^*h^* = h_{ab}/360 = 0.314$

Daten für jede Farbe:

lab^*tch^* und lab^*icu^*

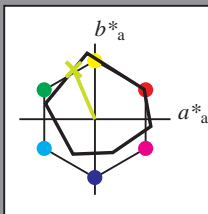
Bunttontexte:

$u^*_d = y25l$ $u^*_e = j29g$

Kontrastreduzierungsfaktor:

$c_R = 1.0$

Dreiecks-Helligkeit t^*



ORS19_96a; CIELAB-Daten

u^*_d	$L^*=L^*_a$	a^*	b^*	C^*_{ab}	h^*_{ab}
O _M	48.75	65.16	40.76	76.86	32
Y _M	90.92	-10.78	89.36	90.01	97
L _M	52.69	-65.4	22.15	69.05	161
C _M	59.61	-29.04	-44.69	53.3	237
V _M	28.39	24.0	-43.18	49.4	299
M _M	49.58	74.01	-8.22	74.47	354
N _M	18.89	0.5	0.77	0.92	57
W _M	96.9	-0.57	2.23	2.3	104
O _M	39.92	58.74	27.99	65.07	25
Y _M	81.26	-2.89	71.56	71.62	92
L _M	52.23	-42.42	13.6	44.55	162
V _M	30.57	1.41	-46.47	46.49	272

Daten für Maximalfarbe (Ma):

$\text{LAB}^*\text{LAB}^*_{\text{Ma}}$: 79 -28 66

$\text{LAB}^*\text{LCH}^*_{\text{Ma}}$: 79 72 113

$\text{lab}^*\text{olv}^*_{\text{Ma}}$: 0.75 1.0 0.0

$\text{lab}^*\text{rgb}^*_{\text{Ma}}$: 0.7 1.0 0.0

Dreiecks-Helligkeit t^*

%Umfang

$u^*_{\text{rel}} = 89$

%Regularität

$g^*_{H,\text{rel}} = 72$

$g^*_{C,\text{rel}} = 57$

ORS19_96a; adaptierte CIELAB-Daten

u^*_d	$L^*=L^*_a$	a^*_a	b^*_a	$C^*_{ab,a}$	$h^*_{ab,a}$	u^*_e
o00y	48.75	65.07	39.43	76.08	31	r08j
o25y	59.04	46.67	51.1	69.21	48	r33j
o50y	68.32	30.09	61.62	68.58	64	r57j
o75y	78.23	12.39	72.85	73.9	80	r81j
y00l	90.92	-10.29	87.24	87.85	97	j06g
y25l	78.57	-28.11	65.75	71.51	113	j29g
y50l	69.46	-41.25	49.92	64.75	130	j53g
y75l	61.32	-52.99	35.76	63.92	146	j76g
l00c	52.69	-65.44	20.75	68.65	162	g00b
l50c	56.55	-45.12	-16.57	48.07	200	g34b
c00v	59.61	-28.98	-46.22	54.56	238	g69b
c50v	43.33	-1.54	-45.13	45.16	268	g96b
v00m	28.39	23.63	-44.13	50.06	298	b23r
v50m	36.9	43.84	-30.24	53.26	325	b47r
m00o	49.58	73.93	-9.56	74.55	353	b71r
m50o	49.17	69.55	14.68	71.08	12	b88r

lab^*olv^*

$i^* = 1.00$

Brillantheit i^*

$i^* = 0.80$

$i^* = 0.60$

$i^* = 0.40$

$i^* = 0.20$

$i^* = 0.00$

relative Buntheit c^*

Ein und Ausgabe: Farbmimetrisches Drucker-Reflektiv-System ORS19_96a für relativen CIELAB-Buntton $h^* = \text{lab}^*h^* = h_{ab}/360 = 0.36$

Daten für jede Farbe:

lab^*tch^* und lab^*icu^*

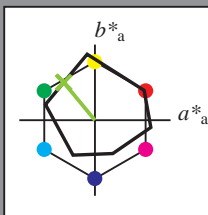
Bunttontexte:

$u^*_d = y50l$ $u^*_e = j53g$

Kontrastreduzierungsfaktor:

$c_R = 1.0$

Dreiecks-Helligkeit i^*



ORS19_96a; CIELAB-Daten

u^*_d	$L^*=L^*_a$	a^*	b^*	C^*_{ab}	h^*_{ab}
O _M	48.75	65.16	40.76	76.86	32
Y _M	90.92	-10.78	89.36	90.01	97
L _M	52.69	-65.4	22.15	69.05	161
C _M	59.61	-29.04	-44.69	53.3	237
V _M	28.39	24.0	-43.18	49.4	299
M _M	49.58	74.01	-8.22	74.47	354
N _M	18.89	0.5	0.77	0.92	57
W _M	96.9	-0.57	2.23	2.3	104
O _M	39.92	58.74	27.99	65.07	25
Y _M	81.26	-2.89	71.56	71.62	92
L _M	52.23	-42.42	13.6	44.55	162
V _M	30.57	1.41	-46.47	46.49	272

Daten für Maximalfarbe (Ma):

$\text{LAB}^*\text{LAB}^*_{\text{Ma}}$: 69 -41 50

$\text{LAB}^*\text{LCH}^*_{\text{Ma}}$: 69 65 129

$\text{lab}^*\text{olv}^*_{\text{Ma}}$: 0.5 1.0 0.0

$\text{lab}^*\text{rgb}^*_{\text{Ma}}$: 0.47 1.0 0.0

Dreiecks-Helligkeit i^*

%Umfang

$u^*_{\text{rel}} = 89$

%Regularität

$g^*_{H,\text{rel}} = 72$

$g^*_{C,\text{rel}} = 57$

ORS19_96a; adaptierte CIELAB-Daten

u^*_d	$L^*=L^*_a$	a^*_a	b^*_a	$C^*_{ab,a}$	$h^*_{ab,a}$	u^*_e
o00y	48.75	65.07	39.43	76.08	31	r08j
o25y	59.04	46.67	51.1	69.21	48	r33j
o50y	68.32	30.09	61.62	68.58	64	r57j
o75y	78.23	12.39	72.85	73.9	80	r81j
y00l	90.92	-10.29	87.24	87.85	97	j06g
y25l	78.57	-28.11	65.75	71.51	113	j29g
y50l	69.46	-41.25	49.92	64.75	130	j53g
y75l	61.32	-52.99	35.76	63.92	146	j76g
l00c	52.69	-65.44	20.75	68.65	162	g00b
l50c	56.55	-45.12	-16.57	48.07	200	g34b
c00v	59.61	-28.98	-46.22	54.56	238	g69b
c50v	43.33	-1.54	-45.13	45.16	268	g96b
v00m	28.39	23.63	-44.13	50.06	298	b23r
v50m	36.9	43.84	-30.24	53.26	325	b47r
m00o	49.58	73.93	-9.56	74.55	353	b71r
m50o	49.17	69.55	14.68	71.08	12	b88r

lab^*olv^*

$i^* = 1.00$

Brillantheit i^*

$i^* = 0.80$

$i^* = 0.60$

$i^* = 0.40$

$i^* = 0.20$

$i^* = 0.00$

relative Buntheit c^*

relative Buntheit c^*

Ein und Ausgabe: Farbmimetrisches Drucker-Reflektiv-System ORS19_96a für relativen CIELAB-Buntton $h^* = \text{lab}^*h^* = h_{ab}/360 = 0.406$

Daten für jede Farbe:

lab^*tch^* und lab^*icu^*

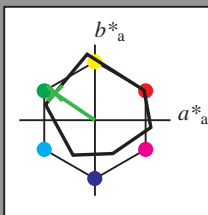
Bunttontexte:

$u^*_d = y75l$ $u^*_e = j76g$

Kontrastreduzierungsfaktor:

$c_R = 1.0$

Dreiecks-Helligkeit i^*



ORS19_96a; CIELAB-Daten						
u^*_d	$L^*=L^*_a$	a^*	b^*	C^*_{ab}	h^*_{ab}	
O _M	48.75	65.16	40.76	76.86	32	
Y _M	90.92	-10.78	89.36	90.01	97	
L _M	52.69	-65.4	22.15	69.05	161	
C _M	59.61	-29.04	-44.69	53.3	237	
V _M	28.39	24.0	-43.18	49.4	299	
M _M	49.58	74.01	-8.22	74.47	354	
N _M	18.89	0.5	0.77	0.92	57	
W _M	96.9	-0.57	2.23	2.3	104	
O _M	39.92	58.74	27.99	65.07	25	
Y _M	81.26	-2.89	71.56	71.62	92	
L _M	52.23	-42.42	13.6	44.55	162	
V _M	30.57	1.41	-46.47	46.49	272	

Daten für Maximalfarbe (Ma):

$\text{LAB}^*\text{LAB}^*_{\text{Ma}}$: 61 -53 36

$\text{LAB}^*\text{LCH}^*_{\text{Ma}}$: 61 64 145

$\text{lab}^*\text{olv}^*_{\text{Ma}}$: 0.25 1.0 0.0

$\text{lab}^*\text{rgb}^*_{\text{Ma}}$: 0.23 1.0 0.0

Dreiecks-Helligkeit i^*

%Umfang

$u^*_{\text{rel}} = 89$

%Regularität

$g^*_{H,\text{rel}} = 72$

$g^*_{C,\text{rel}} = 57$

ORS19_96a; adaptierte CIELAB-Daten										
u^*_d	$L^*=L^*_a$	a^*_a	b^*_a	$C^*_{ab,a}$	$h^*_{ab,a}$	u^*_e				
o00y	48.75	65.07	39.43	76.08	31	r08j				
o25y	59.04	46.67	51.1	69.21	48	r33j				
o50y	68.32	30.09	61.62	68.58	64	r57j				
o75y	78.23	12.39	72.85	73.9	80	r81j				
y00l	90.92	-10.29	87.24	87.85	97	j06g				
y25l	78.57	-28.11	65.75	71.51	113	j29g				
y50l	69.46	-41.25	49.92	64.75	130	j53g				
y75l	61.32	-52.99	35.76	63.92	146	j76g				
l00c	52.69	-65.44	20.75	68.65	162	g00b				
l50c	56.55	-45.12	-16.57	48.07	200	g34b				
c00v	59.61	-28.98	-46.22	54.56	238	g69b				
c50v	43.33	-1.54	-45.13	45.16	268	g96b				
v00m	28.39	23.63	-44.13	50.06	298	b23r				
v50m	36.9	43.84	-30.24	53.26	325	b47r				
m00o	49.58	73.93	-9.56	74.55	353	b71r				
m50o	49.17	69.55	14.68	71.08	12	b88r				

lab^*olv^*

$i^* = 1.00$

Brillantheit i^*

$i^* = 0.80$

$i^* = 0.60$

$i^* = 0.40$

$i^* = 0.20$

$i^* = 0.00$

Ein und Ausgabe: Farbmimetrisches Drucker-Reflektiv-System ORS19_96a für relativen CIELAB-Buntton $h^* = lab^*h^* = h_{ab}/360 = 0.451$

Daten für jede Farbe:

lab^*tch^* und lab^*icu^*

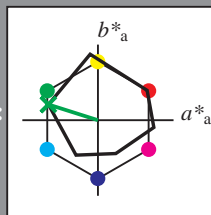
Bunttontexte:

$u^*_d = 100c$ $u^*_e = g00b$

Kontrastreduzierungsfaktor:

$c_R = 1.0$

Dreiecks-Helligkeit t^*



ORS19_96a; CIELAB-Daten

u^*_d	$L^*=L^*_a$	a^*	b^*	C^*_{ab}	h^*_{ab}
O _M	48.75	65.16	40.76	76.86	32
Y _M	90.92	-10.78	89.36	90.01	97
L _M	52.69	-65.4	22.15	69.05	161
C _M	59.61	-29.04	-44.69	53.3	237
V _M	28.39	24.0	-43.18	49.4	299
M _M	49.58	74.01	-8.22	74.47	354
N _M	18.89	0.5	0.77	0.92	57
W _M	96.9	-0.57	2.23	2.3	104
O _M	39.92	58.74	27.99	65.07	25
Y _M	81.26	-2.89	71.56	71.62	92
L _M	52.23	-42.42	13.6	44.55	162
V _M	30.57	1.41	-46.47	46.49	272

Daten für Maximalfarbe (Ma):

$LAB^*LAB^*_{Ma}$: 53 -65 21

$LAB^*LCH^*_{Ma}$: 53 69 162

$lab^*olv^*_{Ma}$: 0.0 1.0 0.0

$lab^*rgb^*_{Ma}$: 0.0 1.0 0.0

Dreiecks-Helligkeit t^*

%Umfang

$u^*_{rel} = 89$

%Regularität

$g^*_{H,rel} = 72$

$g^*_{C,rel} = 57$

ORS19_96a; adaptierte CIELAB-Daten

u^*_d	$L^*=L^*_a$	a^*_a	b^*_a	$C^*_{ab,a}$	$h^*_{ab,a}$	u^*_e
o00y	48.75	65.07	39.43	76.08	31	r08j
o25y	59.04	46.67	51.1	69.21	48	r33j
o50y	68.32	30.09	61.62	68.58	64	r57j
o75y	78.23	12.39	72.85	73.9	80	r81j
y00l	90.92	-10.29	87.24	87.85	97	j06g
y25l	78.57	-28.11	65.75	71.51	113	j29g
y50l	69.46	-41.25	49.92	64.75	130	j53g
y75l	61.32	-52.99	35.76	63.92	146	j76g
l00c	52.69	-65.44	20.75	68.65	162	g00b
l50c	56.55	-45.12	-16.57	48.07	200	g34b
c00v	59.61	-28.98	-46.22	54.56	238	g69b
c50v	43.33	-1.54	-45.13	45.16	268	g96b
v00m	28.39	23.63	-44.13	50.06	298	b23r
v50m	36.9	43.84	-30.24	53.26	325	b47r
m00o	49.58	73.93	-9.56	74.55	353	b71r
m50o	49.17	69.55	14.68	71.08	12	b88r

lab^*olv^*

$i^* = 1.00$

Brillantheit i^*

$i^* = 0.80$

$i^* = 0.60$

$i^* = 0.40$

$i^* = 0.20$

$i^* = 0.00$

Ein und Ausgabe: Farbmimetrisches Drucker-Reflektiv-System ORS19_96a für relativen CIELAB-Buntton $h^* = \text{lab}^*h^* = h_{ab}/360 = 0.556$

Daten für jede Farbe:

lab^*tch^* und lab^*icu^*

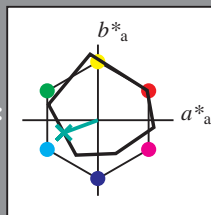
Bunttontexte:

$u^*_d = 150c$ $u^*_e = g34b$

Kontrastreduzierungsfaktor:

$c_R = 1.0$

Dreiecks-Helligkeit i^*



ORS19_96a; CIELAB-Daten						
u^*_d	$L^*=L^*_a$	a^*	b^*	C^*_{ab}	h^*_{ab}	
O _M	48.75	65.16	40.76	76.86	32	
Y _M	90.92	-10.78	89.36	90.01	97	
L _M	52.69	-65.4	22.15	69.05	161	
C _M	59.61	-29.04	-44.69	53.3	237	
V _M	28.39	24.0	-43.18	49.4	299	
M _M	49.58	74.01	-8.22	74.47	354	
N _M	18.89	0.5	0.77	0.92	57	
W _M	96.9	-0.57	2.23	2.3	104	
O _M	39.92	58.74	27.99	65.07	25	
Y _M	81.26	-2.89	71.56	71.62	92	
L _M	52.23	-42.42	13.6	44.55	162	
V _M	30.57	1.41	-46.47	46.49	272	

Daten für Maximalfarbe (Ma):

$\text{LAB}^*\text{LAB}^*_{\text{Ma}}$: 57 -45 -17

$\text{LAB}^*\text{LCH}^*_{\text{Ma}}$: 57 48 200

$\text{lab}^*\text{olv}^*_{\text{Ma}}$: 0.0 1.0 0.5

$\text{lab}^*\text{rgb}^*_{\text{Ma}}$: 0.0 1.0 0.69

Dreiecks-Helligkeit i^*

%Umfang

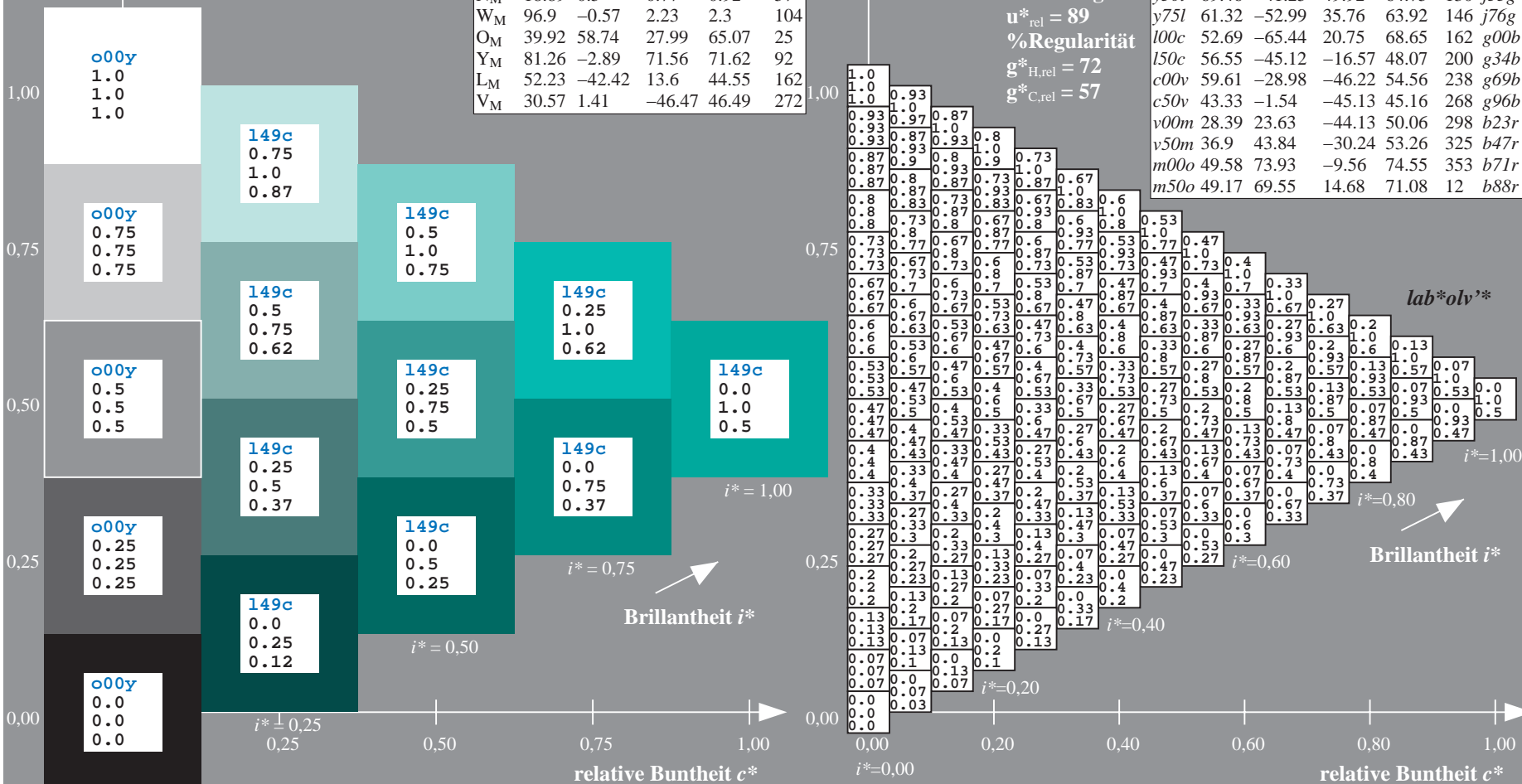
$u^*_{\text{rel}} = 89$

%Regularität

$g^*_{H,\text{rel}} = 72$

$g^*_{C,\text{rel}} = 57$

ORS19_96a; adaptierte CIELAB-Daten									
u^*_d	$L^*=L^*_a$	a^*_a	b^*_a	$C^*_{ab,a}$	$h^*_{ab,a}$	u^*_e			
o00y	48.75	65.07	39.43	76.08	31	r08j			
o25y	59.04	46.67	51.1	69.21	48	r33j			
o50y	68.32	30.09	61.62	68.58	64	r57j			
o75y	78.23	12.39	72.85	73.9	80	r81j			
y00l	90.92	-10.29	87.24	87.85	97	j06g			
y25l	78.57	-28.11	65.75	71.51	113	j29g			
y50l	69.46	-41.25	49.92	64.75	130	j53g			
y75l	61.32	-52.99	35.76	63.92	146	j76g			
l00c	52.69	-65.44	20.75	68.65	162	g00b			
l50c	56.55	-45.12	-16.57	48.07	200	g34b			
c00v	59.61	-28.98	-46.22	54.56	238	g69b			
c50v	43.33	-1.54	-45.13	45.16	268	g96b			
v00m	28.39	23.63	-44.13	50.06	298	b23r			
v50m	36.9	43.84	-30.24	53.26	325	b47r			
m00o	49.58	73.93	-9.56	74.55	353	b71r			
m50o	49.17	69.55	14.68	71.08	12	b88r			



Ein und Ausgabe: Farbmimetrisches Drucker-Reflektiv-System ORS19_96a für relativen CIELAB-Buntton $h^* = \text{lab}^*h^* = h_{ab}/360 = 0.661$

Daten für jede Farbe:

lab^*tch^* und lab^*icu^*

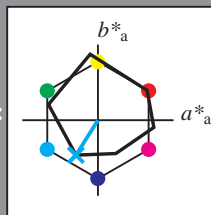
Bunttontexte:

$u^*_d = c00v$ $u^*_e = g69b$

Kontrastreduzierungsfaktor:

$c_R = 1.0$

Dreiecks-Helligkeit i^*



ORS19_96a; CIELAB-Daten

u^*_d	$L^*=L^*_a$	a^*	b^*	C^*_{ab}	h^*_{ab}
O _M	48.75	65.16	40.76	76.86	32
Y _M	90.92	-10.78	89.36	90.01	97
L _M	52.69	-65.4	22.15	69.05	161
C _M	59.61	-29.04	-44.69	53.3	237
V _M	28.39	24.0	-43.18	49.4	299
M _M	49.58	74.01	-8.22	74.47	354
N _M	18.89	0.5	0.77	0.92	57
W _M	96.9	-0.57	2.23	2.3	104
O _M	39.92	58.74	27.99	65.07	25
Y _M	81.26	-2.89	71.56	71.62	92
L _M	52.23	-42.42	13.6	44.55	162
V _M	30.57	1.41	-46.47	46.49	272

Daten für Maximalfarbe (Ma):

$\text{LAB}^*\text{LAB}^*_{\text{Ma}}$: 60 -29 -46

$\text{LAB}^*\text{LCH}^*_{\text{Ma}}$: 60 55 237

$\text{lab}^*\text{olv}^*_{\text{Ma}}$: 0.0 1.0 1.0

$\text{lab}^*\text{rgb}^*_{\text{Ma}}$: 0.0 0.62 1.0

Dreiecks-Helligkeit i^*

%Umfang

$u^*_{\text{rel}} = 89$

%Regularität

$g^*_{H,\text{rel}} = 72$

$g^*_{C,\text{rel}} = 57$

ORS19_96a; adaptierte CIELAB-Daten

u^*_d	$L^*=L^*_a$	a^*_a	b^*_a	$C^*_{ab,a}$	$h^*_{ab,a}$	u^*_e
o00y	48.75	65.07	39.43	76.08	31	r08j
o25y	59.04	46.67	51.1	69.21	48	r33j
o50y	68.32	30.09	61.62	68.58	64	r57j
o75y	78.23	12.39	72.85	73.9	80	r81j
y00l	90.92	-10.29	87.24	87.85	97	j06g
y25l	78.57	-28.11	65.75	71.51	113	j29g
y50l	69.46	-41.25	49.92	64.75	130	j53g
y75l	61.32	-52.99	35.76	63.92	146	j76g
l00c	52.69	-65.44	20.75	68.65	162	g00b
l50c	56.55	-45.12	-16.57	48.07	200	g34b
c00v	59.61	-28.98	-46.22	54.56	238	g69b
c50v	43.33	-1.54	-45.13	45.16	268	g96b
v00m	28.39	23.63	-44.13	50.06	298	b23r
v50m	36.9	43.84	-30.24	53.26	325	b47r
m00o	49.58	73.93	-9.56	74.55	353	b71r
m50o	49.17	69.55	14.68	71.08	12	b88r

lab^*olv^*

$i^* = 1.00$

Brillantheit i^*

$i^* = 0.80$

$i^* = 0.60$

$i^* = 0.40$

$i^* = 0.20$

$i^* = 0.00$

relative Buntheit c^*

relative Buntheit c^*

Ein und Ausgabe: Farbmetrisches Drucker-Reflektiv-System ORS19_96a für relativen CIELAB-Buntton $h^* = lab^*h^* = h_{ab}/360 = 0.745$

Daten für jede Farbe:

lab^*tch^* und lab^*icu^*

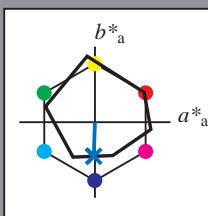
Bunttontexte:

$u^*_d = c50v$ $u^*_e = g96b$

Kontrastreduzierungsfaktor:

$c_R = 1.0$

Dreiecks-Helligkeit t^*



ORS19_96a; CIELAB-Daten						
u^*_d	$L^*=L^*_a$	a^*	b^*	C^*_{ab}	h^*_{ab}	
O _M	48.75	65.16	40.76	76.86	32	
Y _M	90.92	-10.78	89.36	90.01	97	
L _M	52.69	-65.4	22.15	69.05	161	
C _M	59.61	-29.04	-44.69	53.3	237	
V _M	28.39	24.0	-43.18	49.4	299	
M _M	49.58	74.01	-8.22	74.47	354	
N _M	18.89	0.5	0.77	0.92	57	
W _M	96.9	-0.57	2.23	2.3	104	
O _M	39.92	58.74	27.99	65.07	25	
Y _M	81.26	-2.89	71.56	71.62	92	
L _M	52.23	-42.42	13.6	44.55	162	
V _M	30.57	1.41	-46.47	46.49	272	

Daten für Maximalfarbe (Ma):

$LAB^*LAB^*_{Ma}$: 43 -2 -45

$LAB^*LCH^*_{Ma}$: 43 45 268

$lab^*olv^*_{Ma}$: 0.0 0.5 1.0

$lab^*rgb^*_{Ma}$: 0.0 0.07 1.0

Dreiecks-Helligkeit t^*

%Umfang

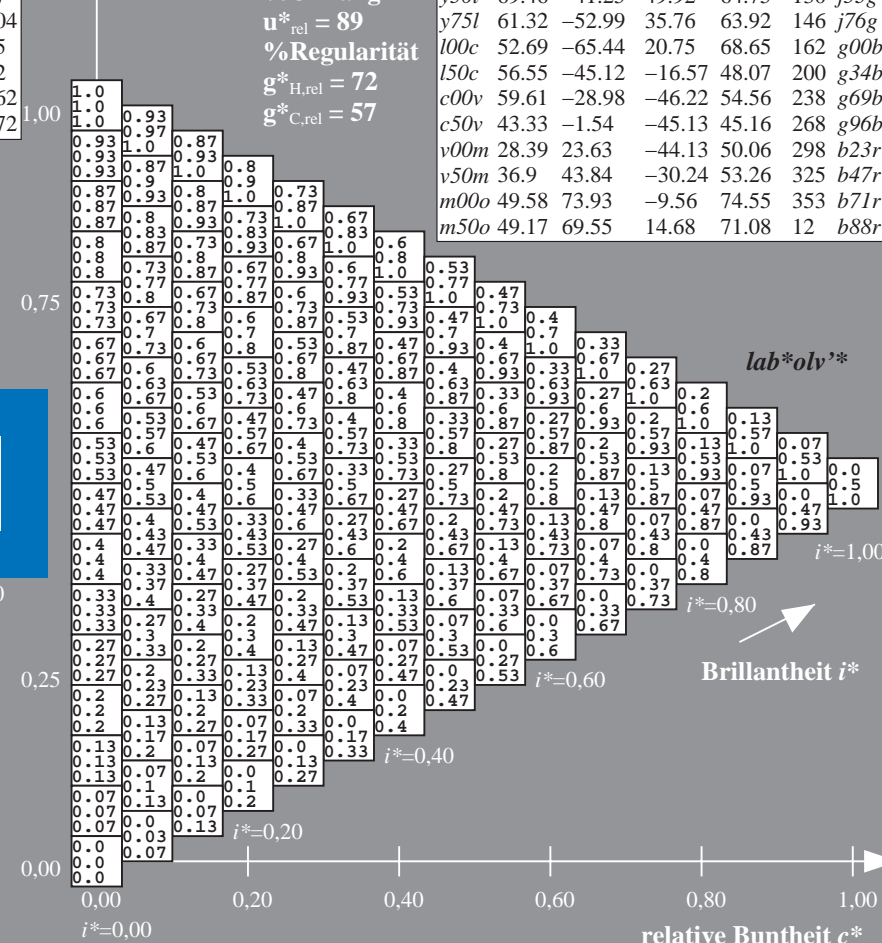
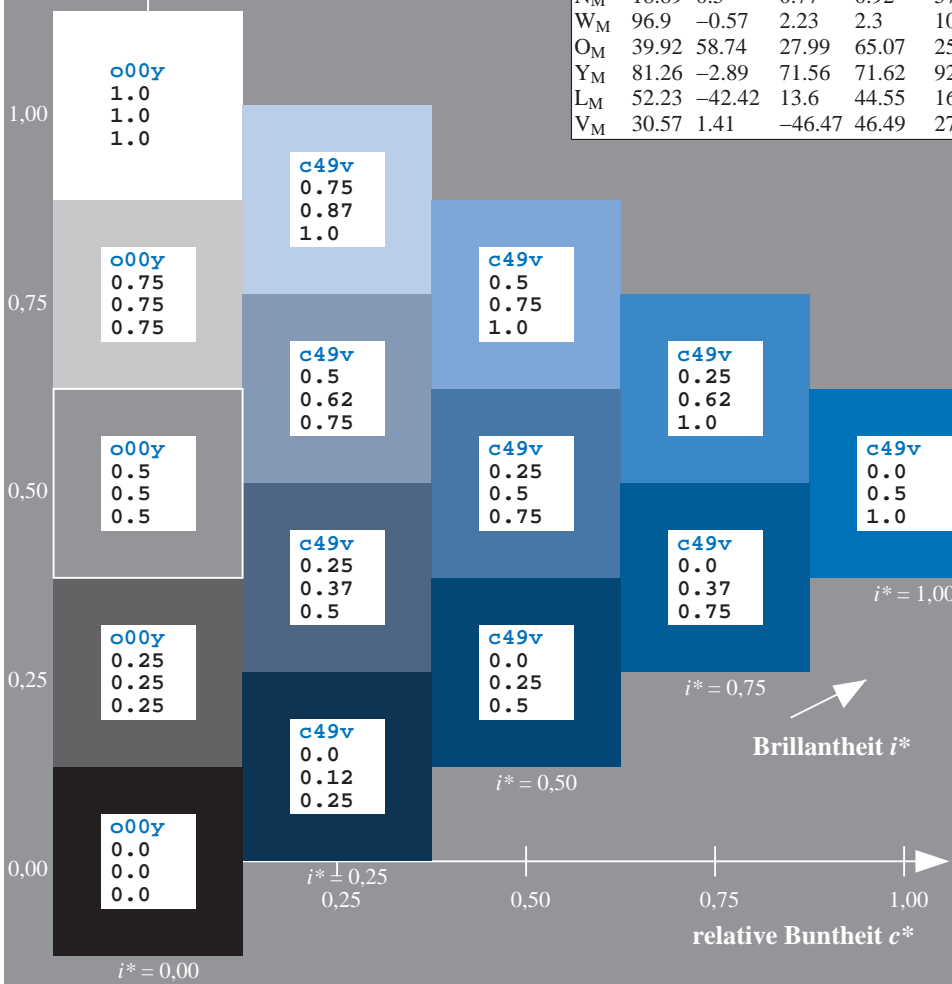
$u^*_{rel} = 89$

%Regularität

$g^*_{H,rel} = 72$

$g^*_{C,rel} = 57$

ORS19_96a; adaptierte CIELAB-Daten									
u^*_d	$L^*=L^*_a$	a^*_a	b^*_a	$C^*_{ab,a}$	$h^*_{ab,a}$	u^*_e			
o00y	48.75	65.07	39.43	76.08	31	r08j			
o25y	59.04	46.67	51.1	69.21	48	r33j			
o50y	68.32	30.09	61.62	68.58	64	r57j			
o75y	78.23	12.39	72.85	73.9	80	r81j			
y00l	90.92	-10.29	87.24	87.85	97	j06g			
y25l	78.57	-28.11	65.75	71.51	113	j29g			
y50l	69.46	-41.25	49.92	64.75	130	j53g			
y75l	61.32	-52.99	35.76	63.92	146	j76g			
l00c	52.69	-65.44	20.75	68.65	162	g00b			
l50c	56.55	-45.12	-16.57	48.07	200	g34b			
c00v	59.61	-28.98	-46.22	54.56	238	g69b			
c50v	43.33	-1.54	-45.13	45.16	268	g96b			
v00m	28.39	23.63	-44.13	50.06	298	b23r			
v50m	36.9	43.84	-30.24	53.26	325	b47r			
m00o	49.58	73.93	-9.56	74.55	353	b71r			
m50o	49.17	69.55	14.68	71.08	12	b88r			



Ein und Ausgabe: Farbmetrisches Drucker-Reflektiv-System ORS19_96a für relativen CIELAB-Buntton $h^* = lab^*h^* = h_{ab}/360 = 0.828$

Daten für jede Farbe:

lab^*tch^* und lab^*icu^*

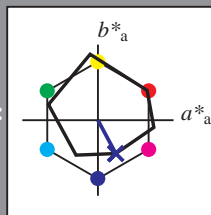
Bunttontexte:

$u^*_d = v00m$ $u^*_e = b23r$

Kontrastreduzierungsfaktor:

$c_R = 1.0$

Dreiecks-Helligkeit t^*



ORS19_96a; CIELAB-Daten

u^*_d	$L^*=L^*_a$	a^*	b^*	C^*_{ab}	h^*_{ab}
O _M	48.75	65.16	40.76	76.86	32
Y _M	90.92	-10.78	89.36	90.01	97
L _M	52.69	-65.4	22.15	69.05	161
C _M	59.61	-29.04	-44.69	53.3	237
V _M	28.39	24.0	-43.18	49.4	299
M _M	49.58	74.01	-8.22	74.47	354
N _M	18.89	0.5	0.77	0.92	57
W _M	96.9	-0.57	2.23	2.3	104
O _M	39.92	58.74	27.99	65.07	25
Y _M	81.26	-2.89	71.56	71.62	92
L _M	52.23	-42.42	13.6	44.55	162
V _M	30.57	1.41	-46.47	46.49	272

Daten für Maximalfarbe (Ma):

LAB^*LAB^*Ma : 28 24 -44

LAB^*LCH^*Ma : 28 50 298

lab^*olv^*Ma : 0.0 0.0 1.0

lab^*rgb^*Ma : 0.46 0.0 1.0

Dreiecks-Helligkeit t^*

%Umfang

$u^*_{rel} = 89$

%Regularität

$g^*_{H,rel} = 72$

$g^*_{C,rel} = 57$

ORS19_96a; adaptierte CIELAB-Daten

u^*_d	$L^*=L^*_a$	a^*_a	b^*_a	$C^*_{ab,a}$	$h^*_{ab,a}$	u^*_e
o00y	48.75	65.07	39.43	76.08	31	r08j
o25y	59.04	46.67	51.1	69.21	48	r33j
o50y	68.32	30.09	61.62	68.58	64	r57j
o75y	78.23	12.39	72.85	73.9	80	r81j
y00l	90.92	-10.29	87.24	87.85	97	j06g
y25l	78.57	-28.11	65.75	71.51	113	j29g
y50l	69.46	-41.25	49.92	64.75	130	j53g
y75l	61.32	-52.99	35.76	63.92	146	j76g
l00c	52.69	-65.44	20.75	68.65	162	g00b
l50c	56.55	-45.12	-16.57	48.07	200	g34b
c00v	59.61	-28.98	-46.22	54.56	238	g69b
c50v	43.33	-1.54	-45.13	45.16	268	g96b
v00m	28.39	23.63	-44.13	50.06	298	b23r
v50m	36.9	43.84	-30.24	53.26	325	b47r
m00o	49.58	73.93	-9.56	74.55	353	b71r
m50o	49.17	69.55	14.68	71.08	12	b88r

lab^*olv^*

$i^* = 1.00$

Brillantheit i^*

$i^* = 0.80$

$i^* = 0.60$

$i^* = 0.40$

$i^* = 0.20$

$i^* = 0.00$

relative Buntheit c^*

relative Buntheit c^*

Ein und Ausgabe: Farbmetrisches Drucker-Reflektiv-System ORS19_96a für relativen CIELAB-Buntton $h^* = lab^*h^* = h_{ab}/360 = 0.904$

Daten für jede Farbe:

lab^*tch^* und lab^*icu^*

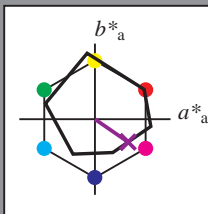
Bunttontexte:

$u^*_d = v50m$ $u^*_e = b47r$

Kontrastreduzierungsfaktor:

$c_R = 1.0$

Dreiecks-Helligkeit i^*



ORS19_96a; CIELAB-Daten

u^*_d	$L^*=L^*_a$	a^*	b^*	C^*_{ab}	h^*_{ab}
O _M	48.75	65.16	40.76	76.86	32
Y _M	90.92	-10.78	89.36	90.01	97
L _M	52.69	-65.4	22.15	69.05	161
C _M	59.61	-29.04	-44.69	53.3	237
V _M	28.39	24.0	-43.18	49.4	299
M _M	49.58	74.01	-8.22	74.47	354
N _M	18.89	0.5	0.77	0.92	57
W _M	96.9	-0.57	2.23	2.3	104
O _M	39.92	58.74	27.99	65.07	25
Y _M	81.26	-2.89	71.56	71.62	92
L _M	52.23	-42.42	13.6	44.55	162
V _M	30.57	1.41	-46.47	46.49	272

Daten für Maximalfarbe (Ma):

$LAB^*LAB^*_{Ma}$: 37 44 -30

$LAB^*LCH^*_{Ma}$: 37 53 325

$lab^*olv^*_{Ma}$: 0.5 0.0 1.0

$lab^*rgb^*_{Ma}$: 0.94 0.0 1.0

Dreiecks-Helligkeit i^*

%Umfang

$u^*_{rel} = 89$

%Regularität

$g^*_{H,rel} = 72$

$g^*_{C,rel} = 57$

ORS19_96a; adaptierte CIELAB-Daten

u^*_d	$L^*=L^*_a$	a^*_a	b^*_a	$C^*_{ab,a}$	$h^*_{ab,a}$	u^*_e
o00y	48.75	65.07	39.43	76.08	31	r08j
o25y	59.04	46.67	51.1	69.21	48	r33j
o50y	68.32	30.09	61.62	68.58	64	r57j
o75y	78.23	12.39	72.85	73.9	80	r81j
y00l	90.92	-10.29	87.24	87.85	97	j06g
y25l	78.57	-28.11	65.75	71.51	113	j29g
y50l	69.46	-41.25	49.92	64.75	130	j53g
y75l	61.32	-52.99	35.76	63.92	146	j76g
l00c	52.69	-65.44	20.75	68.65	162	g00b
l50c	56.55	-45.12	-16.57	48.07	200	g34b
c00v	59.61	-28.98	-46.22	54.56	238	g69b
c50v	43.33	-1.54	-45.13	45.16	268	g96b
v00m	28.39	23.63	-44.13	50.06	298	b23r
v50m	36.9	43.84	-30.24	53.26	325	b47r
m00o	49.58	73.93	-9.56	74.55	353	b71r
m50o	49.17	69.55	14.68	71.08	12	b88r

lab^*olv^*

$i^* = 1.00$

Brillantheit i^*

$i^* = 0.80$

$i^* = 0.60$

$i^* = 0.40$

$i^* = 0.20$

$i^* = 0.00$

Ein und Ausgabe: Farbmimetrisches Drucker-Reflektiv-System ORS19_96a für relativen CIELAB-Buntton $h^* = \text{lab}^*h^* = h_{ab}/360 = 0.033$

Daten für jede Farbe:

lab^*tch^* und lab^*icu^*

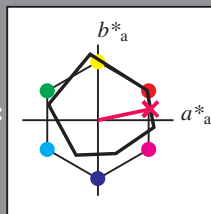
Bunttontexte:

$u^*_d = m50o$ $u^*_e = b88r$

Kontrastreduzierungsfaktor:

$c_R = 1.0$

Dreiecks-Helligkeit t^*



ORS19_96a; CIELAB-Daten

u^*_d	$L^*=L^*_a$	a^*	b^*	C^*_{ab}	h^*_{ab}
O_M	48.75	65.16	40.76	76.86	32
Y_M	90.92	-10.78	89.36	90.01	97
L_M	52.69	-65.4	22.15	69.05	161
C_M	59.61	-29.04	-44.69	53.3	237
V_M	28.39	24.0	-43.18	49.4	299
M_M	49.58	74.01	-8.22	74.47	354
N_M	18.89	0.5	0.77	0.92	57
W_M	96.9	-0.57	2.23	2.3	104
O_M	39.92	58.74	27.99	65.07	25
Y_M	81.26	-2.89	71.56	71.62	92
L_M	52.23	-42.42	13.6	44.55	162
V_M	30.57	1.41	-46.47	46.49	272

Daten für Maximalfarbe (Ma):

$\text{LAB}^*\text{LAB}^*_{Ma}$: 49 70 15

$\text{LAB}^*\text{LCH}^*_{Ma}$: 49 71 11

$\text{lab}^*\text{olv}^*_{Ma}$: 1.0 0.0 0.5

$\text{lab}^*\text{rgb}^*_{Ma}$: 1.0 0.0 0.24

Dreiecks-Helligkeit t^*

%Umfang

$u^*_{rel} = 89$

%Regularität

$g^*_{H,rel} = 72$

$g^*_{C,rel} = 57$

ORS19_96a; adaptierte CIELAB-Daten

u^*_d	$L^*=L^*_a$	a^*_a	b^*_a	$C^*_{ab,a}$	$h^*_{ab,a}$	u^*_e
$o00y$	48.75	65.07	39.43	76.08	31	$r08j$
$o25y$	59.04	46.67	51.1	69.21	48	$r33j$
$o50y$	68.32	30.09	61.62	68.58	64	$r57j$
$o75y$	78.23	12.39	72.85	73.9	80	$r81j$
$y00l$	90.92	-10.29	87.24	87.85	97	$j06g$
$y25l$	78.57	-28.11	65.75	71.51	113	$j29g$
$y50l$	69.46	-41.25	49.92	64.75	130	$j53g$
$y75l$	61.32	-52.99	35.76	63.92	146	$j76g$
$l00c$	52.69	-65.44	20.75	68.65	162	$g00b$
$l50c$	56.55	-45.12	-16.57	48.07	200	$g34b$
$c00v$	59.61	-28.98	-46.22	54.56	238	$g69b$
$c50v$	43.33	-1.54	-45.13	45.16	268	$g96b$
$v00m$	28.39	23.63	-44.13	50.06	298	$b23r$
$v50m$	36.9	43.84	-30.24	53.26	325	$b47r$
$m00o$	49.58	73.93	-9.56	74.55	353	$b71r$
$m50o$	49.17	69.55	14.68	71.08	12	$b88r$

lab^*olv^*

$i^* = 1.00$

Brillantheit i^*

$i^* = 0.80$

$i^* = 0.60$

$i^* = 0.40$

$i^* = 0.20$

$i^* = 0.00$

Siehe ähnliche Dateien: <http://www.ps.bam.de/Eg42/>; www.ps.bam.de/Eg42/10L/L42G00NA.PS/.TXT BAM-Material: Code=th4ta
Technische Information: <http://www.ps.bam.de> Version 2.1, io=1,1, ColSp=1

	A	B	C	D	E	F	G	H	I	J	K	L	M	N	O	P	Q	R	S	T	U	V	W	X	Y	Z	a	b	c	d	e	f	g	h	i	j	k	lab*oly**					
01	0.0	0.0	0.0	0.0	0.0	0.0	0.0	0.0	0.0	0.0	0.13	0.12	0.12	0.12	0.12	0.12	0.12	0.12	0.12	0.25	0.25	0.25	0.25	0.25	0.25	0.25	0.25	0.25	1.0	1.0	1.0	1.0	1.0	1.0	1.0	1.0	1.0	1.0	0.0	0.0	0.0	0.0	
	0.0	0.13	0.25	0.38	0.5	0.63	0.75	0.88	1.0	0.0	0.13	0.25	0.38	0.5	0.63	0.75	0.88	1.0	0.0	0.12	0.25	0.38	0.5	0.63	0.75	0.88	1.0	1.0	0.88	0.75	0.63	0.5	0.38	0.25	0.13	0.0	0.0	0.0	0.0	0.0	0.0	0.0	
	0.0	0.0	0.0	0.0	0.0	0.0	0.0	0.0	0.0	0.0	0.0	0.0	0.0	0.0	0.0	0.0	0.0	0.0	0.0	0.0	0.0	0.0	0.0	0.0	0.0	0.0	0.0	0.0	1.0	0.88	0.75	0.63	0.5	0.38	0.25	0.13	0.0	0.0	0.0	0.0	0.0	0.0	0.0
02	0.0	0.0	0.0	0.0	0.0	0.0	0.0	0.0	0.0	0.12	0.13	0.13	0.13	0.13	0.13	0.13	0.13	0.13	0.13	0.25	0.25	0.25	0.25	0.25	0.25	0.25	0.25	0.25	0.88	0.88	0.88	0.88	0.88	0.88	0.88	0.88	0.88	0.88	0.88	0.13	0.13	0.13	0.13
	0.0	0.12	0.25	0.38	0.5	0.63	0.75	0.88	1.0	0.0	0.13	0.25	0.38	0.5	0.63	0.75	0.88	1.0	0.0	0.13	0.25	0.38	0.5	0.63	0.75	0.88	1.0	1.0	0.88	0.75	0.63	0.5	0.38	0.25	0.13	0.0	0.13	0.13	0.13	0.13	0.13	0.13	0.13
	0.13	0.13	0.12	0.12	0.12	0.12	0.12	0.12	0.12	0.13	0.13	0.13	0.13	0.13	0.13	0.13	0.13	0.13	0.12	0.13	0.13	0.13	0.13	0.13	0.13	0.13	0.13	1.0	0.88	0.75	0.63	0.5	0.38	0.25	0.13	0.0	0.13	0.13	0.13	0.13	0.13	0.13	0.13
03	0.0	0.0	0.0	0.0	0.0	0.0	0.0	0.0	0.0	0.12	0.13	0.13	0.13	0.13	0.13	0.13	0.13	0.13	0.25	0.25	0.25	0.25	0.25	0.25	0.25	0.25	0.25	0.75	0.75	0.75	0.75	0.75	0.75	0.75	0.75	0.75	0.75	0.25	0.25	0.25	0.25	0.25	0.25
	0.0	0.12	0.25	0.38	0.5	0.63	0.75	0.88	1.0	0.0	0.13	0.25	0.38	0.5	0.63	0.75	0.88	1.0	0.0	0.13	0.25	0.38	0.5	0.63	0.75	0.88	1.0	1.0	0.87	0.75	0.63	0.5	0.38	0.25	0.13	0.0	0.25	0.25	0.25	0.25	0.25	0.25	
	0.25	0.25	0.25	0.25	0.25	0.25	0.25	0.25	0.25	0.25	0.25	0.25	0.25	0.25	0.25	0.25	0.25	0.25	0.25	0.25	0.25	0.25	0.25	0.25	0.25	0.25	0.25	1.0	0.88	0.75	0.63	0.5	0.38	0.25	0.13	0.0	0.25	0.25	0.25	0.25	0.25	0.25	0.25
04	0.0	0.0	0.0	0.0	0.0	0.0	0.0	0.0	0.0	0.12	0.13	0.13	0.13	0.13	0.13	0.13	0.13	0.13	0.25	0.25	0.25	0.25	0.25	0.25	0.25	0.25	0.25	0.63	0.63	0.63	0.63	0.63	0.63	0.63	0.63	0.63	0.63	0.38	0.38	0.38	0.38	0.38	0.38
	0.0	0.12	0.25	0.37	0.5	0.63	0.75	0.88	1.0	0.0	0.13	0.25	0.37	0.5	0.63	0.75	0.88	1.0	0.0	0.13	0.25	0.37	0.5	0.63	0.75	0.88	1.0	1.0	0.87	0.75	0.63	0.5	0.38	0.25	0.13	0.0	0.38	0.38	0.38	0.38	0.38	0.38	0.38
	0.38	0.38	0.38	0.38	0.37	0.37	0.37	0.37	0.37	0.38	0.38	0.38	0.38	0.37	0.37	0.37	0.37	0.37	0.38	0.38	0.38	0.37	0.37	0.37	0.37	0.38	0.38	1.0	0.88	0.75	0.63	0.5	0.38	0.25	0.13	0.0	0.38	0.38	0.38	0.38	0.38	0.38	0.38
05	0.0	0.12	0.25	0.37	0.5	0.63	0.75	0.88	1.0	0.0	0.13	0.25	0.37	0.5	0.63	0.75	0.88	1.0	0.0	0.13	0.25	0.37	0.5	0.63	0.75	0.88	1.0	0.0	0.87	0.75	0.62	0.5	0.38	0.25	0.13	0.0	0.5	0.5	0.5	0.5	0.5	0.5	
	0.5	0.5	0.5	0.5	0.5	0.5	0.5	0.5	0.5	0.5	0.5	0.5	0.5	0.5	0.5	0.5	0.5	0.5	0.5	0.5	0.5	0.5	0.5	0.5	0.5	0.5	0.5	1.0	0.88	0.75	0.63	0.5	0.38	0.25	0.13	0.0	0.5	0.5	0.5	0.5	0.5	0.5	
06	0.0	0.0	0.0	0.0	0.0	0.0	0.0	0.0	0.0	0.12	0.13	0.13	0.13	0.13	0.13	0.13	0.13	0.13	0.25	0.25	0.25	0.25	0.25	0.25	0.25	0.25	0.25	0.38	0.38	0.38	0.38	0.38	0.38	0.38	0.38	0.38	0.38	0.63	0.63	0.63	0.63	0.63	0.63
	0.0	0.12	0.25	0.37	0.5	0.62	0.75	0.88	1.0	0.0	0.13	0.25	0.37	0.5	0.62	0.75	0.88	1.0	0.0	0.13	0.25	0.37	0.5	0.62	0.75	0.88	1.0	1.0	0.87	0.75	0.62	0.5	0.38	0.25	0.13	0.0	0.63	0.63	0.63	0.63	0.63	0.63	
	0.63	0.63	0.63	0.63	0.63	0.63	0.62	0.62	0.62	0.63	0.63	0.63	0.63	0.63	0.63	0.63	0.62	0.62	0.62	0.63	0.63	0.63	0.63	0.63	0.63	0.62	0.62	1.0	0.88	0.75	0.63	0.5	0.38	0.25	0.13	0.0	0.63	0.63	0.63	0.63	0.63	0.63	
07	0.0	0.0	0.0	0.0	0.0	0.0	0.0	0.0	0.0	0.12	0.13	0.13	0.13	0.13	0.13	0.13	0.13	0.13	0.25	0.25	0.25	0.25	0.25	0.25	0.25	0.25	0.25	0.25	0.25	0.25	0.25	0.25	0.25	0.25	0.25	0.25	0.25	0.25	0.75	0.75	0.75	0.75	
	0.0	0.12	0.25	0.37	0.5	0.62	0.75	0.88	1.0	0.0	0.13	0.25	0.37	0.5	0.62	0.75	0.88	1.0	0.0	0.13	0.25	0.37	0.5	0.62	0.75	0.88	1.0	1.0	0.87	0.75	0.62	0.5	0.38	0.25	0.13	0.0	0.75	0.75	0.75	0.75	0.75	0.75	
	0.75	0.75	0.75	0.75	0.75	0.75	0.75	0.75	0.75	0.75	0.75	0.75	0.75	0.75	0.75	0.75	0.75	0.75	0.75	0.75	0.75	0.75	0.75	0.75	0.75	0.75	0.75	1.0	0.88	0.75	0.63	0.5	0.38	0.25	0.13	0.0	0.75	0.75	0.75	0.75	0.75	0.75	
08	0.0	0.0	0.0	0.0	0.0	0.0	0.0	0.0	0.0	0.12	0.13	0.13	0.13	0.13	0.13	0.13	0.13	0.13	0.25	0.25	0.25	0.25	0.25	0.25	0.25	0.25	0.25	0.13	0.13	0.13	0.13	0.13	0.13	0.13	0.13	0.13	0.88	0.88	0.88	0.88	0.88	0.88	
	0.0	0.12	0.25	0.37	0.5	0.62	0.75	0.87	1.0	0.0	0.13	0.25	0.37	0.5	0.62	0.75	0.87	1.0	0.0	0.13	0.25	0.37	0.5	0.62	0.75	0.87	1.0	1.0	0.87	0.75	0.62	0.5	0.37	0.25	0.13	0.0	0.88	0.88	0.88	0.88	0.88	0.88	
	0.88	0.88	0.88	0.88	0.88	0.88	0.88	0.88	0.87	0.88	0.88	0.88	0.88	0.88	0.88	0.88	0.88	0.88	0.88	0.88	0.88	0.88	0.88	0.88	0.88	0.88	0.87	1.0	0.88	0.75	0.63	0.5	0.38	0.25	0.13	0.0	0.88	0.88	0.88	0.88	0.88	0.88	
09	0.0	0.0	0.0	0.0	0.0	0.0	0.0	0.0	0.0	0.12	0.13	0.13	0.13	0.13	0.13	0.13	0.13	0.13	0.25	0.25	0.25	0.25	0.25	0.25	0.25	0.25	0.25	0.0	0.0	0.0	0.0	0.0	0.0	0.0	0.0	0.0	0.0	1.0	1.0	1.0	1.0	1.0	1.0
	0.0	0.12	0.25	0.37	0.5	0.62	0.75	0.87	1.0	0.0	0.13	0.25	0.37	0.5	0.62	0.75	0.87	1.0	0.0	0.13	0.25	0.37	0.5	0.62	0.75	0.87	1.0	1.0	0.87	0.75	0.62	0.5	0.37	0.25	0.12	0.0	1.0	1.0	1.0	1.0	1.0	1.0	
	1.0	1.0	1.0	1.0	1.0	1.0	1.0	1.0	1.0	1.0	1.0	1.0	1.0	1.0	1.0	1.0	1.0	1.0	1.0	1.0	1.0	1.0	1.0	1.0	1.0	1.0	1.0	1.0	1.0	0.88	0.75	0.63	0.5	0.38	0.25	0.13	0.0	1.0	1.0	1.0	1.0		
10	0.38	0.38	0.38	0.37	0.37	0.37	0.37	0.37	0.37	0.5	0.5	0.5	0.5	0.5	0.5	0.5	0.5	0.5	0.63	0.63	0.63	0.63	0.63	0.63	0.63	0.63	0.63	0.63	1.0	1.0	1.0	1.0	1.0	1.0	1.0	1.0	1.0	1.0	0.0	0.0	0.0	0.0	
	0.0	0.12	0.25	0.38	0.5	0.63	0.75	0.88	1.0	0.0	0.12	0.25	0.37	0.5	0.63	0.75	0.88	1.0	0.0	0.12	0.25	0.37	0.5	0.63	0.75	0.88	1.0	1.0	1.0	1.0	1.0	1.0	1.0	1.0	1.0	1.0	0.0	0.0	0.0	0.0	0.0	0.0	
	0.38	0.38	0.38	0.37	0.37	0.37	0.37	0.37	0.37	0.5	0.5	0.5	0.5	0.5	0.5	0.5	0.5	0.5	0.63	0.63	0.63	0.63	0.63	0.63	0.63	0.63	0.63	0.63	1.0	0.88	0.75	0.63	0.5	0.38	0.25	0.13	0.0	0.0	0.0	0.0	0.0	0.0	
11	0.0	0.13	0.25	0.38	0.5	0.63	0.75	0.88	1.0	0.0	0.13	0.25	0.37	0.5	0.63	0.75</																											

BAM-Registrierung: 20081001-Eg42/10L/L42G00NA.PS/.TXT BAM-Material: Code=th4ta
Anwendung für Beurteilung und Messung von Drucker- oder Monitorsystemen

Ein und Ausgabe:
Farbmetrisches Drucker-Reflektiv-System ORS19_96a
Daten für jede Farbe:

u^*_d und Nummer $Nr.$ = 00 .. 15

Geräte-Bunttontext:

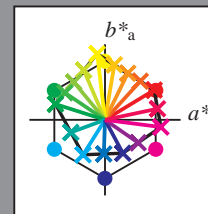
u^*_d = 16 Bunttoene *o00y*, *o25y*, ..., *m50o*

Kontrastreduzierungsfaktor:

$c_R = 1.0$

ORS19_96a; adaptierte CIELAB-Daten

u^*_d	$L^*=L^*_a$	a^*_a	b^*_a	$C^*_{ab,a}$	$h^*_{ab,a}$	u^*_e
<i>o00y</i>	48.75	65.07	39.43	76.08	31	<i>r08j</i>
<i>o25y</i>	59.04	46.67	51.1	69.21	48	<i>r33j</i>
<i>o50y</i>	68.32	30.09	61.62	68.58	64	<i>r57j</i>
<i>o75y</i>	78.23	12.39	72.85	73.9	80	<i>r81j</i>
<i>y00l</i>	90.92	-10.29	87.24	87.85	97	<i>j06g</i>
<i>y25l</i>	78.57	-28.11	65.75	71.51	113	<i>j29g</i>
<i>y50l</i>	69.46	-41.25	49.92	64.75	130	<i>j53g</i>
<i>y75l</i>	61.32	-52.99	35.76	63.92	146	<i>j76g</i>
<i>l00c</i>	52.69	-65.44	20.75	68.65	162	<i>g00b</i>
<i>l50c</i>	56.55	-45.12	-16.57	48.07	200	<i>g34b</i>
<i>c00v</i>	59.61	-28.98	-46.22	54.56	238	<i>g69b</i>
<i>c50v</i>	43.33	-1.54	-45.13	45.16	268	<i>g96b</i>
<i>v00m</i>	28.39	23.63	-44.13	50.06	298	<i>b23r</i>
<i>v50m</i>	36.9	43.84	-30.24	53.26	325	<i>b47r</i>
<i>m00o</i>	49.58	73.93	-9.56	74.55	353	<i>b71r</i>
<i>m50o</i>	49.17	69.55	14.68	71.08	12	<i>b88r</i>



%Umfang

$u^*_{rel} = 89$

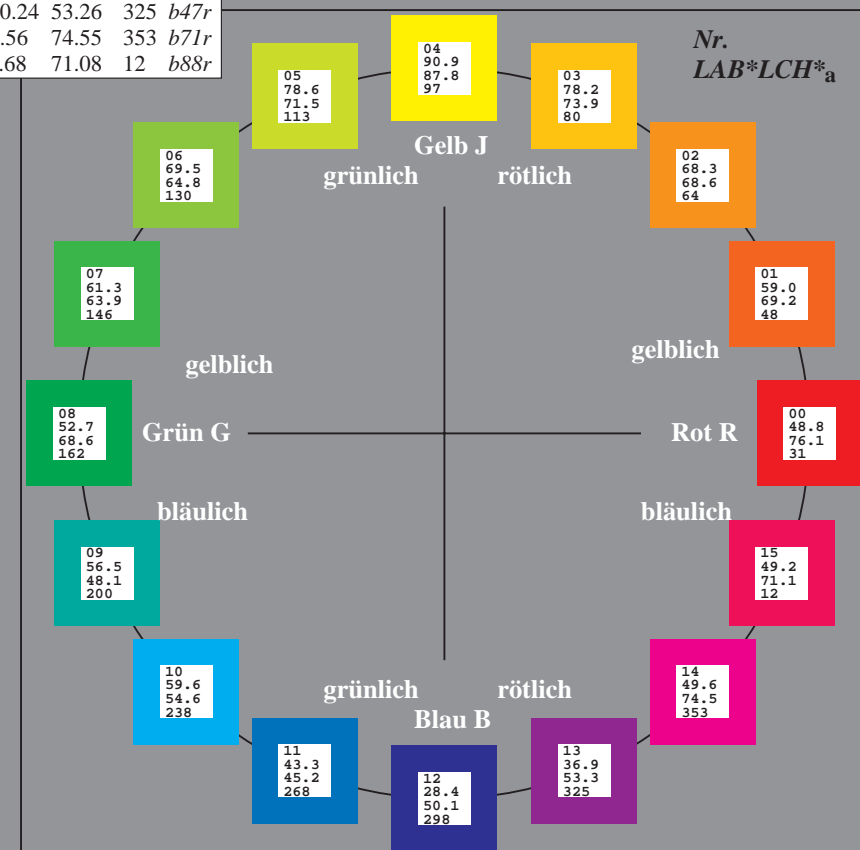
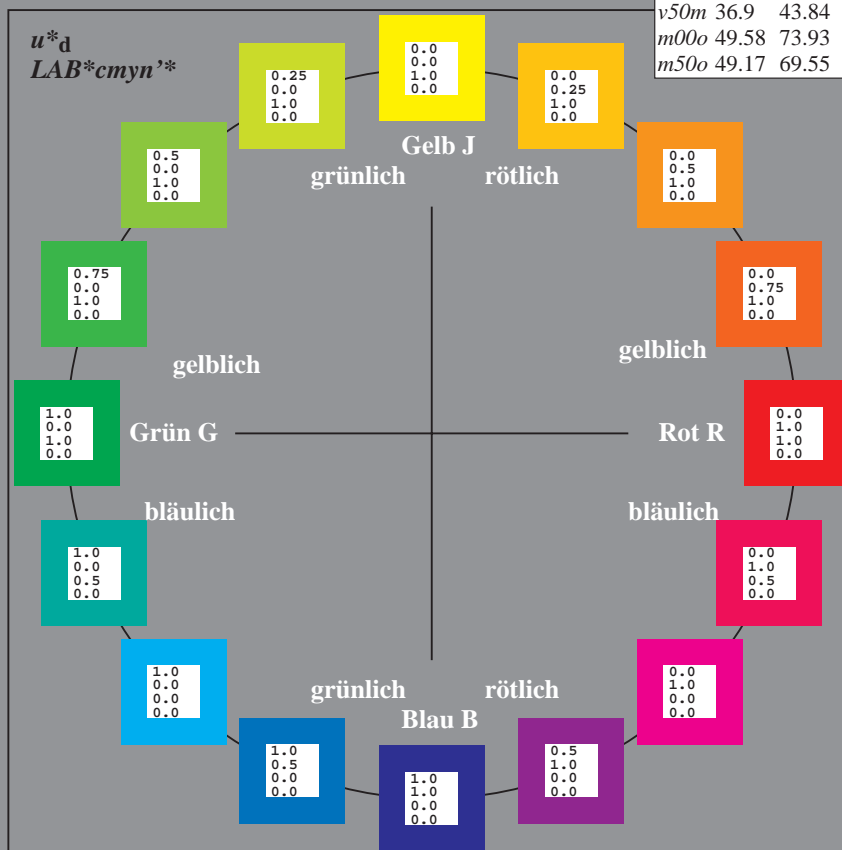
%Regularität

$g^*_{H,rel} = 72$

$g^*_{C,rel} = 57$

ORS19_96a; CIELAB-Daten

Name	$L^*=L^*_a$	a^*_a	b^*_a	C^*_{ab}	h^*_{ab}
O_M	48.75	65.16	40.76	76.86	32
Y_M	90.92	-10.78	89.36	90.01	97
L_M	52.69	-65.4	22.15	69.05	161
C_M	59.61	-29.04	-44.69	53.3	237
V_M	28.39	24.0	-43.18	49.4	299
M_M	49.58	74.01	-8.22	74.47	354
N_M	18.89	0.5	0.77	0.92	57
W_M	96.9	-0.57	2.23	2.3	104
O_{CIE}	39.92	58.74	27.99	65.07	25
Y_{CIE}	81.26	-2.89	71.56	71.62	92
L_{CIE}	52.23	-42.42	13.6	44.55	162
V_{CIE}	30.57	1.41	-46.47	46.49	272



Ein und Ausgabe: Farbmimetrisches Drucker-Reflektiv-System ORS19_96a für relativen CIELAB-Buntton $h^* = lab^*h^* = h_{ab}/360 = 0.087$

Daten für jede Farbe:

lab^*ch^* und lab^*icu^*

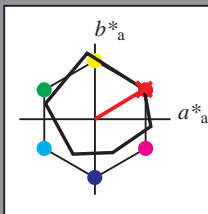
Bunttontexte:

$u^*_d = o00y$ $u^*_e = r08j$

Kontrastreduzierungsfaktor:

$c_R = 1.0$

Dreiecks-Helligkeit i^*



ORS19_96a; CIELAB-Daten

u^*_d	$L^*=L^*_a$	a^*	b^*	C^*_{ab}	h^*_{ab}
O _M	48.75	65.16	40.76	76.86	32
Y _M	90.92	-10.78	89.36	90.01	97
L _M	52.69	-65.4	22.15	69.05	161
C _M	59.61	-29.04	-44.69	53.3	237
V _M	28.39	24.0	-43.18	49.4	299
M _M	49.58	74.01	-8.22	74.47	354
N _M	18.89	0.5	0.77	0.92	57
W _M	96.9	-0.57	2.23	2.3	104
O _M	39.92	58.74	27.99	65.07	25
Y _M	81.26	-2.89	71.56	71.62	92
L _M	52.23	-42.42	13.6	44.55	162
V _M	30.57	1.41	-46.47	46.49	272

Daten für Maximalfarbe (Ma):

LAB^*LAB^*Ma : 49 65 39

LAB^*LCH^*Ma : 49 76 31

lab^*olv^*Ma : 1.0 0.0 0.0

lab^*rgb^*Ma : 1.0 0.09 0.0

Dreiecks-Helligkeit i^*

%Umfang

$u^*_{rel} = 89$

%Regularität

$g^*_{H,rel} = 72$

$g^*_{C,rel} = 57$

$u^*_d = o00y$

LAB^*cmyn^*

ORS19_96a; adaptierte CIELAB-Daten

u^*_d	$L^*=L^*_a$	a^*_a	b^*_a	$C^*_{ab,a}$	$h^*_{ab,a}$	u^*_e
$o00y$	48.75	65.07	39.43	76.08	31	$r08j$
$o25y$	59.04	46.67	51.1	69.21	48	$r33j$
$o50y$	68.32	30.09	61.62	68.58	64	$r57j$
$o75y$	78.23	12.39	72.85	73.9	80	$r81j$
$y00l$	90.92	-10.29	87.24	87.85	97	$j06g$
$y25l$	78.57	-28.11	65.75	71.51	113	$j29g$
$y50l$	69.46	-41.25	49.92	64.75	130	$j53g$
$y75l$	61.32	-52.99	35.76	63.92	146	$j76g$
$l00c$	52.69	-65.44	20.75	68.65	162	$g00b$
$l50c$	56.55	-45.12	-16.57	48.07	200	$g34b$
$c00v$	59.61	-28.98	-46.22	54.56	238	$g69b$
$c50v$	43.33	-1.54	-45.13	45.16	268	$g96b$
$v00m$	28.39	23.63	-44.13	50.06	298	$b23r$
$v50m$	36.9	43.84	-30.24	53.26	325	$b47r$
$m00o$	49.58	73.93	-9.56	74.55	353	$b71r$
$m50o$	49.17	69.55	14.68	71.08	12	$b88r$

LAB^*cmyn^*

$i^* = 1.00$

Brillantheit i^*

$i^* = 0.80$

$i^* = 0.60$

$i^* = 0.40$

$i^* = 0.20$

$i^* = 0.00$

Ein und Ausgabe: Farbmimetrisches Drucker-Reflektiv-System ORS19_96a für relativen CIELAB-Buntton $h^* = lab^*h^* = h_{ab}/360 = 0.132$

Daten für jede Farbe:

lab^*ch^* und lab^*icu^*

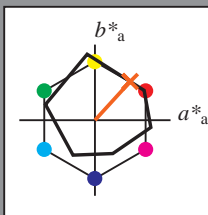
Bunttontexte:

$u^*_d = o25y$ $u^*_e = r33j$

Kontrastreduzierungsfaktor:

$c_R = 1.0$

Dreiecks-Helligkeit i^*



ORS19_96a; CIELAB-Daten

u^*_d	$L^*=L^*$	a^*	b^*	C^*_{ab}	h^*_{ab}
O _M	48.75	65.16	40.76	76.86	32
Y _M	90.92	-10.78	89.36	90.01	97
L _M	52.69	-65.4	22.15	69.05	161
C _M	59.61	-29.04	-44.69	53.3	237
V _M	28.39	24.0	-43.18	49.4	299
M _M	49.58	74.01	-8.22	74.47	354
N _M	18.89	0.5	0.77	0.92	57
W _M	96.9	-0.57	2.23	2.3	104
O _M	39.92	58.74	27.99	65.07	25
Y _M	81.26	-2.89	71.56	71.62	92
L _M	52.23	-42.42	13.6	44.55	162
V _M	30.57	1.41	-46.47	46.49	272

Daten für Maximalfarbe (Ma):

LAB^*LAB^*Ma : 59 47 51

LAB^*LCH^*Ma : 59 69 47

lab^*olv^*Ma : 1.0 0.25 0.0

lab^*rgb^*Ma : 1.0 0.33 0.0

Dreiecks-Helligkeit i^*

%Umfang

$u^*_{rel} = 89$

%Regularität

$g^*_{H,rel} = 72$

$g^*_{C,rel} = 57$

$u^*_d = o25y$
 LAB^*cmyn^*

ORS19_96a; adaptierte CIELAB-Daten

u^*_d	$L^*=L^*$	a^*_a	b^*_a	$C^*_{ab,a}$	$h^*_{ab,a}$	u^*_e
o00y	48.75	65.07	39.43	76.08	31	r08j
o25y	59.04	46.67	51.1	69.21	48	r33j
o50y	68.32	30.09	61.62	68.58	64	r57j
o75y	78.23	12.39	72.85	73.9	80	r81j
y00l	90.92	-10.29	87.24	87.85	97	j06g
y25l	78.57	-28.11	65.75	71.51	113	j29g
y50l	69.46	-41.25	49.92	64.75	130	j53g
y75l	61.32	-52.99	35.76	63.92	146	j76g
l00c	52.69	-65.44	20.75	68.65	162	g00b
l50c	56.55	-45.12	-16.57	48.07	200	g34b
c00v	59.61	-28.98	-46.22	54.56	238	g69b
c50v	43.33	-1.54	-45.13	45.16	268	g96b
v00m	28.39	23.63	-44.13	50.06	298	b23r
v50m	36.9	43.84	-30.24	53.26	325	b47r
m00o	49.58	73.93	-9.56	74.55	353	b71r
m50o	49.17	69.55	14.68	71.08	12	b88r

LAB^*cmyn^*

$i^* = 1.00$

Brillantheit i^*

$i^* = 0.80$

$i^* = 0.60$

$i^* = 0.40$

$i^* = 0.20$

$i^* = 0.00$

Ein und Ausgabe: Farbmimetrisches Drucker-Reflektiv-System ORS19_96a für relativen CIELAB-Buntton $h^* = lab^*h^* = h_{ab}/360 = 0.178$

Daten für jede Farbe:

lab^*tch^* und lab^*icu^*

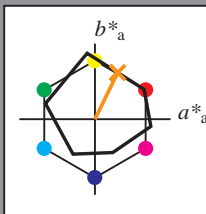
Bunttontexte:

$u^*_d = o50y$ $u^*_e = r57j$

Kontrastreduzierungsfaktor:

$c_R = 1.0$

Dreiecks-Helligkeit i^*



ORS19_96a; CIELAB-Daten						
u^*_d	$L^*=L^*$	a^*	b^*	C^*_{ab}	h^*_{ab}	
O _M	48.75	65.16	40.76	76.86	32	
Y _M	90.92	-10.78	89.36	90.01	97	
L _M	52.69	-65.4	22.15	69.05	161	
C _M	59.61	-29.04	-44.69	53.3	237	
V _M	28.39	24.0	-43.18	49.4	299	
M _M	49.58	74.01	-8.22	74.47	354	
N _M	18.89	0.5	0.77	0.92	57	
W _M	96.9	-0.57	2.23	2.3	104	
O _M	39.92	58.74	27.99	65.07	25	
Y _M	81.26	-2.89	71.56	71.62	92	
L _M	52.23	-42.42	13.6	44.55	162	
V _M	30.57	1.41	-46.47	46.49	272	

Daten für Maximalfarbe (Ma):

LAB^*LAB^*Ma : 68 30 62

LAB^*LCH^*Ma : 68 69 63

lab^*olv^*Ma : 1.0 0.5 0.0

lab^*rgb^*Ma : 1.0 0.58 0.0

Dreiecks-Helligkeit i^*

%Umfang

$u^*_{rel} = 89$

%Regularität

$g^*_{H,rel} = 72$

$g^*_{C,rel} = 57$

ORS19_96a; adaptierte CIELAB-Daten									
u^*_d	$L^*=L^*$	a^*	b^*	$C^*_{ab,a}$	$h^*_{ab,a}$	u^*_e			
o00y	48.75	65.07	39.43	76.08	31	r08j			
o25y	59.04	46.67	51.1	69.21	48	r33j			
o50y	68.32	30.09	61.62	68.58	64	r57j			
o75y	78.23	12.39	72.85	73.9	80	r81j			
y00l	90.92	-10.29	87.24	87.85	97	j06g			
y25l	78.57	-28.11	65.75	71.51	113	j29g			
y50l	69.46	-41.25	49.92	64.75	130	j53g			
y75l	61.32	-52.99	35.76	63.92	146	j76g			
l00c	52.69	-65.44	20.75	68.65	162	g00b			
l50c	56.55	-45.12	-16.57	48.07	200	g34b			
c00v	59.61	-28.98	-46.22	54.56	238	g69b			
c50v	43.33	-1.54	-45.13	45.16	268	g96b			
v00m	28.39	23.63	-44.13	50.06	298	b23r			
v50m	36.9	43.84	-30.24	53.26	325	b47r			
m00o	49.58	73.93	-9.56	74.55	353	b71r			
m50o	49.17	69.55	14.68	71.08	12	b88r			

$LAB^*cmy^n^*$

$i^* = 1.00$

Brillantheit i^*

$i^* = 0.80$

$i^* = 0.60$

$i^* = 0.40$

$i^* = 0.20$

$i^* = 0.00$

BAM-Registrierung: 20081001-Eg42/10L/L42G00NA.PS/.TXT BAM-Material: Code=rh4ta
Anwendung für Beurteilung und Messung von Drucker- oder Monitorssystemen

Ein und Ausgabe: Farbmimetrisches Drucker-Reflektiv-System ORS19_96a für relativen CIELAB-Buntton $h^* = lab^*h^* = h_{ab}/360 = 0.223$

Daten für jede Farbe:

lab^*ch^* und lab^*icu^*

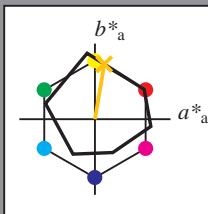
Bunttontexte:

$u^*_d = o75y$ $u^*_e = r81j$

Kontrastreduzierungsfaktor:

$c_R = 1.0$

Dreiecks-Helligkeit i^*



ORS19_96a; CIELAB-Daten						
u^*_d	$L^*=L^*$	a^*	b^*	C^*_{ab}	h^*_{ab}	
O _M	48.75	65.16	40.76	76.86	32	
Y _M	90.92	-10.78	89.36	90.01	97	
L _M	52.69	-65.4	22.15	69.05	161	
C _M	59.61	-29.04	-44.69	53.3	237	
V _M	28.39	24.0	-43.18	49.4	299	
M _M	49.58	74.01	-8.22	74.47	354	
N _M	18.89	0.5	0.77	0.92	57	
W _M	96.9	-0.57	2.23	2.3	104	
O _M	39.92	58.74	27.99	65.07	25	
Y _M	81.26	-2.89	71.56	71.62	92	
L _M	52.23	-42.42	13.6	44.55	162	
V _M	30.57	1.41	-46.47	46.49	272	

Daten für Maximalfarbe (Ma):

$LAB^*LAB^*_{Ma}$: 78 12 73

$LAB^*LCH^*_{Ma}$: 78 74 80

$lab^*olv^*_{Ma}$: 1.0 0.75 0.0

$lab^*rgb^*_{Ma}$: 1.0 0.82 0.0

Dreiecks-Helligkeit i^*

%Umfang

$u^*_{rel} = 89$

%Regularität

$g^*_{H,rel} = 72$

$g^*_{C,rel} = 57$

ORS19_96a; adaptierte CIELAB-Daten									
u^*_d	$L^*=L^*$	a^*	b^*	$C^*_{ab,a}$	$h^*_{ab,a}$	u^*_e			
o00y	48.75	65.07	39.43	76.08	31	r08j			
o25y	59.04	46.67	51.1	69.21	48	r33j			
o50y	68.32	30.09	61.62	68.58	64	r57j			
o75y	78.23	12.39	72.85	73.9	80	r81j			
y00l	90.92	-10.29	87.24	87.85	97	j06g			
y25l	78.57	-28.11	65.75	71.51	113	j29g			
y50l	69.46	-41.25	49.92	64.75	130	j53g			
y75l	61.32	-52.99	35.76	63.92	146	j76g			
l00c	52.69	-65.44	20.75	68.65	162	g00b			
l50c	56.55	-45.12	-16.57	48.07	200	g34b			
c00v	59.61	-28.98	-46.22	54.56	238	g69b			
c50v	43.33	-1.54	-45.13	45.16	268	g96b			
v00m	28.39	23.63	-44.13	50.06	298	b23r			
v50m	36.9	43.84	-30.24	53.26	325	b47r			
m00o	49.58	73.93	-9.56	74.55	353	b71r			
m50o	49.17	69.55	14.68	71.08	12	b88r			

$LAB^*cmy^n^*$

$i^* = 1.00$

Brillantheit i^*

$i^* = 0.80$

$i^* = 0.60$

$i^* = 0.40$

$i^* = 0.20$

$i^* = 0.00$

Ein und Ausgabe: Farbmimetrisches Drucker-Reflektiv-System ORS19_96a für relativen CIELAB-Buntton $h^* = \text{lab}^*h^* = h_{ab}/360 = 0.269$

Daten für jede Farbe:

lab^*tch^* und lab^*icu^*

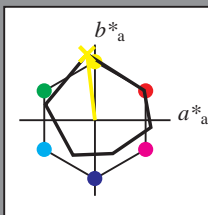
Bunttontexte:

$u^*_d = y00l$ $u^*_e = j06g$

Kontrastreduzierungsfaktor:

$c_R = 1.0$

Dreiecks-Helligkeit i^*



ORS19_96a; CIELAB-Daten

u^*_d	$L^*=L^*_a$	a^*	b^*	C^*_{ab}	h^*_{ab}
O _M	48.75	65.16	40.76	76.86	32
Y _M	90.92	-10.78	89.36	90.01	97
L _M	52.69	-65.4	22.15	69.05	161
C _M	59.61	-29.04	-44.69	53.3	237
V _M	28.39	24.0	-43.18	49.4	299
M _M	49.58	74.01	-8.22	74.47	354
N _M	18.89	0.5	0.77	0.92	57
W _M	96.9	-0.57	2.23	2.3	104
O _M	39.92	58.74	27.99	65.07	25
Y _M	81.26	-2.89	71.56	71.62	92
L _M	52.23	-42.42	13.6	44.55	162
V _M	30.57	1.41	-46.47	46.49	272

Daten für Maximalfarbe (Ma):

$\text{LAB}^*\text{LAB}^*_{\text{Ma}}$: 91 -10 87

$\text{LAB}^*\text{LCH}^*_{\text{Ma}}$: 91 88 96

$\text{lab}^*\text{olv}^*_{\text{Ma}}$: 1.0 1.0 0.0

$\text{lab}^*\text{rgb}^*_{\text{Ma}}$: 0.94 1.0 0.0

Dreiecks-Helligkeit i^*

%Umfang

$u^*_{\text{rel}} = 89$

%Regularität

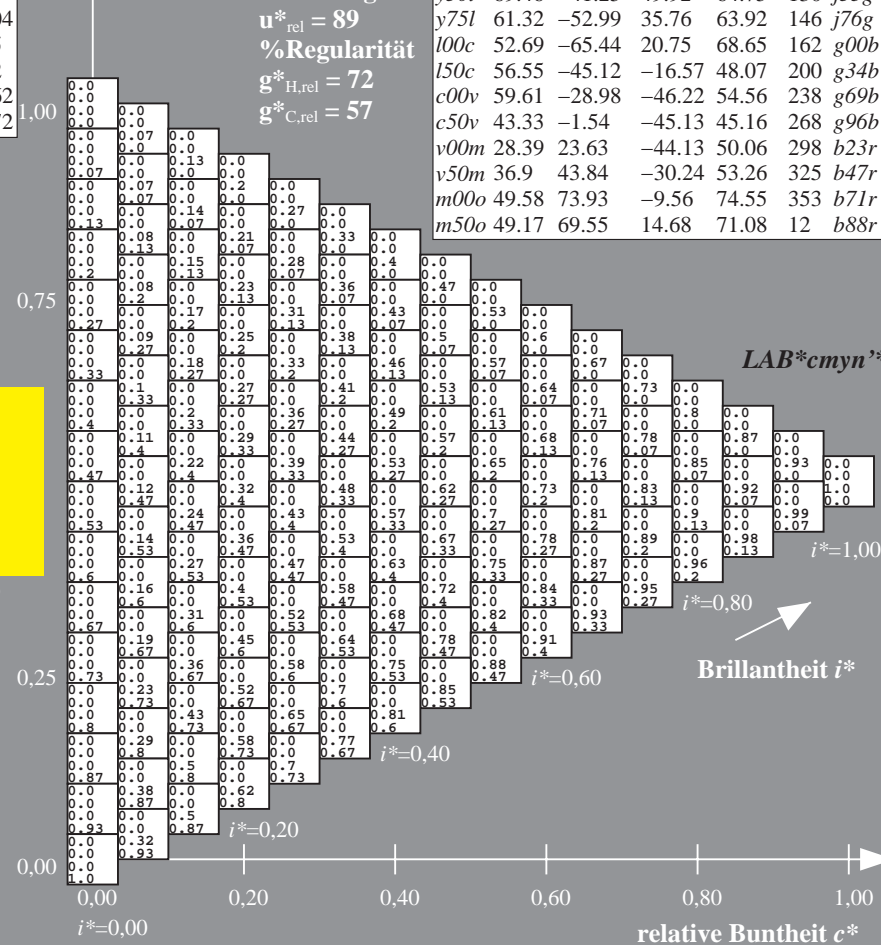
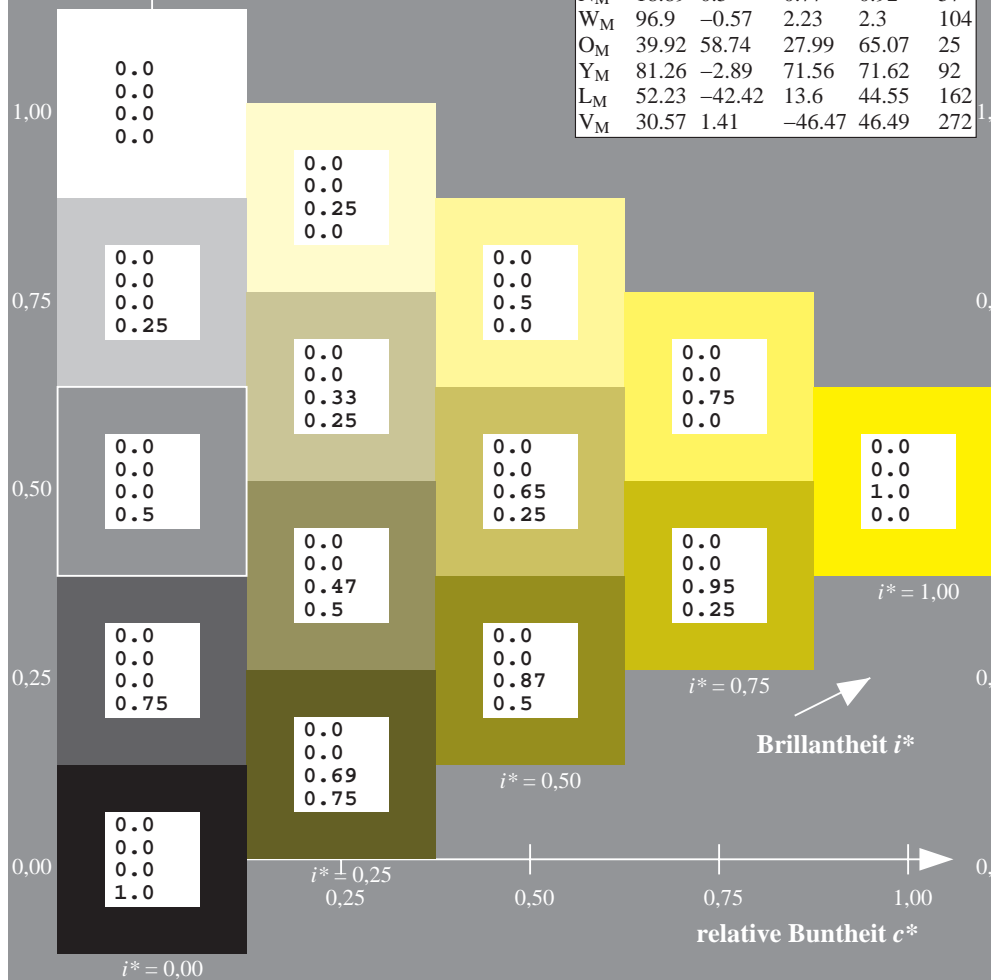
$g^*_{H,\text{rel}} = 72$

$g^*_{C,\text{rel}} = 57$

$u^*_d = y00l$
 $\text{LAB}^*\text{cmyn}^*$

ORS19_96a; adaptierte CIELAB-Daten

u^*_d	$L^*=L^*_a$	a^*_a	b^*_a	$C^*_{ab,a}$	$h^*_{ab,a}$	u^*_e
o00y	48.75	65.07	39.43	76.08	31	r08j
o25y	59.04	46.67	51.1	69.21	48	r33j
o50y	68.32	30.09	61.62	68.58	64	r57j
o75y	78.23	12.39	72.85	73.9	80	r81j
y00l	90.92	-10.29	87.24	87.85	97	j06g
y25l	78.57	-28.11	65.75	71.51	113	j29g
y50l	69.46	-41.25	49.92	64.75	130	j53g
y75l	61.32	-52.99	35.76	63.92	146	j76g
l00c	52.69	-65.44	20.75	68.65	162	g00b
l50c	56.55	-45.12	-16.57	48.07	200	g34b
c00v	59.61	-28.98	-46.22	54.56	238	g69b
c50v	43.33	-1.54	-45.13	45.16	268	g96b
v00m	28.39	23.63	-44.13	50.06	298	b23r
v50m	36.9	43.84	-30.24	53.26	325	b47r
m00o	49.58	73.93	-9.56	74.55	353	b71r
m50o	49.17	69.55	14.68	71.08	12	b88r



Ein und Ausgabe: Farbmimetrisches Drucker-Reflektiv-System ORS19_96a für relativen CIELAB-Buntton $h^* = \text{lab}^*h^* = h_{ab}/360 = 0.314$

Daten für jede Farbe:

lab^*tch^* und lab^*icu^*

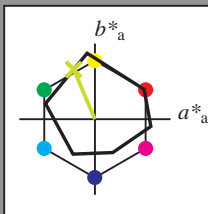
Bunttontexte:

$u^*_d = y25l$ $u^*_e = j29g$

Kontrastreduzierungsfaktor:

$c_R = 1.0$

Dreiecks-Helligkeit t^*



ORS19_96a; CIELAB-Daten

u^*_d	$L^*=L^*$	a^*	b^*	C^*_{ab}	h^*_{ab}
O _M	48.75	65.16	40.76	76.86	32
Y _M	90.92	-10.78	89.36	90.01	97
L _M	52.69	-65.4	22.15	69.05	161
C _M	59.61	-29.04	-44.69	53.3	237
V _M	28.39	24.0	-43.18	49.4	299
M _M	49.58	74.01	-8.22	74.47	354
N _M	18.89	0.5	0.77	0.92	57
W _M	96.9	-0.57	2.23	2.3	104
O _M	39.92	58.74	27.99	65.07	25
Y _M	81.26	-2.89	71.56	71.62	92
L _M	52.23	-42.42	13.6	44.55	162
V _M	30.57	1.41	-46.47	46.49	272

Daten für Maximalfarbe (Ma):

$\text{LAB}^*\text{LAB}^*_{\text{Ma}}: 79 -28 66$

$\text{LAB}^*\text{LCH}^*_{\text{Ma}}: 79 72 113$

$\text{lab}^*\text{olv}^*_{\text{Ma}}: 0.75 1.0 0.0$

$\text{lab}^*\text{rgb}^*_{\text{Ma}}: 0.7 1.0 0.0$

Dreiecks-Helligkeit t^*

%Umfang

$u^*_{\text{rel}} = 89$

%Regularität

$g^*_{H,\text{rel}} = 72$

$g^*_{C,\text{rel}} = 57$

$u^*_d = y25l$
 $\text{LAB}^*\text{cmyn}^*$

ORS19_96a; adaptierte CIELAB-Daten

u^*_d	$L^*=L^*$	a^*_a	b^*_a	$C^*_{ab,a}$	$h^*_{ab,a}$	u^*_e
o00y	48.75	65.07	39.43	76.08	31	r08j
o25y	59.04	46.67	51.1	69.21	48	r33j
o50y	68.32	30.09	61.62	68.58	64	r57j
o75y	78.23	12.39	72.85	73.9	80	r81j
y00l	90.92	-10.29	87.24	87.85	97	j06g
y25l	78.57	-28.11	65.75	71.51	113	j29g
y50l	69.46	-41.25	49.92	64.75	130	j53g
y75l	61.32	-52.99	35.76	63.92	146	j76g
l00c	52.69	-65.44	20.75	68.65	162	g00b
l50c	56.55	-45.12	-16.57	48.07	200	g34b
c00v	59.61	-28.98	-46.22	54.56	238	g69b
c50v	43.33	-1.54	-45.13	45.16	268	g96b
v00m	28.39	23.63	-44.13	50.06	298	b23r
v50m	36.9	43.84	-30.24	53.26	325	b47r
m00o	49.58	73.93	-9.56	74.55	353	b71r
m50o	49.17	69.55	14.68	71.08	12	b88r

$\text{LAB}^*\text{cmyn}^*$

$i^* = 1.00$

Brillanzheit i^*

$i^* = 0.80$

$i^* = 0.60$

$i^* = 0.40$

$i^* = 0.20$

$i^* = 0.00$

relative Buntheit c^*

Ein und Ausgabe: Farbmimetrisches Drucker-Reflektiv-System ORS19_96a für relativen CIELAB-Buntton $h^* = \text{lab}^*h^* = h_{ab}/360 = 0.36$

Daten für jede Farbe:

lab^*tch^* und lab^*icu^*

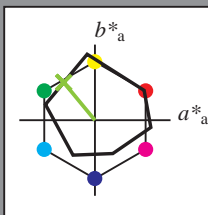
Bunttontexte:

$u^*_d = y50l$ $u^*_e = j53g$

Kontrastreduzierungsfaktor:

$c_R = 1.0$

Dreiecks-Helligkeit t^*



ORS19_96a; CIELAB-Daten

u^*_d	$L^*=L^*$	a^*	b^*	C^*_{ab}	h^*_{ab}
O _M	48.75	65.16	40.76	76.86	32
Y _M	90.92	-10.78	89.36	90.01	97
L _M	52.69	-65.4	22.15	69.05	161
C _M	59.61	-29.04	-44.69	53.3	237
V _M	28.39	24.0	-43.18	49.4	299
M _M	49.58	74.01	-8.22	74.47	354
N _M	18.89	0.5	0.77	0.92	57
W _M	96.9	-0.57	2.23	2.3	104
O _M	39.92	58.74	27.99	65.07	25
Y _M	81.26	-2.89	71.56	71.62	92
L _M	52.23	-42.42	13.6	44.55	162
V _M	30.57	1.41	-46.47	46.49	272

Daten für Maximalfarbe (Ma):

$\text{LAB}^*\text{LAB}^*_{\text{Ma}}$: 69 -41 50

$\text{LAB}^*\text{LCH}^*_{\text{Ma}}$: 69 65 129

$\text{lab}^*\text{olv}^*_{\text{Ma}}$: 0.5 1.0 0.0

$\text{lab}^*\text{rgb}^*_{\text{Ma}}$: 0.47 1.0 0.0

Dreiecks-Helligkeit t^*

%Umfang

$u^*_{\text{rel}} = 89$

%Regularität

$g^*_{H,\text{rel}} = 72$

$g^*_{C,\text{rel}} = 57$

$u^*_d = y50l$
 $\text{LAB}^*\text{cmyn}^*$

ORS19_96a; adaptierte CIELAB-Daten

u^*_d	$L^*=L^*$	a^*	b^*	$C^*_{ab,a}$	$h^*_{ab,a}$	u^*_e
o00y	48.75	65.07	39.43	76.08	31	r08j
o25y	59.04	46.67	51.1	69.21	48	r33j
o50y	68.32	30.09	61.62	68.58	64	r57j
o75y	78.23	12.39	72.85	73.9	80	r81j
y00l	90.92	-10.29	87.24	87.85	97	j06g
y25l	78.57	-28.11	65.75	71.51	113	j29g
y50l	69.46	-41.25	49.92	64.75	130	j53g
y75l	61.32	-52.99	35.76	63.92	146	j76g
l00c	52.69	-65.44	20.75	68.65	162	g00b
l50c	56.55	-45.12	-16.57	48.07	200	g34b
c00v	59.61	-28.98	-46.22	54.56	238	g69b
c50v	43.33	-1.54	-45.13	45.16	268	g96b
v00m	28.39	23.63	-44.13	50.06	298	b23r
v50m	36.9	43.84	-30.24	53.26	325	b47r
m00o	49.58	73.93	-9.56	74.55	353	b71r
m50o	49.17	69.55	14.68	71.08	12	b88r

$\text{LAB}^*\text{cmyn}^*$

$i^* = 1.00$

Brillantheit i^*

$i^* = 0.80$

$i^* = 0.60$

$i^* = 0.40$

$i^* = 0.20$

$i^* = 0.00$

Ein und Ausgabe: Farbmimetrisches Drucker-Reflektiv-System ORS19_96a für relativen CIELAB-Buntton $h^* = \text{lab}^*h^* = h_{ab}/360 = 0.406$

Daten für jede Farbe:

lab^*tch^* und lab^*icu^*

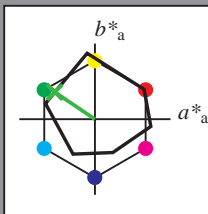
Bunttontexte:

$u^*_d = y75l$ $u^*_e = j76g$

Kontrastreduzierungsfaktor:

$c_R = 1.0$

Dreiecks-Helligkeit t^*



ORS19_96a; CIELAB-Daten

u^*_d	$L^*=L^*$	a^*	b^*	C^*_{ab}	h^*_{ab}
O _M	48.75	65.16	40.76	76.86	32
Y _M	90.92	-10.78	89.36	90.01	97
L _M	52.69	-65.4	22.15	69.05	161
C _M	59.61	-29.04	-44.69	53.3	237
V _M	28.39	24.0	-43.18	49.4	299
M _M	49.58	74.01	-8.22	74.47	354
N _M	18.89	0.5	0.77	0.92	57
W _M	96.9	-0.57	2.23	2.3	104
O _M	39.92	58.74	27.99	65.07	25
Y _M	81.26	-2.89	71.56	71.62	92
L _M	52.23	-42.42	13.6	44.55	162
V _M	30.57	1.41	-46.47	46.49	272

Daten für Maximalfarbe (Ma):

$\text{LAB}^*\text{LAB}^*_{\text{Ma}}$: 61 -53 36

$\text{LAB}^*\text{LCH}^*_{\text{Ma}}$: 61 64 145

$\text{lab}^*\text{olv}^*_{\text{Ma}}$: 0.25 1.0 0.0

$\text{lab}^*\text{rgb}^*_{\text{Ma}}$: 0.23 1.0 0.0

Dreiecks-Helligkeit t^*

%Umfang

$u^*_{\text{rel}} = 89$

%Regularität

$g^*_{H,\text{rel}} = 72$

$g^*_{C,\text{rel}} = 57$

$u^*_d = y75l$
 $\text{LAB}^*\text{cmyn}^*$

ORS19_96a; adaptierte CIELAB-Daten

u^*_d	$L^*=L^*$	a^*_a	b^*_a	$C^*_{ab,a}$	$h^*_{ab,a}$	u^*_e
o00y	48.75	65.07	39.43	76.08	31	r08j
o25y	59.04	46.67	51.1	69.21	48	r33j
o50y	68.32	30.09	61.62	68.58	64	r57j
o75y	78.23	12.39	72.85	73.9	80	r81j
y00l	90.92	-10.29	87.24	87.85	97	j06g
y25l	78.57	-28.11	65.75	71.51	113	j29g
y50l	69.46	-41.25	49.92	64.75	130	j53g
y75l	61.32	-52.99	35.76	63.92	146	j76g
l00c	52.69	-65.44	20.75	68.65	162	g00b
l50c	56.55	-45.12	-16.57	48.07	200	g34b
c00v	59.61	-28.98	-46.22	54.56	238	g69b
c50v	43.33	-1.54	-45.13	45.16	268	g96b
v00m	28.39	23.63	-44.13	50.06	298	b23r
v50m	36.9	43.84	-30.24	53.26	325	b47r
m00o	49.58	73.93	-9.56	74.55	353	b71r
m50o	49.17	69.55	14.68	71.08	12	b88r

$\text{LAB}^*\text{cmyn}^*$

$i^* = 1.00$

$i^* = 0.80$

Brillantheit i^*

$i^* = 0.60$

$i^* = 0.40$

$i^* = 0.20$

$i^* = 0.00$

relative Buntheit c^*

Ein und Ausgabe: Farbmimetrisches Drucker-Reflektiv-System ORS19_96a für relativen CIELAB-Buntton $h^* = \text{lab}^*h^* = h_{ab}/360 = 0.451$

Daten für jede Farbe:

lab^*tch^* und lab^*icu^*

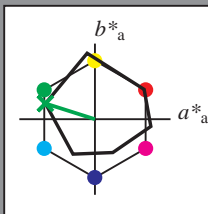
Bunttontexte:

$u^*_d = 100c$ $u^*_e = g00b$

Kontrastreduzierungsfaktor:

$c_R = 1.0$

Dreiecks-Helligkeit t^*



ORS19_96a; CIELAB-Daten

u^*_d	$L^*=L^*$	a^*	b^*	C^*_{ab}	h^*_{ab}
O _M	48.75	65.16	40.76	76.86	32
Y _M	90.92	-10.78	89.36	90.01	97
L _M	52.69	-65.4	22.15	69.05	161
C _M	59.61	-29.04	-44.69	53.3	237
V _M	28.39	24.0	-43.18	49.4	299
M _M	49.58	74.01	-8.22	74.47	354
N _M	18.89	0.5	0.77	0.92	57
W _M	96.9	-0.57	2.23	2.3	104
O _M	39.92	58.74	27.99	65.07	25
Y _M	81.26	-2.89	71.56	71.62	92
L _M	52.23	-42.42	13.6	44.55	162
V _M	30.57	1.41	-46.47	46.49	272

Daten für Maximalfarbe (Ma):

$\text{LAB}^*\text{LAB}^*_{\text{Ma}}$: 53 -65 21

$\text{LAB}^*\text{LCH}^*_{\text{Ma}}$: 53 69 162

$\text{lab}^*\text{olv}^*_{\text{Ma}}$: 0.0 1.0 0.0

$\text{lab}^*\text{rgb}^*_{\text{Ma}}$: 0.0 1.0 0.0

Dreiecks-Helligkeit t^*

%Umfang

$u^*_{\text{rel}} = 89$

%Regularität

$g^*_{H,\text{rel}} = 72$

$g^*_{C,\text{rel}} = 57$

$u^*_d = 100c$
 $\text{LAB}^*\text{cmyn}^*$

ORS19_96a; adaptierte CIELAB-Daten

u^*_d	$L^*=L^*$	a^*	b^*	$C^*_{ab,a}$	$h^*_{ab,a}$	u^*_e
o00y	48.75	65.07	39.43	76.08	31	r08j
o25y	59.04	46.67	51.1	69.21	48	r33j
o50y	68.32	30.09	61.62	68.58	64	r57j
o75y	78.23	12.39	72.85	73.9	80	r81j
y00l	90.92	-10.29	87.24	87.85	97	j06g
y25l	78.57	-28.11	65.75	71.51	113	j29g
y50l	69.46	-41.25	49.92	64.75	130	j53g
y75l	61.32	-52.99	35.76	63.92	146	j76g
l00c	52.69	-65.44	20.75	68.65	162	g00b
l50c	56.55	-45.12	-16.57	48.07	200	g34b
c00v	59.61	-28.98	-46.22	54.56	238	g69b
c50v	43.33	-1.54	-45.13	45.16	268	g96b
v00m	28.39	23.63	-44.13	50.06	298	b23r
v50m	36.9	43.84	-30.24	53.26	325	b47r
m00o	49.58	73.93	-9.56	74.55	353	b71r
m50o	49.17	69.55	14.68	71.08	12	b88r

$\text{LAB}^*\text{cmyn}^*$

$i^* = 1.00$

Brillantheit i^*

$i^* = 0.80$

$i^* = 0.60$

$i^* = 0.40$

$i^* = 0.20$

$i^* = 0.00$

Ein und Ausgabe: Farbmimetrisches Drucker-Reflektiv-System ORS19_96a für relativen CIELAB-Buntton $h^* = \text{lab}^*h^* = h_{ab}/360 = 0.556$

Daten für jede Farbe:

lab^*tch^* und lab^*icu^*

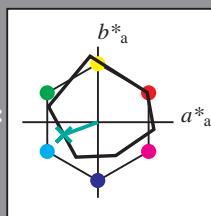
Bunttontexte:

$u^*_d = 150c$ $u^*_e = g34b$

Kontrastreduzierungsfaktor:

$c_R = 1.0$

Dreiecks-Helligkeit t^*



ORS19_96a; CIELAB-Daten						
u^*_d	$L^*=L^*_a$	a^*	b^*	C^*_{ab}	h^*_{ab}	
O _M	48.75	65.16	40.76	76.86	32	
Y _M	90.92	-10.78	89.36	90.01	97	
L _M	52.69	-65.4	22.15	69.05	161	
C _M	59.61	-29.04	-44.69	53.3	237	
V _M	28.39	24.0	-43.18	49.4	299	
M _M	49.58	74.01	-8.22	74.47	354	
N _M	18.89	0.5	0.77	0.92	57	
W _M	96.9	-0.57	2.23	2.3	104	
O _M	39.92	58.74	27.99	65.07	25	
Y _M	81.26	-2.89	71.56	71.62	92	
L _M	52.23	-42.42	13.6	44.55	162	
V _M	30.57	1.41	-46.47	46.49	272	

Daten für Maximalfarbe (Ma):

$\text{LAB}^*\text{LAB}^*_{\text{Ma}}: 57 -45 -17$

$\text{LAB}^*\text{LCH}^*_{\text{Ma}}: 57 48 200$

$\text{lab}^*\text{olv}^*_{\text{Ma}}: 0.0 1.0 0.5$

$\text{lab}^*\text{rgb}^*_{\text{Ma}}: 0.0 1.0 0.69$

Dreiecks-Helligkeit t^*

%Umfang

$u^*_{\text{rel}} = 89$

%Regularität

$g^*_{H,\text{rel}} = 72$

$g^*_{C,\text{rel}} = 57$

ORS19_96a; adaptierte CIELAB-Daten									
u^*_d	$L^*=L^*_a$	a^*_a	b^*_a	$C^*_{ab,a}$	$h^*_{ab,a}$	u^*_e			
o00y	48.75	65.07	39.43	76.08	31	r08j			
o25y	59.04	46.67	51.1	69.21	48	r33j			
o50y	68.32	30.09	61.62	68.58	64	r57j			
o75y	78.23	12.39	72.85	73.9	80	r81j			
y00l	90.92	-10.29	87.24	87.85	97	j06g			
y25l	78.57	-28.11	65.75	71.51	113	j29g			
y50l	69.46	-41.25	49.92	64.75	130	j53g			
y75l	61.32	-52.99	35.76	63.92	146	j76g			
l00c	52.69	-65.44	20.75	68.65	162	g00b			
l50c	56.55	-45.12	-16.57	48.07	200	g34b			
c00v	59.61	-28.98	-46.22	54.56	238	g69b			
c50v	43.33	-1.54	-45.13	45.16	268	g96b			
v00m	28.39	23.63	-44.13	50.06	298	b23r			
v50m	36.9	43.84	-30.24	53.26	325	b47r			
m00o	49.58	73.93	-9.56	74.55	353	b71r			
m50o	49.17	69.55	14.68	71.08	12	b88r			

$\text{LAB}^*\text{cmy}n^*_{\text{rel}}$

$i^* = 1.00$

Brillantheit i^*

$i^* = 0.80$

$i^* = 0.60$

$i^* = 0.40$

$i^* = 0.20$

$i^* = 0.00$

Ein und Ausgabe: Farbmimetrisches Drucker-Reflektiv-System ORS19_96a für relativen CIELAB-Buntton $h^* = \text{lab} \cdot h^* = h_{ab}/360 = 0.661$

Daten für jede Farbe:

$\text{lab}^* \text{tch}^*$ und $\text{lab}^* \text{icu}^*$

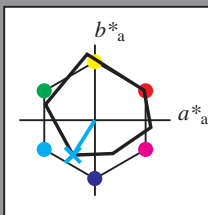
Bunttontexte:

$u^*_d = c00v$ $u^*_e = g69b$

Kontrastreduzierungsfaktor:

$c_R = 1.0$

Dreiecks-Helligkeit i^*



ORS19_96a; CIELAB-Daten

u^*_d	$L^*=L^*$	a^*	b^*	C^*_{ab}	h^*_{ab}
O _M	48.75	65.16	40.76	76.86	32
Y _M	90.92	-10.78	89.36	90.01	97
L _M	52.69	-65.4	22.15	69.05	161
C _M	59.61	-29.04	-44.69	53.3	237
V _M	28.39	24.0	-43.18	49.4	299
M _M	49.58	74.01	-8.22	74.47	354
N _M	18.89	0.5	0.77	0.92	57
W _M	96.9	-0.57	2.23	2.3	104
O _M	39.92	58.74	27.99	65.07	25
Y _M	81.26	-2.89	71.56	71.62	92
L _M	52.23	-42.42	13.6	44.55	162
V _M	30.57	1.41	-46.47	46.49	272

Daten für Maximalfarbe (Ma):

$\text{LAB}^* \text{LAB}^* \text{Ma}$: 60 -29 -46

$\text{LAB}^* \text{LCH}^* \text{Ma}$: 60 55 237

$\text{lab}^* \text{olv}^* \text{Ma}$: 0.0 1.0 1.0

$\text{lab}^* \text{rgb}^* \text{Ma}$: 0.0 0.62 1.0

Dreiecks-Helligkeit i^*

%Umfang

$u^*_{\text{rel}} = 89$

%Regularität

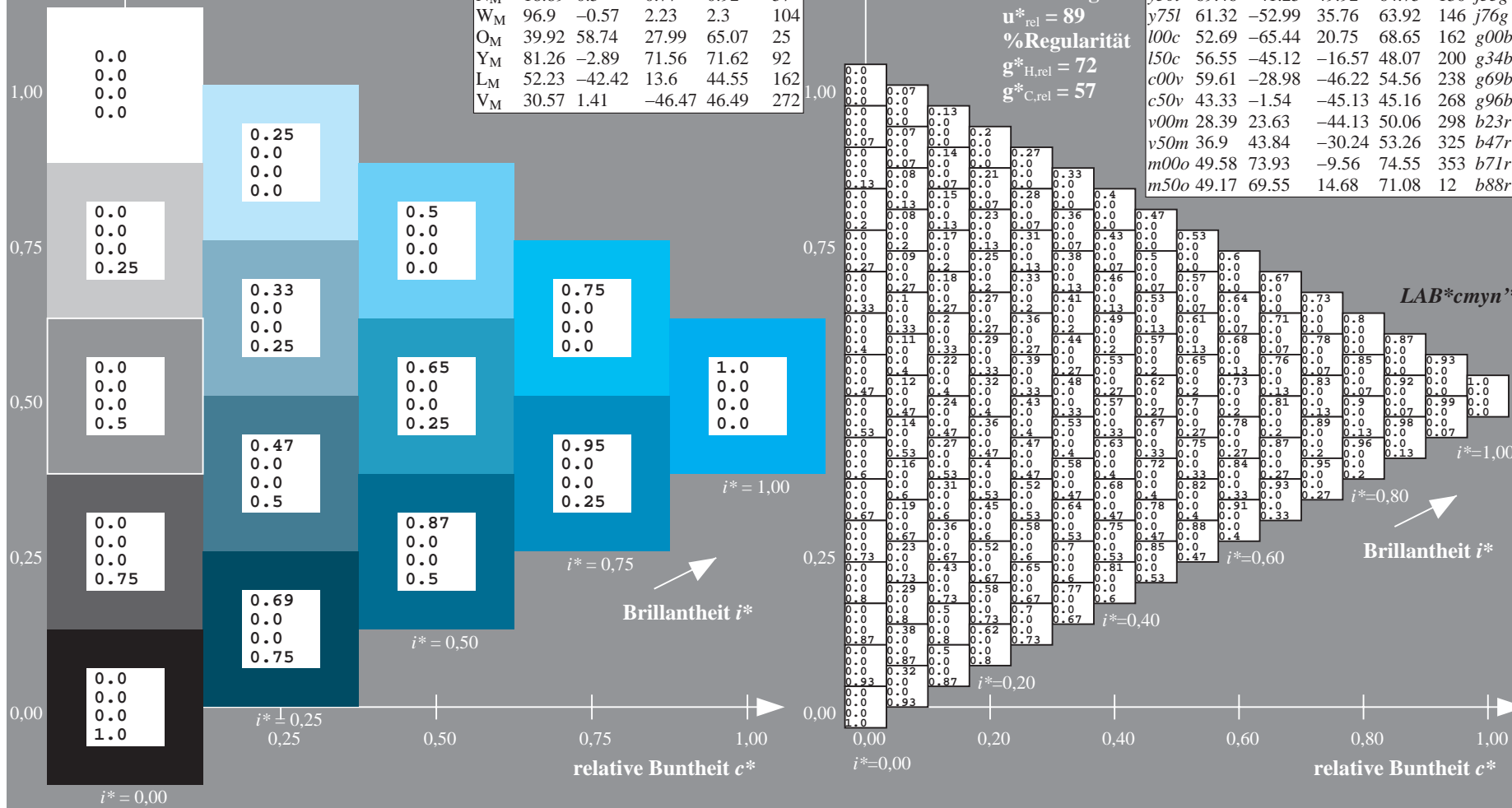
$g^*_{H,\text{rel}} = 72$

$g^*_{C,\text{rel}} = 57$

$u^*_d = c00v$
 $\text{LAB}^* \text{cmyn}^*$

ORS19_96a; adaptierte CIELAB-Daten

u^*_d	$L^*=L^*$	a^*_a	b^*_a	$C^*_{ab,a}$	$h^*_{ab,a}$	u^*_e
o00y	48.75	65.07	39.43	76.08	31	r08j
o25y	59.04	46.67	51.1	69.21	48	r33j
o50y	68.32	30.09	61.62	68.58	64	r57j
o75y	78.23	12.39	72.85	73.9	80	r81j
y00l	90.92	-10.29	87.24	87.85	97	j06g
y25l	78.57	-28.11	65.75	71.51	113	j29g
y50l	69.46	-41.25	49.92	64.75	130	j53g
y75l	61.32	-52.99	35.76	63.92	146	j76g
l00c	52.69	-65.44	20.75	68.65	162	g00b
l50c	56.55	-45.12	-16.57	48.07	200	g34b
c00v	59.61	-28.98	-46.22	54.56	238	g69b
c50v	43.33	-1.54	-45.13	45.16	268	g96b
v00m	28.39	23.63	-44.13	50.06	298	b23r
v50m	36.9	43.84	-30.24	53.26	325	b47r
m00o	49.58	73.93	-9.56	74.55	353	b71r
m50o	49.17	69.55	14.68	71.08	12	b88r



Ein und Ausgabe: Farbmimetrisches Drucker-Reflektiv-System ORS19_96a für relativen CIELAB-Buntton $h^* = \text{lab}^*h^* = h_{ab}/360 = 0.745$

Daten für jede Farbe:

lab^*tch^* und lab^*icu^*

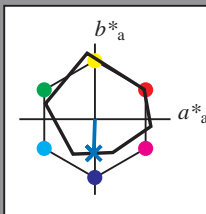
Bunttontexte:

$u^*_d = c50v$ $u^*_e = g96b$

Kontrastreduzierungsfaktor:

$c_R = 1.0$

Dreiecks-Helligkeit t^*



ORS19_96a; CIELAB-Daten						
u^*_d	$L^*=L^*$	a^*	b^*	C^*_{ab}	h^*_{ab}	
O _M	48.75	65.16	40.76	76.86	32	
Y _M	90.92	-10.78	89.36	90.01	97	
L _M	52.69	-65.4	22.15	69.05	161	
C _M	59.61	-29.04	-44.69	53.3	237	
V _M	28.39	24.0	-43.18	49.4	299	
M _M	49.58	74.01	-8.22	74.47	354	
N _M	18.89	0.5	0.77	0.92	57	
W _M	96.9	-0.57	2.23	2.3	104	
O _M	39.92	58.74	27.99	65.07	25	
Y _M	81.26	-2.89	71.56	71.62	92	
L _M	52.23	-42.42	13.6	44.55	162	
V _M	30.57	1.41	-46.47	46.49	272	

Daten für Maximalfarbe (Ma):

$\text{LAB}^*\text{LAB}^*_{\text{Ma}}$: 43 -2 -45

$\text{LAB}^*\text{LCH}^*_{\text{Ma}}$: 43 45 268

$\text{lab}^*\text{olv}^*_{\text{Ma}}$: 0.0 0.5 1.0

$\text{lab}^*\text{rgb}^*_{\text{Ma}}$: 0.0 0.07 1.0

Dreiecks-Helligkeit t^*

%Umfang

$u^*_{\text{rel}} = 89$

%Regularität

$g^*_{H,\text{rel}} = 72$

$g^*_{C,\text{rel}} = 57$

ORS19_96a; adaptierte CIELAB-Daten									
u^*_d	$L^*=L^*_a$	a^*_a	b^*_a	$C^*_{ab,a}$	$h^*_{ab,a}$	u^*_e			
o00y	48.75	65.07	39.43	76.08	31	r08j			
o25y	59.04	46.67	51.1	69.21	48	r33j			
o50y	68.32	30.09	61.62	68.58	64	r57j			
o75y	78.23	12.39	72.85	73.9	80	r81j			
y00l	90.92	-10.29	87.24	87.85	97	j06g			
y25l	78.57	-28.11	65.75	71.51	113	j29g			
y50l	69.46	-41.25	49.92	64.75	130	j53g			
y75l	61.32	-52.99	35.76	63.92	146	j76g			
l00c	52.69	-65.44	20.75	68.65	162	g00b			
l50c	56.55	-45.12	-16.57	48.07	200	g34b			
c00v	59.61	-28.98	-46.22	54.56	238	g69b			
c50v	43.33	-1.54	-45.13	45.16	268	g96b			
v00m	28.39	23.63	-44.13	50.06	298	b23r			
v50m	36.9	43.84	-30.24	53.26	325	b47r			
m00o	49.58	73.93	-9.56	74.55	353	b71r			
m50o	49.17	69.55	14.68	71.08	12	b88r			

$\text{LAB}^*\text{cmyn}^*$

$i^* = 1.00$

Brillantheit i^*

$i^* = 0.80$

$i^* = 0.60$

$i^* = 0.40$

$i^* = 0.20$

$i^* = 0.00$

relative Buntheit c^*

relative Buntheit c^*

Ein und Ausgabe: Farbmimetrisches Drucker-Reflektiv-System ORS19_96a für relativen CIELAB-Buntton $h^* = lab^*h^* = h_{ab}/360 = 0.828$

Daten für jede Farbe:

lab^*tch^* und lab^*icu^*

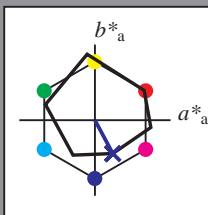
Bunttontexte:

$u^*_d = v00m$ $u^*_e = b23r$

Kontrastreduzierungsfaktor:

$c_R = 1.0$

Dreiecks-Helligkeit t^*



ORS19_96a; CIELAB-Daten

u^*_d	$L^*=L^*$	a^*	b^*	C^*_{ab}	h^*_{ab}
O _M	48.75	65.16	40.76	76.86	32
Y _M	90.92	-10.78	89.36	90.01	97
L _M	52.69	-65.4	22.15	69.05	161
C _M	59.61	-29.04	-44.69	53.3	237
V _M	28.39	24.0	-43.18	49.4	299
M _M	49.58	74.01	-8.22	74.47	354
N _M	18.89	0.5	0.77	0.92	57
W _M	96.9	-0.57	2.23	2.3	104
O _M	39.92	58.74	27.99	65.07	25
Y _M	81.26	-2.89	71.56	71.62	92
L _M	52.23	-42.42	13.6	44.55	162
V _M	30.57	1.41	-46.47	46.49	272

Daten für Maximalfarbe (Ma):

$LAB^*LAB^*_{Ma}$: 28 24 -44

$LAB^*LCH^*_{Ma}$: 28 50 298

$lab^*olv^*_{Ma}$: 0.0 0.0 1.0

$lab^*rgb^*_{Ma}$: 0.46 0.0 1.0

Dreiecks-Helligkeit t^*

%Umfang

$u^*_{rel} = 89$

%Regularität

$g^*_{H,rel} = 72$

$g^*_{C,rel} = 57$

$u^*_d = v00m$
 LAB^*cmyn^*

ORS19_96a; adaptierte CIELAB-Daten

u^*_d	$L^*=L^*$	a^*	b^*	$C^*_{ab,a}$	$h^*_{ab,a}$	u^*_e
o00y	48.75	65.07	39.43	76.08	31	r08j
o25y	59.04	46.67	51.1	69.21	48	r33j
o50y	68.32	30.09	61.62	68.58	64	r57j
o75y	78.23	12.39	72.85	73.9	80	r81j
y00l	90.92	-10.29	87.24	87.85	97	j06g
y25l	78.57	-28.11	65.75	71.51	113	j29g
y50l	69.46	-41.25	49.92	64.75	130	j53g
y75l	61.32	-52.99	35.76	63.92	146	j76g
l00c	52.69	-65.44	20.75	68.65	162	g00b
l50c	56.55	-45.12	-16.57	48.07	200	g34b
c00v	59.61	-28.98	-46.22	54.56	238	g69b
c50v	43.33	-1.54	-45.13	45.16	268	g96b
v00m	28.39	23.63	-44.13	50.06	298	b23r
v50m	36.9	43.84	-30.24	53.26	325	b47r
m00o	49.58	73.93	-9.56	74.55	353	b71r
m50o	49.17	69.55	14.68	71.08	12	b88r

LAB^*cmyn^*

$i^* = 1.00$

Brillantheit i^*

$i^* = 0.80$

$i^* = 0.60$

$i^* = 0.40$

$i^* = 0.20$

$i^* = 0.00$

relative Buntheit c^*

Ein und Ausgabe: Farbmimetrisches Drucker-Reflektiv-System ORS19_96a für relativen CIELAB-Buntton $h^* = \text{lab}^*h^* = h_{ab}/360 = 0.98$

Daten für jede Farbe:

lab^*tch^* und lab^*icu^*

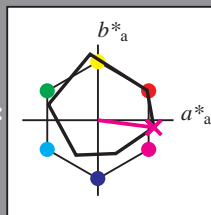
Bunttontexte:

$u^*_d = m00o$ $u^*_e = b71r$

Kontrastreduzierungsfaktor:

$c_R = 1.0$

Dreiecks-Helligkeit i^*



ORS19_96a; CIELAB-Daten						
u^*_d	$L^*=L^*_a$	a^*	b^*	C^*_{ab}	h^*_{ab}	
O _M	48.75	65.16	40.76	76.86	32	
Y _M	90.92	-10.78	89.36	90.01	97	
L _M	52.69	-65.4	22.15	69.05	161	
C _M	59.61	-29.04	-44.69	53.3	237	
V _M	28.39	24.0	-43.18	49.4	299	
M _M	49.58	74.01	-8.22	74.47	354	
N _M	18.89	0.5	0.77	0.92	57	
W _M	96.9	-0.57	2.23	2.3	104	
O _M	39.92	58.74	27.99	65.07	25	
Y _M	81.26	-2.89	71.56	71.62	92	
L _M	52.23	-42.42	13.6	44.55	162	
V _M	30.57	1.41	-46.47	46.49	272	

Daten für Maximalfarbe (Ma):

$\text{LAB}^*\text{LAB}^*_{\text{Ma}}: 50 \ 74 \ -10$

$\text{LAB}^*\text{LCH}^*_{\text{Ma}}: 50 \ 75 \ 352$

$\text{lab}^*\text{olv}^*_{\text{Ma}}: 1.0 \ 0.0 \ 1.0$

$\text{lab}^*\text{rgb}^*_{\text{Ma}}: 1.0 \ 0.0 \ 0.58$

Dreiecks-Helligkeit i^*

%Umfang

$u^*_{\text{rel}} = 89$

%Regularität

$g^*_{H,\text{rel}} = 72$

$g^*_{C,\text{rel}} = 57$

ORS19_96a; adaptierte CIELAB-Daten									
u^*_d	$L^*=L^*_a$	a^*_a	b^*_a	$C^*_{ab,a}$	$h^*_{ab,a}$	u^*_e			
o00y	48.75	65.07	39.43	76.08	31	r08j			
o25y	59.04	46.67	51.1	69.21	48	r33j			
o50y	68.32	30.09	61.62	68.58	64	r57j			
o75y	78.23	12.39	72.85	73.9	80	r81j			
y00l	90.92	-10.29	87.24	87.85	97	j06g			
y25l	78.57	-28.11	65.75	71.51	113	j29g			
y50l	69.46	-41.25	49.92	64.75	130	j53g			
y75l	61.32	-52.99	35.76	63.92	146	j76g			
l00c	52.69	-65.44	20.75	68.65	162	g00b			
l50c	56.55	-45.12	-16.57	48.07	200	g34b			
c00v	59.61	-28.98	-46.22	54.56	238	g69b			
c50v	43.33	-1.54	-45.13	45.16	268	g96b			
v00m	28.39	23.63	-44.13	50.06	298	b23r			
v50m	36.9	43.84	-30.24	53.26	325	b47r			
m00o	49.58	73.93	-9.56	74.55	353	b71r			
m50o	49.17	69.55	14.68	71.08	12	b88r			

$\text{LAB}^*\text{cmyn}^*$

$i^* = 1.00$

Brillantheit i^*

$i^* = 0.80$

$i^* = 0.60$

$i^* = 0.40$

$i^* = 0.20$

$i^* = 0.00$

relative Buntheit c^*

relative Buntheit c^*

Ein und Ausgabe: Farbmimetrisches Drucker-Reflektiv-System ORS19_96a für relativen CIELAB-Buntton $h^* = \text{lab}^*h^* = h_{ab}/360 = 0.033$

Daten für jede Farbe:

lab^*tch^* und lab^*icu^*

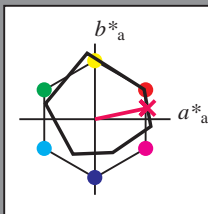
Bunttontexte:

$u^*_d = m50o$ $u^*_e = b88r$

Kontrastreduzierungsfaktor:

$c_R = 1.0$

Dreiecks-Helligkeit t^*



ORS19_96a; CIELAB-Daten					
u^*_d	$L^*=L^*$	a^*	b^*	C^*_{ab}	h^*_{ab}
O _M	48.75	65.16	40.76	76.86	32
Y _M	90.92	-10.78	89.36	90.01	97
L _M	52.69	-65.4	22.15	69.05	161
C _M	59.61	-29.04	-44.69	53.3	237
V _M	28.39	24.0	-43.18	49.4	299
M _M	49.58	74.01	-8.22	74.47	354
N _M	18.89	0.5	0.77	0.92	57
W _M	96.9	-0.57	2.23	2.3	104
O _M	39.92	58.74	27.99	65.07	25
Y _M	81.26	-2.89	71.56	71.62	92
L _M	52.23	-42.42	13.6	44.55	162
V _M	30.57	1.41	-46.47	46.49	272

Daten für Maximalfarbe (Ma):

$\text{LAB}^*\text{LAB}^*_{\text{Ma}}$: 49 70 15

$\text{LAB}^*\text{LCH}^*_{\text{Ma}}$: 49 71 11

$\text{lab}^*\text{olv}^*_{\text{Ma}}$: 1.0 0.0 0.5

$\text{lab}^*\text{rgb}^*_{\text{Ma}}$: 1.0 0.0 0.24

Dreiecks-Helligkeit t^*

%Umfang

$u^*_{\text{rel}} = 89$

%Regularität

$g^*_{H,\text{rel}} = 72$

$g^*_{C,\text{rel}} = 57$

ORS19_96a; adaptierte CIELAB-Daten							
u^*_d	$L^*=L^*$	a^*	b^*	$C^*_{ab,a}$	$h^*_{ab,a}$	u^*_e	
o00y	48.75	65.07	39.43	76.08	31	r08j	
o25y	59.04	46.67	51.1	69.21	48	r33j	
o50y	68.32	30.09	61.62	68.58	64	r57j	
o75y	78.23	12.39	72.85	73.9	80	r81j	
y00l	90.92	-10.29	87.24	87.85	97	j06g	
y25l	78.57	-28.11	65.75	71.51	113	j29g	
y50l	69.46	-41.25	49.92	64.75	130	j53g	
y75l	61.32	-52.99	35.76	63.92	146	j76g	
l00c	52.69	-65.44	20.75	68.65	162	g00b	
l50c	56.55	-45.12	-16.57	48.07	200	g34b	
c00v	59.61	-28.98	-46.22	54.56	238	g69b	
c50v	43.33	-1.54	-45.13	45.16	268	g96b	
v00m	28.39	23.63	-44.13	50.06	298	b23r	
v50m	36.9	43.84	-30.24	53.26	325	b47r	
m00o	49.58	73.93	-9.56	74.55	353	b71r	
m50o	49.17	69.55	14.68	71.08	12	b88r	

$\text{LAB}^*\text{cmyn}^*$

$i^* = 1.00$

Brillantheit i^*

$i^* = 0.80$

$i^* = 0.60$

$i^* = 0.40$

$i^* = 0.20$

$i^* = 0.00$

[illegible]